

Sphère et Hyper-sphère, problèmes aux limites à n-dimensions

Problèmes aux limites uni-dimensionnels en dimension radiale

Problème : soit à rechercher la solution de l'équation de Laplace à l'intérieur d'une sphère creuse à n dimensions $||x|| > 1$ dont les conditions aux limites de Dirichlet sont constantes sur les surfaces intérieure et extérieure de l'hypersphère.

L'équation de Laplace à N dimensions s'écrit :

$$\Delta T\left(\vec{x}\right) = \sum_{i=1}^n \frac{\partial^2 T}{\partial x_i^2} = 0 \quad l_{r1} \leq ||\vec{x}|| \leq l_{r2} \quad r = ||\vec{x}|| = \sqrt{\sum_{i=1}^n x_i^2}$$

$$T\left(\vec{x}\right)\Big|_{||\vec{x}||=l_{r1}} = T_1 \quad T\left(\vec{x}\right)\Big|_{||\vec{x}||=l_{r2}} = T_2$$

Le problème est invariant selon toutes les rotations de l'espace à N dimensions et ne dépend que que la variable $r=||x||$. Dans ce cas le Laplacien à N dimensions s'écrit en fonction uniquement de la variable $r=||x||$

$$\Delta T\left(\vec{x}\right) = \frac{\partial^2 T}{\partial ||\vec{x}||^2} + \left(\frac{n-1}{||\vec{x}||}\right) \frac{\partial T}{\partial ||\vec{x}||} = 0 \Rightarrow T\left(||\vec{x}||\right) = \begin{cases} A|x| + B & \text{si } n = 1 \\ A \text{Ln}(||\vec{x}||) + B & \text{si } n = 2 \\ A ||\vec{x}||^{2-n} + B & \text{si } n \geq 3 \end{cases}$$

Comme $T\left(\vec{x}\right)\Big|_{||\vec{x}||=l_{r1}} = T_1 \quad T\left(\vec{x}\right)\Big|_{||\vec{x}||=l_{r2}} = T_2$ il vient

$$T\left(\vec{x}\right)\Big|_{||\vec{x}||=l_{r1}} = \begin{cases} \frac{1}{l_{r2}-l_{r1}} \left((T_2 - T_1)x + T_1 l_{r2} - l_{r1} T_2 \right) & \text{si } n = 1 \\ \frac{1}{\text{Ln}(l_{r2}) - \text{Ln}(l_{r1})} \left((T_2 - T_1) \text{Ln}(||\vec{x}||) + T_1 \text{Ln}(l_{r2}) - \text{Ln}(l_{r1}) T_2 \right) & \text{si } n = 2 \\ \frac{1}{l_{r2}^{2-n} - l_{r1}^{2-n}} \left((T_2 - T_1) ||\vec{x}||^{2-n} + T_1 l_{r2}^{2-n} - l_{r1}^{2-n} T_2 \right) & \text{si } n \geq 3 \end{cases}$$

Problème : soit à rechercher la solution de l'équation de Laplace à l'intérieur d'une sphère creuse à n dimensions $||x|| > 1$ dont les conditions aux limites sont constantes, homogène de Dirichlet sur la surface intérieure de l'hypersphère et inhomogène mixte de Robin et constante à la surface extérieure.

Problèmes aux limites de Laplace sur une hypersphère- p-

L'équation de Laplace à N dimensions s'écrit :

$$\Delta T(\vec{x}) = \sum_{i=1}^n \frac{\partial^2 T}{\partial x_i^2} = 0 \quad l_{r1} \leq \|\vec{x}\| \leq l_{r2} \quad r = \|\vec{x}\| = \sqrt{\sum_{i=1}^n x_i^2} \Rightarrow T(\|\vec{x}\|) = \begin{cases} A|x| + B & \text{si } n = 1 \\ A \ln(\|\vec{x}\|) + B & \text{si } n = 2 \\ A\|\vec{x}\|^{2-n} + B & \text{si } n \geq 3 \end{cases}$$

$$T(\vec{x})\Big|_{\|\vec{x}\|=l_{r1}} = 0 \quad \alpha \frac{\partial T(\vec{x})}{\partial n} + \beta T(\vec{x})\Big|_{\|\vec{x}\|=l_{r2}} = \beta T_2$$

Comme :

$$T(\vec{x})\Big|_{\|\vec{x}\|=l_{r1}} = 0 \Rightarrow T(\|\vec{x}\|) = \begin{cases} A(|x| - l_{r1}) & \text{si } n = 1 \\ A \ln\left(\frac{\|\vec{x}\|}{l_{r1}}\right) & \text{si } n = 2 \\ A(\|\vec{x}\|^{2-n} - l_{r1}^{2-n}) & \text{si } n \geq 3 \end{cases}$$

$$\Rightarrow \alpha \frac{\partial T(\vec{x})}{\partial n} + \beta T(\vec{x}) = \begin{cases} \alpha A + A \beta (|x| - l_{r1}) & \text{si } n = 1 \\ \frac{\alpha A}{\|\vec{x}\|} + \beta A \ln\left(\frac{\|\vec{x}\|}{l_{r1}}\right) & \text{si } n = 2 \\ \alpha A(2-n)\|\vec{x}\|^{1-n} + \beta A(\|\vec{x}\|^{2-n} - l_{r1}^{2-n}) & \text{si } n \geq 3 \end{cases}$$

$$\alpha \frac{\partial T(\vec{x})}{\partial n} + \beta T(\vec{x})\Big|_{\|\vec{x}\|=l_{r2}} = \beta T_2 \Rightarrow \begin{cases} \alpha A + A \beta (l_{r2} - l_{r1}) = \beta T_2 & \text{si } n = 1 \\ \frac{\alpha A}{l_{r2}} + \beta A \ln\left(\frac{l_{r2}}{l_{r1}}\right) = \beta T_2 & \text{si } n = 2 \\ \alpha A(2-n)l_{r2}^{1-n} + \beta A(l_{r2}^{2-n} - l_{r1}^{2-n}) = \beta T_2 & \text{si } n \geq 3 \end{cases}$$

$$\begin{cases} A = \frac{\beta T_2}{\alpha + \beta (l_{r2} - l_{r1})} & \text{si } n = 1 \\ A = \frac{\beta T_2}{\frac{\alpha}{l_{r2}} + \beta \ln\left(\frac{l_{r2}}{l_{r1}}\right)} & \text{si } n = 2 \\ A = \frac{\beta T_2}{\alpha(2-n)l_{r2}^{1-n} + \beta(l_{r2}^{2-n} - l_{r1}^{2-n})} & \text{si } n \geq 3 \end{cases}$$

Il vient

$$T(\vec{x})\Big|_{\|\vec{x}\|=l_{r1}} = \begin{cases} \frac{\beta T_2}{\alpha + \beta (l_{r2} - l_{r1})} (|x| - l_{r1}) & \text{si } n = 1 \\ \frac{\beta T_2}{\frac{\alpha}{l_{r2}} + \beta \ln\left(\frac{l_{r2}}{l_{r1}}\right)} \ln\left(\frac{\|\vec{x}\|}{l_{r1}}\right) & \text{si } n = 2 \\ \frac{\beta T_2}{\alpha(2-n)l_{r2}^{1-n} + \beta(l_{r2}^{2-n} - l_{r1}^{2-n})} (\|\vec{x}\|^{2-n} - l_{r1}^{2-n}) & \text{si } n \geq 3 \end{cases}$$

Problèmes aux limites de Laplace sur une hypersphère- p-

Avec le problème suivant :

$$\Delta T(\vec{x}) = \sum_{i=1}^n \frac{\partial^2 T}{\partial x_i^2} = 0 \quad l_{r1} \leq \|\vec{x}\| \leq l_{r2} \quad r = \|\vec{x}\| = \sqrt{\sum_{i=1}^n x_i^2} \Rightarrow T(\|\vec{x}\|) = \begin{cases} A|\vec{x}| + B & \text{si } n = 1 \\ A \ln(\|\vec{x}\|) + B & \text{si } n = 2 \\ A\|\vec{x}\|^{2-n} + B & \text{si } n \geq 3 \end{cases}$$

$$T(\vec{x})\Big|_{\|\vec{x}\|=l_{r1}} = T_1 \quad \alpha \frac{\partial T(\vec{x})}{\partial n} + \beta T(\vec{x})\Big|_{\|\vec{x}\|=l_{r2}} = \beta T_2$$

Il vient :

$$T(\vec{x})\Big|_{\|\vec{x}\|=l_{r1}} = T_1 \Rightarrow T(\|\vec{x}\|) = \begin{cases} T_1 + A(|\vec{x}| - l_{r1}) & \text{si } n = 1 \\ T_1 + A \ln\left(\frac{\|\vec{x}\|}{l_{r1}}\right) & \text{si } n = 2 \\ T_1 + A(\|\vec{x}\|^{2-n} - l_{r1}^{2-n}) & \text{si } n \geq 3 \end{cases}$$

$$\Rightarrow \alpha \frac{\partial T(\vec{x})}{\partial n} + \beta T(\vec{x}) = \begin{cases} \alpha A + \beta (|\vec{x}| - l_{r1}) + \beta T_1 & \text{si } n = 1 \\ \frac{\alpha A}{\|\vec{x}\|} + \beta A \ln\left(\frac{\|\vec{x}\|}{l_{r1}}\right) + \beta T_1 & \text{si } n = 2 \\ \alpha A(2-n)\|\vec{x}\|^{1-n} + \beta A(\|\vec{x}\|^{2-n} - l_{r1}^{2-n}) + \beta T_1 & \text{si } n \geq 3 \end{cases}$$

$$\alpha \frac{\partial T(\vec{x})}{\partial n} + \beta T(\vec{x})\Big|_{\|\vec{x}\|=l_{r2}} = \beta T_2 \Rightarrow \begin{cases} \alpha A + \beta (l_{r2} - l_{r1}) = \beta (T_2 - T_1) & \text{si } n = 1 \\ \frac{\alpha A}{l_{r2}} + \beta A \ln\left(\frac{l_{r2}}{l_{r1}}\right) = \beta (T_2 - T_1) & \text{si } n = 2 \\ \alpha A(2-n)l_{r2}^{1-n} + \beta A(l_{r2}^{2-n} - l_{r1}^{2-n}) = \beta (T_2 - T_1) & \text{si } n \geq 3 \end{cases}$$

$$\begin{cases} A = \frac{\beta (T_2 - T_1)}{\alpha + \beta (l_{r2} - l_{r1})} & \text{si } n = 1 \\ A = \frac{\beta (T_2 - T_1)}{\frac{\alpha}{l_{r2}} + \beta \ln\left(\frac{l_{r2}}{l_{r1}}\right)} & \text{si } n = 2 \\ A = \frac{\beta (T_2 - T_1)}{\alpha(2-n)l_{r2}^{1-n} + \beta(l_{r2}^{2-n} - l_{r1}^{2-n})} & \text{si } n \geq 3 \end{cases}$$

$$\text{Il vient } T(\vec{x})\Big|_{\|\vec{x}\|=l_{r1}} = \begin{cases} \beta T_1 + \frac{\beta (T_2 - T_1)}{\alpha + \beta (l_{r2} - l_{r1})} (|\vec{x}| - l_{r1}) & \text{si } n = 1 \\ \beta T_1 + \frac{\beta (T_2 - T_1)}{\frac{\alpha}{l_{r2}} + \beta \ln\left(\frac{l_{r2}}{l_{r1}}\right)} \ln\left(\frac{\|\vec{x}\|}{l_{r1}}\right) & \text{si } n = 2 \\ \beta T_1 + \frac{\beta (T_2 - T_1)}{\alpha(2-n)l_{r2}^{1-n} + \beta(l_{r2}^{2-n} - l_{r1}^{2-n})} (\|\vec{x}\|^{2-n} - l_{r1}^{2-n}) & \text{si } n \geq 3 \end{cases}$$

Problème : soit à rechercher la solution de l'équation de Laplace à l'intérieur d'une sphère creuse à

Problèmes aux limites de Laplace sur une hypersphère- p-

n dimensions $\|x\| > 1$ dont les conditions aux limites sont constantes, inhomogène mixte de Robin sur la surface intérieure de l'hypersphère et inhomogène mixte de Robin à la surface extérieure. L'équation de Laplace à N dimensions s'écrit :

$$\Delta T(\vec{x}) = \sum_{i=1}^n \frac{\partial^2 T}{\partial x_i^2} = 0 \quad l_{r1} \leq \|\vec{x}\| \leq l_{r2} \quad r = \|\vec{x}\| = \sqrt{\sum_{i=1}^n x_i^2} \Rightarrow T(\|\vec{x}\|) = \begin{cases} A|x| + B & \text{si } n = 1 \\ A \ln(\|\vec{x}\|) + B & \text{si } n = 2 \\ A\|\vec{x}\|^{2-n} + B & \text{si } n \geq 3 \end{cases}$$

$$\alpha_1 \frac{\partial T(\vec{x})}{\partial n} - \beta_1 T(\vec{x}) \Big|_{\|\vec{x}\|=l_{r1}} = -\beta_1 T_1 \quad \alpha_2 \frac{\partial T(\vec{x})}{\partial n} + \beta_2 T(\vec{x}) \Big|_{\|\vec{x}\|=l_{r2}} = \beta_2 T_2$$

Comme :

$$\alpha_1 \frac{\partial T(\vec{x})}{\partial n} - \beta_1 T(\vec{x}) = \begin{cases} \alpha_1 A - \beta_1 (A|x| + B) = A(\alpha_1 - \beta_1|x|) - \beta_1 B & \text{si } n = 1 \\ \frac{\alpha_1 A}{\|\vec{x}\|} - \beta_1 (A \ln(\|\vec{x}\|) + B) = A \left(\frac{\alpha_1}{\|\vec{x}\|} - \beta_1 \ln(\|\vec{x}\|) \right) - \beta_1 B & \text{si } n = 2 \\ \alpha_1 A(2-n)\|\vec{x}\|^{1-n} - \beta_1 (A\|\vec{x}\|^{2-n} + B) = A(\alpha_1(2-n)\|\vec{x}\|^{1-n} - \beta_1\|\vec{x}\|^{2-n}) - \beta_1 B & \text{si } n \geq 3 \end{cases}$$

$$\alpha_1 \frac{\partial T(\vec{x})}{\partial n} - \beta_1 T(\vec{x}) = -\beta_1 T_1 \Rightarrow T(\|\vec{x}\|) = \begin{cases} B = \frac{A(\alpha_1 - \beta_1 l_{r1}) + \beta_1 T_1}{\beta_1} = \frac{A(\alpha_1 - \beta_1 l_{r1})}{\beta_1} + T_1 \\ \Leftrightarrow A(\alpha_1 - \beta_1 l_{r1}) = \beta_1 (B - T_1) & \text{si } n = 1 \\ B = \frac{A}{\beta_1} \left(\frac{\alpha_1}{l_{r1}} - \beta_1 \ln(l_{r1}) \right) + T_1 & \text{si } n = 2 \\ B = \frac{A(\alpha_1(2-n)l_{r1}^{1-n} - \beta_1 l_{r1}^{2-n}) + \beta_1 T_1}{\beta_1} = \frac{A(\alpha_1(2-n)l_{r1}^{1-n} - \beta_1 l_{r1}^{2-n})}{\beta_1} + T_1 & \text{si } n \geq 3 \end{cases}$$

$$\alpha_2 \frac{\partial T(\vec{x})}{\partial n} + \beta_2 T(\vec{x}) \Big|_{\|\vec{x}\|=l_{r2}} = \beta_2 T_2 \Rightarrow \begin{cases} A = \frac{\beta_2(T_2 - B)}{(\alpha_2 + \beta_2 l_{r2})} = \frac{\beta_2 \beta_1 (T_2 - T_1) - \beta_2 A(\alpha_1 - \beta_1 l_{r1})}{\beta_1(\alpha_2 + \beta_2 l_{r2})} & \text{si } n = 1 \\ A = \frac{\beta_2(T_2 - B)}{\left(\frac{\alpha_2}{l_{r2}} + \beta_2 \ln(l_{r2}) \right)} = \frac{\beta_2 \left(\beta_1 (T_2 - T_1) - A \left(\frac{\alpha_1}{l_{r1}} - \beta_1 \ln(l_{r1}) \right) \right)}{\beta_1 \left(\frac{\alpha_2}{l_{r2}} + \beta_2 \ln(l_{r2}) \right)} & \text{si } n = 2 \\ A = \frac{\beta_2(T_2 - B)}{(\alpha_2(2-n)l_{r2}^{1-n} + \beta_2 l_{r2}^{2-n})} = \frac{\beta_2 (\beta_1 (T_2 - T_1) - A(\alpha_1(2-n)l_{r1}^{1-n} - \beta_1 l_{r1}^{2-n}))}{\beta_1 (\alpha_2(2-n)l_{r2}^{1-n} + \beta_2 l_{r2}^{2-n})} & \text{si } n \geq 3 \end{cases}$$

$$\left\{ \begin{array}{l} A = \frac{\beta_1 \beta_2 (T_2 - T_1)}{\beta_1 (\alpha_2 + \beta_2 l_{r_2}) + \beta_2 (\alpha_1 - \beta_1 l_{r_1})} \quad B = \frac{A(\alpha_1 - \beta_1 l_{r_1})}{\beta_1} + T_1 \quad \text{si } n = 1 \\ \Rightarrow T(\|\vec{x}\|) = A|x| + B = T_1 + A \left(|x| + \frac{(\alpha_1 - \beta_1 l_{r_1})}{\beta_1} \right) \\ A = \frac{\beta_1 \beta_2 (T_2 - T_1)}{\beta_1 \left(\frac{\alpha_2}{l_{r_2}} + \beta_2 \text{Ln}(l_{r_2}) \right) + \beta_2 \left(\frac{\alpha_1}{l_{r_1}} - \beta_1 \text{Ln}(l_{r_1}) \right)} \quad B = \frac{A}{\beta_1} \left(\frac{\alpha_1}{l_{r_1}} - \beta_1 \text{Ln}(l_{r_1}) \right) + T_1 \quad \text{si } n = 2 \\ A = \frac{\beta_1 \beta_2 (T_2 - T_1)}{\beta_1 (\alpha_2 (2-n) l_{r_2}^{1-n} + \beta_2 l_{r_2}^{2-n}) + \beta_2 (\alpha_1 (2-n) l_{r_1}^{1-n} - \beta_1 l_{r_1}^{2-n})} \quad B = \frac{A(\alpha_1 (2-n) l_{r_1}^{1-n} - \beta_1 l_{r_1}^{2-n})}{\beta_1} + T_1 \quad \text{si } n \geq 3 \end{array} \right.$$

Soit :

$$\left\{ \begin{array}{l} A = \frac{\beta_1 \beta_2 (T_2 - T_1)}{\beta_1 (\alpha_2 + \beta_2 l_{r_2}) + \beta_2 (\alpha_1 - \beta_1 l_{r_1})} \\ B = \frac{\beta_2 (T_2 - T_1)}{\beta_1 (\alpha_2 + \beta_2 l_{r_2}) + \beta_2 (\alpha_1 - \beta_1 l_{r_1})} (\alpha_1 - \beta_1 l_{r_1}) + T_1 \quad \text{si } n = 1 \\ A = \frac{\beta_1 \beta_2 (T_2 - T_1)}{\beta_1 \left(\frac{\alpha_2}{l_{r_2}} + \beta_2 \text{Ln}(l_{r_2}) \right) + \beta_2 \left(\frac{\alpha_1}{l_{r_1}} - \beta_1 \text{Ln}(l_{r_1}) \right)} \\ B = \frac{\beta_2 (T_2 - T_1)}{\beta_1 \left(\frac{\alpha_2}{l_{r_2}} + \beta_2 \text{Ln}(l_{r_2}) \right) + \beta_2 \left(\frac{\alpha_1}{l_{r_1}} - \beta_1 \text{Ln}(l_{r_1}) \right)} \left(\frac{\alpha_1}{l_{r_1}} - \beta_1 \text{Ln}(l_{r_1}) \right) + T_1 \quad \text{si } n = 2 \\ A = \frac{\beta_1 \beta_2 (T_2 - T_1)}{\beta_1 (\alpha_2 (2-n) l_{r_2}^{1-n} + \beta_2 l_{r_2}^{2-n}) + \beta_2 (\alpha_1 (2-n) l_{r_1}^{1-n} - \beta_1 l_{r_1}^{2-n})} \\ B = \frac{\beta_2 (\alpha_1 (2-n) l_{r_1}^{1-n} - \beta_1 l_{r_1}^{2-n})}{\beta_1 (\alpha_2 (2-n) l_{r_2}^{1-n} + \beta_2 l_{r_2}^{2-n}) + \beta_2 (\alpha_1 (2-n) l_{r_1}^{1-n} - \beta_1 l_{r_1}^{2-n})} + T_1 \quad \text{si } n \geq 3 \end{array} \right.$$

$$T(\|\vec{x}\|) = \left\{ \begin{array}{l} T_1 + \frac{\beta_1 \beta_2 (T_2 - T_1)}{(\alpha_2 + \beta_2 l_{r_2}) + \beta_2 (\alpha_1 - \beta_1 l_{r_1})} \left(|x| + \frac{(\alpha_1 - \beta_1 l_{r_1})}{\beta_1} \right) \quad \text{si } n = 1 \\ T_1 + \frac{\beta_1 \beta_2 (T_2 - T_1)}{\beta_1 \left(\frac{\alpha_2}{l_{r_2}} + \beta_2 \text{Ln}(l_{r_2}) \right) + \beta_2 \left(\frac{\alpha_1}{l_{r_1}} - \beta_1 \text{Ln}(l_{r_1}) \right)} \left(\text{Ln}(\|\vec{x}\|) + \frac{\left(\frac{\alpha_1}{l_{r_1}} - \beta_1 \text{Ln}(l_{r_1}) \right)}{\beta_1} \right) \quad \text{si } n = 2 \\ T_1 + \frac{\beta_1 \beta_2 (T_2 - T_1)}{\beta_1 (\alpha_2 (2-n) l_{r_2}^{1-n} + \beta_2 l_{r_2}^{2-n}) + \beta_2 (\alpha_1 (2-n) l_{r_1}^{1-n} - \beta_1 l_{r_1}^{2-n})} \left(\|\vec{x}\|^{2-n} + \frac{(\alpha_1 (2-n) l_{r_1}^{1-n} - \beta_1 l_{r_1}^{2-n})}{\beta_1} \right) \quad \text{si } n \geq 3 \end{array} \right.$$

Solutions de l'équation de Laplace à l'extérieur d'un domaine Ω hypersphérique

Problème : soit à rechercher la solution de l'équation de Laplace à l'extérieur d'une sphère à n dimensions $\|x\| > l_{\|x\|}$ dont les conditions aux limites de Dirichlet sont constantes sur la surface de l'hypersphère.

L'équation de Laplace à N dimensions s'écrit :

$$\Delta T(\vec{x}) = \sum_{i=1}^n \frac{\partial^2 T}{\partial x_i^2} = 0 \quad \|\vec{x}\| \geq l_{\|\vec{x}\|} \quad \|\vec{x}\| = \sqrt{\sum_{i=1}^n x_i^2}$$

$$T(\vec{x})|_{\|\vec{x}\|=l_{\|\vec{x}\|}} = 1 \quad T(\vec{x})|_{\|\vec{x}\|=\infty} = 0$$

Le problème est invariant selon toutes les rotations de l'espace à N dimensions et ne dépend que que la variable $r = \|\vec{x}\|$. Dans ce cas le Laplacien à N dimensions s'écrit en fonction uniquement de la variable $r = \|\vec{x}\|$:

$$\|\vec{x}\| = \sqrt{\sum_{i=1}^n x_i^2} \quad T(\vec{x}) = T(\|\vec{x}\|) \quad \Delta T(\vec{x}) = \sum_{i=1}^n \frac{\partial^2 T}{\partial x_i^2} = \sum_{i=1}^n \frac{\partial}{\partial x_i} \left(\frac{x_i}{\|\vec{x}\|} \frac{\partial T}{\partial \|\vec{x}\|} \right) = \sum_{i=1}^n \frac{x_i^2}{\|\vec{x}\|^2} \frac{\partial^2 T}{\partial \|\vec{x}\|^2} + \left(\frac{1}{\|\vec{x}\|} - \frac{x_i^2}{\|\vec{x}\|^3} \right) \frac{\partial T}{\partial \|\vec{x}\|} =$$

$$= \frac{\partial^2 T}{\partial \|\vec{x}\|^2} + \frac{\partial T}{\partial \|\vec{x}\|} \left(\frac{n-1}{\|\vec{x}\|} \right)$$

$$\frac{\partial^2 T}{\partial \|\vec{x}\|^2} + \frac{\partial T}{\partial \|\vec{x}\|} \left(\frac{n-1}{\|\vec{x}\|} \right) = 0 \Rightarrow T(\|\vec{x}\|) = \begin{cases} A\|\vec{x}\| + B & \text{si } n = 1 \\ A \ln(\|\vec{x}\|) + B & \text{si } n = 2 \\ A\|\vec{x}\|^{2-n} + B & \text{si } n \geq 3 \end{cases}$$

$$\text{Si } T(\vec{x})|_{\|\vec{x}\|=l_{\|\vec{x}\|}} = 1 \Rightarrow T(\|\vec{x}\|) = \begin{cases} \text{pas de solution} & \text{si } n = 1, 2 \\ \left(\frac{l_{\|\vec{x}\|}}{\|\vec{x}\|} \right)^{n-2} & \text{si } n \geq 3 \end{cases}$$

$$\text{Si la solution doit rester bornée à l'infini } T(\vec{x})|_{\|\vec{x}\|=\infty} \text{ bornée} \Rightarrow T(\|\vec{x}\|) = \begin{cases} 1 & \text{si } n = 1, 2 \\ \left(\frac{l_{\|\vec{x}\|}}{\|\vec{x}\|} \right)^{n-2} & \text{si } n \geq 3 \end{cases}$$

$$\text{Si la solution est non bornée à l'infini } T(\vec{x})|_{\|\vec{x}\|=\infty} \text{ bornée} \Rightarrow T(\|\vec{x}\|) = \begin{cases} \frac{\|\vec{x}\|}{l_{\|\vec{x}\|}} & \text{si } n = 1 \\ \frac{\ln(\|\vec{x}\|)}{\ln(l_{\|\vec{x}\|})} & \text{si } n = 2 \\ \left(\frac{l_{\|\vec{x}\|}}{\|\vec{x}\|} \right)^{n-2} & \text{si } n \geq 3 \end{cases}$$

Problèmes aux limites de Laplace sur une hypersphère avec dépendance à une des co-latitudes

Dans ce qui précède on s'est limité à une simple dépendance radiale des problèmes aux limites sur l'hypersphère, en partie parce que la prise en compte de variables angulaires est une tâche plus ardue.

Introduisons le système de coordonnées hyper-sphériques ou ultra-sphériques, comme suit, en changeant un peu l'ordre classique des variables angulaires afin d'exprimer plus facilement l'opérateur de moment angulaire :

$$\begin{aligned}
 r &= \|x\| \\
 x_1 &= r \cos(\vartheta_n) \quad \vartheta_n \in [0, \pi] \\
 x_2 &= r \sin(\vartheta_n) \cos(\vartheta_{n-1}) \quad \vartheta_{n-1} \in [0, \pi] \\
 x_3 &= r \sin(\vartheta_n) \sin(\vartheta_{n-1}) \cos(\vartheta_{n-2}) \quad \vartheta_{n-2} \in [0, \pi] \\
 &\dots \\
 x_{n-1} &= r \sin(\vartheta_n) \sin(\vartheta_{n-1}) \dots \sin(\vartheta_3) \cos(\vartheta_2) \quad \vartheta_3 \in [0, \pi] \\
 x_n &= r \sin(\vartheta_n) \sin(\vartheta_{n-1}) \dots \sin(\vartheta_3) \sin(\vartheta_2) \quad \vartheta_2 = \varphi \in [0, 2\pi] \\
 \vartheta_2 &= \varphi \rightarrow \text{hyperlongitude} \\
 \vartheta_n, \vartheta_{n-1}, \dots, \vartheta_3 &\rightarrow \text{hypercolatitude}
 \end{aligned}$$

Le laplacien dans ce système ultra-sphérique revêt la forme suivante :

$$\begin{aligned}
 \Delta_n &= \frac{1}{r^{n-1}} \frac{\partial}{\partial r} \left(r^{n-1} \frac{\partial}{\partial r} \right) + \frac{1}{r^2} L^2 \\
 L_n^2 &\text{ opérateur différentiel de moment angulaire} \\
 L_n^2 &= \sum_{i=2}^n \left(\prod_{\substack{j=i+1 \\ j \leq n}}^n \frac{1}{\sin^2(\vartheta_j)} \right) \frac{1}{\sin^{i-2}(\vartheta_i)} \frac{\partial}{\partial \vartheta_i} \left(\sin^{i-2}(\vartheta_i) \frac{\partial}{\partial \vartheta_i} \right)
 \end{aligned}$$

Prenons par exemple la troisième et la quatrième dimension, il vient :

$$\begin{aligned}
 L_3^2 &= \frac{1}{\sin(\vartheta_3)} \frac{\partial}{\partial \vartheta_3} \left(\sin(\vartheta_3) \frac{\partial}{\partial \vartheta_3} \right) + \frac{1}{\sin^2(\vartheta_3)} \frac{\partial^2}{\partial \vartheta_2^2} \\
 L_4^2 &= \frac{1}{\sin^2(\vartheta_4)} \left(\frac{\partial}{\partial \vartheta_4} \left(\sin^2(\vartheta_4) \frac{\partial}{\partial \vartheta_4} \right) + \frac{1}{\sin^2(\vartheta_4)} \frac{1}{\sin(\vartheta_3)} \frac{\partial}{\partial \vartheta_3} \left(\sin(\vartheta_3) \frac{\partial}{\partial \vartheta_3} \right) + \frac{1}{\sin^2(\vartheta_3) \sin^2(\vartheta_4)} \frac{\partial^2}{\partial \vartheta_2^2} \right)
 \end{aligned}$$

Dans la suite on se contente d'étudier des problèmes aux limites ne dépendant que du rayon et d'une seule variable angulaire. D'après les exemples précédents et la formule plus générale du moment angulaire, l'opérateur différentiel ne présente de dépendance qu'en un seul angle unique, la dernière colatitude ϑ_n . Tous les autres termes ont une dépendance croisée en au moins deux angles différents.

Problèmes aux limites de Laplace sur une hypersphère- p-

Donc pour réduire l'étude sur l'hypersphère à deux dimensions, on choisit des catégories de problèmes aux limites dont la dépendance des conditions aux limites ne dépend que de r et ϑ . Et dans ce cas le laplacien devient :

$$\Delta_n = \frac{1}{r^{n-1}} \frac{\partial}{\partial r} \left(r^{n-1} \frac{\partial}{\partial r} \right) + \frac{1}{r^2} \frac{1}{\sin^{n-2}(\vartheta_n)} \frac{\partial}{\partial \vartheta_n} \left(\sin^{n-2}(\vartheta_n) \frac{\partial}{\partial \vartheta_n} \right)$$

$$\Delta_n T(r, \vartheta_n) = 0 \Leftrightarrow \frac{1}{r^{n-1}} \frac{\partial}{\partial r} \left(r^{n-1} \frac{\partial T(r, \vartheta_n)}{\partial r} \right) + \frac{1}{r^2} \frac{1}{\sin^{n-2}(\vartheta_n)} \frac{\partial}{\partial \vartheta_n} \left(\sin^{n-2}(\vartheta_n) \frac{\partial T(r, \vartheta_n)}{\partial \vartheta_n} \right) = 0$$

On va simplifier la notation de la variable angulaire, et procéder à la séparation des variables de cette équation, il vient :

$$\Delta_n T(r, \vartheta) = 0 \Leftrightarrow \frac{1}{r^{n-1}} \frac{\partial}{\partial r} \left(r^{n-1} \frac{\partial T(r, \vartheta)}{\partial r} \right) + \frac{1}{r^2} \frac{1}{\sin^{n-2}(\vartheta)} \frac{\partial}{\partial \vartheta} \left(\sin^{n-2}(\vartheta) \frac{\partial T(r, \vartheta)}{\partial \vartheta} \right) = 0$$

$$T(r, \vartheta) = R(r)\Theta(\vartheta)$$

$$\Leftrightarrow \frac{1}{R(r)r^{n-3}} \frac{\partial}{\partial r} \left(r^{n-1} \frac{\partial R(r)}{\partial r} \right) = - \frac{1}{\Theta(\vartheta)\sin^{n-2}(\vartheta)} \frac{\partial}{\partial \vartheta} \left(\sin^{n-2}(\vartheta) \frac{\partial \Theta(\vartheta)}{\partial \vartheta} \right) = \alpha$$

$$\frac{1}{r^{n-1}} \frac{\partial}{\partial r} \left(r^{n-1} \frac{\partial R(r)}{\partial r} \right) - \alpha \frac{R(r)}{r^2} = 0 \quad \text{choix } \alpha > 0$$

$$\text{En posant } \alpha = \nu(\nu + n - 2) \Rightarrow R(r) = A_r r^\nu + B_r r^{-(\nu+n-2)}$$

$$\frac{1}{\sin^{n-2}(\vartheta)} \frac{\partial}{\partial \vartheta} \left(\sin^{n-2}(\vartheta) \frac{\partial \Theta(\vartheta)}{\partial \vartheta} \right) + \nu(\nu + n - 2)\Theta(\vartheta) = 0$$

En effectuant le changement de variable $z = \cos(\vartheta)$, on parvient à deux formes de l'équation :

$$z = \cos(\vartheta) \quad dz = -\sin(\vartheta) d\vartheta$$

$$\frac{1}{\sin^{n-2}(\vartheta)} \frac{\partial}{\partial \vartheta} \left(\sin^{n-2}(\vartheta) \frac{\partial \Theta(\vartheta)}{\partial \vartheta} \right) + \nu(\nu + n - 2)\Theta(\vartheta) = 0$$

$$\Leftrightarrow \frac{1}{(1-z^2)^{\frac{n-3}{2}}} \frac{d}{dz} \left((1-z^2)^{\frac{n-1}{2}} \frac{d\Theta(z)}{dz} \right) + \nu(\nu + n - 2)\Theta(z) = 0$$

$$\Leftrightarrow (1-z^2) \frac{d^2 \Theta(z)}{dz^2} - (n-1)z \frac{d\Theta(z)}{dz} + \nu(\nu + n - 2)\Theta(z) = 0$$

Cette équation n'a aucun caractère de nouveauté, on l'appelle l'équation différentielle de Gegenbauer, établie vers 1893. Comme bien des équations différentielles du second degré, elles possèdent deux solutions (première espèce, deuxième espèce), linéairement indépendantes. Lorsque le paramètre ν est un entier, alors les solutions de première espèce sont les polynômes de Gegenbauer. Mais pour tout type de problèmes aux limites, il n'y a pas de raison valable de se restreindre uniquement à des paramètres entiers. Aussi parlerons-nous de fonctions de Gegenbauer, comme extension des polynômes de Gegenbauer pour les paramètres entiers.

Il est à remarquer que le choix positif de la variable de séparation $\alpha > 0$ correspond à des problèmes aux limites :

- soit homogène dans la dimension angulaire ϑ ,
- soit inhomogène en dimension radiale, sur un intervalle angulaire complet $\vartheta \in [0, \pi]$, là où il existe une base complète de fonction (les polynômes de Gegenbauer) avec des valeurs propres entières.

Solution des problèmes aux limites homogènes en dimension radiale

La partie radiale se présente ainsi :

Choix $\alpha = -\mu^2$

$$\frac{1}{r^{n-1}} \frac{\partial}{\partial r} \left(r^{n-1} \frac{\partial R(r)}{\partial r} \right) + \mu^2 \frac{R(r)}{r^2} = 0 \quad \text{et} \quad \frac{1}{\sin^{n-2}(\vartheta)} \frac{\partial}{\partial \vartheta} \left(\sin^{n-2}(\vartheta) \frac{\partial \Theta(\vartheta)}{\partial \vartheta} \right) - \mu^2 \Theta(\vartheta) = 0$$

$$\text{Posons } r = e^t \Leftrightarrow t = \text{Log}(r) \Rightarrow \frac{\partial}{\partial r} = \frac{dt}{dr} \frac{\partial}{\partial t} = \frac{1}{r} \frac{\partial}{\partial t} = e^{-t} \frac{\partial}{\partial t} \quad R(r) = r^{-\alpha} U(t) = e^{-\alpha t} U(t)$$

$$\frac{1}{r^{n-1}} \frac{\partial}{\partial r} \left(r^{n-1} \frac{\partial R(r)}{\partial r} \right) + \mu^2 \frac{R(r)}{r^2} = 0 \Rightarrow e^{-nt} \frac{\partial}{\partial t} \left(e^{(n-2)t} \frac{\partial (e^{-\alpha t} U(t))}{\partial t} \right) + \mu^2 e^{-(\alpha+2)t} U(t) = 0$$

$$\text{Il vient} \quad \frac{\partial^2 U(t)}{\partial t^2} + (n-2-2\alpha) \frac{\partial U(t)}{\partial t} + (\mu^2 + \alpha^2 - \alpha(n-2)) U(t) = 0$$

$$\text{Solution sinusoidale si } \alpha = \frac{n-2}{2} \quad \text{et} \quad \mu^2 - \left(\frac{n-2}{2} \right)^2 = \nu^2 > 0$$

$$\frac{\partial^2 U(t)}{\partial t^2} + \left(\mu^2 - \left(\frac{n-2}{2} \right)^2 \right) U(t) = 0 \Rightarrow U(t) = A \cos(\nu t) + B \sin(\nu t)$$

$$\text{Posons } \lambda = \frac{n-2}{2} \Rightarrow R(r) = r^{-\alpha} U(\text{Log}(r)) = \frac{A \cos(\nu \text{Log}(r)) + B \sin(\nu \text{Log}(r))}{r^\lambda}$$

Pour la partie angulaire :

$$\text{Partie angulaire} \leftarrow \mu^2 = \nu^2 + \lambda^2 \quad \text{Posons} \quad z = \cos(\vartheta) \quad dz = -\sin(\vartheta) d\vartheta$$

$$\frac{1}{\sin^{n-2}(\vartheta)} \frac{\partial}{\partial \vartheta} \left(\sin^{n-2}(\vartheta) \frac{\partial \Theta(\vartheta)}{\partial \vartheta} \right) - (\nu^2 + \lambda^2) \Theta(\vartheta) = 0$$

$$\Leftrightarrow (1-z^2) \frac{d^2 \Theta(z)}{dz^2} - (n-1) z \frac{d\Theta(z)}{dz} - (\nu^2 + \lambda^2) \Theta(z) = 0$$

$$\Theta(z) = (1-z^2)^{\frac{3-n}{4}} y(z) \Rightarrow (1-z^2) y''(z) - 2z y'(z) - (\nu^2 + \lambda^2) y(z) = 0$$

$$\text{Solution} \quad \Theta(z) = (1-z^2)^{\frac{3-n}{4}} \left(A P_{\frac{1}{2}+i\nu}^{\pm \frac{n-3}{2}}(z) + B Q_{\frac{1}{2}+i\nu}^{\pm \frac{n-3}{2}}(z) \right) \Leftrightarrow \Theta(z) = (1-z^2)^{\frac{1-2\lambda}{4}} \left(A P_{\frac{1}{2}+i\nu}^{\pm \frac{2\lambda-1}{2}}(z) + B Q_{\frac{1}{2}+i\nu}^{\pm \frac{2\lambda-1}{2}}(z) \right)$$

La partie angulaire est donc une fonction conique de Mehler ! Mais laissons cet aspect des solutions possibles pour revenir aux solutions pour la variable de séparation $\alpha > 0$

Problèmes aux limites de Laplace sur une hypersphère- p-

Solution des problèmes aux limites homogènes en dimension angulaire ou « inhomogènes en dimension radiale sur l'intervalle angulaire complet $[0, \pi]$ »

C'est le cas le plus général qui aboutit aux fonctions de Gegenbauer qui sont plus connues comme solution de première espèce de l'équation différentielle (juste une normalisation différente du paramètre dimensionnel :

$$(1-z^2) \frac{d^2 \Theta(z)}{dz^2} - (2\lambda+1) z \frac{d\Theta(z)}{dz} + \nu(\nu+2\lambda) \Theta(z) = 0$$

Il est clair qu'en posant comme paramètre λ la valeur $(n-2)/2$, on obtient l'équation différentielle précédente. Si maintenant nous partons de l'équation différentielle de Gegenbauer, et introduisons un changement de fonction sous la forme :

$$(1-z^2) \frac{d^2 \Theta(z)}{dz^2} - (2\lambda+1) z \frac{d\Theta(z)}{dz} + \nu(\nu+2\lambda) \Theta(z) = 0 \rightarrow \Theta(z) = (1-z^2)^{\frac{1-2\lambda}{4}} y(z)$$

$$y(z) \text{ solution de : } (1-z^2)y''(z) - 2z y'(z) + \left(\left(\lambda + \nu - \frac{1}{2} \right) \left(\lambda + \nu + \frac{1}{2} \right) - \frac{\left(\frac{1}{2} - \lambda \right)^2}{(1-z^2)} \right) \Theta(z) = 0$$

$$\Leftrightarrow y(z) = C_1 P_{\lambda+\nu-\frac{1}{2}}^{\frac{1}{2}-\lambda}(z) + C_2 Q_{\lambda+\nu-\frac{1}{2}}^{\frac{1}{2}-\lambda}(z)$$

$P_{\mu}^{\nu}(z), Q_{\mu}^{\nu}(z)$ fonctions associées de Legendre de première et deuxième espèce

De même pour l'équation $(1-z^2) \frac{d^2 \Theta(z)}{dz^2} - 2(\lambda+1) z \frac{d\Theta(z)}{dz} + (\nu-\lambda)(\nu+\lambda+1) \Theta(z) = 0$

$$\Theta(z) = (1-z^2)^{\frac{\lambda}{2}} y(z)$$

$$y(z) \text{ solution de : } (1-z^2)y''(z) - 2z y'(z) + \left(\nu(\nu+1) - \frac{\lambda^2}{(1-z^2)} \right) \Theta(z) = 0$$

$$\Leftrightarrow y(z) = C_1 P_{\nu}^{\lambda}(z) + C_2 Q_{\nu}^{\lambda}(z) \Leftrightarrow \Theta(z) = (1-z^2)^{\frac{\lambda}{2}} (C_1 P_{\nu}^{\lambda}(z) + C_2 Q_{\nu}^{\lambda}(z))$$

Donc deux solutions indépendantes de l'équation de Gegenbauer sont :

$$(1-z^2)y''(z) - (2\lambda+1) z y'(z) + \nu(\nu+2\lambda)y(z) = 0$$

$$y(z) = (1-z^2)^{\frac{1-2\lambda}{4}} \left(C_1 P_{\lambda+\nu-\frac{1}{2}}^{\frac{1}{2}-\lambda}(z) + C_2 Q_{\lambda+\nu-\frac{1}{2}}^{\frac{1}{2}-\lambda}(z) \right) \text{ or } \frac{1-2\lambda}{4} = \frac{3-n}{4}$$

$$\Rightarrow y(z) = (1-z^2)^{\frac{3-n}{4}} \left(C_1 P_{\frac{n-3+2\nu}{2}}^{\frac{3-n}{2}}(z) + C_2 Q_{\frac{n-3+2\nu}{2}}^{\frac{3-n}{2}}(z) \right)$$

Construction des fonctions de Gegenbauer de première et deuxième espèce sur l'intervalle $[-1,1]$

Les fonctions de Gegenbauer de première espèce peuvent se définir comme étant les solutions de première espèce de l'équation différentielle. Et suivant la normalisation communément admise, on écrit la relation avec les fonctions associées de Legendre comme suit :

$$(1-z^2)y''(z) - (2\lambda+1)zy'(z) + \nu(\nu+2\lambda)y(z) = 0$$

$$y(z) = (1-z^2)^{\frac{1-2\lambda}{4}} \left(C_1 P_{\lambda+\nu-\frac{1}{2}}^{\frac{1}{2}-\lambda}(z) + C_2 Q_{\lambda+\nu-\frac{1}{2}}^{\frac{1}{2}-\lambda}(z) \right) \quad \text{or} \quad \frac{1-2\lambda}{4} = \frac{3-n}{4}$$

$$\Rightarrow C_\nu^\lambda(z) = \frac{2^{\frac{1-2\lambda}{2}} \sqrt{\pi} \Gamma(\nu+2\lambda)}{\Gamma(\nu+1)\Gamma(\lambda)} (1-z^2)^{\frac{1-2\lambda}{4}} P_{\lambda+\nu-\frac{1}{2}}^{\frac{1}{2}-\lambda}(z) \quad C_\nu^{\frac{n-2}{2}}(z) = \frac{2^{\frac{3-n}{2}} \sqrt{\pi} \Gamma(\nu+n-2)}{\Gamma(\nu+1)\Gamma\left(\frac{n-2}{2}\right)} (1-z^2)^{\frac{3-n}{4}} P_{\frac{n-3+2\nu}{2}}^{\frac{3-n}{2}}(z)$$

Notation $C_{(Q),\nu}^\lambda(z)$ des fonctions de deuxième espèce

Pour les fonctions de deuxième espèce, on pourrait les définir comme les solutions de deuxième espèce construite précédemment :

$$C_{(Q),\nu}^\lambda(z) \text{ fonctions de deuxième espèce}$$

$$\Rightarrow C_{(Q),\nu}^\lambda(z) = \frac{2^{\frac{1-2\lambda}{2}} \sqrt{\pi} \Gamma(\nu+2\lambda)}{\Gamma(\nu+1)\Gamma(\lambda)} (1-z^2)^{\frac{1-2\lambda}{4}} Q_{\lambda+\nu-\frac{1}{2}}^{\frac{1}{2}-\lambda}(z) \quad z \in]-1,1[$$

Cela entraîne les formules inverses des fonctions de Gegenbauer vers les fonctions de Legendre associées :

$$\lambda'+\nu'-\frac{1}{2}=\nu \quad \frac{1}{2}-\lambda'=\mu \Leftrightarrow \lambda'=\frac{1}{2}-\mu \quad \nu'=\nu+\frac{1}{2}-\left(\frac{1}{2}-\mu\right)=\nu+\mu \quad 2\lambda'=1-2\mu$$

$$C_{\nu'}^{\lambda'}(z) = \frac{2^{\frac{1-2\lambda'}{2}} \sqrt{\pi} \Gamma(\nu'+2\lambda')}{\Gamma(\nu'+1)\Gamma(\lambda')} (1-z^2)^{\frac{1-2\lambda'}{4}} P_{\lambda'+\nu'-\frac{1}{2}}^{\frac{1}{2}-\lambda'}(z) \quad z \in]-1,1[$$

$$\Rightarrow P_\nu^\mu(z) = \frac{\Gamma(\nu+\mu+1)\Gamma\left(\frac{1}{2}-\mu\right)}{\Gamma(\nu-\mu+1)2^\mu \sqrt{\pi}} \frac{C_{\nu+\mu}^{\frac{1}{2}-\mu}(z)}{(1-z^2)^{\frac{\mu}{2}}} \quad \Gamma(1-2\mu) = \frac{1}{2^{2\mu} \sqrt{\pi}} \Gamma\left(\frac{1-2\mu}{2}\right) \Gamma\left(\frac{2-2\mu}{2}\right)$$

$$\Rightarrow P_\nu^\mu(z) = 2^\mu \frac{\Gamma(\nu+\mu+1)\Gamma(1-2\mu)}{\Gamma(\nu-\mu+1)\Gamma(1-\mu)} \frac{C_{\nu+\mu}^{\frac{1}{2}-\mu}(z)}{(1-z^2)^{\frac{\mu}{2}}} \quad Q_\nu^\mu(z) = 2^\mu \frac{\Gamma(\nu+\mu+1)\Gamma(1-2\mu)}{\Gamma(\nu-\mu+1)\Gamma(1-\mu)} \frac{C_{(Q),\nu+\mu}^{\frac{1}{2}-\mu}(z)}{(1-z^2)^{\frac{\mu}{2}}}$$

Lorsque le paramètre est entier, alors les fonctions de Gegenbauer sont des polynômes. Pour la suite reprenons une approche similaire à celle de Lebedev pour introduire les fonctions de première espèce de Legendre et polynômes du même nom (N.N.Lebedev-SPECIAL FUNCTIONS AND THEIR APPLICATIONS, Prentice Hall 1965).

Problèmes aux limites de Laplace sur une hypersphère- p-

Ce dernier introduit le lien des solutions avec les fonctions hypergéométriques, en transformant l'équation de départ en équation différentielle hypergéométrique :

$$t = \frac{1}{2}(1-z) \Rightarrow (1-z^2)y''(z) - (n-1)zy'(z) + v(v+n-2)y(z) = 0$$

$$\Leftrightarrow t(1-t)y''(t) + \frac{(n-1)}{2}(1-2t)y'(t) + v(v+n-2)y(t) = 0$$

Equation hypergéométrique ${}_2F_1$

$$t(1-t)y''(t) + (\gamma - (\alpha + \beta + 1)t)y'(t) - \alpha\beta y(t) = 0$$

$$\Rightarrow \left\{ \begin{array}{l} \alpha = -v \\ \beta = (v+n-2) \\ \gamma = \frac{(n-1)}{2} \end{array} \right\} \Rightarrow \left\{ \begin{array}{l} \text{Solution } y(t) = {}_2F_1\left(-v, v+n-2; \frac{n-1}{2}; t\right) \Leftrightarrow y(z) = {}_2F_1\left(-v, v+n-2; \frac{n-1}{2}; \frac{1-z}{2}\right) \\ \text{Valable pour } |z| \leq 1 \end{array} \right.$$

Donc la première solution sur l'intervalle $[-1,1]$, soit celle de première espèce, est proportionnelle à :

$$C_v^{\frac{n-2}{2}}(z) \propto {}_2F_1\left(-v, v+n-2; \frac{n-1}{2}; \frac{1-z}{2}\right) \quad \lambda = \frac{n-2}{2} \quad \text{or } z=1 \rightarrow {}_2F_1\left(-v, v+n-2; \frac{n-1}{2}; 0\right) = 1$$

$$\text{et } C_v^\lambda(1) = \frac{\Gamma(v+2\lambda)}{\Gamma(v+1)\Gamma(2\lambda)} \Rightarrow C_v^\lambda(z) = \frac{\Gamma(v+2\lambda)}{\Gamma(v+1)\Gamma(2\lambda)} {}_2F_1\left(-v, v+2\lambda; \lambda + \frac{1}{2}; \frac{1-z}{2}\right)$$

$$C_v^{\frac{n-2}{2}}(z) = \frac{\Gamma(v+n-2)}{\Gamma(v+1)\Gamma(n-2)} {}_2F_1\left(-v, v+n-2; \frac{n-1}{2}; \frac{1-z}{2}\right)$$

De plus les solutions ont deux propriétés supplémentaires dues à l'invariance de l'équation différentielle :

$$C_v^\lambda(z) \text{ solution} \Rightarrow C_{2-v-n}^\lambda(z) \text{ solution}$$

$$C_{(Q),v}^\lambda(z) \text{ solution} \Rightarrow C_{(Q),2-v-n}^\lambda(z) \text{ solution}$$

Les deux solutions de l'équation de Gegenbauer ont été construites sur l'intervalle $[-1,+1]$. Même si les problèmes aux limites exposés ici ne concernent que cet intervalle, on peut parler de leur continuation analytique au delà, sur l'intervalle $]1,\infty[$.

Construction d'une seconde solution indépendante de l'équation de Gegenbauer sur l'intervalle $1 < z < \infty$

Les deux solutions dans l'intervalle $[-1, +1]$ peuvent être prolongées analytiquement notamment pour $z > 1$, en utilisant la prolongation analytique des fonctions de Legendre associées. Dans ce cas les fonctions de Gegenbauer de première et deuxième espèce possèdent les définitions suivantes :

$$C_v^\lambda(z) = \frac{2^{\frac{1-2\lambda}{2}} \sqrt{\pi} \Gamma(v+2\lambda)}{\Gamma(v+1)\Gamma(\lambda)} (z^2-1)^{\frac{1-2\lambda}{4}} P_{\lambda+v-\frac{1}{2}}^{\frac{1}{2}-\lambda}(z) \quad z > 1$$

$$C_{(Q),v}^\lambda(z) = \frac{2^{\frac{1-2\lambda}{2}} \sqrt{\pi} \Gamma(v+2\lambda)}{\Gamma(v+1)\Gamma(\lambda)} (z^2-1)^{\frac{1-2\lambda}{4}} Q_{\lambda+v-\frac{1}{2}}^{\frac{1}{2}-\lambda}(z) \quad z > 1$$

Les fonctions de Legendre associées de première espèce sont à valeur réelle lorsque $z > 1$. Mais il n'en n'est pas de même pour la fonction de Legendre associées de deuxième espèce. Dont la valeur est imaginaire. Pour illustrer la valeur imaginaire prenons le développement en fonction hypergéométrique de la fonction de Legendre associée de deuxième espèce, selon les formules connues sur $z > 1$ (voir NIST Handbook of Mathematical Functions, Legendre Functions, formules 14.3.7, voir aussi formules données par les tableaux pages 134 et 135 de A.Erdelyi.H.Bateman « HIGHER_TRANSCENDENTAL_FUNCTIONS_VOL_I » en formule 41 :

$$Q_v^\mu(z) = e^{i\mu\pi} \frac{\sqrt{\pi} \Gamma(v+\mu+1)}{2^{v+1} \Gamma\left(v+\frac{3}{2}\right)} (z^2-1)^{\frac{\mu}{2}} {}_2F_1\left(\frac{v+\mu+2}{2}, \frac{v+\mu+1}{2}; v+\frac{3}{2}; \frac{1}{z^2}\right) \quad v+\mu \neq -1, -2, -3$$

Et en formule 39 :

$$Q_v^\mu(z) = e^{i\mu\pi} \frac{\sqrt{\pi} \Gamma(v+\mu+1)}{2^{v+1} \Gamma\left(v+\frac{3}{2}\right)} (z^2-1)^{-\frac{v+1}{2}} {}_2F_1\left(\frac{v+1-\mu}{2}, \frac{v+1+\mu}{2}; v+\frac{3}{2}; \frac{1}{1-z^2}\right)$$

et 14.3.19, voir aussi les formules données par les tableaux pages 132 et 133 de A.Erdelyi.H.Bateman « HIGHER_TRANSCENDENTAL_FUNCTIONS_VOL_I » en formule 37 :

$$Q_v^\mu(z) = e^{i\mu\pi} 2^v \frac{\Gamma(v+\mu+1)\Gamma(v+1)}{\Gamma(2v+2)} (z+1)^{\frac{\mu}{2}} (z-1)^{-\frac{\mu}{2}-v-1} {}_2F_1\left(v+1, v+\mu+1; 2v+2; \frac{2}{1-z}\right)$$

Et en formule 36 :

$$Q_v^\mu(z) = e^{i\mu\pi} 2^v \frac{\Gamma(v+\mu+1)\Gamma(v+1)}{\Gamma(2v+2)} (z+1)^{\frac{\mu}{2}-v-1} (z-1)^{-\frac{\mu}{2}} {}_2F_1\left(v+1, v-\mu+1; 2v+2; \frac{2}{1+z}\right)$$

Problèmes aux limites de Laplace sur une hypersphère- p-

La valeur imaginaire est donc essentiellement créée par le facteur multiplicatif : $e^{i\mu\pi}$. Injectons la première formule dans la solution de deuxième espèce de l'équation de Gegenbauer, il vient :

$$\left\{ \begin{array}{l} C_{(\mathcal{Q}),\nu}^{\lambda}(z) = \frac{2^{\frac{1-2\lambda}{2}} \sqrt{\pi} \Gamma(\nu+2\lambda)}{\Gamma(\nu+1)\Gamma(\lambda)} (z^2-1)^{\frac{1-2\lambda}{4}} Q_{\lambda+\nu-\frac{1}{2}}^{\frac{1}{2}-\lambda}(z) \quad 1 < z < \infty \\ Q_{\nu}^{\mu}(z) = e^{i\mu\pi} \frac{\sqrt{\pi} \Gamma(\nu+\mu+1)}{2^{\nu+1} \Gamma\left(\nu+\frac{3}{2}\right) z^{\nu+\mu+1}} (z^2-1)^{\frac{\mu}{2}} {}_2F_1\left(\frac{\nu+\mu+2}{2}, \frac{\nu+\mu+1}{2}; \nu+\frac{3}{2}; \frac{1}{z^2}\right) \quad \nu+\mu \neq -1, -2, -3 \quad 1 < z < \infty \end{array} \right.$$

$$\Rightarrow Q_{\lambda+\nu-\frac{1}{2}}^{\frac{1}{2}-\lambda}(z) = e^{i\left(\frac{1}{2}-\lambda\right)\pi} \frac{\sqrt{\pi} \Gamma(\nu+1)}{2^{\lambda+\nu+\frac{1}{2}} \Gamma(\lambda+\nu+1) z^{\nu+1}} (z^2-1)^{\frac{1-2\lambda}{4}} {}_2F_1\left(\frac{\nu+2}{2}, \frac{\nu+1}{2}; \lambda+\nu+1; \frac{1}{z^2}\right)$$

$$\Rightarrow C_{(\mathcal{Q}),\nu}^{\lambda}(z) = e^{i\left(\frac{1}{2}-\lambda\right)\pi} \frac{\pi \Gamma(\nu+2\lambda)}{2^{2\lambda+\nu} \Gamma(\lambda) \Gamma(\lambda+\nu+1) z^{\nu+2\lambda}} \left(1-\frac{1}{z^2}\right)^{\frac{1-2\lambda}{2}} {}_2F_1\left(\frac{\nu}{2}+1, \frac{\nu+1}{2}; \lambda+\nu+1; \frac{1}{z^2}\right) \quad \nu \neq -1, -2, -3 \quad 1 < z < \infty$$

Pour la deuxième formule, il vient :

$$\left\{ \begin{array}{l} C_{(\mathcal{Q}),\nu}^{\lambda}(z) = \frac{2^{\frac{1-2\lambda}{2}} \sqrt{\pi} \Gamma(\nu+2\lambda)}{\Gamma(\nu+1)\Gamma(\lambda)} (z^2-1)^{\frac{1-2\lambda}{4}} Q_{\lambda+\nu-\frac{1}{2}}^{\frac{1}{2}-\lambda}(z) \quad 1 < z < \infty \\ Q_{\nu}^{\mu}(z) = e^{i\mu\pi} \frac{\sqrt{\pi} \Gamma(\nu+\mu+1)}{2^{\nu+1} \Gamma\left(\nu+\frac{3}{2}\right)} (z^2-1)^{\frac{\nu+1}{2}} {}_2F_1\left(\frac{\nu+\mu+1}{2}, \frac{\nu-\mu+1}{2}; \nu+\frac{3}{2}; \frac{1}{1-z^2}\right) \quad 1 < z < \infty \end{array} \right.$$

$$\Rightarrow Q_{\lambda+\nu-\frac{1}{2}}^{\frac{1}{2}-\lambda}(z) = e^{i\left(\frac{1}{2}-\lambda\right)\pi} \frac{\sqrt{\pi} \Gamma(\nu+1)}{2^{\lambda+\nu+\frac{1}{2}} \Gamma(\lambda+\nu+1)} (z^2-1)^{\frac{2\lambda+2\nu+1}{4}} {}_2F_1\left(\frac{\nu+1}{2}, \frac{2\lambda+\nu}{2}; \lambda+\nu+1; \frac{1}{1-z^2}\right)$$

$$\Rightarrow C_{(\mathcal{Q}),\nu}^{\lambda}(z) = e^{i\left(\frac{1}{2}-\lambda\right)\pi} \pi \frac{2^{-2\lambda-\nu} \Gamma(\nu+2\lambda)}{\Gamma(\lambda+\nu+1)\Gamma(\lambda)} (z^2-1)^{\frac{2\lambda+\nu}{2}} {}_2F_1\left(\frac{\nu+1}{2}, \frac{2\lambda+\nu}{2}; \lambda+\nu+1; \frac{1}{1-z^2}\right) \quad \nu \neq -1, -3, \dots \quad 1 < z < \infty$$

Injectons maintenant la troisième formule dans la solution de deuxième espèce de l'équation de Gegenbauer, il vient :

$$\begin{aligned}
 & \begin{cases} C_{(Q),\nu}^{\lambda}(z) = \frac{2^{\frac{1-2\lambda}{2}} \sqrt{\pi} \Gamma(\nu+2\lambda)}{\Gamma(\nu+1)\Gamma(\lambda)} (z^2-1)^{\frac{1-2\lambda}{4}} Q_{\lambda+\nu-\frac{1}{2}}^{\frac{1-\lambda}{2}}(z) & 1 < z < \infty \\ Q_{\nu}^{\mu}(z) = e^{i\mu\pi} 2^{\nu} \Gamma(\nu+\mu+1) \frac{\Gamma(\nu+1)}{\Gamma(2\nu+2)} (z+1)^{\frac{\mu}{2}} (z-1)^{-\frac{\mu}{2}-\nu-1} {}_2F_1\left(\nu+1, \nu+\mu+1; 2\nu+2; \frac{2}{1-z}\right) \end{cases} \\
 & \Rightarrow Q_{\lambda+\nu-\frac{1}{2}}^{\frac{1-\lambda}{2}}(z) = 2^{\lambda+\nu-\frac{1}{2}} e^{i\left(\frac{1-\lambda}{2}\right)\pi} \Gamma\left(\lambda+\nu+\frac{1}{2}\right) \frac{\Gamma(\nu+1)}{\Gamma(2\lambda+2\nu+1)} (z+1)^{\frac{1-2\lambda}{4}} (z-1)^{-\frac{3+2\lambda}{4}-\nu} {}_2F_1\left(\lambda+\nu+\frac{1}{2}, \nu+1; 2\lambda+2\nu+1; \frac{2}{1-z}\right) \\
 & \Rightarrow C_{(Q),\nu}^{\lambda}(z) = \frac{2^{\nu} e^{i\left(\frac{1-\lambda}{2}\right)\pi} \sqrt{\pi} \Gamma(\nu+2\lambda) \Gamma\left(\lambda+\nu+\frac{1}{2}\right)}{\Gamma(\lambda)\Gamma(2\lambda+2\nu+1)} (z-1)^{\frac{1}{2}-\nu-\lambda} (z+1)^{\frac{1-2\lambda}{2}} {}_2F_1\left(\lambda+\nu+\frac{1}{2}, \nu+1; 2\lambda+2\nu+1; \frac{2}{1-z}\right) \\
 & \text{De plus } {}_2F_1\left(\lambda+\nu+\frac{1}{2}, \nu+1; 2\lambda+2\nu+1; \frac{2}{1-z}\right) = \left(\frac{1+z}{z-1}\right)^{\lambda-\frac{1}{2}} {}_2F_1\left(\lambda+\nu+\frac{1}{2}, 2\lambda+\nu; 2\lambda+2\nu+1; \frac{2}{1-z}\right) \\
 & \Rightarrow C_{(Q),\nu}^{\lambda}(z) = \frac{2^{\nu} e^{i\left(\frac{1-\lambda}{2}\right)\pi} \sqrt{\pi} \Gamma(\nu+2\lambda) \Gamma\left(\lambda+\nu+\frac{1}{2}\right)}{\Gamma(\lambda)\Gamma(2\lambda+2\nu+1)} (z-1)^{-\nu-2\lambda} {}_2F_1\left(\lambda+\nu+\frac{1}{2}, 2\lambda+\nu; 2\lambda+2\nu+1; \frac{2}{1-z}\right) \\
 & \text{Enfin } \Gamma(2\lambda+2\nu+1) = \frac{2^{2\lambda+2\nu}}{\sqrt{\pi}} \Gamma\left(\lambda+\nu+\frac{1}{2}\right) \Gamma(\lambda+\nu+1) \\
 & \Rightarrow C_{(Q),\nu}^{\lambda}(z) = \frac{2^{-\nu-2\lambda} e^{i\left(\frac{1-\lambda}{2}\right)\pi} \pi \Gamma(\nu+2\lambda)}{\Gamma(\lambda)\Gamma(\lambda+\nu+1)} (z-1)^{-\nu-2\lambda} {}_2F_1\left(\lambda+\nu+\frac{1}{2}, 2\lambda+\nu; 2\lambda+2\nu+1; \frac{2}{1-z}\right) \quad 1 < z < \infty
 \end{aligned}$$

Et la quatrième formule dans la solution de deuxième espèce de l'équation de Gegenbauer, il vient :

$$\begin{aligned}
 & \begin{cases} C_{(Q),\nu}^{\lambda}(z) = \frac{2^{\frac{1-2\lambda}{2}} \sqrt{\pi} \Gamma(\nu+2\lambda)}{\Gamma(\nu+1)\Gamma(\lambda)} (z^2-1)^{\frac{1-2\lambda}{4}} Q_{\lambda+\nu-\frac{1}{2}}^{\frac{1-\lambda}{2}}(z) & 1 < z < \infty \\ Q_{\nu}^{\mu}(z) = e^{i\mu\pi} 2^{\nu} \frac{\Gamma(\nu+\mu+1)\Gamma(\nu+1)}{\Gamma(2\nu+2)} (z+1)^{\frac{\mu}{2}-\nu-1} (z-1)^{\frac{\mu}{2}} {}_2F_1\left(\nu+1, \nu-\mu+1; 2\nu+2; \frac{2}{1+z}\right) \end{cases} \\
 & \Rightarrow Q_{\lambda+\nu-\frac{1}{2}}^{\frac{1-\lambda}{2}}(z) = 2^{\lambda+\nu-\frac{1}{2}} e^{i\left(\frac{1-\lambda}{2}\right)\pi} \Gamma\left(\lambda+\nu+\frac{1}{2}\right) \frac{\Gamma(\nu+1)}{\Gamma(2\lambda+2\nu+1)} (z+1)^{-\frac{1+6\lambda}{4}-\nu} (z-1)^{-\frac{1-2\lambda}{4}} {}_2F_1\left(\lambda+\nu+\frac{1}{2}, 2\lambda+\nu; 2\lambda+2\nu+1; \frac{2}{1+z}\right) \\
 & \Rightarrow C_{(Q),\nu}^{\lambda}(z) = \frac{2^{\nu} e^{i\left(\frac{1-\lambda}{2}\right)\pi} \sqrt{\pi} \Gamma(\nu+2\lambda) \Gamma\left(\lambda+\nu+\frac{1}{2}\right)}{\Gamma(\lambda)\Gamma(2\lambda+2\nu+1)} (z+1)^{-2\lambda-\nu} {}_2F_1\left(\lambda+\nu+\frac{1}{2}, 2\lambda+\nu; 2\lambda+2\nu+1; \frac{2}{1+z}\right) \\
 & \text{Enfin } \Gamma(2\lambda+2\nu+1) = \frac{2^{2\lambda+2\nu}}{\sqrt{\pi}} \Gamma\left(\lambda+\nu+\frac{1}{2}\right) \Gamma(\lambda+\nu+1) \\
 & \Rightarrow C_{(Q),\nu}^{\lambda}(z) = \frac{2^{-\nu-2\lambda} e^{i\left(\frac{1-\lambda}{2}\right)\pi} \pi \Gamma(\nu+2\lambda)}{\Gamma(\lambda)\Gamma(\lambda+\nu+1)} (z+1)^{-2\lambda-\nu} {}_2F_1\left(\lambda+\nu+\frac{1}{2}, 2\lambda+\nu; 2\lambda+2\nu+1; \frac{2}{1+z}\right) \quad 1 < z < \infty
 \end{aligned}$$

Problèmes aux limites de Laplace sur une hypersphère- p-

Toujours en s'inspirant des travaux de Lebedev, réalisons une transformation de variables et de la solution cherchée dans l'équation de départ, en travaillant avec le paramètre de dimension n :

$$t = \frac{1}{z^2}; y(z) = z^{-\alpha} u(t) \Rightarrow t^{\alpha/2} u(t) \Rightarrow \begin{cases} \frac{dy(z)}{dz} = -2t^{3/2} \frac{d(t^{\alpha/2} u(t))}{dt} \\ \frac{d^2 y(z)}{dz^2} = -2t^{3/2} \frac{d}{dt} \left(-2t^{3/2} \frac{d(t^{\alpha/2} u(t))}{dt} \right) \end{cases}$$

$$(1-z^2)y''(z) + (1-n)zy'(z) + v(v+n-2)y(z) = 0 \quad \text{avec} \quad \alpha = v+n-2 = v+2\lambda$$

$$\Leftrightarrow t(1-t)u''(t) + \left[\frac{2v+n}{2} - \frac{2v+2n-1}{2}t \right] u'(t) - \left(\frac{v+n-1}{2} \right) \left(\frac{v+n-2}{2} \right) u(t) = 0$$

Equation hypergéométrique ${}_2F_1$

$$t(1-t)u''(t) + (\gamma - (\alpha + \beta + 1)t)u'(t) - \alpha\beta u(t) = 0$$

$$\Rightarrow \left\{ \begin{array}{l} \alpha = \frac{v+n-1}{2} = \frac{v+2\lambda-1}{2} \\ \beta = \frac{v+n-2}{2} = \frac{v+2\lambda}{2} \\ \gamma = \frac{2v+n}{2} = v+\lambda+1 \end{array} \right\} \Rightarrow \left\{ \begin{array}{l} \text{Solution} \left\{ \begin{array}{l} y(z) \propto \frac{1}{z^{v+n-2}} {}_2F_1 \left(\frac{v+n-1}{2}, \frac{v+n-2}{2}; v+\frac{n}{2}; \frac{1}{z^2} \right) \\ y(z) \propto \frac{1}{z^{v+2\lambda}} {}_2F_1 \left(\frac{v+2\lambda+1}{2}, \frac{v+2\lambda}{2}; v+\lambda+1; \frac{1}{z^2} \right) \end{array} \right. \\ \text{valable pour } |z| > 1 \end{array} \right.$$

Dans ces conditions on peut proposer un nouveau développement en fonction hypergéométrique de la fonction de Gegenbauer de deuxième espèce :

$$C_{(Q),v}^{\lambda}(z) = e^{i\left(\frac{1}{2}-\lambda\right)\pi} \frac{\sqrt{\pi}\Gamma(v+2\lambda)}{2^{2\lambda+v}\Gamma(\lambda)\Gamma(v+\lambda+1)z^{v+2\lambda}} \left(1 - \frac{1}{z^2}\right)^{\frac{1-2\lambda}{2}} {}_2F_1 \left(\frac{v+2}{2}, \frac{v+1}{2}; v+\lambda+1; \frac{1}{z^2} \right) \quad 1 < z < \infty$$

$$\Rightarrow C_{(Q),v}^{\lambda}(z) = e^{i\left(\frac{1}{2}-\lambda\right)\pi} \frac{\sqrt{\pi}\Gamma(v+2\lambda)}{2^{2\lambda+v}\Gamma(\lambda)\Gamma(v+\lambda+1)z^{v+2\lambda}} {}_2F_1 \left(\frac{v+2\lambda+1}{2}, \frac{v+2\lambda}{2}; v+\lambda+1; \frac{1}{z^2} \right) \quad 1 < z < \infty$$

En juxtaposant les graphes des deux fonctions pour diverses valeurs de paramètre, on constate que

les fonctions semblent bien identiques (en neutralisant le facteur multiplicatif $e^{i\left(\frac{1}{2}-\lambda\right)\pi}$).

Wronskien sur l'intervalle [-1,1]

Les fonctions de Gegenbauer sont donc telles que définies comme suit :

$$C_v^\lambda(z) = \frac{2^{\frac{1-2\lambda}{2}} \sqrt{\pi} \Gamma(v+2\lambda)}{\Gamma(v+1)\Gamma(\lambda)} (1-z^2)^{\frac{1-2\lambda}{4}} P_{\lambda+v-\frac{1}{2}}^{\frac{1}{2}-\lambda}(z) \quad \text{fonctions de Gegenbauer de première espèce}$$

$$C_{(Q),v}^\lambda(z) = \frac{2^{\frac{1-2\lambda}{2}} \sqrt{\pi} \Gamma(v+2\lambda)}{\Gamma(v+1)\Gamma(\lambda)} (1-z^2)^{\frac{1-2\lambda}{4}} Q_{\lambda+v-\frac{1}{2}}^{\frac{1}{2}-\lambda}(z) \quad \text{fonctions de Gegenbauer de deuxième espèce}$$

Dans ce cas on peut tenter de calculer le Wronskien. Tout d'abord on sait que le Wronskien est par définition proportionnelle à l'expression suivante :

$$\left. \begin{aligned} \frac{1}{(1-z^2)^{\frac{n-3}{2}}} \left(\frac{d}{dz} \left((1-z^2)^{\frac{n-1}{2}} \frac{dy_1(z)}{dz} \right) \right) + v(v+n-2)y_1(z) &= 0 \\ \frac{1}{(1-z^2)^{\frac{n-3}{2}}} \left(\frac{d}{dz} \left((1-z^2)^{\frac{n-1}{2}} \frac{dy_2(z)}{dz} \right) \right) + v(v+n-2)y_2(z) &= 0 \end{aligned} \right\} \Rightarrow \frac{d}{dz} \left((1-z^2)^{\frac{n-1}{2}} W(y_1(z), y_2(z)) \right) = 0$$

$$\Rightarrow W(y_1(z), y_2(z)) = \frac{C}{(1-z^2)^{\frac{n-1}{2}}}$$

Calculons le explicitement à partir de la forme choisie pour les solutions de première et deuxième espèce :

$$\begin{aligned} W(f(z)y_1(z), f(z)y_2(z)) &= (f(z))^2 W(y_1(z), y_2(z)) \Rightarrow \\ W(C_v^\lambda(z), C_{(Q),v}^\lambda(z)) &= \left(\frac{2^{\frac{1-2\lambda}{2}} \sqrt{\pi} \Gamma(v+2\lambda)}{\Gamma(v+1)\Gamma(\lambda)} (1-z^2)^{\frac{1-2\lambda}{4}} \right)^2 W\left(P_{\lambda+v-\frac{1}{2}}^{\frac{1}{2}-\lambda}(z), Q_{\lambda+v-\frac{1}{2}}^{\frac{1}{2}-\lambda}(z)\right) \\ W(P_v^\mu(z), Q_v^\mu(z)) &= \frac{1}{1-z^2} \frac{\Gamma(v+\mu+1)}{\Gamma(v-\mu+1)} \Rightarrow W\left(P_{\lambda+v-\frac{1}{2}}^{\frac{1}{2}-\lambda}(z), Q_{\lambda+v-\frac{1}{2}}^{\frac{1}{2}-\lambda}(z)\right) = \frac{1}{1-z^2} \frac{\Gamma(v+1)}{\Gamma(2\lambda+v)} \\ \Rightarrow W(C_v^\lambda(z), C_{(Q),v}^\lambda(z)) &= \frac{2^{1-2\lambda} \pi \Gamma(v+2\lambda)}{\Gamma(v+1)\Gamma(\lambda)^2} \frac{1}{(1-z^2)^{\frac{1+2\lambda}{2}}} \\ \Rightarrow W(C_v^\lambda(z), C_{(Q),v}^\lambda(z)) &= \frac{2^{3-n} \pi \Gamma(v+n-2)}{\Gamma(v+1)\Gamma\left(\frac{n-2}{2}\right)^2} \frac{1}{(1-z^2)^{\frac{n-1}{2}}} \end{aligned}$$

Wronskien pour $z > 1$

Les fonctions de Gegenbauer sont définies pour $z > 1$ comme suit :

$$C_v^\lambda(z) = \frac{2^{\frac{1-2\lambda}{2}} \sqrt{\pi} \Gamma(v+2\lambda)}{\Gamma(v+1)\Gamma(\lambda)} (z^2 - 1)^{\frac{1-2\lambda}{4}} P_{\lambda+v-\frac{1}{2}}^{\frac{1}{2}-\lambda}(z) \quad \text{fonctions de Gegenbauer de première espèce}$$

$$C_{(Q),v}^\lambda(z) = \frac{2^{\frac{1-2\lambda}{2}} \sqrt{\pi} \Gamma(v+2\lambda)}{\Gamma(v+1)\Gamma(\lambda)} (z^2 - 1)^{\frac{1-2\lambda}{4}} Q_{\lambda+v-\frac{1}{2}}^{\frac{1}{2}-\lambda}(z) \quad \text{fonctions de Gegenbauer de deuxième espèce}$$

Dans ce cas on peut tenter de calculer le Wronskien. Tout d'abord on sait que le Wronskien est par définition proportionnelle à l'expression suivante :

$$\left. \begin{aligned} \frac{1}{(1-z^2)^{\frac{n-3}{2}}} \left(\frac{d}{dz} \left((1-z^2)^{\frac{n-1}{2}} \frac{dy_1(z)}{dz} \right) \right) + v(v+n-2)y_1(z) &= 0 \\ \frac{1}{(1-z^2)^{\frac{n-3}{2}}} \left(\frac{d}{dz} \left((1-z^2)^{\frac{n-1}{2}} \frac{dy_2(z)}{dz} \right) \right) + v(v+n-2)y_2(z) &= 0 \end{aligned} \right\} \Rightarrow \frac{d}{dz} \left((1-z^2)^{\frac{n-1}{2}} W(y_1(z), y_2(z)) \right) = 0$$

$$\Rightarrow W(y_1(z), y_2(z)) = \frac{C}{(1-z^2)^{\frac{n-1}{2}}}$$

Calculons le explicitement à partir de la forme choisie pour les solutions de première et deuxième espèce :

$$W(f(z)y_1(z), f(z)y_2(z)) = (f(z))^2 W(y_1(z), y_2(z)) \Rightarrow$$

$$W(C_v^\lambda(z), C_{(Q),v}^\lambda(z)) = \left(\frac{2^{\frac{1-2\lambda}{2}} \sqrt{\pi} \Gamma(v+2\lambda)}{\Gamma(v+1)\Gamma(\lambda)} (z^2 - 1)^{\frac{1-2\lambda}{4}} \right)^2 W\left(P_{\lambda+v-\frac{1}{2}}^{\frac{1}{2}-\lambda}(z), Q_{\lambda+v-\frac{1}{2}}^{\frac{1}{2}-\lambda}(z) \right)$$

$$W(P_v^\mu(z), Q_v^\mu(z)) = -\frac{e^{i\mu\pi}}{z^2 - 1} \frac{\Gamma(v+\mu+1)}{\Gamma(v-\mu+1)} \Rightarrow W\left(P_{\lambda+v-\frac{1}{2}}^{\frac{1}{2}-\lambda}(z), Q_{\lambda+v-\frac{1}{2}}^{\frac{1}{2}-\lambda}(z) \right) = -\frac{e^{i\left(\frac{1}{2}-\lambda\right)\pi}}{z^2 - 1} \frac{\Gamma(v+1)}{\Gamma(2\lambda+v)}$$

$$\Rightarrow W(C_v^\lambda(z), C_{(Q),v}^\lambda(z)) = -\frac{2^{1-2\lambda} \pi \Gamma(v+2\lambda)}{\Gamma(v+1)\Gamma(\lambda)^2} \frac{e^{i\left(\frac{1-2\lambda}{2}\right)\pi}}{(z^2 - 1)^{\frac{1+2\lambda}{2}}}$$

$$\Rightarrow W(C_v^\lambda(z), C_{(Q),v}^\lambda(z)) = -\frac{2^{3-n} \pi \Gamma(v+n-2)}{\Gamma(v+1)\Gamma\left(\frac{n-2}{2}\right)^2} \frac{e^{i\left(\frac{3-n}{2}\right)\pi}}{(z^2 - 1)^{\frac{n-1}{2}}}$$

Fonctions de Gegenbauer conique ou fonctions hyperconiques

Pour l'instant je n'ai pas trouvé de nom dans la littérature pour ces fonctions qui sont construites de la même que sont construites les fonctions coniques de Mehler. Je m'explique revenons à l'équation différentielle des fonctions de Gegenbauer (ultra-sphériques)

$$(1-z^2)y''(z) - (2\lambda+1)z y'(z) + \nu(\nu+2\lambda)y(z) = 0$$

Supposons que le degré ν est un nombre complexe de telle manière que $\nu(\nu+2\lambda)$ reste réel :

$$\begin{aligned} \nu = \alpha + i\tau &\Rightarrow \nu(\nu+2\lambda) = (\alpha + i\tau)(\alpha + 2\lambda + i\tau) \Rightarrow \alpha = -\alpha - 2\lambda \Rightarrow \alpha = -\lambda \\ \Leftrightarrow \nu(\nu+2\lambda) &= (\lambda + i\tau)(-\lambda + i\tau) = -\lambda^2 - \tau^2 \end{aligned}$$

L'équation différentielle devient alors :

$$(1-z^2)y''(z) - (2\lambda+1)z y'(z) - (\lambda^2 + \tau^2)y(z) = 0$$

Il s'agit donc de construire les fonctions de Gegenbauer de première et deuxième espèce de degré $-\lambda+i\tau$:

$$\begin{cases} C_{-\lambda+i\tau}^\lambda(z) = \frac{2^{\frac{1-2\lambda}{2}} \sqrt{\pi}}{\Gamma(\lambda)} \frac{\Gamma(\lambda+i\tau)}{\Gamma(1-\lambda+i\tau)} (1-z^2)^{\frac{1-2\lambda}{4}} P_{\frac{1}{2}+i\tau}^{\frac{1}{2}-\lambda}(z) \\ C_{(Q),-\lambda+i\tau}^\lambda(z) = \frac{2^{\frac{1-2\lambda}{2}} \sqrt{\pi}}{\Gamma(\lambda)} \frac{\Gamma(\lambda+i\tau)}{\Gamma(1-\lambda+i\tau)} (1-z^2)^{\frac{1-2\lambda}{4}} Q_{\frac{1}{2}+i\tau}^{\frac{1}{2}-\lambda}(z) \end{cases} \quad z \in [-1, +1]$$

$$\begin{cases} C_{-\lambda+i\tau}^\lambda(z) = \frac{2^{\frac{1-2\lambda}{2}} \sqrt{\pi}}{\Gamma(\lambda)} \frac{\Gamma(\lambda+i\tau)}{\Gamma(1-\lambda+i\tau)} (z^2-1)^{\frac{1-2\lambda}{4}} P_{\frac{1}{2}+i\tau}^{\frac{1}{2}-\lambda}(z) \\ C_{(Q),-\lambda+i\tau}^\lambda(z) = \frac{2^{\frac{1-2\lambda}{2}} \sqrt{\pi}}{\Gamma(\lambda)} \frac{\Gamma(\lambda+i\tau)}{\Gamma(1-\lambda+i\tau)} (z^2-1)^{\frac{1-2\lambda}{4}} Q_{\frac{1}{2}+i\tau}^{\frac{1}{2}-\lambda}(z) \end{cases} \quad z > 1$$

Posons : $A(\lambda, \tau) = \frac{\Gamma(\lambda+i\tau)}{\Gamma(1-\lambda+i\tau)}$, comme l'on a :

$$\overline{A(\lambda, \tau)} = \frac{\Gamma(1-\lambda+i\tau)}{\Gamma(\lambda+i\tau)} \frac{\Gamma(\lambda+i\tau)}{\Gamma(1-\lambda+i\tau)} \frac{\Gamma(\lambda-i\tau)}{\Gamma(1-\lambda-i\tau)} = \frac{\sin(\pi(\lambda+i\tau))}{\sin(\pi(\lambda-i\tau))} \frac{\Gamma(\lambda+i\tau)}{\Gamma(1-\lambda+i\tau)} \Rightarrow \overline{A(\lambda, \tau)} = \frac{\sin(\pi(\lambda+i\tau))}{\sin(\pi(\lambda-i\tau))} A(\lambda, \tau)$$

Il vient : $C_{-\lambda-i\tau}^\lambda(z) = \frac{\sin(\pi(\lambda-i\tau))}{\sin(\pi(\lambda+i\tau))} C_{-\lambda+i\tau}^\lambda(z)$. Ces fonctions ne sont donc pas à valeurs réelles, excepté pour la

valeur $\lambda=1/2$, ainsi que toutes les valeurs demi-entières de λ , pour la fonction de première espèce uniquement : $C_{-\lambda-i\tau}^\lambda(z) = C_{-\lambda+i\tau}^\lambda(z) \quad \lambda = \frac{1}{2}, \frac{3}{2}, \frac{5}{2}, \dots$

Lien des polynômes de Gegenbauer avec les polynômes de Jacobi

Tout d'abord d'après la formule précédente il est clair que lorsque v est une entier, alors les termes de la série hypergéométrique s'annulent pour toute valeur au delà de v . En conséquence la fonction de Gegenbauer est bien un polynôme pour ce cas là . Ces polynômes sont également liés au polynômes de Jacobi dont ils sont un sous-cas. Les polynômes de Jacobi sont solutions de l'équation différentielles de Jacobi :

Equation différentielle de Jacobi

$$(1-t^2)y''(t) + (\beta - \alpha - (\alpha + \beta + 2)t)y'(t) + v(v + \alpha + \beta + 1)y(z) = 0$$

Si v entier \Rightarrow Polynôme de Jacobi $P_v^{(\alpha, \beta)}(t)$ définis comme suit (formule de Rodrigues)

$$P_v^{(\alpha, \beta)}(t) = \frac{(-1)^v}{2^v v!} (1-t)^{-\alpha} (1+t)^{-\beta} \frac{d^v}{dt^v} \left((1-t)^{v+\alpha} (1+t)^{v+\beta} \right)$$

$$P_v^{(\alpha, \beta)}(1) = \frac{\Gamma(v + \alpha + 1)}{v! \Gamma(\alpha + 1)}$$

$$\text{Posons } \alpha = \beta = \frac{n-3}{2} = \frac{2\lambda-1}{2} \Rightarrow \alpha + \beta + 1 = n-2 = 2\lambda \quad \alpha + \beta + 2 = n-1 = 2\lambda + 1$$

$$\Rightarrow (1-t^2)y''(t) - (n-1)t y'(t) + v(v + n - 2)y(z) = 0$$

$$\Rightarrow (1-t^2)y''(t) - (2\lambda + 1)t y'(t) + v(v + 2\lambda)y(z) = 0$$

Avec cette définition, on voit facilement le lien des polynômes de Gegenbauer et ceux de Jacobi :

$$C_v^\lambda(z) \propto P_v^{\left(\frac{2\lambda-1}{2}, \frac{2\lambda-1}{2}\right)}(t) \quad \lambda = \frac{n-2}{2}$$

$$C_v^{\frac{n-2}{2}}(z) \propto P_v^{\left(\frac{n-3}{2}, \frac{n-3}{2}\right)}(t)$$

Normalisation \Rightarrow

$$C_v^\lambda(z) = \frac{(2\lambda)_v}{\left(\frac{2\lambda+1}{2}\right)_v} P_v^{\left(\frac{2\lambda-1}{2}, \frac{2\lambda-1}{2}\right)}(t) = \frac{\Gamma(2\lambda + v) \Gamma\left(\frac{2\lambda+1}{2}\right)}{\Gamma\left(\frac{2\lambda+1+2v}{2}\right) \Gamma(2\lambda)} P_v^{\left(\frac{2\lambda-1}{2}, \frac{2\lambda-1}{2}\right)}(t)$$

$$C_v^{\frac{n-2}{2}}(z) = \frac{(n-2)_v}{\left(\frac{n-1}{2}\right)_v} P_v^{\left(\frac{n-3}{2}, \frac{n-3}{2}\right)}(t) = \frac{\Gamma(2\lambda + v) \Gamma\left(\frac{2\lambda+1}{2}\right)}{\Gamma\left(\frac{2\lambda+1+2v}{2}\right) \Gamma(2\lambda)} P_v^{\left(\frac{2\lambda-1}{2}, \frac{2\lambda-1}{2}\right)}(t)$$

$$(\lambda)_v \quad \text{symbole de Pochhammer} \rightarrow (\lambda)_v = \frac{\Gamma(\lambda + v)}{\Gamma(\lambda)}$$

Les polynômes de Gegenbauer ont la parité, ainsi que les diverses valeurs suivantes :

$$C_n^\lambda(-z) = (-1)^n C_n^\lambda(z) \quad C_\nu^0(z) = P_\nu(z)$$

$$\text{On use de la relation } \Gamma(2z) = \frac{2^{2z-1}}{\sqrt{\pi}} \Gamma(z) \Gamma\left(z + \frac{1}{2}\right) \Rightarrow \Gamma(\nu + n - 2) = \frac{2^{\nu+n-3}}{\sqrt{\pi}} \Gamma\left(\frac{\nu+n-2}{2}\right) \Gamma\left(\frac{\nu+n-1}{2}\right)$$

$$\Gamma(n-2) = \frac{2^{n-3}}{\sqrt{\pi}} \Gamma\left(\frac{n-2}{2}\right) \Gamma\left(\frac{n-1}{2}\right) \quad \Gamma(n-1) = \frac{2^{n-2}}{\sqrt{\pi}} \Gamma\left(\frac{n-1}{2}\right) \Gamma\left(\frac{n}{2}\right)$$

$$\Gamma(2\lambda) = \frac{2^{2\lambda-1}}{\sqrt{\pi}} \Gamma\left(\frac{2\lambda}{2}\right) \Gamma\left(\frac{2\lambda+1}{2}\right) \quad \Gamma(2\lambda+1) = \frac{2^{2\lambda}}{\sqrt{\pi}} \Gamma\left(\frac{2\lambda+1}{2}\right) \Gamma\left(\frac{2\lambda+2}{2}\right)$$

$$\Gamma(\nu+2\lambda) = \frac{2^{\nu+2\lambda-1}}{\sqrt{\pi}} \Gamma\left(\frac{\nu+2\lambda}{2}\right) \Gamma\left(\frac{\nu+2\lambda+1}{2}\right) \quad \Gamma(2\lambda+2) = \frac{2^{2\lambda+1}}{\sqrt{\pi}} \Gamma\left(\frac{2\lambda+2}{2}\right) \Gamma\left(\frac{2\lambda+3}{2}\right)$$

$$\Rightarrow \Gamma\left(\frac{2\lambda+3}{2}\right) = \frac{\sqrt{\pi} \Gamma(2\lambda+2) 2^{-2\lambda-1}}{\Gamma(\lambda+1)}$$

$$\Gamma(2\lambda+\nu+1) = \frac{2^{2\lambda+\nu}}{\sqrt{\pi}} \Gamma\left(\frac{2\lambda+\nu+1}{2}\right) \Gamma\left(\frac{2\lambda+\nu+2}{2}\right)$$

$$C_\nu^\lambda(0) = \frac{2^\nu \sqrt{\pi} \Gamma\left(\frac{\nu+2\lambda}{2}\right)}{\Gamma(\nu+1) \Gamma(\lambda) \Gamma\left(\frac{1-\nu}{2}\right)} = \frac{2^{1-2\lambda} \pi \Gamma(\nu+2\lambda)}{\Gamma(\nu+1) \Gamma(\lambda) \Gamma\left(\frac{1-\nu}{2}\right) \Gamma\left(\frac{\nu+2\lambda+1}{2}\right)}$$

$$C_{\nu^{\frac{n-2}{2}}}(0) = \frac{2^\nu \sqrt{\pi} \Gamma\left(\frac{\nu+n-2}{2}\right)}{\Gamma\left(\frac{1-\nu}{2}\right) \Gamma(\nu+1) \Gamma\left(\frac{n-2}{2}\right)} = \frac{2^{3-n} \sqrt{\pi} \Gamma(\nu+n-2)}{\Gamma(\nu+1) \Gamma\left(\frac{n-2}{2}\right) \Gamma\left(\frac{1-\nu}{2}\right) \Gamma\left(\frac{\nu+n-1}{2}\right)}$$

$$C_\nu^\lambda(1) = \frac{\Gamma(\nu+2\lambda)}{\Gamma(\nu+1) \Gamma(2\lambda)} \quad C_{\nu^{\frac{n-2}{2}}}(1) = \frac{\Gamma(\nu+n-2)}{\Gamma(\nu+1) \Gamma(n-2)}$$

$$C_\nu^{\lambda'}(0) = \frac{2^\nu \sqrt{\pi} \Gamma\left(\frac{\nu+2\lambda+1}{2}\right)}{\Gamma(\nu) \Gamma(\lambda) \Gamma\left(\frac{2-\nu}{2}\right)} \quad C_{\nu^{\frac{n-2}{2}}}^{\prime}(0) = \frac{2^\nu \sqrt{\pi} \Gamma\left(\frac{\nu+n-1}{2}\right)}{\Gamma(\nu) \Gamma(\lambda) \Gamma\left(\frac{2-\nu}{2}\right)}$$

$$C_\nu^{\lambda'}(1) = \frac{2^{-2\lambda} \nu \sqrt{\pi} (\nu+2\lambda) \Gamma(\nu+2\lambda)}{\Gamma(\nu+1) \Gamma(\lambda) \Gamma\left(\frac{2\lambda+3}{2}\right)} = \frac{\Gamma(2\lambda+1+\nu)}{\Gamma(\nu) (2\lambda+1) \Gamma(2\lambda)} \quad C_\nu^{\lambda'}(-1) = (-1)^\nu \frac{\Gamma(2\lambda+1+\nu)}{\Gamma(\nu) (2\lambda+1) \Gamma(2\lambda)}$$

$$C_{\nu^{\frac{n-2}{2}}}^{\prime}(1) = \frac{\nu \Gamma(n-2+\nu) (n-2+\nu)}{\Gamma(\nu+1) (n-1) \Gamma(n-2)} = \frac{\Gamma(n-1+\nu)}{\Gamma(\nu) (n-1) \Gamma(n-2)} \quad C_{\nu^{\frac{n-2}{2}}}^{\prime}(-1) = (-1)^\nu \frac{\Gamma(n-1+\nu)}{\Gamma(\nu) (n-1) \Gamma(n-2)}$$

Orthogonalité des fonctions de Gegenbauer de première et de deuxième espèce

En écrivant l'équation différentielle de Gegenbauer sous la forme :

$$\frac{1}{(1-z^2)^{\frac{n-3}{2}}} \frac{d}{dz} \left((1-z^2)^{\frac{n-1}{2}} \frac{dy(z)}{dz} \right) + v(v+n-2)y(z) = 0 \Leftrightarrow$$

$$\frac{1}{(1-z^2)^{\frac{2\lambda-1}{2}}} \frac{d}{dz} \left((1-z^2)^{\frac{2\lambda+1}{2}} \frac{dy(z)}{dz} \right) + v(v+n-2)y(z) = 0$$

Et en se conformant à l'identification « classique » d'un problème de Sturm-Liouville, on voit que l'opérateur de Sturm-Liouville s'écrit :

$$L(y(z)) = \frac{1}{w(z)} \left(- \frac{d}{dz} \left(p(z) \frac{dy(z)}{dz} \right) + s(z) \right)$$

Equation aux valeurs propres $\omega \rightarrow L(y(z)) = \omega y(z)$

$$\frac{1}{(1-z^2)^{\frac{n-3}{2}}} \left(- \frac{d}{dz} \left((1-z^2)^{\frac{n-1}{2}} \frac{dy(z)}{dz} \right) \right) = v(v+n-2)y(z)$$

$$w(z) = (1-z^2)^{\frac{n-3}{2}} \quad p(z) = (1-z^2)^{\frac{n-1}{2}} \quad s(z) = 0 \quad \omega = v(v+n-2)$$

$$w(z) = (1-z^2)^{\frac{2\lambda-1}{2}} \quad p(z) = (1-z^2)^{\frac{2\lambda+1}{2}} \quad \omega = v(v+2\lambda)$$

Il vient donc directement l'orthogonalité des solutions d'un problème aux limites de l'équation différentielle du second degré sur un intervalle $[a,b]$ (type Dirichlet ou Neumann). Comme parmi les solutions il y a les fonctions de Gegenbauer comme solution de première espèce, il vient :

$$\int_a^b dz (1-z^2)^{\frac{2\lambda-1}{2}} C_v^\lambda(z) C_{v'}^\lambda(z) = \|C_v^\lambda(z)\|^2 \delta_{v,v'}$$

$$\int_a^b dz (1-z^2)^{\frac{n-3}{2}} C_v^\lambda(z) C_{v'}^\lambda(z) = \left\| C_v^{\frac{n-3}{2}}(z) \right\|^2 \delta_{v,v'}$$

$$\text{Norme } \|C_v^\lambda(z)\|^2 = \int_a^b dz (1-z^2)^{\frac{2\lambda-1}{2}} (C_v^\lambda(z))^2 = \int_a^b dz (1-z^2)^{\frac{n-3}{2}} \left(C_v^{\frac{n-3}{2}}(z) \right)^2$$

Lorsque l'intervalle $[a,b]$ est tout l'espace des valeurs de $\text{Cos}(\vartheta)$, soit $[-1,1]$, alors l'intégration de la norme se développe sur les polynômes de Gegenbauer, et la norme est connue explicitement :

$$\text{Norme } \|C_l^\lambda(z)\|^2 = \int_{-1}^1 dz (1-z^2)^{\frac{2\lambda-1}{2}} (C_l^\lambda(z))^2 = \frac{\pi 2^{1-2\lambda} \Gamma(l+2\lambda)}{l!(l+\lambda)(\Gamma(\lambda))^2}$$

$$\left\| C_l^{\frac{n-3}{2}}(z) \right\|^2 = \int_{-1}^1 dz (1-z^2)^{\frac{n-3}{2}} \left(C_l^{\frac{n-3}{2}}(z) \right)^2 = \frac{\pi 2^{4-n} \Gamma(l+n-2)}{l!(2l+n-2) \left(\Gamma\left(\frac{n-2}{2}\right) \right)^2}$$

Pour les autres normes sur les fonctions de Gegenbauer solution du problème aux limites sur un intervalle restreint $[a,b]$, on réalisera une formule générale de calcul à la manière de celle définie pour les problèmes aux limites sphériques (fonctions de Legendre), (voir plus loin).

Formule de Rodrigues et fonctions génératrices des polynômes de Gegenbauer :

A partir de l'expression du poids dans la relation d'orthogonalité des polynômes de Gegenbauer , il vient immédiatement la formule de Rodrigues qui permet la génération des polynômes de Gegenbauer :

$$C_l^\lambda(z) = (-1)^l \frac{\Gamma\left(\frac{2\lambda+1}{2}\right)\Gamma(l+2\lambda)}{l!2^l\Gamma(2\lambda)\Gamma\left(\frac{2l+2\lambda+1}{2}\right)} (1-z^2)^{\frac{1-2\lambda}{2}} \frac{d^l}{dz^l} \left((1-z^2)^{+\frac{2\lambda-1}{2}} \right)$$

$$C_l^{\frac{n-2}{2}}(z) = (-1)^l \frac{\Gamma\left(\frac{n-1}{2}\right)\Gamma(l+n-2)}{l!2^l\Gamma(n-2)\Gamma\left(\frac{2l+n-1}{2}\right)} (1-z^2)^{\frac{3-n}{2}} \frac{d^l}{dz^l} \left((1-z^2)^{+\frac{n-3}{2}} \right)$$

La fonction génératrice des polynômes de Gegenbauer est la suivante :

$$(1) \quad \frac{1}{(1+t^2-2tz)^\lambda} = \sum_{l=0}^{\infty} t^l C_l^\lambda(z) \Leftrightarrow \frac{1}{(1+t^2-2tz)^{\frac{n-2}{2}}} = \sum_{l=0}^{\infty} t^l C_l^{\frac{n-2}{2}}(z) \quad |t| < 1$$

$$(1) \quad \frac{1}{\left(1+\frac{1}{t^2}-\frac{2z}{t}\right)^\lambda} = \sum_{l=0}^{\infty} \frac{1}{t^{l+2\lambda}} C_l^\lambda(z) \Leftrightarrow \frac{1}{\left(1+\frac{1}{t^2}-\frac{2z}{t}\right)^{\frac{n-2}{2}}} = \sum_{l=0}^{\infty} \frac{1}{t^{l+n-2}} C_l^{\frac{n-2}{2}}(z) \quad |t| > 1$$

$$(2) \quad \frac{1-t^2}{(1+t^2-2tz)^{\lambda+1}} = \sum_{l=0}^{\infty} t^l \frac{(\lambda+l)}{\lambda} C_l^\lambda(z) \Leftrightarrow \frac{1-t^2}{(1+t^2-2tz)^{\frac{n}{2}}} = \sum_{l=0}^{\infty} t^l \frac{(n+2l-2)}{(n-2)} C_l^{\frac{n-2}{2}}(z)$$

On peut voir qu'une autre fonction génératrice (2) peut-être déduite d'un article de 2012 « C.R.FRYE.C.EFTHIMIOU-SPHERICAL HARMONICS IN p DIMENSIONS »

Par ailleurs dans l'ouvrage de L.Robin « Fonctions Sphériques de Legendre et Fonctions Sphéroïdales » Tome 3, page 193 deux autres fonctions génératrices sont données :

$$(3) \quad \frac{\sqrt{\pi}}{\Gamma(\lambda)} \frac{1-t^2}{\sqrt{1-2zt+t^2} \left(2 \left(1-zt + \sqrt{1-2zt+t^2} \right) \right)^{\lambda-\frac{1}{2}}} = \sum_{l=0}^{\infty} \frac{\Gamma\left(\lambda+l+\frac{1}{2}\right)}{\Gamma(2\lambda+l)} t^l C_l^\lambda(z) \quad \forall \lambda, z \quad \text{et} \quad |t| < \left| z - \sqrt{z^2-1} \right|$$

$$(4) \quad \frac{\sqrt{\pi} e^{i\cos(\vartheta)} J_{\lambda-\frac{1}{2}}(t\sin(\vartheta))}{\Gamma(\lambda)(2t\sin(\vartheta))^{\lambda-\frac{1}{2}}} = \sum_{l=0}^{\infty} \frac{t^l}{\Gamma(2\lambda+l)} C_l^\lambda(z)$$

Formules de récurrence des fonctions de première espèce et des polynômes de Gegenbauer :

Les polynômes de Gegenbauer et plus généralement les fonctions de Gegenbauer sont liées entre plus proches voisins par les formules suivantes :

$$(\nu + 1)C_{\nu+1}^{\lambda}(z) = 2(\lambda + \nu)zC_{\nu}^{\lambda}(z) - (2\lambda + \nu - 1)C_{\nu-1}^{\lambda}(z)$$

$$(\nu + 1)C_{\nu+1}^{\frac{n-2}{2}}(z) = (2\nu + n - 2)zC_{\nu}^{\frac{n-2}{2}}(z) - (\nu + n - 3)C_{\nu-1}^{\frac{n-2}{2}}(z)$$

On peut dériver ces formules à l'aide de la représentation par les fonctions de Legendre associées :

$$C_{\nu}^{\lambda}(z) = \frac{2^{\frac{1-2\lambda}{2}} \sqrt{\pi} \Gamma(\nu + 2\lambda)}{\Gamma(\nu + 1) \Gamma(\lambda)} (1 - z^2)^{\frac{1-2\lambda}{4}} P_{\lambda+\nu-\frac{1}{2}}^{\frac{1}{2}-\lambda}(z) \quad (\nu - \mu + 1)P_{\nu+1}^{\mu}(z) = (2\nu + 1)zP_{\nu}^{\mu}(z) - (\mu + \nu)P_{\nu-1}^{\mu}(z)$$

$$\Rightarrow (\nu + 1)P_{\lambda+\nu+\frac{1}{2}}^{\frac{1}{2}-\lambda}(z) = 2(\lambda + \nu)zP_{\lambda+\nu-\frac{1}{2}}^{\frac{1}{2}-\lambda}(z) - \nu P_{\lambda+\nu-\frac{3}{2}}^{\frac{1}{2}-\lambda}(z)$$

$$\Rightarrow (2\lambda + \nu) \frac{\Gamma(\nu + 2)}{(\nu + 2\lambda)\Gamma(\nu + 2\lambda)} C_{\nu+1}^{\lambda}(z) = 2(\lambda + \nu)z \frac{\Gamma(\nu + 1)}{\Gamma(\nu + 2\lambda)} C_{\nu}^{\lambda}(z) - \frac{(\nu - 1 + 2\lambda)\Gamma(\nu + 1)}{\Gamma(\nu + 2\lambda)} C_{\nu-1}^{\lambda}(z)$$

$$\Rightarrow (\nu + 1)C_{\nu+1}^{\lambda}(z) = 2(\lambda + \nu)zC_{\nu}^{\lambda}(z) - (\nu - 1 + 2\lambda)C_{\nu-1}^{\lambda}(z) \quad c.q.f.d.$$

Il y a un grand intérêt à remarquer que les formules de récurrence des polynômes de Gegenbauer s'étendent également à toutes les valeurs du paramètre ν , et comme nous le verrons par la suite aux fonctions de deuxième espèce.

Formules de dérivation des fonctions de Gegenbauer de première espèce

La contribution de l'article de 2012 « L.M.B.C.CAMPOS.F.S.R.P.CUNHA-ON HYPERSHERICAL LEGENDRE POLYNOMIALS AND HIGHER DIMENSIONAL MULTIPOLE EXPANSIONS, Journal of Inequalities and Special Functions Volume 3 Issue 3 (2012), Pages 1-28 » est de donner des nouvelles formules de dérivation :

- (1) $\nu C_{\nu}^{\lambda}(z) = z C_{\nu}^{\lambda}{}'(z) - C_{\nu-1}^{\lambda}{}'(z) \Leftrightarrow \nu C_{\nu}^{\frac{n-2}{2}}(z) = z C_{\nu}^{\frac{n-2}{2}}{}'(z) - C_{\nu-1}^{\frac{n-2}{2}}{}'(z)$
- (2) $C_{\nu+1}^{\lambda}{}'(z) - C_{\nu-1}^{\lambda}{}'(z) = (2\lambda + 2\nu) C_{\nu}^{\lambda}(z) \Leftrightarrow C_{\nu+1}^{\frac{n-2}{2}}{}'(z) - C_{\nu-1}^{\frac{n-2}{2}}{}'(z) = (n - 2 + 2\nu) C_{\nu}^{\frac{n-2}{2}}(z)$
- (3) $C_{\nu+1}^{\lambda}{}'(z) - z C_{\nu}^{\lambda}{}'(z) = (2\lambda + \nu) C_{\nu}^{\lambda}(z) \Leftrightarrow C_{\nu+1}^{\frac{n-2}{2}}{}'(z) - z C_{\nu}^{\frac{n-2}{2}}{}'(z) = (n - 2 + \nu) C_{\nu}^{\frac{n-2}{2}}(z)$
- (4) $(z^2 - 1) C_{\nu}^{\lambda}{}'(z) = \nu z C_{\nu}^{\lambda}(z) - (2\lambda - 1 + \nu) C_{\nu-1}^{\lambda}(z) \Leftrightarrow (z^2 - 1) C_{\nu}^{\frac{n-2}{2}}{}'(z) = \nu z C_{\nu}^{\frac{n-2}{2}}(z) - (n - 3 + \nu) C_{\nu-1}^{\frac{n-2}{2}}(z)$
- (5) $(z^2 - 1) C_{\nu}^{\lambda}{}'(z) = (\nu + 1) C_{\nu+1}^{\lambda}(z) - (2\lambda + \nu) z C_{\nu}^{\lambda}(z) \Leftrightarrow (z^2 - 1) C_{\nu}^{\frac{n-2}{2}}{}'(z) = (\nu + 1) C_{\nu+1}^{\frac{n-2}{2}}(z) - (n - 2 + \nu) z C_{\nu}^{\frac{n-2}{2}}(z)$

A partir de la représentation des fonctions de Gegenbauer par les fonctions de Legendre associées de première espèce on peut également les établir comme suit :

$$C_{\nu}^{\lambda}(z) = \frac{2^{\frac{1-2\lambda}{2}} \sqrt{\pi} \Gamma(\nu + 2\lambda)}{\Gamma(\nu + 1) \Gamma(\lambda)} (1 - z^2)^{\frac{1-2\lambda}{4}} P_{\lambda+\nu-\frac{1}{2}}^{\frac{1}{2}-\lambda}(z) \quad C_{\nu-1}^{\lambda}(z) = \frac{2^{\frac{1-2\lambda}{2}} \sqrt{\pi} \Gamma(\nu + 2\lambda - 1)}{\Gamma(\nu) \Gamma(\lambda)} (1 - z^2)^{\frac{1-2\lambda}{4}} P_{\lambda+\nu-1-\frac{1}{2}}^{\frac{1}{2}-\lambda}(z)$$

$$\Rightarrow C_{\nu}^{\lambda}{}'(z) = z \left(\frac{2\lambda - 1}{2} \right) \frac{C_{\nu}^{\lambda}(z)}{(1 - z^2)} + \frac{2^{\frac{1-2\lambda}{2}} \sqrt{\pi} \Gamma(\nu + 2\lambda)}{\Gamma(\nu + 1) \Gamma(\lambda)} (1 - z^2)^{\frac{1-2\lambda}{4}} P_{\lambda+\nu-\frac{1}{2}}^{\frac{1}{2}-\lambda}{}'(z)$$

$$\Rightarrow \frac{2^{\frac{1-2\lambda}{2}} \sqrt{\pi} \Gamma(\nu + 2\lambda)}{\Gamma(\nu + 1) \Gamma(\lambda)} (1 - z^2)^{\frac{1-2\lambda}{4}} (1 - z^2) P_{\lambda+\nu-\frac{1}{2}}^{\frac{1}{2}-\lambda}{}'(z) = (1 - z^2) C_{\nu}^{\lambda}{}'(z) - z \left(\frac{2\lambda - 1}{2} \right) C_{\nu}^{\lambda}(z)$$

$$\Leftrightarrow P_{\lambda+\nu-\frac{1}{2}}^{\frac{1}{2}-\lambda}(z) = \frac{2^{\frac{1-2\lambda}{2}} \Gamma(\lambda)}{\sqrt{\pi}} (1 - z^2)^{\frac{1-2\lambda}{4}} \frac{\Gamma(\nu + 1)}{\Gamma(\nu + 2\lambda)} C_{\nu}^{\lambda}(z) \quad P_{\lambda+\nu-1-\frac{1}{2}}^{\frac{1}{2}-\lambda}(z) = \frac{2^{\frac{1-2\lambda}{2}} \Gamma(\lambda)}{\sqrt{\pi}} (1 - z^2)^{\frac{1-2\lambda}{4}} \frac{\Gamma(\nu)}{\Gamma(\nu - 1 + 2\lambda)} C_{\nu-1}^{\lambda}(z)$$

Partons de $(1 - z^2) P_{\nu}^{\mu}{}'(z) = -\nu z P_{\nu}^{\mu}(z) + (\mu + \nu) P_{\nu-1}^{\mu}(z)$

$$\Rightarrow (1 - z^2) P_{\lambda+\nu-\frac{1}{2}}^{\frac{1}{2}-\lambda}{}'(z) = -\left(\lambda + \nu - \frac{1}{2} \right) z P_{\lambda+\nu-\frac{1}{2}}^{\frac{1}{2}-\lambda}(z) + \nu P_{\lambda+\nu-1-\frac{1}{2}}^{\frac{1}{2}-\lambda}(z)$$

$$\Rightarrow \frac{2^{\frac{1-2\lambda}{2}} \sqrt{\pi} \Gamma(\nu + 2\lambda)}{\Gamma(\nu + 1) \Gamma(\lambda)} (1 - z^2)^{\frac{1-2\lambda}{4}} (1 - z^2) P_{\lambda+\nu-\frac{1}{2}}^{\frac{1}{2}-\lambda}{}'(z)$$

$$= -\left(\lambda + \nu - \frac{1}{2} \right) z \frac{2^{\frac{1-2\lambda}{2}} \sqrt{\pi} \Gamma(\nu + 2\lambda)}{\Gamma(\nu + 1) \Gamma(\lambda)} (1 - z^2)^{\frac{1-2\lambda}{4}} P_{\lambda+\nu-\frac{1}{2}}^{\frac{1}{2}-\lambda}(z) + \nu \frac{2^{\frac{1-2\lambda}{2}} \sqrt{\pi} \Gamma(\nu + 2\lambda)}{\Gamma(\nu + 1) \Gamma(\lambda)} (1 - z^2)^{\frac{1-2\lambda}{4}} P_{\lambda+\nu-1-\frac{1}{2}}^{\frac{1}{2}-\lambda}(z)$$

$$= -\left(\lambda + \nu - \frac{1}{2} \right) z C_{\nu}^{\lambda}(z) + (\nu + 2\lambda - 1) C_{\nu-1}^{\lambda}(z)$$

$$\Rightarrow (1 - z^2) C_{\nu}^{\lambda}{}'(z) = z \left(\frac{2\lambda - 1}{2} \right) C_{\nu}^{\lambda}(z) - \left(\lambda + \nu - \frac{1}{2} \right) z C_{\nu}^{\lambda}(z) + (\nu + 2\lambda - 1) C_{\nu-1}^{\lambda}(z)$$

$$\Rightarrow (z^2 - 1) C_{\nu}^{\lambda}{}'(z) = \nu z C_{\nu}^{\lambda}(z) - (\nu + 2\lambda - 1) C_{\nu-1}^{\lambda}(z) \rightarrow (4) \text{ est démontrée}$$

Partons d'une autre égalité de dérivation pour démontrer la formule (5) :

$$\begin{aligned}
 & \text{Partons de } (1-z^2)P_{\nu}^{\mu}{}'(z) = (\nu+1)zP_{\nu}^{\mu}(z) + (\mu-\nu-1)P_{\nu+1}^{\mu}(z) \\
 & \Rightarrow (1-z^2)P_{\lambda+\nu-\frac{1}{2}}^{\frac{1}{2}-\lambda}{}'(z) = \left(\lambda+\nu+\frac{1}{2}\right)zP_{\lambda+\nu-\frac{1}{2}}^{\frac{1}{2}-\lambda}(z) - (2\lambda+\nu)P_{\lambda+\nu+1-\frac{1}{2}}^{\frac{1}{2}-\lambda}(z) \\
 & \Rightarrow \frac{2^{\frac{1-2\lambda}{2}}\sqrt{\pi}\Gamma(\nu+2\lambda)}{\Gamma(\nu+1)\Gamma(\lambda)}(1-z^2)^{\frac{1-2\lambda}{4}}(1-z^2)P_{\lambda+\nu-\frac{1}{2}}^{\frac{1}{2}-\lambda}{}'(z) \\
 & = \left(\lambda+\nu+\frac{1}{2}\right)z\frac{2^{\frac{1-2\lambda}{2}}\sqrt{\pi}\Gamma(\nu+2\lambda)}{\Gamma(\nu+1)\Gamma(\lambda)}(1-z^2)^{\frac{1-2\lambda}{4}}P_{\lambda+\nu-\frac{1}{2}}^{\frac{1}{2}-\lambda}(z) - (\nu+1)\frac{2^{\frac{1-2\lambda}{2}}\sqrt{\pi}\Gamma(\nu+2\lambda+1)}{\Gamma(\nu+2)\Gamma(\lambda)}(1-z^2)^{\frac{1-2\lambda}{4}}P_{\lambda+\nu+1-\frac{1}{2}}^{\frac{1}{2}-\lambda}(z) \\
 & = \left(\lambda+\nu+\frac{1}{2}\right)zC_{\nu}^{\lambda}(z) + \frac{(1-2\lambda-\nu)(\nu+1)}{(\nu+2\lambda+1)}C_{\nu+1}^{\lambda}(z) \\
 & \Rightarrow (1-z^2)C_{\nu}^{\lambda}{}'(z) = z\left(\lambda-\frac{1}{2}\right)C_{\nu}^{\lambda}(z) + \left(\lambda+\nu+\frac{1}{2}\right)zC_{\nu}^{\lambda}(z) - (\nu+1)C_{\nu+1}^{\lambda}(z) \\
 & \Rightarrow (1-z^2)C_{\nu}^{\lambda}{}'(z) = z(2\lambda+\nu)C_{\nu}^{\lambda}(z) - (\nu+1)C_{\nu+1}^{\lambda}(z) \\
 & \Rightarrow (z^2-1)C_{\nu}^{\lambda}{}'(z) = -z(2\lambda+\nu)C_{\nu}^{\lambda}(z) + (\nu+1)C_{\nu+1}^{\lambda}(z) \rightarrow (5) \text{ est démontrée}
 \end{aligned}$$

Partons maintenant des égalités (4) et (5) démontrées précédemment pour retrouver (1), (2) et (3)

$$\begin{aligned}
 (4) \quad & \nu z C_{\nu}^{\lambda}(z) - (2\lambda-1+\nu)C_{\nu-1}^{\lambda}(z) = (z^2-1)C_{\nu-1}^{\lambda}{}'(z) \\
 (5) \quad & -(2\lambda+\nu)zC_{\nu}^{\lambda}(z) + (\nu+1)C_{\nu+1}^{\lambda}(z) = (z^2-1)C_{\nu}^{\lambda}{}'(z) \\
 & \Rightarrow \begin{cases} \nu C_{\nu}^{\lambda}(z) - (2\lambda+\nu-1)zC_{\nu-1}^{\lambda}(z) = (z^2-1)C_{\nu-1}^{\lambda}{}'(z) \\ \nu z C_{\nu}^{\lambda}(z) - (2\lambda+\nu-1)C_{\nu-1}^{\lambda}(z) = (z^2-1)C_{\nu}^{\lambda}{}'(z) \Leftrightarrow \nu z^2 C_{\nu}^{\lambda}(z) - (2\lambda+\nu-1)zC_{\nu-1}^{\lambda}(z) = z(z^2-1)C_{\nu}^{\lambda}{}'(z) \end{cases} \\
 & \Rightarrow -\nu C_{\nu}^{\lambda}(z)(z^2-1) = (z^2-1)C_{\nu-1}^{\lambda}{}'(z) - z(z^2-1)C_{\nu}^{\lambda}{}'(z) \Leftrightarrow \nu C_{\nu}^{\lambda}(z) = -C_{\nu-1}^{\lambda}{}'(z) + zC_{\nu}^{\lambda}{}'(z) \\
 (1) \quad & \nu C_{\nu}^{\lambda}(z) = zC_{\nu}^{\lambda}{}'(z) - C_{\nu-1}^{\lambda}{}'(z) \text{ est démontrée} \\
 & \Rightarrow \begin{cases} (\nu+1)zC_{\nu+1}^{\lambda}(z) - (2\lambda+\nu)C_{\nu}^{\lambda}(z) = (z^2-1)C_{\nu+1}^{\lambda}{}'(z) \\ ((\nu+1)zC_{\nu+1}^{\lambda}(z) - (2\lambda+\nu)z^2C_{\nu}^{\lambda}(z) = z(z^2-1)C_{\nu}^{\lambda}{}'(z) \Rightarrow (2\lambda+\nu)(z^2-1)C_{\nu}^{\lambda}(z) = (z^2-1)(C_{\nu+1}^{\lambda}{}'(z) - zC_{\nu}^{\lambda}{}'(z)) \end{cases} \\
 & \Rightarrow (3) \quad C_{\nu+1}^{\lambda}{}'(z) - zC_{\nu}^{\lambda}{}'(z) = (2\lambda+\nu)C_{\nu}^{\lambda}(z) \text{ est démontrée} \\
 & \begin{cases} \nu C_{\nu}^{\lambda}(z) = zC_{\nu}^{\lambda}{}'(z) - C_{\nu-1}^{\lambda}{}'(z) \\ ((2\lambda+\nu)C_{\nu}^{\lambda}(z) = C_{\nu+1}^{\lambda}{}'(z) - zC_{\nu}^{\lambda}{}'(z) \Rightarrow (2) \quad C_{\nu+1}^{\lambda}{}'(z) - C_{\nu-1}^{\lambda}{}'(z) = 2(\lambda+\nu)C_{\nu}^{\lambda}(z) \text{ est démontrée} \end{cases}
 \end{aligned}$$

Nous avons également les formules plus connues de dérivation (voir l'équivalent pour les intégrales indéfinies) :

$$\begin{aligned}
 C_{\nu}^{\lambda}{}'(z) &= 2\lambda C_{\nu-1}^{\lambda+1}(z) \Leftrightarrow C_{\nu}^{\frac{n-2}{2}}{}'(z) = (n-2)C_{\nu-1}^{\frac{n}{2}}(z) \\
 \frac{d^m}{dz^m} C_{\nu}^{\lambda}(z) &= 2^m (\lambda)_m C_{\nu-m}^{\lambda+m}(z) = 2^m \frac{\Gamma(\lambda+m)}{\Gamma(\lambda)} C_{\nu-m}^{\lambda+m}(z) \\
 &\Leftrightarrow \frac{d^m}{dz^m} C_{\nu}^{\frac{n-2}{2}}(z) = 2^m \left(\frac{n-2}{2}\right)_m C_{\nu-m}^{\frac{n}{2}+m-1}(z) = 2^m \frac{\Gamma\left(\frac{n}{2}+m-1\right)}{\Gamma\left(\frac{n-2}{2}\right)} C_{\nu-m}^{\frac{n}{2}+m-1}(z)
 \end{aligned}$$

Problèmes aux limites de Laplace sur une hypersphère- p-

Pour la première formule partons de l'égalité (5) et utilisons les relations de récurrences sur les degrés et les ordres pour les fonctions associées de Legendre, pour établir des formules avec les ordres descendants :

Récurrence sur les ordres et les degrés (A) $(1-z^2)^{\frac{1}{2}} P_v^{\mu+1}(z) = (v-\mu+1)P_{v+1}^{\mu}(z) - (v+\mu+1)zP_v^{\mu}(z)$

Or $(\mu+v)P_{v-1}^{\mu}(z) = (2v+1)zP_v^{\mu}(z) - (v-\mu+1)P_{v+1}^{\mu}(z) \Leftrightarrow (v-\mu+1)P_{v+1}^{\mu}(z) = (2v+1)zP_v^{\mu}(z) - (\mu+v)P_{v-1}^{\mu}(z)$

$\Rightarrow (1-z^2)^{\frac{1}{2}} P_v^{\mu+1}(z) = (2v+1)zP_v^{\mu}(z) - (\mu+v)P_{v-1}^{\mu}(z) - (v+\mu+1)zP_v^{\mu}(z)$

$\Rightarrow (B) \quad (1-z^2)^{\frac{1}{2}} P_v^{\mu+1}(z) = (v-\mu)zP_v^{\mu}(z) - (\mu+v)P_{v-1}^{\mu}(z)$

(C) $(1-z^2)^{\frac{1}{2}} P_{v+1}^{\mu}(z) = \frac{P_v^{\mu+1}(z) - zP_{v+1}^{\mu+1}(z)}{(v-\mu+1)} \Leftrightarrow (1-z^2)^{\frac{1}{2}} P_v^{\mu-1}(z) = \frac{P_{v-1}^{\mu}(z) - zP_v^{\mu}(z)}{(v-\mu+1)}$

Or $(\mu+v)P_{v-1}^{\mu}(z) = (2v+1)zP_v^{\mu}(z) - (v-\mu+1)P_{v+1}^{\mu}(z)$

$\Rightarrow (D) \quad (1-z^2)^{\frac{1}{2}} P_v^{\mu-1}(z) = (1-z^2)^{\frac{1}{2}} P_v^{\mu-1}(z) = \frac{P_{v-1}^{\mu}(z) - P_{v+1}^{\mu}(z)}{2v+1} \Rightarrow (E) \quad (1-z^2)^{\frac{1}{2}} P_v^{\mu-1}(z) = \frac{zP_v^{\mu}(z) - P_{v+1}^{\mu}(z)}{(\mu+v)}$

$C_v^{\lambda}(z) = \frac{2^{\frac{1-2\lambda}{2}} \sqrt{\pi} \Gamma(v+2\lambda)}{\Gamma(v+1)\Gamma(\lambda)} (1-z^2)^{\frac{1-2\lambda}{4}} P_{\lambda+v-\frac{1}{2}}^{\frac{1}{2}-\lambda}(z) \quad C_{v-1}^{\lambda}(z) = \frac{2^{\frac{1-2\lambda}{2}} \sqrt{\pi} \Gamma(v+2\lambda-1)}{\Gamma(v)\Gamma(\lambda)} (1-z^2)^{\frac{1-2\lambda}{4}} P_{\lambda+v-\frac{1}{2}-1}^{\frac{1}{2}-\lambda}(z)$

$C_{v+1}^{\lambda}(z) = \frac{2^{\frac{1-2\lambda}{2}} \sqrt{\pi} \Gamma(v+2\lambda+1)}{\Gamma(v+2)\Gamma(\lambda)} (1-z^2)^{\frac{1-2\lambda}{4}} P_{\lambda+v-\frac{1}{2}+1}^{\frac{1}{2}-\lambda}(z) \quad C_{v+1}^{\lambda-1}(z) = \frac{2^{\frac{1}{2}-\lambda+1} \sqrt{\pi} \Gamma(v+2\lambda-1)}{\Gamma(v+2)\Gamma(\lambda-1)} (1-z^2)^{\frac{1-2\lambda}{4}+\frac{1}{2}} P_{\lambda+v-\frac{1}{2}}^{\frac{1}{2}-\lambda+1}(z)$

$C_{v-1}^{\lambda+1}(z) = \frac{2^{\frac{1}{2}-\lambda-1} \sqrt{\pi} \Gamma(v+2\lambda+1)}{\Gamma(v)\Gamma(\lambda+1)} (1-z^2)^{\frac{1-2\lambda}{4}-\frac{1}{2}} P_{\lambda+v-\frac{1}{2}}^{\frac{1}{2}-\lambda-1}(z)$

Partons de (A) $\Rightarrow (1-z^2)^{\frac{1}{2}} P_{\lambda+v-\frac{1}{2}}^{\frac{1}{2}-\lambda+1}(z) = (2\lambda+v)P_{\lambda+v-\frac{1}{2}+1}^{\frac{1}{2}-\lambda}(z) - (v+1)zP_{\lambda+v-\frac{1}{2}}^{\frac{1}{2}-\lambda}(z)$

$\Rightarrow \frac{2^{\frac{1-2\lambda}{2}+1} \sqrt{\pi} \Gamma(v+2\lambda)}{2\Gamma(v+1)\Gamma(\lambda)} (1-z^2)^{\frac{1-2\lambda}{4}+\frac{1}{2}} P_{\lambda+v-\frac{1}{2}}^{\frac{1}{2}-\lambda+1}(z) = (v+1) \frac{2^{\frac{1-2\lambda}{2}} \sqrt{\pi} \Gamma(v+2\lambda+1)}{\Gamma(v+2)\Gamma(\lambda)} (1-z^2)^{\frac{1-2\lambda}{4}} P_{\lambda+v-\frac{1}{2}+1}^{\frac{1}{2}-\lambda}(z) - (v+1)zC_v^{\lambda}(z)$

$\Rightarrow \frac{(v+1)(v+2\lambda-1)}{2(\lambda-1)} C_{v+1}^{\lambda-1}(z) = (v+1)(C_{v+1}^{\lambda}(z) - zC_v^{\lambda}(z)) \Rightarrow (F) \quad C_{v+1}^{\lambda-1}(z) = \frac{2(\lambda-1)}{(v+2\lambda-1)} (C_{v+1}^{\lambda}(z) - zC_v^{\lambda}(z))$

Comme $\frac{(C_{v+1}^{\lambda}(x) - xC_v^{\lambda}(x))}{(v+2\lambda-1)} = \frac{(zC_v^{\lambda}(z) - C_{v-1}^{\lambda}(z))}{(v+1)} \Rightarrow (F') \quad C_{v+1}^{\lambda-1}(z) = \frac{2(\lambda-1)}{(v+1)} (zC_v^{\lambda}(z) - C_{v-1}^{\lambda}(z))$

Problèmes aux limites de Laplace sur une hypersphère- p-

Deux dernières relations peuvent être établies avec les ordres ascendants :

$$\begin{aligned}
 \text{Partons de (E)} \Rightarrow (1-z^2)^{\frac{1}{2}} P_{\lambda+\nu-\frac{1}{2}}^{\frac{1}{2}-\lambda-1}(z) &= \frac{z P_{\lambda+\nu-\frac{1}{2}}^{\frac{1}{2}-\lambda}(z) - P_{\lambda+\nu-\frac{1}{2}+1}^{\frac{1}{2}-\lambda}(z)}{\nu} \\
 \frac{2(1-z^2)\lambda}{(\nu+2\lambda)\nu} \frac{2^{\frac{1-2\lambda}{2}-1} \sqrt{\pi} \Gamma(\nu+2\lambda+1)}{\Gamma(\nu)\Gamma(\lambda+1)} (1-z^2)^{\frac{1-2\lambda}{4}-\frac{1}{2}} P_{\lambda+\nu-\frac{1}{2}}^{\frac{1}{2}-\lambda-1}(z) &= \\
 \frac{z C_{\nu}^{\lambda}(z) - \frac{(\nu+1)2^{\frac{1-2\lambda}{2}} \sqrt{\pi} \Gamma(\nu+2\lambda+1)}{(\nu+2\lambda)\Gamma(\nu+2)\Gamma(\lambda)} (1-z^2)^{\frac{1-2\lambda}{4}} P_{\lambda+\nu-\frac{1}{2}+1}^{\frac{1}{2}-\lambda}(z)}{\nu} &= \\
 \Rightarrow \frac{2(1-z^2)\lambda}{\nu} C_{\nu-1}^{\lambda+1}(z) = \frac{z(\nu+2\lambda)C_{\nu}^{\lambda}(z) - (\nu+1)C_{\nu+1}^{\lambda}(z)}{\nu} \Rightarrow (G) \quad C_{\nu-1}^{\lambda+1}(z) &= \frac{z(\nu+2\lambda)C_{\nu}^{\lambda}(z) - (\nu+1)C_{\nu+1}^{\lambda}(z)}{2(1-z^2)\lambda} \\
 \Rightarrow (G') \quad C_{\nu-1}^{\lambda+1}(z) &= \frac{(2\lambda+\nu-1)C_{\nu-1}^{\lambda}(z) - z\nu C_{\nu}^{\lambda}(z)}{2(1-z^2)\lambda}
 \end{aligned}$$

Partons maintenant de la dernière des formules de dérivation :

$$\begin{aligned}
 (1-z^2)C_{\nu}^{\lambda'}(z) &= z(2\lambda+\nu)C_{\nu}^{\lambda}(z) - (\nu+1)C_{\nu+1}^{\lambda}(z) \\
 (G) \quad C_{\nu-1}^{\lambda+1}(z) &= \frac{z(\nu+2\lambda)C_{\nu}^{\lambda}(z) - (\nu+1)C_{\nu+1}^{\lambda}(z)}{2(1-z^2)\lambda} \Leftrightarrow z(\nu+2\lambda)C_{\nu}^{\lambda}(z) - (\nu+1)C_{\nu+1}^{\lambda}(z) = 2(1-z^2)\lambda C_{\nu-1}^{\lambda+1}(z) \\
 \Rightarrow (1-z^2)C_{\nu}^{\lambda'}(z) &= 2(1-z^2)\lambda C_{\nu-1}^{\lambda+1}(z) \\
 \Rightarrow (H) \quad C_{\nu}^{\lambda'}(z) &= 2\lambda C_{\nu-1}^{\lambda+1}(z)
 \end{aligned}$$

Cette dernière relation entraîne immédiatement une valeur d'intégrale indéfinie comme nous l'avons évoqué précédemment :

$$C_{\nu}^{\lambda'}(z) = 2\lambda C_{\nu-1}^{\lambda+1}(z) \Leftrightarrow C_{\nu+1}^{\lambda-1}(z) = 2(\lambda-1)C_{\nu}^{\lambda}(z) \Rightarrow \int dz C_{\nu}^{\lambda}(z) = \frac{C_{\nu+1}^{\lambda-1}(z)}{2(\lambda-1)}$$

Il est important de préciser ici que toutes formules, y compris celle de récurrence sont valables pour toute valeur du paramètre ν qu'il soit entier ou réel. En effet comme ces formules ont été établies ou vérifiées à l'aide de la construction par les fonctions de Legendre associées de première espèce. Et de même si l'on conserve la normalisation pour la seconde solution alors toutes les formules restent également valables pour les fonctions de Gegenbauer de deuxième espèce puisque les fonctions de Legendre associées ont exactement les mêmes formules de récurrence et de dérivation dans leur champ respectif.

Lien avec d'autres polynômes dans la littérature scientifique :

Dans deux articles datés de 2012, « C.R.FRYE.C.EFTHIMIOU-SPHERICAL HARMONICS IN p DIMENSIONS » et « L.M.B.C.CAMPOS.F.S.R.P.CUNHA-ON HYPERSHERICAL LEGENDRE POLYNOMIALS AND HIGHER DIMENSIONAL MULTIPOLE EXPANSIONS , *Journal of Inequalities and Special Functions* Volume 3 Issue 3 (2012), Pages 1-28 », les auteurs introduisent des polynômes orthogonaux hypersphériques qui ne sont qu'une version autrement normalisée, à une constante près, des polynômes de Gegenbauer. Nous noterons ces polynômes ainsi :

$$C_v^{(1),n}(z) \leftarrow \text{Frye} \quad C_v^{(2),\alpha}(z) \leftarrow \text{Campos}$$

Les formules de passages utilisées sont les suivantes :

$$\lambda = \frac{n-2}{2} \quad C_v^{(1),n}(z) = \frac{v!}{(n-2)_v} C_v^{\frac{n-2}{2}}(z) = \frac{v! \Gamma(n-2)}{\Gamma(n-2+v)} C_v^{\frac{n-2}{2}}(z) = \frac{\Gamma(v+1) \Gamma(n-2)}{\Gamma(n-2+v)} C_v^{\frac{n-2}{2}}(z)$$

$$\Rightarrow C_v^{(1),n}(z) = \frac{\Gamma(v+1) \Gamma(n-2)}{\Gamma(n-2+v)} C_v^{\frac{n-2}{2}}(z) \quad C_v^{(1),n}(z) = \frac{\Gamma(v+1) \Gamma(2\lambda)}{\Gamma(2\lambda+v)} C_v^\lambda(z)$$

$$\Leftrightarrow C_v^{\frac{n-2}{2}}(z) = C_v^{(1),n}(z) \frac{\Gamma(n-2+v)}{\Gamma(v+1) \Gamma(n-2)} \quad C_v^\lambda(z) = C_v^{(1),n}(z) \frac{\Gamma(2\lambda+v)}{\Gamma(v+1) \Gamma(2\lambda)}$$

$$C_v^{(1),n}(z) = {}_2F_1\left(-v, v+n-2; \frac{n-1}{2}; \frac{1-z}{2}\right) \quad C_v^{(1),n}(z) = \frac{v!}{\left(\frac{n-1}{2}\right)_v} P_v^{\left(\frac{n-3}{2}, \frac{n-3}{2}\right)}(z) \quad \text{polynôme de Jacobi}$$

Polynôme de Campos \Leftrightarrow Polynôme de Gegenbauer

$$\alpha = \frac{n-3}{2} \quad C_v^{(2),\alpha}(z) = \frac{v!}{(n-2)_v} C_v^{(1),n}(z) = \frac{v!}{(n-2)_v} C_v^{\frac{n-2}{2}}(z)$$

$$\Rightarrow C_v^{(2),\alpha}(z) = C_v^{(2),\frac{n-3}{2}}(z) = C_v^{\frac{n-2}{2}}(z)$$

Les polynômes de la seconde publication ne sont donc ni plus ni moins que les polynômes de Gegenbauer, mais avec des paramètres α et λ présentés différemment.

Avec quelques propriétés :

$$\text{Norme} \rightarrow \|C_l^{(1),n}(z)\|^2 = \frac{\pi^{\frac{1}{2}} \Gamma\left(\frac{n-1}{2}\right)}{\Gamma\left(\frac{n}{2}\right)} \frac{\Gamma(n-1)\Gamma(l+1)}{(2l+n-2)\Gamma(l+n-2)} = \frac{2^{n-2} \Gamma(l+1) \left(\Gamma\left(\frac{n-1}{2}\right)\right)^2}{(2l+n-2)\Gamma(l+n-2)}$$

$$\text{Formule de Rodrigues} \rightarrow C_l^{(1),n}(z) = \frac{(-1)^l \Gamma\left(\frac{n-1}{2}\right)}{2^l \Gamma\left(\frac{2l+n-1}{2}\right)} (1-z^2)^{\frac{3-n}{2}} \frac{d^l}{dz^l} \left((1-z^2)^{\frac{n-3}{2}} \right)$$

Fonctions génératrices

$$(1) \quad \frac{1-t^2}{(1+t^2-2tz)^{\frac{n}{2}}} = \sum_{l=1}^{\infty} t^l \frac{(n+2l-2)(n+l-3)!}{l(l-1)!(n-2)!} C_l^{(1),n}(z) = \sum_{l=1}^{\infty} t^l \frac{(n+2l-2)\Gamma(n+l-2)}{\Gamma(l+1)\Gamma(n-1)} C_l^{(1),n}(z)$$

$$(2) \quad \frac{1}{(1+t^2-2tz)^{\frac{n-2}{2}}} = \sum_{l=1}^{\infty} t^l C_l^{\frac{n-2}{2}}(z) = \sum_{l=1}^{\infty} t^l \frac{\Gamma(n-2+l)}{\Gamma(l+1)\Gamma(n-2)} C_l^{(1),n}(z)$$

Formule de récurrence

$$\begin{aligned} \text{Gegenbauer} \rightarrow & (\nu+1)C_{\nu+1}^{\frac{n-2}{2}}(z) = (2\nu+n-2)zC_{\nu}^{\frac{n-2}{2}}(z) - (\nu+n-3)C_{\nu-1}^{\frac{n-2}{2}}(z) \\ \Leftrightarrow & \frac{(\nu+n-2)\Gamma(n-2+\nu)}{\Gamma(\nu+1)\Gamma(n-2)} C_{\nu}^{(1),n}(z) = (2\nu+n-2)zC_{\nu}^{(1),n}(z) \frac{\Gamma(n-2+\nu)}{\Gamma(\nu+1)\Gamma(n-2)} - \nu C_{\nu-1}^{(1),n}(z) \frac{\Gamma(n-2+\nu)}{\Gamma(\nu+1)\Gamma(n-2)} \\ \Leftrightarrow & (\nu+n-2)C_{\nu+1}^{(1),n}(z) = (2\nu+n-2)zC_{\nu}^{(1),n}(z) - \nu C_{\nu-1}^{(1),n}(z) \end{aligned}$$

Voici des valeurs particulières de ces polynômes :

$$C_{\nu}^{(2),\alpha}(1) = \frac{(2\alpha+1)_{\nu}}{\nu!} = \frac{\Gamma(2\alpha+\nu+1)}{\nu!\Gamma(2\alpha+1)} = \frac{\Gamma(n-2+\nu)}{\Gamma(\nu+1)\Gamma(n-2)} \quad C_{\nu}^{(2),\alpha}(-1) = (-1)^{\nu} C_{\nu}^{(2),\alpha}(1) = (-1)^{\nu} \frac{\Gamma(n-2+\nu)}{\Gamma(\nu+1)\Gamma(n-2)}$$

$$C_{\nu}^{(1),n}(1) = \frac{\Gamma(n-2+\nu)}{\Gamma(\nu+1)\Gamma(n-2)} \frac{\Gamma(\nu+1)\Gamma(n-2)}{\Gamma(n-2+\nu)} = 1 \quad C_{\nu}^{(1),\alpha}(-1) = (-1)^{\nu}$$

$$C_{\nu}^{(1),n}(0) = \frac{\sqrt{\pi} \Gamma\left(\frac{n-1}{2}\right)}{\Gamma\left(\frac{1-\nu}{2}\right) \Gamma\left(\frac{n+\nu-1}{2}\right)} = \frac{2^{\nu} \sqrt{\pi} \Gamma\left(\frac{\nu+n-2}{2}\right) \Gamma(n-2)}{\Gamma\left(\frac{1-\nu}{2}\right) \Gamma\left(\frac{n-2}{2}\right) \Gamma(n-2+\nu)} \Rightarrow \text{si } \nu = 2p+1 \rightarrow C_{2p+1}^{(1),n}(0)$$

$$C_{\nu}^{(1),n'}(0) = \frac{\nu \sqrt{\pi} (n-2+\nu) \Gamma\left(\frac{n+1}{2}\right)}{(n-1) \Gamma\left(\frac{2-\nu}{2}\right) \Gamma\left(\frac{n+\nu}{2}\right)} \quad C_{\nu}^{(1),n'}(1) = \frac{\nu(n-2+\nu)}{(n-1)} \quad C_{\nu}^{(1),n'}(-1) = (-1)^{\nu} \frac{\nu(n-2+\nu)}{(n-1)}$$

Les formules de dérivation avec les polynômes de Frye ne sont qu'une transcription des formules de dérivation des polynômes de Gegenbauer établies par Campos :

Comme $C_v^{\frac{n-2}{2}}(z) = C_v^{(1),n}(z) \frac{\Gamma(n-2+v)}{\Gamma(v+1)\Gamma(n-2)}$

$$\Rightarrow C_{v+1}^{\frac{n-2}{2}}(z) = C_{v+1}^{(1),n}(z) \frac{\Gamma(n-1+v)}{\Gamma(v+2)\Gamma(n-2)} \quad C_{v-1}^{\frac{n-2}{2}}(z) = C_{v-1}^{(1),n}(z) \frac{\Gamma(n-3+v)}{\Gamma(v)\Gamma(n-2)}$$

(1) $v C_v^{(1),n}(z) = z C_v^{(1),n'}(z) - \frac{v}{(n-2+v)} C_{v-1}^{(1),n'}(z)$

(2) $C_{v+1}^{(1),n'}(z) \frac{(n-2+v)}{(v+1)} - \frac{v}{(n-3+2v)} C_{v-1}^{(1),n'}(z) = (n-2+2v) C_v^{(1),n}(z)$

(3) $C_{v+1}^{(1),n'}(z) \frac{(n-2+v)}{(v+1)} - z C_v^{(1),n'}(z) = (n-2+v) C_v^{(1),n}(z)$

(4) $(z^2 - 1) C_v^{(1),n'}(z) = v (z C_v^{(1),n}(z) - C_{v-1}^{(1),n}(z))$

(5) $(z^2 - 1) C_v^{(1),n'}(z) = (n-2+v) (C_{v+1}^{(1),n}(z) - z C_v^{(1),n}(z))$

On constate que les formules (4) et (5) sont celles qui se rapprochent le plus de la formule de dérivation pour les fonctions de Legendre de première espèce.

Calcul de quelques intégrales indéfinies des fonctions de Gegenbauer de première et deuxième espèce

Pour calculer quelques intégrales indéfinies, nous allons utiliser une méthode très récente basée sur un formalisme de calcul variationnel et de Lagrangien introduite dans toute une série de publication remarquable dont voici la liste :

- John T. Conway-A Lagrangian Method for Deriving New Indefinite Integrals of Special Functions
Apr 2015 · Integral Transforms and Special Functions
- John T. Conway-Indefinite integrals of some special functions from a new method
Nov 2015 · Integral Transforms and Special Functions
- John T. Conway-Indefinite integrals of Lommel functions from an inhomogeneous Euler–Lagrange method
Nov 2015 · Integral Transforms and Special Functions
- John T. Conway-Indefinite integrals involving the incomplete elliptic integrals of the first and second kinds
Jan 2016 · Integral Transforms and Special Functions
- John T. Conway-Indefinite integrals involving the incomplete elliptic integral of the third kind
Aug 2016 · Integral Transforms and Special Functions
- John T. Conway-Indefinite integrals of products of special functions
Nov 2016 · Integral Transforms and Special Functions
- John T. Conway-Indefinite integrals of incomplete elliptic integrals from Jacobi elliptic functions
Mar 2017 · Integral Transforms and Special Functions
- John T. Conway-Indefinite integrals involving complete elliptic integrals of the third kind
Apr 2017 · Integral Transforms and Special Functions
- John T. Conway-Indefinite integrals involving the Jacobi Zeta and Heuman Lambda functions
May 2017 · Integral Transforms and Special Functions
- John T. Conway-Indefinite integrals of quotients of special functions
Jan 2018 · Integral Transforms and Special Functions
- John T. Conway Indefinite integrals of quotients of Gauss hypergeometric functions
Mar 2018 · Integral Transforms and Special Functions

Problèmes aux limites de Laplace sur une hypersphère- p-

Voici le résultat fondamental de la première publication résumé en quelques mots : supposons $y(x)$ solution de l'équation différentielle du second degré suivante : $y''(x) + p(x)y'(x) + q(x)y(x) = 0$.

Et soit la fonction $f(x)$ définie par la primitive : $f(x) = e^{\int dx p(x)}$

Alors pour toute fonction $h(x)$ arbitraire au moins dérivable, le résultat suivant de l'intégrale indéfinie est établi :

$$\int dx f(x)(h''(x) + p(x)h'(x) + q(x)h(x))y(x) = f(x)(h'(x)y(x) - y'(x)h(x))$$

Le caractère arbitraire de la fonction $h(x)$ implique la possibilité d'établir une infinité d'intégrales indéfinies. Parmi celles-ci, l'article expose deux méthodes pratique pour le choix de la fonction $h(x)$. Par ailleurs si la primitive $f(x)$ est facile à calculer, il y a de forte chance d'obtenir des résultats intéressant. Pour choisir $h(x)$ deux méthode pratiques sont proposés. Pour intégrer la fonction elle-même, on peut choisir $h(x)$ solution de l'équation inhomogène :

$$h(x) \text{ solution de } h''(x) + p(x)h'(x) + q(x)h(x) = \frac{1}{f(x)}$$

$$\Rightarrow \int dx f(x) \frac{1}{f(x)} y(x) = \int dx y(x) = f(x)(h'(x)y(x) - y'(x)h(x))$$

On peut encore plus simplement prendre une fonction constante : $h(x)=1$, il vient alors :

$$\int dx f(x)q(x)y(x) = -f(x)y'(x)$$

On peut également prendre les fonctions suivantes :

$$h(x) \text{ solution de } h''(x) + p(x)h'(x) = 0$$

$$\Rightarrow \int dx f(x)q(x)h(x)y(x) = f(x)(h'(x)y(x) - y'(x)h(x))$$

$$h(x) \text{ solution de } p(x)h'(x) + q(x)h(x) = 0$$

$$\Rightarrow \int dx f(x)h''(x)y(x) = f(x)(h'(x)y(x) - y'(x)h(x))$$

$$h(x) \text{ solution de } h''(x) + q(x)h(x) = 0$$

$$\Rightarrow \int dx f(x)p(x)h'(x)y(x) = f(x)(h'(x)y(x) - y'(x)h(x))$$

Fort de ces quelques résultats commençons par les fonctions de Gegenbauer de première et deuxième espèce et leur intégration directe. Il vient :

$$(1-x^2)y'''(x) - (2\lambda+1)x y''(x) + \nu(\nu+2\lambda)y'(x) = 0$$

$$\Leftrightarrow y''(x) - (2\lambda+1) \frac{x}{(1-x^2)} y'(x) + \frac{\nu(\nu+2\lambda)}{(1-x^2)} y(x) = 0 \Rightarrow \begin{cases} p(x) = -(2\lambda+1) \frac{x}{(1-x^2)} \\ q(x) = \nu(\nu+2\lambda) \frac{1}{(1-x^2)} \end{cases}$$

Calculons la fonction $f(x)$:

$$p(x) = -\frac{(2\lambda+1)}{(1-x^2)} \Rightarrow -(2\lambda+1) \int \frac{xdx}{(1-x^2)} = \frac{(2\lambda+1)}{2} \text{Log}(1-x^2)$$

$$f(x) = e^{\int dx p(x)} = e^{\frac{(2\lambda+1)}{2} \text{Log}(1-x^2)} = (1-x^2)^{\frac{(2\lambda+1)}{2}} \Rightarrow f(x) = (1-x^2)^{\frac{(2\lambda+1)}{2}}$$

Problèmes aux limites de Laplace sur une hypersphère- p-

Prenons $h(x)$ solution de l'équation inhomogène :

$$h''(x) - \frac{(2\lambda+1)x}{(1-x^2)} h'(x) + \frac{\nu(\nu+2\lambda)}{(1-x^2)} h(x) = \frac{1}{(1-x^2)^{\frac{(2\lambda+1)}{2}}}$$

Cherchons $h(x)$ sous la forme $h(x) = (1-x^2)^\alpha$ $h'(x) = -2\alpha x(1-x^2)^{\alpha-1}$

$$h''(x) = 4\alpha(\alpha-1)x^2(1-x^2)^{\alpha-2} - 2\alpha(1-x^2)^{\alpha-1} = (1-x^2)^{\alpha-2} (2\alpha(2\alpha-1)x^2 - 2\alpha)$$

$$\Rightarrow h''(x) - \frac{(2\lambda+1)x}{(1-x^2)} h'(x) + \frac{\nu(\nu+2\lambda)}{(1-x^2)} h(x) = (1-x^2)^{\alpha-2} [x^2(4\alpha(\alpha+\lambda) - \nu(\nu+2\lambda)) - 2\alpha + 1 + \nu(\nu+2\lambda)]$$

$$\text{En posant } \alpha = \frac{1-2\lambda}{2} \Rightarrow h''(x) - \frac{(2\lambda+1)x}{(1-x^2)} h'(x) + \frac{\nu(\nu+2\lambda)}{(1-x^2)} h(x) = (1-x^2)^{-\frac{1+2\lambda}{2}} (\nu+1)(\nu+2\lambda-1)$$

$$\Rightarrow h(x) = \frac{(1-x^2)^{\frac{(1-2\lambda)}{2}}}{(\nu+1)(\nu+2\lambda-1)} \text{ solution de } h''(x) - \frac{(2\lambda+1)x}{(1-x^2)} h'(x) + \frac{\nu(\nu+2\lambda)}{(1-x^2)} h(x) = \frac{1}{(1-x^2)^{\frac{(2\lambda+1)}{2}}}$$

Autrement dit le premier résultat important est le suivant :

$$\int dx y(x) = f(x)(h'(x)y(x) - y'(x)h(x))$$

$$h(x) = \frac{(1-x^2)^{\frac{(1-2\lambda)}{2}}}{(\nu+1)(\nu+2\lambda-1)} \quad h'(x) = \frac{(2\lambda-1)x(1-x^2)^{\frac{(1+2\lambda)}{2}}}{(\nu+1)(\nu+2\lambda-1)} \quad f(x) = (1-x^2)^{\frac{(2\lambda+1)}{2}}$$

$$\int dx C_\nu^\lambda(x) = (1-x^2)^{\frac{(2\lambda+1)}{2}} \frac{\left((2\lambda-1)x(1-x^2)^{-\frac{(1+2\lambda)}{2}} C_\nu^\lambda(x) - (1-x^2)(1-x^2)^{-\frac{(1+2\lambda)}{2}} C_\nu^{\lambda'}(x) \right)}{(\nu+1)(\nu+2\lambda-1)}$$

$$\Rightarrow \begin{cases} \int dx C_\nu^\lambda(x) = \frac{((2\lambda-1)x C_\nu^\lambda(x) - (1-x^2) C_\nu^{\lambda'}(x))}{(\nu+1)(\nu+2\lambda-1)} & \text{première espèce} \\ \int dx C_{(\varrho),\nu}^\lambda(x) = \frac{((2\lambda-1)x C_{(\varrho),\nu}^\lambda(x) - (1-x^2) C_{(\varrho),\nu}^{\lambda'}(x))}{(\nu+1)(\nu+2\lambda-1)} & \text{deuxième espèce} \end{cases}$$

En intégrant les deux formules de dérivation des fonctions de Gegenbauer, il vient :

$$-(1-x^2)C_v^{\lambda'}(x) = v x C_v^{\lambda}(x) - (2\lambda - 1 + v)C_{v-1}^{\lambda}(x)$$

$$-(1-x^2)C_v^{\lambda'}(x) = (v+1)C_{v+1}^{\lambda}(x) - (2\lambda + v)xC_v^{\lambda}(x)$$

$$\Rightarrow \begin{cases} \int dx C_v^{\lambda}(x) = \frac{(xC_v^{\lambda}(x) - C_{v-1}^{\lambda}(x))}{(v+1)} & \text{première espèce} \\ \int dx C_{(\varrho),v}^{\lambda}(x) = \frac{(xC_{(\varrho),v}^{\lambda}(x) - C_{(\varrho),v-1}^{\lambda}(x))}{(v+1)} & \text{deuxième espèce} \end{cases}$$

$$\Rightarrow \begin{cases} \int dx C_v^{\lambda}(x) = \frac{(C_{v+1}^{\lambda}(x) - xC_v^{\lambda}(x))}{(v+2\lambda-1)} & \text{première espèce} \\ \int dx C_{(\varrho),v}^{\lambda}(x) = \frac{(C_{(\varrho),v+1}^{\lambda}(x) - xC_{(\varrho),v}^{\lambda}(x))}{(v+2\lambda-1)} & \text{deuxième espèce} \end{cases}$$

$$(v+1)C_{v+1}^{\lambda}(z) = 2(\lambda+v)zC_v^{\lambda}(z) - (2\lambda+v-1)C_{v-1}^{\lambda}(z)$$

$$\text{Comme } xC_v^{\lambda}(x) = \frac{C_{v+1}^{\lambda}(x)(v+1) + (2\lambda+v-1)C_{v-1}^{\lambda}(x)}{2(\lambda+v)} \Rightarrow \frac{(C_{v+1}^{\lambda}(x) - xC_v^{\lambda}(x))}{(v+2\lambda-1)} = \frac{(C_{v+1}^{\lambda}(x) - C_{v-1}^{\lambda}(x))}{2(\lambda+v)}$$

$$\Rightarrow \begin{cases} \int dx C_v^{\lambda}(x) = \frac{(xC_{v+1}^{\lambda}(x) - C_{v-1}^{\lambda}(x))}{2(\lambda+v)} & \text{première espèce} \\ \int dx C_{(\varrho),v}^{\lambda}(x) = \frac{(xC_{(\varrho),v+1}^{\lambda}(x) - C_{(\varrho),v-1}^{\lambda}(x))}{2(\lambda+v)} & \text{deuxième espèce} \end{cases}$$

Le dernier résultat est une intégrale indéfinie connue (voir A.P.Prudnikov, Yu.A.Brychkov, O.I.Marichev-Integrals and Series - Volume 2 - Special Functions, page 52, section 1.14.5 formule 1).

Toutes les intégrales indéfinies plus haut sont intimement liées par les relation de récurrence des fonctions de Gegenbauer avec des ordres ascendant ou descendant, ce qui permet finalement de donner une dernière intégrale indéfinie connue :

$$\Rightarrow \int dx C_v^{\lambda}(x) = \frac{C_{v+1}^{\lambda-1}(x)}{2(\lambda-1)} \quad \text{première espèce} \quad \int dx C_{(\varrho),v}^{\lambda}(x) = \frac{C_{(\varrho),v+1}^{\lambda-1}(x)}{2(\lambda-1)} \quad \text{deuxième espèce}$$

qui est tout simplement l'inverse de la formule de dérivation donnée auparavant (voir précédemment). En conclusion ces intégrales indéfinies obtenues par le procédé de J.T.Conway sont également déjà connues moyennant quelques petites manipulations calculatoires.

En parallèle donnons l'intégrale des fonctions solutions de l'équation différentielle du second degré :

$$y(x) \text{ solution de : } (1-x^2)y''(x) - 2(\lambda+1)x y'(x) + (\nu-\lambda)(\nu+\lambda+1)y(x) = 0$$

$$\Leftrightarrow y(x) = (1-x^2)^{-\frac{\lambda}{2}} (C_1 P_\nu^\lambda(x) + C_2 Q_\nu^\lambda(x))$$

$P_\mu^\nu(z), Q_\mu^\nu(z)$ fonctions associées de Legendre de première et deuxième espèce

$$\Leftrightarrow y''(x) - 2(\lambda+1) \frac{x}{(1-x^2)} y'(x) + \frac{(\nu-\lambda)(\nu+\lambda+1)}{(1-x^2)} y(x) = 0 \rightarrow \begin{cases} p(x) = -(\lambda+1) \frac{2x}{(1-x^2)} \\ q(x) = (\nu-\lambda)(\nu+\lambda+1) \frac{1}{(1-x^2)} \end{cases}$$

$$\int dx p(x) = (\lambda+1) \text{Log}(1-x^2) \Rightarrow f(x) = e^{\int dx p(x)} = (1-x^2)^{\lambda+1}$$

Prenons $h(x)$ solution de l'équation inhomogène suivante :

$$h(x) = \frac{(1-x^2)^{-\lambda}}{(\nu+\lambda)(\nu-\lambda+1)} \text{ solution de } h''(x) - \frac{2(\lambda+1)x}{(1-x^2)} h'(x) + \frac{(\nu-\lambda)(\nu+\lambda+1)}{(1-x^2)} h(x) = \frac{1}{(1-x^2)^{\lambda+1}}$$

D'où le second résultat portant sur des intégrales indéfinies des fonctions de Legendre associées :

$$\int dx y(x) = f(x) (h'(x)y(x) - y'(x)h(x)) \quad h(x) = \frac{(1-x^2)^{-\lambda}}{(\nu+\lambda)(\nu-\lambda+1)} \quad h'(x) = \frac{2\lambda x (1-x^2)^{-\lambda-1}}{(\nu+\lambda)(\nu-\lambda+1)}$$

$$f(x) = (1-x^2)^{(\lambda+1)} \quad y(x) = (1-x^2)^{-\frac{\lambda}{2}} P_\nu^\lambda(x) \quad \text{ou} \quad y(x) = (1-x^2)^{-\frac{\lambda}{2}} Q_\nu^\lambda(x)$$

$$\left((1-x^2)^{-\frac{\lambda}{2}} P_\nu^\lambda(x) \right)' = (1-x^2)^{-\frac{\lambda}{2}} P_\nu^{\lambda'}(x) + \lambda x (1-x^2)^{-\frac{\lambda}{2}-1} P_\nu^\lambda(x)$$

$$\left((1-x^2)^{-\frac{\lambda}{2}} Q_\nu^\lambda(x) \right)' = (1-x^2)^{-\frac{\lambda}{2}} Q_\nu^{\lambda'}(x) + \lambda x (1-x^2)^{-\frac{\lambda}{2}-1} Q_\nu^\lambda(x)$$

$$\Rightarrow \int dx (1-x^2)^{-\frac{\lambda}{2}} P_\nu^\lambda(x) =$$

$$= \frac{(1-x^2)^{(\lambda+1)}}{(\nu+\lambda)(\nu-\lambda+1)} \left(2\lambda x (1-x^2)^{-\lambda} (1-x^2)^{-\frac{\lambda}{2}-1} P_\nu^\lambda(x) - (1-x^2)^{-\lambda} \left[(1-x^2)^{-\frac{\lambda}{2}} P_\nu^{\lambda'}(x) + \lambda x (1-x^2)^{-\frac{\lambda}{2}-1} P_\nu^\lambda(x) \right] \right)$$

$$= \frac{(1-x^2)^{-\frac{\lambda}{2}}}{(\nu+\lambda)(\nu-\lambda+1)} (\lambda x P_\nu^\lambda(x) - (1-x^2) P_\nu^{\lambda'}(x))$$

$$\Rightarrow \int dx (1-x^2)^{-\frac{\lambda}{2}} P_\nu^\lambda(x) = \frac{(1-x^2)^{-\frac{\lambda}{2}} (\lambda x P_\nu^\lambda(x) - (1-x^2) P_\nu^{\lambda'}(x))}{(\nu+\lambda)(\nu-\lambda+1)}$$

$$\Rightarrow \int dx (1-x^2)^{-\frac{\lambda}{2}} Q_\nu^\lambda(x) = \frac{(1-x^2)^{-\frac{\lambda}{2}} (\lambda x Q_\nu^\lambda(x) - (1-x^2) Q_\nu^{\lambda'}(x))}{(\nu+\lambda)(\nu-\lambda+1)}$$

En utilisant les deux formules de dérivation, il vient :

$$\begin{aligned}
 -(1-x^2)P_v^{\lambda'}(x) &= v x P_v^{\lambda}(x) - (\lambda + v)P_{v-1}^{\lambda}(x) \\
 -(1-x^2)P_v^{\lambda'}(x) &= (v+1-\lambda)P_{v+1}^{\lambda}(x) - (v+1)xP_v^{\lambda}(x) \\
 \Rightarrow \int dx (1-x^2)^{-\frac{\lambda}{2}} P_v^{\lambda}(x) &= \frac{(1-x^2)^{-\frac{\lambda}{2}} (xP_v^{\lambda}(x) - P_{v-1}^{\lambda}(x))}{(v-\lambda+1)} \\
 \Rightarrow \int dx (1-x^2)^{-\frac{\lambda}{2}} Q_v^{\lambda}(x) &= \frac{(1-x^2)^{-\frac{\lambda}{2}} (xQ_v^{\lambda}(x) - Q_{v-1}^{\lambda}(x))}{(v-\lambda+1)} \\
 \Rightarrow \int dx (1-x^2)^{-\frac{\lambda}{2}} P_v^{\lambda}(x) &= \frac{(1-x^2)^{-\frac{\lambda}{2}} (P_{v+1}^{\lambda}(x) - xP_v^{\lambda}(x))}{(v+\lambda)} \\
 \Rightarrow \int dx (1-x^2)^{-\frac{\lambda}{2}} Q_v^{\lambda}(x) &= \frac{(1-x^2)^{-\frac{\lambda}{2}} (Q_{v+1}^{\lambda}(x) - xQ_v^{\lambda}(x))}{(v+\lambda)}
 \end{aligned}$$

Il existe déjà un résultat connu de cette intégrale indéfinie :

$$\begin{aligned}
 \Rightarrow \int dx (1-x^2)^{-\frac{\lambda}{2}} P_v^{\lambda}(x) &= -(1-x^2)^{\frac{1-\lambda}{2}} P_v^{\lambda-1}(x) \\
 \Rightarrow \int dx (1-x^2)^{-\frac{\lambda}{2}} Q_v^{\lambda}(x) &= -(1-x^2)^{\frac{1-\lambda}{2}} Q_v^{\lambda-1}(x)
 \end{aligned}$$

Il suffit d'introduire les formules de récurrence sur les degrés et les ordres :

$$\begin{aligned}
 (1-z^2)^{\frac{1}{2}} P_v^{\mu-1}(z) &= \frac{P_{v-1}^{\mu}(z) - zP_v^{\mu}(z)}{(v-\mu+1)} \quad (1-z^2)^{\frac{1}{2}} P_v^{\mu-1}(z) = \frac{zP_v^{\mu}(z) - P_{v+1}^{\mu}(z)}{(\mu+v)} \quad (1-z^2)^{\frac{1}{2}} P_v^{\mu-1}(z) = \frac{P_{v-1}^{\mu}(z) - P_{v+1}^{\mu}(z)}{2v+1} \\
 (1-z^2)^{\frac{1}{2}} P_v^{\mu+1}(z) &= (v-\mu)zP_v^{\mu}(z) - (\mu+v)P_{v-1}^{\mu}(z) \quad (1-z^2)^{\frac{1}{2}} P_v^{\mu+1}(z) = (v-\mu+1)P_{v+1}^{\mu}(z) - (v+\mu+1)zP_v^{\mu}(z) \\
 (1-z^2)^{\frac{1}{2}} P_v^{\mu+1}(z) &= \frac{(v-\mu+1)(v-\mu)P_{v+1}^{\mu}(z) - (v+\mu+1)(\mu+v)P_{v-1}^{\mu}(z)}{(2v+1)}
 \end{aligned}$$

Pour retrouver ce résultat, il suffit d'introduire l'une de ces formules, et il vient :

$$\begin{aligned}
 \int dx (1-x^2)^{-\frac{\lambda}{2}} P_v^{\lambda}(x) &= \frac{(1-x^2)^{-\frac{\lambda}{2}} (xP_v^{\lambda}(x) - P_{v-1}^{\lambda}(x))}{(v-\lambda+1)} = \\
 Or \quad -(1-z^2)^{\frac{1}{2}} P_v^{\lambda-1}(z) &= \frac{zP_v^{\lambda}(z) - P_{v-1}^{\lambda}(z)}{(v-\lambda+1)} \Rightarrow \int dx (1-x^2)^{-\frac{\lambda}{2}} P_v^{\lambda}(x) = -(1-z^2)^{\frac{(\lambda-1)}{2}} P_v^{\lambda-1}(z)
 \end{aligned}$$

C'est l'intégrale indéfinie connue donnée dans A.P.Prudnikov, Yu.A.Brychkov, O.I.Marichev-Integrals and Series - Volume 3 – More Special Functions, page 34 édition russe, section 1.12.1 formule 8

Intégrales indéfinies des fonctions de Gegenbauer de première et deuxième espèce pondérées

Prenons le choix $h(x)=1$, il vient immédiatement :

$$\int dx f(x)q(x)y'(x) = -f(x)y'(x)$$

$$q(x) = v(v+2\lambda) \frac{1}{(1-x^2)} \quad f(x) = (1-x^2)^{\frac{(2\lambda+1)}{2}}$$

$$\Rightarrow \begin{cases} \int dx (1-x^2)^{\frac{(2\lambda-1)}{2}} C_v^\lambda(x) = -\frac{(1-x^2)^{\frac{(2\lambda+1)}{2}} C_v^{\lambda'}(x)}{v(v+2\lambda)} \\ \int dx (1-x^2)^{\frac{(2\lambda-1)}{2}} C_{(Q),v}^\lambda(x) = -\frac{(1-x^2)^{\frac{(2\lambda+1)}{2}} C_{(Q),v}^{\lambda'}(x)}{v(v+2\lambda)} \end{cases}$$

Comme il existe une formule liant la dérivée des fonctions de Gegenbauer avec les fonctions de Gegenbauer d'ordre supérieur, il vient :

$$C_v^{\lambda'}(x) = 2\lambda C_{v-1}^{\lambda+1}(x) \Rightarrow \begin{cases} \int dx (1-x^2)^{\frac{(2\lambda-1)}{2}} C_v^\lambda(x) = -\frac{2\lambda}{v(v+2\lambda)} (1-x^2)^{\frac{(2\lambda+1)}{2}} C_{v-1}^{\lambda+1}(x) \\ \int dx (1-x^2)^{\frac{(2\lambda-1)}{2}} C_{(Q),v}^\lambda(x) = -\frac{2\lambda}{v(v+2\lambda)} (1-x^2)^{\frac{(2\lambda+1)}{2}} C_{(Q),v-1}^{\lambda+1}(x) \end{cases}$$

Le dernier résultat est encore une intégrale indéfinie connue (voir A.P.Prudnikov, Yu.A.Brychkov, O.I.Marichev-Integrals and Series - Volume 2 - Special Functions, page 53, section 1.14.5, formule 7).

En utilisant l'une des formules de dérivation des fonctions de Gegenbauer de première et deuxième espèce, il vient :

$$-(1-x^2)C_v^{\lambda'}(x) = v x C_v^\lambda(x) - (2\lambda - 1 + v)C_{v-1}^\lambda(x)$$

$$-(1-x^2)C_{v+1}^{\lambda'}(x) = (v+1)C_{v+1}^\lambda(x) - (2\lambda + v)x C_v^\lambda(x)$$

$$\Rightarrow \begin{cases} \int dx (1-x^2)^{\frac{(2\lambda-1)}{2}} C_v^\lambda(x) = \frac{(1-x^2)^{\frac{(2\lambda-1)}{2}}}{v(v+2\lambda)} (v x C_v^\lambda(x) - (2\lambda - 1 + v)C_{v-1}^\lambda(x)) \\ \int dx (1-x^2)^{\frac{(2\lambda-1)}{2}} C_{(Q),v}^\lambda(x) = \frac{(1-x^2)^{\frac{(2\lambda-1)}{2}}}{v(v+2\lambda)} (v x C_{(Q),v}^\lambda(x) - (2\lambda - 1 + v)C_{(Q),v-1}^\lambda(x)) \end{cases}$$

$$\Rightarrow \begin{cases} \int dx (1-x^2)^{\frac{(2\lambda-1)}{2}} C_v^\lambda(x) = \frac{(1-x^2)^{\frac{(2\lambda-1)}{2}}}{v(v+2\lambda)} ((v+1)C_{v+1}^\lambda(x) - (2\lambda + v)x C_v^\lambda(x)) \\ \int dx (1-x^2)^{\frac{(2\lambda-1)}{2}} C_{(Q),v}^\lambda(x) = \frac{(1-x^2)^{\frac{(2\lambda-1)}{2}}}{v(v+2\lambda)} ((v+1)C_{(Q),v+1}^\lambda(x) - (2\lambda + v)x C_{(Q),v}^\lambda(x)) \end{cases}$$

En utilisant la forme différemment normalisée des polynômes de Gegenbauer (introduite par Frye et Efthimiou), une fois étendue aux fonctions de première et deuxième espèce, les formules sont encore plus concises :

$$C_v^{\frac{n-2}{2}}(z) = C_v^{(1),n}(z) \frac{\Gamma(n-2+\nu)}{\Gamma(\nu+1)\Gamma(n-2)} \quad \begin{cases} -(1-x^2)C_v^{(1),n'}(z) = \nu(xC_v^{(1),n}(x) - C_{\nu-1}^{(1),n}(x)) \\ -(1-x^2)C_v^{(1),n'}(z) = (\nu+n-2)(C_{\nu+1}^{(1),n}(x) - xC_v^{(1),n}(x)) \end{cases}$$

$$\int dx (1-x^2)^{\frac{(2\lambda-1)}{2}} C_v^\lambda(x) = -\frac{(1-x^2)^{\frac{(2\lambda+1)}{2}} C_v^{\lambda'}(x)}{\nu(\nu+2\lambda)} \Leftrightarrow \int dx (1-x^2)^{\frac{(n-3)}{2}} C_v^{(1),n}(x) = -\frac{(1-x^2)^{\frac{(n-1)}{2}} C_v^{(1),n'}(x)}{\nu(\nu+n-2)}$$

$$\Rightarrow \begin{cases} \int dx (1-x^2)^{\frac{(n-3)}{2}} C_v^{(1),n}(x) = \frac{(1-x^2)^{\frac{(n-3)}{2}}}{(\nu+n-2)} (xC_v^{(1),n}(x) - C_{\nu-1}^{(1),n}(x)) \\ \int dx (1-x^2)^{\frac{(n-3)}{2}} C_{(Q),\nu}^{(1),n}(x) = \frac{(1-x^2)^{\frac{(n-3)}{2}}}{(\nu+n-2)} (xC_{(Q),\nu}^{(1),n}(x) - C_{(Q),\nu-1}^{(1),n}(x)) \end{cases}$$

$$\Rightarrow \begin{cases} \int dx (1-x^2)^{\frac{(n-3)}{2}} C_v^{(1),n}(x) = \frac{(1-x^2)^{\frac{(n-3)}{2}}}{\nu} (C_{\nu+1}^{(1),n}(x) - xC_v^{(1),n}(x)) \\ \int dx (1-x^2)^{\frac{(n-3)}{2}} C_{(Q),\nu}^{(1),n}(x) = \frac{(1-x^2)^{\frac{(n-3)}{2}}}{\nu} (C_{(Q),\nu+1}^{(1),n}(x) - xC_{(Q),\nu}^{(1),n}(x)) \end{cases}$$

En parallèle donnons également la forme d'intégrales indéfinies avec les fonctions de Legendre associées :

$$\int dx f(x)q(x)y(x) = -f(x)y'(x)$$

$$q(x) = \frac{(\nu-\lambda)(\nu+\lambda+1)}{(1-x^2)} \quad f(x) = (1-x^2)^{(\lambda+1)} \Rightarrow f(x)q(x) = (\nu-\lambda)(\nu+\lambda+1)(1-x^2)^\lambda$$

$$y(x) = (1-x^2)^{-\frac{\lambda}{2}} P_\nu^\lambda(x) \quad \text{ou} \quad y(x) = (1-x^2)^{-\frac{\lambda}{2}} Q_\nu^\lambda(x)$$

$$f(x) \left((1-x^2)^{-\frac{\lambda}{2}} P_\nu^\lambda(x) \right)' = (1-x^2)^{+\frac{\lambda}{2}+1} P_\nu^{\lambda'}(x) + \lambda x (1-x^2)^{+\frac{\lambda}{2}} P_\nu^\lambda(x)$$

$$f(x) \left((1-x^2)^{-\frac{\lambda}{2}} Q_\nu^\lambda(x) \right)' = (1-x^2)^{+\frac{\lambda}{2}+1} Q_\nu^{\lambda'}(x) + \lambda x (1-x^2)^{+\frac{\lambda}{2}} Q_\nu^\lambda(x)$$

$$\Rightarrow \int dx (1-x^2)^{\frac{\lambda}{2}} P_\nu^\lambda(x) = -(1-x^2)^{+\frac{\lambda}{2}} \frac{(1-x^2)P_\nu^{\lambda'}(x) + \lambda x P_\nu^\lambda(x)}{(\nu-\lambda)(\nu+\lambda+1)}$$

$$\Rightarrow \int dx (1-x^2)^{\frac{\lambda}{2}} Q_\nu^\lambda(x) = -(1-x^2)^{+\frac{\lambda}{2}} \frac{(1-x^2)Q_\nu^{\lambda'}(x) + \lambda x Q_\nu^\lambda(x)}{(\nu-\lambda)(\nu+\lambda+1)}$$

Compte tenu des formules de dérivation des fonctions de Legendre associées, il vient :

$$\begin{aligned}
 & -(1-x^2)P_v^{\lambda'}(x) = v x P_v^{\lambda}(x) - (\lambda + v)P_{v-1}^{\lambda}(x) \\
 & -(1-x^2)P_v^{\lambda'}(x) = (v+1-\lambda)P_{v+1}^{\lambda}(x) - (v+1)xP_v^{\lambda}(x) \\
 \Rightarrow & \begin{cases} (- (1-x^2)P_v^{\lambda'}(x) - \lambda x P_v^{\lambda}(x)) = (v-\lambda)xP_v^{\lambda}(x) - (\lambda+v)P_{v-1}^{\lambda}(x) \\ (- (1-x^2)P_v^{\lambda'}(x) - \lambda x P_v^{\lambda}(x)) = (v+1-\lambda)P_{v+1}^{\lambda}(x) - (v+1+\lambda)xP_v^{\lambda}(x) \end{cases} \\
 \Rightarrow & \begin{cases} \int dx (1-x^2)^{\frac{\lambda}{2}} P_v^{\lambda}(x) = (1-x^2)^{+\frac{\lambda}{2}} \frac{(v-\lambda)xP_v^{\lambda}(x) - (\lambda+v)P_{v-1}^{\lambda}(x)}{(v-\lambda)(v+\lambda+1)} \\ \int dx (1-x^2)^{\frac{\lambda}{2}} Q_v^{\lambda}(x) = (1-x^2)^{+\frac{\lambda}{2}} \frac{(v-\lambda)xQ_v^{\lambda}(x) - (\lambda+v)Q_{v-1}^{\lambda}(x)}{(v-\lambda)(v+\lambda+1)} \end{cases} \\
 \Rightarrow & \begin{cases} \int dx (1-x^2)^{\frac{\lambda}{2}} P_v^{\lambda}(x) = (1-x^2)^{+\frac{\lambda}{2}} \frac{(v+1-\lambda)P_{v+1}^{\lambda}(x) - (v+1+\lambda)xP_v^{\lambda}(x)}{(v-\lambda)(v+\lambda+1)} \\ \int dx (1-x^2)^{\frac{\lambda}{2}} Q_v^{\lambda}(x) = (1-x^2)^{+\frac{\lambda}{2}} \frac{(v+1-\lambda)Q_{v+1}^{\lambda}(x) - (v+1+\lambda)xQ_v^{\lambda}(x)}{(v-\lambda)(v+\lambda+1)} \end{cases} .
 \end{aligned}$$

Avec les formules de récurrence sur les degrés et les ordres, il vient :

$$\begin{aligned}
 & (1-x^2)^{\frac{1}{2}} P_v^{\lambda+1}(x) = (v-\lambda)xP_v^{\lambda}(x) - (\lambda+v)P_{v-1}^{\lambda}(x) \\
 & (1-x^2)^{\frac{1}{2}} P_v^{\lambda+1}(x) = (v-\lambda+1)P_{v+1}^{\lambda}(x) - (v+\lambda+1)xP_v^{\lambda}(x) \\
 \Rightarrow & \begin{cases} \int dx (1-x^2)^{\frac{\lambda}{2}} P_v^{\lambda}(x) = (1-x^2)^{+\frac{\lambda+1}{2}} \frac{P_v^{\lambda+1}(x)}{(v-\lambda)(v+\lambda+1)} \\ \int dx (1-x^2)^{\frac{\lambda}{2}} Q_v^{\lambda}(x) = (1-x^2)^{+\frac{\lambda+1}{2}} \frac{Q_v^{\lambda+1}(x)}{(v-\lambda)(v+\lambda+1)} \end{cases} .
 \end{aligned}$$

C'est exactement l'intégrale indéfinie donnée également dans A.P.Prudnikov, Yu.A.Brychkov, O.I.Marichev-Integrals and Series - Volume 3 – More Special Functions, page 34 édition russe, section 1.12.1 formule 9.

Donc pour l'instant, par ce procédé on ne trouve pas de nouvelles intégrales.

Intégrales indéfinies des fonctions de Gegenbauer à l'aide d'équations conjuguées

La fonction $h(x)$ suivante est solution d'une équation inhomogène conjuguée de celle de Gegenbauer :

$$\Rightarrow h(x) = \frac{(1-x^2)^{\frac{(1-2\lambda)}{2}}}{(v(v+1)+\lambda(1-\lambda)-1)} \text{ solution de } h''(x) - \frac{(2\lambda+1)x}{(1-x^2)} h'(x) + \frac{(v-\lambda)(v+\lambda+1)}{(1-x^2)} h(x) = \frac{1}{(1-x^2)^{\frac{(2\lambda+1)}{2}}}$$

Problèmes aux limites de Laplace sur une hypersphère- p-

L'intégrale indéfinie prend la forme suivante en utilisant une équation conjuguée de l'équation différentielle de départ :

$$\int dx f(x)(h''(x) + p(x)h'(x) + q(x)h(x))y(x) = f(x)(h'(x)y(x) - y'(x)h(x))$$

$$h(x) \text{ solution de } h''(x) + p(x)h'(x) + r(x)h(x) = \frac{1}{f(x)} \Rightarrow h''(x) + p(x)h'(x) = \frac{1}{f(x)} - r(x)h(x)$$

$$\text{Notons } \tilde{h}(x) \text{ solution de } \tilde{h}''(x) + p(x)\tilde{h}'(x) + q(x)\tilde{h}(x) = \frac{1}{f(x)}$$

$$\int dx f(x)(h''(x) + p(x)h'(x) + q(x)h(x))y(x) = \int dx f(x) \left(\frac{1}{f(x)} + (q(x) - r(x))h(x) \right) y(x) =$$

$$= \int dx y(x) + \int dx f(x)(q(x) - r(x))h(x)y(x)$$

$$\Rightarrow \int dx f(x)(q(x) - r(x))h(x)y(x) = f(x)(h'(x)y(x) - y'(x)h(x)) - \int dx y(x)$$

$$\text{Si } r(x) = \alpha q(x)$$

$$\Rightarrow (1 - \alpha) \int dx f(x)q(x)h(x)y(x) = f(x)(h'(x)y(x) - y'(x)h(x)) - \int dx y(x)$$

$$\text{Si } r(x) = \alpha q(x) \text{ et } h''(x) + p(x)h'(x) = 0 \Rightarrow \alpha q(x)h(x) = \frac{1}{f(x)} \Rightarrow q(x)h(x) = \frac{1}{\alpha f(x)}$$

$$\Rightarrow \left(\frac{(1 - \alpha)}{\alpha} + 1 \right) \int dx y(x) = \frac{1}{\alpha} \int dx y(x) = f(x)(h'(x)y(x) - y'(x)h(x)) = \frac{1}{\alpha} f(x)(\tilde{h}'(x)y(x) - y'(x)\tilde{h}(x))$$

$$\text{intégrale déjà calculée puisque } h(x) = \frac{\tilde{h}(x)}{\alpha}$$

$$\text{Si } r(x) = \alpha q(x) \text{ et } h''(x) + p(x)h'(x) = \frac{\beta}{f(x)} \Rightarrow \alpha q(x)h(x) = \frac{1 - \beta}{f(x)} \text{ de même } \tilde{h}''(x) + p(x)\tilde{h}'(x) = \frac{\tilde{\beta}}{f(x)}$$

$$\Rightarrow \left(\frac{(1 - \alpha)(1 - \beta)}{\alpha} + 1 \right) \int dx y(x) = \frac{(1 - \beta)(1 - \alpha)}{\alpha} \int dx y(x) = f(x)(h'(x)y(x) - y'(x)h(x)) =$$

$$= \frac{(1 - \beta)(1 - \alpha)}{\alpha} f(x)(\tilde{h}'(x)y(x) - y'(x)\tilde{h}(x))$$

$$h''(x) + p(x)h'(x) = \frac{\beta}{f(x)} \Rightarrow q(x)h(x) = \frac{1 - \beta}{\alpha f(x)} \text{ et } q(x)\tilde{h}(x) = \frac{1 - \tilde{\beta}}{f(x)} \Rightarrow h(x) = \frac{1 - \beta}{\alpha(1 - \tilde{\beta})} \tilde{h}(x)$$

$$\text{intégrale déjà calculée puisque } h(x) = \frac{(1 - \beta)(1 - \alpha)}{\alpha} \tilde{h}(x) \text{ il suffit de prendre } \frac{1 - \beta}{1 - \tilde{\beta}} = 1 - \beta(1 - \alpha)$$

Avec la fonction :

$$t(x) = (1 - x^2)^{\frac{(1 - 2\lambda)}{2}} \quad f(x) = (1 - x^2)^{\frac{(2\lambda + 1)}{2}} \Rightarrow t''(x) + p(x)t'(x) = (2\lambda - 1)(1 - x^2)^{\frac{(2\lambda + 1)}{2}} = \frac{(2\lambda - 1)}{f(x)}$$

Cette la solution de l'équation conjuguée ne peut servir pour générer de nouvelles intégrales indéfinies, puisque l'une des conditions sur l'équation différentielle est respectée.

Intégrales indéfinies des fonctions de Gegenbauer à l'aide de fonctions $h(x)$ quelconques

Posons $h(x)$ solution de :

$$\Rightarrow -\frac{(2\lambda+1)x}{(1-x^2)}h'(x) + \frac{\nu(\nu+2\lambda)}{(1-x^2)}h(x) = 0 \Leftrightarrow (2\lambda+1)xh'(x) = \nu(\nu+2\lambda)$$

$$\Rightarrow \frac{h'(x)}{h(x)} = \frac{1}{x} \frac{\nu(\nu+2\lambda)}{(2\lambda+1)} \Rightarrow \text{Log}(h(x))' = \text{Log}(x)' \frac{\nu(\nu+2\lambda)}{(2\lambda+1)} \Rightarrow \text{Log}(h(x)) = \text{Log}(x) \frac{\nu(\nu+2\lambda)}{(2\lambda+1)}$$

$$\Rightarrow h(x) = x^{\frac{\nu(\nu+2\lambda)}{(2\lambda+1)}} \Rightarrow h''(x) = \frac{x^{\frac{\nu(\nu+2\lambda)}{(2\lambda+1)}-2}}{(2\lambda+1)^2} \nu(\nu+2\lambda)(\nu(\nu+2\lambda)-2\lambda-1)$$

Dans ce cas l'intégrale indéfinie s'écrit :

$$\int dx f(x) \left(h''(x) - \frac{(2\lambda+1)x}{(1-x^2)} h'(x) + \frac{\nu(\nu+2\lambda)}{(1-x^2)} h(x) \right) y(x) = f(x) (h'(x)y(x) - y'(x)h(x))$$

$$\Rightarrow \int dx f(x) h''(x) y(x) = f(x) (h'(x)y(x) - y'(x)h(x)) \quad f(x) = (1-x^2)^{\frac{(2\lambda+1)}{2}} \quad h(x) = x^{\frac{\nu(\nu+2\lambda)}{(2\lambda+1)}}$$

$$\Rightarrow h''(x) = \frac{x^{\frac{\nu(\nu+2\lambda)}{(2\lambda+1)}-2}}{(2\lambda+1)^2} \nu(\nu+2\lambda)(\nu(\nu+2\lambda)-2\lambda-1) \quad h'(x) = \frac{\nu(\nu+2\lambda)}{(2\lambda+1)} x^{\frac{\nu(\nu+2\lambda)}{(2\lambda+1)}-1} = \frac{\nu(\nu+2\lambda)}{(2\lambda+1)} \frac{h(x)}{x}$$

$$\Rightarrow \int dx (1-x^2)^{\frac{(2\lambda+1)}{2}} x^{\frac{\nu(\nu+2\lambda)}{(2\lambda+1)}-2} C_\nu^\lambda(x) = \frac{(2\lambda+1)(1-x^2)^{\frac{(2\lambda+1)}{2}} x^{\frac{\nu(\nu+2\lambda)}{(2\lambda+1)}-1} (\nu(\nu+2\lambda)C_\nu^\lambda(x) - x(2\lambda+1)C_{\nu-1}^\lambda(x))}{\nu(\nu+2\lambda)(\nu(\nu+2\lambda)-2\lambda-1)}$$

$$\text{Comme } -C_{\nu-1}^\lambda(x) = \frac{\nu x C_\nu^\lambda(x) - (2\lambda-1+\nu)C_{\nu-1}^\lambda(x)}{(1-x^2)} \Rightarrow \int dx (1-x^2)^{\frac{(2\lambda+1)}{2}} x^{\frac{\nu(\nu+2\lambda)}{(2\lambda+1)}-2} C_\nu^\lambda(x) =$$

$$= \frac{(2\lambda+1)(1-x^2)^{\frac{(2\lambda+1)}{2}} x^{\frac{\nu(\nu+2\lambda)}{(2\lambda+1)}-1} (\nu(\nu+2\lambda)C_\nu^\lambda(x)(1-x^2) + x(2\lambda+1)(\nu x C_\nu^\lambda(x) - (2\lambda-1+\nu)C_{\nu-1}^\lambda(x)))}{\nu(\nu+2\lambda)(\nu(\nu+2\lambda)-2\lambda-1)(1-x^2)}$$

$$= \frac{(2\lambda+1)(1-x^2)^{\frac{(2\lambda-1)}{2}} x^{\frac{\nu(\nu+2\lambda)}{(2\lambda+1)}-1} (\nu C_\nu^\lambda(x)[(\nu+2\lambda)(1-x^2) + (2\lambda+1)x^2] - x(2\lambda+1)(2\lambda-1+\nu)C_{\nu-1}^\lambda(x))}{\nu(\nu+2\lambda)(\nu(\nu+2\lambda)-2\lambda-1)}$$

$$= \frac{(2\lambda+1)^2(1-x^2)^{\frac{(2\lambda-1)}{2}} x^{\frac{\nu(\nu+2\lambda)}{(2\lambda+1)}-1} (\nu C_\nu^\lambda(x)[(\nu+2\lambda) + (1-\nu)x^2] - x(2\lambda+1)(2\lambda-1+\nu)C_{\nu-1}^\lambda(x))}{\nu(\nu+2\lambda)(\nu(\nu+2\lambda)-2\lambda-1)}$$

$$\Rightarrow \left\{ \begin{array}{l} \int dx (1-x^2)^{\frac{(2\lambda+1)}{2}} x^{\frac{\nu(\nu+2\lambda)}{(2\lambda+1)}-2} C_\nu^\lambda(x) = \\ = \frac{(2\lambda+1)^2(1-x^2)^{\frac{(2\lambda-1)}{2}} x^{\frac{(\nu-1)(\nu+2\lambda+1)}{(2\lambda+1)}} (\nu C_\nu^\lambda(x)[(\nu+2\lambda) + (1-\nu)x^2] - x(2\lambda+1)(2\lambda-1+\nu)C_{\nu-1}^\lambda(x))}{\nu(\nu+2\lambda)(\nu(\nu+2\lambda)-2\lambda-1)} \\ \int dx (1-x^2)^{\frac{(2\lambda+1)}{2}} x^{\frac{\nu(\nu+2\lambda)}{(2\lambda+1)}-2} C_{(\varrho),\nu}^\lambda(x) = \\ = \frac{(2\lambda+1)^2(1-x^2)^{\frac{(2\lambda-1)}{2}} x^{\frac{(\nu-1)(\nu+2\lambda+1)}{(2\lambda+1)}} (\nu C_{(\varrho),\nu}^\lambda(x)[(\nu+2\lambda) + (1-\nu)x^2] - x(2\lambda+1)(2\lambda-1+\nu)C_{(\varrho),\nu-1}^\lambda(x))}{\nu(\nu+2\lambda)(\nu(\nu+2\lambda)-2\lambda-1)} \end{array} \right.$$

.

Problèmes aux limites de Laplace sur une hypersphère- p-

Avec la deuxième formule de dérivation :

$$\Rightarrow \int dx (1-x^2)^{\frac{(2\lambda+1)}{2}} x^{\frac{\nu(\nu+2\lambda)}{2\lambda+1}-2} C_\nu^\lambda(x) = \frac{(2\lambda+1)(1-x^2)^{\frac{(2\lambda+1)}{2}} x^{\frac{\nu(\nu+2\lambda)}{2\lambda+1}-1} (\nu(\nu+2\lambda)C_\nu^\lambda(x) - x(2\lambda+1)C_\nu^{\lambda'}(x))}{\nu(\nu+2\lambda)(\nu(\nu+2\lambda)-2\lambda-1)}$$

Comme $-C_\nu^{\lambda'}(x) = \frac{(\nu+1)C_{\nu+1}^\lambda(x) - (2\lambda+\nu)x C_\nu^\lambda(x)}{(1-x^2)} \Rightarrow \int dx (1-x^2)^{\frac{(2\lambda+1)}{2}} x^{\frac{\nu(\nu+2\lambda)}{2\lambda+1}-2} C_\nu^\lambda(x) =$

$$= \frac{(2\lambda+1)(1-x^2)^{\frac{(2\lambda+1)}{2}} x^{\frac{\nu(\nu+2\lambda)}{2\lambda+1}-1} (\nu(\nu+2\lambda)C_\nu^\lambda(x)(1-x^2) + x(2\lambda+1)((\nu+1)C_{\nu+1}^\lambda(x) - (2\lambda+\nu)x C_\nu^\lambda(x)))}{\nu(\nu+2\lambda)(\nu(\nu+2\lambda)-2\lambda-1)(1-x^2)}$$

$$= \frac{(2\lambda+1)(1-x^2)^{\frac{(2\lambda-1)}{2}} x^{\frac{(\nu-1)(\nu+2\lambda+1)}{2\lambda+1}} ((\nu+2\lambda)C_\nu^\lambda(x)(\nu-x^2(\nu+2\lambda+1)) + x(2\lambda+1)(\nu+1)C_{\nu+1}^\lambda(x))}{\nu(\nu+2\lambda)(\nu(\nu+2\lambda)-2\lambda-1)}$$

$$\Rightarrow \left\{ \begin{array}{l} \int dx (1-x^2)^{\frac{(2\lambda+1)}{2}} x^{\frac{\nu(\nu+2\lambda)}{2\lambda+1}-2} C_\nu^\lambda(x) = \\ = \frac{(2\lambda+1)(1-x^2)^{\frac{(2\lambda-1)}{2}} x^{\frac{(\nu-1)(\nu+2\lambda+1)}{2\lambda+1}} ((\nu+2\lambda)C_\nu^\lambda(x)(\nu-x^2(\nu+2\lambda+1)) + x(2\lambda+1)(\nu+1)C_{\nu+1}^\lambda(x))}{\nu(\nu+2\lambda)(\nu(\nu+2\lambda)-2\lambda-1)} \\ \int dx (1-x^2)^{\frac{(2\lambda+1)}{2}} x^{\frac{\nu(\nu+2\lambda)}{2\lambda+1}-2} C_{(Q),\nu}^\lambda(x) = \\ = \frac{(2\lambda+1)(1-x^2)^{\frac{(2\lambda-1)}{2}} x^{\frac{(\nu-1)(\nu+2\lambda+1)}{2\lambda+1}} ((\nu+2\lambda)C_{(Q),\nu}^\lambda(x)(\nu-x^2(\nu+2\lambda+1)) + x(2\lambda+1)(\nu+1)C_{(Q),\nu+1}^\lambda(x))}{\nu(\nu+2\lambda)(\nu(\nu+2\lambda)-2\lambda-1)} \end{array} \right.$$

Toute la question est de savoir si ce genre d'intégrale indéfinie est exploitable dans un problème physique !

Calcul des normes des fonctions de Gegenbauer, des fonctions propres d'un problème aux limites, approche de Sturm-Liouville

Partons de l'équation de Gegenbauer, appliquée à deux fonctions $y_1(v, z)$, $y_2(v, z)$ solutions :

$$\left\{ \begin{array}{l} \frac{1}{(1-z^2)^{\frac{2\lambda-1}{2}}} \frac{d}{dz} \left((1-z^2)^{\frac{2\lambda+1}{2}} \frac{dy_1}{dz} \right) + v_1(v_1 + 2\lambda)y_1 = 0 \\ \frac{1}{(1-z^2)^{\frac{2\lambda-1}{2}}} \frac{d}{dz} \left((1-z^2)^{\frac{2\lambda+1}{2}} \frac{dy_2}{dz} \right) + v_2(v_2 + 2\lambda)y_2 = 0 \end{array} \right.$$

$$\Rightarrow \frac{d}{dz} \left((1-z^2)^{\frac{2\lambda+1}{2}} \left(y_2 \frac{dy_1}{dz} - y_1 \frac{dy_2}{dz} \right) \right) + (1-z^2)^{\frac{2\lambda-1}{2}} (v_1(v_1 + 2\lambda) - v_2(v_2 + 2\lambda)) y_1 y_2 = 0$$

$$\Rightarrow \left[(1-z^2)^{\frac{2\lambda+1}{2}} \left(y_2 \frac{dy_1}{dz} - y_1 \frac{dy_2}{dz} \right) \right]_{z_1}^{z_2} + \int_{z_1}^{z_2} dz (1-z^2)^{\frac{2\lambda-1}{2}} (v_1(v_1 + 2\lambda) - v_2(v_2 + 2\lambda)) y_1 y_2 = 0$$

En posant $v_2 = v_1 + dv$ $y_2 \approx y_1 + dv \frac{\partial y_1}{\partial v}$ $\frac{dy_2}{dz} \approx \frac{\partial y_1}{\partial z} + dv \frac{\partial^2 y_1}{\partial z \partial v}$

$$\Rightarrow \left[(1-z^2)^{\frac{2\lambda+1}{2}} \left(\frac{\partial y_1}{\partial v} \frac{\partial y_1}{\partial z} - y_1 \frac{\partial^2 y_1}{\partial z \partial v} \right) \right]_{z_1}^{z_2} = (2v_1 + 2\lambda) \int_{z_1}^{z_2} dz (1-z^2)^{\frac{2\lambda-1}{2}} (y_1)^2$$

$$\Rightarrow \int_{z_1}^{z_2} dz (1-z^2)^{\frac{2\lambda-1}{2}} (y(z))^2 = \frac{1}{(2v + 2\lambda)} \left[(1-z^2)^{\frac{2\lambda+1}{2}} \left(\frac{\partial y(z)}{\partial v} \frac{\partial y(z)}{\partial z} - y(z) \frac{\partial^2 y(z)}{\partial z \partial v} \right) \right]_{z_1}^{z_2}$$

Avec la notation des fonctions propres du problème aux limites en coordonnées ultra-sphériques, et les formules de dérivation, il vient une expression différente de la norme :

$$\int_{z_1}^{z_2} dz (1-z^2)^{\frac{2\lambda-1}{2}} (\Phi_v^\lambda(z))^2 = \frac{\left[(1-z^2)^{\frac{2\lambda+1}{2}} \left(\frac{\partial \Phi_v^\lambda(z)}{\partial v} \frac{\partial \Phi_v^\lambda(z)}{\partial z} - \Phi_v^\lambda(z) \frac{\partial^2 \Phi_v^\lambda(z)}{\partial z \partial v} \right) \right]_{z_1}^{z_2}}{(2v + 2\lambda)}$$

Dérivation valable pour toutes combinaisons linéaires $\Phi_v^\lambda(z) = a C_v^\lambda(z) + b C_{(Q),v}^\lambda(z)$

$$\frac{\partial \Phi_v^\lambda(z)}{\partial z} = \frac{(2\lambda - 1 + v) \Phi_{v-1}^\lambda(z) - v z \Phi_v^\lambda(z)}{(1-z^2)} \quad \frac{\partial^2 \Phi_v^\lambda(z)}{\partial z \partial v} = \frac{\partial}{\partial v} \left(\frac{(2\lambda - 1 + v) \Phi_{v-1}^\lambda(z) - v z \Phi_v^\lambda(z)}{(1-z^2)} \right) =$$

$$= \frac{1}{(1-z^2)} \left[\Phi_{v-1}^\lambda(z) - z \Phi_v^\lambda(z) + (2\lambda - 1 + v) \frac{\partial \Phi_{v-1}^\lambda(z)}{\partial v} - v z \frac{\partial \Phi_v^\lambda(z)}{\partial v} \right] \Rightarrow$$

$$\left[(1-z^2)^{\frac{2\lambda+1}{2}} \left(\frac{\partial \Phi_v^\lambda(z)}{\partial v} \frac{\partial \Phi_v^\lambda(z)}{\partial z} - \Phi_v^\lambda(z) \frac{\partial^2 \Phi_v^\lambda(z)}{\partial z \partial v} \right) \right] = \left[(1-z^2)^{\frac{2\lambda-1}{2}} \left(\frac{\partial \Phi_v^\lambda(z)}{\partial v} [(2\lambda - 1 + v) \Phi_{v-1}^\lambda(z) - v z \Phi_v^\lambda(z)] \right. \right.$$

$$\left. - \Phi_v^\lambda(z) \times \left[\Phi_{v-1}^\lambda(z) - z \Phi_v^\lambda(z) + (2\lambda - 1 + v) \frac{\partial \Phi_{v-1}^\lambda(z)}{\partial v} - v z \frac{\partial \Phi_v^\lambda(z)}{\partial v} \right] \right)$$

$$= \left[(1-z^2)^{\frac{2\lambda-1}{2}} \left((2\lambda - 1 + v) \left[\Phi_{v-1}^\lambda(z) \frac{\partial \Phi_v^\lambda(z)}{\partial v} - \Phi_v^\lambda(z) \frac{\partial \Phi_{v-1}^\lambda(z)}{\partial v} \right] - \Phi_v^\lambda(z) [\Phi_{v-1}^\lambda(z) - z \Phi_v^\lambda(z)] \right) \right]$$

Problèmes aux limites de Laplace sur une hypersphère- p-

On arrive au résultat suivant sur la norme :

$$\Rightarrow \int_{z_1}^{z_2} dz (1-z^2)^{\frac{2\lambda-1}{2}} (\Phi_v^\lambda(z))^2 = \frac{\left[(1-z^2)^{\frac{2\lambda-1}{2}} \left((2\lambda-1+\nu) \left[\Phi_{\nu-1}^\lambda(z) \frac{\partial \Phi_v^\lambda(z)}{\partial \nu} - \Phi_v^\lambda(z) \frac{\partial \Phi_{\nu-1}^\lambda(z)}{\partial \nu} \right] - \Phi_v^\lambda(z) [\Phi_{\nu-1}^\lambda(z) - z \Phi_v^\lambda(z)] \right) \right]_{z_1}^{z_2}}{(2\nu+2\lambda)}.$$

Pour exemple, prenons un problème aux limites de Dirichlet sur une section conique pleine de l'hypersphère d'angle ϑ_0 , homogène à la surface conique latérale, comme suit :

$$z_1 = \cos(\vartheta_0) = \mu_0 \quad z_2 = \cos(0) = 1 \quad \lambda = \frac{n-2}{2} \quad \text{Solution} \quad y(z) = C_\nu^\lambda(z) \quad \text{tq} \quad C_\nu^\lambda(\cos(\vartheta_0)) = 0$$

$$\Rightarrow \int_{\mu_0}^1 dz (1-z^2)^{\frac{2\lambda-1}{2}} (C_\nu^\lambda(z))^2 = \frac{\left[(1-z^2)^{\frac{2\lambda+1}{2}} \left(\frac{\partial C_\nu^\lambda(z)}{\partial \nu} \frac{\partial C_\nu^\lambda(z)}{\partial z} - C_\nu^\lambda(z) \frac{\partial^2 C_\nu^\lambda(z)}{\partial z \partial \nu} \right) \right]_{\mu_0}^1}{(2\nu+2\lambda)} = - \frac{(1-\mu_0^2)^{\frac{2\lambda+1}{2}}}{(2\nu+2\lambda)} \frac{\partial C_\nu^\lambda(z)}{\partial \nu} \frac{\partial C_\nu^\lambda(z)}{\partial z}$$

$$\text{Or } (z^2-1) \frac{\partial C_\nu^\lambda(z)}{\partial z} = \nu z C_\nu^\lambda(z) - (2\lambda-1+\nu) C_{\nu-1}^\lambda(z) \quad \text{ou} \quad (z^2-1) \frac{\partial C_\nu^\lambda(z)}{\partial z} = (\nu+1) C_{\nu+1}^\lambda(z) - (2\lambda+\nu) z C_\nu^\lambda(z)$$

$$\Rightarrow (1-\mu_0^2) \frac{\partial C_\nu^\lambda(z)}{\partial z} \Big|_{z=\mu_0} = (2\lambda-1+\nu) C_{\nu-1}^\lambda(\mu_0) = -(\nu+1) C_{\nu+1}^\lambda(\mu_0)$$

$$\Rightarrow \begin{cases} \|C_\nu^\lambda(z)\|^2 = \int_{\mu_0}^1 dz (1-z^2)^{\frac{2\lambda-1}{2}} (C_\nu^\lambda(z))^2 = - \frac{(1-\mu_0^2)^{\frac{2\lambda-1}{2}} (\nu+2\lambda-1)}{(2\nu+2\lambda)} \frac{\partial C_\nu^\lambda(z)}{\partial \nu} C_{\nu-1}^\lambda(\mu_0) \\ \text{ou} \\ \|C_\nu^\lambda(z)\|^2 = \int_{\mu_0}^1 dz (1-z^2)^{\frac{2\lambda-1}{2}} (C_\nu^\lambda(z))^2 = \frac{(1-\mu_0^2)^{\frac{2\lambda-1}{2}} (\nu+1)}{(2\nu+2\lambda)} \frac{\partial C_\nu^\lambda(z)}{\partial \nu} C_{\nu+1}^\lambda(\mu_0) \end{cases}$$

Autre exemple, prenons un problème aux limites de Neumann sur une section conique pleine de l'hypersphère d'angle ϑ_0 , homogène à la surface conique latérale, comme suit :

$$z_1 = \cos(\vartheta_0) = \mu_0 \quad z_2 = \cos(0) = 1 \quad \lambda = \frac{n-2}{2} \quad \text{Solution} \quad y(z) = C_\nu^\lambda(z) \quad \text{tq} \quad \frac{dC_\nu^\lambda(\cos(\vartheta_0))}{d\vartheta} = 0$$

$$\Rightarrow \int_{\mu_0}^1 dz (1-z^2)^{\frac{2\lambda-1}{2}} (C_\nu^\lambda(z))^2 = \frac{\left[(1-z^2)^{\frac{2\lambda+1}{2}} \left(\frac{\partial C_\nu^\lambda(z)}{\partial \nu} \frac{\partial C_\nu^\lambda(z)}{\partial z} - C_\nu^\lambda(z) \frac{\partial^2 C_\nu^\lambda(z)}{\partial z \partial \nu} \right) \right]_{\mu_0}^1}{(2\nu+2\lambda)} = \frac{\left[(1-z^2)^{\frac{2\lambda+1}{2}} C_\nu^\lambda(z) \frac{\partial^2 C_\nu^\lambda(z)}{\partial z \partial \nu} \right]_1^{\mu_0}}{(2\nu+2\lambda)}$$

$$\Rightarrow \|C_\nu^\lambda(z)\|^2 = \int_{\mu_0}^1 dz (1-z^2)^{\frac{2\lambda-1}{2}} (C_\nu^\lambda(z))^2 = \frac{(1-\mu_0^2)^{\frac{2\lambda-1}{2}}}{(2\nu+2\lambda)} C_\nu^\lambda(\mu_0) \frac{\partial^2 C_\nu^\lambda(\mu_0)}{\partial z \partial \nu} = \frac{2\lambda}{(2\nu+2\lambda)} (1-\mu_0^2)^{\frac{2\lambda-1}{2}} C_\nu^\lambda(\mu_0) \frac{\partial C_{\nu-1}^{\lambda+1}(\mu_0)}{\partial \nu}$$

Ces formules généralisent les normes calculées pour un cône sphérique à trois dimensions.

Cône de révolution hyper-sphérique

Dans le système de coordonnées déjà introduit comme suit :

$$r = \|\vec{x}\| = \sqrt{\sum_{i=1}^n x_i^2} \Rightarrow \begin{cases} x_1 = r \cos(\vartheta_n) & \vartheta_n \in [0, \pi] \\ x_2 = r \sin(\vartheta_n) \cos(\vartheta_{n-1}) & \vartheta_{n-1} \in [0, \pi] \\ x_3 = r \sin(\vartheta_n) \sin(\vartheta_{n-1}) \cos(\vartheta_{n-2}) & \vartheta_{n-2} \in [0, \pi] \\ \dots \\ x_{n-1} = r \sin(\vartheta_n) \sin(\vartheta_{n-1}) \dots \sin(\vartheta_3) \cos(\vartheta_2) & \vartheta_3 \in [0, \pi] \\ x_n = r \sin(\vartheta_n) \sin(\vartheta_{n-1}) \dots \sin(\vartheta_3) \sin(\vartheta_2) & \vartheta_2 = \varphi \in [0, 2\pi] \end{cases}$$

$\vartheta_2 = \varphi \rightarrow \text{hyperlongitude}$ $\vartheta_n, \vartheta_{n-1}, \dots, \vartheta_3 \rightarrow \text{hypercolatitude}$

on a évoqué des problèmes aux limites ne dépendant que des variables r et ϑ_n . Il peut s'agir de l'ensemble de l'espace à N -dimensions mais dont la nature des conditions aux limites ne sont dépendantes que de ces deux variables. Ce peut-être aussi des sous-domaines dont les limites sont également définies par une valeur fixe d'une de ces deux coordonnées. Parmi ceux-ci, introduisons un cône centrée sur l'axe x_1 dont les limites sont définies comme suit :

$$r = \|\vec{x}\| = \sqrt{\sum_{i=1}^n x_i^2} \quad \sum_{i=2}^n x_i^2 = r^2 (\sin(\vartheta_n))^2 \quad C_{\Omega n} = \left\{ \vec{x} / x_1 \in [0, \infty[, \sum_{i=2}^n x_i^2 \in \left[0, x_1^2 \left(\frac{\sin(\vartheta_0)}{\cos(\vartheta_0)} \right)^2 \right] \right\}$$

$$\partial C_{\Omega n} = \left\{ \vec{x} / x_1 \in [0, \infty[, \sum_{i=2}^n x_i^2 = x_1^2 (\tan(\vartheta_0))^2 \right\}$$

Pour x_1 donné, la section du cône est un hyper-disque de rayon :

$$D_{\Omega n-1} = \left\{ \vec{x} / x_1 \in [0, \infty[, \sum_{i=2}^n x_i^2 \in [0, x_1^2 (\tan(\vartheta_0))^2] \right\} \quad r = \|\vec{x}\| = \sqrt{\sum_{i=1}^n x_i^2}$$

Rayon de l'hyperdisque $x_1 \tan(\vartheta_0)$

Problème aux limites à l'intérieur ou l'extérieur d'une hypersphère

Problème aux limites intérieur sur une hypersphère soumise à des conditions aux limites inhomogènes de Dirichlet dépendante uniquement de l'angle ϑ_n .

$$\Delta_{r,\theta}^n T(r, \theta) = 0 \quad C.L. \quad T(r, \theta)|_{r=l_r} = f(\theta)$$

$$T(r, \theta)|_{\vec{x} \in \Omega_n} \quad \Omega_n = \left\{ \vec{x} / \sqrt{\sum_{l=1}^n x_l^2} \leq l_r \right\}$$

Nous simplifierons la notation en omettant l'indice l'angle ϑ . La base orthogonale des polynômes de Gegenbauer convient parfaitement pour le développement en série de la solution. Nous y appliquons la condition de finitude la solution :

$$\lambda = \frac{n-2}{2}; z = \cos(\theta) \rightarrow T(r, \theta) = \sum_{l=0}^{l=+\infty} (A_l r^l + B_l r^{-(l+2\lambda)}) (A_\theta C_l^\lambda(z) + B_\theta C_{(Q),l}^\lambda(z))$$

Finitude de la solution en $r = 0 \Rightarrow B_r = 0$ en $\theta = 0 \Rightarrow B_\theta = 0$

$$T(r, \theta) = \sum_{l=0}^{l=+\infty} A_l r^l C_l^\lambda(\cos(\theta))$$

L'application de la condition aux limites, ainsi que les conditions d'orthogonalité des fonctions de Gegenbauer donnent immédiatement la solution du problème aux limites :

$$T(r, \theta) = \sum_{l=0}^{l=+\infty} B_l \left(\frac{r}{l_r} \right)^l C_l^\lambda(\cos(\theta))$$

$$B_l = \frac{\int_{-1}^1 dz (1-z^2)^{\frac{2\lambda-1}{2}} f(\theta) C_l^\lambda(z)}{\int_{-1}^1 dz (1-z^2)^{\frac{2\lambda-1}{2}} (C_l^\lambda(z))^2} \quad \text{Norme } \|C_l^\lambda(z)\|^2 = \int_{-1}^1 dz (1-z^2)^{\frac{2\lambda-1}{2}} (C_l^\lambda(z))^2 = \frac{\pi 2^{1-2\lambda} \Gamma(l+2\lambda)}{l!(l+\lambda)(\Gamma(\lambda))^2}$$

$$\Rightarrow A_l = \int_{-1}^1 dz (1-z^2)^{\frac{2\lambda-1}{2}} f(\theta) C_l^\lambda(z) \quad T(r, \theta) = \frac{(\Gamma(\lambda))^2}{2^{1-2\lambda} \pi} \sum_{l=0}^{l=+\infty} A_l \frac{l!(l+\lambda)}{\Gamma(l+2\lambda)} \left(\frac{r}{l_r} \right)^l C_l^\lambda(\cos(\theta))$$

On peut séparer la fonction limite en une fonction paire et impaire de z , et tirer partie des conditions de parité des polynômes de Gegenbauer :

$$f(\theta) = \frac{f(\theta) + f(\pi - \theta)}{2} + \frac{f(\theta) - f(\pi - \theta)}{2} \Leftrightarrow f(z) = \frac{f(z) + f(-z)}{2} + \frac{f(z) - f(-z)}{2}$$

$$f^+(z) = \frac{f(z) + f(-z)}{2} \quad f^-(z) = \frac{f(z) - f(-z)}{2}$$

Problèmes aux limites de Laplace sur une hypersphère- p-

Dans cette configuration, la solution s'écrit comme suit :

$$T(r, \theta) = \frac{(\Gamma(\lambda))^2}{2^{1-2\lambda} \pi} \sum_{l=0}^{l=+\infty} (A_l^+ + A_l^-) \frac{l!(l+\lambda)}{\Gamma(l+2\lambda)} \left(\frac{r}{l_r}\right)^l C_l^\lambda(\cos(\theta)) \quad A_l^+ = \int_{-1}^1 dz (1-z^2)^{\frac{2\lambda-1}{2}} f_l^+(z) C_l^\lambda(z)$$

$$A_l^- = \int_{-1}^1 dz (1-z^2)^{\frac{2\lambda-1}{2}} f_l^-(z) C_l^\lambda(z) \quad C_l^\lambda(-z) = (-1)^l C_l^\lambda(z) \Rightarrow \begin{cases} A_{2p+1}^+ = 0 & A_{2p}^+ \neq 0 \\ A_{2p+1}^+ \neq 0 & A_{2p}^+ = 0 \end{cases}$$

$$T(r, \theta) = \frac{(\Gamma(\lambda))^2}{2^{1-2\lambda} \pi} \left(\sum_{p=0}^{p=+\infty} A_{2p}^+ \frac{(2p)!(2p+\lambda)}{\Gamma(2p+2\lambda)} \left(\frac{r}{l_r}\right)^{2p} C_{2p}^\lambda(\cos(\theta)) + \sum_{p=0}^{p=+\infty} \left\{ A_{2p+1}^- \frac{(2p+1)!(2p+1+\lambda)}{\Gamma(2p+1+2\lambda)} \left(\frac{r}{l_r}\right)^{2p+1} \times \right. \right. \\ \left. \left. \times C_{2p+1}^\lambda(\cos(\theta)) \right\} \right)$$

Prenons une fonction limite paire simple, constante $f(z)=T_0$:

$$T(r, \theta) = \frac{(\Gamma(\lambda))^2}{2^{1-2\lambda} \pi} \sum_{p=0}^{p=+\infty} A_{2p}^+ \frac{(2p)!(2p+\lambda)}{\Gamma(2p+2\lambda)} \left(\frac{r}{l_r}\right)^{2p} C_{2p}^\lambda(\cos(\theta))$$

$$A_{2p}^+ = \int_{-1}^1 dz (1-z^2)^{\frac{2\lambda-1}{2}} f_{2p}^+(z) C_{2p}^\lambda(z) = T_0 \int_{-1}^1 dz (1-z^2)^{\frac{2\lambda-1}{2}} C_{2p}^\lambda(z)$$

$$\text{or } \int_{-1}^1 dz (1-z^2)^{\frac{2\lambda-1}{2}} C_{2p}^\lambda(z) = 2 \int_0^1 dz (1-z^2)^{\frac{2\lambda-1}{2}} C_{2p}^\lambda(z)$$

$$\text{Comme l'intégrale indéfinie } \int dx (1-x^2)^{\frac{(2\lambda-1)}{2}} C_\nu^\lambda(x) = -\frac{2\lambda}{\nu(\nu+2\lambda)} (1-x^2)^{\frac{(2\lambda+1)}{2}} C_{\nu-1}^{\lambda+1}(x)$$

$$\int_0^1 dz (1-z^2)^{\frac{2\lambda-1}{2}} C_{2p}^\lambda(z) = \left[-\frac{2\lambda}{2p(2p+2\lambda)} (1-z^2)^{\frac{(2\lambda+1)}{2}} C_{2p-1}^{\lambda+1}(z) \right]_0^1 = \frac{2\lambda}{2p(2p+2\lambda)} C_{2p-1}^{\lambda+1}(0)$$

$$\Rightarrow \int_{-1}^1 dz (1-z^2)^{\frac{2\lambda-1}{2}} C_{2p}^\lambda(z) = \frac{4\lambda}{2p(2p+2\lambda)} C_{2p-1}^{\lambda+1}(0)$$

$$\text{De plus : } C_\nu^\lambda(0) = \frac{2^\nu \sqrt{\pi} \Gamma\left(\frac{\nu+2\lambda}{2}\right)}{\Gamma(\nu+1) \Gamma(\lambda) \Gamma\left(\frac{1-\nu}{2}\right)} \Rightarrow C_{2p-1}^{\lambda+1}(0) = \frac{2^{2p-1} \sqrt{\pi} \Gamma(p+\lambda+1)}{\Gamma(2p-1) \Gamma(\lambda+1) \Gamma(1-p)} = 0 \leftarrow \frac{1}{\Gamma(1-p)} = 0$$

$$\Rightarrow \int_0^1 dz (1-z^2)^{\frac{2\lambda-1}{2}} C_{2p}^\lambda(z) = 0 \quad p > 0$$

$$\text{Seul le terme } p=0 \text{ subsiste } \Rightarrow T(r, \theta) = T_0 \frac{(\Gamma(\lambda))^2}{2^{1-2\lambda} \pi} \frac{\lambda}{\Gamma(2\lambda)} \int_{-1}^1 dz (1-z^2)^{\frac{2\lambda-1}{2}}$$

$$\int_{-1}^1 dz (1-z^2)^{\frac{2\lambda-1}{2}} = \frac{\pi 2^{1-2\lambda} \Gamma(2\lambda)}{\lambda (\Gamma(\lambda))^2} \quad \text{Norme de } \|C_0^\lambda(z)\|^2 = \frac{\pi 2^{1-2\lambda} \Gamma(2\lambda)}{\lambda (\Gamma(\lambda))^2} \Rightarrow T(r, \theta) = T_0$$

On obtient et c'est normal la solution triviale $T = T_0$, conforme au principe du maximum et du minimum pris par les fonctions harmoniques quelque soit la dimension sur la frontière du domaine.

Problèmes aux limites de Laplace sur une hypersphère- p-

Prenons donc un exemple moins trivial avec une hypersphère dont la moitié supérieur est porté à la température T_0 et la moitié inférieure à la température $-T_0$. C'est la solution impaire que l'on va maintenant développer :

$$T(r, \theta) = T_0 \frac{(\Gamma(\lambda))^2 2^{2\lambda}}{\pi} \sum_{p=0}^{p=+\infty} A_{2p+1}^- \frac{(2p+1)!(2p+1+\lambda)}{\Gamma(2p+1+2\lambda)} \left(\frac{r}{l_r}\right)^{2p+1} C_{2p+1}^\lambda(\cos(\theta))$$

$$\text{avec } A_{2p+1}^- = \int_0^1 dz (1-z^2)^{\frac{2\lambda-1}{2}} C_{2p+1}^\lambda(z)$$

$$\int_0^1 dz (1-z^2)^{\frac{2\lambda-1}{2}} C_{2p+1}^\lambda(z) = \left[-\frac{2\lambda}{(2p+1)(2p+1+2\lambda)} (1-z^2)^{\frac{(2\lambda+1)}{2}} C_{2p}^{\lambda+1}(z) \right]_0^1 = \frac{2\lambda}{(2p+1)(2p+1+2\lambda)} C_{2p}^{\lambda+1}(0)$$

$$C_v^\lambda(0) = \frac{2^v \sqrt{\pi} \Gamma\left(\frac{v+2\lambda}{2}\right)}{\Gamma(v+1)\Gamma(\lambda)\Gamma\left(\frac{1-v}{2}\right)} \Rightarrow C_{2p}^{\lambda+1}(0) = \frac{2^{2p} \sqrt{\pi} \Gamma\left(\frac{2p+2(\lambda+1)}{2}\right)}{\Gamma(2p+1)\Gamma(\lambda+1)\Gamma\left(\frac{1-2p}{2}\right)} = \frac{2^{2p} \sqrt{\pi} \Gamma(p+\lambda+1)}{\Gamma(2p+1)\Gamma(\lambda+1)\Gamma\left(\frac{1-2p}{2}\right)}$$

$$\int_0^1 dz (1-z^2)^{\frac{2\lambda-1}{2}} C_{2p+1}^\lambda(z) = \frac{\lambda 2^{2p+1} \sqrt{\pi} \Gamma(p+\lambda+1)}{(2p+1)(2p+1+2\lambda)\Gamma(2p+1)\Gamma(\lambda+1)\Gamma\left(\frac{1-2p}{2}\right)}$$

$$\Rightarrow T(r, \theta) = T_0 \frac{2^{2\lambda} \Gamma(\lambda)}{\sqrt{\pi}} \sum_{p=0}^{p=+\infty} \frac{2^{2p+1} (2p+1+\lambda) \Gamma(p+\lambda+1)}{\Gamma(2p+2+2\lambda) \Gamma\left(\frac{1-2p}{2}\right)} \left(\frac{r}{l_r}\right)^{2p+1} C_{2p+1}^\lambda(\cos(\theta))$$

$$\text{Cas } n=3 \quad \lambda = \frac{1}{2} \quad C_{2p+1}^{\frac{1}{2}}(\cos(\theta)) = P_{2p+1}(\cos(\theta))$$

$$\Rightarrow T(r, \theta) = 2T_0 \sum_{p=0}^{p=+\infty} \frac{2^{2p} (4p+3) \Gamma\left(\frac{2p+3}{2}\right)}{(2p+2)! \Gamma\left(\frac{1-2p}{2}\right)} \left(\frac{r}{l_r}\right)^{2p+1} P_{2p+1}(\cos(\theta))$$

$$l \text{ impair} \rightarrow \Gamma\left(\frac{l}{2}\right) = \frac{2^{1-l} \sqrt{\pi} (l-1)!}{\left(\frac{l-1}{2}\right)!} \Rightarrow \Gamma\left(\frac{2p+3}{2}\right) = \frac{\sqrt{\pi} (2p+2)!}{2^{2p+2} (p+1)!}$$

$$l \text{ impair} \rightarrow \Gamma\left(-\frac{l}{2}\right) = \frac{(-1)^{\frac{l+1}{2}} 2^l \sqrt{\pi} \left(\frac{l-1}{2}\right)!}{l!} \Rightarrow \Gamma\left(\frac{1-2p}{2}\right) = \Gamma\left(-\frac{2p-1}{2}\right) = \frac{(-1)^p 2^{2p-1} \sqrt{\pi} (p-1)!}{(2p-1)!}$$

$$T(r, \theta) = T_0 \sum_{p=0}^{p=+\infty} (-1)^p \frac{(2p)!(4p+3)}{2^{2p} (p!)^2 2(p+1)} \left(\frac{r}{l_r}\right)^{2p+1} P_{2p+1}(\cos(\theta))$$

Et l'on retrouve bien le résultat pour le cas à 3 dimensions.

Problèmes aux limites de Laplace sur une hypersphère- p -

Le résultat est donc que pour une hypersphère à température inversée, de part et d'autre de son « équateur », il vient :

$$\lambda = \frac{n-1}{2} \Rightarrow T(r, \theta) = T_0 \frac{2^{2\lambda} \Gamma(\lambda)}{\sqrt{\pi}} \sum_{p=0}^{p=+\infty} \frac{2^{2p+1} (2p+1+\lambda) \Gamma(p+\lambda+1)}{\Gamma(2p+2+2\lambda) \Gamma\left(\frac{1-2p}{2}\right)} \left(\frac{r}{l_r}\right)^{2p+1} C_{2p+1}^\lambda(\cos(\theta))$$

Remarque : c'est aussi la solution du problème d'une hémisphère à n dimensions dont la base est portée à une température nulle (condition homogène de Dirichlet), et la surface à la température T_0

Au passage donnons rapidement la solution pour un hémisphère supérieur portée à la température T_1 et l'hémisphère inférieur à la température T_2 . Dans ce cas :

$$f^+(z) = \frac{T_1 + T_2}{2} \quad f^-(z) = \begin{cases} \frac{T_1 - T_2}{2} & z \in [0, 1] \\ -\frac{T_1 - T_2}{2} & z \in [-1, 0] \end{cases}$$

Ce qui par principe de superposition donne immédiatement la solution :

$$\lambda = \frac{n-1}{2} \\ \Rightarrow T(r, \theta) = \frac{T_1 + T_2}{2} + \left(\frac{T_1 - T_2}{2}\right) \frac{2^{2\lambda} \Gamma(\lambda)}{\sqrt{\pi}} \sum_{p=0}^{p=+\infty} \frac{2^{2p+1} (2p+1+\lambda) \Gamma(p+\lambda+1)}{\Gamma(2p+2+2\lambda) \Gamma\left(\frac{1-2p}{2}\right)} \left(\frac{r}{l_r}\right)^{2p+1} C_{2p+1}^\lambda(\cos(\theta))$$

ou bien

$$\Rightarrow T(r, \theta) = \frac{T_1 + T_2}{2} + (T_1 - T_2) \frac{2^{2\lambda} \Gamma(\lambda)}{\sqrt{\pi}} \sum_{p=0}^{p=+\infty} \frac{2^{2p} (2p+1+\lambda) \Gamma(p+\lambda+1)}{\Gamma(2p+2+2\lambda) \Gamma\left(\frac{1-2p}{2}\right)} \left(\frac{r}{l_r}\right)^{2p+1} C_{2p+1}^\lambda(\cos(\theta))$$

Problème aux limites extérieur sur une hypersphère soumise à des conditions aux limites inhomogènes de Dirichlet dépendante uniquement de l'angle ϑ_n .

$$\Delta_{r,\theta}^n T(r, \theta) = 0 \quad C.L. \quad T(r, \theta)|_{r=l_r} = f(\theta)$$

$$T(r, \theta)|_{\vec{x} \in \Omega_n} \quad \Omega_n = \left\{ \vec{x} / \sqrt{\sum_{l=1}^n x_l^2} \geq l_r \right\}$$

L'application de la condition de finitude de la solution (à l'infini ici), de la condition aux limites, ainsi que les conditions d'orthogonalité des fonctions de Gegenbauer donnent immédiatement la solution du problème aux limites, selon des calculs tout à fait similaire, en séparant la fonction limite en une fonction paire et impaire de z , et en tirant partie des conditions de parité des polynômes de Gegenbauer :

$$f(\theta) = \frac{f(\theta) + f(\pi - \theta)}{2} + \frac{f(\theta) - f(\pi - \theta)}{2} \Leftrightarrow f(z) = \frac{f(z) + f(-z)}{2} + \frac{f(z) - f(-z)}{2}$$

$$f^+(z) = \frac{f(z) + f(-z)}{2} \quad f^-(z) = \frac{f(z) - f(-z)}{2}$$

Il vient :

$$A_l^+ = \int_{-1}^1 dz (1-z^2)^{\frac{2\lambda-1}{2}} f_l^+(z) C_l^\lambda(z) \quad A_l^- = \int_{-1}^1 dz (1-z^2)^{\frac{2\lambda-1}{2}} f_l^-(z) C_l^\lambda(z)$$

$$T(r, \theta) = \frac{(\Gamma(\lambda))^2}{2^{1-2\lambda} \pi} \left(\sum_{p=0}^{p=+\infty} A_{2p}^+ \frac{(2p)!(2p+\lambda)}{\Gamma(2p+2\lambda)} \left(\frac{l_r}{r}\right)^{2p+2\lambda} C_{2p}^\lambda(\cos(\theta)) + \sum_{p=0}^{p=+\infty} A_{2p+1}^- \frac{(2p+1)!(2p+1+\lambda)}{\Gamma(2p+1+2\lambda)} \left(\frac{l_r}{r}\right)^{2p+1+2\lambda} C_{2p+1}^\lambda(\cos(\theta)) \right)$$

Plus particulièrement pour une hypersphère à température inversée, de part et d'autre de son « équateur », il vient pour la solution extérieure :

$$\lambda = \frac{n-1}{2} \Rightarrow T(r, \theta) = T_0 \frac{2^{2\lambda} \Gamma(\lambda)}{\sqrt{\pi}} \sum_{p=0}^{p=+\infty} \frac{2^{2p+1} (2p+1+\lambda) \Gamma(p+\lambda+1)}{\Gamma(2p+2+2\lambda) \Gamma\left(\frac{1-2p}{2}\right)} \left(\frac{l_r}{r}\right)^{2p+1+2\lambda} C_{2p+1}^\lambda(\cos(\theta))$$

Remarque : c'est aussi la solution du problème extérieur d'une hémisphère à n dimensions dont la base est portée à une température nulle (condition homogène de Dirichlet), et la surface à la température T_0 . Donnons rapidement la solution pour un hémisphère supérieur portée à la température T_1 et l'hémisphère inférieur à la température T_2 qui principe de superposition donne immédiatement la solution :

$$\lambda = \frac{n-1}{2} \Rightarrow T(r, \theta) = \frac{T_1 + T_2}{2} + \left(\frac{T_1 - T_2}{2}\right) \frac{2^{2\lambda} \Gamma(\lambda)}{\sqrt{\pi}} \sum_{p=0}^{p=+\infty} \frac{2^{2p+1} (2p+1+\lambda) \Gamma(p+\lambda+1)}{\Gamma(2p+2+2\lambda) \Gamma\left(\frac{1-2p}{2}\right)} \left(\frac{l_r}{r}\right)^{2p+1+2\lambda} C_{2p+1}^\lambda(\cos(\theta))$$

ou bien

$$\Rightarrow T(r, \theta) = \frac{T_1 + T_2}{2} + (T_1 - T_2) \frac{2^{2\lambda} \Gamma(\lambda)}{\sqrt{\pi}} \sum_{p=0}^{p=+\infty} \frac{2^{2p} (2p+1+\lambda) \Gamma(p+\lambda+1)}{\Gamma(2p+2+2\lambda) \Gamma\left(\frac{1-2p}{2}\right)} \left(\frac{l_r}{r}\right)^{2p+1+2\lambda} C_{2p+1}^\lambda(\cos(\theta))$$

Application à un problème d'électrostatique à N-dimensions : on aborde maintenant un problème d'électrostatique afin d'illustrer un résultat de la méthode des images électriques à N-dimensions. Soit une charge électrique placée au dessus de l'origine de l'hypersphère sur l'axe x_1 à la distance b . Quel est le potentiel électrostatique à l'intérieur et à l'extérieur de l'hypersphère ? Pour cela donnons le potentiel électrostatique à n-dimensions de cette charge, en fonction de l'angle ϑ_n . Par la suite on omet l'indice dimensionnel de l'angle.

La sphère étant conductrice, la charge induit une répartition de charges opposées sur la surface de la sphère. Cette dernière se trouve alors placée au potentiel nul sur la surface de la sphère. Quel est le potentiel à l'intérieur et à l'extérieur de la sphère n-dimensionnelle chargée. Or comme nous l'avons vu dans le cas tridimensionnel, l'équation à l'intérieur de la sphère est une équation de Poisson avec un terme source constitué par la charge électrique, tandis qu'à l'extérieur c'est une équation de Laplace (sans terme source). Le principe du maximum et du minimum s'applique à l'extérieur mais pas à l'intérieur. C'est la raison pour laquelle le potentiel à l'intérieur n'est pas identiquement nul tandis que celui à l'extérieur doit l'être nécessairement. Le potentiel n-dimensionnel créé par la charge électrique est de la forme (q est pris comme une constante de proportionnalité et ne représente pas exactement la charge, il comprend également des coefficients géométrique n-dimensionnel) :

$$T(r, \theta) = \frac{q}{\|\vec{x} - \vec{x}'\|^{n-2}} = \frac{q}{\|\vec{x} - \vec{x}'\|^{2\lambda}} = \frac{q}{(r^2 + r'^2 - 2\vec{x} \cdot \vec{x}')^\lambda}$$

\vec{x}' position de la charge $\vec{x}' = (b, 0, 0, \dots, 0) \Rightarrow \vec{x} \cdot \vec{x}' = rb \cos(\theta_n) \Rightarrow T(r, \theta) = \frac{q}{(r^2 + b^2 - 2rb \cos(\theta_n))^\lambda}$

On peut transformer la fonction génératrice en une formule permettant d'explicitier l'inverse de la distance en coordonnées hyper-sphériques entre deux points sous la forme d'une série des fonctions propres angulaires (les fonctions de Gegenbauer) :

$$\text{Fonction génératrice } \frac{1}{(1+t^2-2tz)^\lambda} = \sum_{l=1}^{\infty} t^l C_l^\lambda(z)$$

$$\Rightarrow \frac{1}{(r^2 + b^2 - 2rb \cos(\theta_n))^\lambda} = \frac{1}{r^{2\lambda}} \frac{1}{\left(1 + \left(\frac{b}{r}\right)^2 - 2\frac{b}{r} \cos(\theta_n)\right)^\lambda} = \frac{1}{r^{2\lambda}} \sum_{l=1}^{\infty} \left(\frac{b}{r}\right)^l C_l^\lambda(\cos(\theta_n))$$

$$\text{A la surface } r = l_r \quad \frac{1}{(l_r^2 + b^2 - 2l_r b \cos(\theta_n))^\lambda} = \frac{1}{l_r^{2\lambda}} \sum_{l=1}^{\infty} \left(\frac{b}{l_r}\right)^l C_l^\lambda(\cos(\theta_n))$$

Afin de ramener les deux problèmes à un problème de Laplace, on tire parti du potentiel à la surface, et l'on recherche les solutions des problèmes intérieur (Poisson) et extérieur (Laplace) sous la forme de l'addition du potentiel de la charge électrique et d'un potentiel $U(r, \vartheta)$. De cette façon le nouveau potentiel $U(r, \vartheta)$ devient solution d'un problème strictement de Laplace :

$$T(r, \theta) = \frac{q}{\sqrt{r^2 + b^2 - 2rb \cos(\theta)}} + U(r, \theta)$$

Problèmes aux limites de Laplace sur une hypersphère- p-

Pour les deux problèmes de Laplace, il vient les solutions :

Problème Intérieur $U(r, \theta) = \sum_{l=0, +\infty} A_l \left(\frac{r}{l_r} \right)^l C_l^\lambda(\cos(\theta_n))$

$$U(r, \theta)|_{r=l_r} = - \frac{q}{(l_r^2 + l_r^2 - 2l_r b \cos(\theta_n))^\lambda} = - \frac{q}{l_r^{2\lambda}} \sum_{l=1}^{\infty} \left(\frac{b}{l_r} \right)^l C_l^\lambda(\cos(\theta_n))$$

$$\Rightarrow A_n = - \frac{q}{l_r^{2\lambda}} \left(\frac{b}{l_r} \right)^l \Rightarrow U(r, \theta) = - \frac{q}{l_r^{2\lambda}} \sum_{n=0, +\infty} \left(\frac{br}{l_r^2} \right)^l C_l^\lambda(\cos(\theta_n))$$

$$T(r, \theta) = \frac{q}{(l_r^2 + l_r^2 - 2l_r b \cos(\theta_n))^\lambda} - \frac{q}{l_r^{2\lambda}} \sum_{n=0, +\infty} \left(\frac{br}{l_r^2} \right)^l C_l^\lambda(\cos(\theta_n))$$

Problème Extérieur $U(r, \theta) = \sum_{l=0, +\infty} B_l \left(\frac{l_r}{r} \right)^{l+2\lambda} C_l^\lambda(\cos(\theta_n))$ $U(r, \theta)|_{r=l_r} = - \frac{q}{l_r^{2\lambda}} \sum_{l=1}^{\infty} \left(\frac{b}{l_r} \right)^l C_l^\lambda(\cos(\theta_n))$

$$\Rightarrow B_n = - \frac{q}{l_r^{2\lambda}} \left(\frac{b}{l_r} \right)^l \Rightarrow U(r, \theta) = - \frac{q}{l_r^{2\lambda}} \sum_{n=0, +\infty} \left(\frac{b}{l_r} \right)^l \left(\frac{l_r}{r} \right)^{l+2\lambda} C_l^\lambda(\cos(\theta_n)) = - \frac{q}{r^{2\lambda}} \sum_{n=0, +\infty} \left(\frac{b}{r} \right)^l C_l^\lambda(\cos(\theta_n))$$

$$T(r, \theta) = \frac{q}{(l_r^2 + l_r^2 - 2l_r b \cos(\theta_n))^\lambda} - \frac{q}{r^{2\lambda}} \sum_{n=0, +\infty} \left(\frac{b}{r} \right)^l C_l^\lambda(\cos(\theta_n))$$

Les séries peuvent se simplifier en effet :

Problème Intérieur $T_{int}(r, \theta) = \frac{q}{(l_r^2 + l_r^2 - 2l_r b \cos(\theta_n))^\lambda} - \frac{q}{l_r^{2\lambda}} \sum_{n=0, +\infty} \left(\frac{br}{l_r^2} \right)^l C_l^\lambda(\cos(\theta_n))$

Problème Extérieur $T_{ext}(r, \theta) = \frac{q}{(l_r^2 + l_r^2 - 2l_r b \cos(\theta_n))^\lambda} - \frac{q}{r^{2\lambda}} \sum_{n=0, +\infty} \left(\frac{b}{r} \right)^l C_l^\lambda(\cos(\theta_n))$

$$D(\vec{x}, \vec{x}') = \frac{1}{(x^2 + x'^2 - 2xx' \cos(\theta_n))^\lambda} = \frac{1}{x^{2\lambda}} \sum_{l=1}^{\infty} \left(\frac{x'}{x} \right)^l C_l^\lambda(\cos(\theta_n))$$

$$\text{Si } x \rightarrow l_r \quad x' \rightarrow \frac{br}{l_r} \Rightarrow D(\vec{x}, \vec{x}') = \frac{1}{l_r^{2\lambda}} \sum_{n=0, +\infty} \left(\frac{br}{l_r^2} \right)^l C_l^\lambda(\cos(\theta_n)) = \frac{1}{\left(l_r^2 + \left(\frac{br}{l_r} \right)^2 - 2br \cos(\theta) \right)^\lambda}$$

$$\text{Si } x \rightarrow r \quad x' \rightarrow b \Rightarrow D(\vec{x}, \vec{x}') = \frac{1}{r^{2\lambda}} \sum_{n=0, +\infty} \left(\frac{b}{r} \right)^l C_l^\lambda(\cos(\theta_n)) = \frac{1}{(r^2 + b^2 - 2rb \cos(\theta))^\lambda}$$

$$\Rightarrow T_{int}(r, \theta) = \frac{q}{(r^2 + b^2 - 2rb \cos(\theta_n))^\lambda} - \frac{q}{\left(l_r^2 + \left(\frac{br}{l_r} \right)^2 - 2br \cos(\theta) \right)^\lambda}$$

$$T_{int}(r, \theta) = \frac{q}{(r^2 + b^2 - 2rb \cos(\theta_n))^\lambda} - q \left(\frac{l_r}{b} \right)^{2\lambda} \frac{1}{\left(r^2 + \left(\frac{l_r}{b} \right)^2 - 2r \frac{l_r}{b} \cos(\theta) \right)^\lambda}$$

$$\Rightarrow T_{ext}(r, \theta) = \frac{q}{(r^2 + b^2 - 2rb \cos(\theta_n))^\lambda} - \frac{q}{(r^2 + b^2 - 2rb \cos(\theta_n))^\lambda} = 0$$

Problèmes aux limites de Laplace sur une hypersphère- p-

On retrouve bien le fait que le potentiel à l'extérieur est nul du fait des conditions aux limites nulles du problème (Laplace, principe du maximum et du minimum). On retrouve pour le problème intérieur la solution donnée à l'aide de la méthode de images électriques pour une hypersphère conductrice, soit un dipôle constitué par la charge électrique de départ placée à la distance b et une charge de signe opposé placée sur le même axe à la distance l_r^2/b du centre de la sphère et de charge $-q(l_r/b)^{2\lambda}$.

L'équation de Laplace en coordonnées hyper-sphériques :

$$\frac{1}{r^{n-1}} \frac{\partial}{\partial r} \left(r^{n-1} \frac{\partial T(r, \vartheta_n)}{\partial r} \right) + \frac{1}{r^2} \frac{1}{\sin^{n-2}(\vartheta_n)} \frac{\partial}{\partial \vartheta_n} \left(\sin^{n-2}(\vartheta_n) \frac{\partial T(r, \vartheta_n)}{\partial \vartheta_n} \right) = 0$$

est en effet invariante par la transformation $r' \rightarrow l_r^2/r$:

$$\text{Si } T(r, \vartheta_n) \text{ solution de } \frac{1}{r^{n-1}} \frac{\partial}{\partial r} \left(r^{n-1} \frac{\partial T(r, \vartheta_n)}{\partial r} \right) + \frac{1}{r^2} \frac{1}{\sin^{n-2}(\vartheta_n)} \frac{\partial}{\partial \vartheta_n} \left(\sin^{n-2}(\vartheta_n) \frac{\partial T(r, \vartheta_n)}{\partial \vartheta_n} \right) = 0$$

$$\text{Alors } U(r, \vartheta_n) = \left(\frac{l_r}{r} \right)^{n-2} T\left(\frac{l_r^2}{r}, \vartheta_n \right) \text{ est également solution } \Delta_n U(r', \vartheta_n) = \Delta_{n,r'} U(r', \vartheta_n) + \Delta_{n,\vartheta_n} U(r', \vartheta_n) = 0$$

$$\text{Notons } \Delta_n = \Delta_{n,r} + \Delta_{n,\vartheta_n} \text{ sachant que } \Delta T(r', \vartheta_n) = \Delta_{r'} T(r', \vartheta_n) + \Delta_{\vartheta_n} T(r', \vartheta_n) = 0$$

$$\text{Posons } r' = \frac{l_r^2}{r} \Leftrightarrow r = \frac{l_r^2}{r'} \quad \frac{dr'}{dr} = -\frac{l_r^2}{r^2}$$

Il vient

$$\begin{aligned} & \frac{1}{r} \left[r \frac{\partial^2 T(r, \vartheta_n)}{\partial r^2} + (n-1) \frac{\partial T(r, \vartheta_n)}{\partial r} \right] + \frac{1}{r^2} \frac{1}{\sin^{n-2}(\vartheta_n)} \frac{\partial}{\partial \vartheta_n} \left(\sin^{n-2}(\vartheta_n) \frac{\partial T(r, \vartheta_n)}{\partial \vartheta_n} \right) = 0 \\ \Leftrightarrow & \left(\frac{r'}{l_r} \right)^{n+2} \left[\frac{1}{r'} \left(r' \frac{\partial^2 U(r', \vartheta_n)}{\partial r'^2} + (n-1) \frac{\partial U(r', \vartheta_n)}{\partial r'} \right) + \frac{1}{r'^2} \frac{1}{\sin^{n-2}(\vartheta_n)} \frac{\partial}{\partial \vartheta_n} \left(\sin^{n-2}(\vartheta_n) \frac{\partial U(r', \vartheta_n)}{\partial \vartheta_n} \right) \right] = 0 \\ \Leftrightarrow & \left(\frac{r'}{l_r} \right)^{n+2} [\Delta_{n,r'} U(r', \vartheta_n) + \Delta_{n,\vartheta_n} U(r', \vartheta_n)] = 0 \quad \text{c.q.f.d.} \end{aligned}$$

Ce qui confirme le résultat de la construction de la solution à l'aide de la méthode des images en électrostatique.

Solution des problèmes extérieur et intérieur électrostatiques N-Dimensionnel sur des corps géométrique de révolution connaissant la valeur du potentiel sur l'axe de révolution (inspiré du Jackson, Classical Electrodynamics)

Dans le système de coordonnées déjà introduit :

$$r = \|\vec{x}\| = \sqrt{\sum_{i=1}^n x_i^2} \Rightarrow \begin{cases} x_1 = r \cos(\vartheta_n) & \vartheta_n \in [0, \pi] \\ x_2 = r \sin(\vartheta_n) \cos(\vartheta_{n-1}) & \vartheta_{n-1} \in [0, \pi] \\ x_3 = r \sin(\vartheta_n) \sin(\vartheta_{n-1}) \cos(\vartheta_{n-2}) & \vartheta_{n-2} \in [0, \pi] \\ \dots \\ x_{n-1} = r \sin(\vartheta_n) \sin(\vartheta_{n-1}) \dots \sin(\vartheta_3) \cos(\vartheta_2) & \vartheta_3 \in [0, \pi] \\ x_n = r \sin(\vartheta_n) \sin(\vartheta_{n-1}) \dots \sin(\vartheta_3) \sin(\vartheta_2) & \vartheta_2 = \varphi \in [0, 2\pi] \end{cases}$$

$\vartheta_2 = \varphi \rightarrow \text{hyperlongitude}$ $\vartheta_n, \vartheta_{n-1}, \dots, \vartheta_3 \rightarrow \text{hypercolatitude}$

Les problèmes aux limites ne dépendent que des variables r et ϑ_n , que l'on notera ϑ pour simplifier. Ici l'axe x_1 est un axe de révolution du problème aux limites, on le notera z comme dans le cas à 3

$$x_1 = z = r \cos(\vartheta) \Rightarrow \begin{cases} x_1 > 0 & \vartheta = 0 \\ x_1 < 0 & \vartheta = \pi \end{cases}$$

dimensions :

Connaissant la valeur sur l'axe de révolution, en notant la valeur $z=r$, et si l'on peut développer cette solution en puissance (ou inverse des puissances) de r selon les limites du domaine borné et le problème intérieur et extérieur, comme suit :

$$\text{Problème Intérieur} \quad T(z=r) = \sum_{l=0,+\infty} A_l \left(\frac{r}{l_r} \right)^l \quad r < l_r \quad \text{Problème Extérieur} \quad T(z=r) = \sum_{l=0,+\infty} B_l \left(\frac{l_r}{r} \right)^{l+2\lambda} \quad r > l_r$$

Alors les solutions des problèmes intérieur et extérieur dans tous l'espace deviennent :

$$\text{Problème Intérieur} \quad T(r, \theta) = \sum_{l=0,+\infty} A_l \left(\frac{r}{l_r} \right)^l C_l^\lambda(\cos(\theta)) \quad r < l_r \quad \text{Problème Extérieur} \quad T(r, \theta) = \sum_{l=0,+\infty} B_l \left(\frac{l_r}{r} \right)^{l+2\lambda} C_l^\lambda(\cos(\theta)) \quad r > l_r$$

Pour résoudre certains de ces problèmes on fera appel à la fonction génératrice des polynômes de Gegenbauer :

$$\text{Fonction génératrice} \quad \frac{1}{(1+w^2-2wz)^\lambda} = \sum_{l=0}^{\infty} w^l C_l^\lambda(z) \quad z=0 \Rightarrow \frac{1}{(1+w^2)^\lambda} = \sum_{l=0}^{\infty} w^l C_l^\lambda(0) = \sum_{2l=0}^{\infty} w^{2l} C_{2l}^\lambda(0)$$

Considération sur l'électrostatique à N-Dimensions

On sait que le potentiel crée par une charge q_0 concentrée en un point x' dans un espace à N-dimension est solution de l'équation de Poisson, et possède la forme suivante dans tout l'espace en un point x :

$$\mathbf{x} = (x_1, \dots, x_n) \quad \mathbf{x}' = (x'_1, \dots, x'_n) \quad \Delta G(\mathbf{x}, \mathbf{x}') = -q_0 \delta(\mathbf{x} - \mathbf{x}') \\ G(\mathbf{x}, \mathbf{x}') = q_0 \frac{\Gamma(n/2)}{2\pi^{n/2}(n-2)\|\mathbf{x} - \mathbf{x}'\|^{n-2}} \quad \text{si } n \geq 3 \quad n=3 \Rightarrow G(\mathbf{x}, \mathbf{x}') = \frac{q_0}{4\pi\|\mathbf{x} - \mathbf{x}'\|^{n-2}}$$

Il s'agit également de la fonction de Green dans tout l'espace R_n . Pour obtenir le potentiel d'une répartition de charges telles que définie par une densité volumique dans un domaine fermé Ω , il suffit d'intégrer sur des volumes infinitésimaux du domaine Ω :

$$\text{Densité } \rho(\mathbf{x}') \quad \mathbf{x}' \in \Omega \quad q_0 = \rho(\mathbf{x}') dV_{\Omega} \Rightarrow T(\mathbf{x}) = \int_{\mathbf{x}' \in \Omega} \rho(\mathbf{x}') dV_{\Omega} \frac{\Gamma\left(\frac{n}{2}\right)}{2\pi^{n/2}(n-2)\|\mathbf{x} - \mathbf{x}'\|^{n-2}} \\ \Rightarrow T(\mathbf{x}) = \frac{1}{S(n,1)(n-2)} \int_{\mathbf{x}' \in \Omega} dV_{\Omega} \frac{\rho(\mathbf{x}')}{\|\mathbf{x} - \mathbf{x}'\|^{n-2}} = \frac{\Gamma\left(\frac{n}{2}\right)}{2\pi^{n/2}(n-2)} \int_{\mathbf{x}' \in \Omega} dV_{\Omega} \frac{\rho(\mathbf{x}')}{\|\mathbf{x} - \mathbf{x}'\|^{n-2}} \quad \text{sachant que } S(n,1) = \frac{2\pi^{n/2}}{\Gamma\left(\frac{n}{2}\right)}$$

$S(n,1)$ Surface de l'hyper-sphère de rayon unité en dimension n

$$S(n,l) \text{ Surface de l'hyper-sphère de rayon } l \text{ en dimension } n \Rightarrow S(n,l) = \frac{2\pi^{n/2}l^{n-1}}{\Gamma\left(\frac{n}{2}\right)}$$

L'électrostatique à N-dimensions suit donc les mêmes règles que celle à 3 dimensions. Dès lors pour calculer le potentiel d'un solide quelconque chargé avec une densité volumique donnée, il suffit d'intégrer les potentiels élémentaires créés par chaque charge contenue dans un volume infinitésimal.

Transformation de Kelvin, inversion sur une hyper-sphère de rayon l_r

La transformation suivante consiste en une inversion des coordonnées :

$$\mathbf{x}' = (x'_1, \dots, x'_n) \quad \mathbf{x} = (x_1, \dots, x_n) \quad \text{tq} \quad \mathbf{x}' = \frac{l_r^2 \mathbf{x}}{\|\mathbf{x}\|^2} \Rightarrow \|\mathbf{x}'\|^2 = \frac{l_r^4}{\|\mathbf{x}\|^2} \Leftrightarrow \mathbf{x} = \frac{\|\mathbf{x}\|^2 \mathbf{x}'}{l_r^2} = \frac{l_r^2 \mathbf{x}'}{\|\mathbf{x}'\|^2}$$

Si une fonction est harmonique dans un domaine D de R_n (ne contenant pas l'origine des coordonnées), alors la fonction dites transformée de Kelvin suivante est également harmonique dans le domaine D' transformée par l'inversion :

$$T(\mathbf{x}) \quad \text{tq} \quad \Delta T(\mathbf{x}) = 0 \quad \mathbf{x} \in D \Rightarrow T'(\mathbf{x}') = \frac{1}{\|\mathbf{x}'\|^{n-2}} T(\mathbf{x}) \quad \text{tq} \quad \Delta T'(\mathbf{x}') = 0 \Rightarrow T'(\mathbf{x}') = \frac{1}{\|\mathbf{x}'\|^{n-2}} T\left(\frac{l_r^2 \mathbf{x}'}{\|\mathbf{x}'\|^2}\right).$$

Exemple : Problème extérieur, filament fin de longueur 2l placé sur l'axe x_1 avec une densité linéique de charge q , potentiel dans tout l'espace, application de la construction précédente :

Le domaine d'intégration correspondant au filament fin s'écrit : $\Omega = \{x_1 \in [-l, +l]\} \times \{x_2 = x_3 = \dots = x_n = 0\}$

Le potentiel le long de l'axe x_1 s'écrit sous forme intégrale, et le calcul de sa valeur sur l'axe x_1 lorsque $|x_1| > l$ est aisée :

$$\vec{x}' \in \Omega \Rightarrow T(\vec{x}) = \frac{\rho}{(n-2)S(n,1)} \int_{\vec{x}' \in \Omega} dV_{\Omega} \frac{1}{\|\vec{x} - \vec{x}'\|^{n-2}} \quad \vec{x} = \{x_1, x_2, \dots, x_n\} \quad \vec{x}' = \{z, 0, \dots, 0\}$$

$$\|\vec{x} - \vec{x}'\|^{n-2} = \left((x_1 - z)^2 + x_2^2 + \dots + x_n^2 \right)^{\frac{n-2}{2}} \Rightarrow T(\vec{x}) = \frac{\rho}{(n-2)S(n,1)} \int_{-l}^{+l} \frac{dz}{\left((x_1 - z)^2 + x_2^2 + \dots + x_n^2 \right)^{\frac{n-2}{2}}}$$

$$\lambda = \frac{n-2}{2} \Rightarrow T(x_1, 0, \dots, 0) = \frac{\rho}{(n-2)S(n,1)} \int_{-l}^{+l} \frac{dz}{|x_1 - z|^{n-2}} = \frac{\rho}{2\lambda S(n,1)} \int_{-l}^{+l} \frac{dz}{|x_1 - z|^{2\lambda}}$$

$$\text{Prenons } x_1 > l \Rightarrow T(x_1, 0, \dots, 0) = \frac{\rho}{2\lambda S(n,1)(2\lambda-1)} \left(\frac{1}{(x_1-l)^{2\lambda-1}} - \frac{1}{(x_1+l)^{2\lambda-1}} \right) = \frac{\rho}{2\lambda S(n,1)(2\lambda-1)x_1^{2\lambda-1}} \left(\frac{1}{\left(1-\frac{l}{x_1}\right)^{2\lambda-1}} - \frac{1}{\left(1+\frac{l}{x_1}\right)^{2\lambda-1}} \right)$$

$$\text{Or } \frac{1}{(1-x)^\alpha} = \sum_{k=0}^{+\infty} \frac{\Gamma(\alpha+k)}{\Gamma(\alpha)} \frac{x^k}{k!} \Rightarrow T(x_1, 0, \dots, 0) = \frac{\rho}{\lambda S(n,1)(2\lambda-1)x_1^{2\lambda-1}} \sum_{k=0}^{+\infty} \frac{\Gamma(2\lambda+2k)}{\Gamma(2\lambda-1)(2k+1)!} \left(\frac{l}{x_1} \right)^{2k+1}$$

$$\Rightarrow T(x_1, 0, \dots, 0) = \frac{\rho}{\lambda S(n,1)(2\lambda-1)l^{2\lambda-1}} \sum_{k=0}^{+\infty} \frac{\Gamma(2\lambda+2k)}{\Gamma(2\lambda-1)(2k+1)!} \left(\frac{l}{x_1} \right)^{2k+2\lambda}$$

$$\text{Cas particulier } \lambda = \frac{1}{2} \Rightarrow T(x_1, 0, 0) = \frac{\rho}{4\pi} \int_{-l}^{+l} \frac{dz}{|x_1 - z|} \Rightarrow x_1 > l \quad T(x_1, 0, 0) = \frac{\rho}{4\pi} \text{Log} \left(\frac{x_1+l}{x_1-l} \right) = \frac{\rho}{4\pi} \left\{ \text{Log} \left(1 + \frac{l}{x_1} \right) - \text{Log} \left(1 - \frac{l}{x_1} \right) \right\}$$

$$\Rightarrow x_1 > l \quad T(x_1, 0, 0) = \frac{\rho}{2\pi} \sum_{n=0}^{+\infty} \frac{1}{2n+1} \left(\frac{l}{x_1} \right)^{2n+1}$$

$$\Rightarrow r > l \quad \begin{cases} \lambda = \frac{1}{2} & T(r, \theta) = \frac{\rho}{2\pi} \sum_{n=0}^{+\infty} \frac{C_{2k}^{\frac{1}{2}}(\cos(\theta))}{2n+1} \left(\frac{l}{r} \right)^{2n+1} = \frac{\rho}{2\pi} \sum_{n=0}^{+\infty} \frac{P_{2n}(\cos(\theta))}{2n+1} \left(\frac{l}{r} \right)^{2n+1} \\ T(r, \theta) = \frac{\rho}{\lambda S(2\lambda+2,1)(2\lambda-1)l^{2\lambda-1}} \sum_{k=0}^{+\infty} \left(\frac{l}{r} \right)^{2k+2\lambda} \frac{\Gamma(2\lambda+2k)}{\Gamma(2\lambda-1)(2k+1)!} C_{2k}^{\lambda}(\cos(\theta)) \end{cases}$$

Problèmes aux limites de Laplace sur une hypersphère- p-

Pour le cas $|x_1| < l$ ou $r < l$, l'intégration directe est possible :

$$\vec{x}' \in \Omega \Rightarrow T(\vec{x}) = \frac{\rho}{(n-2)S(n,1)} \int_{\vec{x}' \in \Omega} \frac{1}{\|\vec{x} - \vec{x}'\|^{n-2}} \quad \vec{x} = \{x_1, x_2, \dots, x_n\} \quad \vec{x}' = \{z, 0, \dots, 0\}$$

$$\|\vec{x} - \vec{x}'\|^{n-2} = \left((x_1 - z)^2 + x_2^2 + \dots + x_n^2 \right)^{\frac{n-2}{2}} \Rightarrow T(\vec{x}) = \frac{\rho}{(n-2)S(n,1)} \int_{-l}^{+l} \frac{dz}{\left((x_1 - z)^2 + x_2^2 + \dots + x_n^2 \right)^{\frac{n-2}{2}}}$$

$$\text{Posons } r_{\perp} = \sqrt{x_2^2 + \dots + x_n^2} \quad u = \frac{x_1 - z}{r_{\perp}} \quad \lambda = \frac{n-2}{2} \Rightarrow T(\vec{x}) = \frac{\rho}{(n-2)S(n,1)} \frac{1}{r_{\perp}^{n-3}} \int_{-l}^{+l} \frac{\frac{dz}{r_{\perp}}}{\left(1 + \frac{(x_1 - z)^2}{r_{\perp}^2} \right)^{\frac{n-2}{2}}}$$

$$\Rightarrow T(\vec{x}) = \frac{\rho}{(n-2)S(n,1)} \frac{1}{r_{\perp}^{n-3}} \int_{\frac{x_1-l}{r_{\perp}}}^{\frac{x_1+l}{r_{\perp}}} \frac{du}{(1+u^2)^{\lambda}} \quad \text{Or} \quad \int \frac{du}{(1+u^2)^{\lambda}} = u {}_2F_1\left(\frac{1}{2}, \lambda; \frac{3}{2}; -u^2\right)$$

$$\Rightarrow T(\vec{x}) = \frac{\rho}{(n-2)S(n,1)} \frac{1}{r_{\perp}^{n-3}} \left[u {}_2F_1\left(\frac{1}{2}, \lambda; \frac{3}{2}; -u^2\right) \right]_{\frac{x_1-l}{r_{\perp}}}^{\frac{x_1+l}{r_{\perp}}}$$

$$\Rightarrow T(\vec{x}) = \frac{\rho}{(n-2)S(n,1)} \frac{1}{r_{\perp}^{n-2}} \left\{ (x_1 + l) {}_2F_1\left(\frac{1}{2}, \lambda; \frac{3}{2}; -\frac{(x_1 + l)^2}{r_{\perp}^2}\right) - (x_1 - l) {}_2F_1\left(\frac{1}{2}, \lambda; \frac{3}{2}; -\frac{(x_1 - l)^2}{r_{\perp}^2}\right) \right\}$$

Lorsque $N=4$:

$$r > l \quad \text{et} \quad S(4,1) = 2\pi^2 \Rightarrow T(r, \theta) = \frac{\rho}{2\pi^2 l} \sum_{k=0}^{+\infty} \left(\frac{l}{r}\right)^{2k+2} \frac{\Gamma(2+2k)}{(2k+1)!} C_{2k}^{\lambda}(Cos(\theta)) = \frac{\rho}{2\pi^2 l} \sum_{k=0}^{+\infty} \left(\frac{l}{r}\right)^{2k+2} C_{2k}^1(Cos(\theta)).$$

Pour les puissances supérieures l'expression littérale avec les fonctions hyper-géométriques permet de retrouver les valeurs sur l'axe x_1 lorsque $x_1 > l$ par passage à la limite, à savoir :

$$\Rightarrow T(\vec{x}) = \frac{\rho}{2\lambda S(2\lambda+2,1)} \frac{1}{r_{\perp}^{2\lambda-1}} \left[u {}_2F_1\left(\frac{1}{2}, \lambda; \frac{3}{2}; -u^2\right) \right]_{\frac{x_1-l}{r_{\perp}}}^{\frac{x_1+l}{r_{\perp}}} = \frac{\rho}{2\lambda S(2\lambda+2,1)} \left[\frac{u}{r_{\perp}^{2\lambda}} {}_2F_1\left(\frac{1}{2}, \lambda; \frac{3}{2}; -\frac{u^2}{r_{\perp}^2}\right) \right]_{x_1-l}^{x_1+l}$$

$$\text{Or} \quad \frac{u}{r_{\perp}^{2\lambda}} {}_2F_1\left(\frac{1}{2}, \lambda; \frac{3}{2}; -\frac{u^2}{r_{\perp}^2}\right) \approx -\frac{1}{2\lambda-1} \frac{1}{u^{2\lambda-1}} + C(\lambda) r_{\perp}^{1-2\lambda} + O(r_{\perp}^2)$$

$$\Rightarrow T(x_1, 0, \dots, 0) = \frac{\rho}{2\lambda S(2\lambda+2,1)(2\lambda-1)} \left[\frac{1}{u^{2\lambda-1}} \right]_{x_1+l}^{x_1-l}$$

On retrouve bien l'expression en passant à la limite $r_{\perp} \rightarrow 0$ avant l'intégration.

Exemple : Problème extérieur, anneau fin de rayon l_a avec une densité de charge ρ constante, placé à l'origine des coordonnées sur l'hyper-plan (x_2, \dots, x_n) d'axe de révolution x_1 , potentiel dans tout l'espace, application de la construction précédente

« L'anneau » de rayon l_a centré sur l'origine des coordonnées, avec x_1 comme axe de révolution est défini comme suit :

$$\text{Anneau} \quad \sum_{i=2}^{l=n} x_i^2 = l_a^2 \quad \vec{x} = (x_1, \dots, x_n) \Leftrightarrow \text{Surface de l'Hyper-Sphère de dimension } n-1 \text{ et de rayon } l_a.$$

Tous les points sur « l'anneau » étant à égale distance d'un point sur l'axe x_1 , il s'en suit que le terme de puissance inverse de la distance est constant et que l'on peut sortir de l'intégrale. Admettons que la densité est constante dans le volume. Il vient :

$$\begin{aligned} \vec{x} &= \{0, x_2, \dots, x_n\} \quad \vec{x}' = \{z = x_1, 0, \dots, 0\} \quad l_a^2 = x_2^2 + \dots + x_n^2 \Rightarrow \|\vec{x} - \vec{x}'\| = \sqrt{z^2 + l_a^2} \\ \Rightarrow T(z) &= \frac{\rho}{(n-2)S(n,1)} \int_{\vec{x}' \in \Omega} \frac{dV_{\Omega}}{\|\vec{x} - \vec{x}'\|^{n-2}} = \frac{\rho S(n-1, l_a)}{(n-2)S(n,1) (z^2 + l_a^2)^{\frac{n-2}{2}}} \\ S(n-1, l_a) &= \frac{2\pi^{\frac{n-1}{2}} l_a^{n-2}}{\Gamma\left(\frac{n-1}{2}\right)} = l_a^{n-2} S(n-1, 1) \quad \text{et} \quad S(n, 1) = \frac{2\pi^{n/2}}{\Gamma\left(\frac{n}{2}\right)} \Rightarrow T(z) = \frac{\rho S(n-1, 1) l_a^{n-2}}{(n-2)S(n,1) (z^2 + l_a^2)^{\frac{n-2}{2}}} \\ \Rightarrow T(z) &= \frac{\rho}{(n-2)} \frac{S(n-1, 1)}{S(n, 1)} \frac{1}{\left(1 + \frac{z^2}{l_a^2}\right)^{\frac{n-2}{2}}} = \frac{\rho}{(n-2)} \frac{S(n-1, 1)}{S(n, 1)} \frac{\frac{l_a^{n-2}}{z^{n-2}}}{\left(1 + \frac{l_a^2}{z^2}\right)^{\frac{n-2}{2}}} \end{aligned}$$

En utilisant la fonction génératrice, on écrira le potentiel sur l'axe z :

$$\lambda = \frac{n-2}{2} \quad T(z) = \frac{\rho}{(n-2)} \frac{S(n-1, 1)}{S(n, 1)} \begin{cases} \sum_{l=0}^{\infty} \left(\frac{z}{l_a}\right)^{2l} C_{2l}^{\lambda}(0) & z < l_a \\ \sum_{l=0}^{\infty} \left(\frac{l_a}{z}\right)^{2l+n-2} C_{2l}^{\lambda}(0) = \sum_{2l=0}^{\infty} \left(\frac{l_a}{z}\right)^{2l+2\lambda} C_{2l}^{\lambda}(0) & z > l_a \end{cases}.$$

Et par extension le potentiel dans tout l'espace :

$$\lambda = \frac{n-2}{2} \quad T(r, \theta) = \frac{\rho}{(n-2)} \frac{S(n-1, 1)}{S(n, 1)} \begin{cases} \sum_{l=0}^{\infty} \left(\frac{r}{l_a}\right)^{2l} C_{2l}^{\lambda}(0) C_{2l}^{\lambda}(\cos(\theta)) & r < l_a \\ \sum_{l=0}^{\infty} \left(\frac{l_a}{r}\right)^{2l+2\lambda} C_{2l}^{\lambda}(0) C_{2l}^{\lambda}(\cos(\theta)) & r > l_a \end{cases}$$

Problèmes aux limites de Laplace sur une hypersphère- p-

On retrouve le potentiel d'un anneau fin à 3 dimensions : (dans une version précédente en coordonnées sphériques le potentiel était le même à un facteur multiplicatif 4π près).

$$n=3 \Rightarrow S(n-1,1) = \frac{2\pi^{\frac{n-1}{2}}}{\Gamma\left(\frac{n-1}{2}\right)} \quad \text{et} \quad S(n,1) = \frac{2\pi^{n/2}}{\Gamma\left(\frac{n}{2}\right)} \Rightarrow \frac{S(n-1,1)}{S(n,1)} = \frac{\Gamma\left(\frac{3}{2}\right)}{\sqrt{\pi}} = \frac{1}{2}$$

$$\lambda = \frac{1}{2} \Rightarrow T(r, \theta) = \frac{\rho}{2} \begin{cases} \sum_{l=0}^{\infty} \left(\frac{r}{l_a}\right)^{2l} P_{2l}(0) P_{2l}(\cos(\theta)) & r < l_a \\ \sum_{l=0}^{\infty} \left(\frac{l_a}{r}\right)^{2l+1} P_{2l}(0) P_{2l}(\cos(\theta)) & r > l_a \end{cases}$$

Exemple : Problème extérieur, anneau fin de rayon l_a avec une densité de charge ρ constante, placé à la distance z_a l'origine des coordonnées au dessus de l'hyper-plan (x_2, \dots, x_n) parfaitement conducteur d'axe de révolution x_1 , potentiel dans tout l'espace.

De l'exemple précédent, on tire le potentiel du seul « anneau » placé en $z=z_a$:

$$T(z) = \frac{\rho}{(n-2)} \frac{S(n-1,1)}{S(n,1)} \frac{l_a^{n-2}}{\left((z-z_a)^2 + l_a^2\right)^{\frac{n-2}{2}}} = \frac{\rho}{(n-2)} \frac{S(n-1,1)}{S(n,1)} = \frac{l_a^{n-2}}{\left(z^2 + \left(\sqrt{z_a^2 + l_a^2}\right)^2 - 2zz_a\right)^{\frac{n-2}{2}}}$$

$$T(z) = \frac{\rho}{(n-2)} \frac{S(n-1,1)}{S(n,1)} \frac{l_a^{n-2}}{\left(z_a^2 + l_a^2\right)^{\frac{n-2}{2}}} \begin{cases} \frac{1}{\left(1 + \frac{z^2}{\left(\sqrt{z_a^2 + l_a^2}\right)^2} - 2 \frac{z_a}{\sqrt{z_a^2 + l_a^2}} \frac{z}{\sqrt{z_a^2 + l_a^2}}\right)^{\frac{n-2}{2}}} & z < \sqrt{z_a^2 + l_a^2} \\ \frac{\left(\frac{\sqrt{z_a^2 + l_a^2}}{z}\right)^{n-2}}{\left(1 + \frac{\left(\sqrt{z_a^2 + l_a^2}\right)^2}{z^2} - 2 \frac{z_a}{\sqrt{z_a^2 + l_a^2}} \frac{\sqrt{z_a^2 + l_a^2}}{z}\right)^{\frac{n-2}{2}}} & z > \sqrt{z_a^2 + l_a^2} \end{cases}$$

$$\frac{1}{(1+w^2-2wt)^\lambda} = \sum_{l=0}^{\infty} w^l C_l^\lambda(t) \rightarrow \begin{cases} w = \frac{z}{\sqrt{z_a^2 + l_a^2}} \quad t = \frac{z_a}{\sqrt{z_a^2 + l_a^2}} & z < \sqrt{z_a^2 + l_a^2} \\ w = \frac{\sqrt{z_a^2 + l_a^2}}{z} \quad t = \frac{z_a}{\sqrt{z_a^2 + l_a^2}} & z > \sqrt{z_a^2 + l_a^2} \end{cases} \quad \lambda = \frac{n-2}{2}$$

$$\Rightarrow T(r, \theta) = \frac{\rho}{(n-2)} \frac{S(n-1,1)}{S(n,1)} \frac{l_a^{n-2}}{\left(z_a^2 + l_a^2\right)^{\frac{n-2}{2}}} \begin{cases} \sum_{l=0}^{\infty} \left(\frac{r}{\sqrt{z_a^2 + l_a^2}}\right)^l C_l^\lambda\left(\frac{z_a}{\sqrt{z_a^2 + l_a^2}}\right) C_l^\lambda(\cos(\theta)) & r < \sqrt{z_a^2 + l_a^2} \\ \sum_{l=0}^{\infty} \left(\frac{\sqrt{z_a^2 + l_a^2}}{r}\right)^{l+2\lambda} C_l^\lambda\left(\frac{z_a}{\sqrt{z_a^2 + l_a^2}}\right) C_l^\lambda(\cos(\theta)) & r > \sqrt{z_a^2 + l_a^2} \end{cases}$$

Problèmes aux limites de Laplace sur une hypersphère- p-

Pour déduire le potentiel de cet anneau placé au dessus de l'hyper-plan parfaitement conducteur, on utilise la méthode des images électriques. Le potentiel est équivalent à celui de deux anneaux placés de part et d'autre du plan, à la même distance et de charges opposées. Compte tenu des propriétés de parité des polynômes de Gegenbauer, le potentiel aura donc immédiatement la forme :

$$T(r, \theta) = \frac{\rho}{(n-2)} \frac{S(n-1,1)}{S(n,1)} \frac{l_a^{n-2}}{(z_a^2 + l_a^2)^{\frac{n-2}{2}}} \begin{cases} \sum_{l=0}^{\infty} \left(\frac{r}{\sqrt{z_a^2 + l_a^2}} \right)^l \left\{ C_l^\lambda \left(\frac{z_a}{\sqrt{z_a^2 + l_a^2}} \right) - C_l^\lambda \left(-\frac{z_a}{\sqrt{z_a^2 + l_a^2}} \right) \right\} C_l^\lambda(\cos(\theta)) & r < \sqrt{z_a^2 + l_a^2} \\ \sum_{l=0}^{\infty} \left(\frac{\sqrt{z_a^2 + l_a^2}}{r} \right)^{l+2\lambda} \left\{ C_l^\lambda \left(\frac{z_a}{\sqrt{z_a^2 + l_a^2}} \right) - C_l^\lambda \left(-\frac{z_a}{\sqrt{z_a^2 + l_a^2}} \right) \right\} C_l^\lambda(\cos(\theta)) & r > \sqrt{z_a^2 + l_a^2} \end{cases}$$

$$\Rightarrow T(r, \theta) = \frac{2\rho}{(n-2)} \frac{S(n-1,1)}{S(n,1)} \frac{l_a^{n-2}}{(z_a^2 + l_a^2)^{\frac{n-2}{2}}} \begin{cases} \sum_{l=0}^{\infty} \left(\frac{r}{\sqrt{z_a^2 + l_a^2}} \right)^{2l+1} C_{2l+1}^\lambda \left(\frac{z_a}{\sqrt{z_a^2 + l_a^2}} \right) C_{2l+1}^\lambda(\cos(\theta)) & r < \sqrt{z_a^2 + l_a^2} \\ \sum_{l=0}^{\infty} \left(\frac{\sqrt{z_a^2 + l_a^2}}{r} \right)^{2l+1+2\lambda} C_{2l+1}^\lambda \left(\frac{z_a}{\sqrt{z_a^2 + l_a^2}} \right) C_{2l+1}^\lambda(\cos(\theta)) & r > \sqrt{z_a^2 + l_a^2} \end{cases}$$

Exemple : Problème extérieur, anneau fin de rayon l_a , placé à l'origine avec une densité de charge ρ , potentiel dans tout l'espace, entourant une hyper-sphère conductrice de rayon l_s , $l_a > l_s$, de valeur nulle pour le potentiel à la surface de l'hyper-sphère

Là encore la configuration des charges dans l'anneau ne se modifie pas en présence de l'hyper-sphère conductrice puisque la géométrie respecte la symétrie autour de l'axe de révolution. Le potentiel total est donc l'ajout du potentiel précédemment calculé de l'anneau avec un potentiel dit de surface tel que le potentiel résultant est nul sur l'hyper-sphère conductrice :

$$T(r, \theta) = T_a(r, \theta) + T_s(r, \theta) \quad l_s < l_a$$

$$\lambda = \frac{n-2}{2} \quad T_a(r, \theta) = \frac{\rho}{(n-2)} \frac{S(n-1,1)}{S(n,1)} \begin{cases} \sum_{l=0}^{\infty} \left(\frac{r}{l_a} \right)^{2l} C_{2l}^\lambda(0) C_{2l}^\lambda(\cos(\theta)) & r < l_a \\ \sum_{l=0}^{\infty} \left(\frac{l_a}{r} \right)^{2l+2\lambda} C_{2l}^\lambda(0) C_{2l}^\lambda(\cos(\theta)) & r > l_a \end{cases}$$

$$T_s(r, \theta) \text{ tq } T_s(r, \theta)|_{r=l_s} = -T_a(r, \theta)|_{r=l_s} = -\frac{\rho}{(n-2)} \frac{S(n-1,1)}{S(n,1)} \sum_{l=0}^{\infty} \left(\frac{l_s}{l_a} \right)^{2l} C_{2l}^\lambda(0) C_{2l}^\lambda(\cos(\theta)) \quad \text{puisque } l_s < l_a$$

$$\Rightarrow T_s(r, \theta) = -\frac{\rho}{(n-2)} \frac{S(n-1,1)}{S(n,1)} \sum_{l=0}^{\infty} \left(\frac{l_s}{l_a} \right)^{2l} \left(\frac{l_s}{r} \right)^{2l+2\lambda} C_{2l}^\lambda(0) C_{2l}^\lambda(\cos(\theta))$$

$$\Rightarrow T(r, \theta) = \frac{\rho}{(n-2)} \frac{S(n-1,1)}{S(n,1)} \begin{cases} \sum_{l=0}^{\infty} \left\{ \left(\frac{r}{l_a} \right)^{2l} - \left(\frac{l_s}{l_a} \right)^{2l} \left(\frac{l_s}{r} \right)^{2l+2\lambda} \right\} C_{2l}^\lambda(0) C_{2l}^\lambda(\cos(\theta)) & l_s < r < l_a \\ \sum_{l=0}^{\infty} \left\{ \left(\frac{l_a}{r} \right)^{2l+2\lambda} - \left(\frac{l_s}{l_a} \right)^{2l} \left(\frac{l_s}{r} \right)^{2l+2\lambda} \right\} C_{2l}^\lambda(0) C_{2l}^\lambda(\cos(\theta)) & r > l_a \end{cases}$$

Remarque sur la méthode des images électriques (transformation de Kelvin)

La solution peut-être obtenue en utilisant la méthode des images électriques en plaçant fictivement un anneau inversé par rapport à l'hyper-sphère, chargé négativement de la charge de l'anneau initial multiplié par un coefficient de proportionnalité $\left(\frac{l_a}{l_s}\right)^{2\lambda}$. L'anneau transformé est situé à l'intérieur de l'hyper-sphère. Le rayon de l'anneau inverse est le suivant et déduisons son potentiel avec la nouvelle charge comme transformée de Kelvin :

$$\lambda = \frac{n-2}{2} \quad \vec{x}' = \frac{l_s^2 \vec{x}}{\|\vec{x}\|^2} \Rightarrow l_a'^2 = \frac{l_s^4}{l_a^2} \Rightarrow l_a' = \frac{l_s^2}{l_a}$$

$$\Rightarrow T_{a'}(r, \theta) = -\left(\frac{l_a}{l_s}\right)^{2\lambda} \frac{\rho}{(n-2)} \frac{S(n-1,1)}{S(n,1)} \sum_{l=0}^{\infty} \left(\frac{l_a'}{r}\right)^{2l+2\lambda} C_{2l}^{\lambda}(0) C_{2l}^{\lambda}(\cos(\theta)) \quad r > l_{a'}$$

$$\Rightarrow T_{a'}(r, \theta) = -\frac{\rho}{(n-2)} \frac{S(n-1,1)}{S(n,1)} \sum_{l=0}^{\infty} \left(\frac{l_s}{l_a}\right)^{2l} \left(\frac{l_s}{r}\right)^{2l+2\lambda} C_{2l}^{\lambda}(0) C_{2l}^{\lambda}(\cos(\theta)) \quad r > l_{a'}$$

On retrouve bien le potentiel additif pour obtenir la solution.

Exemple : problème intérieur, anneau fin de rayon l_a , centré à l'origine avec une densité de charge ρ , potentiel dans tout l'espace, à l'intérieur d'une hyper-sphère conductrice de rayon l_s , $l_a < l_s$, de valeur nulle pour le potentiel à la surface de l'hyper-sphère

Là encore la configuration des charges dans l'anneau ne se modifie pas en présence de l'hyper-sphère conductrice puisque la géométrie respecte la symétrie autour de l'axe de révolution. Le potentiel total est donc l'ajout du potentiel précédemment calculé de l'anneau avec un potentiel dit de surface tel que le potentiel résultant est nul sur l'hyper-sphère conductrice :

$$T(r, \theta) = T_a(r, \theta) + T_s(r, \theta) \quad l_a < l_s$$

$$\lambda = \frac{n-2}{2} \quad T_a(r, \theta) = \frac{\rho}{(n-2)} \frac{S(n-1,1)}{S(n,1)} \begin{cases} \sum_{l=0}^{\infty} \left(\frac{r}{l_a}\right)^{2l} C_{2l}^{\lambda}(0) C_{2l}^{\lambda}(\cos(\theta)) & r < l_a \\ \sum_{l=0}^{\infty} \left(\frac{l_a}{r}\right)^{2l+2\lambda} C_{2l}^{\lambda}(0) C_{2l}^{\lambda}(\cos(\theta)) & r > l_a \end{cases}$$

$$T_s(r, \theta) \text{ tq } T_s(r, \theta)|_{r=l_s} = -T_a(r, \theta)|_{r=l_s} = -\frac{\rho}{(n-2)} \frac{S(n-1,1)}{S(n,1)} \sum_{l=0}^{\infty} \left(\frac{l_a}{l_s}\right)^{2l+2\lambda} C_{2l}^{\lambda}(0) C_{2l}^{\lambda}(\cos(\theta)) \quad \text{puisque } l_s < l_a$$

$$\Rightarrow T_s(r, \theta) = -\frac{\rho}{(n-2)} \frac{S(n-1,1)}{S(n,1)} \sum_{l=0}^{\infty} \left(\frac{l_a}{l_s}\right)^{2l+2\lambda} \left(\frac{r}{l_s}\right)^{2l} C_{2l}^{\lambda}(0) C_{2l}^{\lambda}(\cos(\theta))$$

$$\Rightarrow T(r, \theta) = \frac{\rho}{(n-2)} \frac{S(n-1,1)}{S(n,1)} \begin{cases} \sum_{l=0}^{\infty} \left\{ \left(\frac{r}{l_a}\right)^{2l} - \left(\frac{l_a}{l_s}\right)^{2l+2\lambda} \left(\frac{r}{l_s}\right)^{2l} \right\} C_{2l}^{\lambda}(0) C_{2l}^{\lambda}(\cos(\theta)) & r < l_a \\ \sum_{l=0}^{\infty} \left\{ \left(\frac{l_a}{r}\right)^{2l+2\lambda} - \left(\frac{l_a}{l_s}\right)^{2l+2\lambda} \left(\frac{r}{l_s}\right)^{2l} \right\} C_{2l}^{\lambda}(0) C_{2l}^{\lambda}(\cos(\theta)) & l_a < r < l_s \end{cases}$$

Remarque sur la méthode des images électriques (transformation de Kelvin)

La solution peut-être obtenue en utilisant la méthode des images électriques en plaçant fictivement un anneau inversé par rapport à l'hyper-sphère, chargé négativement de la charge de l'anneau initial multiplié par un coefficient de proportionnalité $\left(\frac{l_a}{l_s}\right)^{2\lambda}$. L'anneau transformé est situé cette fois à l'extérieur de l'hyper-sphère. Le rayon de l'anneau inverse est le suivant et déduisons son potentiel avec la nouvelle charge comme transformée de Kelvin :

$$\lambda = \frac{n-2}{2} \quad \vec{x}' = \frac{l_s^2 \vec{x}}{\|\vec{x}\|^2} \Rightarrow l_a'^2 = \frac{l_s^4}{l_a^2} \Rightarrow l_a' = \frac{l_s^2}{l_a}$$

$$\Rightarrow T_{a'}(r, \theta) = -\left(\frac{l_a}{l_s}\right)^{2\lambda} \frac{\rho}{(n-2)} \frac{S(n-1,1)}{S(n,1)} \sum_{l=0}^{\infty} \left(\frac{r}{l_a'}\right)^{2l} C_{2l}^{\lambda}(0) C_{2l}^{\lambda}(\cos(\theta)) \quad r < l_{a'}$$

$$\Rightarrow T_{a'}(r, \theta) = -\frac{\rho}{(n-2)} \frac{S(n-1,1)}{S(n,1)} \sum_{l=0}^{\infty} \left(\frac{l_a}{l_s}\right)^{2l+2\lambda} \left(\frac{r}{l_s}\right)^{2l} C_{2l}^{\lambda}(0) C_{2l}^{\lambda}(\cos(\theta)) \quad r < l_{a'}$$

On retrouve bien le potentiel additif pour obtenir la solution.

Remarque importante : dans le cas d'une charge ponctuelle en dehors ou en dedans de l'hyper-sphère, le coefficient multiplicateur de la charge image est $(l_s/l_a)^{2\lambda}$ où l_a est le rayon position de la charge. Lorsque l'on a un anneau, il faut envisager l'intégration d'une charge ponctuelle sur la « surface » de l'anneau (une hyper-sphère de dimension n-1). La prise en compte de cette intégration donne immédiatement un coefficient multiplicateur de la charge image de valeur inverse, soit $(l_a/l_s)^{2\lambda}$.

Exemple : Problème extérieur, hyper-disque fin de rayon l_d avec une densité de charge ρ constante, placé à l'origine des coordonnées sur l'hyper-plan (x_2, \dots, x_n) d'axe de révolution x_1 , potentiel dans tout l'espace

L'hyper-disque de rayon l_d centré sur l'origine des coordonnées est l'intérieur hyper-sphère de dimension $n-1$, avec x_1 comme axe de révolution est défini comme suit :

$$\text{Hyper - Disque } \sum_{i=2}^{i=n} x_i^2 \leq l_d^2 \quad \vec{x} = (x_1, \dots, x_n) \Leftrightarrow \text{Intérieur de l'Hyper - Sphère de dimension } n-1 \text{ et de rayon } l_d.$$

Admettons que la densité est constante dans le volume. Tous les points du disque situés sur un même « rayon » intérieur sont à égale distance d'un point x_1 de l'axe de révolution, il s'en suit que le potentiel créé par une fine couche de rayon r dans l'hyper-disque est celui de l'anneau multiplié par la différence de rayon dr (qui donne la charge totale). Le tout est intégré sur l'intervalle des valeur du rayon soit 0 à l_d . Il vient :

$$dT(x_1) = dr \frac{\rho S(n-1,1) r^{n-2}}{(n-2)S(n,1) \left(x_1^2 + r^2 \right)^{\frac{n-2}{2}}} \Rightarrow T(x_1) = \frac{\rho S(n-1,1)}{(n-2)S(n,1)} \int_0^{l_d} dr \frac{r^{n-2}}{\left(x_1^2 + r^2 \right)^{\frac{n-2}{2}}}$$

$$T(x_1) = \frac{\rho S(n-1,1)}{(n-2)S(n,1)} \int_0^{l_d} dr \frac{r^{2\lambda}}{\left(x_1^2 + r^2 \right)^{\lambda}} \quad \text{Or} \quad \int dr \frac{r^{2\lambda}}{\left(x_1^2 + r^2 \right)^{\lambda}} = \frac{r^{2\lambda+1}}{(2\lambda+1)x_1^{2\lambda}} {}_2F_1\left(\lambda, \lambda + \frac{1}{2}; \lambda + \frac{3}{2}; -\frac{r^2}{x_1^2}\right).$$

$$\text{Comme } \lim_{r \rightarrow 0} \frac{r^{2\lambda+1}}{(2\lambda+1)x_1^{2\lambda}} {}_2F_1\left(\lambda, \lambda + \frac{1}{2}; \lambda + \frac{3}{2}; -\frac{r^2}{x_1^2}\right) = 0 \quad \text{avec } \lambda > 0$$

$$\Rightarrow T(x_1) = \rho \frac{S(n-1,1)}{S(n,1)} \frac{l_d}{2\lambda(2\lambda+1)} \left(\frac{l_d}{x_1}\right)^{2\lambda} {}_2F_1\left(\lambda, \lambda + \frac{1}{2}; \lambda + \frac{3}{2}; -\left(\frac{l_d}{x_1}\right)^2\right)$$

On trouve immédiatement le développement pour $x_1 > l_d$:

$$x_1 > l_d \Rightarrow T(x_1) = \rho \frac{S(n-1,1)}{S(n,1)} \frac{l_d}{2\lambda(2\lambda+1)} \left(\frac{l_d}{x_1}\right)^{2\lambda} {}_2F_1\left(\lambda, \lambda + \frac{1}{2}; \lambda + \frac{3}{2}; -\left(\frac{l_d}{x_1}\right)^2\right)$$

$$\Rightarrow T(x_1) = \rho \frac{S(n-1,1)}{S(n,1)} \frac{l_d}{2\lambda(2\lambda+1)} \left(\frac{l_d}{x_1}\right)^{2\lambda} \sum_{k=0}^{k=+\infty} \frac{\Gamma(\lambda+k)\Gamma\left(\lambda + \frac{1}{2} + k\right)\Gamma\left(\lambda + \frac{3}{2}\right)}{\Gamma(\lambda)\Gamma\left(\lambda + \frac{1}{2}\right)\Gamma\left(\lambda + \frac{3}{2} + k\right)k!} (-1)^k \left(\frac{l_d}{x_1}\right)^{2k}.$$

$$\Rightarrow T(x_1) = \rho \frac{S(n-1,1)}{S(n,1)} \frac{l_d}{2\lambda\Gamma(\lambda)} \sum_{k=0}^{k=+\infty} (-1)^k \frac{\Gamma(\lambda+k)}{(2\lambda+1+2k)k!} \left(\frac{l_d}{x_1}\right)^{2k+2\lambda}$$

Le développement pour $x_1 < l_d$ est obtenu en utilisant une formule connue des fonctions hypergéométriques (voir M.Abramovitz.I.A.Stegu, Handbook of Mathematical Functions, HyperGeometric Functions, formule 15.3.7), à savoir :

$${}_2F_1(a, b; c; z) = \frac{\Gamma(b-a)\Gamma(c)}{\Gamma(c-a)\Gamma(b)} (-z)^{-a} {}_2F_1\left(a, a-c+1; a-b+1; \frac{1}{z}\right) + \frac{\Gamma(a-b)\Gamma(c)}{\Gamma(c-b)\Gamma(a)} (-z)^{-b} {}_2F_1\left(b, b-c+1; b-a+1; \frac{1}{z}\right).$$

$$\Rightarrow (-z)^a {}_2F_1(a, b; c; z) = \frac{\Gamma(b-a)\Gamma(c)}{\Gamma(c-a)\Gamma(b)} {}_2F_1\left(a, a-c+1; a-b+1; \frac{1}{z}\right) + \frac{\Gamma(a-b)\Gamma(c)}{\Gamma(c-b)\Gamma(a)} (-z)^{a-b} {}_2F_1\left(b, b-c+1; b-a+1; \frac{1}{z}\right)$$

Appliquons cette formule à notre cas, il vient :

$$\begin{aligned}
 a &= \lambda \quad b = \lambda + \frac{1}{2} \quad c = \lambda + \frac{3}{2} \quad z = -\left(\frac{l_d}{x_1}\right)^2 \\
 \left(\frac{l_d}{x_1}\right)^{2\lambda} {}_2F_1\left(\lambda, \lambda + \frac{1}{2}; \lambda + \frac{3}{2}; -\left(\frac{l_d}{x_1}\right)^2\right) &= (-z)^a {}_2F_1(a, b; c; z) \\
 &= (2\lambda + 1) {}_2F_1\left(\lambda, -\frac{1}{2}; \frac{1}{2}; -\left(\frac{x_1}{l_d}\right)^2\right) + \frac{x_1}{l_d} \frac{\Gamma\left(-\frac{1}{2}\right)\Gamma\left(\lambda + \frac{3}{2}\right)}{\Gamma(\lambda)} {}_2F_1\left(\lambda + \frac{1}{2}, 0; \frac{1}{2}; \frac{1}{z}\right) \\
 &= (2\lambda + 1) {}_2F_1\left(\lambda, -\frac{1}{2}; \frac{1}{2}; -\left(\frac{x_1}{l_d}\right)^2\right) - \sqrt{\pi} \frac{x_1}{l_d} \frac{(2\lambda + 1)\Gamma\left(\lambda + \frac{1}{2}\right)}{\Gamma(\lambda)} \Leftarrow {}_2F_1\left(\lambda + \frac{1}{2}, 0; \frac{1}{2}; \frac{1}{z}\right) = 1
 \end{aligned}$$

Soit :

$$T(x_1) = \rho \frac{S(n-1,1)}{S(n,1)} \frac{l_d}{2\lambda} \left\{ {}_2F_1\left(\lambda, -\frac{1}{2}; \frac{1}{2}; -\left(\frac{x_1}{l_d}\right)^2\right) - \sqrt{\pi} \frac{x_1}{l_d} \frac{\Gamma\left(\lambda + \frac{1}{2}\right)}{\Gamma(\lambda)} \right\}.$$

On retrouve l'expression pour un disque en 3 dimensions :

$$\begin{aligned}
 \lambda = \frac{1}{2} \Rightarrow T(x_1) &= \rho \frac{2\pi}{S(3,1)} l_d \left\{ {}_2F_1\left(\frac{1}{2}, -\frac{1}{2}; \frac{1}{2}; -\left(\frac{x_1}{l_d}\right)^2\right) - \frac{x_1}{l_d} \right\} \Leftarrow {}_2F_1\left(\frac{1}{2}, -\frac{1}{2}; \frac{1}{2}; -\left(\frac{x_1}{l_d}\right)^2\right) = \sqrt{1 + \left(\frac{x_1}{l_d}\right)^2} \\
 T(x_1) &= \rho \frac{2\pi}{S(3,1)} l_d \left\{ \sqrt{1 + \left(\frac{x_1}{l_d}\right)^2} - \frac{x_1}{l_d} \right\} = \rho \frac{2\pi}{S(3,1)} l_d \left\{ \frac{1}{\sqrt{1 + \left(\frac{x_1}{l_d}\right)^2} + \frac{x_1}{l_d}} \right\} = \rho \frac{2\pi}{S(3,1)} \frac{l_d^2}{x_1 + \sqrt{l_d^2 + x_1^2}}
 \end{aligned}$$

Développons en série hypergéométrique, il vient :

$$\begin{aligned}
 T(x_1) &= \rho \frac{S(n-1,1)}{S(n,1)} \frac{l_d}{2\lambda} \left\{ - \sum_{k=0}^{k=+\infty} (-1)^k \frac{\Gamma(\lambda + k)}{\Gamma(\lambda)(2k-1)k!} \left(\frac{x_1}{l_d}\right)^{2k} - \sqrt{\pi} \frac{x_1}{l_d} \frac{\Gamma\left(\lambda + \frac{1}{2}\right)}{\Gamma(\lambda)} \right\} \\
 T(x_1) &= \rho \frac{S(n-1,1)}{S(n,1)} \frac{l_d}{2\lambda\Gamma(\lambda)} \left\{ - \sum_{k=0}^{k=+\infty} (-1)^k \frac{\Gamma(\lambda + k)}{(2k-1)k!} \left(\frac{x_1}{l_d}\right)^{2k} - \sqrt{\pi} \frac{x_1}{l_d} \Gamma\left(\lambda + \frac{1}{2}\right) \right\}
 \end{aligned}$$

Problèmes aux limites de Laplace sur une hypersphère- p-

Résumons pour les deux positions sur l'axe x_1 :

$$T(x_1) = \rho \frac{S(n-1,1)}{S(n,1)} \frac{l_d}{2\lambda\Gamma(\lambda)} \times \begin{cases} \sum_{k=0}^{k=+\infty} (-1)^k \frac{\Gamma(\lambda+k)}{(2\lambda+1+2k)k!} \left(\frac{l_d}{x_1}\right)^{2k+2\lambda} & x_1 > l_d \\ -\sqrt{\pi} \frac{x_1}{l_d} \Gamma\left(\lambda+\frac{1}{2}\right) - \sum_{k=0}^{k=+\infty} (-1)^k \frac{\Gamma(\lambda+k)}{(2k-1)k!} \left(\frac{x_1}{l_d}\right)^{2k} & x_1 < l_d \end{cases}$$

$$\Rightarrow T(x_1) = \rho \frac{S(n-1,1)}{S(n,1)} \frac{l_d}{2\lambda\Gamma(\lambda)} \times \begin{cases} \sum_{k=0}^{k=+\infty} (-1)^k \frac{\Gamma(\lambda+k)}{(2\lambda+1+2k)k!} \left(\frac{l_d}{x_1}\right)^{2k+2\lambda} & x_1 > l_d \\ \Gamma(\lambda) - \sqrt{\pi} \frac{x_1}{l_d} \Gamma\left(\lambda+\frac{1}{2}\right) + \sum_{k=0}^{k=+\infty} (-1)^k \frac{\Gamma(\lambda+k+1)}{(2k+1)(k+1)!} \left(\frac{x_1}{l_d}\right)^{2k+2} & x_1 < l_d \end{cases}$$

Cela permet de trouver immédiatement le développement de la solution dans tout l'espace :

$$T(r, \vartheta) = \rho \frac{S(n-1,1)}{S(n,1)} \frac{l_d}{2\lambda\Gamma(\lambda)} \times \begin{cases} \Gamma(\lambda) - \sqrt{\pi} \Gamma\left(\lambda+\frac{1}{2}\right) \frac{x_1}{l_d} C_1^\lambda(\cos(\theta)) + \sum_{k=0}^{k=+\infty} (-1)^k \frac{\Gamma(\lambda+k+1)}{(2k+1)(k+1)!} \left(\frac{x_1}{l_d}\right)^{2k+2} C_{2k+2}^\lambda(\cos(\theta)) & x_1 < l_d \\ \sum_{k=0}^{k=+\infty} (-1)^k \frac{\Gamma(\lambda+k)}{(2\lambda+1+2k)k!} \left(\frac{l_d}{x_1}\right)^{2k+2\lambda} C_{2k}^\lambda(\cos(\theta)) & x_1 > l_d \end{cases}$$

$$\Rightarrow T(r, \vartheta) = \rho \frac{S(n-1,1)}{S(n,1)} \frac{l_d}{2\lambda\Gamma(\lambda)} \times \begin{cases} \Gamma(\lambda) - \sqrt{\pi} 2\lambda \Gamma\left(\lambda+\frac{1}{2}\right) \frac{x_1}{l_d} \cos(\theta) + \sum_{k=0}^{k=+\infty} (-1)^k \frac{\Gamma(\lambda+k+1)}{(2k+1)(k+1)!} \left(\frac{x_1}{l_d}\right)^{2k+2} C_{2k+2}^\lambda(\cos(\theta)) & x_1 < l_d \\ \sum_{k=0}^{k=+\infty} (-1)^k \frac{\Gamma(\lambda+k)}{(2\lambda+1+2k)k!} \left(\frac{l_d}{x_1}\right)^{2k+2\lambda} C_{2k}^\lambda(\cos(\theta)) & x_1 > l_d \end{cases}$$

Problème aux limites extérieur et intérieur sur une hypersphère soumise à des conditions aux limites inhomogènes de Robin dépendante uniquement de l'angle ϑ_n .

Soit le problème intérieur inhomogène mixte sur l'hyper-sphère suivant :

$$\Delta_{r,\theta}^n T(r,\theta) = 0 \quad C.L. \quad \alpha \frac{\partial T(r,\theta)}{\partial r} + \beta (T(r,\theta) - T_{ext}(\theta)) \Big|_{r=l_r} = 0 \quad T(r,\theta) \Big|_{\vec{x} \in \Omega_n} \quad \Omega_n = \left\{ \vec{x} / \sqrt{\sum_{l=1}^n x_l^2} \leq l_r \right\}$$

La solution de ce problème s'écrit sous la forme d'un développement en série comme suit :

$$A_{2p}^+ = \int_{-1}^1 dz (1-z^2)^{\frac{2\lambda-1}{2}} T_{ext}^+(z) C_{2p}^\lambda(z) \quad A_{2p+1}^- = \int_{-1}^1 dz (1-z^2)^{\frac{2\lambda-1}{2}} T_{ext}^-(z) C_{2p+1}^\lambda(z) \quad z = \cos(\theta)$$

$$T_{ext}^+(z) = \frac{T_{ext}(z) + T_{ext}(-z)}{2} \quad T_{ext}^-(z) = \frac{T_{ext}(z) - T_{ext}(-z)}{2}$$

$$T(r,\theta) = \frac{(\Gamma(\lambda))^2}{2^{1-2\lambda} \pi} \left(\sum_{p=0}^{p=+\infty} A_{2p}^+ \frac{(2p)!(2p+\lambda)}{\Gamma(2p+2\lambda)} \left(\frac{l_r \beta}{2p\alpha + l_r \beta} \right) \left(\frac{r}{l_r} \right)^{2p} C_{2p}^\lambda(\cos(\theta)) + \right. \\ \left. + \sum_{p=0}^{p=+\infty} A_{2p+1}^- \frac{(2p+1)!(2p+1+\lambda)}{\Gamma(2p+1+2\lambda)} \left(\frac{l_r \beta}{(2p+1)\alpha + l_r \beta} \right) \left(\frac{r}{l_r} \right)^{2p+1} C_{2p+1}^\lambda(\cos(\theta)) \right)$$

Soit le problème extérieur inhomogène mixte sur l'hyper-sphère suivant :

$$\Delta_{r,\theta}^n T(r,\theta) = 0 \quad C.L. \quad \alpha \frac{\partial T(r,\theta)}{\partial r} - \beta (T(r,\theta) - T_{ext}(\theta)) \Big|_{r=l_r} = 0 \quad T(r,\theta) \Big|_{\vec{x} \in \Omega_n} \quad \Omega_n = \left\{ \vec{x} / \sqrt{\sum_{l=1}^n x_l^2} \geq l_r \right\}$$

La solution de ce problème s'écrit sous la forme d'un développement en série comme suit :

$$A_{2p}^+ = \int_{-1}^1 dz (1-z^2)^{\frac{2\lambda-1}{2}} T_{ext}^+(z) C_{2p}^\lambda(z) \quad A_{2p+1}^- = \int_{-1}^1 dz (1-z^2)^{\frac{2\lambda-1}{2}} T_{ext}^-(z) C_{2p+1}^\lambda(z) \quad z = \cos(\theta)$$

$$T_{ext}^+(z) = \frac{T_{ext}(z) + T_{ext}(-z)}{2} \quad T_{ext}^-(z) = \frac{T_{ext}(z) - T_{ext}(-z)}{2}$$

$$T(r,\theta) = \frac{(\Gamma(\lambda))^2}{2^{1-2\lambda} \pi} \left(\sum_{p=0}^{p=+\infty} A_{2p}^+ \frac{(2p)!(2p+\lambda)}{\Gamma(2p+2\lambda)} \left(\frac{l_r \beta}{2p\alpha + l_r \beta} \right) \left(\frac{l_r}{r} \right)^{2p+2\lambda} C_{2p}^\lambda(\cos(\theta)) + \right. \\ \left. + \sum_{p=0}^{p=+\infty} A_{2p+1}^- \frac{(2p+1)!(2p+1+\lambda)}{\Gamma(2p+1+2\lambda)} \left(\frac{l_r \beta}{(2p+1)\alpha + l_r \beta} \right) \left(\frac{l_r}{r} \right)^{2p+1+2\lambda} C_{2p+1}^\lambda(\cos(\theta)) \right)$$

Problème aux limites intérieur sur une hypersphère creuse soumise à des conditions aux limites inhomogènes de Robin dépendante uniquement de l'angle ϑ_n . De part et d'autre.

Soit le problème intérieur inhomogène mixte sur l'hyper-sphère suivant :

$$\Delta_{r,\theta}^n T(r,\theta) = 0 \quad T(r,\theta) \Big|_{\vec{\mathbf{x}} \in \Omega_n} \quad \Omega_n = \left\{ \vec{\mathbf{x}} / l_{r1} \leq \sqrt{\sum_{l=1}^n x_l^2} \leq l_{r2} \right\}$$

$$C.L. \quad \alpha_1 \frac{\partial T(r,\theta)}{\partial r} - \beta_1 (T(r,\theta) - T_{\text{int}}(\theta)) \Big|_{r=l_{r1}} = 0 \quad \alpha_2 \frac{\partial T(r,\theta)}{\partial r} + \beta_2 (T(r,\theta) - T_{\text{ext}}(\theta)) \Big|_{r=l_{r2}} = 0$$

Par principe de superposition c'est la solution des deux sous-problèmes :

$$\Delta_{r,\theta}^n T(r,\theta) = 0 \quad T(r,\theta) \Big|_{\vec{\mathbf{x}} \in \Omega_n} \quad \Omega_n = \left\{ \vec{\mathbf{x}} / l_{r1} \leq \sqrt{\sum_{l=1}^n x_l^2} \leq l_{r2} \right\}$$

$$C.L. \quad \alpha_1 \frac{\partial T(r,\theta)}{\partial r} - \beta_1 T(r,\theta) \Big|_{r=l_{r1}} = 0 \quad \alpha_2 \frac{\partial T(r,\theta)}{\partial r} + \beta_2 (T(r,\theta) - T_{\text{ext}}(\theta)) \Big|_{r=l_{r2}} = 0$$

et

$$\Delta_{r,\theta}^n T(r,\theta) = 0 \quad T(r,\theta) \Big|_{\vec{\mathbf{x}} \in \Omega_n} \quad \Omega_n = \left\{ \vec{\mathbf{x}} / l_{r1} \leq \sqrt{\sum_{l=1}^n x_l^2} \leq l_{r2} \right\}$$

$$C.L. \quad \alpha_1 \frac{\partial T(r,\theta)}{\partial r} - \beta_1 (T(r,\theta) - T_{\text{int}}(\theta)) \Big|_{r=l_{r1}} = 0 \quad \alpha_2 \frac{\partial T(r,\theta)}{\partial r} + \beta_2 T(r,\theta) \Big|_{r=l_{r2}} = 0$$

Le premier sous-problème présente une fonction radiale plus complexe et une solution de la forme :

$$A_{2p}^+ = \int_{-1}^1 dz (1-z^2)^{\frac{2\lambda-1}{2}} T_{\text{ext}}^+(z) C_{2p}^\lambda(z) \quad A_{2p+1}^- = \int_{-1}^1 dz (1-z^2)^{\frac{2\lambda-1}{2}} T_{\text{ext}}^-(z) C_{2p+1}^\lambda(z) \quad z = \text{Cos}(\theta)$$

$$T_{\text{ext}}^+(z) = \frac{T_{\text{ext}}(z) + T_{\text{ext}}(-z)}{2} \quad T_{\text{ext}}^-(z) = \frac{T_{\text{ext}}(z) - T_{\text{ext}}(-z)}{2}$$

$$R_p(r) = \frac{l_{r1}}{p\alpha_1 - \beta_1 l_{r1}} \left(\frac{r}{l_{r1}} \right)^p + \frac{l_{r1}}{(p+2\lambda)\alpha_1 + \beta_1 l_{r1}} \left(\frac{l_{r1}}{r} \right)^{p+2\lambda}$$

$$D_p = \beta_2 \left[\frac{\alpha_2 l_{r1}}{l_{r2}} \left(\frac{p}{p\alpha_1 - \beta_1 l_{r1}} \left(\frac{l_{r2}}{l_{r1}} \right)^p - \frac{(p+2\lambda)}{(p+2\lambda)\alpha_1 + \beta_1 l_{r1}} \left(\frac{l_{r1}}{l_{r2}} \right)^{p+2\lambda} \right) + \beta_2 R_p(l_{r2}) \right]^{-1}$$

$$T_1(r,\theta) = \frac{(\Gamma(\lambda))^2}{2^{1-2\lambda} \pi} \left(\sum_{p=0}^{p=+\infty} A_{2p}^+ \frac{(2p)!(2p+\lambda)}{\Gamma(2p+2\lambda)} D_{2p} R_{2p}(r) C_{2p}^\lambda(\text{Cos}(\theta)) + \sum_{p=0}^{p=+\infty} A_{2p+1}^- \frac{(2p+1)!(2p+1+\lambda)}{\Gamma(2p+1+2\lambda)} D_{2p+1} R_{2p+1}(r) C_{2p+1}^\lambda(\text{Cos}(\theta)) \right)$$

Problèmes aux limites de Laplace sur une hypersphère- p-

Le second sous-problème présente également une fonction radiale plus complexe et la solution de suivante :

$$B_{2p}^+ = \int_{-1}^1 dz (1-z^2)^{\frac{2\lambda-1}{2}} T_{\text{int}}^+(z) C_{2p}^\lambda(z) \quad B_{2p+1}^- = \int_{-1}^1 dz (1-z^2)^{\frac{2\lambda-1}{2}} T_{\text{int}}^-(z) C_{2p+1}^\lambda(z) \quad z = \cos(\theta)$$

$$T_{\text{int}}^+(z) = \frac{T_{\text{int}}(z) + T_{\text{int}}(-z)}{2} \quad T_{\text{int}}^-(z) = \frac{T_{\text{int}}(z) - T_{\text{int}}(-z)}{2}$$

$$S_p(r) = \frac{l_{r2}}{p\alpha_2 + \beta_2 l_{r2}} \left(\frac{r}{l_{r2}} \right)^p + \frac{l_{r2}}{(p+2\lambda)\alpha_2 - \beta_2 l_{r2}} \left(\frac{l_{r2}}{r} \right)^{p+2\lambda}$$

$$G_p = \beta_1 \left[\frac{\alpha_1 l_{r2}}{l_{r1}} \left(\frac{p+2\lambda}{(p+2\lambda)\alpha_2 - \beta_2 l_{r2}} \left(\frac{l_{r2}}{l_{r1}} \right)^{p+2\lambda} - \frac{p}{p\alpha_2 + \beta_2 l_{r2}} \left(\frac{l_{r1}}{l_{r2}} \right)^p \right) + \beta_1 S_p(l_{r1}) \right]^{-1}$$

$$T_2(r, \theta) = \frac{(\Gamma(\lambda))^2}{2^{1-2\lambda} \pi} \left(\sum_{p=0}^{p=+\infty} B_{2p}^+ \frac{(2p)!(2p+\lambda)}{\Gamma(2p+2\lambda)} G_{2p} S_{2p}(r) C_{2p}^\lambda(\cos(\theta)) + \sum_{p=0}^{p=+\infty} B_{2p+1}^- \frac{(2p+1)!(2p+1+\lambda)}{\Gamma(2p+1+2\lambda)} G_{2p+1} S_{2p+1}(r) C_{2p+1}^\lambda(\cos(\theta)) \right)$$

Ce qui donne la solution globale suivante :

$$A_{2p}^+ = \int_{-1}^1 dz (1-z^2)^{\frac{2\lambda-1}{2}} T_{\text{ext}}^+(z) C_{2p}^\lambda(z) \quad A_{2p+1}^- = \int_{-1}^1 dz (1-z^2)^{\frac{2\lambda-1}{2}} T_{\text{ext}}^-(z) C_{2p+1}^\lambda(z) \quad z = \cos(\theta)$$

$$B_{2p}^+ = \int_{-1}^1 dz (1-z^2)^{\frac{2\lambda-1}{2}} T_{\text{int}}^+(z) C_{2p}^\lambda(z) \quad B_{2p+1}^- = \int_{-1}^1 dz (1-z^2)^{\frac{2\lambda-1}{2}} T_{\text{int}}^-(z) C_{2p+1}^\lambda(z)$$

$$T_{\text{int}}^+(z) = \frac{T_{\text{int}}(z) + T_{\text{int}}(-z)}{2} \quad T_{\text{int}}^-(z) = \frac{T_{\text{int}}(z) - T_{\text{int}}(-z)}{2} \quad T_{\text{ext}}^+(z) = \frac{T_{\text{ext}}(z) + T_{\text{ext}}(-z)}{2} \quad T_{\text{ext}}^-(z) = \frac{T_{\text{ext}}(z) - T_{\text{ext}}(-z)}{2}$$

$$R_p(r) = \frac{l_{r1}}{p\alpha_1 - \beta_1 l_{r1}} \left(\frac{r}{l_{r1}} \right)^p + \frac{l_{r1}}{(p+2\lambda)\alpha_1 + \beta_1 l_{r1}} \left(\frac{l_{r1}}{r} \right)^{p+2\lambda} \quad S_p(r) = \frac{l_{r2}}{p\alpha_2 + \beta_2 l_{r2}} \left(\frac{r}{l_{r2}} \right)^p + \frac{l_{r2}}{(p+2\lambda)\alpha_2 - \beta_2 l_{r2}} \left(\frac{l_{r2}}{r} \right)^{p+2\lambda}$$

$$D_p = \beta_2 \left[\frac{\alpha_2 l_{r1}}{l_{r2}} \left(\frac{p}{p\alpha_1 - \beta_1 l_{r1}} \left(\frac{l_{r2}}{l_{r1}} \right)^p - \frac{(p+2\lambda)}{(p+2\lambda)\alpha_1 + \beta_1 l_{r1}} \left(\frac{l_{r1}}{l_{r2}} \right)^{p+2\lambda} \right) + \beta_2 R_p(l_{r2}) \right]^{-1}$$

$$G_p = \beta_1 \left[\frac{\alpha_1 l_{r2}}{l_{r1}} \left(\frac{p+2\lambda}{(p+2\lambda)\alpha_2 - \beta_2 l_{r2}} \left(\frac{l_{r2}}{l_{r1}} \right)^{p+2\lambda} - \frac{p}{p\alpha_2 + \beta_2 l_{r2}} \left(\frac{l_{r1}}{l_{r2}} \right)^p \right) + \beta_1 S_p(l_{r1}) \right]^{-1}$$

$$T(r, \theta) = \frac{(\Gamma(\lambda))^2}{2^{1-2\lambda} \pi} \left(\sum_{p=0}^{p=+\infty} A_{2p}^+ \frac{(2p)!(2p+\lambda)}{\Gamma(2p+2\lambda)} D_{2p} R_{2p}(r) C_{2p}^\lambda(\cos(\theta)) + \sum_{p=0}^{p=+\infty} A_{2p+1}^- \frac{(2p+1)!(2p+1+\lambda)}{\Gamma(2p+1+2\lambda)} D_{2p+1} R_{2p+1}(r) C_{2p+1}^\lambda(\cos(\theta)) \right) +$$

$$+ \frac{(\Gamma(\lambda))^2}{2^{1-2\lambda} \pi} \left(\sum_{p=0}^{p=+\infty} B_{2p}^+ \frac{(2p)!(2p+\lambda)}{\Gamma(2p+2\lambda)} G_{2p} S_{2p}(r) C_{2p}^\lambda(\cos(\theta)) + \sum_{p=0}^{p=+\infty} B_{2p+1}^- \frac{(2p+1)!(2p+1+\lambda)}{\Gamma(2p+1+2\lambda)} G_{2p+1} S_{2p+1}(r) C_{2p+1}^\lambda(\cos(\theta)) \right)$$

Construction des fonctions de Gegenbauer de première et deuxième espèce, formules de liaison

Il est temps d'aborder les problèmes aux limites sur des sections coniques de l'hypersphère. Pour cela rappelons la méthode de construction des fonctions de Gegenbauer de première et deuxième espèce :

$$C_v^\lambda(z) = \frac{2^{\frac{1-2\lambda}{2}} \sqrt{\pi} \Gamma(v+2\lambda)}{\Gamma(v+1)\Gamma(\lambda)} (1-z^2)^{\frac{1-2\lambda}{4}} P_{\lambda+v-\frac{1}{2}}^{\frac{1}{2}-\lambda}(z) \quad \text{Gegenbauer première espèce}$$

$$C_{(Q),v}^\lambda(z) = \frac{2^{\frac{1-2\lambda}{2}} \sqrt{\pi} \Gamma(v+2\lambda)}{\Gamma(v+1)\Gamma(\lambda)} (1-z^2)^{\frac{1-2\lambda}{4}} Q_{\lambda+v-\frac{1}{2}}^{\frac{1}{2}-\lambda}(z) \quad \text{Gegenbauer deuxième espèce}$$

Car selon les problèmes aux limites, nous utiliserons également la solution de deuxième espèce. Dans le cas des problèmes aux limites homogènes angulaire, l'ordre des fonctions de Gegenbauer n'est plus entier mais réel, et le jeu de fonctions propres est liés à la détermination des valeurs propres solution d'une équation transcendante d'annulation de fonctions de Gegenbauer à des valeurs d'angle définie : par exemple l'angle d'ouverture du cône.

Dans ce cas, il apparaît de déterminer des formules de liaisons dans les fonctions de Gegenbauer de première et deuxième espèce lorsque la variable change de signe. Pour cela partons des formules de Liaisons des fonctions associées de Legendre :

$$\begin{aligned} P_v^\mu(-z) &= \cos((v+\mu)\pi) P_v^\mu(z) + \frac{2}{\pi} \sin((v+\mu)\pi) Q_v^\mu(z) \\ \Rightarrow Q_v^\mu(z) &= \frac{\pi}{2} \frac{\cos((v+\mu)\pi) P_v^\mu(z) - P_v^\mu(-z)}{\sin((v+\mu)\pi)} \Rightarrow Q_v^\mu(-z) = \frac{\pi}{2} \frac{\cos((v+\mu)\pi) P_v^\mu(-z) - P_v^\mu(z)}{\sin((v+\mu)\pi)} \\ \Rightarrow \cos((v+\mu)\pi) Q_v^\mu(z) + Q_v^\mu(-z) &= \frac{\pi}{2} \frac{(\cos((v+\mu)\pi))^2 P_v^\mu(z) - \cos((v+\mu)\pi) P_v^\mu(-z)}{\sin((v+\mu)\pi)} + \\ &+ \frac{\pi}{2} \frac{\cos((v+\mu)\pi) P_v^\mu(-z) - P_v^\mu(z)}{\sin((v+\mu)\pi)} = \frac{\pi P_v^\mu(z)}{2 \sin((v+\mu)\pi)} ((\cos((v+\mu)\pi))^2 - 1) = \\ &= -\frac{\pi P_v^\mu(z)}{2 \sin((v+\mu)\pi)} (\sin((v+\mu)\pi))^2 \Rightarrow P_v^\mu(z) = -\frac{2}{\pi} \frac{\cos((v+\mu)\pi) Q_v^\mu(z) + Q_v^\mu(-z)}{\sin((v+\mu)\pi)} \end{aligned}$$

Soit résumé :

$$P_v^\mu(z) = -\frac{2}{\pi} \frac{\cos((v+\mu)\pi) Q_v^\mu(z) + Q_v^\mu(-z)}{\sin((v+\mu)\pi)} \quad Q_v^\mu(z) = \frac{\pi}{2} \frac{\cos((v+\mu)\pi) P_v^\mu(z) - P_v^\mu(-z)}{\sin((v+\mu)\pi)}$$

Appliquons ces formules de liaison aux fonctions associées servant à la construction des fonctions de Gegenbauer :

$$P_{\lambda+v-\frac{1}{2}}^{\frac{1}{2}-\lambda}(z) = -\frac{2}{\pi} \frac{\cos(v\pi) Q_{\lambda+v-\frac{1}{2}}^{\frac{1}{2}-\lambda}(z) + Q_{\lambda+v-\frac{1}{2}}^{\frac{1}{2}-\lambda}(-z)}{\sin(v\pi)} \Rightarrow C_v^\lambda(z) = -\frac{2}{\pi} \frac{\cos(v\pi) C_{(Q),v}^\lambda(z) + C_{(Q),v}^\lambda(-z)}{\sin(v\pi)}$$

$$Q_{\lambda+v-\frac{1}{2}}^{\frac{1}{2}-\lambda}(z) = \frac{\pi}{2} \frac{\cos(v\pi) P_{\lambda+v-\frac{1}{2}}^{\frac{1}{2}-\lambda}(z) - P_{\lambda+v-\frac{1}{2}}^{\frac{1}{2}-\lambda}(-z)}{\sin(v\pi)} \Rightarrow C_{(Q),v}^\lambda(z) = \frac{\pi}{2} \frac{\cos(v\pi) C_v^\lambda(z) - C_v^\lambda(-z)}{\sin(v\pi)}$$

Construction des solutions des problèmes aux limites et parité des fonctions propres

Autrement dit les formules de liaison précédentes sont exactement les mêmes formules de liaisons que celles entre les fonctions de Legendre de première et deuxième espèce . Or nous avons proposé un modèle de construction des fonctions propres sur un problème aux limites symétrique en angle, homogène de Neumann ou Dirichlet, sur une section conique tridimensionnelle. Les résultats peuvent être intégralement transposés dans une configuration n-dimensionnel de la section conique.

Cas des fonctions propres solutions du problème aux limites homogène de Dirichlet sur une section conique hyper-sphérique

Soit v_l , une valeur propre d'une fonction propre solution du problème aux limites dans la dimension homogène (angulaire). Formons les combinaisons linéaires paires et impaires des fonctions de Gegenbauer de première et deuxième espèce, il vient :

$$C_{v_l}^\lambda(z) + C_{v_l}^\lambda(-z) = -\frac{2(\cos(\lambda_n\pi) + 1)}{\pi \sin(\lambda_n\pi)} (C_{(Q),v_l}^\lambda(z) + C_{(Q),v_l}^\lambda(-z))$$

$$C_{(Q),v_l}^\lambda(z) + C_{(Q),v_l}^\lambda(-z) = \frac{\pi(\cos(\lambda_n\pi) - 1)}{2\sin(\lambda_n\pi)} (C_{v_l}^\lambda(z) + C_{v_l}^\lambda(-z))$$

De même :

$$C_{v_l}^\lambda(z) - C_{v_l}^\lambda(-z) = -\frac{2(\cos(v_l\pi) - 1)}{\pi \sin(v_l\pi)} (C_{(Q),v_l}^\lambda(z) - C_{(Q),v_l}^\lambda(-z))$$

$$C_{(Q),v_l}^\lambda(z) - C_{(Q),v_l}^\lambda(-z) = \frac{\pi(\cos(v_l\pi) + 1)}{2\sin(v_l\pi)} (C_{v_l}^\lambda(z) - C_{v_l}^\lambda(-z))$$

Donnons quelques propriétés des valeurs propres et des fonctions propres dans le cas $\theta_2 = \pi - \theta_1$, $\mu_1 = -\mu_2$:

$$\mu_1 = \cos(\theta_2); \mu_2 = \cos(\theta_1) \quad v_l \quad tq \quad \frac{C_{v_l}^\lambda(\mu_2)}{C_{v_l}^\lambda(\mu_1)} = \frac{C_{(Q),v_l}^\lambda(\mu_2)}{C_{(Q),v_l}^\lambda(\mu_1)}$$

$$\text{Configuration symétrique } \theta_2 = \pi - \theta_1 \Rightarrow \mu_1 = -\mu_2 \Rightarrow v_l \quad tq \quad \frac{C_{v_l}^\lambda(\mu_2)}{C_{v_l}^\lambda(-\mu_2)} = \frac{C_{(Q),v_l}^\lambda(\mu_2)}{C_{(Q),v_l}^\lambda(-\mu_2)}$$

Ce qui donne :

$$\alpha = \frac{C_{v_l}^\lambda(\mu_2)}{C_{v_l}^\lambda(-\mu_2)} = \frac{C_{(Q),v_l}^\lambda(\mu_2)}{C_{(Q),v_l}^\lambda(-\mu_2)} = \frac{(\cos(v_l\pi)C_{v_l}^\lambda(\mu_2) - C_{v_l}^\lambda(-\mu_2))}{(\cos(v_l\pi)C_{v_l}^\lambda(-\mu_2) - C_{v_l}^\lambda(\mu_2))} = \frac{(\alpha \cos(v_l\pi) - 1)}{(\cos(v_l\pi) - \alpha)}$$

$$\Rightarrow \alpha = \frac{(\alpha \cos(v_l\pi) - 1)}{(\cos(v_l\pi) - \alpha)} \Rightarrow \alpha^2 = 1$$

$$\alpha^2 = \left(\frac{C_{v_l}^\lambda(\mu_2)}{C_{v_l}^\lambda(-\mu_2)} \right)^2 = \left(\frac{C_{(Q),v_l}^\lambda(\mu_2)}{C_{(Q),v_l}^\lambda(-\mu_2)} \right)^2 = 1 \Rightarrow \alpha = \frac{C_{v_l}^\lambda(\mu_2)}{C_{v_l}^\lambda(-\mu_2)} = \frac{C_{(Q),v_l}^\lambda(\mu_2)}{C_{(Q),v_l}^\lambda(-\mu_2)} = \pm 1$$

Il apparait donc deux cas de figure selon les valeurs propres: le cas de valeurs identiques ou opposées aux extrémités :

$$\text{Cas } \alpha = 1 = \frac{C_{v_l}^\lambda(\mu_2)}{C_{v_l}^\lambda(-\mu_2)} = \frac{C_{(Q),v_l}^\lambda(\mu_2)}{C_{(Q),v_l}^\lambda(-\mu_2)} \Rightarrow \text{valeurs identiques aux extrémités}$$

$$\text{Cas } \alpha = -1 = \frac{C_{v_l}^\lambda(\mu_2)}{C_{v_l}^\lambda(-\mu_2)} = \frac{C_{(Q),v_l}^\lambda(\mu_2)}{C_{(Q),v_l}^\lambda(-\mu_2)} \Rightarrow \text{valeurs opposées aux extrémités}$$

En appliquant cette dernière propriété remarquable des fonctions propres aux limites du domaine, en la combinant avec les formules de liaisons entre fonctions de première et deuxième espèce, il vient pour le cas pair :

$$\text{Cas } \alpha = \frac{C_{v_l}^\lambda(\mu_2)}{C_{v_l}^\lambda(-\mu_2)} = \frac{C_{(Q),v_l}^\lambda(\mu_2)}{C_{(Q),v_l}^\lambda(-\mu_2)} = 1 \Rightarrow \text{valeurs identiques aux extrémités}$$

$$C_{v_l}^\lambda(\mu_2) = -\frac{2(\cos(v_l\pi) + 1)}{\pi \sin(v_l\pi)} C_{(Q),v_l}^\lambda(\mu_2)$$

$$C_{(Q),v_l}^\lambda(\mu_2) = \frac{\pi(\cos(v_l\pi) - 1)}{2\sin(v_l\pi)} C_{v_l}^\lambda(\mu_2)$$

Et pour le cas impair :

$$\text{Cas } \alpha = \frac{C_{v_l}^\lambda(\mu_2)}{C_{v_l}^\lambda(-\mu_2)} = \frac{C_{(Q),v_l}^\lambda(\mu_2)}{C_{(Q),v_l}^\lambda(-\mu_2)} = -1 \Rightarrow \text{valeurs opposées aux extrémités}$$

$$C_{v_l}^\lambda(\mu_2) = -\frac{2(\cos(v_l\pi) - 1)}{\pi \sin(v_l\pi)} C_{(Q),v_l}^\lambda(\mu_2)$$

$$C_{(Q),v_l}^\lambda(\mu_2) = \frac{\pi(\cos(v_l\pi) + 1)}{2\sin(v_l\pi)} C_{v_l}^\lambda(\mu_2)$$

De ces diverses formules on peut tirer une propriété remarquable des fonctions propres à savoir :

$$\text{Cas } \alpha = 1 = \frac{C_{v_l}^\lambda(\mu_2)}{C_{v_l}^\lambda(-\mu_2)} = \frac{C_{(Q),v_l}^\lambda(\mu_2)}{C_{(Q),v_l}^\lambda(-\mu_2)}$$

$$\text{Fonctions propres } \Phi_{v_l}(z) = \frac{C_{v_l}^\lambda(z)}{C_{v_l}^\lambda(\mu_2)} - \frac{C_{(Q),v_l}^\lambda(z)}{C_{(Q),v_l}^\lambda(\mu_2)} \text{ impaires} \quad \Phi_{v_l}(-z) = -\Phi_{v_l}(z)$$

$$\text{Cas } \alpha = -1 = \frac{C_{v_l}^\lambda(\mu_2)}{C_{v_l}^\lambda(-\mu_2)} = \frac{C_{(Q),v_l}^\lambda(\mu_2)}{C_{(Q),v_l}^\lambda(-\mu_2)}$$

$$\text{Fonctions propres } \Phi_{v_l}(z) = \frac{C_{v_l}^\lambda(z)}{C_{v_l}^\lambda(\mu_2)} - \frac{C_{(Q),v_l}^\lambda(z)}{C_{(Q),v_l}^\lambda(\mu_2)} \text{ paires} \quad \Phi_{v_l}(-z) = \Phi_{v_l}(z)$$

Démontrons la propriétés de parité des fonctions propres, et raisonnons avec les fonctions propres de la forme :

$$\Phi_{v_l}(z) = \frac{C_{v_l}^\lambda(z)}{C_{v_l}^\lambda(\mu_2)} - \frac{C_{(Q),v_l}^\lambda(z)}{C_{(Q),v_l}^\lambda(\mu_2)}$$

Les calculs seraient identiques avec les fonctions propres de la forme :

$$\Phi_{v_l}(z) = \frac{C_{v_l}^\lambda(z)}{C_{v_l}^\lambda(\mu_1)} - \frac{C_{(Q),v_l}^\lambda(z)}{C_{(Q),v_l}^\lambda(\mu_1)} = \frac{C_{v_l}^\lambda(z)}{C_{v_l}^\lambda(-\mu_2)} - \frac{C_{(Q),v_l}^\lambda(z)}{C_{(Q),v_l}^\lambda(-\mu_2)}$$

Premier cas $\alpha=1$

On applique successivement les formules de liaison sur les fonctions de Gegenbauer, les combinaisons paires ou impaires et les valeurs extrêmes, et cela donne :

$$\begin{aligned}\Phi_{v_l}(z) &= \frac{C_{v_l}^\lambda(z)}{C_{v_l}^\lambda(\mu_2)} - \frac{C_{(Q),v_l}^\lambda(z)}{C_{(Q),v_l}^\lambda(\mu_2)} \\ \Phi_{v_l}(z) &= \frac{-2}{\pi \sin(\lambda_n \pi)} \frac{C_{(Q),v_l}^\lambda(z) \cos(v_l \pi) + C_{(Q),v_l}^\lambda(-z)}{-2} - \frac{\pi}{2 \sin(v_l \pi)} \frac{C_{v_l}^\lambda(z) \cos(v_l \pi) - C_{v_l}^\lambda(-z)}{\frac{\pi}{2 \sin(v_l \pi)} C_{v_l}^\lambda(\mu_2) (\cos(v_l \pi) - 1)} \\ \Phi_{v_l}(z) &= \frac{C_{(Q),v_l}^\lambda(z) \cos(v_l \pi) + C_{(Q),v_l}^\lambda(-z)}{C_{(Q),v_l}^\lambda(\mu_2) (\cos(v_l \pi) + 1)} - \frac{C_{v_l}^\lambda(z) \cos(v_l \pi) - P_{\lambda_n}(-z)}{C_{v_l}^\lambda(\mu_2) (\cos(v_l \pi) - 1)} \\ \Phi_{v_l}(z) &= \frac{C_{(Q),v_l}^\lambda(z) (\cos(v_l \pi) + 1) - C_{(Q),v_l}^\lambda(z) + C_{(Q),v_l}^\lambda(-z)}{C_{(Q),v_l}^\lambda(\mu_2) (\cos(v_l \pi) + 1)} - \frac{C_{v_l}^\lambda(z) (\cos(v_l \pi) - 1) + C_{v_l}^\lambda(z) - C_{v_l}^\lambda(-z)}{C_{v_l}^\lambda(\mu_2) (\cos(v_l \pi) - 1)} \\ \Phi_{v_l}(z) &= \frac{C_{(Q),v_l}^\lambda(z)}{C_{(Q),v_l}^\lambda(\mu_2)} + \frac{-C_{(Q),v_l}^\lambda(z) + C_{(Q),v_l}^\lambda(-z)}{C_{(Q),v_l}^\lambda(\mu_2) (\cos(v_l \pi) + 1)} - \frac{C_{v_l}^\lambda(z)}{C_{v_l}^\lambda(\mu_2)} - \frac{C_{v_l}^\lambda(z) - C_{v_l}^\lambda(-z)}{C_{v_l}^\lambda(\mu_2) (\cos(v_l \pi) - 1)} \\ \Phi_{v_l}(z) &= -\Phi_{v_l}(z) - \frac{C_{(Q),v_l}^\lambda(z) - C_{(Q),v_l}^\lambda(-z)}{C_{(Q),v_l}^\lambda(\mu_2) (\cos(v_l \pi) + 1)} - \frac{C_{v_l}^\lambda(z) - P_{\lambda_n}(-z)}{C_{v_l}^\lambda(\mu_2) (\cos(v_l \pi) - 1)} \\ \Phi_{v_l}(z) &= -\frac{C_{v_l}^\lambda(z) - C_{v_l}^\lambda(-z)}{C_{v_l}^\lambda(\mu_2) (\cos(v_l \pi) - 1)} = -\frac{C_{(Q),v_l}^\lambda(z) - C_{(Q),v_l}^\lambda(-z)}{C_{(Q),v_l}^\lambda(\mu_2) (\cos(v_l \pi) + 1)} \\ \Phi_{v_l}(z) &\text{ fonction impaire}\end{aligned}$$

Deuxième cas $\alpha=-1$

On applique également les formules de liaison sur les fonctions de Gegenbauer, les combinaisons paires ou impaires et les valeurs extrêmes, et cela donne :

$$\begin{aligned}\Phi_{v_l}(z) &= \frac{C_{v_l}^\lambda(z)}{C_{v_l}^\lambda(\mu_2)} - \frac{C_{(Q),v_l}^\lambda(z)}{C_{(Q),v_l}^\lambda(\mu_2)} \\ \Phi_{v_l}(z) &= \frac{-2}{\pi \sin(\lambda_n \pi)} \frac{C_{(Q),v_l}^\lambda(z) \cos(v_l \pi) + C_{(Q),v_l}^\lambda(-z)}{2 C_{(Q),v_l}^\lambda(\mu_2) (1 - \cos(v_l \pi))} - \frac{\pi}{2 \sin(\lambda_n \pi)} \frac{C_{v_l}^\lambda(z) \cos(v_l \pi) - C_{v_l}^\lambda(-z)}{\frac{\pi}{2 \sin(\lambda_n \pi)} C_{v_l}^\lambda(\mu_2) (\cos(v_l \pi) + 1)} \\ \Phi_{v_l}(z) &= \frac{C_{(Q),v_l}^\lambda(z) \cos(v_l \pi) + C_{(Q),v_l}^\lambda(-z)}{C_{(Q),v_l}^\lambda(\mu_2) (\cos(v_l \pi) - 1)} - \frac{C_{v_l}^\lambda(z) \cos(v_l \pi) - P_{\lambda_n}(-z)}{C_{v_l}^\lambda(\mu_2) (\cos(v_l \pi) + 1)} \\ \Phi_{v_l}(z) &= \frac{C_{(Q),v_l}^\lambda(z) (\cos(v_l \pi) - 1) + C_{(Q),v_l}^\lambda(z) + C_{(Q),v_l}^\lambda(-z)}{C_{(Q),v_l}^\lambda(\mu_2) (\cos(v_l \pi) - 1)} - \frac{C_{v_l}^\lambda(z) (\cos(v_l \pi) + 1) - C_{v_l}^\lambda(z) - P_{\lambda_n}(-z)}{C_{v_l}^\lambda(\mu_2) (\cos(v_l \pi) + 1)} \\ \Phi_{v_l}(z) &= \frac{C_{(Q),v_l}^\lambda(z)}{C_{(Q),v_l}^\lambda(\mu_2)} - \frac{C_{v_l}^\lambda(z)}{C_{v_l}^\lambda(\mu_2)} + \frac{C_{(Q),v_l}^\lambda(z) + C_{(Q),v_l}^\lambda(-z)}{C_{(Q),v_l}^\lambda(\mu_2) (\cos(v_l \pi) - 1)} - \frac{C_{v_l}^\lambda(z) + C_{v_l}^\lambda(-z)}{C_{v_l}^\lambda(\mu_2) (\cos(v_l \pi) + 1)} \\ \Phi_{v_l}(z) &= -\Phi_{\lambda_n}(z) + \frac{C_{(Q),v_l}^\lambda(z) + C_{(Q),v_l}^\lambda(-z)}{C_{(Q),v_l}^\lambda(\mu_2) (\cos(v_l \pi) - 1)} + \frac{C_{v_l}^\lambda(z) + C_{v_l}^\lambda(-z)}{C_{v_l}^\lambda(\mu_2) (\cos(v_l \pi) + 1)} \\ \Phi_{v_l}(z) &= \frac{C_{v_l}^\lambda(z) + C_{v_l}^\lambda(-z)}{C_{v_l}^\lambda(\mu_2) (\cos(v_l \pi) + 1)} = \frac{C_{(Q),v_l}^\lambda(z) + C_{(Q),v_l}^\lambda(-z)}{C_{(Q),v_l}^\lambda(\mu_2) (\cos(v_l \pi) - 1)}\end{aligned}$$

$\Phi_{v_l}(z)$ fonction paire

.

Problèmes aux limites de Laplace sur une hypersphère- p-

La conséquence des propriétés de parité des fonctions propres sur les intégrales utilisées dans le développement en série est immédiate à savoir :

Premier cas $\alpha = 1 \Rightarrow \Phi_{v_l}(z)$ fonction impaire

Condition aux limites paire $f(z) = f(-z)$

$$A_{v_l} = \int_{-\mu_2}^{\mu_2} dz f(z) \Phi_{v_l}(z) = 0$$

Condition aux limites impaire $f(z) = -f(-z)$

$$A_{v_l} = \int_{-\mu_2}^{\mu_2} dz f(z) \Phi_{v_l}(z) = 2 \int_0^{\mu_2} dz f(z) \Phi_{v_l}(z) \neq 0$$

Deuxième cas $\alpha = -1 \Rightarrow \Phi_{v_l}(z)$ fonction paire

Condition aux limites paire $f(z) = f(-z)$

$$A_{v_l} = \int_{-\mu_2}^{\mu_2} dz f(z) \Phi_{v_l}(z) = 2 \int_0^{\mu_2} dz f(z) \Phi_{v_l}(z) \neq 0$$

Condition aux limites impaire $f(z) = -f(-z)$

$$A_{v_l} = \int_{-\mu_2}^{\mu_2} dz f(z) \Phi_{v_l}(z) = 0$$

En d'autres termes, lorsque la condition aux limites est paire, alors seules les coefficients des fonctions propres paires donnent un résultat non nul, par construction la solution est donc bien paire. Il en est de même pour la condition aux limites impaire où dans la série seuls les coefficients des fonctions propres impaires sont non nuls, conduisant à une solution impaire.

Caractérisons précisément le système des valeurs et fonctions propres de ce problème aux limites de Dirichlet sur la section sphérique symétrique. En revenant aux propriétés connues d'un système de Sturm-Liouville, l'équation différentielle de la partie angulaire devient ici un système **régulier de Sturm-Liouville**, et non un système singulier comme avec le cas de l'hypersphère complète :

$$q(z) = 0 \quad s(z) = 0 \quad w(z) = (1 - z^2)^{\frac{2\lambda-1}{2}} \quad p(z) = (1 - z^2)^{\frac{2\lambda+1}{2}} \quad \omega = v(v + 2\lambda) \quad \lambda = \frac{n-2}{2} > 0$$

$$\Rightarrow p(z) > 0 \quad p(-\mu_2) = p(\mu_2) = (1 - \mu_2^2)^{\frac{2\lambda+1}{2}}$$

Dans ces conditions toutes les propriétés d'un système régulier de Sturm-Liouville s'appliquent et notamment :

- il y a une infinité de valeur propres tendant vers l'infini
- comme les conditions homogènes sont de Dirichlet, les valeurs propres sont toutes positives, et de plus il y a un nombre grandissant de zéros des fonctions propres à mesure que les valeurs propres augmentent, en plus des deux zéros fixés aux extrémités par les conditions homogènes de Dirichlet
- on peut fixer la plus petite valeurs propre à la fonction propre ne possédant que les seuls deux zéros des extrémités, par conséquent ne s'annulant pas en zéro, cette fonction propre de valeur propre minimale est nécessairement paire ($\alpha = -1$) : $\Phi_{v_0}(z), \alpha(v_0) = -1$
- concernant les fonctions propres de valeur propre supérieure, prenons la première immédiatement au dessus $\Phi_{v_1}(z)$ $v_1 > v_0$, alors d'après les propriétés dites d'oscillation, il y a nécessairement au moins un zéro entre les deux zéros $\Phi_{v_0}(z)$. Comme cette fonction ne peut comporter que trois zéros, elle est nécessairement impaire et s'annule donc en zéro : $\Phi_{v_1}(0) = 0$

donc $\Phi_{v_1}(z)$ impaire, $\alpha(v_1) = 1$

- on étend le même raisonnement en appliquant successivement le théorème "d'oscillation", pour conclure que $\Phi_{v_2}(z)$ paire, $\alpha(v_2) = -1$, 4 zéros puis alternativement pour les fonctions propres :

$$\alpha(v_l) = (-1)^{l+1}$$

$$2 \text{ zéros venant des conditions aux limites } \Phi_{v_l}(-\mu_2) = \Phi_{v_l}(\mu_2) = 0$$

$$\Phi_{v_{2p}}(z) \text{ paire, } 2p + 2 \text{ zéros}$$

$$\Phi_{v_{2p+1}}(z) \text{ impaire, } 2p + 3 \text{ zéros, } \Phi_{v_{2p}}(0) = 0$$

Cas des fonctions propres solutions du problème aux limites homogène de Neumann sur une section conique hyper-sphérique

A la manière de l'étude précédente réalisée sur le problème aux limites de Dirichlet pour une configuration symétrique de section conique hyper-sphérique, dégageons quelques propriétés des valeurs et fonction propres pour un problème de Neumann dans une configuration symétrique :

$$\theta_2 = \pi - \theta_1 \Rightarrow \mu_2 = \cos(\theta_1), \mu_1 = -\mu_2$$

$$C_{v_l}^{\lambda, '}(\mu_1) = \frac{(-v_l \mu_2 C_{v_l}^{\lambda}(-\mu_2) - (2\lambda - 1 + v_l) C_{v_l-1}^{\lambda}(-\mu_2))}{\mu_2^2 - 1} \quad C_{v_l}^{\lambda, '}(\mu_2) = \frac{(v_l \mu_2 C_{v_l}^{\lambda}(\mu_2) - (2\lambda - 1 + v_l) C_{v_l-1}^{\lambda}(\mu_2))}{\mu_2^2 - 1}$$

$$C_{(Q), v_l}^{\lambda, '}(\mu_1) = \frac{(-v_l \mu_2 C_{(Q), v_l}^{\lambda}(-\mu_2) - (2\lambda - 1 + v_l) C_{(Q), v_l-1}^{\lambda}(-\mu_2))}{\mu_2^2 - 1}$$

$$C_{(Q), v_l}^{\lambda, '}(\mu_2) = \frac{(v_l \mu_2 C_{(Q), v_l}^{\lambda}(\mu_2) - (2\lambda - 1 + v_l) C_{(Q), v_l-1}^{\lambda}(\mu_2))}{\mu_2^2 - 1} \quad \text{soit } v_l \text{ tq } v_l = 0 \quad \text{ou} \quad \frac{C_{v_l}^{\lambda, '}(\mu_2)}{C_{v_l}^{\lambda, '}(-\mu_2)} = \frac{C_{(Q), v_l}^{\lambda, '}(\mu_2)}{C_{(Q), v_l}^{\lambda, '}(-\mu_2)}$$

$$\text{ou} \quad \frac{(v_l \mu_2 C_{v_l}^{\lambda}(\mu_2) - (2\lambda - 1 + v_l) C_{v_l-1}^{\lambda}(\mu_2))}{(-v_l \mu_2 C_{v_l}^{\lambda}(-\mu_2) - (2\lambda - 1 + v_l) C_{v_l-1}^{\lambda}(-\mu_2))} = \frac{(v_l \mu_2 C_{(Q), v_l}^{\lambda}(\mu_2) - (2\lambda - 1 + v_l) C_{(Q), v_l-1}^{\lambda}(\mu_2))}{(-v_l \mu_2 C_{(Q), v_l}^{\lambda}(-\mu_2) - (2\lambda - 1 + v_l) C_{(Q), v_l-1}^{\lambda}(-\mu_2))}$$

$$\text{Posons le choix des fonctions propres suivantes } \Phi_{v_l}(z) = \frac{C_{v_l}^{\lambda}(z)}{C_{v_l}^{\lambda, '}(\mu_2)} - \frac{C_{(Q), v_l}^{\lambda}(z)}{C_{(Q), v_l}^{\lambda, '}(\mu_2)}$$

Voici quelques propriétés de liaison des dérivées premières des fonctions de Gegenbauer de première et deuxième espèce pour les indices v_l non entiers.

$$C_{v_l}^{\lambda, '}(z) = -\frac{2}{\pi \sin(v_l \pi)} (\cos(v_l \pi) C_{(Q), v_l}^{\lambda, '}(z) - C_{(Q), v_l}^{\lambda, '}(-z))$$

$$C_{(Q), v_l}^{\lambda, '}(z) = \frac{\pi}{2 \sin(v_l \pi)} (\cos(v_l \pi) C_{v_l}^{\lambda, '}(z) + C_{v_l}^{\lambda, '}(-z))$$

Formons les combinaisons linéaires paires et impaires des dérivées premières des fonctions de Gegenbauer de première et deuxième espèce, il vient :

$$C_{v_l}^{\lambda, '}(z) + C_{v_l}^{\lambda, '}(-z) = -\frac{2(\cos(v_l \pi) - 1)}{\pi \sin(v_l \pi)} (C_{(Q), v_l}^{\lambda, '}(z) + C_{(Q), v_l}^{\lambda, '}(-z))$$

$$C_{(Q), v_l}^{\lambda, '}(z) + C_{(Q), v_l}^{\lambda, '}(-z) = \frac{\pi(\cos(v_l \pi) + 1)}{2 \sin(v_l \pi)} (C_{v_l}^{\lambda, '}(z) + C_{v_l}^{\lambda, '}(-z))$$

De même :

$$C_{v_l}^{\lambda'}(z) - C_{v_l}^{\lambda'}(-z) = -\frac{2(\cos(v_l\pi) + 1)}{\pi \sin(v_l\pi)} (C_{(Q),v_l}^{\lambda'}(z) - C_{(Q),v_l}^{\lambda'}(-z))$$

$$C_{(Q),v_l}^{\lambda'}(z) - C_{(Q),v_l}^{\lambda'}(-z) = \frac{\pi(\cos(v_l\pi) - 1)}{2\sin(v_l\pi)} (C_{v_l}^{\lambda'}(z) - C_{v_l}^{\lambda'}(-z))$$

Donnons quelques propriétés des valeurs propres et des fonctions propres dans le cas $\theta_2 = \pi - \theta_1$, $\mu_1 = -\mu_2$:

$$\theta_2 = \pi - \theta_1 \Rightarrow \mu_1 = \cos(\theta_2); \mu_2 = \cos(\theta_1) \quad \mu_1 = -\mu_2$$

$$\Rightarrow v_l \quad tq \quad \frac{C_{v_l}^{\lambda'}(-\mu_2)}{C_{v_l}^{\lambda'}(\mu_2)} = \frac{C_{(Q),v_l}^{\lambda'}(-\mu_2)}{C_{(Q),v_l}^{\lambda'}(\mu_2)} \quad ou \quad \frac{C_{v_l}^{\lambda'}(\mu_2)}{C_{v_l}^{\lambda'}(-\mu_2)} = \frac{C_{(Q),v_l}^{\lambda'}(\mu_2)}{C_{(Q),v_l}^{\lambda'}(-\mu_2)}$$

Ce qui donne :

$$Posons \alpha = \frac{C_{v_l}^{\lambda'}(\mu_2)}{C_{v_l}^{\lambda'}(-\mu_2)} = \frac{C_{(Q),v_l}^{\lambda'}(\mu_2)}{C_{(Q),v_l}^{\lambda'}(-\mu_2)}$$

$$\alpha = \frac{C_{(Q),v_l}^{\lambda'}(\mu_2)}{C_{(Q),v_l}^{\lambda'}(-\mu_2)} = \frac{(\cos(v_l\pi)C_{v_l}^{\lambda'}(\mu_2) + C_{v_l}^{\lambda'}(-\mu_2))}{(\cos(v_l\pi)C_{v_l}^{\lambda'}(-\mu_2) + C_{v_l}^{\lambda'}(\mu_2))} = \frac{(\alpha \cos(v_l\pi) + 1)}{(\cos(v_l\pi) + \alpha)} \Rightarrow \alpha = \frac{(\alpha \cos(v_l\pi) + 1)}{(\cos(v_l\pi) + \alpha)} \Rightarrow \alpha^2 = 1$$

$$\alpha^2 = \left(\frac{P_{\lambda_n}(\mu_2)}{P_{\lambda_n}(-\mu_2)} \right)^2 = \left(\frac{C_{(Q),v_l}^{\lambda'}(\mu_2)}{C_{(Q),v_l}^{\lambda'}(-\mu_2)} \right)^2 = 1 \Rightarrow \alpha = \frac{C_{v_l}^{\lambda'}(\mu_2)}{C_{v_l}^{\lambda'}(-\mu_2)} = \frac{C_{(Q),v_l}^{\lambda'}(\mu_2)}{C_{(Q),v_l}^{\lambda'}(-\mu_2)} = \pm 1$$

Il apparait donc deux cas de figure selon les valeurs propres: le cas de valeurs identiques ou opposées aux extrémités :

$$Cas \quad \alpha = 1 = \frac{C_{v_l}^{\lambda'}(\mu_2)}{C_{v_l}^{\lambda'}(-\mu_2)} = \frac{C_{(Q),v_l}^{\lambda'}(\mu_2)}{C_{(Q),v_l}^{\lambda'}(-\mu_2)} \Rightarrow \text{valeurs identiques des dérivées aux extrémités}$$

$$Cas \quad \alpha = -1 = \frac{C_{v_l}^{\lambda'}(\mu_2)}{C_{v_l}^{\lambda'}(-\mu_2)} = \frac{C_{(Q),v_l}^{\lambda'}(\mu_2)}{C_{(Q),v_l}^{\lambda'}(-\mu_2)} \Rightarrow \text{valeurs opposées des dérivées aux extrémités}$$

En appliquant cette dernière propriété remarquable des fonctions propres aux limites du domaine, en la combinant avec les formules de liaisons entre fonctions de première et deuxième espèce, il vient pour le cas $\alpha=1$:

$$Cas \quad \alpha = \frac{C_{v_l}^{\lambda'}(\mu_2)}{C_{v_l}^{\lambda'}(-\mu_2)} = \frac{C_{(Q),v_l}^{\lambda'}(\mu_2)}{C_{(Q),v_l}^{\lambda'}(-\mu_2)} = 1 \Rightarrow \text{valeurs identiques aux extrémités}$$

$$C_{v_l}^{\lambda'}(\mu_2) = -\frac{2(\cos(v_l\pi) - 1)}{\pi \sin(v_l\pi)} C_{(Q),v_l}^{\lambda'}(\mu_2)$$

$$C_{(Q),v_l}^{\lambda'}(\mu_2) = \frac{\pi(\cos(v_l\pi) + 1)}{2\sin(v_l\pi)} C_{v_l}^{\lambda'}(\mu_2)$$

Et pour le cas $\alpha=-1$:

$$Cas \quad \alpha = \frac{C_{v_l}^{\lambda'}(\mu_2)}{C_{v_l}^{\lambda'}(-\mu_2)} = \frac{C_{(Q),v_l}^{\lambda'}(\mu_2)}{C_{(Q),v_l}^{\lambda'}(-\mu_2)} = -1 \Rightarrow \text{valeurs opposées aux extrémités}$$

$$C_{v_l}^{\lambda'}(\mu_2) = -\frac{2(\cos(v_l\pi) + 1)}{\pi \sin(v_l\pi)} C_{(Q),v_l}^{\lambda'}(\mu_2)$$

$$C_{(Q),v_l}^{\lambda'}(\mu_2) = \frac{\pi(\cos(v_l\pi) - 1)}{2\sin(v_l\pi)} C_{v_l}^{\lambda'}(\mu_2)$$

De ces diverses formules on peut tirer une propriété remarquable des fonctions propres à savoir :

$$\text{Cas } \alpha = 1 = \frac{C_{v_l}^{\lambda, '}(\mu_2)}{C_{v_l}^{\lambda, '}(-\mu_2)} = \frac{C_{(Q), v_l}^{\lambda, '}(\mu_2)}{C_{(Q), v_l}^{\lambda, '}(-\mu_2)}$$

$$\text{Fonctions propres } \Phi_{v_l}(z) = \frac{C_{v_l}^{\lambda}(z)}{C_{v_l}^{\lambda, '}(\mu_2)} - \frac{C_{(Q), v_l}^{\lambda}(z)}{C_{(Q), v_l}^{\lambda, '}(\mu_2)} \text{ paires} \quad \Phi_{v_l}(-z) = \Phi_{v_l}(z)$$

$$\text{Cas } \alpha = -1 = \frac{C_{v_l}^{\lambda, '}(\mu_2)}{C_{v_l}^{\lambda, '}(-\mu_2)} = \frac{C_{(Q), v_l}^{\lambda, '}(\mu_2)}{C_{(Q), v_l}^{\lambda, '}(-\mu_2)}$$

$$\text{Fonctions propres } \Phi_{v_l}(z) = \frac{C_{v_l}^{\lambda}(z)}{C_{v_l}^{\lambda, '}(\mu_2)} - \frac{C_{(Q), v_l}^{\lambda}(z)}{C_{(Q), v_l}^{\lambda, '}(\mu_2)} \text{ impaires} \quad \Phi_{v_l}(-z) = -\Phi_{v_l}(z)$$

Démontrons la propriétés de parité des fonctions propres, et raisonnons avec les fonctions propres

de la forme : $\Phi_{v_l}(z) = \frac{C_{v_l}^{\lambda}(z)}{C_{v_l}^{\lambda, '}(\mu_2)} - \frac{C_{(Q), v_l}^{\lambda}(z)}{C_{(Q), v_l}^{\lambda, '}(\mu_2)}$. Les calculs seraient identiques avec les fonctions

propres de la forme : $\Phi_{v_l}(z) = \frac{C_{v_l}^{\lambda}(z)}{C_{v_l}^{\lambda, '}(\mu_1)} - \frac{C_{(Q), v_l}^{\lambda}(z)}{C_{(Q), v_l}^{\lambda, '}(\mu_1)} = \frac{C_{v_l}^{\lambda}(z)}{C_{v_l}^{\lambda, '}(-\mu_2)} - \frac{C_{(Q), v_l}^{\lambda}(z)}{C_{(Q), v_l}^{\lambda, '}(-\mu_2)}$.

Premier cas $\alpha=1$

On applique successivement les formules de liaison sur les fonctions de Gegenbauer, les combinaisons paires ou impaires et les valeurs extrêmes des dérivées premières, et cela donne :

$$\Phi_{v_l}(z) = \frac{C_{v_l}^{\lambda}(z)}{C_{v_l}^{\lambda, '}(\mu_2)} - \frac{C_{(Q), v_l}^{\lambda}(z)}{C_{(Q), v_l}^{\lambda, '}(\mu_2)}$$

$$\Phi_{v_l}(z) = \frac{-2}{\pi \sin(\lambda_n \pi)} \frac{C_{(Q), v_l}^{\lambda}(z) \cos(v_l \pi) + C_{(Q), v_l}^{\lambda}(-z)}{-2} - \frac{\pi}{2 \sin(v_l \pi)} \frac{C_{v_l}^{\lambda}(z) \cos(v_l \pi) - C_{v_l}^{\lambda}(-z)}{\frac{\pi}{2 \sin(v_l \pi)} C_{v_l}^{\lambda, '}(\mu_2) (\cos(v_l \pi) + 1)}$$

$$\Phi_{v_l}(z) = \frac{C_{(Q), v_l}^{\lambda}(z) \cos(v_l \pi) + C_{(Q), v_l}^{\lambda}(-z)}{C_{(Q), v_l}^{\lambda, '}(\mu_2) (\cos(v_l \pi) - 1)} - \frac{C_{v_l}^{\lambda}(z) \cos(v_l \pi) - C_{v_l}^{\lambda}(-z)}{C_{v_l}^{\lambda, '}(\mu_2) (\cos(v_l \pi) + 1)}$$

$$\Phi_{v_l}(z) = \frac{C_{(Q), v_l}^{\lambda}(z) (\cos(v_l \pi) - 1) + C_{(Q), v_l}^{\lambda}(z) + C_{(Q), v_l}^{\lambda}(-z)}{C_{(Q), v_l}^{\lambda, '}(\mu_2) (\cos(v_l \pi) - 1)} - \frac{C_{v_l}^{\lambda}(z) (\cos(v_l \pi) + 1) - C_{v_l}^{\lambda}(z) - C_{v_l}^{\lambda}(-z)}{C_{v_l}^{\lambda, '}(\mu_2) (\cos(v_l \pi) + 1)}$$

$$\Phi_{v_l}(z) = \frac{C_{(Q), v_l}^{\lambda}(z)}{C_{(Q), v_l}^{\lambda, '}(\mu_2)} + \frac{C_{(Q), v_l}^{\lambda}(z) + C_{(Q), v_l}^{\lambda}(-z)}{C_{(Q), v_l}^{\lambda, '}(\mu_2) (\cos(v_l \pi) - 1)} - \frac{C_{v_l}^{\lambda}(z)}{C_{v_l}^{\lambda, '}(\mu_2)} + \frac{C_{v_l}^{\lambda}(z) + C_{v_l}^{\lambda}(-z)}{C_{v_l}^{\lambda, '}(\mu_2) (\cos(v_l \pi) + 1)}$$

$$\Phi_{v_l}(z) = -\Phi_{v_l}(z) + \frac{C_{(Q), v_l}^{\lambda}(z) + C_{(Q), v_l}^{\lambda}(-z)}{C_{(Q), v_l}^{\lambda, '}(\mu_2) (\cos(v_l \pi) - 1)} + \frac{C_{v_l}^{\lambda}(z) + C_{v_l}^{\lambda}(-z)}{C_{v_l}^{\lambda, '}(\mu_2) (\cos(v_l \pi) + 1)}$$

$$\Phi_{v_l}(z) = \frac{C_{v_l}^{\lambda}(z) + C_{v_l}^{\lambda}(-z)}{C_{v_l}^{\lambda, '}(\mu_2) (\cos(v_l \pi) + 1)} = \frac{C_{(Q), v_l}^{\lambda}(z) + C_{(Q), v_l}^{\lambda}(-z)}{C_{(Q), v_l}^{\lambda, '}(\mu_2) (\cos(v_l \pi) - 1)}$$

$\Phi_{v_l}(z)$ fonction paire

Deuxième cas $\alpha=-1$

On applique également les formules de liaison sur les fonctions de Gegenbauer, les combinaisons paires ou impaires et les valeurs extrêmes des dérivées premières, et cela donne :

$$\begin{aligned}\Phi_{v_l}(z) &= \frac{C_{v_l}^\lambda(z)}{C_{v_l}^\lambda(\mu_2)} - \frac{C_{(Q),v_l}^\lambda(z)}{C_{(Q),v_l}^\lambda(\mu_2)} \\ \Phi_{v_l}(z) &= \frac{-2}{\pi \sin(\lambda_n \pi)} \frac{C_{(Q),v_l}^\lambda(z) \cos(v_l \pi) + C_{(Q),v_l}^\lambda(-z)}{2 \sin(v_l \pi)} - \frac{\pi}{2 \sin(v_l \pi)} \frac{C_{v_l}^\lambda(z) \cos(v_l \pi) - C_{v_l}^\lambda(-z)}{C_{v_l}^\lambda(\mu_2) (\cos(v_l \pi) - 1)} \\ \Phi_{v_l}(z) &= \frac{C_{(Q),v_l}^\lambda(z) \cos(v_l \pi) + C_{(Q),v_l}^\lambda(-z)}{C_{(Q),v_l}^\lambda(\mu_2) (\cos(v_l \pi) + 1)} - \frac{C_{v_l}^\lambda(z) \cos(v_l \pi) - C_{v_l}^\lambda(-z)}{C_{v_l}^\lambda(\mu_2) (\cos(v_l \pi) - 1)} \\ \Phi_{v_l}(z) &= \frac{C_{(Q),v_l}^\lambda(z) (\cos(v_l \pi) + 1) - C_{(Q),v_l}^\lambda(z) + C_{(Q),v_l}^\lambda(-z)}{C_{(Q),v_l}^\lambda(\mu_2) (\cos(v_l \pi) + 1)} - \frac{C_{v_l}^\lambda(z) (\cos(v_l \pi) - 1) + C_{v_l}^\lambda(z) - C_{v_l}^\lambda(-z)}{C_{v_l}^\lambda(\mu_2) (\cos(v_l \pi) - 1)} \\ \Phi_{v_l}(z) &= \frac{C_{(Q),v_l}^\lambda(z)}{C_{(Q),v_l}^\lambda(\mu_2)} - \frac{C_{v_l}^\lambda(z)}{C_{v_l}^\lambda(\mu_2)} - \frac{C_{(Q),v_l}^\lambda(z) - C_{(Q),v_l}^\lambda(-z)}{C_{(Q),v_l}^\lambda(\mu_2) (\cos(v_l \pi) + 1)} - \frac{C_{v_l}^\lambda(z) - C_{v_l}^\lambda(-z)}{C_{v_l}^\lambda(\mu_2) (\cos(v_l \pi) - 1)} \\ \Phi_{v_l}(z) &= -\Phi_{v_l}(z) - \frac{C_{(Q),v_l}^\lambda(z) - C_{(Q),v_l}^\lambda(-z)}{C_{(Q),v_l}^\lambda(\mu_2) (\cos(v_l \pi) + 1)} - \frac{C_{v_l}^\lambda(z) - C_{v_l}^\lambda(-z)}{C_{v_l}^\lambda(\mu_2) (\cos(v_l \pi) - 1)} \\ \Phi_{v_l}(z) &= -\frac{C_{v_l}^\lambda(z) - C_{v_l}^\lambda(-z)}{C_{v_l}^\lambda(\mu_2) (\cos(v_l \pi) - 1)} = -\frac{C_{(Q),v_l}^\lambda(z) - C_{(Q),v_l}^\lambda(-z)}{C_{(Q),v_l}^\lambda(\mu_2) (\cos(v_l \pi) + 1)}\end{aligned}$$

$\Phi_{v_l}(z)$ fonction impaire

La conséquence des propriétés de parité des fonctions propres sur les intégrales utilisées dans le développement en série est immédiate, à savoir :

Premier cas $\alpha = 1 \Rightarrow \Phi_{v_l}(z)$ fonction paire

Condition aux limites paire $f(z) = f(-z)$ Condition aux limites impaire $f(z) = -f(-z)$

$$A_{v_l} = \int_{-\mu_2}^{\mu_2} dz f(z) \Phi_{v_l}(z) = 2 \int_0^{\mu_2} dz f(z) \Phi_{v_l}(z) \neq 0 \quad A_{v_l} = \int_{-\mu_2}^{\mu_2} dz f(z) \Phi_{v_l}(z) = 0$$

Deuxième cas $\alpha = -1 \Rightarrow \Phi_{v_l}(z)$ fonction impaire

Condition aux limites paire $f(z) = f(-z)$ Condition aux limites impaire $f(z) = -f(-z)$

$$A_{v_l} = \int_{-\mu_2}^{\mu_2} dz f(z) \Phi_{v_l}(z) = 0 \quad A_{v_l} = \int_{-\mu_2}^{\mu_2} dz f(z) \Phi_{v_l}(z) = 2 \int_0^{\mu_2} dz f(z) \Phi_{v_l}(z) \neq 0$$

En d'autres termes, lorsque la condition aux limites est paire, alors seules les coefficients des fonctions propres paires donnent un résultat non nul, par construction la solution est donc bien paire. Il en est de même pour la condition aux limites impaire où dans la série seuls les coefficients des fonctions propres impaires sont non nuls, conduisant à une solution impaire.

Problèmes aux limites de Laplace sur une hypersphère- p-

Caractérisons précisément le système des valeurs et fonctions propres de ce problème aux limites de Neumann sur la section sphérique symétrique. En revenant aux propriétés connues d'un système de Sturm-Liouville, l'équation différentielle de la partie angulaire devient ici un système régulier de Sturm-Liouville :

$$q(z) = 0 \quad s(z) = 0 \quad w(z) = (1 - z^2)^{\frac{2\lambda-1}{2}} \quad p(z) = (1 - z^2)^{\frac{2\lambda+1}{2}} \quad \omega = v(v + 2\lambda) \quad \lambda = \frac{n-2}{2} > 0$$

$$\Rightarrow p(z) > 0 \quad p(-\mu_2) = p(\mu_2) = (1 - \mu_2^2)^{\frac{2\lambda+1}{2}}$$

Dans ces conditions toutes les propriétés d'un système régulier de Sturm-Liouville s'appliquent et notamment :

- il y a une infinité de valeur propres tendant vers l'infini
 - comme les conditions homogènes sont de Neumann, les valeurs propres sont toutes positives, et de plus il y a un nombre grandissant de zéros des fonctions propres à mesure que les valeurs propres augmentent, en plus des deux zéros fixés aux extrémités par les conditions homogènes de Dirichlet
 - on peut fixer la plus petite valeurs propre à la fonction propre ne possédant qu'un seul zéros à la valeur $z=0$, par conséquent cette fonction propre de valeur propre minimale est nécessairement impaire ($\alpha=-1$) car elle s'annule en $z=0$: $\Phi_{v_0}(z), \Phi_{v_0}(0) = 0, \alpha(v_0) = -1$
 - concernant les fonctions propres de valeur propre supérieure, prenons la première immédiatement au dessus $\Phi_{v_1}(z)$ $v_1 > v_0$, alors d'après les propriétés dites d'oscillation, il y a nécessairement au moins un zéro avant $z=0$ et un autre également après . Comme cette fonction ne peut comporter que deux zéros, elle est nécessairement paire et ne s'annule pas en zéro : $\Phi_{v_1}(0) \neq 0$ donc $\Phi_{v_1}(z)$ paire, $\alpha(v_1) = 1$
 - on étend le même raisonnement en appliquant successivement le théorème "d'oscillation", pour conclure que $\Phi_{v_2}(z)$ impaire, $\Phi_{v_2}(0) = 0, \alpha(v_2) = -1, 3$ zéros puis alternativement pour les fonctions propres :
- $\alpha(v_l) = (-1)^{l-1}$ Les pentes aux extrémités sont nulles voir C.L. $\Phi_{v_l}'(-\mu_2) = \Phi_{v_l}'(\mu_2) = 0$
- $\Phi_{v_{2p}}(z)$ impaire, $2p+1$ zéros , $\Phi_{v_{2p}}(0) = 0$.
- $\Phi_{v_{2p+1}}(z)$ paire, $2p+2$ zéros

Problème aux limites à l'intérieur d'un cône hyper-sphérique d'angle ouvert ϑ_0 fini

Soit le problème intérieur de Dirichlet sur un cône hyper-sphérique centré sur l'axe x_1 et d'angle d'ouverture ϑ_0 , homogène sur la surface latérale du cône et inhomogène dans la dimension radiale :

$$\Delta_{r,\theta}^n T(r,\theta) = 0 \quad T(r,\theta)|_{\vec{x}} \in C_{\Omega_n} \quad r = \|\vec{x}\| = \sqrt{\sum_{i=1}^n x_i^2}$$

$$C_{\Omega_n} = \left\{ \vec{x} / x_1 \in [0, \infty[, \sum_{i=2}^n x_i^2 \in \left[0, x_1^2 \left(\frac{\sin(\vartheta_0)}{\cos(\vartheta_0)} \right)^2 \right] \right\} \cap \{ \vec{x} / 0 \leq r \leq l_r \}$$

$$\partial C_{\Omega_n} = \left\{ \vec{x} / x_1 \in [0, \infty[, \sum_{i=2}^n x_i^2 = x_1^2 (\tan(\vartheta_0))^2 \right\} \cap \{ \vec{x} / r = l_r \}$$

$$C.L. \quad T(r,\theta)|_{\theta=\vartheta_0} = 0 \quad T(r,\theta)|_{r=l_r} = f(\theta)$$

Le respect de la condition aux limites et de la condition de finitude de la solution en $r=0$, conduit à une forme de solution :

$$\mu_0 = \cos(\theta_0) \quad T(r,\theta) = \sum_{l \neq 0, +\infty} B_n \left(\frac{r}{l_r} \right)^{v_l} C_{v_l}^\lambda(\cos(\theta)) \quad v_l \quad tq \quad C_{v_l}^\lambda(\cos(\theta_0)) = 0 \Leftrightarrow C_{v_l}^\lambda(\mu_0) = 0$$

Le respect de la condition aux limites inhomogène radiale, et l'orthogonalité des fonctions propres de Gegenbauer de première espèce, conduit à la solution suivante :

$$\mu_0 = \cos(\theta_0) \quad T(r,\theta) = \sum_{l \neq 0, +\infty} \frac{B_n}{\|C_{v_l}^\lambda(z)\|^2} \left(\frac{r}{l_r} \right)^{v_l} C_{v_l}^\lambda(\cos(\theta)) \quad v_l \quad tq \quad C_{v_l}^\lambda(\cos(\theta_0)) = 0 \Leftrightarrow C_{v_l}^\lambda(\mu_0) = 0$$

$$B_n = \int_{\mu_0}^1 dz (1-z^2)^{\frac{2\lambda-1}{2}} f_\theta(z) C_{v_l}^\lambda(z) \quad avec \quad \Rightarrow \begin{cases} \|C_{v_l}^\lambda(z)\|^2 = -\frac{(1-\mu_0^2)^{\frac{2\lambda-1}{2}} (v_l + 2\lambda - 1)}{(2v_l + 2\lambda)} \frac{\partial C_{v_l}^\lambda(\mu_0)}{\partial v} C_{v_l-1}^\lambda(\mu_0) \\ ou \\ \|C_{v_l}^\lambda(z)\|^2 = \int_{\mu_0}^1 dz (1-z^2)^{\frac{2\lambda-1}{2}} (C_{v_l}^\lambda(z))^2 \\ = \frac{(1-\mu_0^2)^{\frac{2\lambda-1}{2}} (v_l + 1)}{(2v_l + 2\lambda)} \frac{\partial C_{v_l}^\lambda(\mu_0)}{\partial v} C_{v_l+1}^\lambda(\mu_0) \end{cases}$$

$$\Rightarrow T(r,\theta) = - \sum_{l \neq 0, +\infty} \frac{(2v_l + 2\lambda) B_n}{(1-\mu_0^2)^{\frac{2\lambda-1}{2}} (v_l + 2\lambda - 1) \frac{\partial C_{v_l}^\lambda(\mu_0)}{\partial v} C_{v_l-1}^\lambda(\mu_0)} \left(\frac{r}{l_r} \right)^{v_l} C_{v_l}^\lambda(\cos(\theta))$$

Problème aux limites à l'intérieur d'un cône hyper-sphérique d'angle ouvert ϑ_0 non bornée radialement

Soit le problème intérieur de Dirichlet sur un cône hyper-sphérique centré sur l'axe x_1 et d'angle d'ouverture ϑ_0 , homogène sur la surface latérale du cône et inhomogène dans la dimension radiale :

$$\Delta_{r,\theta}^n T(r, \theta) = 0 \quad T(r, \theta)|_{\vec{x} \in C_{\Omega n}} \quad r = \|\vec{x}\| = \sqrt{\sum_{i=1}^n x_i^2}$$

$$C_{\Omega n} = \left\{ \vec{x} / x_1 \in [0, \infty[, \sum_{i=2}^n x_i^2 \in \left[0, x_1^2 \left(\frac{\sin(\vartheta_0)}{\cos(\vartheta_0)} \right)^2 \right] \right\} \cap \{ \vec{x} / r \geq l_r \}$$

$$\partial C_{\Omega n} = \left\{ \vec{x} / x_1 \in [0, \infty[, \sum_{i=2}^n x_i^2 = x_1^2 (\tan(\vartheta_0))^2 \right\} \cap \{ \vec{x} / r = l_r \}$$

$$C.L. \quad T(r, \theta)|_{\theta=\theta_0} = 0 \quad T(r, \theta)|_{r=l_r} = f(\theta)$$

Le respect de la condition aux limites et de la condition de finitude de la solution en $r=\infty$, conduit à une forme de solution :

$$\mu_0 = \cos(\theta_0) \quad T(r, \theta) = \sum_{l \neq 0, +\infty} B_n \left(\frac{l_r}{r} \right)^{v_l + 2\lambda} C_{v_l}^\lambda(\cos(\theta)) \quad v_l \quad tq \quad C_{v_l}^\lambda(\cos(\theta_0)) = 0 \Leftrightarrow C_{v_l}^\lambda(\mu_0) = 0$$

Le respect de la condition aux limites inhomogène radiale, et l'orthogonalité des fonctions propres de Gegenbauer de première espèce, conduit à la solution suivante

$$\mu_0 = \cos(\theta_0) \quad T(r, \theta) = \sum_{l \neq 0, +\infty} \frac{B_n}{\|C_{v_l}^\lambda(z)\|^2} \left(\frac{l_r}{r} \right)^{v_l + 2\lambda} C_{v_l}^\lambda(\cos(\theta)) \quad v_l \quad tq \quad C_{v_l}^\lambda(\cos(\theta_0)) = 0 \Leftrightarrow C_{v_l}^\lambda(\mu_0) = 0$$

$$B_n = \int_{\mu_0}^1 dz \left(1 - z^2 \right)^{\frac{2\lambda-1}{2}} f_\theta(z) C_{v_l}^\lambda(z) \quad avec \quad \Rightarrow \begin{cases} \|C_{v_l}^\lambda(z)\|^2 = - \frac{(1 - \mu_0^2)^{\frac{2\lambda-1}{2}} (v_l + 2\lambda - 1)}{(2v_l + 2\lambda)} \frac{\partial C_{v_l}^\lambda(\mu_0)}{\partial v} C_{v_l-1}^\lambda(\mu_0) \\ \|C_{v_l}^\lambda(z)\|^2 = \frac{(1 - \mu_0^2)^{\frac{2\lambda-1}{2}} (v_l + 1)}{(2v_l + 2\lambda)} \frac{\partial C_{v_l}^\lambda(\mu_0)}{\partial v} C_{v_l+1}^\lambda(\mu_0) \end{cases} \quad ou$$

$$\Rightarrow T(r, \theta) = - \sum_{l \neq 0, +\infty} \frac{(2v_l + 2\lambda) B_n}{(1 - \mu_0^2)^{\frac{2\lambda-1}{2}} (v_l + 2\lambda - 1) \frac{\partial C_{v_l}^\lambda(\mu_0)}{\partial v} C_{v_l-1}^\lambda(\mu_0)} \left(\frac{l_r}{r} \right)^{v_l + 2\lambda} C_{v_l}^\lambda(\cos(\theta))$$

Valeur des dérivées paramétriques des fonctions de Gegenbauer dans le cas d'un cône d'angle d'ouverture $\vartheta_0=\pi/2$

Dans ce cas d'angle d'ouverture droit, on peut calculer précisément la norme des fonctions propres de Gegenbauer. Cela nous permet de retrouver des résultats déjà établi pour un hémisphère à N-dimensions. Nous affirmons que la valeur de la dérivée sur les degrés entier à la valeur zéro:

$$\left. \frac{\partial C_v^\lambda(0)}{\partial v} \right|_{v=2p+1} = (-1)^{p+1} \frac{\pi p! \Gamma(2p+1+2\lambda)}{2^{2\lambda} (2p+1)! \Gamma(\lambda) \Gamma(p+1+\lambda)}$$

Partons de la relation de récurrence entre les polynômes ou fonctions de Gegenbauer et dérivons cette relation par rapport au paramètre du degré de la fonction de Gegenbauer, il vient :

$$(v+1)C_{v+1}^\lambda(z) - 2(v+\lambda)zC_v^\lambda(z) + (2\lambda+v-1)C_{v-1}^\lambda(z) = 0 \Rightarrow 2zC_v^\lambda(z) = \frac{(v+1)C_{v+1}^\lambda(z) + (2\lambda+v-1)C_{v-1}^\lambda(z)}{(v+\lambda)}$$

$$\Rightarrow (v+1) \frac{\partial C_{v+1}^\lambda(z)}{\partial v} - 2(v+\lambda)z \frac{\partial C_v^\lambda(z)}{\partial v} + (2\lambda+v-1) \frac{\partial C_{v-1}^\lambda(z)}{\partial v} = -C_{v+1}^\lambda(z) + 2zC_v^\lambda(z) - C_{v-1}^\lambda(z)$$

$$\Rightarrow (v+1) \frac{\partial C_{v+1}^\lambda(z)}{\partial v} - 2(v+\lambda)z \frac{\partial C_v^\lambda(z)}{\partial v} + (2\lambda+v-1) \frac{\partial C_{v-1}^\lambda(z)}{\partial v} = \frac{1-\lambda}{\lambda+v} (C_{v+1}^\lambda(z) - C_{v-1}^\lambda(z))$$

Valeur en $z = 0$

$$\Rightarrow (v+1) \frac{\partial C_{v+1}^\lambda(0)}{\partial v} + (2\lambda+v-1) \frac{\partial C_{v-1}^\lambda(0)}{\partial v} = \frac{1-\lambda}{\lambda+v} (C_{v+1}^\lambda(0) - C_{v-1}^\lambda(0))$$

Valeur en $v = 2p \Rightarrow C_{2p+1}^\lambda(0) = C_{2p-1}^\lambda(0) = 0$ polynômes de Gegenbauer impairs

$$\Rightarrow (2p+1) \frac{\partial C_{2p+1}^\lambda(0)}{\partial v} + (2\lambda+2p-1) \frac{\partial C_{2p-1}^\lambda(0)}{\partial v} \Rightarrow \frac{\partial C_{2p+1}^\lambda(0)}{\partial v} = -\frac{(2\lambda+2p-1)}{(2p+1)} \frac{\partial C_{2p-1}^\lambda(0)}{\partial v}$$

$$\text{Itération de la récurrence} \rightarrow \frac{\partial C_{2p+1}^\lambda(0)}{\partial v} = (-1)^p \frac{(2\lambda+2p-1)(2\lambda+2p-3)\cdots(2\lambda+2p-(2p-1))}{(2p+1)(2p-1)\cdots(2p-(2p-1))} \frac{\partial C_{2p-(2p-1)}^\lambda(0)}{\partial v}$$

$$\frac{\partial C_{2p+1}^\lambda(0)}{\partial v} = (-1)^p \frac{(2\lambda+2p-1)(2\lambda+2p-3)\cdots(2\lambda+2p-(2p-1))}{(2p+1)(2p-1)\cdots(2p-(2p-1))} \frac{\partial C_1^\lambda(0)}{\partial v}$$

$$\frac{\partial C_{2p+1}^\lambda(0)}{\partial v} = (-1)^p \frac{2^{2p-1} p! \left(\frac{2\lambda+1}{2}\right) \left(\frac{2\lambda+1}{2} + 1\right) \cdots \left(\frac{2\lambda+1}{2} + p-2\right) \left(\frac{2\lambda+1}{2} + p-1\right)}{(2p+1)2p(2p-1)(2p-2)\cdots 2(2p-(2p-1))} \frac{\partial C_1^\lambda(0)}{\partial v}$$

$$\frac{\partial C_{2p+1}^\lambda(0)}{\partial v} = (-1)^p \frac{2^{2p-1} p! \left(\frac{2\lambda+1}{2}\right)_p}{(2p+1)!} \frac{\partial C_1^\lambda(0)}{\partial v} \Rightarrow \frac{\partial C_{2p+1}^\lambda(0)}{\partial v} = (-1)^p \frac{2^{2p-1} p! \Gamma\left(p + \frac{2\lambda+1}{2}\right)}{(2p+1)! \Gamma\left(\frac{2\lambda+1}{2}\right)} \frac{\partial C_1^\lambda(0)}{\partial v}$$

$$\frac{\partial C_{2p+1}^\lambda(0)}{\partial v} = (-1)^p \frac{\sqrt{\pi} p! \Gamma(2\lambda+1+2p)}{2^{2\lambda} (2p+1)! \Gamma(\lambda+1+p) \Gamma\left(\frac{2\lambda+1}{2}\right)} \frac{\partial C_1^\lambda(0)}{\partial v}$$

$$\text{Vérification } n=3 \Rightarrow \lambda = \frac{1}{2} \Rightarrow \frac{\partial C_{2p+1}^\lambda(0)}{\partial v} = (-1)^p \frac{\sqrt{\pi} p!}{2\Gamma\left(p + \frac{3}{2}\right)} \frac{\partial C_1^\lambda(0)}{\partial v} = (-1)^p \frac{2^{2p} (p!)^2}{(2p+1)!} \frac{\partial C_1^\lambda(0)}{\partial v}$$

Problèmes aux limites de Laplace sur une hypersphère- p-

Comparons avec deux formules, celle connue de la norme des polynômes de Gegenbauer de degré impair, qui sont les fonctions propres pour un problème aux limites sur un hémisphère et celle générale faisant intervenir la dérivée paramétrique., il vient :

$$\mu_0 = \cos\left(\frac{\pi}{2}\right) = 0 \Rightarrow \begin{cases} \|C_{2p+1}^\lambda(z)\|^2 = \int_0^1 dz (1-z^2)^{\frac{2\lambda-1}{2}} (C_{2p+1}^\lambda(z))^2 = -\frac{(p+\lambda)}{(2p+1+\lambda)} \frac{\partial C_{2p+1}^\lambda(0)}{\partial \nu} C_{2p}^\lambda(0) \\ \|C_{2p+1}^\lambda(z)\|^2 = \frac{(p+1)}{(2p+1+\lambda)} \frac{\partial C_{2p+1}^\lambda(0)}{\partial \nu} C_{2p+2}^\lambda(0) \end{cases}$$

$$C_\nu^\lambda(0) = \frac{2^{1-2\lambda} \pi \Gamma(\nu+2\lambda)}{\Gamma(\nu+1)\Gamma(\lambda)\Gamma\left(\frac{1-\nu}{2}\right)\Gamma\left(\frac{\nu+2\lambda+1}{2}\right)} \Rightarrow C_{2p+2}^\lambda(0) = \frac{2^{1-2\lambda} \pi \Gamma(2p+2+2\lambda)}{\Gamma(2p+3)\Gamma(\lambda)\Gamma\left(-\frac{1+2p}{2}\right)\Gamma\left(\frac{2p+3+2\lambda}{2}\right)}$$

$$\Rightarrow C_{2p+2}^\lambda(0) = \frac{2^{2p+2} \sqrt{\pi} \Gamma(p+1+\lambda)}{(2p+2)!\Gamma(\lambda)\Gamma\left(-\frac{1+2p}{2}\right)} \quad \text{or} \quad \Gamma\left(-\frac{1+2p}{2}\right) = (-1)^{p+1} \frac{2^{2p+1} \sqrt{\pi} p!}{(2p+1)!} \Rightarrow C_{2p+2}^\lambda(0) = (-1)^{p+1} \frac{\Gamma(p+1+\lambda)}{(p+1)!\Gamma(\lambda)}$$

$$C_{2p}^\lambda(0) = (-1)^p \frac{\Gamma(p+\lambda)}{p!\Gamma(\lambda)} \Rightarrow \|C_{2p+1}^\lambda(z)\|^2 = (-1)^{p+1} \frac{\Gamma(p+1+\lambda)}{(2p+1+\lambda)p!\Gamma(\lambda)} \frac{\partial C_{2p+1}^\lambda(0)}{\partial \nu} \quad \text{or} \quad \Gamma\left(\frac{2p+3}{2}\right) = \frac{\sqrt{\pi}(2p+1)!}{2^{2p+1} p!}$$

$$\text{Vérification } n=3; \lambda = \frac{1}{2} \Rightarrow \|C_{2p+1}^\lambda(z)\|^2 = (-1)^{p+1} \frac{\Gamma\left(\frac{2p+3}{2}\right)}{\left(2p+\frac{3}{2}\right)p!\Gamma\left(\frac{1}{2}\right)} \frac{\partial C_{2p+1}^\lambda(0)}{\partial \nu} = (-1)^{p+1} \frac{(2p+1)(2p)!}{(4p+3)2^{2p}(p!)^2} \frac{\partial C_{2p+1}^\lambda(0)}{\partial \nu}$$

On compare avec la formule connue de la norme des polynômes de Gegenbauer sur $[-1,1]$:

$$\|C_{2p+1}^\lambda(z)\|^2 = \int_0^1 dz (1-z^2)^{\frac{2\lambda-1}{2}} (C_{2p+1}^\lambda(z))^2 = \frac{1}{2} \int_{-1}^1 dz (1-z^2)^{\frac{2\lambda-1}{2}} (C_{2p+1}^\lambda(z))^2$$

$$\Rightarrow \|C_{2p+1}^\lambda(z)\|^2 = \frac{\pi \Gamma(2p+1+2\lambda)}{2^{2\lambda} (2p+1)!(2p+1+\lambda)(\Gamma(\lambda))^2} \Rightarrow (-1)^{p+1} \frac{\Gamma(p+1+\lambda)}{(2p+1+\lambda)p!\Gamma(\lambda)} \frac{\partial C_{2p+1}^\lambda(0)}{\partial \nu} =$$

$$\frac{\pi \Gamma(2p+1+2\lambda)}{2^{2\lambda} (2p+1)!(2p+1+\lambda)(\Gamma(\lambda))^2} \Rightarrow \frac{\partial C_{2p+1}^\lambda(0)}{\partial \nu} = (-1)^{p+1} \frac{\pi p! \Gamma(2p+1+2\lambda)}{2^{2\lambda} (2p+1)!\Gamma(\lambda)\Gamma(p+1+\lambda)}$$

Comme par ailleurs :

$$\frac{\partial C_{2p+1}^\lambda(0)}{\partial \nu} = (-1)^p \frac{\sqrt{\pi} p! \Gamma(2\lambda+1+2p)}{2^{2\lambda} (2p+1)!\Gamma(\lambda+1+p)\Gamma\left(\frac{2\lambda+1}{2}\right)} \frac{\partial C_1^\lambda(0)}{\partial \nu}$$

Il vient :

$$(-1)^{p+1} \frac{\pi p! \Gamma(2\lambda+1+2p)}{2^{2\lambda} (2p+1)!\Gamma(\lambda)\Gamma(\lambda+1+p)} = (-1)^p \frac{\sqrt{\pi} p! \Gamma(2\lambda+1+2p)}{2^{2\lambda} (2p+1)!\Gamma(\lambda+1+p)\Gamma\left(\frac{2\lambda+1}{2}\right)} \frac{\partial C_1^\lambda(0)}{\partial \nu}$$

$$\Rightarrow \frac{\partial C_1^\lambda(0)}{\partial \nu} = -\frac{\sqrt{\pi} \Gamma\left(\frac{2\lambda+1}{2}\right)}{\Gamma(\lambda)} = -\frac{\pi 2^{1-2\lambda} \Gamma(2\lambda)}{(\Gamma(\lambda))^2} \quad \text{Vérification } n=3 \rightarrow 2\lambda=1 \quad \Gamma\left(\frac{2p+3}{2}\right) = \frac{\sqrt{\pi}(2p+1)!}{2^{2p+1} p!}$$

$$\Rightarrow \frac{\partial C_1^{\frac{1}{2}}(0)}{\partial \nu} = -\frac{\pi \Gamma(1)}{\left(\Gamma\left(\frac{1}{2}\right)\right)^2} = -1 \quad \frac{\partial C_{2p+1}^{\frac{1}{2}}(0)}{\partial \nu} = (-1)^{p+1} \frac{\sqrt{\pi} p!}{2\Gamma\left(\frac{2p+3}{2}\right)} = (-1)^{p+1} \frac{2^{2p}(p!)^2}{(2p+1)!}$$

Problème aux limites à l'intérieur d'un cône hyper-sphérique d'angle ouvert ϑ_0 bornée ou non radialement, condition aux limites constantes.

Pour le problème sur le cône borné lorsque $f_{\vartheta}(\vartheta)=T_0$ il vient :

$$B_n = T_0 \int_{\mu_0}^1 dz (1-z^2)^{\frac{2\lambda-1}{2}} C_{\nu_l}^{\lambda}(z) \int dz (1-z^2)^{\frac{(2\lambda-1)}{2}} C_{\nu}^{\lambda}(z) = \frac{(1-z^2)^{\frac{(2\lambda-1)}{2}}}{\nu(\nu+2\lambda)} (\nu z C_{\nu}^{\lambda}(z) - (2\lambda-1+\nu) C_{\nu-1}^{\lambda}(z))$$

$$\Rightarrow \int_{\mu_0}^1 dz (1-z^2)^{\frac{2\lambda-1}{2}} C_{\nu_l}^{\lambda}(z) = \left[\frac{(1-z^2)^{\frac{(2\lambda-1)}{2}}}{\nu_l(\nu_l+2\lambda)} (\nu_l z C_{\nu_l}^{\lambda}(z) - (2\lambda-1+\nu_l) C_{\nu_l-1}^{\lambda}(z)) \right]_{\mu_0}^1 = \frac{(1-\mu_0^2)^{\frac{(2\lambda-1)}{2}} (2\lambda-1+\nu_l)}{\nu_l(\nu_l+2\lambda)} C_{\nu_l-1}^{\lambda}(\mu_0)$$

$$T(r, \theta) = -T_0 \sum_{l \neq 0, +\infty} \frac{(2\nu_l + 2\lambda)}{\nu_l(\nu_l + 2\lambda)} \frac{\partial C_{\nu_l}^{\lambda}(\mu_0)}{\partial \nu} \left(\frac{r}{l_r} \right)^{\nu_l} C_{\nu_l}^{\lambda}(\cos(\theta)) \quad \nu_l \quad tq \quad C_{\nu_l}^{\lambda}(\mu_0) = 0$$

Pour un problème du type suivant, il se décompose par principe de superposition en un problème sur un cône infini qui a la solution triviale $T=T_0$ et du problème précédent.

$$\left. \begin{array}{l} \Delta T(r, \theta) = 0 \\ T(r, \theta)|_{r=l_r} = 0 \\ T(r, \theta)|_{\theta=\theta_0} = T_0 \\ T(r, \theta) \text{ fini} \end{array} \right\} \Rightarrow \left. \begin{array}{l} \Delta T_c(r, \theta) = 0 \\ T_c(r, \theta)|_{\theta=\theta_0} = T_0 \\ T_c(r, \theta) = T_0 \\ \rightarrow T_c(r, \theta)|_{r=l_r} = T_0 \end{array} \right\} - \left. \begin{array}{l} \Delta T_{\Omega c}(r, \theta) = 0 \\ T_{\Omega c}(r, \theta)|_{r=l_r} = T_0 \\ T_{\Omega c}(r, \theta)|_{\theta=\theta_0} = 0 \\ T_{\Omega c}(r, \theta) \text{ fini} \end{array} \right\}$$

Et dans ce cas la solution est immédiatement trouvée :

$$T(r, \theta) = T_0 \left(1 + \sum_{l \neq 0, +\infty} \frac{(2\nu_l + 2\lambda)}{\nu_l(\nu_l + 2\lambda)} \frac{\partial C_{\nu_l}^{\lambda}(\mu_0)}{\partial \nu} \left(\frac{r}{l_r} \right)^{\nu_l} C_{\nu_l}^{\lambda}(\cos(\theta)) \right) \quad \nu_l \quad tq \quad C_{\nu_l}^{\lambda}(\mu_0) = 0$$

Lorsque $\vartheta_0 = \pi/2$ sur le cône bornée, nul radialement et fixe sur la surface latérale du cône, on reprend la valeur de la dérivée paramétrique :

$$\theta_0 = \frac{\pi}{2} \quad \mu_0 = 0 \quad \nu_l = 2p+1 \quad tq \quad C_{2p+1}^{\lambda}(0) = 0 \quad \frac{\partial C_{\nu_l}^{\lambda}(0)}{\partial \nu} \Big|_{\nu_l=2p+1} = (-1)^{p+1} \frac{\pi p! \Gamma(2p+1+2\lambda)}{2^{2\lambda} (2p+1)! \Gamma(\lambda) \Gamma(p+1+\lambda)}$$

$$T(r, \theta) = T_0 \left(1 - \frac{2^{2\lambda} \Gamma(\lambda)}{\pi} \sum_{l \neq 0, +\infty} (-1)^p \frac{2(2p+1+\lambda)(2p)! \Gamma(p+1+\lambda)}{p! \Gamma(2p+2+2\lambda)} \left(\frac{r}{l_r} \right)^{2p+1} C_{2p+1}^{\lambda}(\cos(\theta)) \right)$$

$$C_{\nu}^{\lambda}(1) = \frac{\Gamma(\nu+2\lambda)}{\Gamma(\nu+1)\Gamma(2\lambda)} \Rightarrow C_{2p+1}^{\lambda}(1) = \frac{\Gamma(2p+1+2\lambda)}{(2p+1)! \Gamma(2\lambda)}$$

$$\theta = 0 \Rightarrow T(r, 0) = T_0 \left(1 - \frac{2^{2\lambda} \Gamma(\lambda)}{\pi \Gamma(2\lambda)} \sum_{l \neq 0, +\infty} (-1)^p \frac{2(2p+1+\lambda) \Gamma(p+1+\lambda)}{(2p+1)! p! (2p+1+2\lambda)} \left(\frac{r}{l_r} \right)^{2p+1} \right)$$

Problèmes aux limites de Laplace sur une hypersphère- p-

C'est bien la solution trouvée auparavant pour une hémisphère à N-dimension, on écrivait:

$$T(r, \theta) = T_0 \left(1 - \frac{2^{2\lambda} \Gamma(\lambda)}{\sqrt{\pi}} \sum_{p=0}^{p=+\infty} \frac{2^{2p+1} (2p+1+\lambda) \Gamma(p+\lambda+1)}{\Gamma(2p+2+2\lambda) \Gamma\left(\frac{1-2p}{2}\right)} \left(\frac{r}{l_r}\right)^{2p+1} C_{2p+1}^\lambda(\cos(\theta)) \right)$$

$$\Gamma\left(\frac{1-2p}{2}\right) = \Gamma\left(1 - \frac{1+2p}{2}\right) = -\frac{(1+2p)}{2} \Gamma\left(-\frac{1+2p}{2}\right) = (-1)^p \frac{2^{2p} \sqrt{\pi} p!}{(2p)!}$$

$$T(r, \theta) = T_0 \left(1 - \frac{2^{2\lambda} \Gamma(\lambda)}{\pi} \sum_{p=0}^{p=+\infty} (-1)^p \frac{2(2p+1+\lambda)(2p)! \Gamma(p+\lambda+1)}{p! \Gamma(2p+2+2\lambda)} \left(\frac{r}{l_r}\right)^{2p+1} C_{2p+1}^\lambda(\cos(\theta)) \right)$$

Pour le problème sur le cône non borné lorsque $f_\vartheta(\vartheta)=T_0$ il vient :

$$T(r, \theta) = -T_0 \sum_{l \neq 0, +\infty} \frac{(2\nu_l + 2\lambda)}{\nu_l(\nu_l + 2\lambda) \frac{\partial C_{\nu_l}^\lambda(\mu_0)}{\partial \nu}} \left(\frac{l_r}{r}\right)^{\nu_l+2\lambda} C_{\nu_l}^\lambda(\cos(\theta)) \quad \nu_l \quad tq \quad C_{\nu_l}^\lambda(\mu_0) = 0$$

Pour le problème lorsque $\vartheta_0 = \pi/2$, sur le cône non bornée, nul radialement et fixe sur la surface latérale du cône,

$$\left. \begin{array}{l} \Delta T(r, \theta) = 0 \\ T(r, \theta)|_{r=l_r} = 0 \\ T(r, \theta)|_{\theta=\theta_0} = T_0 \\ \lim_{r \rightarrow \infty} T(r, \theta) \text{ fini} \end{array} \right\} \Rightarrow \left. \begin{array}{l} \Delta T_c(r, \theta) = 0 \\ T_c(r, \theta)|_{\theta=\theta_0} = T_0 \\ T_c(r, \theta) = T_0 \\ \rightarrow T_c(r, \theta)|_{r=l_r} = T \end{array} \right\} \left. \begin{array}{l} \Delta T_{\Omega c}(r, \theta) = 0 \\ T_{\Omega c}(r, \theta)|_{r=l_r} = T_0 \\ T_{\Omega c}(r, \theta)|_{\theta=\theta_0} = 0 \\ \lim_{r \rightarrow \infty} T_{\Omega c}(r, \theta) = 0 \end{array} \right\}$$

Et dans ce cas la solution est immédiatement trouvée :

$$T(r, \theta) = T_0 \left(1 + \sum_{l \neq 0, +\infty} \frac{(2\nu_l + 2\lambda)}{\nu_l(\nu_l + 2\lambda) \frac{\partial C_{\nu_l}^\lambda(\mu_0)}{\partial \nu}} \left(\frac{l_r}{r}\right)^{\nu_l+2\lambda} C_{\nu_l}^\lambda(\cos(\theta)) \right) \quad \nu_l \quad tq \quad C_{\nu_l}^\lambda(\mu_0) = 0$$

Lorsque $\vartheta_0 = \pi/2$ sur le cône non borné, nul radialement et fixe sur la surface latérale du cône, on reprend la valeur de la dérivée paramétrique :

$$\theta_0 = \frac{\pi}{2} \quad \mu_0 = 0 \quad \nu_l = 2p+1 \quad tq \quad C_{2p+1}^\lambda(0) = 0 \quad \left. \frac{\partial C_{\nu_l}^\lambda(0)}{\partial \nu} \right|_{\nu_l=2p+1} = (-1)^{p+1} \frac{\pi p! \Gamma(2p+1+2\lambda)}{2^{2\lambda} (2p+1)! \Gamma(\lambda) \Gamma(p+1+\lambda)}$$

$$T(r, \theta) = T_0 \left(1 - \frac{2^{2\lambda} \Gamma(\lambda)}{\pi} \sum_{l \neq 0, +\infty} (-1)^p \frac{2(2p+1+\lambda)(2p)! \Gamma(p+1+\lambda)}{p! \Gamma(2p+2+2\lambda)} \left(\frac{l_r}{r}\right)^{2p+1+2\lambda} C_{2p+1}^\lambda(\cos(\theta)) \right)$$

$$C_\nu^\lambda(1) = \frac{\Gamma(\nu+2\lambda)}{\Gamma(\nu+1)\Gamma(2\lambda)} \Rightarrow C_{2p+1}^\lambda(1) = \frac{\Gamma(2p+1+2\lambda)}{(2p+1)\Gamma(2\lambda)}$$

$$\theta = 0 \Rightarrow T(r, 0) = T_0 \left(1 - \frac{2^{2\lambda} \Gamma(\lambda)}{\pi \Gamma(2\lambda)} \sum_{l \neq 0, +\infty} (-1)^p \frac{2(2p+1+\lambda) \Gamma(p+1+\lambda)}{(2p+1)p! (2p+1+2\lambda)} \left(\frac{l_r}{r}\right)^{2p+1+2\lambda} \right)$$

Partition de l'unité dans le cadre des problèmes aux limites sur l'hyper-sphère

Les deux solutions des problèmes de Dirichlet sur un cône borné ou non borné permettent d'écrire une formule de décomposition de l'unité sur le système des fonctions propres angulaires. Cette formule est particulièrement utile pour des calculs ultérieurs :

$$(1) \quad T(r, \theta) = -T_0 \sum_{l \neq 0, +\infty} \frac{(2\nu_l + 2\lambda)}{\nu_l(\nu_l + 2\lambda)} \frac{\partial C_{\nu_l}^\lambda(\mu_0)}{\partial \nu} \left(\frac{r}{l_r}\right)^{\nu_l} C_{\nu_l}^\lambda(\cos(\theta))$$

$$(2) \quad T(r, \theta) = -T_0 \sum_{l \neq 0, +\infty} \frac{(2\nu_l + 2\lambda)}{\nu_l(\nu_l + 2\lambda)} \frac{\partial C_{\nu_l}^\lambda(\mu_0)}{\partial \nu} \left(\frac{l_r}{r}\right)^{\nu_l + 2\lambda} C_{\nu_l}^\lambda(\cos(\theta))$$

$$T_0 = 1 \quad r = l_r \Rightarrow 1 = - \sum_{l \neq 0, +\infty} \frac{(2\nu_l + 2\lambda)}{\nu_l(\nu_l + 2\lambda)} \frac{\partial C_{\nu_l}^\lambda(\mu_0)}{\partial \nu} C_{\nu_l}^\lambda(\cos(\theta))$$

$$\text{Avec } \|C_{\nu_l}^\lambda(z)\|^2 = - \frac{(1 - \mu_0^2)^{\frac{2\lambda-1}{2}} (\nu_l + 2\lambda - 1)}{(2\nu_l + 2\lambda)} \frac{\partial C_{\nu_l}^\lambda(\mu_0)}{\partial \nu} C_{\nu_l-1}^\lambda(\mu_0)$$

$$\Rightarrow \frac{\partial C_{\nu_l}^\lambda(\mu_0)}{\partial \nu} = - \|C_{\nu_l}^\lambda(z)\|^2 \frac{(2\nu_l + 2\lambda)}{(1 - \mu_0^2)^{\frac{2\lambda-1}{2}} (\nu_l + 2\lambda - 1) C_{\nu_l-1}^\lambda(\mu_0)}$$

$$\Rightarrow 1 = \sum_{l \neq 0, +\infty} \frac{(1 - \mu_0^2)^{\frac{2\lambda-1}{2}} (\nu_l + 2\lambda - 1) C_{\nu_l-1}^\lambda(\mu_0)}{\nu_l(\nu_l + 2\lambda) \|C_{\nu_l}^\lambda(z)\|^2} C_{\nu_l}^\lambda(\cos(\theta))$$

Problème aux limites à l'intérieur d'un cône hyper-sphérique d'angle ouvert ϑ_0 non borné radialement avec des conditions inhomogènes de Dirichlet sur la surface latérale du cône.

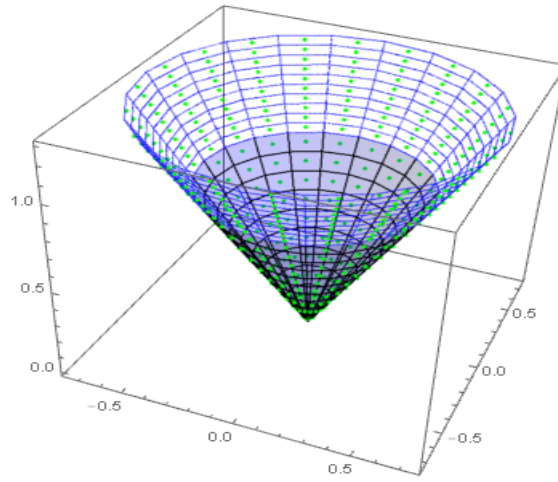
Soit sur le cône n-dimensionnel, le problème suivant :

$$\Delta_{r,\theta}^n T(r, \theta) = 0 \quad T(r, \theta)|_{\vec{x} \in C_{\Omega_n}} \quad r = \|\vec{x}\| = \sqrt{\sum_{i=1}^n x_i^2}$$

$$C_{\Omega_n} = \left\{ \vec{x} / x_1 \in [0, \infty[, \sum_{i=2}^n x_i^2 \in \left[0, x_1^2 \left(\frac{\sin(\vartheta_0)}{\cos(\vartheta_0)} \right)^2 \right] \right\} \quad \partial C_{\Omega_n} = \left\{ \vec{x} / x_1 \in [0, \infty[, \sum_{i=2}^n x_i^2 = x_1^2 (\tan(\vartheta_0))^2 \right\}$$

$$C.L. \quad T(r, \theta)|_{\theta=\theta_0} = T_0 \quad T(r, \theta)|_{r=l_r, +\infty} = 0$$

Illustré par une figure en 3 dimensions :



Le problème de départ peut se décomposer ainsi :

$$T(r, \theta) = T_{\Omega 1}(r, \theta) + T_{\Omega 2}(r, \theta)$$

$$\Omega 1 = \{0 \leq r < l_r, 0 \leq \theta < \theta_0\} \quad \Omega 2 = \{l_r \leq r < \infty, 0 \leq \theta < \theta_0\}$$

$$T_{\Omega 1}(r, \theta)|_{\theta=\theta_0} = T_0 \quad T_{\Omega 2}(r, \theta)|_{\theta=\theta_0} = 0 \quad T_{\Omega 1}(r, \theta)|_{r=l_r} = T_{\Omega 2}(r, \theta)|_{r=l_r}$$

Le deuxième problème est un problème aux limites avec conditions homogènes qui a la solution formelle :

$$v_l \quad tq \quad C_{v_l}^\lambda(\mu_0) = 0 \quad \mu_0 = \cos(\theta_0)$$

$$T_{\Omega 2}(r, \theta) = - \sum_{l \neq 0, +\infty} \frac{(2v_l + 2\lambda)}{\frac{\partial C_{v_l}^\lambda(\mu_0)}{\partial v}} \frac{C_l}{(1 - \mu_0^2)^{\frac{2\lambda-1}{2}} (v_l + 2\lambda - 1) C_{v_l-1}^\lambda(\mu_0)} \left(\frac{l_r}{r} \right)^{v_l + 2\lambda} C_{v_l}^\lambda(\cos(\theta)) \quad l_r \leq r < \infty$$

Le premier problème se décompose encore en deux sous problèmes :

$$\left. \begin{array}{l} \Delta T_{\Omega 1}(r, \theta) = 0 \\ T_{\Omega 1}(r, \theta)|_{r=l_r} = f_\theta(\theta) \\ T_{\Omega 1}(r, \theta)|_{\theta=\theta_0} = T_0 \end{array} \right\} \Rightarrow \left. \begin{array}{l} \Delta T_{\Omega 11}(r, \theta) = 0 \\ T_{\Omega 11}(r, \theta)|_{\theta=\theta_0} = T_0 \\ T_{\Omega 11}(r, \theta) = T_0 \\ \rightarrow T_{\Omega 11}(r, \theta)|_{r=l_r} = T_0 \end{array} \right\} \left. \begin{array}{l} \Delta T_{\Omega 12}(r, \theta) = 0 \\ T_{\Omega 12}(r, \theta)|_{r=l_r} = T_0 - f_\theta(\theta) \\ T_{\Omega 12}(r, \theta)|_{\theta=\theta_0} = 0 \\ T_{\Omega 12}(r, \theta) \text{ fini} \end{array} \right\}$$

$$\Rightarrow T_{\Omega 1}(r, \theta) = T_0 - T_{\Omega 12}(r, \theta)$$

Problèmes aux limites de Laplace sur une hypersphère- p-

On voit que $T_{\Omega 12}(r, \theta)$ est solution du même problème aux limites homogène sur la surface du cône que $T_{\Omega 1}(r, \theta)$. La différence essentielle c'est que l'un est un problème extérieur et l'autre intérieur. Il vient donc la décomposition avec les même fonctions propres angulaires :

$$v_l \quad tq \quad C_{v_l}^\lambda(\mu_0) = 0 \quad \mu_0 = \cos(\theta_0)$$

$$T_{\Omega 1}(r, \theta) = T_0 + \sum_{l \neq 0, +\infty} \frac{(2v_l + 2\lambda)B_l}{\left(1 - \mu_0^2\right)^{\frac{2\lambda-1}{2}}(v_l + 2\lambda - 1) \frac{\partial C_{v_l}^\lambda(\mu_0)}{\partial v} C_{v_l-1}^\lambda(\mu_0)} \left(\frac{r}{l_r}\right)^{v_l} C_{v_l}^\lambda(\cos(\theta)) \quad 0 \leq r \leq l_r$$

Appliquons la décomposition de l'unité dans le système de fonctions propres angulaires, il vient :

$$1 = - \sum_{l \neq 0, +\infty} \frac{(2v_l + 2\lambda)}{v_l(v_l + 2\lambda) \frac{\partial C_{v_l}^\lambda(\mu_0)}{\partial v}} C_{v_l}^\lambda(\cos(\theta)) \Rightarrow T_{\Omega 1}(r, \theta) = -T_0 \sum_{l \neq 0, +\infty} \frac{(2v_l + 2\lambda)}{v_l(v_l + 2\lambda) \frac{\partial C_{v_l}^\lambda(\mu_0)}{\partial v}} C_{v_l}^\lambda(\cos(\theta)) +$$

$$+ \sum_{l \neq 0, +\infty} \frac{(2v_l + 2\lambda)B_l}{\left(1 - \mu_0^2\right)^{\frac{2\lambda-1}{2}}(v_l + 2\lambda - 1) \frac{\partial C_{v_l}^\lambda(\mu_0)}{\partial v} C_{v_l-1}^\lambda(\mu_0)} \left(\frac{r}{l_r}\right)^{v_l} C_{v_l}^\lambda(\cos(\theta)) \quad 0 \leq r \leq l_r$$

$$T_{\Omega 1}(r, \theta) = \sum_{l \neq 0, +\infty} \frac{(2v_l + 2\lambda)}{\frac{\partial C_{v_l}^\lambda(\mu_0)}{\partial v}} \left(-\frac{T_0}{v_l(v_l + 2\lambda)} + \frac{B_l}{\left(1 - \mu_0^2\right)^{\frac{2\lambda-1}{2}}(v_l + 2\lambda - 1) C_{v_l-1}^\lambda(\mu_0)} \right) \left(\frac{r}{l_r}\right)^{v_l} C_{v_l}^\lambda(\cos(\theta)) \quad 0 \leq r \leq l_r$$

La condition de continuité des solutions et celle de continuité de la dérivée première radiale donnent immédiatement :

$$T_{\Omega 1}(r, \theta)|_{r=l_r} = T_{\Omega 2}(r, \theta)|_{r=l_r} \Rightarrow$$

$$-\frac{T_0}{v_l(v_l + 2\lambda)} + \frac{B_l}{\left(1 - \mu_0^2\right)^{\frac{2\lambda-1}{2}}(v_l + 2\lambda - 1) C_{v_l-1}^\lambda(\mu_0)} = -\frac{C_l}{\left(1 - \mu_0^2\right)^{\frac{2\lambda-1}{2}}(v_l + 2\lambda - 1) C_{v_l-1}^\lambda(\mu_0)}$$

$$\frac{\partial T_{\Omega 1}(r, \theta)}{\partial r} \Big|_{r=l_r} = \frac{\partial T_{\Omega 2}(r, \theta)}{\partial r} \Big|_{r=l_r} \Rightarrow \frac{1}{l_r} \frac{v_l B_l}{\left(1 - \mu_0^2\right)^{\frac{2\lambda-1}{2}}(v_l + 2\lambda - 1) C_{v_l-1}^\lambda(\mu_0)} = \frac{1}{l_r} \frac{(v_l + 2\lambda) C_l}{\left(1 - \mu_0^2\right)^{\frac{2\lambda-1}{2}}(v_l + 2\lambda - 1) C_{v_l-1}^\lambda(\mu_0)}$$

$$\Rightarrow v_l B_n = (v_l + 2\lambda) C_n$$

Ces deux conditions conduisent donc à un système d'équation linéaire des coefficients qui a la solution triviale :

$$v_l B_n = (v_l + 2\lambda) C_l \Rightarrow \frac{T_0}{v_l(v_l + 2\lambda)} = \frac{2C_l}{\left(1 - \mu_0^2\right)^{\frac{2\lambda-1}{2}}(v_l + 2\lambda - 1) C_{v_l-1}^\lambda(\mu_0)} \left(\frac{v_l + \lambda}{v_l}\right)$$

$$\Rightarrow \frac{T_0}{(v_l + 2\lambda)} = \frac{2C_l}{\left(1 - \mu_0^2\right)^{\frac{2\lambda-1}{2}}(v_l + 2\lambda - 1) C_{v_l-1}^\lambda(\mu_0)} (v_l + \lambda) \Rightarrow C_l = T_0 \frac{\left(1 - \mu_0^2\right)^{\frac{2\lambda-1}{2}}(v_l + 2\lambda - 1) C_{v_l-1}^\lambda(\mu_0)}{2(v_l + 2\lambda)(v_l + \lambda)}$$

$$B_l = \frac{v_l + 2\lambda}{v_l} C_l \Rightarrow B_l = T_0 \frac{\left(1 - \mu_0^2\right)^{\frac{2\lambda-1}{2}}(v_l + 2\lambda - 1) C_{v_l-1}^\lambda(\mu_0)}{2v_l(v_l + \lambda)}$$

Problèmes aux limites de Laplace sur une hypersphère- p-

Ce qui donne bien les deux solutions une fois injectées ces valeurs des coefficients :

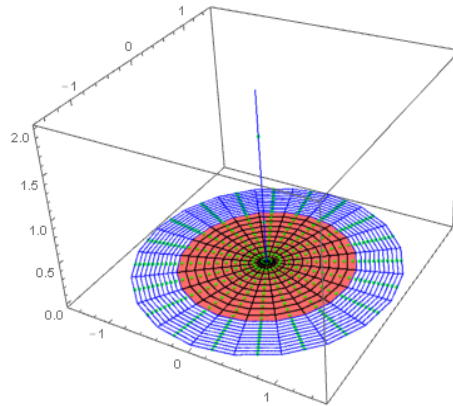
$$v_l \quad tq \quad C_{v_l}^\lambda(\mu_0) = 0 \quad \mu_0 = \cos(\theta_0)$$

$$T_{\Omega 1}(r, \theta) = T_0 \sum_{l \neq 0, +\infty} \frac{(2v_l + 2\lambda)}{v_l \frac{\partial C_{v_l}^\lambda(\mu_0)}{\partial v}} \left(-\frac{1}{(v_l + 2\lambda)} + \frac{1}{2(v_l + \lambda)} \left(\frac{r}{l_r} \right)^{v_l} \right) C_{v_l}^\lambda(\cos(\theta)) \quad 0 \leq r \leq l_r$$

$$T_{\Omega 2}(r, \theta) = -T_0 \sum_{l \neq 0, +\infty} \frac{1}{\frac{\partial C_{v_l}^\lambda(\mu_0)}{\partial v} (v_l + 2\lambda)} \left(\frac{l_r}{r} \right)^{v_l + 2\lambda} C_{v_l}^\lambda(\cos(\theta)) \quad l_r \leq r < \infty$$

$$\Rightarrow \begin{cases} T_{\Omega 1}(r, \theta) = T_0 \left(1 + \sum_{l \neq 0, +\infty} \frac{1}{v_l \frac{\partial C_{v_l}^\lambda(\mu_0)}{\partial v}} \left(\frac{r}{l_r} \right)^{v_l} C_{v_l}^\lambda(\cos(\theta)) \right) & 0 \leq r \leq l_r \\ T_{\Omega 2}(r, \theta) = -T_0 \sum_{l \neq 0, +\infty} \frac{1}{(v_l + 2\lambda) \frac{\partial C_{v_l}^\lambda(\mu_0)}{\partial v}} \left(\frac{l_r}{r} \right)^{v_l + 2\lambda} C_{v_l}^\lambda(\cos(\theta)) & l_r \leq r < \infty \end{cases}$$

Regardons maintenant le comportement de cette solution lorsque l'angle d'ouverture du cône est $\pi/2$:



Et essayons de trouver une forme simplifiée du profil de la solution selon l'axe x_1 ($\vartheta=0$) :

$$\mu_0 = 0 \quad C_{v_l}^\lambda(0) \Rightarrow v_l = 2l+1 \Rightarrow \begin{cases} \frac{T_{\Omega 1}(r, \theta)}{T_0} = \left(1 + \sum_{l=0, +\infty} \frac{1}{(2l+1) \frac{\partial C_{2l+1}^\lambda(0)}{\partial v}} \left(\frac{r}{l_r} \right)^{2l+1} C_{2l+1}^\lambda(\cos(\theta)) \right) & 0 \leq r \leq l_r \\ \frac{T_{\Omega 2}(r, \theta)}{T_0} = - \sum_{l=0, +\infty} \frac{1}{(2l+1+2\lambda) \frac{\partial C_{2l+1}^\lambda(0)}{\partial v}} \left(\frac{l_r}{r} \right)^{2l+1+2\lambda} C_{2l+1}^\lambda(\cos(\theta)) & l_r \leq r < \infty \end{cases}$$

$$\|C_{v_l}^\lambda(z)\|^2 = - \frac{(1-\mu_0^2)^{\frac{2\lambda-1}{2}} (v_l + 2\lambda - 1)}{(2v_l + 2\lambda)} \frac{\partial C_{v_l}^\lambda(\mu_0)}{\partial v} C_{v_l-1}^\lambda(\mu_0) \Rightarrow \|C_{2l+1}^\lambda(z)\|^2 = - \frac{(l+\lambda)}{(2l+1+\lambda)} \frac{\partial C_{2l+1}^\lambda(0)}{\partial v} C_{2l}^\lambda(0)$$

$$\text{De plus } \|C_{2l+1}^\lambda(z)\|^2 = \frac{\pi \Gamma(2l+1+2\lambda)}{2^{2\lambda} (2l+1)! (2l+1+\lambda) (\Gamma(\lambda))^2} \Rightarrow \frac{\partial C_{2l+1}^\lambda(0)}{\partial v} C_{2l}^\lambda(0) = - \frac{\pi \Gamma(2l+1+2\lambda)}{2^{2\lambda} (2l+1)! (\Gamma(\lambda))^2 (l+\lambda)}$$

$$\text{Cas } n=3 \quad \frac{\partial P_{2l+1}(0)}{\partial v} P_{2l}(0) = - \frac{2}{2^{2\lambda} (2l+1)} \Rightarrow (2l+1) \frac{\partial P_{2l+1}(0)}{\partial v} = - \frac{1}{P_{2l}(0)}$$

$$\frac{T_{\Omega 1}(r, \theta)}{T_0} = 1 + \sum_{l=0, +\infty} \frac{1}{(2l+1) \frac{\partial P_{2l+1}(0)}{\partial v}} \left(\frac{r}{l_r} \right)^{2l+1} P_{2l+1}(\cos(\theta)) = 1 - \sum_{l=0, +\infty} P_{2l}(0) \left(\frac{r}{l_r} \right)^{2l+1} P_{2l+1}(\cos(\theta))$$

$$\frac{T_{\Omega 2}(r, \theta)}{T_0} = - \sum_{l=0, +\infty} \frac{1}{(2l+2) \frac{\partial P_{2l+1}(0)}{\partial v}} \left(\frac{l_r}{r} \right)^{2l+2} P_{2l+1}(\cos(\theta)) = \sum_{l=0, +\infty} \frac{(2l+1) P_{2l}(0)}{(2l+2)} \left(\frac{l_r}{r} \right)^{2l+2} P_{2l+1}(\cos(\theta))$$

$$\text{Continuité assurée par la partition de l'unité } 1 = \sum_{l=0, +\infty} \frac{(4l+3) P_{2l}(0)}{(2l+2)} P_{2l+1}(\cos(\theta))$$

$$\theta = 0 \Rightarrow P_{2l+1}(1) = 1 \Rightarrow \begin{cases} \frac{T_{\Omega 1}(r, 0)}{T_0} = 1 - \sum_{l=0, +\infty} P_{2l}(0) \left(\frac{r}{l_r} \right)^{2l+1} = 1 - \frac{r}{l_r} \sum_{l=0, +\infty} P_{2l}(0) \left(\frac{r}{l_r} \right)^{2l} \\ \frac{T_{\Omega 2}(r, 0)}{T_0} = \sum_{l=0, +\infty} \frac{(2l+1) P_{2l}(0)}{(2l+2)} \left(\frac{l_r}{r} \right)^{2l+2} \end{cases}$$

Fonction génératrice des polynômes de Legendre

$$\frac{1}{\sqrt{1+t^2-2tz}} = \sum_{l=0}^{\infty} t^l P_l(z) \Rightarrow \int_0^t dt \frac{t}{\sqrt{1+t^2-2tz}} = \sum_{l=0}^{\infty} \frac{t^{l+2}}{l+2} P_l(z)$$

$$\Rightarrow \int_0^t dt \frac{t}{\sqrt{1+t^2}} = \sqrt{1+t^2} - 1 \Rightarrow \sum_{l=0}^{\infty} \frac{t^{l+2}}{l+2} P_l(0) = \sqrt{1+t^2} - 1$$

$$\Rightarrow \sum_{l=0, +\infty} \frac{(2l+1) t^{l+2}}{(2l+2)} P_{2l}(0) = \frac{t^2}{\sqrt{1+t^2}} - (\sqrt{1+t^2} - 1) = 1 + \frac{t^2}{\sqrt{1+t^2}} - \frac{1+t^2}{\sqrt{1+t^2}} = 1 - \frac{1}{\sqrt{1+t^2}}$$

$$z = 0 \Rightarrow \begin{cases} \frac{1}{\sqrt{1+t^2}} = \sum_{l=0}^{\infty} t^l P_l(0) = \sum_{l=0}^{\infty} t^{2l} P_{2l}(0) \Rightarrow \frac{T_{\Omega 1}(r, 0)}{T_0} = 1 - \frac{r}{l_r \sqrt{1 + \left(\frac{r}{l_r} \right)^2}} = 1 - \frac{r}{\sqrt{r^2 + l_r^2}} \\ 1 - \frac{1}{\sqrt{1+t^2}} = \sum_{l=0, +\infty} \frac{(2l+1) t^{l+2}}{(2l+2)} P_{2l}(0) \Rightarrow \frac{T_{\Omega 2}(r, 0)}{T_0} = 1 - \frac{1}{\sqrt{1 + \left(\frac{l_r}{r} \right)^2}} = 1 - \frac{r}{\sqrt{r^2 + l_r^2}} \end{cases}$$

A l'image de la simplification obtenue dans le cas à trois dimensions avec les polynômes de Legendre et l'utilisation de la fonction génératrice, voyons ce qui arrive avec les polynômes de Gegenbauer :

$$(2l+1) \frac{\partial C_{2l+1}^\lambda(0)}{\partial \nu} = - \frac{\pi \Gamma(2l+1+2\lambda)}{2^{2\lambda} (2l)! (\Gamma(\lambda))^2 (l+\lambda) C_{2l}^\lambda(0)} \quad C_\nu^\lambda(1) = \frac{\Gamma(\nu+2\lambda)}{\Gamma(\nu+1)\Gamma(2\lambda)} \Rightarrow C_{2l+1}^\lambda(1) = \frac{\Gamma(2l+1+2\lambda)}{(2l+1)! \Gamma(2\lambda)}$$

$$\frac{T_{\Omega 1}(r, \theta)}{T_0} = 1 - \frac{2^{2\lambda} (\Gamma(\lambda))^2}{\pi} \sum_{l \neq 0, +\infty} \frac{(2l)! (l+\lambda) C_{2l}^\lambda(0)}{\Gamma(2l+1+2\lambda)} \left(\frac{r}{l_r}\right)^{2l+1} C_{2l+1}^\lambda(\cos(\theta))$$

$$\theta = 0 \Rightarrow C_{2l+1}^\lambda(1) = \frac{\Gamma(2l+1+2\lambda)}{(2l+1)! \Gamma(2\lambda)} \Rightarrow \begin{cases} \frac{T_{\Omega 1}(r, 0)}{T_0} = 1 - \frac{2^{2\lambda} (\Gamma(\lambda))^2}{\pi \Gamma(2\lambda)} \sum_{l \neq 0, +\infty} \frac{(l+\lambda) C_{2l}^\lambda(0)}{(2l+1)} \left(\frac{r}{l_r}\right)^{2l+1} \\ \frac{T_{\Omega 2}(r, 0)}{T_0} = \frac{2^{2\lambda} (\Gamma(\lambda))^2}{\pi \Gamma(2\lambda)} \sum_{l \neq 0, +\infty} \frac{(l+\lambda) C_{2l}^\lambda(0)}{(2l+1+2\lambda)} \left(\frac{r}{l_r}\right)^{2l+2\lambda} \end{cases}$$

Voici quelques propriétés que l'on peut tirer des diverses fonctions génératrices des polynôme de Gegenbauer :

$$(1) \quad \frac{1}{(1+t^2-2tz)^\lambda} = \sum_{l=0}^{\infty} t^l C_l^\lambda(z) \quad |t| < 1 \Rightarrow \frac{1}{(1+t^2)^\lambda} = \sum_{l=0}^{\infty} t^{2l} C_{2l}^\lambda(0) \Rightarrow \frac{t}{(1+t^2)^\lambda} = \sum_{l=0}^{\infty} t^{2l+1} C_{2l}^\lambda(0)$$

$$(2) \quad \frac{1-t^2}{(1+t^2-2tz)^{\lambda+1}} = \sum_{l=0}^{\infty} t^l \frac{(\lambda+l)}{\lambda} C_l^\lambda(z) \quad |t| < 1$$

$$(1) \Rightarrow (4) \quad \int_0^t \frac{dt}{(1+t^2-2tz)^\lambda} = \sum_{l=0}^{\infty} \frac{t^{l+1}}{l+1} C_l^\lambda(z) \quad (1) \Rightarrow \frac{t^{2\lambda}}{(1+t^2-2tz)^\lambda} = \sum_{l=0}^{\infty} t^{l+2\lambda} C_l^\lambda(z)$$

$$\Rightarrow (5) \quad \int_0^t \frac{t^{2\lambda} dt}{(1+t^2-2tz)^\lambda} = \sum_{l=0}^{\infty} \frac{t^{l+2\lambda+1}}{l+2\lambda+1} C_l^\lambda(z) \Rightarrow (6) \quad \frac{t^{2\lambda+1}}{(1+t^2-2tz)^\lambda} - (\lambda+1) \int_0^t \frac{t^{2\lambda} dt}{(1+t^2-2tz)^\lambda} = \sum_{l=0}^{\infty} \frac{(l+\lambda) t^{l+2\lambda+1} C_l^\lambda(z)}{l+2\lambda+1}$$

$$(2) \quad \frac{1-t^2}{(1+t^2-2tz)^{\lambda+1}} = \sum_{l=0}^{\infty} t^l C_l^\lambda(z) + \frac{1}{\lambda} \sum_{l=0}^{\infty} l t^l C_l^\lambda(z) = \frac{1}{(1+t^2-2tz)^\lambda} + \frac{1}{\lambda} \sum_{l=0}^{\infty} l t^l C_l^\lambda(z)$$

$$\frac{1-t^2}{(1+t^2-2tz)^{\lambda+1}} - \frac{(1+t^2-2tz)}{(1+t^2-2tz)^{\lambda+1}} = \frac{1}{\lambda} \sum_{l=0}^{\infty} l t^l C_l^\lambda(z) \Rightarrow (7) \quad \frac{2t(z-t)}{(1+t^2-2tz)^{\lambda+1}} = \frac{1}{\lambda} \sum_{l=0}^{\infty} l t^l C_l^\lambda(z)$$

$$(3) \quad \frac{2t(z-t)\lambda}{(1+t^2-2tz)^{\lambda+1}} = \sum_{l=0}^{\infty} l t^l C_l^\lambda(z) \quad \text{valeur en } z=0 \quad (4) \Rightarrow \int_0^t \frac{dt}{(1+t^2)^\lambda} = \sum_{l=0}^{\infty} \frac{t^{l+1}}{l+1} C_l^\lambda(0) = \sum_{l=0}^{\infty} \frac{t^{2l+1}}{2l+1} C_{2l}^\lambda(0)$$

$$\Rightarrow \sum_{l=0}^{\infty} \frac{l+\lambda}{2l+1} t^{2l+1} C_{2l}^\lambda(0) = \frac{1}{2} \sum_{l=0}^{\infty} t^{2l+1} C_{2l}^\lambda(0) + \left(\lambda - \frac{1}{2}\right) \sum_{l=0}^{\infty} \frac{t^{2l+1}}{2l+1} C_{2l}^\lambda(0)$$

$$\Rightarrow \sum_{l=0}^{\infty} \frac{l+\lambda}{2l+1} t^{2l+1} C_{2l}^\lambda(0) = \frac{t}{2(1+t^2)^\lambda} + \left(\lambda - \frac{1}{2}\right) \int_0^t \frac{dt}{(1+t^2)^\lambda}$$

$$(5) \Rightarrow \int_0^t \frac{t^{2\lambda} dt}{(1+t^2)^\lambda} = \sum_{l=0}^{\infty} \frac{t^{2l+2\lambda+1}}{2l+2\lambda+1} C_{2l}^\lambda(0) \quad (6) \Rightarrow \frac{1}{2} \left(\frac{t^{2\lambda+1}}{(1+t^2)^\lambda} - \int_0^t \frac{t^{2\lambda} dt}{(1+t^2)^\lambda} \right) = \sum_{l=0}^{\infty} \frac{(l+\lambda) t^{l+2\lambda+1}}{2l+2\lambda+1} C_l^\lambda(z)$$

$$\int_0^t \frac{dt}{(1+t^2)^\lambda} = t \times {}_2F_1\left(\frac{1}{2}, \lambda; \frac{3}{2}; -t^2\right) \Rightarrow \sum_{l=0}^{\infty} \frac{l+\lambda}{2l+1} t^{2l+1} C_{2l}^\lambda(0) = t \left[\frac{1}{2(1+t^2)^\lambda} + \left(\lambda - \frac{1}{2}\right) {}_2F_1\left(\frac{1}{2}, \lambda; \frac{3}{2}; -t^2\right) \right]$$

Quelques exemples de séries infinies suivant les dimensions pour la solution du domaine Ω_1 :

$$F_{\Omega_1}(t) = 1 - \frac{2^{2\lambda}(\Gamma(\lambda))^2}{\pi \Gamma(2\lambda)} \sum_{l=0}^{\infty} \frac{l+\lambda}{2l+1} t^{2l+1} C_{2l}^{\lambda}(0) = 1 - \frac{2^{2\lambda-1}(\Gamma(\lambda))^2}{\pi \Gamma(2\lambda)} \left(\frac{t}{(1+t^2)^{\lambda}} + (2\lambda-1) \int_0^t \frac{dt}{(1+t^2)^{\lambda}} \right)$$

$$\int_0^t \frac{dt}{(1+t^2)^{\lambda}} = {}_2F_1\left(\frac{1}{2}, \lambda; \frac{3}{2}; -t^2\right) - {}_2F_1\left(\frac{1}{2}, \lambda; \frac{3}{2}; 0\right) \quad {}_2F_1\left(\frac{1}{2}, \lambda; \frac{3}{2}; 0\right) = 0$$

$$\Rightarrow F_{\Omega_1}(t, \lambda) = 1 - \frac{2^{2\lambda-1}(\Gamma(\lambda))^2}{\pi \Gamma(2\lambda)} t \left[\frac{1}{(1+t^2)^{\lambda}} + (2\lambda-1) {}_2F_1\left(\frac{1}{2}, \lambda; \frac{3}{2}; -t^2\right) \right]$$

$$n=3; \lambda=\frac{1}{2} \Rightarrow F_{\Omega_1}(t, \lambda) = 1 - \frac{t}{\sqrt{1+t^2}} \quad n=4; \lambda=1 \Rightarrow F_{\Omega_1}(t, \lambda) = 1 - \frac{2}{\pi} \left(\frac{t}{1+t^2} + \text{ArcTan}(t) \right)$$

$$n=5; \lambda=\frac{3}{2} \Rightarrow F_{\Omega_1}(t, \lambda) = 1 - \frac{t(3+2t^2)}{2(1+t^2)^{\frac{3}{2}}} \quad n=6; \lambda=2 \Rightarrow F_{\Omega_1}(t, \lambda) = 1 - \frac{2}{3\pi} \left(\frac{t(5+3t^2)}{(1+t^2)^2} + 3\text{ArcTan}(t) \right)$$

$$n=7; \lambda=\frac{5}{2} \Rightarrow F_{\Omega_1}(t, \lambda) = 1 - \frac{t(15+20t^2+8t^4)}{8(1+t^2)^{\frac{5}{2}}}$$

Quelques exemples de séries infinies suivant les dimensions pour la solution du domaine Ω_2 :

$$\tau = \frac{1}{t} \Rightarrow F_{\Omega_2}(\tau) = \frac{2^{2\lambda}(\Gamma(\lambda))^2}{\pi \Gamma(2\lambda)} \sum_{l=0}^{\infty} \frac{(l+\lambda)\tau^{l+2\lambda+1}}{2l+2\lambda+1} C_l^{\lambda}(z) = \frac{2^{2\lambda-1}(\Gamma(\lambda))^2}{\pi \Gamma(2\lambda)} \left(\frac{\tau^{2\lambda+1}}{(1+\tau^2)^{\lambda}} - \int_0^{\tau} \frac{t^{2\lambda} dt}{(1+t^2)^{\lambda}} \right)$$

$$\Rightarrow F_{\Omega_2}(\tau) = \frac{2^{2\lambda-1}(\Gamma(\lambda))^2}{\pi \Gamma(2\lambda)} \left(\frac{\tau^{2\lambda+1}}{(1+\tau^2)^{\lambda}} - \frac{\tau^{2\lambda+1} {}_2F_1\left(\lambda, \lambda+\frac{1}{2}, \lambda+\frac{3}{2}; -\tau^2\right)}{2\lambda+1} + \frac{\lim_{\tau \rightarrow 0} \tau^{2\lambda+1} {}_2F_1\left(\lambda, \lambda+\frac{1}{2}, \lambda+\frac{3}{2}; -\tau^2\right)}{2\lambda+1} \right)$$

$$\text{En effet } \lim_{\tau \rightarrow 0} \tau^{2\lambda+1} {}_2F_1\left(\lambda, \lambda+\frac{1}{2}, \lambda+\frac{3}{2}; -\tau^2\right) \neq 0$$

$$n=3; \lambda=\frac{1}{2} \Rightarrow F_{\Omega_2}(\tau) = 1 - \frac{1}{\sqrt{1+\tau^2}} \quad n=4; \lambda=1 \Rightarrow F_{\Omega_2}(\tau) = \frac{2}{\pi} \left(-\frac{\tau}{1+\tau^2} + \text{ArcTan}(\tau) \right)$$

$$n=5; \lambda=\frac{3}{2} \Rightarrow F_{\Omega_2}(\tau) = \frac{1}{2} \left(2 + \frac{\tau^4}{(1+\tau^2)^{\frac{3}{2}}} - \frac{2\tau^2}{(1+\tau^2)^{\frac{1}{2}}} \right) = 1 - \frac{\tau^2(2+\tau^2)}{2(1+\tau^2)^{\frac{3}{2}}}$$

$$n=6; \lambda=2 \Rightarrow F_{\Omega_2}(\tau) = \frac{2}{3\pi} \left(-\frac{\tau(3+5\tau^2)}{(1+\tau^2)^2} + 3\text{ArcTan}(\tau) \right)$$

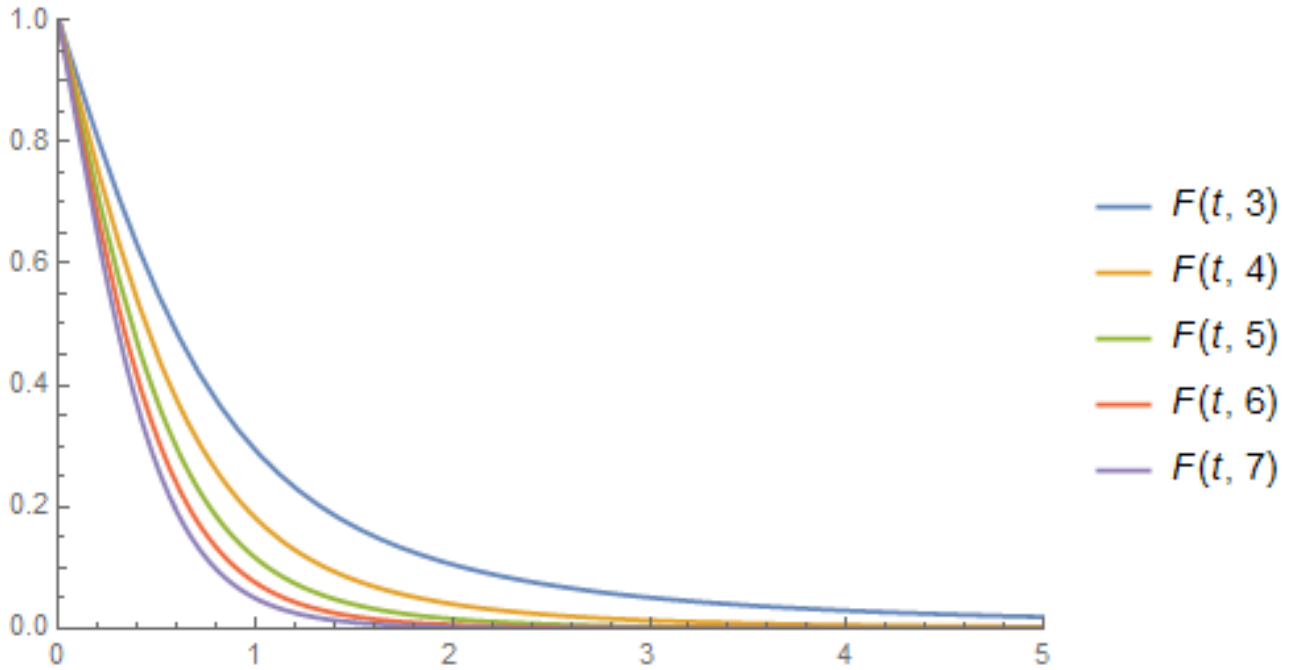
$$n=7; \lambda=\frac{5}{2} \Rightarrow F_{\Omega_2}(\tau) = \left(\frac{8}{3} + \frac{3}{8} \frac{\tau^6}{(1+\tau^2)^{\frac{5}{2}}} - \frac{8+12\tau^2+3\tau^4}{8(1+\tau^2)^{\frac{3}{2}}} \right) = 1 - \frac{8+20\tau^2+15\tau^4}{8(1+\tau^2)^{\frac{5}{2}}}$$

Problèmes aux limites de Laplace sur une hypersphère- p -

Les profils de solution sur l'axe x_1 pour les domaines Ω_1 et Ω_2 :

$$\Rightarrow \frac{T_{\Omega_1}(r,0)}{T_0} = F_{\Omega_1}\left(\frac{r}{l_r}, \lambda\right) \quad 0 \leq \frac{r}{l_r} \leq 1 \quad \frac{T_{\Omega_2}(r,0)}{T_0} = F_{\Omega_2}\left(\frac{l_r}{r}, \lambda\right) \quad 1 \leq \frac{r}{l_r} \leq \infty$$

Le graphe du profil pour les diverses dimensions se présente ainsi :



Exemple : continuons dans la foulée de cet exemple, pour prendre en considération le problème suivant, qui cette fois possède trois zones de décomposition distinctes :

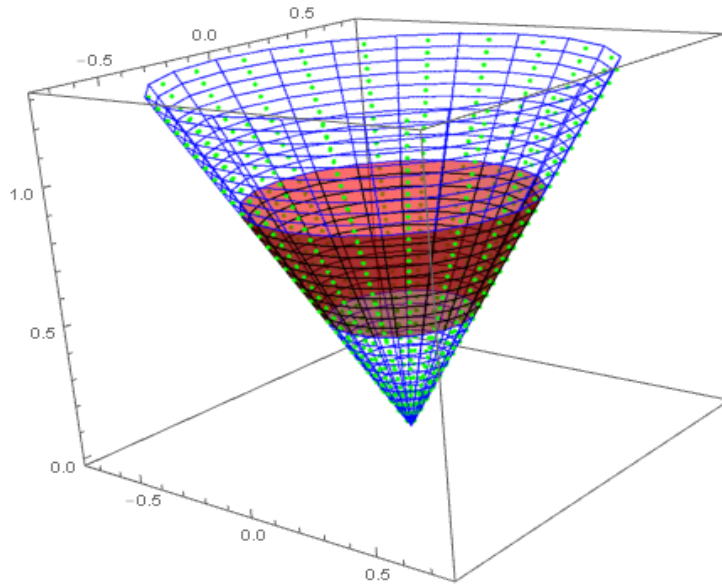
Soit sur le cône n-dimensionnel, le problème suivant :

$$\Delta_{r,\theta}^n T(r,\theta) = 0 \quad T(r,\theta)|_{\vec{x} \in C_{\Omega_n}} \quad r = \|\vec{x}\| = \sqrt{\sum_{i=1}^n x_i^2}$$

$$C_{\Omega_n} = \left\{ \vec{x} / x_1 \in [0, \infty[, \sum_{i=2}^n x_i^2 \in \left[0, x_1^2 \left(\frac{\sin(\vartheta_0)}{\cos(\vartheta_0)} \right)^2 \right] \right\} \quad \partial C_{\Omega_n} = \left\{ \vec{x} / x_1 \in [0, \infty[, \sum_{i=2}^n x_i^2 = x_1^2 (\tan(\vartheta_0))^2 \right\}$$

$$C.L. \quad T(r,\theta)|_{\substack{\theta=\theta_0 \\ r \in [0, l_{r1}]} = 0 \quad T(r,\theta)|_{\substack{\theta=\theta_0 \\ r \in [l_{r1}, l_{r2}]} = T_0 \quad T(r,\theta)|_{\substack{\theta=\theta_0 \\ r \in [l_{r2}, +\infty]} = 0$$

Illustré par une figure en 3 dimensions :



Problème qui décompose en trois sous-problèmes :

$$T(r,\theta) = T_{\Omega_1}(r,\theta) + T_{\Omega_2}(r,\theta) + T_{\Omega_3}(r,\theta)$$

qui sont définis par les conditions aux limites suivantes :

$$\left. \begin{aligned} \Delta T_{\Omega_1}(r,\theta) &= 0 \\ T_{\Omega_1}(r,\theta)|_{r=l_{r1}} &= T_{\Omega_2}(r,\theta)|_{r=l_{r1}} \Leftrightarrow T_{\Omega_1}(r,\theta)|_{r=l_{r1}} = T_{\Omega_2h}(r,\theta)|_{r=l_{r1}} + T_0 \\ T_{\Omega_1}(r,\theta)|_{\substack{\theta=\theta_0 \\ r \in [0, l_{r1}]} &= 0 \end{aligned} \right\} +$$

$$\left. \begin{aligned} \Delta T_{\Omega_2}(r,\theta) &= 0 \rightarrow T_{\Omega_2} = T_0 + T_{\Omega_2h} \\ T_{\Omega_2}(r,\theta)|_{r=l_{r1}} &= T_{\Omega_1}(r,\theta)|_{r=l_{r1}} \Leftrightarrow T_{\Omega_2h}(r,\theta)|_{r=l_{r1}} = T_{\Omega_1}(r,\theta)|_{r=l_{r1}} - T_0 \\ T_{\Omega_2}(r,\theta)|_{\substack{\theta=\theta_0 \\ r \in [l_{r1}, l_{r2}]} &= 0 \end{aligned} \right\} +$$

$$\left. \begin{aligned} \Delta T_{\Omega_3}(r,\theta) &= 0 \\ T_{\Omega_3}(r,\theta)|_{r=l_{r2}} &= T_{\Omega_2}(r,\theta)|_{r=l_{r2}} \Leftrightarrow T_{\Omega_2h}(r,\theta)|_{r=l_{r2}} = T_{\Omega_3}(r,\theta)|_{r=l_{r1}} - T_0 \\ T_{\Omega_3}(r,\theta)|_{\substack{\theta=\theta_0 \\ r \in [l_{r2}, +\infty]} &= 0 \end{aligned} \right\}$$

Auquel il faudra également appliquer les conditions de continuité C_0 et C_1

$$T_{\Omega 1}(r, \theta)|_{r=l_{r1}} = T_{\Omega 2}(r, \theta)|_{r=l_{r1}} \quad T_{\Omega 2}(r, \theta)|_{r=l_{r2}} = T_{\Omega 3}(r, \theta)|_{r=l_{r2}}$$

$$\frac{\partial T_{\Omega 1}(r, \theta)}{\partial r}|_{r=l_{r1}} = \frac{\partial T_{\Omega 2}(r, \theta)}{\partial r}|_{r=l_{r1}} \quad \frac{\partial T_{\Omega 2}(r, \theta)}{\partial r}|_{r=l_{r2}} = \frac{\partial T_{\Omega 3}(r, \theta)}{\partial r}|_{r=l_{r2}}.$$

Pour le problème central on fait intervenir deux fonctions limites au rayon inférieur et supérieur, et l'on introduit la partition de l'unité en série de fonctions propres angulaires. Les solutions formelles des trois problèmes sont donc les suivantes :

$$v_l \text{ tq } C_{v_l}^\lambda(\mu_0) = 0 \quad \mu_0 = \cos(\theta_0) \quad z = \cos(\theta)$$

$$T_{\Omega 1}(r, \theta) = - \sum_{l \neq 0, +\infty} \frac{(2v_l + 2\lambda)}{\frac{\partial C_{v_l}^\lambda(\mu_0)}{\partial v}} \left(\frac{A_l}{(1 - \mu_0^2)^{\frac{2\lambda-1}{2}} (v_l + 2\lambda - 1) C_{v_l-1}^\lambda(\mu_0)} \left(\frac{r}{l_{r1}} \right)^{v_l} \right) C_{v_l}^\lambda(\cos(\theta)) \quad 0 \leq r \leq l_{r1}$$

$$T_{\Omega 2}(r, \theta) = - \sum_{l \neq 0, +\infty} \frac{(2v_l + 2\lambda)}{\frac{\partial C_{v_l}^\lambda(\mu_0)}{\partial v}} \left(\frac{\frac{T_0}{v_l(v_l + 2\lambda)} + \frac{B_l}{(1 - \mu_0^2)^{\frac{2\lambda-1}{2}} (v_l + 2\lambda - 1) C_{v_l-1}^\lambda(\mu_0)} \left(\left(\frac{r}{l_{r2}} \right)^{v_l} - \left(\frac{l_{r2}}{r} \right)^{v_l+2\lambda} \right)}{\left(\left(\frac{l_{r1}}{l_{r2}} \right)^{v_l} - \left(\frac{l_{r2}}{l_{r1}} \right)^{v_l+2\lambda} \right)} + \frac{C_l}{(1 - \mu_0^2)^{\frac{2\lambda-1}{2}} (v_l + 2\lambda - 1) C_{v_l-1}^\lambda(\mu_0)} \left(\left(\frac{r}{l_{r1}} \right)^{v_l} - \left(\frac{l_{r1}}{r} \right)^{v_l+2\lambda} \right)} \right) C_{v_l}^\lambda(\cos(\theta))$$

$$T_{\Omega 3}(r, \theta) = - \sum_{l \neq 0, +\infty} \frac{(2v_l + 2\lambda)}{\frac{\partial C_{v_l}^\lambda(\mu_0)}{\partial v}} \left(\frac{D_l}{(1 - \mu_0^2)^{\frac{2\lambda-1}{2}} (v_l + 2\lambda - 1) C_{v_l-1}^\lambda(\mu_0)} \left(\frac{l_{r2}}{r} \right)^{v_l+2\lambda} \right) C_{v_l}^\lambda(\cos(\theta))$$

B_n et C_n représente les contributions respectives des conditions aux limites inhomogènes en l_{r1} et l_{r2} . En appliquant les conditions de continuité, on obtient deux équations linéaires :

$$\frac{P_{v_l-1}(\mu_0)}{14 \frac{(v_l+1)}{2+3} n=3} \Leftrightarrow \frac{(1 - \mu_0^2)^{\frac{2\lambda-1}{2}} (v_l + 2\lambda - 1) C_{v_l-1}^\lambda(\mu_0)}{v_l(v_l + 2\lambda)} \Rightarrow \begin{cases} A_l = T_0 \frac{(1 - \mu_0^2)^{\frac{2\lambda-1}{2}} (v_l + 2\lambda - 1) C_{v_l-1}^\lambda(\mu_0)}{v_l(v_l + 2\lambda)} + B_l \\ D_l = T_0 \frac{(1 - \mu_0^2)^{\frac{2\lambda-1}{2}} (v_l + 2\lambda - 1) C_{v_l-1}^\lambda(\mu_0)}{v_l(v_l + 2\lambda)} + C_l \end{cases}$$

$$\text{Posons } U = T_0 \frac{(1 - \mu_0^2)^{\frac{2\lambda-1}{2}} (v_l + 2\lambda - 1) C_{v_l-1}^\lambda(\mu_0)}{v_l(v_l + 2\lambda)} \Rightarrow \begin{cases} A_l = U + B_l \\ D_l = U + C_l \end{cases}.$$

Problèmes aux limites de Laplace sur une hypersphère- p-

Les conditions de continuité de la dérivée donne des équations sensiblement plus compliquées, pour cela il faut écrire les dérivées suivantes :

$$\begin{aligned} \left. \frac{d}{dr} \left(\frac{r}{l_{r1}} \right)^{v_l} \right|_{r=l_{r1}} &= \frac{v_l}{l_{r1}} & \left. \frac{d}{dr} \left(\frac{l_{r1}}{r} \right)^{v_l+2\lambda} \right|_{r=l_{r1}} &= -\frac{v_l+2\lambda}{l_{r1}} \\ \left. \frac{d}{dr} \left(\frac{r}{l_{r2}} \right)^{v_l} \right|_{r=l_{r2}} &= \frac{v_l}{l_{r2}} & \left. \frac{d}{dr} \left(\frac{l_{r2}}{r} \right)^{v_l+2\lambda} \right|_{r=l_{r2}} &= -\frac{v_l+2\lambda}{l_{r2}} \\ \left. \frac{d}{dr} \left(\frac{r}{l_{r1}} \right)^{v_l} \right|_{r=l_{r2}} &= \frac{v_l}{l_{r2}} \left(\frac{l_{r2}}{l_{r1}} \right)^{v_l} & \left. \frac{d}{dr} \left(\frac{l_{r1}}{r} \right)^{v_l+2\lambda} \right|_{r=l_{r2}} &= -\frac{v_l+2\lambda}{l_{r2}} \left(\frac{l_{r1}}{l_{r2}} \right)^{v_l+2\lambda} \\ \left. \frac{d}{dr} \left(\frac{r}{l_{r2}} \right)^{v_l} \right|_{r=l_{r1}} &= \frac{v_l}{l_{r1}} \left(\frac{l_{r1}}{l_{r2}} \right)^{v_l} & \left. \frac{d}{dr} \left(\frac{l_{r2}}{r} \right)^{v_l+2\lambda} \right|_{r=l_{r1}} &= -\frac{v_l+2\lambda}{l_{r1}} \left(\frac{l_{r2}}{l_{r1}} \right)^{v_l+2\lambda} \end{aligned}$$

Ce qui donne les équations suivantes :

$$\begin{aligned} v_l A_l &= \frac{\left(v_l \left(\frac{l_{r1}}{l_{r2}} \right)^{v_l} + (v_l+2\lambda) \left(\frac{l_{r2}}{l_{r1}} \right)^{v_l+2\lambda} \right) B_l}{\left(\left(\frac{l_{r1}}{l_{r2}} \right)^{v_l} - \left(\frac{l_{r2}}{l_{r1}} \right)^{v_l+2\lambda} \right)} + \frac{(2v_l+2\lambda) C_l}{\left(\left(\frac{l_{r2}}{l_{r1}} \right)^{v_l} - \left(\frac{l_{r1}}{l_{r2}} \right)^{v_l+2\lambda} \right)} \\ -(v_l+2\lambda) D_l &= \frac{(2v_l+2\lambda) B_l}{\left(\left(\frac{l_{r1}}{l_{r2}} \right)^{v_l} - \left(\frac{l_{r2}}{l_{r1}} \right)^{v_l+2\lambda} \right)} + \frac{\left(v_l \left(\frac{l_{r2}}{l_{r1}} \right)^{v_l} + (v_l+2\lambda) \left(\frac{l_{r1}}{l_{r2}} \right)^{v_l+2\lambda} \right) C_l}{\left(\left(\frac{l_{r2}}{l_{r1}} \right)^{v_l} - \left(\frac{l_{r1}}{l_{r2}} \right)^{v_l+2\lambda} \right)} \\ \Rightarrow -(v_l+2\lambda) D_l &= -(v_l+2\lambda) C_l + \frac{(2v_l+2\lambda) B_l}{\left(\left(\frac{l_{r1}}{l_{r2}} \right)^{v_l} - \left(\frac{l_{r2}}{l_{r1}} \right)^{v_l+2\lambda} \right)} + \frac{(2v_l+2\lambda) C_l \left(\frac{l_{r2}}{l_{r1}} \right)^{v_l+2\lambda}}{\left(\left(\frac{l_{r2}}{l_{r1}} \right)^{v_l} - \left(\frac{l_{r1}}{l_{r2}} \right)^{v_l+2\lambda} \right)} \end{aligned}$$

que l'on peut légèrement simplifier :

$$\begin{aligned} v_l A_l &= v_l B_l + \frac{(2v_l+2\lambda) \left(\frac{l_{r2}}{l_{r1}} \right)^{v_l+2\lambda} B_l}{\left(\left(\frac{l_{r1}}{l_{r2}} \right)^{v_l} - \left(\frac{l_{r2}}{l_{r1}} \right)^{v_l+2\lambda} \right)} + \frac{(2v_l+2\lambda) C_l}{\left(\left(\frac{l_{r2}}{l_{r1}} \right)^{v_l} - \left(\frac{l_{r1}}{l_{r2}} \right)^{v_l+2\lambda} \right)} \\ -(v_l+2\lambda) D_l &= -(v_l+2\lambda) C_l + \frac{(2v_l+2\lambda) B_l}{\left(\left(\frac{l_{r1}}{l_{r2}} \right)^{v_l} - \left(\frac{l_{r2}}{l_{r1}} \right)^{v_l+2\lambda} \right)} + \frac{(2v_l+2\lambda) \left(\frac{l_{r2}}{l_{r1}} \right)^{\lambda_n} C_l}{\left(\left(\frac{l_{r2}}{l_{r1}} \right)^{v_l} - \left(\frac{l_{r1}}{l_{r2}} \right)^{v_l+2\lambda} \right)} \end{aligned}$$

Ce qui donne :

$$A_l - B_l = U \quad \text{et} \quad D_l - C_l = U$$

$$v_l U = \frac{(2v_l + 2\lambda) \left(\frac{l_{r2}}{l_{r1}} \right)^{v_l + 2\lambda} B_l}{\left(\left(\frac{l_{r1}}{l_{r2}} \right)^{v_l} - \left(\frac{l_{r2}}{l_{r1}} \right)^{v_l + 2\lambda} \right)} + \frac{(2v_l + 2\lambda) C_l}{\left(\left(\frac{l_{r2}}{l_{r1}} \right)^{v_l} - \left(\frac{l_{r1}}{l_{r2}} \right)^{v_l + 2\lambda} \right)}$$

$$-(v_l + 2\lambda)U = \frac{(2v_l + 2\lambda) B_l}{\left(\left(\frac{l_{r1}}{l_{r2}} \right)^{v_l} - \left(\frac{l_{r2}}{l_{r1}} \right)^{v_l + 2\lambda} \right)} + \frac{(2v_l + 2\lambda) \left(\frac{l_{r2}}{l_{r1}} \right)^{v_l} C_l}{\left(\left(\frac{l_{r2}}{l_{r1}} \right)^{v_l} - \left(\frac{l_{r1}}{l_{r2}} \right)^{v_l + 2\lambda} \right)}$$

Posons :

$$U = T_0 \frac{(1 - \mu_0^2)^{\frac{2\lambda-1}{2}} (v_l + 2\lambda - 1) C_{v_l-1}^\lambda(\mu_0)}{v_l (v_l + 2\lambda)} \quad B'_l = \frac{B_l}{\left(\left(\frac{l_{r1}}{l_{r2}} \right)^{v_l} - \left(\frac{l_{r2}}{l_{r1}} \right)^{v_l + 2\lambda} \right)} \quad C'_l = \frac{C_l}{\left(\left(\frac{l_{r2}}{l_{r1}} \right)^{v_l} - \left(\frac{l_{r1}}{l_{r2}} \right)^{v_l + 2\lambda} \right)}$$

$$(1) \quad A_l - B_l = U$$

$$(2) \quad D_l - C_l = U$$

$$(3) \quad (2v_l + 2\lambda) \left(\frac{l_{r2}}{l_{r1}} \right)^{v_l + 2\lambda} B'_l + (2v_l + 2\lambda) C'_l = v_l U$$

$$(4) \quad (2v_l + 2\lambda) B'_l + (2v_l + 2\lambda) \left(\frac{l_{r2}}{l_{r1}} \right)^{v_l} C'_l = -(v_l + 2\lambda) U$$

Et l'inversion du système final sur Bn et Cn donne :

$$U = T_0 \frac{(1 - \mu_0^2)^{\frac{2\lambda-1}{2}} (v_l + 2\lambda - 1) C_{v_l-1}^\lambda(\mu_0)}{v_l (v_l + 2\lambda)} \quad B'_l = \frac{B_l}{\left(\left(\frac{l_{r1}}{l_{r2}} \right)^{v_l} - \left(\frac{l_{r2}}{l_{r1}} \right)^{v_l + 2\lambda} \right)} \quad C'_l = \frac{C_l}{\left(\left(\frac{l_{r2}}{l_{r1}} \right)^{v_l} - \left(\frac{l_{r1}}{l_{r2}} \right)^{v_l + 2\lambda} \right)}$$

$$(1) \quad A_l - B_l = U$$

$$(2) \quad D_l - C_l = U$$

$$(3) \quad \left(\frac{l_{r2}}{l_{r1}} \right)^{v_l + 2\lambda} B'_l + C'_l = \frac{v_l U}{(2v_l + 2\lambda)}$$

$$(4) \quad B'_l + \left(\frac{l_{r2}}{l_{r1}} \right)^{v_l} C'_l = -\frac{(v_l + 2\lambda) U}{(2v_l + 2\lambda)}$$

$$B'_l = -\left(\frac{l_{r2}}{l_{r1}} \right)^{v_l} C'_l - \frac{(v_l + 2\lambda) U}{(2v_l + 2\lambda)} = -\left(\frac{l_{r2}}{l_{r1}} \right)^{v_l} \left(\frac{v_l U}{(2v_l + 2\lambda)} - \left(\frac{l_{r2}}{l_{r1}} \right)^{v_l + 2\lambda} B'_l \right) - \frac{(v_l + 2\lambda) U}{(2v_l + 2\lambda)}$$

$$\Rightarrow B'_l \left(1 - \left(\frac{l_{r2}}{l_{r1}} \right)^{2v_l + 2\lambda} \right) = -\left(\frac{l_{r2}}{l_{r1}} \right)^{v_l} \frac{v_l U}{(2v_l + 2\lambda)} - \frac{(v_l + 2\lambda) U}{(2v_l + 2\lambda)} = -\frac{U}{(2v_l + 2\lambda)} \left(\left(\frac{l_{r2}}{l_{r1}} \right)^{v_l} v_l + (v_l + 2\lambda) \right)$$

Problèmes aux limites de Laplace sur une hypersphère- p -

Soit :

$$B'_l = - \frac{U \left(\left(\frac{l_{r2}}{l_{r1}} \right)^{v_l} v_l + v_l + 2\lambda \right)}{(2v_l + 2\lambda) \left(\left(\frac{l_{r2}}{l_{r1}} \right)^{v_l} \left(\left(\frac{l_{r1}}{l_{r2}} \right)^{v_l} - \left(\frac{l_{r2}}{l_{r1}} \right)^{v_l+2\lambda} \right)} = - \frac{U \left(\lambda_n + (v_l + 2\lambda) \left(\frac{l_{r1}}{l_{r2}} \right)^{v_l} \right)}{(2v_l + 2\lambda) \left(\left(\frac{l_{r1}}{l_{r2}} \right)^{v_l} - \left(\frac{l_{r2}}{l_{r1}} \right)^{v_l+2\lambda} \right)}$$

$$C'_l = - \left(\frac{l_{r2}}{l_{r1}} \right)^{v_l+2\lambda} B'_n + \frac{\lambda_n U}{(2v_l + 2\lambda)} = \frac{U \left(v_l + (v_l + 2\lambda) \left(\frac{l_{r1}}{l_{r2}} \right)^{v_l} \right) \left(\frac{l_{r2}}{l_{r1}} \right)^{v_l+2\lambda}}{(2v_l + 2\lambda) \left(\left(\frac{l_{r1}}{l_{r2}} \right)^{v_l} - \left(\frac{l_{r2}}{l_{r1}} \right)^{v_l+2\lambda} \right)} + \frac{v_l U}{(2\lambda_n + 1)}$$

$$C'_l = - \frac{U \left(v_l \left(\frac{l_{r2}}{l_{r1}} \right)^{v_l} + (v_l + 2\lambda) \right)}{(2v_l + 2\lambda) \left(\left(\frac{l_{r2}}{l_{r1}} \right)^{v_l} - \left(\frac{l_{r1}}{l_{r2}} \right)^{v_l+2\lambda} \right)} + \frac{v_l U \left(\left(\frac{l_{r2}}{l_{r1}} \right)^{v_l} - \left(\frac{l_{r1}}{l_{r2}} \right)^{v_l+2\lambda} \right)}{(2v_l + 2\lambda) \left(\left(\frac{l_{r2}}{l_{r1}} \right)^{v_l} - \left(\frac{l_{r1}}{l_{r2}} \right)^{v_l+2\lambda} \right)}$$

$$C'_l = - \frac{U}{(2v_l + 2\lambda) \left(\left(\frac{l_{r2}}{l_{r1}} \right)^{v_l} - \left(\frac{l_{r1}}{l_{r2}} \right)^{v_l+2\lambda} \right)} \left(v_l + 2\lambda + v_l \left(\frac{l_{r1}}{l_{r2}} \right)^{v_l+2\lambda} \right)$$

En revenant aux coefficients initiaux A_l, B_l, C_l, D_l :

$$B_l = - \frac{U \left(v_l + (v_l + 2\lambda) \left(\frac{l_{r1}}{l_{r2}} \right)^{v_l} \right)}{(2v_l + 2\lambda)} \quad C_l = - \frac{U \left(v_l + 2\lambda + v_l \left(\frac{l_{r1}}{l_{r2}} \right)^{v_l+2\lambda} \right)}{(2v_l + 2\lambda)}$$

$$A_l = U + B_l = \frac{U(v_l + 2\lambda)}{(2v_l + 2\lambda)} \left(1 - \left(\frac{l_{r1}}{l_{r2}} \right)^{v_l} \right) \quad D_l = U + C_l = \frac{U v_l}{(2v_l + 2\lambda)} \left(1 - \left(\frac{l_{r1}}{l_{r2}} \right)^{v_l+2\lambda} \right)$$

Ce qui donne finalement les solutions :

$$v_l \text{ tq } C_{v_l}^\lambda(\mu_0) = 0 \quad \mu_0 = \cos(\theta_0) \quad z = \cos(\theta)$$

$$U = T_0 \frac{(1 - \mu_0^2)^{\frac{2\lambda-1}{2}} (v_l + 2\lambda - 1) C_{v_l-1}^\lambda(\mu_0)}{v_l(v_l + 2\lambda)} \Leftrightarrow (1 - \mu_0^2)^{\frac{2\lambda-1}{2}} (v_l + 2\lambda - 1) C_{v_l-1}^\lambda(\mu_0) = v_l(v_l + 2\lambda) \frac{U}{T_0}$$

$$T_{\Omega 1}(r, \theta) = -T_0 \sum_{l \neq 0, +\infty} \frac{1}{v_l \frac{\partial C_{v_l}^\lambda(\mu_0)}{\partial v}} \left(1 - \left(\frac{l_{r1}}{l_{r2}} \right)^{v_l} \right) \left(\frac{r}{l_{r1}} \right)^{v_l} C_{v_l}^\lambda(\cos(\theta)) \quad 0 \leq r \leq l_{r1}$$

$$\text{Comme } 1 = - \sum_{l \neq 0, +\infty} \frac{(2v_l + 2\lambda)}{v_l(v_l + 2\lambda) \frac{\partial C_{v_l}^\lambda(\mu_0)}{\partial v}} C_{v_l}^\lambda(\cos(\theta)) \Rightarrow$$

$$T_{\Omega 2}(r, \theta) = T_0 + T_0 \sum_{l \neq 0, +\infty} \left[\frac{\left(v_l + (v_l + 2\lambda) \left(\frac{l_{r1}}{l_{r2}} \right)^{v_l} \right) \left(\left(\frac{r}{l_{r2}} \right)^{v_l} - \left(\frac{l_{r2}}{r} \right)^{v_l+2\lambda} \right)}{v_l(v_l + 2\lambda) \frac{\partial C_{v_l}^\lambda(\mu_0)}{\partial v} \left(\left(\frac{l_{r1}}{l_{r2}} \right)^{v_l} - \left(\frac{l_{r2}}{l_{r1}} \right)^{v_l+2\lambda} \right)} + \right. \\ \left. + \frac{\left(v_l + 2\lambda + v_l \left(\frac{l_{r1}}{l_{r2}} \right)^{v_l+2\lambda} \right) \left(\left(\frac{r}{l_{r1}} \right)^{v_l} - \left(\frac{l_{r1}}{r} \right)^{v_l+2\lambda} \right)}{v_l(v_l + 2\lambda) \frac{\partial C_{v_l}^\lambda(\mu_0)}{\partial v} \left(\left(\frac{l_{r2}}{l_{r1}} \right)^{v_l} - \left(\frac{l_{r1}}{l_{r2}} \right)^{v_l+2\lambda} \right)} \right] C_{v_l}^\lambda(\cos(\theta))$$

$$T_{\Omega 3}(r, \theta) = -T_0 \sum_{l \neq 0, +\infty} \frac{1}{(v_l + 2\lambda) \frac{\partial C_{v_l}^\lambda(\mu_0)}{\partial v}} \left(1 - \left(\frac{l_{r1}}{l_{r2}} \right)^{v_l+2\lambda} \right) \left(\frac{l_{r2}}{r} \right)^{v_l+2\lambda} C_{v_l}^\lambda(\cos(\theta))$$

On peut tenter de simplifier l'expression de la solution sur le domaine :

$$\text{Or } \left(\left(\frac{l_{r1}}{l_{r2}} \right)^{v_l} - \left(\frac{l_{r2}}{l_{r1}} \right)^{v_l+2\lambda} \right) = - \left(\frac{l_{r2}}{l_{r1}} \right)^{2\lambda} \left(\left(\frac{l_{r2}}{l_{r1}} \right)^{v_l} - \left(\frac{l_{r1}}{l_{r2}} \right)^{v_l+2\lambda} \right) \Leftrightarrow \left(\left(\frac{l_{r2}}{l_{r1}} \right)^{v_l} - \left(\frac{l_{r1}}{l_{r2}} \right)^{v_l+2\lambda} \right) = - \left(\frac{l_{r1}}{l_{r2}} \right)^{2\lambda} \left(\left(\frac{l_{r1}}{l_{r2}} \right)^{v_l} - \left(\frac{l_{r2}}{l_{r1}} \right)^{v_l+2\lambda} \right)$$

$$T_{\Omega 2}(r, \theta) = T_0 + T_0 \sum_{l \neq 0, +\infty} \left[\frac{\left(v_l + (v_l + 2\lambda) \left(\frac{l_{r1}}{l_{r2}} \right)^{v_l} \right) \left(\left(\frac{r}{l_{r2}} \right)^{v_l} - \left(\frac{l_{r2}}{r} \right)^{v_l+2\lambda} \right)}{v_l(v_l + 2\lambda) \frac{\partial C_{v_l}^{\lambda}(\mu_0)}{\partial v} \left(\left(\frac{l_{r1}}{l_{r2}} \right)^{v_l} - \left(\frac{l_{r2}}{l_{r1}} \right)^{v_l+2\lambda} \right)} + \right. \\ \left. - \frac{\left(\frac{l_{r1}}{l_{r2}} \right)^{-2\lambda} \left(v_l + 2\lambda + v_l \left(\frac{l_{r1}}{l_{r2}} \right)^{v_l+2\lambda} \right) \left(\left(\frac{r}{l_{r1}} \right)^{v_l} - \left(\frac{l_{r1}}{r} \right)^{v_l+2\lambda} \right)}{v_l(v_l + 2\lambda) \frac{\partial C_{v_l}^{\lambda}(\mu_0)}{\partial v} \left(\left(\frac{l_{r1}}{l_{r2}} \right)^{v_l} - \left(\frac{l_{r2}}{l_{r1}} \right)^{v_l+2\lambda} \right)} \right] C_{v_l}^{\lambda}(\cos(\theta))$$

$$T_{\Omega 2}(r, \theta) = T_0 + T_0 \sum_{l \neq 0, +\infty} \frac{C_{v_l}^{\lambda}(\cos(\theta))}{v_l(v_l + 2\lambda) \frac{\partial C_{v_l}^{\lambda}(\mu_0)}{\partial v} \left(\left(\frac{l_{r1}}{l_{r2}} \right)^{v_l} - \left(\frac{l_{r2}}{l_{r1}} \right)^{v_l+2\lambda} \right)} \times$$

$$\left(\left(v_l + (v_l + 2\lambda) \left(\frac{l_{r1}}{l_{r2}} \right)^{v_l} \right) \left(\left(\frac{r}{l_{r2}} \right)^{v_l} - \left(\frac{l_{r2}}{r} \right)^{v_l+2\lambda} \right) - \left(v_l + 2\lambda + v_l \left(\frac{l_{r1}}{l_{r2}} \right)^{v_l+2\lambda} \right) \left(\frac{l_{r2}}{l_{r1}} \right)^{2\lambda} \left(\left(\frac{r}{l_{r1}} \right)^{v_l} - \left(\frac{l_{r1}}{r} \right)^{v_l+2\lambda} \right) \right)$$

L'expression

$$\left(\left(v_l + (v_l + 2\lambda) \left(\frac{l_{r1}}{l_{r2}} \right)^{v_l} \right) \left(\left(\frac{r}{l_{r2}} \right)^{v_l} - \left(\frac{l_{r2}}{r} \right)^{v_l+2\lambda} \right) - \left(v_l + 2\lambda + v_l \left(\frac{l_{r1}}{l_{r2}} \right)^{v_l+2\lambda} \right) \left(\frac{l_{r2}}{l_{r1}} \right)^{2\lambda} \left(\left(\frac{r}{l_{r1}} \right)^{v_l} - \left(\frac{l_{r1}}{r} \right)^{v_l+2\lambda} \right) \right)$$

$$= \left(v_l \left(\frac{r}{l_{r2}} \right)^{v_l} + (v_l + 2\lambda) \left(\frac{l_{r1}}{l_{r2}} \right)^{v_l} \left(\frac{r}{l_{r2}} \right)^{v_l} - v_l \left(\frac{l_{r2}}{r} \right)^{v_l+2\lambda} - (v_l + 2\lambda) \left(\frac{l_{r1}}{l_{r2}} \right)^{v_l} \left(\frac{l_{r2}}{r} \right)^{v_l+2\lambda} \right. \\ \left. - (v_l + 2\lambda) \left(\frac{l_{r2}}{l_{r1}} \right)^{2\lambda} \left(\frac{r}{l_{r1}} \right)^{v_l} - v_l \left(\frac{l_{r1}}{l_{r2}} \right)^{v_l+2\lambda} \left(\frac{l_{r2}}{l_{r1}} \right)^{2\lambda} \left(\frac{r}{l_{r1}} \right)^{v_l} + (v_l + 2\lambda) \left(\frac{l_{r2}}{l_{r1}} \right)^{2\lambda} \left(\frac{l_{r1}}{r} \right)^{v_l+2\lambda} + v_l \left(\frac{l_{r1}}{l_{r2}} \right)^{v_l+2\lambda} \left(\frac{l_{r2}}{l_{r1}} \right)^{2\lambda} \left(\frac{l_{r1}}{r} \right)^{v_l+2\lambda} \right)$$

$$= \left((v_l + 2\lambda) \left(\frac{r}{l_{r2}} \right)^{v_l} \left(\frac{l_{r1}}{l_{r2}} \right)^{v_l} - (v_l + 2\lambda) \left(\frac{r}{l_{r2}} \right)^{v_l} \left(\frac{l_{r2}}{l_{r1}} \right)^{v_l+2\lambda} + v_l \left(\frac{r}{l_{r2}} \right)^{v_l} - v_l \left(\frac{r}{l_{r2}} \right)^{v_l} \right. \\ \left. + v_l \left(\frac{l_{r1}}{l_{r2}} \right)^{v_l} \left(\frac{l_{r1}}{r} \right)^{v_l+2\lambda} - v_l \left(\frac{l_{r2}}{l_{r1}} \right)^{v_l+2\lambda} \left(\frac{l_{r1}}{r} \right)^{v_l+2\lambda} - (v_l + 2\lambda) \left(\frac{l_{r1}}{l_{r2}} \right)^{v_l} \left(\frac{l_{r2}}{r} \right)^{v_l+2\lambda} + (v_l + 2\lambda) \left(\frac{l_{r2}}{l_{r1}} \right)^{v_l+2\lambda} \left(\frac{l_{r1}}{l_{r2}} \right)^{v_l} \left(\frac{l_{r1}}{r} \right)^{v_l+2\lambda} \right)$$

$$= \left(\left(\frac{l_{r1}}{l_{r2}} \right)^{v_l} - \left(\frac{l_{r2}}{l_{r1}} \right)^{v_l+2\lambda} \right) \left((v_l + 2\lambda) \left(\frac{r}{l_{r2}} \right)^{v_l} + v_l \left(\frac{l_{r1}}{r} \right)^{v_l+2\lambda} \right)$$

$$\Rightarrow T_{\Omega 2}(r, \theta) = T_0 + T_0 \sum_{l \neq 0, +\infty} \frac{\left((v_l + 2\lambda) \left(\frac{r}{l_{r2}} \right)^{v_l} + v_l \left(\frac{l_{r1}}{r} \right)^{v_l+2\lambda} \right) C_{v_l}^{\lambda}(\cos(\theta))}{v_l(v_l + 2\lambda) \frac{\partial C_{v_l}^{\lambda}(\mu_0)}{\partial v}}$$

.

Résumons pour le problème :

$$\Delta T(r, \theta) = 0$$

$$T(r, \theta)|_{\substack{\theta=\theta_0 \\ r \in [0, l_{r1}]} = 0 \quad T(r, \theta)|_{\substack{\theta=\theta_0 \\ r \in [l_{r1}, l_{r2}]} = T_0 \quad T(r, \theta)|_{\substack{\theta=\theta_0 \\ r \in [l_{r2}, +\infty]} = 0$$

$$\Omega_1 = [0, \theta_0] \times [0, l_{r1}] \quad \Omega_2 = [0, \theta_0] \times [l_{r1}, l_{r2}] \quad \Omega_3 = [0, \theta_0] \times [l_{r2}, +\infty]$$

Le résultat trouvé pour les solutions dans les trois sous-domaines du cône sphérique :

$$v_l \text{ tq } C_{v_l}^\lambda(\mu_0) = 0 \quad \mu_0 = \cos(\theta_0) \quad z = \cos(\theta)$$

$$T_{\Omega 1}(r, \theta) = -T_0 \sum_{l \neq 0, +\infty} \frac{1}{v_l} \frac{\partial C_{v_l}^\lambda(\mu_0)}{\partial v} \left(\left(\frac{r}{l_{r1}} \right)^{v_l} - \left(\frac{r}{l_{r2}} \right)^{v_l} \right) C_{v_l}^\lambda(\cos(\theta)) \quad 0 \leq r \leq l_{r1}$$

$$T_{\Omega 2}(r, \theta) = T_0 + T_0 \sum_{l \neq 0, +\infty} \frac{\left((v_l + 2\lambda) \left(\frac{r}{l_{r2}} \right)^{v_l} + v_l \left(\frac{l_{r1}}{r} \right)^{v_l + 2\lambda} \right) C_{v_l}^\lambda(\cos(\theta))}{v_l (v_l + 2\lambda) \frac{\partial C_{v_l}^\lambda(\mu_0)}{\partial v}} \quad l_{r1} \leq r \leq l_{r2}$$

$$T_{\Omega 3}(r, \theta) = -T_0 \sum_{l \neq 0, +\infty} \frac{1}{(v_l + 2\lambda) \frac{\partial C_{v_l}^\lambda(\mu_0)}{\partial v}} \left(\left(\frac{l_{r2}}{r} \right)^{v_l + 2\lambda} - \left(\frac{l_{r1}}{r} \right)^{v_l + 2\lambda} \right) C_{v_l}^\lambda(\cos(\theta)) \quad l_{r2} \leq r \leq +\infty$$

Les expressions vérifient bien la condition de continuité :

$$\frac{T_{\Omega 1}(l_{r1}, \theta)}{T_0} = \sum_{l \neq 0, +\infty} \frac{1}{v_l} \frac{\partial C_{v_l}^\lambda(\mu_0)}{\partial v} \left(\left(\frac{l_{r1}}{l_{r2}} \right)^{v_l} - 1 \right) C_{v_l}^\lambda(\cos(\theta))$$

$$\frac{T_{\Omega 2}(l_{r1}, \theta)}{T_0} = 1 + \sum_{l \neq 0, +\infty} \frac{\left((v_l + 2\lambda) \left(\frac{r}{l_{r2}} \right)^{v_l} + v_l \right) C_{v_l}^\lambda(\cos(\theta))}{v_l (v_l + 2\lambda) \frac{\partial C_{v_l}^\lambda(\mu_0)}{\partial v}} \leftarrow 1 = - \sum_{l \neq 0, +\infty} \frac{(2v_l + 2\lambda)}{v_l (v_l + 2\lambda) \frac{\partial C_{v_l}^\lambda(\mu_0)}{\partial v}} C_{v_l}^\lambda(\cos(\theta))$$

$$\frac{T_{\Omega 2}(l_{r1}, \theta)}{T_0} = \sum_{l \neq 0, +\infty} \frac{(v_l + 2\lambda) \left(\left(\frac{l_{r1}}{l_{r2}} \right)^{v_l} - 1 \right)}{v_l (v_l + 2\lambda) \frac{\partial C_{v_l}^\lambda(\mu_0)}{\partial v}} C_{v_l}^\lambda(\cos(\theta)) = \sum_{l \neq 0, +\infty} \frac{\left(\left(\frac{l_{r1}}{l_{r2}} \right)^{v_l} - 1 \right)}{v_l \frac{\partial C_{v_l}^\lambda(\mu_0)}{\partial v}} C_{v_l}^\lambda(\cos(\theta))$$

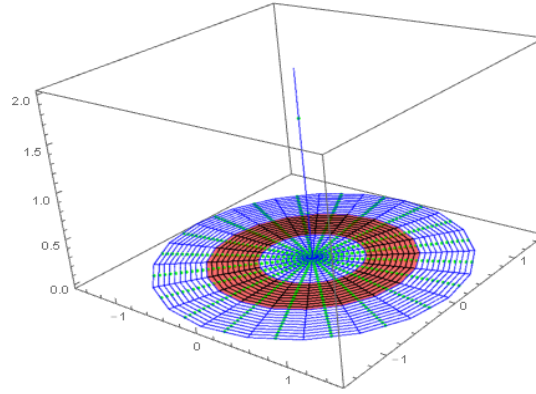
$$\frac{T_{\Omega 2}(l_{r2}, \theta)}{T_0} = - \sum_{l \neq 0, +\infty} \frac{(2v_l + 2\lambda)}{v_l (v_l + 2\lambda) \frac{\partial C_{v_l}^\lambda(\mu_0)}{\partial v}} C_{v_l}^\lambda(\cos(\theta)) + \sum_{l \neq 0, +\infty} \frac{\left((v_l + 2\lambda) + v_l \left(\frac{l_{r1}}{l_{r2}} \right)^{v_l + 2\lambda} \right) C_{v_l}^\lambda(\cos(\theta))}{v_l (v_l + 2\lambda) \frac{\partial C_{v_l}^\lambda(\mu_0)}{\partial v}}$$

$$\frac{T_{\Omega 2}(l_{r2}, \theta)}{T_0} = \sum_{l \neq 0, +\infty} \frac{C_{v_l}^\lambda(\cos(\theta))}{v_l (v_l + 2\lambda) \frac{\partial C_{v_l}^\lambda(\mu_0)}{\partial v}} \left(v_l \left(\frac{l_{r1}}{l_{r2}} \right)^{v_l + 2\lambda} - v_l \right) = \sum_{l \neq 0, +\infty} \frac{C_{v_l}^\lambda(\cos(\theta))}{(v_l + 2\lambda) \frac{\partial C_{v_l}^\lambda(\mu_0)}{\partial v}} \left(\left(\frac{l_{r1}}{l_{r2}} \right)^{v_l + 2\lambda} - 1 \right)$$

$$\frac{T_{\Omega 3}(r, \theta)}{T_0} = \sum_{l \neq 0, +\infty} \frac{1}{(v_l + 2\lambda) \frac{\partial C_{v_l}^\lambda(\mu_0)}{\partial v}} \left(\left(\frac{l_{r1}}{l_{r2}} \right)^{v_l + 2\lambda} - 1 \right) C_{v_l}^\lambda(\cos(\theta))$$

Problèmes aux limites de Laplace sur une hypersphère- p-

Pour un cône d'angle ouvert $\vartheta_0 = \pi/2$:



La solution se présente comme suit :

$$\theta_0 = \frac{\pi}{2} \Rightarrow \mu_0 = \cos(\theta_0) = 0 \quad v_l \text{ tq } C_{v_l}^\lambda(0) = 0 \Rightarrow v_l = 2l+1 \quad z = \cos(\theta)$$

$$T_{\Omega 1}(r, \theta) = -T_0 \sum_{l \neq 0, +\infty} \frac{1}{(2l+1) \frac{\partial C_{2l+1}^\lambda(0)}{\partial v}} \left(\left(\frac{r}{l_{r1}} \right)^{2l+1} - \left(\frac{r}{l_{r2}} \right)^{2l+1} \right) C_{2l+1}^\lambda(\cos(\theta)) \quad 0 \leq r \leq l_{r1}$$

$$T_{\Omega 2}(r, \theta) = T_0 + T_0 \sum_{l \neq 0, +\infty} \frac{\left((2l+1+2\lambda) \left(\frac{r}{l_{r2}} \right)^{2l+1} + (2l+1) \left(\frac{l_{r1}}{r} \right)^{v_l+2\lambda} \right) C_{2l+1}^\lambda(\cos(\theta))}{(2l+1+2\lambda)(2l+1) \frac{\partial C_{2l+1}^\lambda(0)}{\partial v}} \quad l_{r1} \leq r \leq l_{r2}$$

$$T_{\Omega 3}(r, \theta) = -T_0 \sum_{l \neq 0, +\infty} \frac{1}{(2l+1+2\lambda) \frac{\partial C_{2l+1}^\lambda(0)}{\partial v}} \left(\left(\frac{l_{r2}}{r} \right)^{2l+1+2\lambda} - \left(\frac{l_{r1}}{r} \right)^{2l+1+2\lambda} \right) C_{2l+1}^\lambda(\cos(\theta)) \quad l_{r2} \leq r \leq +\infty$$

Et nous cherchons à établir le profil sur l'axe x_1 soit en $\vartheta=0$:

$$\text{Comme } C_{2l+1}^\lambda(1) = \frac{\Gamma(2l+1+2\lambda)}{(2l+1)\Gamma(2\lambda)} \quad \text{et} \quad (2l+1) \frac{\partial C_{2l+1}^\lambda(0)}{\partial v} = -\frac{\pi \Gamma(2l+1+2\lambda)}{2^{2\lambda} (2l)! (\Gamma(\lambda))^2 (l+\lambda) C_{2l}^\lambda(0)}$$

$$\Rightarrow \frac{C_{2l+1}^\lambda(1)}{(2l+1) \frac{\partial C_{2l+1}^\lambda(0)}{\partial v}} = -\frac{2^{2\lambda} (\Gamma(\lambda))^2 (l+\lambda) C_{2l}^\lambda(0)}{\pi (2l+1) \Gamma(2\lambda)}$$

$$\frac{T_{\Omega 1}(r, 0)}{T_0} = \frac{2^{2\lambda} (\Gamma(\lambda))^2}{\pi \Gamma(2\lambda)} \sum_{l \neq 0, +\infty} \frac{(l+\lambda) C_{2l}^\lambda(0)}{(2l+1)} \left(\left(\frac{r}{l_{r1}} \right)^{2l+1} - \left(\frac{r}{l_{r2}} \right)^{2l+1} \right) \quad 0 \leq r \leq l_{r1}$$

$$\frac{T_{\Omega 2}(r, 0)}{T_0} = 1 - \frac{2^{2\lambda} (\Gamma(\lambda))^2}{\pi \Gamma(2\lambda)} \sum_{l \neq 0, +\infty} \frac{\left((l+\lambda) C_{2l}^\lambda(0) \left((2l+1+2\lambda) \left(\frac{r}{l_{r2}} \right)^{2l+1} + (2l+1) \left(\frac{l_{r1}}{r} \right)^{2l+1+2\lambda} \right) \right)}{(2l+1+2\lambda)(2l+1)} \quad l_{r1} \leq r \leq l_{r2}$$

$$\frac{T_{\Omega 2}(r, 0)}{T_0} = 1 - \frac{2^{2\lambda} (\Gamma(\lambda))^2}{\pi \Gamma(2\lambda)} \sum_{l \neq 0, +\infty} C_{2l}^\lambda(0) \left(\frac{(l+\lambda)}{(2l+1)} \left(\frac{r}{l_{r2}} \right)^{2l+1} + \frac{(l+\lambda)}{(2l+1+2\lambda)} \left(\frac{l_{r1}}{r} \right)^{2l+1+2\lambda} \right) \quad l_{r1} \leq r \leq l_{r2}$$

$$\frac{T_{\Omega 3}(r, 0)}{T_0} = \frac{2^{2\lambda} (\Gamma(\lambda))^2}{\pi \Gamma(2\lambda)} \sum_{l \neq 0, +\infty} \frac{(l+\lambda) C_{2l}^\lambda(0)}{(2l+1+2\lambda)} \left(\left(\frac{l_{r2}}{r} \right)^{2l+1+2\lambda} - \left(\frac{l_{r1}}{r} \right)^{2l+1+2\lambda} \right) \quad l_{r2} \leq r \leq +\infty$$

Problèmes aux limites de Laplace sur une hypersphère- p-

On aboutit pour les trois domaines Ω_1 , Ω_2 et Ω_3 à des expressions plus simples sur l'axe x_1 , toute tendant vers 0 lorsque $r=0$ ou $r=\infty$:

$$\text{Posons } F_{\Omega 1}(t) = \frac{2^{2\lambda}(\Gamma(\lambda))^2}{\pi \Gamma(2\lambda)} \sum_{l=0}^{\infty} \frac{l+\lambda}{2l+1} t^{2l+1} C_{2l}^{\lambda}(0) = \frac{2^{2\lambda-1}(\Gamma(\lambda))^2}{\pi \Gamma(2\lambda)} \left(\frac{t}{(1+t^2)^{\lambda}} + (2\lambda-1) \int_0^t \frac{d\tau}{(1+\tau^2)^{\lambda}} \right)$$

$$F_{\Omega 3}(t) = \frac{2^{2\lambda}(\Gamma(\lambda))^2}{\pi \Gamma(2\lambda)} \sum_{l=0}^{\infty} \frac{(l+\lambda)}{2l+2\lambda+1} t^{2l+2\lambda+1} C_{2l}^{\lambda}(0) = \frac{2^{2\lambda-1}(\Gamma(\lambda))^2}{\pi \Gamma(2\lambda)} \left(\frac{t^{2\lambda+1}}{(1+t^2)^{\lambda}} - \int_0^t \frac{\tau^{2\lambda} d\tau}{(1+\tau^2)^{\lambda}} \right)$$

$$\frac{T_{\Omega 1}(r,0)}{T_0} = F_{\Omega 1}\left(\frac{r}{l_{r1}}\right) - F_{\Omega 1}\left(\frac{r}{l_{r2}}\right) \quad \frac{T_{\Omega 2}(r,0)}{T_0} = 1 - F_{\Omega 1}\left(\frac{r}{l_{r2}}\right) - F_{\Omega 3}\left(\frac{l_{r1}}{r}\right) \quad \frac{T_{\Omega 3}(r,0)}{T_0} = F_{\Omega 3}\left(\frac{l_{r2}}{r}\right) - F_{\Omega 3}\left(\frac{l_{r1}}{r}\right)$$

$$n=3; \lambda=\frac{1}{2} \rightarrow \frac{T_{\Omega 1}(r,0)}{T_0} = \frac{T_{\Omega 2}(r,0)}{T_0} = \frac{T_{\Omega 3}(r,0)}{T_0} = \frac{r}{\sqrt{l_{r1}^2 + r^2}} - \frac{r}{\sqrt{l_{r2}^2 + r^2}}$$

$$n=4; \lambda=1 \rightarrow \frac{T_{\Omega 1}(r,0)}{T_0} = \frac{T_{\Omega 2}(r,0)}{T_0} = \frac{T_{\Omega 3}(r,0)}{T_0} = \frac{2}{\pi} \left(r \left(\frac{l_{r1}}{l_{r1}^2 + r^2} - \frac{l_{r2}}{l_{r2}^2 + r^2} \right) + \text{Arctan}\left(\frac{r}{l_{r1}}\right) - \text{Arctan}\left(\frac{r}{l_{r2}}\right) \right)$$

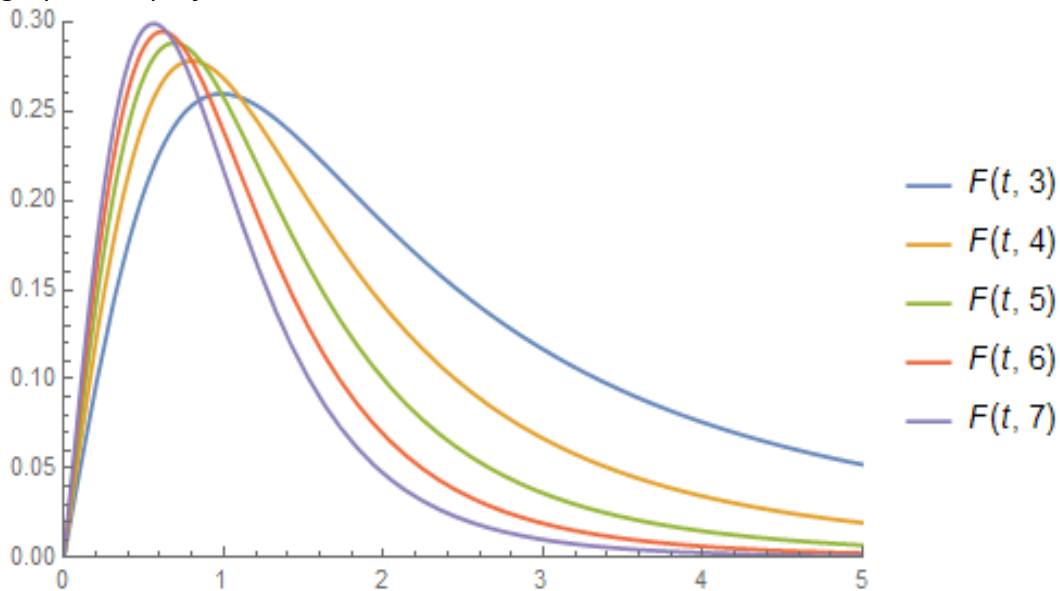
$$n=5; \lambda=\frac{3}{2} \rightarrow \frac{T_{\Omega 1}(r,0)}{T_0} = \frac{T_{\Omega 2}(r,0)}{T_0} = \frac{T_{\Omega 3}(r,0)}{T_0} = \frac{r(2r^2 + 3l_{r1}^2)}{2(l_{r1}^2 + r^2)^{\frac{3}{2}}} - \frac{r(2r^2 + 3l_{r2}^2)}{2(l_{r2}^2 + r^2)^{\frac{3}{2}}}$$

$$n=6; \lambda=2 \rightarrow \frac{T_{\Omega 1}(r,0)}{T_0} = \frac{T_{\Omega 2}(r,0)}{T_0} = \frac{T_{\Omega 3}(r,0)}{T_0} =$$

$$= \frac{2}{3\pi} \left(\frac{rl_{r1}(3r^2 + 5l_{r1}^2)}{(l_{r1}^2 + r^2)^2} - \frac{rl_{r2}(3r^2 + 5l_{r2}^2)}{(l_{r2}^2 + r^2)^2} + 3 \left[\text{Arctan}\left(\frac{r}{l_{r1}}\right) - \text{Arctan}\left(\frac{r}{l_{r2}}\right) \right] \right)$$

$$n=7; \lambda=\frac{3}{2} \rightarrow \frac{T_{\Omega 1}(r,0)}{T_0} = \frac{T_{\Omega 2}(r,0)}{T_0} = \frac{T_{\Omega 3}(r,0)}{T_0} = \frac{r(8r^4 + 20r^2 l_{r1}^2 + 15l_{r1}^4)}{8(l_{r1}^2 + r^2)^{\frac{5}{2}}} - \frac{r(8r^4 + 20r^2 l_{r2}^2 + 15l_{r2}^4)}{8(l_{r2}^2 + r^2)^{\frac{5}{2}}}$$

Voici le graphe des profils de la solution sur l'axe x_1 suivant diverses dimensions :



Problèmes aux limites de Laplace sur une hypersphère- p-

Étant donnée la forme de la dérivée première des trois fonctions introduites, on en déduit la position du maximum de la fonction profil, comme fonction de l_1, l_2 et λ :

$$\begin{aligned}
 F_{\Omega 1}(t) &= \frac{2^{2\lambda-1}(\Gamma(\lambda))^2}{\pi \Gamma(2\lambda)} \left(\frac{t}{(1+t^2)^\lambda} + (2\lambda-1) \int_0^t \frac{d\tau}{(1+\tau^2)^\lambda} \right) \Rightarrow F_{\Omega 1}'(t) = \frac{2^{2\lambda-1}(\Gamma(\lambda))^2}{\pi \Gamma(2\lambda)} \frac{2\lambda}{(1+t^2)^{\lambda+1}} \\
 F_{\Omega 3}(t) &= \frac{2^{2\lambda-1}(\Gamma(\lambda))^2}{\pi \Gamma(2\lambda)} \left(\frac{t^{2\lambda+1}}{(1+t^2)^\lambda} - \int_0^t \frac{\tau^{2\lambda} d\tau}{(1+\tau^2)^\lambda} \right) \Rightarrow F_{\Omega 3}'(t) = \frac{2^{2\lambda-1}(\Gamma(\lambda))^2}{\pi \Gamma(2\lambda)} \frac{2\lambda t^{2\lambda}}{(1+t^2)^{\lambda+1}} \\
 \text{Max} \frac{T_{\Omega 2}(r,0)}{T_0} &\Leftrightarrow -\frac{1}{l_{r2}} F_{\Omega 1}'\left(\frac{r}{l_{r2}}\right) + \frac{l_{r1}}{r^2} F_{\Omega 3}'\left(\frac{l_{r1}}{r}\right) = 0 \Leftrightarrow \frac{1}{l_{r1} \left(1 + \frac{r^2}{l_{r1}^2}\right)^{\lambda+1}} = \frac{1}{l_{r2} \left(1 + \frac{r^2}{l_{r2}^2}\right)^{\lambda+1}} \\
 &\Leftrightarrow l_{r1} \left(1 + \frac{r^2}{l_{r1}^2}\right)^{\lambda+1} = l_{r2} \left(1 + \frac{r^2}{l_{r2}^2}\right)^{\lambda+1} \Leftrightarrow l_{r1}^{\frac{1}{\lambda+1}} \left(1 + \frac{r^2}{l_{r1}^2}\right) = l_{r2}^{\frac{1}{\lambda+1}} \left(1 + \frac{r^2}{l_{r2}^2}\right) \Leftrightarrow l_{r1}^{\frac{1}{\lambda+1}} - l_{r2}^{\frac{1}{\lambda+1}} = r^2 \left(\frac{l_{r2}^{\frac{1}{\lambda+1}}}{l_{r2}} - \frac{l_{r1}^{\frac{1}{\lambda+1}}}{l_{r1}} \right) \\
 &\Leftrightarrow r^2 = \frac{l_{r1}^{\frac{1}{\lambda+1}} - l_{r2}^{\frac{1}{\lambda+1}}}{\frac{l_{r2}^{\frac{1}{\lambda+1}}}{l_{r2}} - \frac{l_{r1}^{\frac{1}{\lambda+1}}}{l_{r1}}} \Rightarrow r_{\max}^2(\lambda) = (l_{r1} l_{r2})^{\frac{2\lambda+1}{\lambda+1}} \frac{l_{r1}^{\frac{1}{\lambda+1}} - l_{r2}^{\frac{1}{\lambda+1}}}{\frac{l_{r1}^{\frac{1}{\lambda+1}}}{l_{r1}} - \frac{l_{r2}^{\frac{1}{\lambda+1}}}{l_{r2}}} \quad \lim_{\lambda \rightarrow +\infty} r_{\max}^2(\lambda) = 0 \\
 \frac{dr_{\max}^2(\lambda)}{d\lambda} &= (l_{r1} l_{r2})^{\frac{2\lambda+1}{\lambda+1}} \frac{(l_{r2}^2 - l_{r1}^2)}{\left(\frac{l_{r2}^{\frac{1}{\lambda+1}}}{l_{r2}} - \frac{l_{r1}^{\frac{1}{\lambda+1}}}{l_{r1}} \right)^2} \text{Log}\left(\frac{l_{r1}}{l_{r2}}\right) < 0 \quad \text{si} \quad l_{r2} > l_{r1}
 \end{aligned}$$

La position r sur l'axe z correspondant au maximum de la fonction tend vers 0 lorsque la dimension augmente. On peut également regarder la limite de l'expression lorsque $l_{r1}=l_{r2}$:

$$\begin{aligned}
 r_{\max}^2(\lambda) &= (l_{r1} l_{r2})^{\frac{2\lambda+1}{\lambda+1}} \frac{l_{r2}^{\frac{1}{\lambda+1}} - l_{r1}^{\frac{1}{\lambda+1}}}{\frac{l_{r2}^{\frac{1}{\lambda+1}}}{l_{r2}} - \frac{l_{r1}^{\frac{1}{\lambda+1}}}{l_{r1}}} \quad \lim_{l_{r1} \rightarrow l_{r2}} r_{\max}^2(\lambda) = \lim_{\substack{l_{r2}=l_{r1}+\varepsilon \\ \varepsilon \rightarrow 0}} r_{\max}^2(\lambda) = \\
 \lim_{\substack{l_{r2}=l_{r1}+\varepsilon \\ \varepsilon \rightarrow 0}} (l_{r1} (l_{r1} + \varepsilon))^{\frac{2\lambda+1}{\lambda+1}} \frac{(l_{r1} + \varepsilon)^{\frac{1}{\lambda+1}} - l_{r1}^{\frac{1}{\lambda+1}}}{\frac{(l_{r1} + \varepsilon)^{\frac{1}{\lambda+1}}}{(l_{r1} + \varepsilon)} - l_{r1}^{\frac{1}{\lambda+1}}} &= l_{r1}^{\frac{2\lambda+1}{\lambda+1}} \lim_{\substack{l_{r2}=l_{r1}+\varepsilon \\ \varepsilon \rightarrow 0}} \frac{\frac{\varepsilon l_{r1}^{\frac{1}{\lambda+1}-1}}{\lambda+1}}{\frac{2\lambda+1}{\lambda+1} l_{r1}^{\frac{2\lambda+1}{\lambda+1}-1}} = \frac{l_{r1}^{\frac{2\lambda+1}{\lambda+1} + \frac{1}{\lambda+1} - \frac{2\lambda+1}{\lambda+1}}}{2\lambda+1} = \frac{l_{r1}^2}{2\lambda+1} \\
 \Rightarrow \lim_{l_{r1} \rightarrow l_{r2}} r_{\max}^2(\lambda) &= \frac{l_{r1}^2}{2\lambda+1}
 \end{aligned}$$

Même si la configuration géométrique devient un anneau fin sur l'hyperplan perpendiculaire à x_1 , les conditions aux limites du problème sont radicalement différentes puisque hormis sur l'anneau la valeur limite sur l'hyper-plan est fixée à zéro. Il est donc logique qu'il subsiste un point de valeur maximale au dessus de l'origine des coordonnées.

Dans le problème classique de l'anneau à 3 dimensions, issu de l'électrostatique, sur le plan de l'anneau aucune condition aux limites n'est fixée. Le profil sur l'axe z (qui joue le rôle de l'axe x_1) est de la forme : $T(z) \propto \frac{1}{\sqrt{l_{r1}^2 + z^2}}$. Toutefois on peut constater que la dérivée première le long de l'axe z

s'annule, ce qui fait en quelque sorte de ce problème aux limites un problème mixte ! Il resterait donc à imaginer le profil selon l'axe x_1 d'un « anneau » sur l'hyper-plan perpendiculaire chargé avec une densité « linéique » constante.

Problèmes aux limites de Laplace sur une hypersphère- p-

Ces profils de la solution sur l'axe x_1 présentent les maximums suivant les dimensions :

$$n = 3 ; \lambda = \frac{1}{2} \rightarrow r_{\max}^2 = (l_{r1} l_{r2})^{4/3} \frac{\left(l_{r2}^{2/3} - l_{r1}^{2/3} \right)}{\left(l_{r2}^{4/3} - l_{r1}^{4/3} \right)} \quad n = 4 ; \lambda = 1 \rightarrow r_{\max}^2 = \frac{(l_{r1} l_{r2})^{3/2} (l_{r1} + l_{r2}) - l_{r1}^2 l_{r2}^2}{l_{r1}^2 + l_{r2}^2 + l_{r1} l_{r2}} = (l_{r1} l_{r2})^{\frac{3}{2}} \frac{\left(l_{r2}^{\frac{1}{2}} - l_{r1}^{\frac{1}{2}} \right)}{\left(l_{r2}^{\frac{3}{2}} - l_{r1}^{\frac{3}{2}} \right)}$$

$$n = 5 ; \lambda = \frac{3}{2} \rightarrow r_{\max}^2 = (l_{r1} l_{r2})^{8/5} \frac{\left(l_{r2}^{2/5} - l_{r1}^{2/5} \right)}{\left(l_{r2}^{8/5} - l_{r1}^{8/5} \right)} \quad n = 6 ; \lambda = 2 \rightarrow r_{\max}^2 = (l_{r1} l_{r2})^{\frac{5}{3}} \frac{\left(l_{r2}^{\frac{1}{3}} - l_{r1}^{\frac{1}{3}} \right)}{\left(l_{r2}^{\frac{5}{3}} - l_{r1}^{\frac{5}{3}} \right)}$$

$$n = 7 ; \lambda = \frac{5}{2} \rightarrow r_{\max}^2 = (l_{r1} l_{r2})^{12/7} \frac{\left(l_{r2}^{2/7} - l_{r1}^{2/7} \right)}{\left(l_{r2}^{12/7} - l_{r1}^{12/7} \right)}$$

Quelques expressions sont utiles pour calculer la valeur maximale :

$$r_{\max}^2 = (l_{r1} l_{r2})^{\frac{2\lambda+1}{\lambda+1}} \frac{l_{r2}^{\frac{1}{\lambda+1}} - l_{r1}^{\frac{1}{\lambda+1}}}{l_{r2}^{\frac{2\lambda+1}{\lambda+1}} - l_{r1}^{\frac{2\lambda+1}{\lambda+1}}} \Rightarrow 1 + \frac{l_{r1}^2}{r_{\max}^2} = l_{r2}^{\frac{2\lambda+1}{\lambda+1}} \frac{l_{r2}^2 - l_{r1}^2}{l_{r2}^{\frac{1}{\lambda+1}} - l_{r1}^{\frac{1}{\lambda+1}}} \quad 1 + \frac{l_{r2}^2}{r_{\max}^2} = l_{r1}^{\frac{2\lambda+1}{\lambda+1}} \frac{l_{r2}^2 - l_{r1}^2}{l_{r2}^{\frac{1}{\lambda+1}} - l_{r1}^{\frac{1}{\lambda+1}}}$$

$$\frac{l_{r1}}{r_{\max}} = l_{r2}^{-1} (l_{r1} l_{r2})^{\frac{1}{2(\lambda+1)}} \left(\frac{l_{r2}^{\frac{2\lambda+1}{\lambda+1}} - l_{r1}^{\frac{2\lambda+1}{\lambda+1}}}{l_{r2}^{\frac{1}{\lambda+1}} - l_{r1}^{\frac{1}{\lambda+1}}} \right)^{\frac{1}{2}} \quad \frac{l_{r2}}{r_{\max}} = l_{r1}^{-1} (l_{r1} l_{r2})^{\frac{1}{2(\lambda+1)}} \left(\frac{l_{r2}^{\frac{2\lambda+1}{\lambda+1}} - l_{r1}^{\frac{2\lambda+1}{\lambda+1}}}{l_{r2}^{\frac{1}{\lambda+1}} - l_{r1}^{\frac{1}{\lambda+1}}} \right)^{\frac{1}{2}}$$

$$\Rightarrow \left\{ \begin{aligned} \left(1 + \frac{l_{r1}^2}{r_{\max}^2} \right)^{-\lambda} - \left(1 + \frac{l_{r2}^2}{r_{\max}^2} \right)^{-\lambda} &= \left(\frac{l_{r2}^{\frac{1}{\lambda+1}} - l_{r1}^{\frac{1}{\lambda+1}}}{l_{r2}^{\frac{2}{\lambda+1}} - l_{r1}^{\frac{2}{\lambda+1}}} \right)^{\lambda} \left(l_{r2}^{\frac{\lambda(2\lambda+1)}{\lambda+1}} - l_{r1}^{\frac{\lambda(2\lambda+1)}{\lambda+1}} \right) \\ \left(1 + \frac{l_{r1}^2}{r_{\max}^2} \right)^{1-\lambda} - \left(1 + \frac{l_{r2}^2}{r_{\max}^2} \right)^{1-\lambda} &= \left(\frac{l_{r2}^{\frac{1}{\lambda+1}} - l_{r1}^{\frac{1}{\lambda+1}}}{l_{r2}^{\frac{2}{\lambda+1}} - l_{r1}^{\frac{2}{\lambda+1}}} \right)^{\lambda-1} \left(l_{r2}^{\frac{(\lambda-1)(2\lambda+1)}{\lambda+1}} - l_{r1}^{\frac{(\lambda-1)(2\lambda+1)}{\lambda+1}} \right) \\ \left(1 + \frac{l_{r1}^2}{r_{\max}^2} \right)^{2-\lambda} - \left(1 + \frac{l_{r2}^2}{r_{\max}^2} \right)^{2-\lambda} &= \left(\frac{l_{r2}^{\frac{1}{\lambda+1}} - l_{r1}^{\frac{1}{\lambda+1}}}{l_{r2}^{\frac{2}{\lambda+1}} - l_{r1}^{\frac{2}{\lambda+1}}} \right)^{\lambda-2} \left(l_{r2}^{\frac{(\lambda-2)(2\lambda+1)}{\lambda+1}} - l_{r1}^{\frac{(\lambda-2)(2\lambda+1)}{\lambda+1}} \right) \end{aligned} \right.$$

Problèmes aux limites de Laplace sur une hypersphère- p-

Calculons la valeur de la solution au point extrémal en dimensions 3 et 5 :

$$\begin{aligned}
 n=3; \lambda=\frac{1}{2} \rightarrow T(r,0) &= \frac{r}{\sqrt{l_{r1}^2+r^2}} - \frac{r}{\sqrt{l_{r2}^2+r^2}} = \left(1+\frac{l_{r1}^2}{r^2}\right)^{-\frac{1}{2}} - \left(1+\frac{l_{r2}^2}{r^2}\right)^{-\frac{1}{2}} \\
 \Rightarrow T(r_{\max}^2,0) &= \left(\frac{\frac{1}{l_{r2}^{\lambda+1}} - \frac{1}{l_{r1}^{\lambda+1}}}{l_{r2}^2 - l_{r1}^2}\right)^{\lambda} \left(l_{r2}^{\frac{\lambda(2\lambda+1)}{\lambda+1}} - l_{r1}^{\frac{\lambda(2\lambda+1)}{\lambda+1}}\right) = \left(\frac{l_{r2}^{2/3} - l_{r1}^{2/3}}{l_{r2}^2 - l_{r1}^2}\right)^{1/2} (l_{r2}^{2/3} - l_{r1}^{2/3}) = \frac{(l_{r2}^{2/3} - l_{r1}^{2/3})^{3/2}}{(l_{r2}^2 - l_{r1}^2)^{1/2}} \\
 n=5; \lambda=\frac{3}{2} \rightarrow T(r,0) &= \frac{r(2r^2+3l_{r1}^2)}{2(l_{r1}^2+r^2)^{\frac{3}{2}}} - \frac{r(2r^2+3l_{r2}^2)}{2(l_{r2}^2+r^2)^{\frac{3}{2}}} = \frac{1}{2} \left[\frac{2+3\frac{l_{r1}^2}{r^2}}{\left(1+\frac{l_{r1}^2}{r^2}\right)^{\frac{3}{2}}} - \frac{2+3\frac{l_{r2}^2}{r^2}}{\left(1+\frac{l_{r2}^2}{r^2}\right)^{\frac{3}{2}}} \right] = \\
 &= \frac{1}{2} \left\{ 3 \left[\left(1+\frac{l_{r1}^2}{r^2}\right)^{-\frac{1}{2}} - \left(1+\frac{l_{r2}^2}{r^2}\right)^{-\frac{1}{2}} \right] - \left[\left(1+\frac{l_{r1}^2}{r^2}\right)^{-\frac{3}{2}} - \left(1+\frac{l_{r2}^2}{r^2}\right)^{-\frac{3}{2}} \right] \right\} \\
 \Rightarrow T(r_{\max}^2,0) &= \frac{1}{2} \left(3 \left(\frac{\frac{1}{l_{r2}^{\lambda+1}} - \frac{1}{l_{r1}^{\lambda+1}}}{l_{r2}^2 - l_{r1}^2} \right)^{\lambda-1} \left(l_{r2}^{\frac{(\lambda-1)(2\lambda+1)}{\lambda+1}} - l_{r1}^{\frac{(\lambda-1)(2\lambda+1)}{\lambda+1}} \right) - \left(\frac{\frac{1}{l_{r2}^{\lambda+1}} - \frac{1}{l_{r1}^{\lambda+1}}}{l_{r2}^2 - l_{r1}^2} \right)^{\lambda} \left(l_{r2}^{\frac{\lambda(2\lambda+1)}{\lambda+1}} - l_{r1}^{\frac{\lambda(2\lambda+1)}{\lambda+1}} \right) \right) \\
 \Rightarrow T(r_{\max}^2,0) &= \frac{1}{2} \left(\frac{\frac{1}{l_{r2}^{\lambda+1}} - \frac{1}{l_{r1}^{\lambda+1}}}{l_{r2}^2 - l_{r1}^2} \right)^{\lambda-1} \left(3 \left(l_{r2}^{\frac{(\lambda-1)(2\lambda+1)}{\lambda+1}} - l_{r1}^{\frac{(\lambda-1)(2\lambda+1)}{\lambda+1}} \right) - \left(\frac{\frac{1}{l_{r2}^{\lambda+1}} - \frac{1}{l_{r1}^{\lambda+1}}}{l_{r2}^2 - l_{r1}^2} \right) \left(l_{r2}^{\frac{\lambda(2\lambda+1)}{\lambda+1}} - l_{r1}^{\frac{\lambda(2\lambda+1)}{\lambda+1}} \right) \right) \\
 \Rightarrow T(r_{\max}^2,0) &= \frac{1}{2} \left(\frac{l_{r2}^{\frac{2}{5}} - l_{r1}^{\frac{2}{5}}}{l_{r2}^2 - l_{r1}^2} \right)^{\frac{3}{2}} \left(2 \left(l_{r2}^{\frac{12}{5}} - l_{r1}^{\frac{12}{5}} \right) + 3 l_{r2}^{\frac{2}{5}} l_{r1}^{\frac{2}{5}} \left(l_{r2}^{\frac{8}{5}} - l_{r1}^{\frac{8}{5}} \right) \right) = \frac{\left(l_{r2}^{\frac{4}{5}} - l_{r1}^{\frac{4}{5}} \right)^{\frac{5}{2}} \left(l_{r1}^{\frac{2}{5}} + l_{r2}^{\frac{2}{5}} \right)^{\frac{1}{2}}}{2(l_{r2}^2 - l_{r1}^2)^{\frac{3}{2}}} \left(2 \left(l_{r1}^{\frac{4}{5}} + l_{r2}^{\frac{4}{5}} \right) - l_{r2}^{\frac{2}{5}} l_{r1}^{\frac{2}{5}} \right)
 \end{aligned}$$

Pour la dimension 7, il vient :

$$\begin{aligned}
 n=7; \lambda=\frac{5}{2} \rightarrow T(r,0) &= \frac{r(8r^4+20r^2l_{r1}^2+15l_{r1}^4)}{8(l_{r1}^2+r^2)^{\frac{5}{2}}} - \frac{r(8r^4+20r^2l_{r2}^2+15l_{r2}^4)}{8(l_{r2}^2+r^2)^{\frac{5}{2}}} = \frac{1}{8} \left[\frac{8+20\frac{l_{r1}^2}{r^2}+15\frac{l_{r1}^4}{r^4}}{\left(1+\frac{l_{r1}^2}{r^2}\right)^{\frac{5}{2}}} - \frac{8+20\frac{l_{r2}^2}{r^2}+15\frac{l_{r2}^4}{r^4}}{\left(1+\frac{l_{r2}^2}{r^2}\right)^{\frac{5}{2}}} \right] = \\
 &= \frac{1}{8} \left\{ 15 \left[\left(1+\frac{l_{r1}^2}{r^2}\right)^{-\frac{1}{2}} - \left(1+\frac{l_{r2}^2}{r^2}\right)^{-\frac{1}{2}} \right] - 10 \left[\left(1+\frac{l_{r1}^2}{r^2}\right)^{-\frac{3}{2}} - \left(1+\frac{l_{r2}^2}{r^2}\right)^{-\frac{3}{2}} \right] + 3 \left[\left(1+\frac{l_{r1}^2}{r^2}\right)^{-\frac{5}{2}} - \left(1+\frac{l_{r2}^2}{r^2}\right)^{-\frac{5}{2}} \right] \right\} \\
 \Rightarrow T(r_{\max}^2,0) &= \frac{1}{8} \left(15 \left(\frac{\frac{1}{l_{r2}^{\lambda+1}} - \frac{1}{l_{r1}^{\lambda+1}}}{l_{r2}^2 - l_{r1}^2} \right)^{\lambda-2} \left(l_{r2}^{\frac{(\lambda-2)(2\lambda+1)}{\lambda+1}} - l_{r1}^{\frac{(\lambda-2)(2\lambda+1)}{\lambda+1}} \right) - 10 \left(\frac{\frac{1}{l_{r2}^{\lambda+1}} - \frac{1}{l_{r1}^{\lambda+1}}}{l_{r2}^2 - l_{r1}^2} \right)^{\lambda-1} \left(l_{r2}^{\frac{(\lambda-1)(2\lambda+1)}{\lambda+1}} - l_{r1}^{\frac{(\lambda-1)(2\lambda+1)}{\lambda+1}} \right) + \right. \\
 &\quad \left. + 3 \left(\frac{\frac{1}{l_{r2}^{\lambda+1}} - \frac{1}{l_{r1}^{\lambda+1}}}{l_{r2}^2 - l_{r1}^2} \right)^{\lambda} \left(l_{r2}^{\frac{\lambda(2\lambda+1)}{\lambda+1}} - l_{r1}^{\frac{\lambda(2\lambda+1)}{\lambda+1}} \right) \right) \\
 \lambda=\frac{5}{2} \Rightarrow T(r_{\max}^2,0) &= \frac{1}{8} \left(15 \left(\frac{l_{r2}^{\frac{2}{7}} - l_{r1}^{\frac{2}{7}}}{l_{r2}^2 - l_{r1}^2} \right)^{\frac{1}{2}} \left(l_{r2}^{\frac{6}{7}} - l_{r1}^{\frac{6}{7}} \right) - 10 \left(\frac{l_{r2}^{\frac{2}{7}} - l_{r1}^{\frac{2}{7}}}{l_{r2}^2 - l_{r1}^2} \right)^{\frac{3}{2}} \left(l_{r2}^{\frac{18}{7}} - l_{r1}^{\frac{18}{7}} \right) + 3 \left(\frac{l_{r2}^{\frac{2}{7}} - l_{r1}^{\frac{2}{7}}}{l_{r2}^2 - l_{r1}^2} \right)^{\frac{5}{2}} \left(l_{r2}^{\frac{30}{7}} - l_{r1}^{\frac{30}{7}} \right) \right)
 \end{aligned}$$

Pour les dimensions paires les expressions de la valeur maximale prise sont trop complexes et je ne parviens pas à les simplifier convenablement !

Exemple de valeurs propres d'un problème aux limites sur un cône hypersphérique d'angle ouvert ϑ_0 ou une section conique sphérique d'angle ϑ_1 et ϑ_2

Pour un problème aux limites de Dirichlet sur le cône, avec diverses dimensions et divers angles d'ouverture :

si l'on prend $n=3$ et l'angle $\theta_0 = \pi/7$, alors les 20 premières valeurs propres $v_l = 4.85051, 11.7962, 18.7798, 25.7719, 32.7673, 39.7643, 46.7622, 53.7606, 60.7594, 67.7585, 74.7577, 81.757, 88.7565, 95.756, 102.756, 109.755, 116.755, 123.755, 130.754, 137.754$. Ces valeurs propres sont celles des fonctions de Legendre dans le problème à 3 dimensions.

si l'on prend $n=5$ et l'angle $\theta_0 = \pi/7$, alors les 20 premières valeurs propres $v_l = 7.05252, 14.14, 21.1738, 28.1917, 35.2028, 42.2104, 49.2158, 56.22, 63.2232, 70.2258, 77.228, 84.229, 91.2313, 98.2326, 105.234, 112.235, 119.236, 126.236, 133.237, 140.238$

si l'on prend $n=5$ et l'angle $\theta_0 = \pi/3$, alors les 20 premières valeurs propres $v_l = 2.19569, 5.21953, 8.22885, 11.2338, 14.2369, 17.239, 20.2405, 23.2416, 26.2426, 29.2433, 32.2439, 35.2444, 38.2448, 41.2452, 44.2455, 47.2458, 50.246, 53.2462, 56.2464, 59.2466$

si l'on prend la valeur $\theta_0 = \pi/2$, alors on retrouve les valeurs propres $v_l = 2n+1$ quelque soit la dimension.

si l'on prend $n=5$ et l'angle $\theta_0 = 10\pi/7$, alors les 20 premières valeurs propres $v_l = 0.70793, 2.44934, 4.19579, 5.94387, 7.69267, 9.44185, 11.1912, 12.9408, 14.6904, 16.4402, 18.1899, 19.9397, 21.6896, 23.4394, 25.1893, 26.9392, 28.6891, 30.439, 32.1889, 33.9388$

$0.802557, 2.55757, 4.30927, 6.06011, 7.8106, 9.56093, 11.3112, 13.0613, 14.8115, 16.5616, 18.3117, 20.0617, 21.8118, 23.5618, 25.3119, 27.0619, 28.812, 30.562, 32.312, 34.062$

Avec un problème homogène de Neumann sur la surface latérale d'un cône fini :

Si l'on prend la valeur $\theta_0 = \pi/2$, alors on retrouve les valeurs propres $v_l = 2n$ $n \geq 0$, quelque soient les dimensions

si l'on prend $n=3$ et l'angle $\theta_0 = \pi/7$, alors les 20 premières valeurs propres $v_l = 0, 8.05252, 15.14, 22.1738, 29.1917, 36.2028, 43.2104, 50.2158, 57.22, 64.2232, 71.2258, 78.228, 85.2298, 92.2313, 99.2326, 106.234, 113.235, 120.236, 127.236, 134.237, 141.238$, qui sont les valeurs propres de la fonctions de Legendre dans l problème à 3 dimensions.

si l'on prend $n=5$ et l'angle $\theta_0 = \pi/7$, alors les 20 premières valeurs propres $v_l = 9.99843, 17.2888, 24.4154, 31.4871, 38.5333, 45.5657, 52.5896, 59.608, 66.6227, 73.6345, 80.6444, 87.6527, 94.6598, 101.666, 108.671, 115.676, 122.68, 129.684, 136.687, 143.69$

si l'on prend l'angle $n=5$ et $\theta_0 = \pi/3$, alors les 21 premières valeurs propres $v_l = 0, 3.54215, 6.62202, 9.65707, 12.6769, 15.6898, 18.6988, 21.7054, 24.7105, 27.7146, 30.7179, 33.7206, 36.7229, 39.7249, 42.7266, 45.7281, 48.7294, 51.7306, 54.7316, 57.7325, 60.7334$

Problèmes aux limites de Laplace sur une hypersphère- p-

Pour une section conique portée aux conditions homogène de Dirichlet sur la surface latérale :

si l'on prend $n=3$ et les angles $\theta_1 = \pi/7$ $\theta_2 = 6\pi/7$, alors les 10 premières valeurs propres $v_i = 0.785441, 2.23009, 3.64994, 5.06115, 6.46833, 7.8733, 9.27695, 10.6797, 12.0819, 13.4837$, qui sont les valeurs propres obtenues avec les fonctions de Legendre de première et deuxième espèce.

si l'on prend $n=5$ et les angles $\theta_1 = \pi/7$ $\theta_2 = 6\pi/7$, alors les 20 premières valeurs propres $v_i = 0.196457, 1.49885, 2.8465, 4.21496, 5.59421, 6.97964, 8.36888, 9.76064, 11.1541, 12.5489, 13.9445, 15.3409, 16.7378, 18.1352, 19.5328, 20.9308, 22.329, 23.7274, 25.126, 26.5247$

si l'on prend $n=5$ et les angles $\theta_1 = \pi/7$ $\theta_2 = 5\pi/14$, alors les 20 premières valeurs propres $v_i = 3.33461, 7.92499, 12.5624, 17.2138, 21.8712, 26.5316, 31.1938, 35.8571, 40.5211, 45.1857, 49.8506, 54.5158, 59.1813, 63.8469, 68.5127, 73.1786, 77.8445, 82.5106, 87.1767, 91.8428$

Pour une section conique portée aux conditions homogène de Neumann sur la surface latérale :

si l'on prend $n=3$ et les angles $\theta_1 = \pi/7$ $\theta_2 = \pi/2 - \theta_1 = 5\pi/14$, alors les 20 premières valeurs propres $v_i = 4.33461, 8.92499, 13.5624, 18.2138, 22.8712, 27.5316, 32.1938, 36.8571, 41.5211, 46.1857, 50.8506, 55.5158, 60.1813, 64.8469, 69.5127, 74.1786, 78.8445, 83.5106, 88.1767, 92.8428$, valeurs propres trouvées dans les problèmes à 3 dimensions en utilisant des dérivées des fonctions de Legendre de première et deuxième espèces.

si l'on prend $n=3$ et les angles $\theta_1 = \pi/7$ $\theta_2 = \pi - \theta_1 = 6\pi/7$, alors les 20 premières valeurs propres $v_i = 1.19646, 2.49885, 3.8465, 5.21496, 6.59421, 7.97964, 9.36888, 10.7606, 12.1541, 13.5489, 14.9445, 16.3409, 17.7378, 19.1352, 20.5328, 21.9308, 23.329, 24.7274, 26.126, 27.5247$, valeurs propres trouvées dans les problèmes à 3 dimensions en utilisant des dérivées des fonctions de Legendre de première et deuxième espèces.

si l'on prend $n=5$ et les angles $\theta_1 = \pi/7$ $\theta_2 = \pi/2 - \theta_1 = 5\pi/14$, alors les 15 premières valeurs propres $v_i = 3.9501344925410995711, 8.2834128385236342355, 12.809346397736492616, 17.401247375216465538, 22.021967341828851119, 26.657637518959609635, 31.302014275657881580, 35.951893314552177959, 40.605466517033460048, 45.261638010005546844, 49.919705573719500697, 54.579198731160131830, 59.239790564706123213, 63.901246903964204683, 68.563395646325467105$

si l'on prend $n=5$ et les angles $\theta_1 = \pi/7$ $\theta_2 = \pi - \theta_1 = 6\pi/7$, alors les 24 premières valeurs propres $v_i = 1.0466048324550579151, 2.1757812608454260859, 3.3850217911605080281, 4.6529890474965626462, 5.9597359771402670292, 7.2916975842047773814, 8.6403988825458334089, 10.000570975047819093, 11.368862701544714053, 12.743076107492226916, 14.121723821764207918, 15.503769543968034190, 16.888471996221358721, 18.275288355798416165, 19.663812767509201677, 21.053736124908384114, 22.444819102473593578, 23.836873658623547277, 25.229750084734133074, 26.623327765927099942, 28.017508476632268891, 29.412211439420355972, 30.807369631369823981, 32.202926986905071800$

si l'on prend $n=5$ et les angles $\theta_1 = \pi/14$ $\theta_2 = 3\pi/7$, alors les 19 premières valeurs propres $v_i = 2.53442527, 5.0298875, 7.614541, 10.269463, 12.96948308, 15.69782180, 18.4444, 21.2033, 23.97088084, 26.7445714, 29.52286, 32.304, 35.0891, 37.8758520, 40.66427, 43.454116, 46.24513748, 49.037142553, 51.829979$

Exemple : Cône sphérique plein d'angle θ_0 , en coordonnées hyper-sphériques (r, θ) soumis à des conditions aux limites de Dirichlet inhomogènes en $r=l_r$ et de Neumann homogènes en θ_0

Soit le problème :

$$\Delta_{r,\theta}^n T(r, \theta) = 0 \quad T(r, \theta) \Big|_{\vec{x} \in C_{\Omega_n}} \quad r = \|\vec{x}\| = \sqrt{\sum_{i=1}^n x_i^2}$$

$$C_{\Omega_n} = \left\{ \vec{x} / x_1 \in [0, \infty[, \sum_{i=2}^n x_i^2 \in \left[0, x_1^2 \left(\frac{\sin(\theta_0)}{\cos(\theta_0)} \right)^2 \right] \right\} \cap \left\{ \vec{x} / \sum_{i=1}^n x_i^2 \in [0, l_r] \right\}$$

$$\partial C_{\Omega_n} = \left\{ \vec{x} / x_1 \in [0, \infty[, \sum_{i=2}^n x_i^2 = x_1^2 (\tan(\theta_0))^2 \right\} \cap \left\{ \vec{x} / \sum_{i=1}^n x_i^2 = l_r \right\}$$

$$C.L. \quad \frac{\partial T(r, \theta)}{\partial \theta} \Big|_{\substack{\theta=\theta_0 \\ r \in [0, l_r]}} = 0 \quad T(r, \theta) \Big|_{r=l_r, \theta \in [0, \theta_0]} = f(\theta)$$

La solution doit comporter les mêmes contraintes que pour les solutions sur l'ultrasphère, à savoir :
 $T(r, \theta)$ fini $T(r, \theta)$ fonction paire en θ soit $T(r, -\theta) = T(r, \theta)$

$T(r, \theta)$ ne comporte aucune singularité en $\theta = 0$, continue et dérivable .

Pour respecter la condition aux limites homogène de Neumann , on est amené à rechercher une extension des polynômes de Gegenbauer de degré entier à des fonctions de Gegenbauer de degré non entier ce qui donne la condition suivante pour établir les valeurs propres du problème de Sturm-Liouville.

$$\mu_0 = \cos(\theta_0) ; \quad \frac{dC_{\nu_l}^\lambda(z)}{dz} \Big|_{z=\mu_0} = 0 \quad \left\{ \begin{array}{l} \frac{dC_{\nu_l}^\lambda(z)}{dz} = \frac{\nu_l z C_{\nu_l}^\lambda(z) - (2\lambda - 1 + \nu_l) C_{\nu_l-1}^\lambda(z)}{(z^2 - 1)} \\ \frac{dC_{\nu_l}^\lambda(z)}{dz} = \frac{(\nu_l + 1) C_{\nu_l+1}^\lambda(z) - (2\lambda + \nu_l) z C_{\nu_l}^\lambda(z)}{(z^2 - 1)} \end{array} \right. \quad \forall \nu_l > 0 \in \mathfrak{R} \text{ ou } \mathbf{N}$$

$$\Rightarrow \frac{\nu_l \mu_0 C_{\nu_l}^\lambda(\mu_0) - (2\lambda - 1 + \nu_l) C_{\nu_l-1}^\lambda(\mu_0)}{\mu_0^2 - 1} = 0$$

$$\Rightarrow \begin{cases} \nu_l \mu_0 C_{\nu_l}^\lambda(\mu_0) - (2\lambda - 1 + \nu_l) C_{\nu_l-1}^\lambda(\mu_0) = 0 \\ (\nu_l + 1) C_{\nu_l+1}^\lambda(\mu_0) - (2\lambda + \nu_l) \mu_0 C_{\nu_l}^\lambda(\mu_0) = 0 \end{cases}$$

$$\nu_l = 0 \text{ est aussi valeur propre puisque } C_0^\lambda(z) = 1 \Rightarrow \frac{dC_{\nu_l}^\lambda(z)}{dz} \Big|_{z=\mu_0} = 0$$

La prise en compte de la condition aux limites inhomogènes en $r=l$, donne, (voir également calcul des normes du problème de Sturm-Liouville) :

$$B_0 = \int_{\mu_0}^1 dz f_{\theta}(z) (1-z^2)^{\frac{2\lambda-1}{2}} \quad B_l = \int_{\mu_0}^1 dz f_{\theta}(z) (1-z^2)^{\frac{2\lambda-1}{2}} C_{v_l}^{\lambda}(z)$$

$$v_l \quad tq \quad v_l = 0 \text{ ou } v_l \mu_0 C_{v_l}^{\lambda}(\mu_0) - (2\lambda - 1 + v_l) C_{v_l-1}^{\lambda}(\mu_0) = 0$$

$$\|C_{v_l}^{\lambda}(z)\|^2 = \int_{\mu_0}^1 dz (1-z^2)^{\frac{2\lambda-1}{2}} C_{v_l}^{\lambda}(z)^2 = \frac{(1-\mu_0^2)^{\frac{2\lambda+1}{2}}}{(2v_l+2\lambda)} C_{v_l}^{\lambda}(\mu_0) \frac{\partial^2 C_{v_l}^{\lambda}(\mu_0)}{\partial z \partial v}$$

$$\|C_0^{\lambda}(z)\|^2 = \int_{\mu_0}^1 dz (1-z^2)^{\frac{2\lambda-1}{2}} = \frac{\sqrt{\pi} \Gamma\left(\frac{2\lambda+1}{2}\right)}{2\Gamma(\lambda+1)} - \mu_0 \times {}_2F_1\left(\frac{1}{2}, \frac{1-2\lambda}{2}; \frac{3}{2}; \mu_0^2\right)$$

$$T(r, \theta) = \frac{B_0}{\|C_0^{\lambda}(z)\|^2} + \sum_{l \neq 0, +\infty} \frac{B_l}{\|C_{v_l}^{\lambda}(z)\|^2} \left(\frac{r}{l_r}\right)^{v_l} C_{v_l}^{\lambda}(\cos(\theta))$$

Pour les normes de la valeur propre nulle donnons quelques exemples :

$$\|C_0^{\lambda}(z)\|^2 = \int_{\mu_0}^1 dz (1-z^2)^{\frac{2\lambda-1}{2}} = \frac{\sqrt{\pi} \Gamma\left(\frac{2\lambda+1}{2}\right)}{2\Gamma(\lambda+1)} - \mu_0 \times {}_2F_1\left(\frac{1}{2}, \frac{1-2\lambda}{2}; \frac{3}{2}; \mu_0^2\right)$$

$$n=3 \quad \lambda = \frac{1}{2} \quad \|C_0^{\lambda}(z)\|^2 = 1 - \mu_0$$

$$n=4 \quad \lambda = 1 \quad \|C_0^{\lambda}(z)\|^2 = \left[z\sqrt{1-z^2} + \text{Arcsin}(z) \right]_{\mu_0} = \frac{1}{2} \left(\frac{\pi}{2} - \mu_0 \sqrt{1-\mu_0^2} \right) - \text{Arcsin}(\mu_0) =$$

$$= \frac{1}{2} \left(\text{Arccos}(\mu_0) - \mu_0 \sqrt{1-\mu_0^2} \right)$$

$$n=5 \quad \lambda = \frac{3}{2} \quad \|C_0^{\lambda}(z)\|^2 = \frac{2}{3} - \mu_0 + \frac{\mu_0^4}{3}$$

Développons la dérivée seconde :

$$\frac{\partial C_{v_l}^{\lambda}(z)}{\partial z} = \frac{v_l z C_{v_l}^{\lambda}(z) - (2\lambda - 1 + v_l) C_{v_l-1}^{\lambda}(z)}{(z^2 - 1)} \Rightarrow \frac{\partial^2 C_{v_l}^{\lambda}(z)}{\partial v \partial z} = \frac{\partial}{\partial v} \left(\frac{\partial C_{v_l}^{\lambda}(z)}{\partial z} \right) = \frac{\partial}{\partial v} \left(\frac{v_l z C_{v_l}^{\lambda}(z) - (2\lambda - 1 + v_l) C_{v_l-1}^{\lambda}(z)}{(z^2 - 1)} \right)$$

$$\Rightarrow \frac{\partial^2 C_{v_l}^{\lambda}(z)}{\partial v \partial z} = \frac{z C_{v_l}^{\lambda}(z) - C_{v_l-1}^{\lambda}(z)}{z^2 - 1} + \frac{1}{z^2 - 1} \left(v_l z \frac{\partial C_{v_l}^{\lambda}(z)}{\partial v} - (2\lambda - 1 + v_l) \frac{\partial C_{v_l-1}^{\lambda}(z)}{\partial v} \right)$$

$$\text{or } \frac{z C_{v_l}^{\lambda}(z) - C_{v_l-1}^{\lambda}(z)}{z^2 - 1} = \frac{1}{v_l} \left(\frac{\partial C_{v_l}^{\lambda}(z)}{\partial z} + \frac{(2\lambda - 1) C_{v_l-1}^{\lambda}(z)}{z^2 - 1} \right)$$

$$\Rightarrow \frac{\partial^2 C_{v_l}^{\lambda}(z)}{\partial v \partial z} = \frac{1}{v_l} \left(\frac{\partial C_{v_l}^{\lambda}(z)}{\partial z} + \frac{(2\lambda - 1) C_{v_l-1}^{\lambda}(z)}{z^2 - 1} \right) + \frac{1}{z^2 - 1} \left(v_l z \frac{\partial C_{v_l}^{\lambda}(z)}{\partial v} - (2\lambda - 1 + v_l) \frac{\partial C_{v_l-1}^{\lambda}(z)}{\partial v} \right)$$

$$\Rightarrow \left. \frac{\partial^2 C_{v_l}^{\lambda}(z)}{\partial v \partial z} \right|_{z=\mu_0} = \frac{1}{v_l} \left(\left. \frac{\partial C_{v_l}^{\lambda}(z)}{\partial z} + \frac{(2\lambda - 1) C_{v_l-1}^{\lambda}(z)}{z^2 - 1} \right|_{z=\mu_0} \right) + \frac{1}{\mu_0^2 - 1} \left(\mu_0 v_l \frac{\partial C_{v_l}^{\lambda}(\mu_0)}{\partial v} - (2\lambda - 1 + v_l) \frac{\partial C_{v_l-1}^{\lambda}(\mu_0)}{\partial v} \right)$$

$$\left. \frac{\partial^2 C_{v_l}^{\lambda}(z)}{\partial v \partial z} \right|_{z=\mu_0} = \frac{1}{\mu_0^2 - 1} \left(\frac{(2\lambda - 1) C_{v_l-1}^{\lambda}(\mu_0)}{v_l} + \mu_0 v_l \frac{\partial C_{v_l}^{\lambda}(\mu_0)}{\partial v} - (2\lambda - 1 + v_l) \frac{\partial C_{v_l-1}^{\lambda}(\mu_0)}{\partial v} \right)$$

On obtient la valeur de la norme de la fonction de Gegenbauer de degré non entier, solution du problème de Sturm-Liouville avec des conditions adiabatiques :

$$\begin{aligned} \|C_{\nu_l}^\lambda(z)\|^2 &= \frac{(1-\mu_0^2)^{\frac{2\lambda+1}{2}}}{(2\nu_l+2\lambda)} C_{\nu_l}^\lambda(\mu_0) \frac{\partial^2 C_{\nu_l}^\lambda(\mu_0)}{\partial z \partial \nu} \\ \frac{\partial^2 C_{\nu_l}^\lambda(z)}{\partial \nu \partial z} \Big|_{z=\mu_0} &= \frac{1}{\mu_0^2-1} \left(\frac{(2\lambda-1)C_{\nu_l-1}^\lambda(\mu_0)}{\nu_l} + \mu_0 \nu_l \frac{\partial C_{\nu_l}^\lambda(\mu_0)}{\partial \nu} - (2\lambda-1+\nu_l) \frac{\partial C_{\nu_l-1}^\lambda(\mu_0)}{\partial \nu} \right) \\ \Rightarrow \|C_{\nu_l}^\lambda(z)\|^2 &= \frac{(1-\mu_0^2)^{\frac{2\lambda-1}{2}}}{(2\nu_l+2\lambda)} C_{\nu_l}^\lambda(\mu_0) \left(\frac{(2\lambda-1)C_{\nu_l-1}^\lambda(\mu_0)}{\nu_l} + \mu_0 \nu_l \frac{\partial C_{\nu_l}^\lambda(\mu_0)}{\partial \nu} - (2\lambda-1+\nu_l) \frac{\partial C_{\nu_l-1}^\lambda(\mu_0)}{\partial \nu} \right) \end{aligned}$$

On peut établir un résultat sur la dérivée seconde à partir de la norme de fonctions de Gegenbauer de degré entier pair, correspondant au cas $\vartheta_0=\pi/2$:

$$\mu_0 = \cos(\pi/2) = 0 \Rightarrow \|C_{\nu_l}^\lambda(z)\|^2 = \frac{C_{\nu_l}^\lambda(0) \frac{\partial^2 C_{\nu_l}^\lambda(0)}{\partial z \partial \nu}}{(2\nu_l+2\lambda)} \quad \nu_l \text{ tq } C_{\nu_l-1}^\lambda(\mu_0)=0 \text{ et } C_{\nu_l-1}^\lambda(0)=0 \Rightarrow \nu_l = 2l$$

$$\text{on a vu que } C_{2l}^\lambda(0) = (-1)^l \frac{\Gamma(l+\lambda)}{l!\Gamma(\lambda)} \Rightarrow \|C_{2l}^\lambda(z)\|^2 = \frac{(-1)^l}{(4l+2\lambda)} \frac{\Gamma(l+\lambda)}{l!\Gamma(\lambda)} \frac{\partial^2 C_{2l}^\lambda(0)}{\partial z \partial \nu}$$

$$\text{Or } \|C_{2l}^\lambda(z)\|^2 = \int_0^1 dz (1-z^2)^{\frac{2\lambda-1}{2}} (C_{2l}^\lambda(z))^2 = \frac{1}{2} \int_{-1}^1 dz (1-z^2)^{\frac{2\lambda-1}{2}} (C_{2l}^\lambda(z))^2 = \frac{\pi \Gamma(2l+2\lambda)}{2^{2\lambda} (2l)!(2l+\lambda)(\Gamma(\lambda))^2}$$

$$\Rightarrow \frac{\partial^2 C_{2l}^\lambda(0)}{\partial z \partial \nu} = (-1)^l \frac{\pi \Gamma(2l+2\lambda)(4l+2\lambda)}{2^{2\lambda} (2l)!(2l+\lambda)(\Gamma(\lambda))^2} \frac{l!\Gamma(\lambda)}{\Gamma(l+\lambda)} = (-1)^l \frac{\pi \Gamma(2l+2\lambda)}{2^{2\lambda-1} (2l)!(\Gamma(\lambda))^2} \frac{l!\Gamma(\lambda)}{\Gamma(l+\lambda)}$$

$$\Rightarrow \frac{\partial^2 C_{2l}^\lambda(0)}{\partial z \partial \nu} = (-1)^l \frac{\pi \Gamma(2l+2\lambda)l!}{2^{2\lambda-1} (2l)!\Gamma(\lambda)\Gamma(l+\lambda)} \quad \text{Or } \frac{\partial^2 C_{2l}^\lambda(0)}{\partial \nu \partial z} = (2\lambda-1+2l) \frac{\partial C_{2l-1}^\lambda(0)}{\partial \nu}$$

$$\Rightarrow \frac{\partial C_{2l-1}^\lambda(0)}{\partial \nu} = (-1)^l \frac{\pi \Gamma(2l+2\lambda-1)l!}{2^{2\lambda-1} (2l)!\Gamma(\lambda)\Gamma(l+\lambda)} \Rightarrow \frac{\partial C_{2l+1}^\lambda(0)}{\partial \nu} = (-1)^{l+1} \frac{\pi \Gamma(2l+2\lambda+1)(l+1)!}{2^{2\lambda-1} (2l+2)!\Gamma(\lambda)\Gamma(l+1+\lambda)}$$

$$\Rightarrow \frac{\partial C_{2l+1}^\lambda(0)}{\partial \nu} = (-1)^{l+1} \frac{\pi \Gamma(2l+2\lambda+1)l!}{2^{2\lambda} (2l+1)!\Gamma(\lambda)\Gamma(l+1+\lambda)}$$

$$\text{On a déjà vu que } \frac{\partial C_{2l+1}^\lambda(0)}{\partial \nu} = (-1)^{l+1} \frac{\pi \Gamma(2l+1+2\lambda)l!}{2^{2\lambda} (2l+1)!\Gamma(\lambda)\Gamma(l+1+\lambda)}$$

En résumé la solution du problème s'écrit pour tout angle d'ouverture:

$$B_0 = \int_{\mu_0}^1 dz f_\theta(z) (1-z^2)^{\frac{2\lambda-1}{2}} \quad B_l = \int_{\mu_0}^1 dz f_\theta(z) (1-z^2)^{\frac{2\lambda-1}{2}} C_{\nu_l}^\lambda(z) \quad \nu_l = 0 \text{ ou } \nu_l \mu_0 C_{\nu_l}^\lambda(\mu_0) - (2\lambda-1+\nu_l) C_{\nu_l-1}^\lambda(\mu_0) = 0$$

$$\|C_{\nu_l}^\lambda(z)\|^2 = \int_{\mu_0}^1 dz (1-z^2)^{\frac{2\lambda-1}{2}} C_{\nu_l}^\lambda(z)^2 = \frac{(1-\mu_0^2)^{\frac{2\lambda+1}{2}}}{(2\nu_l+2\lambda)} C_{\nu_l}^\lambda(\mu_0) \frac{\partial^2 C_{\nu_l}^\lambda(\mu_0)}{\partial z \partial \nu}$$

$$\|C_0^\lambda(z)\|^2 = \int_{\mu_0}^1 dz (1-z^2)^{\frac{2\lambda-1}{2}} = \frac{\sqrt{\pi} \Gamma\left(\frac{2\lambda+1}{2}\right)}{2\Gamma(\lambda+1)} - \mu_0 \times {}_2F_1\left(\frac{1}{2}, \frac{1-2\lambda}{2}; \frac{3}{2}; \mu_0^2\right)$$

$$T(r, \theta) = \frac{B_0}{\|C_0^\lambda(z)\|^2} + \sum_{l \neq 0, +\infty} \frac{B_l}{\|C_{\nu_l}^\lambda(z)\|^2} \left(\frac{r}{l_r}\right)^{\nu_l} C_{\nu_l}^\lambda(\cos(\theta))$$

Problèmes aux limites de Laplace sur une hypersphère- p-

Lorsque $f_{\vartheta}(\vartheta)=1$ alors on a :

$$B_0 = \int_{\mu_0}^1 dz (1-z^2)^{\frac{2\lambda-1}{2}} = \|C_0^\lambda(z)\|^2 \quad B_l = \int_{\mu_0}^1 dz (1-z^2)^{\frac{2\lambda-1}{2}} C_{\nu_l}^\lambda(z)$$

$$\text{Comme } \int dx (1-x^2)^{\frac{(2\lambda-1)}{2}} C_{\nu}^\lambda(x) = -\frac{(1-x^2)^{\frac{(2\lambda+1)}{2}} C_{\nu}^{\lambda'}(x)}{\nu(\nu+2\lambda)} = \frac{(1-x^2)^{\frac{(2\lambda-1)}{2}}}{\nu(\nu+2\lambda)} (\nu x C_{\nu}^\lambda(x) - (2\lambda-1+\nu) C_{\nu-1}^\lambda(x))$$

$$\Rightarrow B_l = 0 \Rightarrow T(r, \theta) = 1$$

Et l'on retrouve bien la solution triviale $T(r, \vartheta)=1$. A titre d'illustration, choisissons une autre fonction limite de profil :

$$f_{\theta}(\theta) = 1 - \text{Heaviside}(\theta - \theta_1) \quad \text{avec } \theta_1 \in]0, \theta_0[$$

et posons $\mu_1 = \text{Cos}(\theta_1)$

$$B_0 = \int_{\mu_1}^1 dz (1-z^2)^{\frac{2\lambda-1}{2}} \|C_0^\lambda(z)\|^2 = \int_{\mu_0}^1 dz (1-z^2)^{\frac{2\lambda-1}{2}} = \frac{\sqrt{\pi} \Gamma\left(\frac{2\lambda+1}{2}\right)}{2\Gamma(\lambda+1)} - \mu_0 \times {}_2F_1\left(\frac{1}{2}, \frac{1-2\lambda}{2}; \frac{3}{2}; \mu_0^2\right)$$

$$\Rightarrow B_0 = \frac{\sqrt{\pi} \Gamma\left(\frac{2\lambda+1}{2}\right)}{2\Gamma(\lambda+1)} - \mu_1 \times {}_2F_1\left(\frac{1}{2}, \frac{1-2\lambda}{2}; \frac{3}{2}; \mu_1^2\right)$$

$$B_l = \int_{\mu_1}^1 dz (1-z^2)^{\frac{2\lambda-1}{2}} C_{\nu_l}^\lambda(z) = \frac{(1-\mu_1^2)^{\frac{(2\lambda-1)}{2}}}{\nu_l(\nu_l+2\lambda)} (\nu_l \mu_1 C_{\nu_l}^\lambda(\mu_1) - (2\lambda-1+\nu_l) C_{\nu_l-1}^\lambda(\mu_1))$$

$$\|C_{\nu_l}^\lambda(z)\|^2 = \int_{\mu_0}^1 dz (1-z^2)^{\frac{2\lambda-1}{2}} C_{\nu_l}^\lambda(z)^2 = \frac{(1-\mu_0^2)^{\frac{2\lambda+1}{2}}}{(2\nu_l+2\lambda)} C_{\nu_l}^\lambda(\mu_0) \frac{\partial^2 C_{\nu_l}^\lambda(\mu_0)}{\partial z \partial \nu}$$

$$T(r, \theta) = \frac{\frac{\sqrt{\pi} \Gamma\left(\frac{2\lambda+1}{2}\right)}{2\Gamma(\lambda+1)} - \mu_1 \times {}_2F_1\left(\frac{1}{2}, \frac{1-2\lambda}{2}; \frac{3}{2}; \mu_1^2\right)}{\frac{\sqrt{\pi} \Gamma\left(\frac{2\lambda+1}{2}\right)}{2\Gamma(\lambda+1)} - \mu_0 \times {}_2F_1\left(\frac{1}{2}, \frac{1-2\lambda}{2}; \frac{3}{2}; \mu_0^2\right)} +$$

$$+ \sum_{l \neq 0, +\infty} \frac{(1-\mu_1^2)^{\frac{(2\lambda-1)}{2}}}{(1-\mu_0^2)^{\frac{2\lambda+1}{2}}} \frac{(2\nu_l+2\lambda)(\nu_l \mu_1 C_{\nu_l}^\lambda(\mu_1) - (2\lambda-1+\nu_l) C_{\nu_l-1}^\lambda(\mu_1))}{\nu_l(\nu_l+2\lambda) C_{\nu_l}^\lambda(\mu_0) \frac{\partial^2 C_{\nu_l}^\lambda(\mu_0)}{\partial z \partial \nu}} \left(\frac{r}{l_r}\right)^{\nu_l} C_{\nu_l}^\lambda(\text{Cos}(\theta))$$

$$\nu_l = 0 \text{ ou } \nu_l \mu_0 C_{\nu_l}^\lambda(\mu_0) - (2\lambda-1+\nu_l) C_{\nu_l-1}^\lambda(\mu_0) = 0$$

Problèmes aux limites de Laplace sur une hypersphère- p-

Exemple : Cône sphérique creux d'angle θ_0 , en coordonnées sphériques (r, θ) soumis à des conditions aux limites de Dirichlet homogènes en $r=l_{r1}$, inhomogènes en $r=l_{r2}$. et de Dirichlet ou de Neumann homogènes en θ_0 . Soit le problème sur cône ultra-sphérique :

$$\Delta_{r,\theta}^n T(r, \theta) = 0 \quad T(r, \theta) \Big|_{\vec{x} \in C_{\Omega_n}} \quad r = \|\vec{x}\| = \sqrt{\sum_{i=1}^n x_i^2} \quad z = \cos(\theta) \text{ et } \mu_0 = \cos(\theta_0) \quad T(r, \theta) \text{ fini}$$

$$C_{\Omega_n} = \left\{ \vec{x} / x_1 \in [0, \infty[, \sum_{i=2}^n x_i^2 \in \left[0, x_1^2 \left(\frac{\sin(\theta_0)}{\cos(\theta_0)} \right)^2 \right] \right\} \cap \left\{ \vec{x} / , \sum_{i=1}^n x_i^2 \in [l_{r1}, l_{r2}] \right\}$$

$$\partial C_{\Omega_n} = \left\{ \vec{x} / x_1 \in [0, \infty[, \sum_{i=2}^n x_i^2 = x_1^2 (\tan(\theta_0))^2 \right\} \cap \left[\left\{ \vec{x} / , \sum_{i=1}^n x_i^2 = l_{r1} \right\} \cup \left\{ \vec{x} / , \sum_{i=1}^n x_i^2 = l_{r2} \right\} \right]$$

$$C.L. \quad T(r, \theta) \Big|_{\substack{\theta=\theta_0 \\ r \in [l_{r1}, l_{r2}]}} \quad \text{ou} \quad \frac{\partial T(r, \theta)}{\partial \theta} \Big|_{\substack{\theta=\theta_0 \\ r \in [l_{r1}, l_{r2}]}} = 0 \quad T(r, \theta) \Big|_{\substack{\theta \in [0, \theta_0] \\ r=l_{r1}}} = 0 \quad T(r, \theta) \Big|_{\substack{\theta \in [0, \theta_0] \\ r=l_{r2}}} = f(\theta)$$

En suivant la suite des calculs effectués dans les exemples précédents, pour le cas d'une condition homogène de Dirichlet:

$$\mu_0 = \cos(\theta_0) \quad T(r, \theta) = \sum_{l \neq 0, +\infty} \frac{B_l}{\|C_{v_l}^\lambda(z)\|^2} \frac{\left(\left(\frac{r}{l_{r1}} \right)^{v_l} - \left(\frac{l_{r1}}{r} \right)^{v_l+2\lambda} \right)}{\left(\left(\frac{l_{r2}}{l_{r1}} \right)^{v_l} - \left(\frac{l_{r1}}{l_{r2}} \right)^{v_l+2\lambda} \right)} C_{v_l}^\lambda(\cos(\theta)) \quad v_l \quad \text{tq} \quad C_{v_l}^\lambda(\cos(\theta_0)) = 0 \Leftrightarrow C_{v_l}^\lambda(\mu_0) = 0$$

$$B_l = \int_{\mu_0}^1 dz (1-z^2)^{\frac{2\lambda-1}{2}} f_\theta(z) C_{v_l}^\lambda(z) \quad \text{avec} \quad \|C_{v_l}^\lambda(z)\|^2 = -\frac{(1-\mu_0^2)^{\frac{2\lambda-1}{2}} (v_l+2\lambda-1)}{(2v_l+2\lambda)} \frac{\partial C_{v_l}^\lambda(\mu_0)}{\partial v} C_{v_l-1}^\lambda(\mu_0)$$

$$\Rightarrow T(r, \theta) = - \sum_{l \neq 0, +\infty} \frac{(2v_l+2\lambda)B_l}{(1-\mu_0^2)^{\frac{2\lambda-1}{2}} (v_l+2\lambda-1) \frac{\partial C_{v_l}^\lambda(\mu_0)}{\partial v} C_{v_l-1}^\lambda(\mu_0)} \frac{\left(\left(\frac{r}{l_{r1}} \right)^{v_l} - \left(\frac{l_{r1}}{r} \right)^{v_l+2\lambda} \right)^{v_l}}{\left(\left(\frac{l_{r2}}{l_{r1}} \right)^{v_l} - \left(\frac{l_{r1}}{l_{r2}} \right)^{v_l+2\lambda} \right)} C_{v_l}^\lambda(\cos(\theta))$$

Et pour le cas d'une condition homogène de Neumann :

$$B_0 = \int_{\mu_0}^1 dz f_\theta(z) (1-z^2)^{\frac{2\lambda-1}{2}} \quad B_l = \int_{\mu_0}^1 dz f_\theta(z) (1-z^2)^{\frac{2\lambda-1}{2}} C_{v_l}^\lambda(z) \quad v_l = 0 \text{ ou } v_l \mu_0 C_{v_l}^\lambda(\mu_0) - (2\lambda-1+v_l) C_{v_l-1}^\lambda(\mu_0) = 0$$

$$\|C_{v_l}^\lambda(z)\|^2 = \int_{\mu_0}^1 dz (1-z^2)^{\frac{2\lambda-1}{2}} C_{v_l}^\lambda(z)^2 = \frac{(1-\mu_0^2)^{\frac{2\lambda+1}{2}}}{(2v_l+2\lambda)} C_{v_l}^\lambda(\mu_0) \frac{\partial^2 C_{v_l}^\lambda(\mu_0)}{\partial z \partial v}$$

$$\|C_0^\lambda(z)\|^2 = \int_{\mu_0}^1 dz (1-z^2)^{\frac{2\lambda-1}{2}} = \frac{\sqrt{\pi} \Gamma\left(\frac{2\lambda+1}{2}\right)}{2\Gamma(\lambda+1)} - \mu_0 \times {}_2F_1\left(\frac{1}{2}, \frac{1-2\lambda}{2}; \frac{3}{2}; \mu_0^2\right)$$

$$T(r, \theta) = \frac{B_0}{\|C_0^\lambda(z)\|^2} + \sum_{l \neq 0, +\infty} \frac{B_l}{\|C_{v_l}^\lambda(z)\|^2} \frac{\left(\left(\frac{r}{l_{r1}} \right)^{v_l} - \left(\frac{l_{r1}}{r} \right)^{v_l+2\lambda} \right)}{\left(\left(\frac{l_{r2}}{l_{r1}} \right)^{v_l} - \left(\frac{l_{r1}}{l_{r2}} \right)^{v_l+2\lambda} \right)} \left(\frac{r}{l_r} \right)^{v_l} C_{v_l}^\lambda(\cos(\theta))$$

Exemple : Section sphérique pleine entre les angles θ_1, θ_2 , en coordonnées sphériques (r, θ) soumise à des conditions aux limites inhomogènes de Dirichlet en $r=l_r$, homogènes de Dirichlet en θ_1 et θ_2

Soit le problème :

$$\Delta_{r,\theta}^n T(r, \theta) = 0 \quad T(r, \theta)|_{\vec{x} \in C_{\Omega_n}} \quad r = \|\vec{x}\| = \sqrt{\sum_{i=1}^n x_i^2} \quad z = \cos(\theta) \text{ et } \mu_0 = \cos(\theta_0) \quad T(r, \theta) \text{ fini}$$

$$C_{\Omega_n} = \left\{ \vec{x} / x_1 \in [0, \infty[, \sum_{i=2}^n x_i^2 \in \left[x_1^2 \left(\frac{\sin(\theta_1)}{\cos(\theta_1)} \right)^2, x_1^2 \left(\frac{\sin(\theta_2)}{\cos(\theta_2)} \right)^2 \right] \right\} \cap \left\{ \vec{x} / \sum_{i=1}^n x_i^2 \in [0, l_r] \right\}$$

$$\partial C_{\Omega_n} = \left[\left\{ \vec{x} / x_1 \in [0, \infty[, \sum_{i=2}^n x_i^2 = x_1^2 (\tan(\theta_1))^2 \right\} \cup \left\{ \vec{x} / x_1 \in [0, \infty[, \sum_{i=2}^n x_i^2 = x_1^2 (\tan(\theta_2))^2 \right\} \right] \cap$$

$$\cap \left\{ \vec{x} / \sum_{i=1}^n x_i^2 = l_r \right\} \quad C.L. \quad T(r, \theta)|_{r \in [0, l_r]}^{\theta=\theta_1} = 0 \quad T(r, \theta)|_{r \in [0, l_r]}^{\theta=\theta_2} = 0 \quad T(r, \theta)|_{r=l_r}^{\theta \in [\theta_1, \theta_2]} = f(\theta)$$

Pour respecter les conditions aux limites homogènes angulaires, on est amené à rechercher une extension des fonctions de Gegenbauer de degré entier à des fonctions de Gegenbauer de première et deuxième espèce de degré non entier. En respectant la contrainte de finitude et par principe de superposition on recherche donc la solution sous la forme d'une série :

$$T(r, \theta) = \sum_{l \neq 0, +\infty} C_l r^{v_l} \left(\frac{C_{v_l}^\lambda(\cos(\theta))}{C_{v_l}^\lambda(\cos(\theta_2))} - \frac{C_{(Q), v_l}^\lambda(\cos(\theta))}{C_{(Q), v_l}^\lambda(\cos(\theta_2))} \right)$$

Comme $\theta_2 > \theta_1 \Rightarrow \cos(\theta_2) < \cos(\theta_1)$ on pose $\mu_1 = \cos(\theta_2)$ et $\mu_2 = \cos(\theta_1)$ de telle manière que $\mu_1 < \mu_2$

$$v_l \quad tq \quad \frac{C_{v_l}^\lambda(\cos(\theta_1))}{C_{v_l}^\lambda(\cos(\theta_2))} = \frac{C_{(Q), v_l}^\lambda(\cos(\theta_1))}{C_{(Q), v_l}^\lambda(\cos(\theta_2))} \Leftrightarrow v_l \quad tq \quad \frac{C_{v_l}^\lambda(\mu_2)}{C_{v_l}^\lambda(\mu_1)} = \frac{C_{(Q), v_l}^\lambda(\mu_2)}{C_{(Q), v_l}^\lambda(\mu_1)}$$

$$\Phi_{v_l}(\cos(\theta)) = \frac{C_{v_l}^\lambda(\cos(\theta))}{C_{v_l}^\lambda(\mu_1)} - \frac{C_{(Q), v_l}^\lambda(\cos(\theta))}{C_{(Q), v_l}^\lambda(\mu_1)} \Leftrightarrow \Phi_{v_l}(z) = \frac{C_{v_l}^\lambda(z)}{C_{v_l}^\lambda(\mu_1)} - \frac{C_{(Q), v_l}^\lambda(z)}{C_{(Q), v_l}^\lambda(\mu_1)} \quad z = \cos(\theta)$$

Les fonctions propres du problème de Sturm-Liouville s'écrivent donc :

$$\Phi_{v_l}(\cos(\theta)) = \frac{C_{v_l}^\lambda(\cos(\theta))}{C_{v_l}^\lambda(\mu_1)} - \frac{C_{(Q), v_l}^\lambda(\cos(\theta))}{C_{(Q), v_l}^\lambda(\mu_1)} \Leftrightarrow \Phi_{v_l}(z) = \frac{C_{v_l}^\lambda(z)}{C_{v_l}^\lambda(\mu_1)} - \frac{C_{(Q), v_l}^\lambda(z)}{C_{(Q), v_l}^\lambda(\mu_1)} \quad z = \cos(\theta)$$

On rappelle que c'est la formule de dérivation en z qui sert à établir la principale formule de la norme pour une fonction propre constituée par une fonction de Legendre de première espèce. Le résultat est donc applicable aux fonctions de Gegenbauer de première et deuxième espèce, ainsi qu'à toute combinaison linéaire de ces deux fonctions (notre cas présent). La formule de dérivation utilisée est la suivante :

$$\frac{dC_v^\lambda(z)}{dz} = \frac{v z C_v^\lambda(z) - (2\lambda - 1 + v) C_{v-1}^\lambda(z)}{(z^2 - 1)} \quad \frac{dC_{(Q), v}^\lambda(z)}{dz} = \frac{v z C_{(Q), v}^\lambda(z) - (2\lambda - 1 + v) C_{(Q), v-1}^\lambda(z)}{(z^2 - 1)} \quad \forall v > 0 \in \mathbf{R} \text{ ou } \mathbf{N}$$

$$\Rightarrow \frac{d\Phi_{v_l}(z)}{dz} = \frac{v_l z \Phi_{v_l}(z) - (2\lambda - 1 + v_l) \Phi_{v_l-1}(z)}{(z^2 - 1)}$$

La norme pour toute combinaison linéaire : $\Phi_{v_l}(z) = aC_{v_l}^\lambda(z) + bC_{(Q),v_l}^\lambda(z)$ s'écrit:

$$\int_{\mu_1}^{\mu_2} dz (1-z^2)^{\frac{2\lambda-1}{2}} (\Phi_{v_l}(z))^2 = \frac{1}{(2v_l+2\lambda)} \left[(1-z^2)^{\frac{2\lambda+1}{2}} \left(\frac{\partial \Phi_{v_l}(z)}{\partial v} \frac{\partial \Phi_{v_l}(z)}{\partial z} - \Phi_{v_l}(z) \frac{\partial^2 \Phi_{v_l}(z)}{\partial z \partial v} \right) \right]_{\mu_1}^{\mu_2} \quad \text{or} \quad \Phi_{v_l}(z) \Big|_{\substack{z=\mu_1 \\ \text{ou} \\ z=\mu_2}} = 0$$

$$\frac{d\Phi_{v_l}(z)}{dz} = \frac{v_l z \Phi_{v_l}(z) - (2\lambda-1+v_l)\Phi_{v_l-1}(z)}{(z^2-1)} = \frac{(2\lambda-1+v_l)\Phi_{v_l-1}(z) - v_l z \Phi_{v_l}(z)}{1-z^2}$$

$$\Rightarrow \frac{d\Phi_{v_l}(z)}{dz} \Big|_{\substack{z=\mu_1 \\ \text{ou} \\ z=\mu_2}} = \frac{(2\lambda-1+v_l)\Phi_{v_l-1}(z)}{1-z^2} \Big|_{\substack{z=\mu_1 \\ \text{ou} \\ z=\mu_2}}$$

$$\|\Phi_{v_l}(z)\|^2 = \int_{\mu_1}^{\mu_2} dz (1-z^2)^{\frac{2\lambda-1}{2}} (\Phi_{v_l}(z))^2 = \frac{(2\lambda-1+v_l)}{(2v_l+2\lambda)} \left[(1-z^2)^{\frac{2\lambda-1}{2}} \frac{\partial \Phi_{v_l}(z)}{\partial v} \Phi_{v_l-1}(z) \right]_{\mu_1}^{\mu_2}$$

$$\|\Phi_{v_l}(z)\|^2 = \frac{(2\lambda-1+v_l)}{(2v_l+2\lambda)} \left[(1-\mu_2^2)^{\frac{2\lambda-1}{2}} \frac{\partial \Phi_{v_l}(\mu_2)}{\partial v} \Phi_{v_l-1}(\mu_2) - (1-\mu_1^2)^{\frac{2\lambda-1}{2}} \frac{\partial \Phi_{v_l}(\mu_1)}{\partial v} \Phi_{v_l-1}(\mu_1) \right]$$

On peut également opter pour une évaluation numérique directe des normes des fonctions propres. En effet les formules de calcul des dérivées paramétriques (en λ) des fonctions de Gegenbauer de première espèce ont la désagréable habitude de diverger et pour la deuxième espèce elle n'existe tout simplement pas, sauf à faire intervenir les fonctions de Legendre associées dont elles sont issues. Aussi on se contente de garder la forme littérale de l'intégration pour la

norme : $\|\Phi_{v_l}(z)\|^2 = \int_{\mu_1}^{\mu_2} dz (1-z^2)^{\frac{2\lambda-1}{2}} (\Phi_{v_l}(z))^2$

La prise en compte de la condition aux limites inhomogènes en $r=l$, donne :

$$z = \cos(\theta) \quad \mu_1 = \cos(\theta_2); \mu_2 = \cos(\theta_1) \quad v_l \quad \text{tq} \quad \frac{C_{v_l}^\lambda(\mu_2)}{C_{v_l}^\lambda(\mu_1)} = \frac{C_{(Q),v_l}^\lambda(\mu_2)}{C_{(Q),v_l}^\lambda(\mu_1)}$$

$$\Phi_{v_l}(z) = \frac{C_{v_l}^\lambda(z)}{C_{v_l}^\lambda(\mu_1)} - \frac{C_{(Q),v_l}^\lambda(z)}{C_{(Q),v_l}^\lambda(\mu_1)} \quad B_l = \int_{\mu_1}^{\mu_2} dz (1-z^2)^{\frac{2\lambda-1}{2}} f_\theta(z) C_{v_l}^\lambda(z) \quad C_l = \int_{\mu_1}^{\mu_2} dz (1-z^2)^{\frac{2\lambda-1}{2}} f_\theta(z) C_{(Q),v_l}^\lambda(z)$$

$$\Phi_{v_l-1}(\mu_1) = \frac{C_{v_l-1}^\lambda(\mu_1)}{C_{v_l}^\lambda(\mu_1)} - \frac{C_{(Q),v_l-1}^\lambda(\mu_1)}{C_{(Q),v_l}^\lambda(\mu_1)} \quad \frac{\partial \Phi_{v_l}(\mu_1)}{\partial v} = \frac{1}{C_{v_l}^\lambda(\mu_1)} \frac{\partial C_{v_l}^\lambda(\mu_1)}{\partial v} - \frac{1}{C_{(Q),v_l}^\lambda(\mu_1)} \frac{\partial C_{(Q),v_l}^\lambda(\mu_1)}{\partial v}$$

$$\Phi_{v_l-1}(\mu_2) = \frac{C_{v_l-1}^\lambda(\mu_2)}{C_{v_l}^\lambda(\mu_1)} - \frac{C_{(Q),v_l-1}^\lambda(\mu_2)}{C_{(Q),v_l}^\lambda(\mu_1)} \quad \frac{\partial \Phi_{v_l}(\mu_2)}{\partial \lambda} = \frac{1}{C_{v_l}^\lambda(\mu_1)(\mu_1)} \frac{\partial C_{v_l}^\lambda(\mu_2)}{\partial v} - \frac{1}{C_{(Q),v_l}^\lambda(\mu_1)} \frac{\partial C_{(Q),v_l}^\lambda(\mu_2)}{\partial v}$$

$$\|\Phi_{v_l}(z)\|^2 = \frac{(2\lambda-1+v_l)}{(2v_l+2\lambda)} \left[(1-\mu_2^2)^{\frac{2\lambda-1}{2}} \frac{\partial \Phi_{v_l}(\mu_2)}{\partial v} \Phi_{v_l-1}(\mu_2) - (1-\mu_1^2)^{\frac{2\lambda-1}{2}} \frac{\partial \Phi_{v_l}(\mu_1)}{\partial v} \Phi_{v_l-1}(\mu_1) \right]$$

$$T(r,\theta) = \sum_{l \neq 0, +\infty} \frac{(2v_l+2\lambda)}{(2\lambda-1+v_l)} \left[\left(\frac{B_l}{C_{v_l}^\lambda(\mu_1)} - \frac{C_l}{C_{(Q),v_l}^\lambda(\mu_1)} \right) \left(\frac{r}{l} \right)^{v_l} \left[\frac{C_{v_l}^\lambda(\cos(\theta))}{C_{v_l}^\lambda(\mu_1)} - \frac{C_{(Q),v_l}^\lambda(\cos(\theta))}{C_{(Q),v_l}^\lambda(\mu_1)} \right] \right. \\ \left. \left[(1-\mu_2^2)^{\frac{2\lambda-1}{2}} \frac{\partial \Phi_{v_l}(\mu_2)}{\partial v} \Phi_{v_l-1}(\mu_2) - (1-\mu_1^2)^{\frac{2\lambda-1}{2}} \frac{\partial \Phi_{v_l}(\mu_1)}{\partial v} \Phi_{v_l-1}(\mu_1) \right] \right]$$

En prenant en compte les formules d'intégrales indéfinies :

$$\left\{ \begin{array}{l} \int dx (1-x^2)^{\frac{(2\lambda-1)}{2}} C_v^\lambda(x) = -\frac{(1-x^2)^{\frac{(2\lambda+1)}{2}} C_v^{\lambda+1}(x)}{v(v+2\lambda)} = \frac{(1-x^2)^{\frac{(2\lambda-1)}{2}}}{v(v+2\lambda)} (v x C_v^\lambda(x) - (2\lambda-1+v) C_{v-1}^\lambda(x)) \\ = -\frac{2\lambda}{v(v+2\lambda)} (1-x^2)^{\frac{(2\lambda+1)}{2}} C_{v-1}^{\lambda+1}(x) \\ \int dx (1-x^2)^{\frac{(2\lambda-1)}{2}} C_{(Q),v}^\lambda(x) = -\frac{(1-x^2)^{\frac{(2\lambda+1)}{2}} C_{(Q),v}^{\lambda+1}(x)}{v(v+2\lambda)} = \frac{(1-x^2)^{\frac{(2\lambda-1)}{2}}}{v(v+2\lambda)} (v x C_{(Q),v}^\lambda(x) - (2\lambda-1+v) C_{(Q),v-1}^\lambda(x)) \\ = -\frac{2\lambda}{v(v+2\lambda)} (1-x^2)^{\frac{(2\lambda+1)}{2}} C_{(Q),v-1}^{\lambda+1}(x) \end{array} \right.$$

Lorsque la fonction limite $f_\theta(z)=1$, avec les formes littérales des normes des fonctions propres :

$$z = \cos(\theta) \quad \mu_1 = \cos(\theta_1); \mu_2 = \cos(\theta_2) \quad v_l \quad tq \quad \frac{C_{v_l}^\lambda(\mu_2)}{C_{v_l}^\lambda(\mu_1)} = \frac{C_{(Q),v_l}^\lambda(\mu_2)}{C_{(Q),v_l}^\lambda(\mu_1)} \quad \Phi_{v_l}(z) = \frac{C_{v_l}^\lambda(z)}{C_{v_l}^\lambda(\mu_1)} = \frac{C_{(Q),v_l}^\lambda(z)}{C_{(Q),v_l}^\lambda(\mu_1)}$$

$$\Phi_{v_l-1}(\mu_1) = \frac{C_{v_l-1}^\lambda(\mu_1)}{C_{v_l}^\lambda(\mu_1)} - \frac{C_{(Q),v_l-1}^\lambda(\mu_1)}{C_{(Q),v_l}^\lambda(\mu_1)} \quad \frac{\partial \Phi_{v_l}(\mu_1)}{\partial v} = \frac{1}{C_{v_l}^\lambda(\mu_1)} \frac{\partial C_{v_l}^\lambda(\mu_1)}{\partial v} - \frac{1}{C_{(Q),v_l}^\lambda(\mu_1)} \frac{\partial C_{(Q),v_l}^\lambda(\mu_1)}{\partial v}$$

$$\Phi_{v_l-1}(\mu_2) = \frac{C_{v_l-1}^\lambda(\mu_2)}{C_{v_l}^\lambda(\mu_1)} - \frac{C_{(Q),v_l-1}^\lambda(\mu_2)}{C_{(Q),v_l}^\lambda(\mu_1)} \quad \frac{\partial \Phi_{v_l}(\mu_2)}{\partial \lambda} = \frac{1}{C_{v_l}^\lambda(\mu_1)(\mu_1)} \frac{\partial C_{v_l}^\lambda(\mu_2)}{\partial v} - \frac{1}{C_{(Q),v_l}^\lambda(\mu_1)} \frac{\partial C_{(Q),v_l}^\lambda(\mu_2)}{\partial v}$$

$$\|\Phi_{v_l}(z)\|^2 = \frac{(2\lambda-1+v_l)}{(2v_l+2\lambda)} \left[(1-\mu_2^2)^{\frac{2\lambda-1}{2}} \frac{\partial \Phi_{v_l}(\mu_2)}{\partial v} \Phi_{v_l-1}(\mu_2) - (1-\mu_1^2)^{\frac{2\lambda-1}{2}} \frac{\partial \Phi_{v_l}(\mu_1)}{\partial v} \Phi_{v_l-1}(\mu_1) \right]$$

$$\frac{1}{C_{v_l}^\lambda(\mu_1)} \int_{\mu_1}^{\mu_2} dz (1-z^2)^{\frac{2\lambda-1}{2}} C_{v_l}^\lambda(z) = -\frac{2\lambda}{v_l(v_l+2\lambda)C_{v_l}^\lambda(\mu_1)} \left[(1-z^2)^{\frac{(2\lambda+1)}{2}} C_{v_l-1}^{\lambda+1}(z) \right]_{\mu_1}^{\mu_2} = \frac{2\lambda}{v_l(v_l+2\lambda)} A_l$$

$$\frac{1}{C_{(Q),v_l}^\lambda(\mu_1)} \int_{\mu_1}^{\mu_2} dz (1-z^2)^{\frac{2\lambda-1}{2}} C_{(Q),v_l}^\lambda(z) = -\frac{2\lambda}{v_l(v_l+2\lambda)C_{(Q),v_l}^\lambda(\mu_1)} \left[(1-z^2)^{\frac{(2\lambda+1)}{2}} C_{(Q),v_l-1}^{\lambda+1}(z) \right]_{\mu_1}^{\mu_2} = \frac{2\lambda}{v_l(v_l+2\lambda)} D_l$$

$$\Rightarrow A_l = \frac{\left[(1-\mu_1^2)^{\frac{(2\lambda+1)}{2}} C_{v_l-1}^{\lambda+1}(\mu_1) - (1-\mu_2^2)^{\frac{(2\lambda+1)}{2}} C_{v_l-1}^{\lambda+1}(\mu_2) \right]}{C_{v_l}^\lambda(\mu_1)} \quad D_l = \frac{\left[(1-\mu_1^2)^{\frac{(2\lambda+1)}{2}} C_{(Q),v_l-1}^{\lambda+1}(\mu_1) - (1-\mu_2^2)^{\frac{(2\lambda+1)}{2}} C_{(Q),v_l-1}^{\lambda+1}(\mu_2) \right]}{C_{(Q),v_l}^\lambda(\mu_1)}$$

$$T(r, \theta) = \sum_{l \neq 0, +\infty} \frac{2\lambda(A_l - D_l)}{v_l(v_l+2\lambda)\|\Phi_{v_l}^\lambda(z)\|^2} \left(\frac{r}{l_r} \right)^{v_l} \left[\frac{C_{v_l}^\lambda(\cos(\theta))}{C_{v_l}^\lambda(\mu_1)} - \frac{C_{(Q),v_l}^\lambda(\cos(\theta))}{C_{(Q),v_l}^\lambda(\mu_1)} \right]$$

Le cas particulier où $\theta_2=\pi-\theta_1$ entraînant $\mu_1=-\mu_2$, cela donne une condition aux limites paires et il s'ensuit que la solution du problème aux limites doit également être paire. Plus généralement un problème pour lequel $\theta_2=\pi-\theta_1$, $\mu_1=-\mu_2$, avec une condition aux limites paire doit normalement conduire à une solution paire :

$$f_\theta(\theta) = f_\theta(\pi-\theta) \Rightarrow T(r, \theta) = T(r, \pi-\theta)$$

avec une condition aux limites impaire doit normalement conduire à une solution impaire :

$$f_\theta(\theta) = -f_\theta(\pi-\theta) \Rightarrow T(r, \theta) = -T(r, \pi-\theta)$$

C'est ce que nous avons démontré dans un paragraphe spécial consacré à ce sujet :

Exemple : Section sphérique pleine entre les angles θ_1, θ_2 , en coordonnées sphériques (r, θ) soumise à des conditions aux limites de Dirichlet inhomogènes en $r=l_r$ de Neumann homogènes en θ_1 et θ_2 . Soit le problème :

$$\Delta_{r,\theta}^n T(r, \theta) = 0 \quad T(r, \theta) \Big|_{\vec{x} \in C_{\Omega_n}} \quad r = \|\vec{x}\| = \sqrt{\sum_{i=1}^n x_i^2} \quad z = \cos(\theta) \text{ et } \mu_0 = \cos(\theta_0) \quad T(r, \theta) \text{ fini}$$

$$C_{\Omega_n} = \left\{ \vec{x} / x_1 \in [0, \infty[, \sum_{i=2}^n x_i^2 \in \left[x_1^2 \left(\frac{\sin(\theta_1)}{\cos(\theta_1)} \right)^2, x_1^2 \left(\frac{\sin(\theta_2)}{\cos(\theta_2)} \right)^2 \right] \right\} \cap \left\{ \vec{x} / \sum_{i=1}^n x_i^2 \in [0, l_r] \right\}$$

$$\partial C_{\Omega_n} = \left[\left\{ \vec{x} / x_1 \in [0, \infty[, \sum_{i=2}^n x_i^2 = x_1^2 (\tan(\theta_1))^2 \right\} \cup \left\{ \vec{x} / x_1 \in [0, \infty[, \sum_{i=2}^n x_i^2 = x_1^2 (\tan(\theta_2))^2 \right\} \right] \cap$$

$$\cap \left\{ \vec{x} / \sum_{i=1}^n x_i^2 = l_r \right\} \quad C.L. \quad \frac{\partial T(r, \theta)}{\partial \theta} \Big|_{\substack{\theta=\theta_1 \\ r \in [0, l_r]}} = 0 \quad \frac{\partial T(r, \theta)}{\partial \theta} \Big|_{\substack{\theta=\theta_2 \\ r \in [0, l_r]}} = 0 \quad T(r, \theta) \Big|_{r=l_r, \theta \in [\theta_1, \theta_2]} = f(\theta)$$

Pour respecter les conditions aux limites homogènes angulaires, on est amené à rechercher une extension des fonctions de Gegenbauer de degré entier à des fonctions de Gegenbauer de première et deuxième espèce de degré non entier. Par principe de superposition on recherche et on trouve la solution sous la forme de la série suivante :

$$z = \cos(\theta) \quad \mu_1 = \cos(\theta_2); \mu_2 = \cos(\theta_1) \quad v_l \quad tq \quad \frac{C_{v_l}^{\lambda+1}(\mu_2)}{C_{v_l}^{\lambda+1}(\mu_1)} = \frac{C_{(Q),v_l}^{\lambda}(\mu_2)}{C_{(Q),v_l}^{\lambda}(\mu_1)} \Leftrightarrow \frac{C_{v_l-1}^{\lambda+1}(\mu_2)}{C_{v_l-1}^{\lambda+1}(\mu_1)} = \frac{C_{(Q),v_l-1}^{\lambda+1}(\mu_2)}{C_{(Q),v_l-1}^{\lambda+1}(\mu_1)}$$

$$\text{or} \quad C_{v_l}^{\lambda+1}(z) = 2\lambda C_{v_l-1}^{\lambda+1}(z) \Leftrightarrow v_l \quad tq \quad \frac{C_{v_l-1}^{\lambda+1}(\mu_2)}{C_{v_l-1}^{\lambda+1}(\mu_1)} = \frac{C_{(Q),v_l-1}^{\lambda+1}(\mu_2)}{C_{(Q),v_l-1}^{\lambda+1}(\mu_1)} \quad \Phi_{v_l}^{\lambda}(z) = \frac{C_{v_l}^{\lambda}(z)}{C_{v_l-1}^{\lambda+1}(\mu_1)} - \frac{C_{(Q),v_l}^{\lambda}(z)}{C_{(Q),v_l-1}^{\lambda+1}(\mu_1)}$$

$$\|\Phi_{v_l}^{\lambda}(z)\|^2 = \frac{\left[(1-z^2)^{\frac{2\lambda+1}{2}} \Phi_{v_l}^{\lambda}(z) \frac{\partial^2 \Phi_{v_l}^{\lambda}(z)}{\partial z \partial v} \right]_{\mu_2}^{\mu_1}}{(2v+2\lambda)} = \frac{2\lambda \left[(1-z^2)^{\frac{2\lambda+1}{2}} \Phi_{v_l}^{\lambda}(z) \frac{\partial \Phi_{v_l-1}^{\lambda+1}(z)}{\partial v} \right]_{\mu_2}^{\mu_1}}{(2v+2\lambda)}$$

$$\Phi_{v_l}^{\lambda}(\mu_1) = \frac{C_{v_l}^{\lambda}(\mu_1)}{C_{v_l-1}^{\lambda+1}(\mu_1)} - \frac{C_{(Q),v_l}^{\lambda}(\mu_1)}{C_{(Q),v_l-1}^{\lambda+1}(\mu_1)} \quad \frac{\partial \Phi_{v_l-1}^{\lambda+1}(\mu_1)}{\partial v} = \frac{1}{C_{v_l-1}^{\lambda+1}(\mu_1)} \frac{\partial C_{v_l-1}^{\lambda+1}(\mu_1)}{\partial v} - \frac{1}{C_{(Q),v_l-1}^{\lambda+1}(\mu_1)} \frac{\partial C_{(Q),v_l-1}^{\lambda+1}(\mu_1)}{\partial v}$$

$$\Phi_{v_l}^{\lambda}(\mu_2) = \frac{C_{v_l}^{\lambda}(\mu_2)}{C_{v_l-1}^{\lambda+1}(\mu_1)} - \frac{C_{(Q),v_l}^{\lambda}(\mu_2)}{C_{(Q),v_l-1}^{\lambda+1}(\mu_1)} \quad \frac{\partial \Phi_{v_l-1}^{\lambda+1}(\mu_2)}{\partial \lambda} = \frac{1}{C_{v_l-1}^{\lambda+1}(\mu_1)} \frac{\partial C_{v_l}^{\lambda}(\mu_2)}{\partial v} - \frac{1}{C_{(Q),v_l-1}^{\lambda+1}(\mu_1)} \frac{\partial C_{(Q),v_l-1}^{\lambda+1}(\mu_2)}{\partial v}$$

$$\|\Phi_{v_l}^{\lambda}(z)\|^2 = \frac{2\lambda}{(2v+2\lambda)} \left[(1-\mu_1^2)^{\frac{2\lambda+1}{2}} \Phi_{v_l}^{\lambda}(\mu_1) \frac{\partial \Phi_{v_l-1}^{\lambda+1}(\mu_1)}{\partial v} - (1-\mu_2^2)^{\frac{2\lambda+1}{2}} \Phi_{v_l}^{\lambda}(\mu_2) \frac{\partial \Phi_{v_l-1}^{\lambda+1}(\mu_2)}{\partial v} \right]$$

$$B_l = \int_{\mu_1}^{\mu_2} dz (1-z^2)^{\frac{2\lambda-1}{2}} f_{\theta}(z) C_{v_l}^{\lambda}(z) \quad C_l = \int_{\mu_1}^{\mu_2} dz (1-z^2)^{\frac{2\lambda-1}{2}} f_{\theta}(z) C_{(Q),v_l}^{\lambda}(z)$$

$$T(r, \theta) = \sum_{l \neq 0, +\infty} \frac{\left(\frac{B_l}{C_{v_l-1}^{\lambda+1}(\mu_1)} - \frac{C_l}{C_{(Q),v_l-1}^{\lambda+1}(\mu_1)} \right) \left(\frac{r}{l_r} \right)^{v_l} \left[\frac{C_{v_l}^{\lambda}(\cos(\theta))}{C_{v_l-1}^{\lambda+1}(\mu_1)} - \frac{C_{(Q),v_l}^{\lambda}(\cos(\theta))}{C_{(Q),v_l-1}^{\lambda+1}(\mu_1)} \right]}{\|\Phi_{v_l}^{\lambda}(z)\|^2}$$

Il faut rajouter comme toujours la solution de valeur propres nulle, ce qui donne :

$$\begin{aligned}
 z = \cos(\theta) \quad \mu_1 = \cos(\theta_2); \mu_2 = \cos(\theta_1) \quad v_l \quad tq \quad \frac{C_{v_l-1}^{\lambda+1}(\mu_2)}{C_{v_l-1}^{\lambda+1}(\mu_1)} = \frac{C_{(Q),v_l-1}^{\lambda+1}(\mu_2)}{C_{(Q),v_l-1}^{\lambda+1}(\mu_1)} \\
 \Phi_{v_l}^{\lambda}(z) = \frac{C_{v_l}^{\lambda}(z)}{C_{v_l-1}^{\lambda+1}(\mu_1)} - \frac{C_{(Q),v_l}^{\lambda}(z)}{C_{(Q),v_l-1}^{\lambda+1}(\mu_1)} \quad \Phi_0(z) = 1 \quad \|\Phi_0(z)\|^2 = \int_{\mu_1}^{\mu_2} dz (1-z^2)^{\frac{2\lambda-1}{2}} \quad \|\Phi_{v_l}^{\lambda}(z)\|^2 = \int_{\mu_1}^{\mu_2} dz (1-z^2)^{\frac{2\lambda-1}{2}} (\Phi_{v_l}^{\lambda}(z))^2 \\
 \Phi_{v_l}^{\lambda}(\mu_1) = \frac{C_{v_l}^{\lambda}(\mu_1)}{C_{v_l-1}^{\lambda+1}(\mu_1)} - \frac{C_{(Q),v_l}^{\lambda}(\mu_1)}{C_{(Q),v_l-1}^{\lambda+1}(\mu_1)} \quad \frac{\partial \Phi_{v_l-1}^{\lambda+1}(\mu_1)}{\partial v} = \frac{1}{C_{v_l-1}^{\lambda+1}(\mu_1)} \frac{\partial C_{v_l-1}^{\lambda+1}(\mu_1)}{\partial v} - \frac{1}{C_{(Q),v_l-1}^{\lambda+1}(\mu_1)} \frac{\partial C_{(Q),v_l-1}^{\lambda+1}(\mu_1)}{\partial v} \\
 \Phi_{v_l}^{\lambda}(\mu_2) = \frac{C_{v_l}^{\lambda}(\mu_2)}{C_{v_l-1}^{\lambda+1}(\mu_1)} - \frac{C_{(Q),v_l}^{\lambda}(\mu_2)}{C_{(Q),v_l-1}^{\lambda+1}(\mu_1)} \quad \frac{\partial \Phi_{v_l-1}^{\lambda+1}(\mu_2)}{\partial \lambda} = \frac{1}{C_{v_l-1}^{\lambda+1}(\mu_1)} \frac{\partial C_{v_l}^{\lambda}(\mu_2)}{\partial v} - \frac{1}{C_{(Q),v_l-1}^{\lambda+1}(\mu_1)} \frac{\partial C_{(Q),v_l-1}^{\lambda+1}(\mu_2)}{\partial v} \\
 \|\Phi_{v_l}^{\lambda}(z)\|^2 = \frac{2\lambda}{(2v+2\lambda)} \left[(1-\mu_1^2)^{\frac{2\lambda+1}{2}} \Phi_{v_l}^{\lambda}(\mu_1) \frac{\partial \Phi_{v_l-1}^{\lambda+1}(\mu_1)}{\partial v} - (1-\mu_2^2)^{\frac{2\lambda+1}{2}} \Phi_{v_l}^{\lambda}(\mu_2) \frac{\partial \Phi_{v_l-1}^{\lambda+1}(\mu_2)}{\partial v} \right] \\
 B_0 = \int_{\mu_1}^{\mu_2} dz (1-z^2)^{\frac{2\lambda-1}{2}} f_{\theta}(z) \quad B_l = \int_{\mu_1}^{\mu_2} dz (1-z^2)^{\frac{2\lambda-1}{2}} f_{\theta}(z) C_{v_l}^{\lambda}(z) \quad C_l = \int_{\mu_1}^{\mu_2} dz (1-z^2)^{\frac{2\lambda-1}{2}} f_{\theta}(z) C_{(Q),v_l}^{\lambda}(z) \\
 T(r, \theta) = \frac{B_0}{\|\Phi_0(z)\|^2} + \sum_{l \neq 0, +\infty} \left(\frac{B_l}{C_{v_l-1}^{\lambda+1}(\mu_1)} - \frac{C_l}{C_{(Q),v_l-1}^{\lambda+1}(\mu_1)} \right) \left(\frac{r}{l_r} \right)^{v_l} \left[\frac{C_{v_l}^{\lambda}(\cos(\theta))}{C_{v_l-1}^{\lambda+1}(\mu_1)} - \frac{C_{(Q),v_l}^{\lambda}(\cos(\theta))}{C_{(Q),v_l-1}^{\lambda+1}(\mu_1)} \right] \frac{1}{\|\Phi_{v_l}^{\lambda}(z)\|^2}
 \end{aligned}$$

Lorsque la fonction limite $f_{\theta}(z)=1$, on a

$$\begin{aligned}
 B_0 &= \int_{\mu_1}^{\mu_2} dz (1-z^2)^{\frac{2\lambda-1}{2}} = \|\Phi_0(z)\|^2 \\
 B_l &= \int_{\mu_1}^{\mu_2} dz (1-z^2)^{\frac{2\lambda-1}{2}} C_{v_l}^{\lambda}(z) = \frac{2\lambda}{v_l(v_l+2\lambda)} \left[(1-z^2)^{\frac{2\lambda+1}{2}} C_{v_l-1}^{\lambda+1}(z) \right]_{\mu_2}^{\mu_1} \\
 C_l &= \int_{\mu_1}^{\mu_2} dz (1-z^2)^{\frac{2\lambda-1}{2}} C_{(Q),v_l}^{\lambda}(z) = \frac{2\lambda}{v_l(v_l+2\lambda)} \left[(1-z^2)^{\frac{2\lambda+1}{2}} C_{(Q),v_l-1}^{\lambda+1}(z) \right]_{\mu_2}^{\mu_1} \\
 \frac{B_l}{C_{v_l-1}^{\lambda+1}(\mu_1)} - \frac{C_l}{C_{(Q),v_l-1}^{\lambda+1}(\mu_1)} &= \frac{2\lambda}{v_l(v_l+2\lambda)} \left(\frac{(1-\mu_1^2)^{\frac{2\lambda+1}{2}} C_{v_l-1}^{\lambda+1}(\mu_1) - (1-\mu_1^2)^{\frac{2\lambda+1}{2}} C_{(Q),v_l-1}^{\lambda+1}(\mu_1)}{C_{v_l-1}^{\lambda+1}(\mu_1)} - \frac{(1-\mu_2^2)^{\frac{2\lambda+1}{2}} C_{v_l-1}^{\lambda+1}(\mu_2) - (1-\mu_2^2)^{\frac{2\lambda+1}{2}} C_{(Q),v_l-1}^{\lambda+1}(\mu_2)}{C_{(Q),v_l-1}^{\lambda+1}(\mu_1)} \right) = \\
 &= \left((1-\mu_1^2)^{\frac{2\lambda+1}{2}} \left[\frac{C_{v_l-1}^{\lambda+1}(\mu_1)}{C_{v_l-1}^{\lambda+1}(\mu_1)} - \frac{C_{(Q),v_l-1}^{\lambda+1}(\mu_1)}{C_{(Q),v_l-1}^{\lambda+1}(\mu_1)} \right] - \left((1-\mu_2^2)^{\frac{2\lambda+1}{2}} \left[\frac{C_{v_l-1}^{\lambda+1}(\mu_2)}{C_{v_l-1}^{\lambda+1}(\mu_1)} + \frac{C_{(Q),v_l-1}^{\lambda+1}(\mu_2)}{C_{(Q),v_l-1}^{\lambda+1}(\mu_1)} \right] \right) \right) \Rightarrow \frac{B_l}{C_{v_l-1}^{\lambda+1}(\mu_1)} - \frac{C_l}{C_{(Q),v_l-1}^{\lambda+1}(\mu_1)} = 0 \Rightarrow T(r, \theta) = \frac{B_0}{\|\Phi_0(z)\|^2} = 1
 \end{aligned}$$

On retrouve donc la solution triviale $T(r, \theta)=1$.

Lorsque la fonction limite $f_\theta(z)$ présente un profil en fonction de Heaviside :

$$f_\theta(z) = 1 \quad \text{si } z \in \left[\mu_1, \frac{\mu_1 + \mu_2}{2} \right] \quad f_\theta(z) = 0 \quad \text{si } z \notin \left[\mu_1, \frac{\mu_1 + \mu_2}{2} \right]$$

$$B_0 = \int_{\mu_1}^{\frac{\mu_1 + \mu_2}{2}} dz (1 - z^2)^{\frac{2\lambda-1}{2}} \quad \Phi_0(z) = 1 \quad \|\Phi_0(z)\|^2 = \int_{\mu_1}^{\mu_2} dz (1 - z^2)^{\frac{2\lambda-1}{2}}$$

$$B_l = \int_{\mu_1}^{\frac{\mu_1 + \mu_2}{2}} dz (1 - z^2)^{\frac{2\lambda-1}{2}} C_{v_l}^\lambda(z) = \frac{2\lambda}{v_l(v_l + 2\lambda)} \left[(1 - z^2)^{\frac{2\lambda+1}{2}} C_{v_l-1}^{\lambda+1}(z) \right]_{\frac{\mu_1 + \mu_2}{2}}^{\mu_1}$$

$$\Rightarrow B_l = \frac{2\lambda}{v_l(v_l + 2\lambda)} \left[(1 - \mu_1^2)^{\frac{2\lambda+1}{2}} C_{v_l-1}^{\lambda+1}(\mu_1) - \left(1 - \left(\frac{\mu_1 + \mu_2}{2} \right)^2 \right)^{\frac{2\lambda+1}{2}} C_{v_l-1}^{\lambda+1}\left(\frac{\mu_1 + \mu_2}{2} \right) \right]$$

$$C_l = \int_{\mu_1}^{\frac{\mu_1 + \mu_2}{2}} dz (1 - z^2)^{\frac{2\lambda-1}{2}} C_{(Q),v_l}^\lambda(z) = \frac{2\lambda}{v_l(v_l + 2\lambda)} \left[(1 - z^2)^{\frac{2\lambda+1}{2}} C_{(Q),v_l-1}^{\lambda+1}(z) \right]_{\frac{\mu_1 + \mu_2}{2}}^{\mu_1}$$

$$\Rightarrow C_l = \frac{2\lambda}{v_l(v_l + 2\lambda)} \left[(1 - \mu_1^2)^{\frac{2\lambda+1}{2}} C_{(Q),v_l-1}^{\lambda+1}(\mu_1) - \left(1 - \left(\frac{\mu_1 + \mu_2}{2} \right)^2 \right)^{\frac{2\lambda+1}{2}} C_{(Q),v_l-1}^{\lambda+1}\left(\frac{\mu_1 + \mu_2}{2} \right) \right]$$

$$\Rightarrow \frac{B_l}{C_{v_l-1}^{\lambda+1}(\mu_1)} - \frac{C_l}{C_{(Q),v_l-1}^{\lambda+1}(\mu_1)} = -\frac{2\lambda}{v_l(v_l + 2\lambda)} \left(1 - \left(\frac{\mu_1 + \mu_2}{2} \right)^2 \right)^{\frac{2\lambda+1}{2}} \left[\frac{C_{v_l-1}^{\lambda+1}\left(\frac{\mu_1 + \mu_2}{2} \right)}{C_{v_l-1}^{\lambda+1}(\mu_1)} - \frac{C_{(Q),v_l-1}^{\lambda+1}\left(\frac{\mu_1 + \mu_2}{2} \right)}{C_{(Q),v_l-1}^{\lambda+1}(\mu_1)} \right]$$

$$\Phi_{v_l}^\lambda(z) = \frac{C_{v_l}^\lambda(z)}{C_{v_l-1}^{\lambda+1}(\mu_1)} - \frac{C_{(Q),v_l}^\lambda(z)}{C_{(Q),v_l-1}^{\lambda+1}(\mu_1)} \quad \|\Phi_{v_l}^\lambda(z)\|^2 = \int_{\mu_1}^{\mu_2} dz (1 - z^2)^{\frac{2\lambda-1}{2}} (\Phi_{v_l}^\lambda(z))^2$$

$$\Phi_{v_l}^\lambda(\mu_1) = \frac{C_{v_l}^\lambda(\mu_1)}{C_{v_l-1}^{\lambda+1}(\mu_1)} - \frac{C_{(Q),v_l}^\lambda(\mu_1)}{C_{(Q),v_l-1}^{\lambda+1}(\mu_1)} \quad \frac{\partial \Phi_{v_l-1}^{\lambda+1}(\mu_1)}{\partial v} = \frac{1}{C_{v_l-1}^{\lambda+1}(\mu_1)} \frac{\partial C_{v_l-1}^{\lambda+1}(\mu_1)}{\partial v} - \frac{1}{C_{(Q),v_l-1}^{\lambda+1}(\mu_1)} \frac{\partial C_{(Q),v_l-1}^{\lambda+1}(\mu_1)}{\partial v}$$

$$\Phi_{v_l}^\lambda(\mu_2) = \frac{C_{v_l}^\lambda(\mu_2)}{C_{v_l-1}^{\lambda+1}(\mu_1)} - \frac{C_{(Q),v_l}^\lambda(\mu_2)}{C_{(Q),v_l-1}^{\lambda+1}(\mu_1)} \quad \frac{\partial \Phi_{v_l-1}^{\lambda+1}(\mu_2)}{\partial \lambda} = \frac{1}{C_{v_l-1}^{\lambda+1}(\mu_1)} \frac{\partial C_{v_l}^\lambda(\mu_2)}{\partial v} - \frac{1}{C_{(Q),v_l-1}^{\lambda+1}(\mu_1)} \frac{\partial C_{(Q),v_l-1}^{\lambda+1}(\mu_2)}{\partial v}$$

$$\|\Phi_{v_l}^\lambda(z)\|^2 = \frac{2\lambda}{(2v + 2\lambda)} \left[(1 - \mu_1^2)^{\frac{2\lambda+1}{2}} \Phi_{v_l}^\lambda(\mu_1) \frac{\partial \Phi_{v_l-1}^{\lambda+1}(\mu_1)}{\partial v} - (1 - \mu_2^2)^{\frac{2\lambda+1}{2}} \Phi_{v_l}^\lambda(\mu_2) \frac{\partial \Phi_{v_l-1}^{\lambda+1}(\mu_2)}{\partial v} \right]$$

$$T(r, \theta) = \frac{B_0}{\|\Phi_0(z)\|^2} -$$

$$- \sum_{l \neq 0, +\infty} \frac{2\lambda \left(1 - \left(\frac{\mu_1 + \mu_2}{2} \right)^2 \right)^{\frac{2\lambda+1}{2}} \left(\frac{C_{v_l-1}^{\lambda+1}\left(\frac{\mu_1 + \mu_2}{2} \right)}{C_{v_l-1}^{\lambda+1}(\mu_1)} - \frac{C_{(Q),v_l-1}^{\lambda+1}\left(\frac{\mu_1 + \mu_2}{2} \right)}{C_{(Q),v_l-1}^{\lambda+1}(\mu_1)} \right) \left(\frac{r}{l_r} \right)^{v_l} \left[\frac{C_{v_l}^\lambda(\cos(\theta))}{C_{v_l-1}^{\lambda+1}(\mu_1)} - \frac{C_{(Q),v_l}^\lambda(\cos(\theta))}{C_{(Q),v_l-1}^{\lambda+1}(\mu_1)} \right]}{\|\Phi_{v_l}^\lambda(z)\|^2}$$

Extension aux cas de l'hémisphère à N-dimensions porté à la condition de Dirichlet homogène nulle sur la base

Dans la configuration symétrique précédente, lorsque les conditions aux limites sont impaires, la solution est construite à l'aide des seules fonctions impaires, ce qui conduit à ce que la valeur sur la tranche (base de l'hypersphère) soit exactement nulle. C'est donc également la solution d'un problème aux limites sur un hémisphère à n-dimensions évidé par un cône supérieur d'angle d'ouverture ϑ_1 :

$$\Delta_{r,\theta}^n T(r,\theta) = 0 \quad T(r,\theta) \Big|_{\vec{x} \in C_{\Omega_n}} = 0 \quad r = \|\vec{x}\| = \sqrt{\sum_{i=1}^n x_i^2} \quad z = \cos(\theta) \text{ et } \mu_0 = \cos(\theta_0) \quad T(r,\theta) \text{ fini}$$

$$\vartheta_1 \quad ; \quad \vartheta_2 = \frac{\pi}{2} \Rightarrow C_{\Omega_n} = \left\{ \vec{x} / x_1 \in [0, \infty[, \sum_{i=2}^n x_i^2 \in \left[x_1^2 \left(\frac{\sin(\vartheta_1)}{\cos(\vartheta_1)} \right)^2 , \infty \right] \right\} \cap \left\{ \vec{x} / \sum_{i=1}^n x_i^2 \in [0, l_r] \right\}$$

$$\partial C_{\Omega_n} = \left[\left\{ \vec{x} / x_1 \in [0, \infty[, \sum_{i=2}^n x_i^2 = x_1^2 (\tan(\vartheta_1))^2 \right\} \cup \left\{ \vec{x} / x_1 = 0 \right\} \right] \cap \left\{ \vec{x} / \sum_{i=1}^n x_i^2 = l_r \right\}$$

$$C.L. \quad \frac{\partial T(r,\theta)}{\partial \theta} \Big|_{\substack{\theta=\vartheta_1 \\ r \in [0, l_r]}} = 0 \quad \frac{\partial T(r,\theta)}{\partial \theta} \Big|_{\substack{\theta=\frac{\pi}{2} \\ r \in [0, l_r]}} = 0 \quad T(r,\theta) \Big|_{\substack{\theta \in [\vartheta_1, \frac{\pi}{2}] \\ r=l_r}} = f(\theta)$$

Avec pour solution, par construction impaire en z :

$$z = \cos(\theta) \quad \mu_1 = \cos(\theta_2) = -\mu_2 \quad ; \quad \mu_2 = \cos(\theta_1)$$

$$v_l \quad tq \quad \frac{C_{v_l-1}^{\lambda+1}(\mu_2)}{C_{v_l-1}^{\lambda+1}(-\mu_2)} = \frac{C_{(Q),v_l-1}^{\lambda+1}(\mu_2)}{C_{(Q),v_l-1}^{\lambda+1}(-\mu_2)} \quad \Phi_{v_l}^{\lambda}(z) = \frac{C_{v_l}^{\lambda}(z)}{C_{v_l-1}^{\lambda+1}(\mu_2)} - \frac{C_{(Q),v_l}^{\lambda}(z)}{C_{(Q),v_l-1}^{\lambda+1}(\mu_2)}$$

$$\Phi_{v_{2l}}^{\lambda}(z) \text{ paires } 2l \text{ zéros } \Phi_{v_{2l}}^{\lambda}(-z) = \Phi_{v_{2l}}^{\lambda}(z) \quad \Phi_{v_{2l+1}}^{\lambda}(z) \text{ impaires } 2l+1 \text{ zéros } \Phi_{v_{2l+1}}^{\lambda}(-z) = -\Phi_{v_{2l+1}}^{\lambda}(z)$$

$$\|\Phi_{v_{2l+1}}^{\lambda}(z)\|^2 = - \frac{2\lambda \left[(1-z^2)^{\frac{2\lambda+1}{2}} \Phi_{v_{2l+1}}^{\lambda}(z) \frac{\partial \Phi_{v_{2l+1}-1}^{\lambda+1}(z)}{\partial v} \right]_{-\mu_2}^{\mu_2}}{(2v_{2l+1} + 2\lambda)} \Rightarrow \|\Phi_{v_{2l+1}}^{\lambda}(z)\|^2 = - \frac{4\lambda (1-\mu_2^2)^{\frac{2\lambda+1}{2}} \Phi_{v_{2l+1}}^{\lambda}(\mu_2) \frac{\partial \Phi_{v_{2l+1}-1}^{\lambda+1}(\mu_2)}{\partial v}}{(2v_{2l+1} + 2\lambda)}$$

$$\Phi_{v_{2l+1}}^{\lambda}(\mu_2) = \frac{C_{v_{2l+1}}^{\lambda}(\mu_2)}{C_{v_{2l+1}-1}^{\lambda+1}(\mu_2)} - \frac{C_{(Q),v_{2l+1}}^{\lambda}(\mu_2)}{C_{(Q),v_{2l+1}-1}^{\lambda+1}(\mu_2)} \quad \frac{\partial \Phi_{v_{2l+1}-1}^{\lambda+1}(\mu_2)}{\partial v} = \frac{1}{C_{v_{2l+1}-1}^{\lambda+1}(\mu_2)} \frac{\partial C_{v_l-1}^{\lambda+1}(\mu_2)}{\partial v} - \frac{1}{C_{(Q),v_{2l+1}-1}^{\lambda+1}(\mu_2)} \frac{\partial C_{(Q),v_{2l+1}-1}^{\lambda+1}(\mu_2)}{\partial v}$$

$$B_{2l+1} = \int_{-\mu_2}^{\mu_2} dz (1-z^2)^{\frac{2\lambda-1}{2}} f_{\theta}(z) C_{v_{2l+1}}^{\lambda}(z) = 2 \int_0^{\mu_2} dz (1-z^2)^{\frac{2\lambda-1}{2}} f_{\theta}(z) C_{v_{2l+1}}^{\lambda}(z)$$

$$C_{2l+1} = \int_{-\mu_2}^{\mu_2} dz (1-z^2)^{\frac{2\lambda-1}{2}} f_{\theta}(z) C_{(Q),v_{2l+1}}^{\lambda}(z) = 2 \int_0^{\mu_2} dz (1-z^2)^{\frac{2\lambda-1}{2}} f_{\theta}(z) C_{(Q),v_{2l+1}}^{\lambda}(z)$$

$$T(r,\theta) = \sum_{l=0,+\infty} \frac{\left(\frac{B_{2l+1}}{C_{v_{2l+1}-1}^{\lambda+1}(\mu_2)} - \frac{C_{2l+1}}{C_{(Q),v_{2l+1}-1}^{\lambda+1}(\mu_2)} \right) \left(\frac{r}{l_r} \right)^{v_{2l+1}} \left[\frac{C_{v_{2l+1}}^{\lambda}(\cos(\theta))}{C_{v_{2l+1}-1}^{\lambda+1}(\mu_2)} - \frac{C_{(Q),v_l}^{\lambda}(\cos(\theta))}{C_{(Q),v_{2l+1}-1}^{\lambda+1}(\mu_2)} \right]}{\|\Phi_{v_{2l+1}}^{\lambda}(z)\|^2}$$

Exemple : Section sphérique creuse d'angle θ_1, θ_2 , en coordonnées sphériques (r, θ) soumise à des conditions aux limites de Dirichlet homogènes en $r=l_{r1}$ et inhomogènes en $r=l_{r2}$, homogènes en θ_1 et θ_2 . Soit le problème :

$$\Delta_{r,\theta}^n T(r, \theta) = 0 \quad T(r, \theta)|_{\vec{x} \in C_{\Omega n}} \quad r = \|\vec{x}\| = \sqrt{\sum_{i=1}^n x_i^2} \quad z = \cos(\theta) \text{ et } \mu_0 = \cos(\theta_0) \quad T(r, \theta) \text{ fini}$$

$$C_{\Omega n} = \left\{ \vec{x} / x_1 \in [0, \infty[, \sum_{i=2}^n x_i^2 \in \left[x_1^2 \left(\frac{\sin(\theta_1)}{\cos(\theta_1)} \right)^2, x_1^2 \left(\frac{\sin(\theta_2)}{\cos(\theta_2)} \right)^2 \right] \right\} \cap \left\{ \vec{x} / \sum_{i=1}^n x_i^2 \in [l_{r1}, l_{r2}] \right\}$$

$$\partial C_{\Omega n} = \left[\left\{ \vec{x} / x_1 \in [0, \infty[, \sum_{i=2}^n x_i^2 = x_1^2 (\tan(\theta_1))^2 \right\} \cup \left\{ \vec{x} / x_1 \in [0, \infty[, \sum_{i=2}^n x_i^2 = x_1^2 (\tan(\theta_2))^2 \right\} \right] \cap$$

$$\cap \left[\left\{ \vec{x} / \sum_{i=1}^n x_i^2 = l_{r1} \right\} \cup \left\{ \vec{x} / \sum_{i=1}^n x_i^2 = l_{r2} \right\} \right]$$

$$C.L. \quad T(r, \theta)|_{\substack{\theta=\theta_1 \\ r \in [l_{r1}, l_{r2}]} = 0 \quad T(r, \theta)|_{\substack{\theta=\theta_2 \\ r \in [l_{r1}, l_{r2}]} = 0 \quad T(r, \theta)|_{\substack{\theta \in [\theta_1, \theta_2] \\ r=l_{r1}}} = 0 \quad T(r, \theta)|_{\substack{\theta \in [\theta_1, \theta_2] \\ r=l_{r2}}} = f(\theta)$$

En reprenant les résultats d'un exemple précédent en modifiant la partie radiale, nous avons :

$$z = \cos(\theta) \quad \mu_1 = \cos(\theta_2); \mu_2 = \cos(\theta_1) \quad v_l \quad tq \quad \frac{C_{v_l}^\lambda(\mu_2)}{C_{v_l}^\lambda(\mu_1)} = \frac{C_{(Q),v_l}^\lambda(\mu_2)}{C_{(Q),v_l}^\lambda(\mu_1)}$$

$$\Phi_{v_l}(z) = \frac{C_{v_l}^\lambda(z)}{C_{v_l}^\lambda(\mu_1)} - \frac{C_{(Q),v_l}^\lambda(z)}{C_{(Q),v_l}^\lambda(\mu_1)} \quad B_l = \int_{\mu_1}^{\mu_2} dz (1-z^2)^{\frac{2\lambda-1}{2}} f_\theta(z) C_{v_l}^\lambda(z) \quad C_l = \int_{\mu_1}^{\mu_2} dz (1-z^2)^{\frac{2\lambda-1}{2}} f_\theta(z) C_{(Q),v_l}^\lambda(z)$$

$$\Phi_{v_l-1}(\mu_1) = \frac{C_{v_l-1}^\lambda(\mu_1)}{C_{v_l}^\lambda(\mu_1)} - \frac{C_{(Q),v_l-1}^\lambda(\mu_1)}{C_{(Q),v_l}^\lambda(\mu_1)} \quad \frac{\partial \Phi_{v_l}(\mu_1)}{\partial v} = \frac{1}{C_{v_l}^\lambda(\mu_1)} \frac{\partial C_{v_l}^\lambda(\mu_1)}{\partial v} - \frac{1}{C_{(Q),v_l}^\lambda(\mu_1)} \frac{\partial C_{(Q),v_l}^\lambda(\mu_1)}{\partial v}$$

$$\Phi_{v_l-1}(\mu_2) = \frac{C_{v_l-1}^\lambda(\mu_2)}{C_{v_l}^\lambda(\mu_1)} - \frac{C_{(Q),v_l-1}^\lambda(\mu_2)}{C_{(Q),v_l}^\lambda(\mu_1)} \quad \frac{\partial \Phi_{v_l}(\mu_2)}{\partial \lambda} = \frac{1}{C_{v_l}^\lambda(\mu_1)(\mu_1)} \frac{\partial C_{v_l}^\lambda(\mu_2)}{\partial v} - \frac{1}{C_{(Q),v_l}^\lambda(\mu_1)} \frac{\partial C_{(Q),v_l}^\lambda(\mu_2)}{\partial v}$$

$$\|\Phi_{v_l}(z)\|^2 = \frac{(2\lambda-1+v_l)}{(2v_l+2\lambda)} \left[(1-\mu_2^2)^{\frac{2\lambda-1}{2}} \frac{\partial \Phi_{v_l}(\mu_2)}{\partial v} \Phi_{v_l-1}(\mu_2) - (1-\mu_1^2)^{\frac{2\lambda-1}{2}} \frac{\partial \Phi_{v_l}(\mu_1)}{\partial v} \Phi_{v_l-1}(\mu_1) \right]$$

$$T(r, \theta) = \sum_{l \neq 0, +\infty} \frac{(2v_l+2\lambda)}{(2\lambda-1+v_l)} \frac{\left(\frac{B_l}{C_{v_l}^\lambda(\mu_1)} - \frac{C_l}{C_{(Q),v_l}^\lambda(\mu_1)} \right) \left[\frac{C_{v_l}^\lambda(\cos(\theta))}{C_{v_l}^\lambda(\mu_1)} - \frac{C_{(Q),v_l}^\lambda(\cos(\theta))}{C_{(Q),v_l}^\lambda(\mu_1)} \right]}{\left[(1-\mu_2^2)^{\frac{2\lambda-1}{2}} \frac{\partial \Phi_{v_l}(\mu_2)}{\partial v} \Phi_{v_l-1}(\mu_2) - (1-\mu_1^2)^{\frac{2\lambda-1}{2}} \frac{\partial \Phi_{v_l}(\mu_1)}{\partial v} \Phi_{v_l-1}(\mu_1) \right]} \frac{\left[\left(\frac{r}{l_{r1}} \right)^{v_l} - \left(\frac{l_{r1}}{r} \right)^{v_l+2\lambda} \right]}{\left[\left(\frac{l_{r2}}{l_{r1}} \right)^{v_l} - \left(\frac{l_{r1}}{l_{r2}} \right)^{v_l+2\lambda} \right]}$$

Lorsque la fonction limite $f_{\vartheta}(z)=1$, on a :

$$z = \cos(\theta) \quad \mu_1 = \cos(\theta_2); \mu_2 = \cos(\theta_1) \quad v_l \quad tq \quad \frac{C_{v_l}^{\lambda}(\mu_2)}{C_{v_l}^{\lambda}(\mu_1)} = \frac{C_{(Q),v_l}^{\lambda}(\mu_2)}{C_{(Q),v_l}^{\lambda}(\mu_1)} \quad \Phi_{v_l}(z) = \frac{C_{v_l}^{\lambda}(z)}{C_{v_l}^{\lambda}(\mu_1)} = \frac{C_{(Q),v_l}^{\lambda}(z)}{C_{(Q),v_l}^{\lambda}(\mu_1)}$$

$$\Phi_{v_l-1}(\mu_1) = \frac{C_{v_l-1}^{\lambda}(\mu_1)}{C_{v_l}^{\lambda}(\mu_1)} - \frac{C_{(Q),v_l-1}^{\lambda}(\mu_1)}{C_{(Q),v_l}^{\lambda}(\mu_1)} \quad \frac{\partial \Phi_{v_l}(\mu_1)}{\partial v} = \frac{1}{C_{v_l}^{\lambda}(\mu_1)} \frac{\partial C_{v_l}^{\lambda}(\mu_1)}{\partial v} - \frac{1}{C_{(Q),v_l}^{\lambda}(\mu_1)} \frac{\partial C_{(Q),v_l}^{\lambda}(\mu_1)}{\partial v}$$

$$\Phi_{v_l-1}(\mu_2) = \frac{C_{v_l-1}^{\lambda}(\mu_2)}{C_{v_l}^{\lambda}(\mu_1)} - \frac{C_{(Q),v_l-1}^{\lambda}(\mu_2)}{C_{(Q),v_l}^{\lambda}(\mu_1)} \quad \frac{\partial \Phi_{v_l}(\mu_2)}{\partial \lambda} = \frac{1}{C_{v_l}^{\lambda}(\mu_1)(\mu_1)} \frac{\partial C_{v_l}^{\lambda}(\mu_2)}{\partial v} - \frac{1}{C_{(Q),v_l}^{\lambda}(\mu_1)} \frac{\partial C_{(Q),v_l}^{\lambda}(\mu_2)}{\partial v}$$

$$\|\Phi_{v_l}(z)\|^2 = \frac{(2\lambda - 1 + v_l)}{(2v_l + 2\lambda)} \left[\left(1 - \mu_2^2\right)^{\frac{2\lambda-1}{2}} \frac{\partial \Phi_{v_l}(\mu_2)}{\partial v} \Phi_{v_l-1}(\mu_2) - \left(1 - \mu_1^2\right)^{\frac{2\lambda-1}{2}} \frac{\partial \Phi_{v_l}(\mu_1)}{\partial v} \Phi_{v_l-1}(\mu_1) \right]$$

$$\frac{1}{C_{v_l}^{\lambda}(\mu_1)} \int_{\mu_1}^{\mu_2} dz \left(1 - z^2\right)^{\frac{2\lambda-1}{2}} C_{v_l}^{\lambda}(z) = -\frac{2\lambda}{v_l(v_l + 2\lambda)C_{v_l}^{\lambda}(\mu_1)} \left[\left(1 - z^2\right)^{\frac{(2\lambda+1)}{2}} C_{v_l-1}^{\lambda+1}(z) \right]_{\mu_1}^{\mu_2} = \frac{2\lambda}{v_l(v_l + 2\lambda)} A_l$$

$$\frac{1}{C_{(Q),v_l}^{\lambda}(\mu_1)} \int_{\mu_1}^{\mu_2} dz \left(1 - z^2\right)^{\frac{2\lambda-1}{2}} C_{(Q),v_l}^{\lambda}(z) = -\frac{2\lambda}{v_l(v_l + 2\lambda)C_{(Q),v_l}^{\lambda}(\mu_1)} \left[\left(1 - z^2\right)^{\frac{(2\lambda+1)}{2}} C_{(Q),v_l-1}^{\lambda+1}(z) \right]_{\mu_1}^{\mu_2} = \frac{2\lambda}{v_l(v_l + 2\lambda)} D_l$$

$$\Rightarrow A_l = \frac{\left[\left(1 - \mu_1^2\right)^{\frac{(2\lambda+1)}{2}} C_{v_l-1}^{\lambda+1}(\mu_1) - \left(1 - \mu_2^2\right)^{\frac{(2\lambda+1)}{2}} C_{v_l-1}^{\lambda+1}(\mu_2) \right]}{C_{v_l}^{\lambda}(\mu_1)}$$

$$D_l = \frac{\left[\left(1 - \mu_1^2\right)^{\frac{(2\lambda+1)}{2}} C_{(Q),v_l-1}^{\lambda+1}(\mu_1) - \left(1 - \mu_2^2\right)^{\frac{(2\lambda+1)}{2}} C_{(Q),v_l-1}^{\lambda+1}(\mu_2) \right]}{C_{(Q),v_l}^{\lambda}(\mu_1)}$$

$$T(r, \theta) = \sum_{l \neq 0, +\infty} \frac{2\lambda(A_l - D_l)}{v_l(v_l + 2\lambda)\|\Phi_{v_l}^{\lambda}(z)\|^2} \left[\frac{\left(\frac{r}{l_{r1}}\right)^{v_l} - \left(\frac{l_{r1}}{r}\right)^{v_l+2\lambda}}{\left(\frac{l_{r2}}{l_{r1}}\right)^{v_l} - \left(\frac{l_{r1}}{l_{r2}}\right)^{v_l+2\lambda}} \right] \left[\frac{C_{v_l}^{\lambda}(\cos(\theta))}{C_{v_l}^{\lambda}(\mu_1)} - \frac{C_{(Q),v_l}^{\lambda}(\cos(\theta))}{C_{(Q),v_l}^{\lambda}(\mu_1)} \right]$$

Exemple : Section sphérique creuse d'angle θ_1, θ_2 , en coordonnées sphériques (r, θ) soumise à des conditions aux limites de Dirichlet homogènes en $r=l_{r1}$ et inhomogènes en $r=l_{r2}$, Neumann homogènes en θ_1 et θ_2 . Soit le problème :

$$\Delta_{r,\theta}^n T(r, \theta) = 0 \quad T(r, \theta) \Big|_{\vec{x} \in C_{\Omega n}} \quad r = \|\vec{x}\| = \sqrt{\sum_{i=1}^n x_i^2} \quad z = \cos(\theta) \text{ et } \mu_0 = \cos(\theta_0) \quad T(r, \theta) \text{ fini}$$

$$C_{\Omega n} = \left\{ \vec{x} / x_1 \in [0, \infty[, \sum_{i=2}^n x_i^2 \in \left[x_1^2 \left(\frac{\sin(\theta_1)}{\cos(\theta_1)} \right)^2, x_1^2 \left(\frac{\sin(\theta_2)}{\cos(\theta_2)} \right)^2 \right] \right\} \cap \left\{ \vec{x} / \sum_{i=1}^n x_i^2 \in [l_{r1}, l_{r2}] \right\}$$

$$\partial C_{\Omega n} = \left[\left\{ \vec{x} / x_1 \in [0, \infty[, \sum_{i=2}^n x_i^2 = x_1^2 (\tan(\theta_1))^2 \right\} \cup \left\{ \vec{x} / x_1 \in [0, \infty[, \sum_{i=2}^n x_i^2 = x_1^2 (\tan(\theta_2))^2 \right\} \right] \cap$$

$$\cap \left[\left\{ \vec{x} / \sum_{i=1}^n x_i^2 = l_{r1} \right\} \cup \left\{ \vec{x} / \sum_{i=1}^n x_i^2 = l_{r2} \right\} \right]$$

$$C.L. \quad \frac{\partial T(r, \theta)}{\partial \theta} \Big|_{\substack{\theta=\theta_1 \\ r \in [l_{r1}, l_{r2}]}} = 0 \quad \frac{\partial T(r, \theta)}{\partial \theta} \Big|_{\substack{\theta=\theta_2 \\ r \in [l_{r1}, l_{r2}]}} = 0 \quad T(r, \theta) \Big|_{r=l_{r1}} = 0 \quad T(r, \theta) \Big|_{r=l_{r2}} = f(\theta)$$

En suivant les résultats d'un exemple précédent et en intégrant la solution de valeur propre de la forme $A + Br^{2\lambda}$, il vient :

$$z = \cos(\theta) \quad \mu_1 = \cos(\theta_2); \mu_2 = \cos(\theta_1) \quad v_l \quad tq \quad \frac{C_{v_l-1}^{\lambda+1}(\mu_2)}{C_{v_l-1}^{\lambda+1}(\mu_1)} = \frac{C_{(Q),v_l-1}^{\lambda+1}(\mu_2)}{C_{(Q),v_l-1}^{\lambda+1}(\mu_1)}$$

$$\Phi_{v_l}^{\lambda}(z) = \frac{C_{v_l}^{\lambda}(z)}{C_{v_l-1}^{\lambda+1}(\mu_1)} - \frac{C_{(Q),v_l}^{\lambda}(z)}{C_{(Q),v_l-1}^{\lambda+1}(\mu_1)} \quad \Phi_0(z) = 1 \quad \|\Phi_0(z)\|^2 = \int_{\mu_1}^{\mu_2} dz (1-z^2)^{\frac{2\lambda-1}{2}}$$

$$\Phi_{v_l}^{\lambda}(\mu_1) = \frac{C_{v_l}^{\lambda}(\mu_1)}{C_{v_l-1}^{\lambda+1}(\mu_1)} - \frac{C_{(Q),v_l}^{\lambda}(\mu_1)}{C_{(Q),v_l-1}^{\lambda+1}(\mu_1)} \quad \frac{\partial \Phi_{v_l-1}^{\lambda+1}(\mu_1)}{\partial v} = \frac{1}{C_{v_l-1}^{\lambda+1}(\mu_1)} \frac{\partial C_{v_l-1}^{\lambda+1}(\mu_1)}{\partial v} - \frac{1}{C_{(Q),v_l-1}^{\lambda+1}(\mu_1)} \frac{\partial C_{(Q),v_l-1}^{\lambda+1}(\mu_1)}{\partial v}$$

$$\Phi_{v_l}^{\lambda}(\mu_2) = \frac{C_{v_l}^{\lambda}(\mu_2)}{C_{v_l-1}^{\lambda+1}(\mu_1)} - \frac{C_{(Q),v_l}^{\lambda}(\mu_2)}{C_{(Q),v_l-1}^{\lambda+1}(\mu_1)} \quad \frac{\partial \Phi_{v_l-1}^{\lambda+1}(\mu_2)}{\partial \lambda} = \frac{1}{C_{v_l-1}^{\lambda+1}(\mu_1)} \frac{\partial C_{v_l}^{\lambda}(\mu_2)}{\partial v} - \frac{1}{C_{(Q),v_l-1}^{\lambda+1}(\mu_1)} \frac{\partial C_{(Q),v_l-1}^{\lambda+1}(\mu_2)}{\partial v}$$

$$\|\Phi_{v_l}^{\lambda}(z)\|^2 = \frac{2\lambda}{(2v+2\lambda)} \left[(1-\mu_1^2)^{\frac{2\lambda+1}{2}} \Phi_{v_l}^{\lambda}(\mu_1) \frac{\partial \Phi_{v_l-1}^{\lambda+1}(\mu_1)}{\partial v} - (1-\mu_2^2)^{\frac{2\lambda+1}{2}} \Phi_{v_l}^{\lambda}(\mu_2) \frac{\partial \Phi_{v_l-1}^{\lambda+1}(\mu_2)}{\partial v} \right]$$

$$B_0 = \int_{\mu_1}^{\mu_2} dz (1-z^2)^{\frac{2\lambda-1}{2}} f_{\theta}(z) \quad B_l = \int_{\mu_1}^{\mu_2} dz (1-z^2)^{\frac{2\lambda-1}{2}} f_{\theta}(z) C_{v_l}^{\lambda}(z) \quad C_l = \int_{\mu_1}^{\mu_2} dz (1-z^2)^{\frac{2\lambda-1}{2}} f_{\theta}(z) C_{(Q),v_l}^{\lambda}(z)$$

$$T(r, \theta) = \frac{B_0}{\|\Phi_0(z)\|^2} \left[\frac{1 - \left(\frac{l_{r1}}{r} \right)^{2\lambda}}{1 - \left(\frac{l_{r1}}{l_{r2}} \right)^{2\lambda}} \right] + \sum_{l \neq 0, +\infty} \left[\frac{\left(\frac{B_l}{C_{v_l-1}^{\lambda+1}(\mu_1)} - \frac{C_l}{C_{(Q),v_l-1}^{\lambda+1}(\mu_1)} \right) \left[\left(\frac{r}{l_{r1}} \right)^{v_l} - \left(\frac{l_{r1}}{r} \right)^{v_l+2\lambda} \right]}{\left[\left(\frac{l_{r2}}{l_{r1}} \right)^{v_l} - \left(\frac{l_{r1}}{l_{r2}} \right)^{v_l+2\lambda} \right]} \times \frac{\|\Phi_{v_l}^{\lambda}(z)\|^2}{\left[\frac{C_{v_l}^{\lambda}(\cos(\theta))}{C_{v_l-1}^{\lambda+1}(\mu_1)} - \frac{C_{(Q),v_l}^{\lambda}(\cos(\theta))}{C_{(Q),v_l-1}^{\lambda+1}(\mu_1)} \right]} \right]$$

Problèmes aux limites de Laplace sur une hypersphère- p-

Lorsque la fonction limite $f_{\vartheta}(z)=1$, on retrouve rapidement la solution triviale, puisque B_0 est identique à la norme de la fonction propre angulaire de valeur propre nulle, trivialement égal à 1 :

$T(r, \theta) = \left(1 - \left(\frac{l_{r1}}{r}\right)^{2\lambda}\right) / \left(1 - \left(\frac{l_{r1}}{l_{r2}}\right)^{2\lambda}\right)$. Lorsque la fonction limite $f_{\vartheta}(z)$ présente un profil en fonction de Heaviside (voir un exemple précédent pour le résultat de certains calculs), il vient :

$$f_{\theta}(z) = 1 \quad \text{si } z \in \left[\mu_1, \frac{\mu_1 + \mu_2}{2}\right] \quad f_{\theta}(z) = 0 \quad \text{si } z \notin \left[\mu_1, \frac{\mu_1 + \mu_2}{2}\right]$$

$$B_0 = \int_{\mu_1}^{\frac{\mu_1 + \mu_2}{2}} dz (1 - z^2)^{\frac{2\lambda-1}{2}} \quad \Phi_0(z) = 1 \quad \|\Phi_0(z)\|^2 = \int_{\mu_1}^{\mu_2} dz (1 - z^2)^{\frac{2\lambda-1}{2}}$$

$$B_l = \int_{\mu_1}^{\frac{\mu_1 + \mu_2}{2}} dz (1 - z^2)^{\frac{2\lambda-1}{2}} C_{v_l}^{\lambda}(z) \quad C_l = \int_{\mu_1}^{\frac{\mu_1 + \mu_2}{2}} dz (1 - z^2)^{\frac{2\lambda-1}{2}} C_{(Q),v_l}^{\lambda}(z)$$

$$\Rightarrow \frac{B_l}{C_{v_l-1}^{\lambda+1}(\mu_1)} - \frac{C_l}{C_{(Q),v_l-1}^{\lambda+1}(\mu_1)} = -\frac{2\lambda}{v_l(v_l + 2\lambda)} \left(1 - \left(\frac{\mu_1 + \mu_2}{2}\right)^2\right)^{\frac{2\lambda+1}{2}} \left[\frac{C_{v_l-1}^{\lambda+1}\left(\frac{\mu_1 + \mu_2}{2}\right)}{C_{v_l-1}^{\lambda+1}(\mu_1)} - \frac{C_{(Q),v_l-1}^{\lambda+1}\left(\frac{\mu_1 + \mu_2}{2}\right)}{C_{(Q),v_l-1}^{\lambda+1}(\mu_1)} \right]$$

$$\Phi_{v_l}^{\lambda}(z) = \frac{C_{v_l}^{\lambda}(z)}{C_{v_l-1}^{\lambda+1}(\mu_1)} - \frac{C_{(Q),v_l}^{\lambda}(z)}{C_{(Q),v_l-1}^{\lambda+1}(\mu_1)} \quad \|\Phi_{v_l}^{\lambda}(z)\|^2 = \int_{\mu_1}^{\mu_2} dz (1 - z^2)^{\frac{2\lambda-1}{2}} (\Phi_{v_l}^{\lambda}(z))^2$$

$$\Phi_{v_l}^{\lambda}(\mu_1) = \frac{C_{v_l}^{\lambda}(\mu_1)}{C_{v_l-1}^{\lambda+1}(\mu_1)} - \frac{C_{(Q),v_l}^{\lambda}(\mu_1)}{C_{(Q),v_l-1}^{\lambda+1}(\mu_1)} \quad \frac{\partial \Phi_{v_l-1}^{\lambda+1}(\mu_1)}{\partial v} = \frac{1}{C_{v_l-1}^{\lambda+1}(\mu_1)} \frac{\partial C_{v_l-1}^{\lambda+1}(\mu_1)}{\partial v} - \frac{1}{C_{(Q),v_l-1}^{\lambda+1}(\mu_1)} \frac{\partial C_{(Q),v_l-1}^{\lambda+1}(\mu_1)}{\partial v}$$

$$\Phi_{v_l}^{\lambda}(\mu_2) = \frac{C_{v_l}^{\lambda}(\mu_2)}{C_{v_l-1}^{\lambda+1}(\mu_1)} - \frac{C_{(Q),v_l}^{\lambda}(\mu_2)}{C_{(Q),v_l-1}^{\lambda+1}(\mu_1)} \quad \frac{\partial \Phi_{v_l-1}^{\lambda+1}(\mu_2)}{\partial \lambda} = \frac{1}{C_{v_l-1}^{\lambda+1}(\mu_1)} \frac{\partial C_{v_l}^{\lambda}(\mu_2)}{\partial v} - \frac{1}{C_{(Q),v_l-1}^{\lambda+1}(\mu_1)} \frac{\partial C_{(Q),v_l-1}^{\lambda+1}(\mu_2)}{\partial v}$$

$$\|\Phi_{v_l}^{\lambda}(z)\|^2 = \frac{2\lambda}{(2v + 2\lambda)} \left[(1 - \mu_1^2)^{\frac{2\lambda+1}{2}} \Phi_{v_l}^{\lambda}(\mu_1) \frac{\partial \Phi_{v_l-1}^{\lambda+1}(\mu_1)}{\partial v} - (1 - \mu_2^2)^{\frac{2\lambda+1}{2}} \Phi_{v_l}^{\lambda}(\mu_2) \frac{\partial \Phi_{v_l-1}^{\lambda+1}(\mu_2)}{\partial v} \right]$$

$$T(r, \theta) = \frac{B_0}{\|\Phi_0(z)\|^2} \frac{\left[1 - \left(\frac{l_{r1}}{r}\right)^{2\lambda}\right]}{\left[1 - \left(\frac{l_{r1}}{l_{r2}}\right)^{2\lambda}\right]} -$$

$$- \sum_{l \neq 0, +\infty} \left[\frac{2\lambda \left(1 - \left(\frac{\mu_1 + \mu_2}{2}\right)^2\right)^{\frac{2\lambda+1}{2}} \left[\frac{C_{v_l-1}^{\lambda+1}\left(\frac{\mu_1 + \mu_2}{2}\right)}{C_{v_l-1}^{\lambda+1}(\mu_1)} - \frac{C_{(Q),v_l-1}^{\lambda+1}\left(\frac{\mu_1 + \mu_2}{2}\right)}{C_{(Q),v_l-1}^{\lambda+1}(\mu_1)} \right]}{v_l(v_l + 2\lambda)} \frac{\|\Phi_{v_l}^{\lambda}(z)\|^2}{\|\Phi_{v_l}^{\lambda}(z)\|^2} \times \right. \\ \left. \times \frac{\left[\left(\frac{r}{l_{r1}}\right)^{v_l} - \left(\frac{l_{r1}}{r}\right)^{v_l+2\lambda} \right]^{v_l}}{\left[\left(\frac{l_{r2}}{l_{r1}}\right)^{v_l} - \left(\frac{l_{r1}}{l_{r2}}\right)^{v_l+2\lambda} \right]} \left[\frac{C_{v_l}^{\lambda}(\cos(\theta))}{C_{v_l-1}^{\lambda+1}(\mu_1)} - \frac{C_{(Q),v_l}^{\lambda}(\cos(\theta))}{C_{(Q),v_l-1}^{\lambda+1}(\mu_1)} \right] \right]$$

Solution des problèmes aux limites homogènes en dimension radiale sur un cône hypersphérique

Envisageons un autre type de problèmes homogènes dans la dimension radiale, à savoir :

$$\Delta_{r,\theta}^n T(r,\theta) = 0 \quad T(r,\theta) \Big|_{\vec{x} \in C_{\Omega_n}} \quad r = \|\vec{x}\| = \sqrt{\sum_{i=1}^n x_i^2} \quad z = \cos(\theta) \text{ et } \mu_0 = \cos(\theta_0) \quad T(r,\theta) \text{ fini}$$

$$C_{\Omega_n} = \left\{ \vec{x} / x_1 \in [0, \infty[, \sum_{i=2}^n x_i^2 \in \left[x_1^2 \left(\frac{\sin(\theta_1)}{\cos(\theta_1)} \right)^2 , x_1^2 \left(\frac{\sin(\theta_2)}{\cos(\theta_2)} \right)^2 \right] \right\} \cap \left\{ \vec{x} / \sum_{i=1}^n x_i^2 \in [l_{r1}, l_{r2}] \right\}$$

$$\partial C_{\Omega_n} = \left[\left\{ \vec{x} / x_1 \in [0, \infty[, \sum_{i=2}^n x_i^2 = x_1^2 (\tan(\theta_1))^2 \right\} \cup \left\{ \vec{x} / x_1 \in [0, \infty[, \sum_{i=2}^n x_i^2 = x_1^2 (\tan(\theta_2))^2 \right\} \right] \cap$$

$$\cap \left[\left\{ \vec{x} / \sum_{i=1}^n x_i^2 = l_{r1} \right\} \cup \left\{ \vec{x} / \sum_{i=1}^n x_i^2 = l_{r2} \right\} \right]$$

$$C.L. \quad \alpha_1 \frac{\partial T(r,\theta)}{\partial \theta} - \beta_1 T(r,\theta) \Big|_{\substack{\theta \in [\theta_1, \theta_2] \\ r=l_{r1}}} = 0 \quad \alpha_2 \frac{\partial T(r,\theta)}{\partial \theta} + \beta_2 T(r,\theta) \Big|_{\substack{\theta \in [\theta_1, \theta_2] \\ r=l_{r2}}} = 0$$

conditions mixtes radiales licites avec coefficients constants

$$T(r,\theta) \Big|_{\substack{\theta=\theta_1 \\ r \in [l_{r1}, l_{r2}]}} = f_{1r}(r) \quad T(r,\theta) \Big|_{\substack{\theta=\theta_2 \\ r \in [l_{r1}, l_{r2}]}} = f_{2r}(r)$$

Dans ce cas il convient de trouver un système de fonctions propres dans la dimension radiale permettant un développement en série. Ce n'est pas le cas avec les fonctions $R(r) = A r^\nu + B r^{-(\nu+2\lambda)}$

On a déjà vu que la partie radiale se présente ainsi :

$$\text{Posons } \lambda = \frac{n-2}{2} \Rightarrow R(r) = \frac{A \cos(\nu \log(r)) + B \sin(\nu \log(r))}{r^\lambda}$$

$$R(r) = A + \frac{B}{r^{2\lambda}}$$

Les fonctions radiales de valeur propres nulle sont de la forme :
et pour la partie angulaire, comme suit:

$$\Theta(z) = (1-z^2)^{\frac{1-2\lambda}{4}} \left(A P_{\frac{1}{2}+i\nu}^{\pm \frac{2\lambda-1}{2}}(z) + B Q_{\frac{1}{2}+i\nu}^{\pm \frac{2\lambda-1}{2}}(z) \right) \Rightarrow \text{choix } -\frac{2\lambda-1}{2} = \frac{1-2\lambda}{2}$$

$$\Rightarrow \Theta(z) = (1-z^2)^{\frac{1-2\lambda}{4}} \left(A P_{\frac{1}{2}+i\nu}^{\frac{1-2\lambda}{2}}(z) + B Q_{\frac{1}{2}+i\nu}^{\frac{1-2\lambda}{2}}(z) \right)$$

La partie angulaire est donc une fonction conique de Mehler ! Nous avons ainsi trouvé des fonctions oscillantes, il suffit alors de contraindre ces fonctions à respecter les conditions aux limites radiales.

Soit pour une fonction sinusoïdale s'annulant en l_{r1} et l_{r2} , on trouve immédiatement :

$$\alpha = \log\left(\frac{l_{r2}}{l_{r1}}\right) \quad \text{Conditions } R(l_{r1}) = R(l_{r2}) = 0 \Rightarrow \tau \log\left(\frac{l_{r2}}{l_{r1}}\right) = n\pi \Leftrightarrow \tau \alpha = n\pi$$

$$R_n(r) = \frac{1}{r^\lambda} \sin\left(\frac{n\pi \log\left(\frac{r}{l_{r1}}\right)}{\log\left(\frac{l_{r2}}{l_{r1}}\right)}\right) \quad \text{ou bien} \quad R_n(r) = \left(\frac{l_{r1}}{r}\right)^\lambda \sin\left(\frac{n\pi \log\left(\frac{r}{l_{r1}}\right)}{\log\left(\frac{l_{r2}}{l_{r1}}\right)}\right)$$

Problèmes aux limites de Laplace sur une hypersphère- p-

Pour une condition de Neumann de part et d'autre :

$$\text{Conditions } \frac{dR(l_{r1})}{dr} = 0 \quad \text{et} \quad \frac{dR(l_{r2})}{dr} = 0 \quad \text{Posons} \quad t = \text{Log}(r) \quad t_1 = \text{Log}(l_{r1}) \quad t_2 = \text{Log}(l_{r2}) \rightarrow \tau = \frac{t - t_1}{t_2 - t_1}$$

$$\alpha = t_2 - t_1 = \text{Log}\left(\frac{l_{r2}}{l_{r1}}\right) \rightarrow \tau = \frac{(t - t_1)}{\alpha} \rightarrow t = t_1 + \alpha \tau \Leftrightarrow \alpha \tau = \text{Log}\left(\frac{r}{l_{r1}}\right)$$

$$\text{Conditions } \frac{dR(l_{r1})}{dr} = \frac{dR(l_{r2})}{dr} = 0 \Leftrightarrow \frac{dR(0)}{d\tau} = \frac{dR(1)}{d\tau} = 0$$

$$R(t) = e^{-\lambda t} (C \cos(\nu t) + D \sin(\nu t)) \Rightarrow R(\tau) = \frac{e^{-\alpha \lambda \tau}}{l_{r1}^\lambda} (A \cos(\nu \alpha \tau) + B \sin(\nu \alpha \tau)) \quad R'_r(r) = \frac{R'_\tau(t)}{r} = \frac{R'_\tau(\tau)}{\alpha r}$$

$$\Rightarrow \text{Conditions } R'(\tau) = 0 \quad R'_\tau(\tau) = \frac{\alpha}{l_{r1}^\lambda} e^{-\alpha \lambda \tau} (\nu (-A \sin(\nu \alpha \tau) + B \cos(\nu \alpha \tau)) - \lambda (A \cos(\nu \alpha \tau) + B \sin(\nu \alpha \tau)))$$

$$R'_\tau(\tau) = \frac{\alpha}{l_{r1}^\lambda} e^{-\alpha \lambda \tau} (\cos(\nu \alpha \tau) (B \nu - \lambda A) - \sin(\nu \alpha \tau) (A \nu + \lambda B))$$

$$\Rightarrow \text{Conditions } R'_\tau(0) = R'_\tau(1) \Rightarrow A = B = 0 \quad \text{sauf si } \sin(\nu \alpha) = 0 \Rightarrow \nu \alpha = n \pi$$

$$\text{Dans ce cas } R'_\tau(0) = 0 \Rightarrow B \nu - \lambda A = 0 \Rightarrow A = \frac{B \nu}{\lambda}$$

$$R(\tau) = \frac{e^{-\alpha \lambda \tau}}{l_{r1}^\lambda} \left(\frac{\nu}{\lambda} \cos(\nu \alpha \tau) + \sin(\nu \alpha \tau) \right) \Rightarrow \nu = \frac{n \pi}{\text{Log}\left(\frac{l_{r2}}{l_{r1}}\right)}$$

$$R_n(r) = \frac{1}{r^\lambda} \left(\frac{n \pi}{\lambda \text{Log}\left(\frac{l_{r2}}{l_{r1}}\right)} \cos\left(\frac{n \pi \text{Log}\left(\frac{r}{l_{r1}}\right)}{\text{Log}\left(\frac{l_{r2}}{l_{r1}}\right)}\right) + \sin\left(\frac{n \pi \text{Log}\left(\frac{r}{l_{r1}}\right)}{\text{Log}\left(\frac{l_{r2}}{l_{r1}}\right)}\right) \right)$$

$$\text{ou bien } R_n(r) = \left(\frac{l_{r1}}{r}\right)^\lambda \left(\frac{n \pi}{\lambda \text{Log}\left(\frac{l_{r2}}{l_{r1}}\right)} \cos\left(\frac{n \pi \text{Log}\left(\frac{r}{l_{r1}}\right)}{\text{Log}\left(\frac{l_{r2}}{l_{r1}}\right)}\right) + \sin\left(\frac{n \pi \text{Log}\left(\frac{r}{l_{r1}}\right)}{\text{Log}\left(\frac{l_{r2}}{l_{r1}}\right)}\right) \right)$$

Problèmes aux limites de Laplace sur une hypersphère- p-

Pour des conditions de Dirichlet en bas et de Neumann en haut :

$$\text{Conditions } R(l_{r1}) = 0 \quad \text{et} \quad \frac{dR(l_{r2})}{dr} = 0$$

$$\Leftrightarrow R(0) = 0 \Rightarrow A = 0 \Rightarrow R(\tau) = \frac{1}{l_{r1}^\lambda} e^{-\lambda \alpha \tau} \sin(v \alpha \tau) \quad \text{et} \quad R'(\tau) = \frac{\alpha}{l_{r1}^\lambda} e^{-\lambda \alpha \tau} (v \cos(v \alpha \tau) - \lambda \sin(v \alpha \tau))$$

$$\Rightarrow \text{Conditions } R'(1) = 0 \Rightarrow v - tq - \lambda \sin(v \alpha) = v \cos(v \alpha)$$

$$v \rightarrow v_n \Rightarrow R(\tau) = \frac{1}{l_{r1}^\lambda} e^{-\lambda \alpha \tau} \sin(v_n \alpha \tau) \quad \Leftrightarrow \alpha \tau = \text{Log}\left(\frac{r}{l_{r1}}\right)$$

Il vient

$$\alpha = \text{Log}\left(\frac{l_{r2}}{l_{r1}}\right) \quad v_n - tq - \lambda \sin(v \alpha) = v \cos(v \alpha)$$

$$R_n(r) = \frac{1}{r^\lambda} \sin\left(v_n \text{Log}\left(\frac{r}{l_{r1}}\right)\right) \quad \text{ou bien} \quad R_n(r) = \left(\frac{l_{r1}}{r}\right)^\lambda \sin\left(v_n \text{Log}\left(\frac{r}{l_{r1}}\right)\right)$$

Et enfin pour des conditions de Dirichlet en haut et de Neumann en bas :

$$\text{Conditions } \frac{dR(l_{r1})}{dr} = 0 \quad \text{et} \quad R(l_{r2}) = 0$$

$$\text{Posons } t = \text{Log}(r) \quad t_1 = \text{Log}(l_{r1}) \quad t_2 = \text{Log}(l_{r2}) \rightarrow \tau = \frac{t_2 - t}{t_2 - t_1}$$

$$\alpha = t_2 - t_1 = \text{Log}\left(\frac{l_{r2}}{l_{r1}}\right) \rightarrow \tau = \frac{t_2 - t}{\alpha} \rightarrow t = t_2 - \alpha \tau \Leftrightarrow \alpha \tau = \text{Log}\left(\frac{l_{r2}}{r}\right)$$

$$\text{Conditions } \frac{dR(l_{r1})}{dr} = 0 \quad \text{et} \quad R(l_{r2}) = 0 \Leftrightarrow R(0) = 0 \quad \text{et} \quad \frac{dR(1)}{d\tau} = 0$$

$$R(r) = \frac{1}{r^\lambda} \left(C \cos\left(v \text{Log}\left(\frac{l_{r2}}{r}\right)\right) + D \sin\left(v \text{Log}\left(\frac{l_{r2}}{r}\right)\right) \right) \Leftrightarrow R(\tau) = \frac{1}{l_{r2}^\lambda} e^{\alpha \lambda \tau} (A \cos(v \alpha \tau) + B \sin(v \alpha \tau))$$

$$R'(r) = -\frac{R'(\tau)}{\alpha r} \Rightarrow \text{Conditions } R'(\tau) = 0$$

$$R'(\tau) = \frac{\alpha}{l_{r2}^\lambda} e^{\alpha \lambda \tau} (v (-A \sin(v \alpha \tau) + B \cos(v \alpha \tau)) + \lambda (A \cos(v \alpha \tau) + B \sin(v \alpha \tau)))$$

$$R'(\tau) = \frac{\alpha}{l_{r2}^\lambda} e^{\alpha \lambda \tau} (\cos(v \alpha \tau) (B v + \lambda A) + \sin(v \alpha \tau) (\lambda B - A v))$$

$$R(0) = 0 \Rightarrow A = 0 \Rightarrow R'(\tau) = \frac{\alpha}{l_{r2}^\lambda} e^{\alpha \lambda \tau} B (v \cos(v \alpha \tau) + \lambda \sin(v \alpha \tau))$$

$$\frac{dR(1)}{d\tau} = 0 \Rightarrow \lambda \sin(v \alpha) = -v \cos(v \alpha)$$

$$R(\tau) = e^{\alpha \lambda \tau} \sin(v \alpha \tau) \Rightarrow \text{Il vient } v_n - tq - \lambda \sin(v_n \alpha) = -v_n \cos(v_n \alpha) \quad \alpha = \text{Log}\left(\frac{l_{r2}}{l_{r1}}\right)$$

$$R_n(r) = \frac{1}{r^\lambda} \sin\left(v_n \text{Log}\left(\frac{l_{r2}}{r}\right)\right) \quad \text{ou bien} \quad R_n(r) = \left(\frac{l_{r2}}{r}\right)^\lambda \sin\left(v_n \text{Log}\left(\frac{l_{r2}}{r}\right)\right)$$

Orthogonalité et normalisation des fonctions propres radiales construites

On peut se convaincre facilement de l'orthogonalité en appliquant directement les résultats d'un système de Sturm-Liouville :

$$\lambda = \frac{n-2}{2} \quad \mu^2 = \nu^2 + \lambda^2 \quad \frac{1}{r^{2\lambda+1}} \frac{d}{dr} \left(r^{2\lambda+1} \frac{dR(r)}{dr} \right) + (\nu^2 + \lambda^2) \frac{R(r)}{r^2} = 0$$

$$\Leftrightarrow \frac{1}{r^{2\lambda-1}} \frac{d}{dr} \left(r^{2\lambda+1} \frac{dR(r)}{dr} \right) + (\nu^2 + \lambda^2) R(r) = 0 \Leftrightarrow -\frac{1}{r^{2\lambda-1}} \frac{d}{dr} \left(r^{2\lambda+1} \frac{dR(r)}{dr} \right) = (\nu^2 + \lambda^2) R(r)$$

Système de Sturm – Liouville

$$L(R(r)) = \frac{1}{w(r)} \left(-\frac{d}{dr} \left(p(r) \frac{dR(r)}{dr} \right) + s(r) \right) \quad \text{Equation aux valeurs propres } \omega \rightarrow L(R(r)) = \omega R(r)$$

$$\Rightarrow w(r) = r^{2\lambda-1} \quad p(r) = r^{2\lambda+1} \quad s(r) = 0 \quad \omega = \mu^2 = \nu^2 + \lambda^2$$

Il vient alors la propriété :

$$R_n(r) \rightarrow \Phi_n^r(r)$$

$$\int_{l_{r1}}^{l_{r2}} dr r^{2\lambda-1} \Phi_n^r(r) \Phi_m^r(r) = \|\Phi_n^r(r)\|^2 \delta_{n,m} \Rightarrow \|\Phi_n^r(r)\|^2 = \int_{l_{r1}}^{l_{r2}} dr r^{2\lambda-1} (\Phi_n^r(r))^2$$

On va calculer les normes des fonctions propres directement par leur intégrale, mais avant exprimons des intégrales avec les fonctions propres radiales et une fonction quelconque sous la forme normalisée suivante avec le poids calculé :

$$\left. \begin{array}{l} R_n(r) = \frac{\Psi_n(r)}{r^\lambda} \\ f(r) \propto \frac{g(r)}{r^\lambda} \end{array} \right\} \quad I = \int_{l_{r1}}^{l_{r2}} dr r^{2\lambda-1} f(r) R_n(r) \quad \Psi_n(r) \propto A_n \cos \left(\nu_n \log \left(\frac{r}{l_{r1}} \right) \right) + B_n \sin \left(\nu_n \log \left(\frac{r}{l_{r1}} \right) \right)$$

$$\Psi_n(\tau) = A_n \cos(\nu_n \alpha \tau) + B_n \sin(\nu_n \alpha \tau) \quad r' = \frac{r}{l_{r1}} \rightarrow e^t = r' \rightarrow \tau = \frac{t}{\log \left(\frac{l_{r2}}{l_{r1}} \right)} \quad \alpha = \log \left(\frac{l_{r2}}{l_{r1}} \right) \Leftrightarrow t = \alpha \tau$$

$$I = \int_{l_{r1}}^{l_{r2}} dr r^{2\lambda-1} f(r) R_n(r) = \int_{l_{r1}}^{l_{r2}} dr r^{2\lambda-1} \frac{g(r)}{r^{2\lambda}} \Psi_n(r) = \int_{l_{r1}}^{l_{r2}} dr \frac{g(r)}{r} \Psi_n(r) = \int_1^{l_{r2}/l_{r1}} dr' \frac{g(r')}{r'} \Psi_n(r') = \int_0^{\log(l_{r2}/l_{r1})} dt g(t) \Psi_n(t)$$

$$I = \alpha \int_0^1 d\tau g(\tau) \Psi_n(\tau)$$

Problèmes aux limites de Laplace sur une hypersphère- p-

Cette intégrale est valable quelque soit les valeurs propres et fonctions propres associées de nos différents problèmes sur le cône. Appliquons cette série de transformation à la fonction propre elle-même :

$$v_n = \frac{n\pi}{\text{Log}\left(\frac{l_{r2}}{l_{r1}}\right)}$$

$$\left. \begin{aligned} R_n(r) &= \frac{1}{r^\lambda} \text{Sin}\left(v_n \text{Log}\left(\frac{r}{l_{r1}}\right)\right) \\ f(r) &= \frac{1}{r^\lambda} \text{Sin}\left(v_n \text{Log}\left(\frac{r}{l_{r1}}\right)\right) \end{aligned} \right\} \quad I = \int_{l_{r1}}^{l_{r2}} dr r^{2\lambda-1} R_n(r)^2 = \alpha \int_0^1 d\tau (\Psi_n(\tau))^2 \quad \text{avec} \quad \Psi_n(\tau) = \text{Sin}(n\pi\tau)$$

$$\text{Il vient} \quad I = \alpha \int_0^1 d\tau (\text{Sin}(n\pi\tau))^2 = \frac{\alpha}{2} = \frac{\text{Log}\left(\frac{l_{r2}}{l_{r1}}\right)}{2}$$

En l'appliquant à la forme Cosinus :

$$\left. \begin{aligned} R_n(r) &= \frac{1}{r^\lambda} \text{Sin}\left(v_n \text{Log}\left(\frac{r}{l_{r1}}\right)\right) \\ v_n &= \frac{n\pi}{\text{Log}\left(\frac{l_{r2}}{l_{r1}}\right)} \quad f(r) = \frac{1}{r^\lambda} \text{Cos}\left(v_n \text{Log}\left(\frac{r}{l_{r1}}\right)\right) \end{aligned} \right\} \quad I = \alpha \int_0^1 d\tau \text{Cos}(n\pi\tau) \text{Sin}(n\pi\tau) = \frac{\alpha}{2} \int_0^1 d\tau \text{Sin}(2n\pi\tau) = 0$$

Cela permet d'appliquer le résultat avec une combinaison de fonctions sinusoïdales lorsque le jeu de valeurs propres est identiques. Deux résultats peuvent donc être donnés :

$$\text{Conditions de Dirichlet } R_n(l_{r1}) = R_n(l_{r2}) = 0 \Rightarrow R_n(r) = \frac{1}{r^\lambda} \text{Sin}\left(\frac{n\pi \text{Log}\left(\frac{r}{l_{r1}}\right)}{\text{Log}\left(\frac{l_{r2}}{l_{r1}}\right)}\right) \Rightarrow \|R_n(r)\|^2 = \frac{\text{Log}\left(\frac{l_{r2}}{l_{r1}}\right)}{2}$$

$$\text{Conditions de Neumann } \frac{dR_n(l_{r1})}{dr} = \frac{dR_n(l_{r2})}{dr} = 0$$

$$\Rightarrow R_n(r) = \frac{1}{r^\lambda} \left(\frac{n\pi}{\lambda \text{Log}\left(\frac{l_{r2}}{l_{r1}}\right)} \text{Cos}\left(\frac{n\pi \text{Log}\left(\frac{r}{l_{r1}}\right)}{\text{Log}\left(\frac{l_{r2}}{l_{r1}}\right)}\right) + \text{Sin}\left(\frac{n\pi \text{Log}\left(\frac{r}{l_{r1}}\right)}{\text{Log}\left(\frac{l_{r2}}{l_{r1}}\right)}\right) \right)$$

$$\text{Soit } R_n(r) = \frac{1}{r^\lambda} \left(A_n \text{Cos}\left(\frac{n\pi \text{Log}\left(\frac{r}{l_{r1}}\right)}{\text{Log}\left(\frac{l_{r2}}{l_{r1}}\right)}\right) + B_n \text{Sin}\left(\frac{n\pi \text{Log}\left(\frac{r}{l_{r1}}\right)}{\text{Log}\left(\frac{l_{r2}}{l_{r1}}\right)}\right) \right) \Rightarrow \|R_n(r)\|^2 = \frac{\text{Log}\left(\frac{l_{r2}}{l_{r1}}\right)}{2} (A_n^2 + B_n^2)$$

$$A_n = \frac{n\pi}{\lambda \text{Log}\left(\frac{l_{r2}}{l_{r1}}\right)} \quad \text{et} \quad B_n = 1 \Rightarrow \|R_n(r)\|^2 = \frac{\text{Log}\left(\frac{l_{r2}}{l_{r1}}\right)}{2} \left(1 + n^2 \pi^2 \left[\lambda \text{Log}\left(\frac{l_{r2}}{l_{r1}}\right) \right]^{-2} \right)$$

Problèmes aux limites de Laplace sur une hypersphère- p-

Pour les problèmes combinés, conditions de Dirichlet en bas et de Neumann en haut :

$$\text{Conditions } R(l_{r1}) = 0 \quad \text{et} \quad \frac{dR(l_{r2})}{dr} = 0$$

$$v_n \quad tq \quad \lambda \sin(v_n \alpha) = v_n \cos(v_n \alpha) \quad R_n(r) = \frac{1}{r^\lambda} \sin\left(v_n \log\left(\frac{r}{l_{r1}}\right)\right)$$

$$I = \int_{l_{r1}}^{l_{r2}} dr r^{2\lambda-1} R_n(r)^2 = \alpha \int_0^1 d\tau (\Psi_n(\tau))^2 \quad \text{avec} \quad \Psi_n(\tau) = \sin(v_n \alpha \tau)$$

$$\|R_n(r)\|^2 = \alpha \int_0^1 d\tau (\sin(v_n \alpha \tau))^2 = \frac{\alpha}{2} \int_0^1 d\tau (1 - \cos(2v_n \alpha \tau))$$

$$= \frac{\alpha}{2} \left[\tau - \frac{\sin(2v_n \alpha \tau)}{2v_n \alpha} \right]_0^1 = \frac{\alpha}{2} \left(1 - \frac{\sin(2v_n \alpha)}{2v_n \alpha} \right) = \frac{\alpha}{2} \left(1 - \frac{\sin(v_n \alpha) \cos(v_n \alpha)}{v_n \alpha} \right)$$

$$\|R_n(r)\|^2 = \frac{\alpha}{2} \left(1 - \frac{\cos(v_n \alpha)^2}{\lambda \alpha} \right) \quad \text{mais aussi} \quad \|R_n(r)\|^2 = \frac{\alpha}{2} \left(1 - \frac{\lambda \sin(v_n \alpha)^2}{\alpha v_n^2} \right)$$

Avec le problème combiné, Conditions de Dirichlet en haut et de Neumann en bas, on change l'intégration :

$$\left. \begin{array}{l} R_n(r) = \frac{\Psi_n(r)}{r^\lambda} \\ f(r) \propto \frac{g(r)}{r^\lambda} \end{array} \right\} \quad I = \int_{l_{r1}}^{l_{r2}} dr r^{2\lambda-1} f(r) R_n(r) \quad \Psi_n(r) \propto A_n \cos\left(v_n \log\left(\frac{l_{r2}}{r}\right)\right) + B_n \sin\left(v_n \log\left(\frac{l_{r2}}{r}\right)\right)$$

$$\Psi_n(\tau) = A_n \cos(v_n \alpha \tau) + B_n \sin(v_n \alpha \tau)$$

$$r' = \frac{r}{l_{r2}} \rightarrow e^t = r' \rightarrow \tau = -\frac{t}{\log\left(\frac{l_{r2}}{l_{r1}}\right)} \quad \alpha = \log\left(\frac{l_{r2}}{l_{r1}}\right) \Leftrightarrow t = -\alpha \tau$$

$$I = \int_{l_{r1}}^{l_{r2}} dr r^{2\lambda-1} f(r) R_n(r) = \int_{l_{r1}}^{l_{r2}} dr r^{2\lambda-1} \frac{g(r)}{r^{2\lambda}} \Psi_n(r) = \int_{l_{r1}/l_{r2}}^1 dr' \frac{g(r')}{r'} \Psi_n(r') = \int_{-\log(l_{r2}/l_{r1})}^0 dt g(t) \Psi_n(t) = \alpha \int_0^1 d\tau g(\tau) \Psi_n(\tau)$$

$$\Psi_n(\tau) = A_n \cos(v_n \alpha \tau) + B_n \sin(v_n \alpha \tau)$$

En conséquence la norme est égale à :

$$\text{Conditions } \frac{dR(l_{r1})}{dr} = 0 \quad \text{et} \quad R(l_{r2}) = 0$$

$$v_n \quad tq \quad \lambda \sin(v_n \alpha) = -v_n \cos(v_n \alpha)$$

$$R_n(r) = \frac{1}{r^\lambda} \sin\left(v_n \log\left(\frac{l_{r2}}{r}\right)\right) \Rightarrow I = \int_{l_{r1}}^{l_{r2}} dr r^{2\lambda-1} R_n(r)^2 = \alpha \int_0^1 d\tau (\Psi_n(\tau))^2 \quad \text{avec} \quad \Psi_n(\tau) = \sin(v_n \alpha \tau)$$

$$\|R_n(r)\|^2 = \alpha \int_0^1 d\tau (\sin(v_n \alpha \tau))^2 = \frac{\alpha}{2} \int_0^1 d\tau (1 - \cos(2v_n \alpha \tau)) = \frac{\alpha}{2} \left(1 - \frac{\sin(2v_n \alpha)}{2v_n \alpha} \right) = \frac{\alpha}{2} \left(1 - \frac{\sin(v_n \alpha) \cos(v_n \alpha)}{v_n \alpha} \right)$$

$$\|R_n(r)\|^2 = \frac{\alpha}{2} \left(1 + \frac{\cos(v_n \alpha)^2}{\lambda \alpha} \right) \quad \text{mais aussi} \quad \|R_n(r)\|^2 = \frac{\alpha}{2} \left(1 + \frac{\lambda \sin(v_n \alpha)^2}{\alpha v_n^2} \right)$$

.

Calcul des normes en théorie de Sturm-Liouville

Dans le cadre d'un problème de Sturm-Liouville régulier, avec pour valeur propre ω :

$$r \in [l_{r1}, l_{r2}] \quad p(r) > 0 \quad w(r) > 0$$

$$-\frac{d}{dr} \left(p(r) \frac{d\Phi_\omega(r)}{dr} \right) + [s(r) - \omega w(r)] \Phi_\omega(r) = 0 \Leftrightarrow \frac{d}{dr} \left(p(r) \frac{d\Phi_\omega(r)}{dr} \right) + [\omega w(r) - s(r)] \Phi_\omega(r) = 0$$

ω valeur propre de l'opérateur de Sturm – Liouville

Les normes se calculent de la manière suivante :

$$\int_{l_{r1}}^{l_{r2}} dr w(r) \Phi_\omega(r)^2 = \left[p(r) \left(\frac{\partial \Phi_\omega(r)}{\partial r} \frac{\partial \Phi_\omega(r)}{\partial \omega} - \Phi_\omega(r) \frac{\partial^2 \Phi_\omega(r)}{\partial \omega \partial r} \right) \right]_{l_{r1}}^{l_{r2}}$$

On rappelle d'autre part que la valeur propre de l'opérateur de Sturm-Liouville dans notre problème était transformée de la manière suivante :

$$\mu^2 = \omega = -p(p + 2\lambda) \text{ forme de Legendre}$$

$$\text{Cas } 4\lambda^2 - 4\omega < 0 \rightarrow p = -\frac{1}{2} + i\sqrt{\omega - \lambda^2} \quad \text{En posant } v = \sqrt{\omega - \lambda^2} \Rightarrow p = -\frac{1}{2} + iv$$

En conséquence les dérivées paramétriques sur les valeurs propres changent de nature :

$$\text{En posant } v = \sqrt{\omega - \lambda^2} \Rightarrow \omega = v^2 + \lambda^2 \Rightarrow d\omega = 2v dv$$

Appliquons ces formules à notre problème, il vient :

$$p(r) = r^{2\lambda+1} \quad w(r) = r^{2\lambda-1} \quad \Phi_\omega(r) \rightarrow R_v(r)$$

$$\int_{l_{r1}}^{l_{r2}} dr r^{2\lambda-1} R_v(r)^2 = \frac{1}{2v} \left[r^{2\lambda+1} \left(\frac{\partial R_v(r)}{\partial r} \frac{\partial R_v(r)}{\partial v} - R_v(r) \frac{\partial^2 R_v(r)}{\partial v \partial r} \right) \right]_{l_{r1}}^{l_{r2}}$$

Rappelons également les valeurs des dérivées premières en coordonnées et en paramètres pour une des formes des fonctions propres :

$$\text{Posons } t = \text{Log}(r) \quad t_1 = \text{Log}(l_{r1}) \quad t_2 = \text{Log}(l_{r2}) \rightarrow \tau = \frac{t-t_1}{t_2-t_1} \quad \alpha = t_2 - t_1 = \text{Log}\left(\frac{l_{r2}}{l_{r1}}\right)$$

$$\rightarrow \tau = \frac{(t-t_1)}{\alpha} \rightarrow t = t_1 + \alpha \tau \Leftrightarrow \alpha \tau = \text{Log}\left(\frac{r}{l_{r1}}\right) \Leftrightarrow r = l_{r1} e^{\alpha \tau}$$

$$\text{Posons } R'_{v,r}(r) = \frac{\partial R_v(r)}{\partial r} \quad \text{et} \quad R'_{v,\tau}(\tau) = \frac{\partial R_v(\tau)}{\partial \tau} \quad \text{et} \quad R'_{v,v}(\tau) = \frac{\partial R_v(\tau)}{\partial v}$$

$$R_v(r) = \frac{1}{r^\lambda} \left(A \cos\left(v \text{Log}\left(\frac{r}{l_{r1}}\right)\right) + B \sin\left(v \text{Log}\left(\frac{r}{l_{r1}}\right)\right) \right) \Rightarrow R'_{v,r}(r) = \frac{R'_{v,\tau}(\tau)}{\alpha r} = \frac{R'_{v,\tau}(\tau) e^{-\alpha \tau}}{\alpha l_{r1}}$$

$$R_v(\tau) = \frac{1}{l_{r1}^\lambda} e^{-\lambda \alpha \tau} (A \cos(v \alpha \tau) + B \sin(v \alpha \tau))$$

$$R'_{v,\tau}(\tau) = \frac{\alpha}{l_{r1}^\lambda} e^{-\lambda \alpha \tau} (\cos(v \alpha \tau) (B v - \lambda A) - \sin(v \alpha \tau) (A v + \lambda B))$$

$$R'_{v,v}(\tau) = \frac{\alpha \tau}{l_{r1}^\lambda} e^{-\lambda \alpha \tau} (-A \sin(v \alpha \tau) + B \cos(v \alpha \tau))$$

$$\frac{\partial^2 R_v(\tau)}{\partial v \partial \tau} = \frac{\partial R'_{v,\tau}(\tau)}{\partial v} = \frac{\alpha}{l_{r1}^\lambda} e^{-\lambda \alpha \tau} ((B \cos(v \alpha \tau) - A \sin(v \alpha \tau)) - \alpha \tau (\sin(v \alpha \tau) (B v - \lambda A) + \cos(v \alpha \tau) (A v + \lambda B)))$$

.

Problèmes aux limites de Laplace sur une hypersphère- p-

Exprimons la norme à l'aide de la variable normalisée τ , il vient :

$$\int_{l_{r1}}^{l_{r2}} dr r^{2\lambda-1} R_v(r)^2 = \frac{1}{2v} \left[r^{2\lambda+1} \left(\frac{\partial R_v(r)}{\partial r} \frac{\partial R_v(r)}{\partial v} - R_v(r) \frac{\partial^2 R_v(r)}{\partial v \partial r} \right) \right]_{l_{r1}}^{l_{r2}}$$

Posons $R'_{v,r}(r) = \frac{\partial R_v(r)}{\partial r}$ et $R'_{v,\tau}(\tau) = \frac{\partial R_v(\tau)}{\partial \tau}$ et $R'_{v,v}(\tau) = \frac{\partial R_v(\tau)}{\partial v}$ $r = l_{r1} e^{\alpha \tau} \Rightarrow r^{2\lambda+1} = l_{r1}^{2\lambda+1} e^{\alpha(2\lambda+1)\tau}$

$$R'_{v,r}(r) = \frac{R'_{v,\tau}(\tau) e^{-\alpha \tau}}{\alpha l_{r1}} \quad \text{et} \quad \frac{\partial^2 R_v(r)}{\partial v \partial r} = \frac{e^{-\alpha \tau}}{\alpha l_{r1}} \frac{\partial^2 R_v(\tau)}{\partial v \partial \tau} \Rightarrow \|R_v(r)\|^2 = \frac{l_{r1}^{2\lambda}}{2\alpha v} \left[e^{2\lambda\alpha\tau} \left(\frac{\partial R_v(\tau)}{\partial \tau} \frac{\partial R_v(\tau)}{\partial v} - R_v(\tau) \frac{\partial^2 R_v(\tau)}{\partial v \partial \tau} \right) \right]_0^1$$

$$\|R_v(r)\|^2 = \frac{l_{r1}^{2\lambda}}{2\alpha v} \left[e^{2\lambda\alpha\tau} \left(R'_{v,\tau}(\tau) R'_{v,v}(\tau) - R_v(\tau) \frac{\partial^2 R_v(\tau)}{\partial v \partial \tau} \right) \right]_0^1$$

Retrouvons alors les résultats des normes dans le cas de Dirichlet de part et d'autres :

$$\text{Condition de Dirichlet} \Rightarrow [R_v(\tau)]_0 = 0 \quad \text{et} \quad [\sin(v \alpha \tau)]_0 = 0 \quad [\cos(v \alpha \tau)]_0 = \pm 1 \Rightarrow [\cos^2(v \alpha \tau)]_0 = 1$$

$$A = 0, B = 1$$

$$R'_{v,\tau}(\tau) = \frac{\alpha}{l_{r1}^\lambda} e^{-\lambda\alpha\tau} v \cos(v \alpha \tau) \quad R'_{v,v}(\tau) = \frac{\alpha \tau}{l_{r1}^\lambda} e^{-\lambda\alpha\tau} \cos(v \alpha \tau) \Rightarrow \|R_v(r)\|^2 = \frac{\alpha}{2} \left[\tau \cos^2(v \alpha \tau) \right]_0 = \frac{\alpha}{2}$$

Dans le cas Dirichlet en bas et Neumann en haut, il vient :

$$R_v(0) = 0 \quad \text{et} \quad R'_{v,\tau}(1) = 0$$

$$v_n \quad \text{tq} \quad \lambda \sin(v_n \alpha) = v_n \cos(v_n \alpha) \quad A = 0, B = 1 \Rightarrow R_v(\tau) = \frac{1}{l_{r1}^\lambda} e^{-\lambda\alpha\tau} \sin(v \alpha \tau)$$

$$\Rightarrow R'_{v,\tau}(\tau) = \frac{\alpha}{l_{r1}^\lambda} e^{-\lambda\alpha\tau} (v \cos(v \alpha \tau) - \lambda \sin(v \alpha \tau)) \quad R'_{v,v}(\tau) = \frac{\alpha \tau}{l_{r1}^\lambda} e^{-\lambda\alpha\tau} \cos(v \alpha \tau)$$

$$\frac{\partial^2 R_v(\tau)}{\partial v \partial \tau} = \frac{\alpha e^{-\lambda\alpha\tau}}{l_{r1}^\lambda} (\cos(v \alpha \tau)(1 - \lambda \alpha \tau) - v \alpha \tau \sin(v \alpha \tau))$$

$$\Rightarrow R'_{v,\tau}(0) = \frac{\alpha}{l_{r1}^\lambda} v \quad R'_{v,v}(0) = 0 \quad \frac{\partial^2 R_v(0)}{\partial v \partial \tau} = \frac{\alpha}{l_{r1}^\lambda}$$

$$R'_{v,\tau}(1) = \frac{e^{-\lambda\alpha}}{l_{r1}^\lambda} \alpha (v \cos(v \alpha) - \lambda \sin(v \alpha)) \quad R'_{v,v}(1) = \frac{e^{-\lambda\alpha}}{l_{r1}^\lambda} \alpha \cos(v \alpha)$$

$$R_v(1) = \frac{e^{-\lambda\alpha}}{l_{r1}^\lambda} \sin(v \alpha) \quad \frac{\partial^2 R_v(1)}{\partial v \partial \tau} = \frac{e^{-\lambda\alpha}}{l_{r1}^\lambda} \alpha (\cos(v \alpha)(1 - \lambda \alpha) - v \alpha \sin(v \alpha))$$

$$\|R_v(r)\|^2 = \frac{l_{r1}^{2\lambda}}{2\alpha v} \left[e^{2\lambda\alpha\tau} \left(R'_{v,\tau}(\tau) R'_{v,v}(\tau) - R_v(\tau) \frac{\partial^2 R_v(\tau)}{\partial v \partial \tau} \right) \right]_0^1 = \frac{l_{r1}^{2\lambda}}{2\alpha v} e^{2\lambda\alpha} \left(R'_{v,\tau}(1) R'_{v,v}(1) - R_v(1) \frac{\partial^2 R_v(1)}{\partial v \partial \tau} \right)$$

$$= \frac{1}{2\alpha v} (\alpha (v \cos(v \alpha) - \lambda \sin(v \alpha)) \alpha \cos(v \alpha) - \sin(v \alpha) \alpha (\cos(v \alpha)(1 - \lambda \alpha) - v \alpha \sin(v \alpha)))$$

$$= \frac{1}{2v} (v \alpha - \sin(v \alpha) \cos(v \alpha)) = \frac{\alpha}{2} \left(1 - \frac{\sin(v \alpha) \cos(v \alpha)}{v \alpha} \right)$$

Ce qui est le résultat déjà trouvé en calculant directement l'intégrale !

Problèmes aux limites de Laplace sur une hypersphère- p-

Rappelons également les valeurs des dérivées premières en coordonnées et en paramètres pour la deuxième forme choisie des fonctions propres (cas Neumann en bas et Dirichlet en haut):

$$\begin{aligned}
 \text{Posons } t &= \text{Log}(r) \quad t_1 = \text{Log}(l_{r1}) \quad t_2 = \text{Log}(l_{r2}) \rightarrow \tau = \frac{t_2 - t}{t_2 - t_1} \quad \alpha = t_2 - t_1 = \text{Log}\left(\frac{l_{r2}}{l_{r1}}\right) \\
 \rightarrow \tau &= \frac{t_2 - t}{\alpha} \rightarrow t = t_2 - \alpha \tau \Leftrightarrow \alpha \tau = \text{Log}\left(\frac{l_{r2}}{r}\right) \Leftrightarrow r = l_{r2} e^{-\alpha \tau} \quad \text{Posons } R'_{v,r}(r) = \frac{\partial R_v(r)}{\partial r} \quad \text{et} \\
 R'_{v,\tau}(\tau) &= \frac{\partial R_v(\tau)}{\partial \tau} \quad \text{et} \quad R'_{v,v}(\tau) = \frac{\partial R_v(\tau)}{\partial v} \quad R_v(r) = \frac{1}{r^\lambda} \left(A \cos\left(v \text{Log}\left(\frac{l_{r2}}{r}\right)\right) + B \sin\left(v \text{Log}\left(\frac{l_{r2}}{r}\right)\right) \right) \\
 \Rightarrow R'_{v,r}(r) &= -\frac{R'_{v,\tau}(\tau)}{\alpha r} = -\frac{R'_{v,\tau}(\tau) e^{\alpha \tau}}{\alpha l_{r2}} \quad R_v(\tau) = \frac{1}{l_{r2}^\lambda} e^{\lambda \alpha \tau} (A \cos(v \alpha \tau) + B \sin(v \alpha \tau)) \\
 R'_{v,\tau}(\tau) &= \frac{\alpha}{l_{r2}^\lambda} e^{\lambda \alpha \tau} (\cos(v \alpha \tau) (B v + \lambda A) - \sin(v \alpha \tau) (A v - \lambda B)) \quad R'_{v,v}(\tau) = \frac{\alpha \tau}{l_{r2}^\lambda} e^{\lambda \alpha \tau} (-A \sin(v \alpha \tau) + B \cos(v \alpha \tau)) \\
 \frac{\partial^2 R_v(\tau)}{\partial v \partial \tau} &= \frac{\partial R'_{v,\tau}(\tau)}{\partial v} = \frac{\alpha}{l_{r2}^\lambda} e^{\lambda \alpha \tau} ((B \cos(v \alpha \tau) - A \sin(v \alpha \tau)) - \alpha \tau (\sin(v \alpha \tau) (B v + \lambda A) + \cos(v \alpha \tau) (A v - \lambda B)))
 \end{aligned}$$

Exprimons la norme à l'aide de la variable normalisée τ , il vient :

$$\begin{aligned}
 \text{Posons } R'_{v,r}(r) &= \frac{\partial R_v(r)}{\partial r} \quad \text{et} \quad R'_{v,\tau}(\tau) = \frac{\partial R_v(\tau)}{\partial \tau} \quad \text{et} \quad R'_{v,v}(\tau) = \frac{\partial R_v(\tau)}{\partial v} \quad r = l_{r2} e^{-\alpha \tau} \\
 r^{2\lambda+1} &= l_{r2}^{2\lambda+1} e^{-\alpha(2\lambda+1)\tau} \quad R'_{v,r}(r) = \frac{R'_{v,\tau}(\tau) e^{\alpha \tau}}{\alpha l_{r2}} \quad \text{et} \quad \frac{\partial^2 R_v(r)}{\partial v \partial r} = -\frac{e^{\alpha \tau}}{\alpha l_{r2}} \frac{\partial^2 R_v(\tau)}{\partial v \partial \tau}
 \end{aligned}$$

$$\begin{aligned}
 \|R_v(r)\|^2 &= -\frac{l_{r2}^{2\lambda}}{2\alpha v} \left[e^{-2\lambda\alpha\tau} \left(\frac{\partial R_v(\tau)}{\partial \tau} \frac{\partial R_v(\tau)}{\partial v} - R_v(\tau) \frac{\partial^2 R_v(\tau)}{\partial v \partial \tau} \right) \right]_1^0 \\
 \Rightarrow \|R_v(r)\|^2 &= \frac{l_{r2}^{2\lambda}}{2\alpha v} \left[e^{-2\lambda\alpha\tau} \left(R'_{v,\tau}(\tau) R'_{v,v}(\tau) - R_v(\tau) \frac{\partial^2 R_v(\tau)}{\partial v \partial \tau} \right) \right]_0^1
 \end{aligned}$$

Dans le cas Dirichlet en haut et Neumann en bas, il vient :

$$\begin{aligned}
 R_v(0) &= 0 \quad \text{et} \quad R'_{v,\tau}(1) = 0 \quad v_n \text{ tq } \sin(v_n \alpha) = -2v_n \cos(v_n \alpha) \quad A=0, B=1 \\
 \Rightarrow R_v(\tau) &= \frac{1}{l_{r2}^\lambda} e^{\lambda \alpha \tau} \sin(v \alpha \tau) \quad R'_{v,\tau}(\tau) = \frac{\alpha}{l_{r2}^\lambda} e^{\lambda \alpha \tau} (v \cos(v \alpha \tau) + \lambda \sin(v \alpha \tau)) \\
 R'_{v,v}(\tau) &= \frac{\alpha \tau}{l_{r2}^\lambda} e^{\lambda \alpha \tau} \cos(v \alpha \tau) \quad \frac{\partial^2 R_v(\tau)}{\partial v \partial \tau} = \frac{\alpha e^{\lambda \alpha \tau}}{l_{r2}^\lambda} (\cos(v \alpha \tau) (1 + \lambda \alpha \tau) - v \alpha \tau \sin(v \alpha \tau)) \\
 \Rightarrow R'_{v,\tau}(0) &= \frac{\alpha}{l_{r2}^\lambda} v \quad R'_{v,v}(0) = 0 \quad \frac{\partial^2 R_v(0)}{\partial v \partial \tau} = \frac{\alpha}{l_{r2}^\lambda} \quad R'_{v,\tau}(1) = \frac{e^{\lambda \alpha}}{l_{r2}^\lambda} \alpha (v \cos(v \alpha) + \lambda \sin(v \alpha)) \\
 R'_{v,v}(1) &= \frac{e^{\lambda \alpha}}{l_{r2}^\lambda} \alpha \cos(v \alpha) \quad R_v(1) = \frac{e^{\lambda \alpha}}{l_{r2}^\lambda} \sin(v \alpha) \quad \frac{\partial^2 R_v(1)}{\partial v \partial \tau} = \frac{e^{\lambda \alpha}}{l_{r2}^\lambda} \alpha (\cos(v \alpha) (1 + \lambda \alpha) - v \alpha \sin(v \alpha)) \\
 \|R_v(r)\|^2 &= \frac{l_{r2}^{2\lambda}}{2\alpha v} \left[e^{-2\lambda\alpha\tau} \left(R'_{v,\tau}(\tau) R'_{v,v}(\tau) - R_v(\tau) \frac{\partial^2 R_v(\tau)}{\partial v \partial \tau} \right) \right]_0^1 = \frac{l_{r2}^{2\lambda}}{2\alpha v} e^{-2\lambda\alpha} \left(R'_{v,\tau}(1) R'_{v,v}(1) - R_v(1) \frac{\partial^2 R_v(1)}{\partial v \partial \tau} \right) \\
 &= \frac{1}{2\alpha v} (\alpha (v \cos(v \alpha) + \lambda \sin(v \alpha)) \alpha \cos(v \alpha) - \sin(v \alpha) \alpha (\cos(v \alpha) (1 + \lambda \alpha) - v \alpha \sin(v \alpha))) \\
 &= \frac{1}{2v} (v \alpha - \sin(v \alpha) \cos(v \alpha)) = \frac{\alpha}{2} \left(1 - \frac{\sin(v \alpha) \cos(v \alpha)}{v \alpha} \right)
 \end{aligned}$$

Ce qui est le résultat déjà trouvé en calculant directement l'intégrale !

Problèmes aux limites de Laplace sur une hypersphère- p-

Il ne reste plus qu'à calculer par ce moyen, la norme pour des conditions homogènes de Neumann de part et d'autre, donnons l'expression la plus générale de la norme quelque soit les coefficients A,B, il vient après une session de calcul sur Mathematica

$$\|R_v(r)\|^2 = \frac{1}{2v} \left(AB + \alpha v(A^2 + B^2) - AB \cos(2\alpha v) - \frac{(A^2 - B^2)}{2} \sin(2\alpha v) \right)$$

Pour les conditions homogènes de Neumann de part et d'autre, on retrouve la norme calculée.

$$\text{Si } A = \frac{v}{\lambda} \quad \text{et} \quad B = 1 \quad \text{et} \quad v = \frac{n\pi}{\alpha} \quad \text{et} \quad \alpha = \text{Log}\left(\frac{l_{r2}}{l_{r1}}\right) \quad \text{et} \quad \sin(2\alpha v) = 0 \quad \text{et} \quad \cos(2\alpha v) = 1$$

$$\text{il vient : } \|R_v(r)\|^2 = \frac{\alpha}{2} \left(1 + \frac{v^2}{\lambda^2} \right) = \frac{\text{Log}\left(\frac{l_{r2}}{l_{r1}}\right)}{2} \left(1 + n^2 \pi^2 \left[\lambda \text{Log}\left(\frac{l_{r2}}{l_{r1}}\right) \right]^{-2} \right)$$

Formes des fonctions angulaires associées

Les fonctions angulaires associées sont les suivantes (rappel)

$$\Theta(z) = (1 - z^2)^{\frac{1-2\lambda}{4}} \left(A P_{\frac{1}{2}+iv}^{\pm \frac{2\lambda-1}{2}}(z) + B Q_{\frac{1}{2}+iv}^{\pm \frac{2\lambda-1}{2}}(z) \right)$$

$$P_{\frac{1}{2}+iv}^{\pm \frac{2\lambda-1}{2}}(z) \text{ Fonction de Legendre de degré } -\frac{1}{2} + iv \text{ et d'ordre } \pm \frac{2\lambda-1}{2}$$

$$Q_{\frac{1}{2}+iv}^{\pm \frac{2\lambda-1}{2}}(z) \text{ Fonction de Legendre de deuxième espèce de degré } -\frac{1}{2} + iv \text{ et d'ordre } \pm \frac{2\lambda-1}{2}$$

Aussi appelées fonctions coniques ou fonctions de Mehler

$$\text{On choisit l'ordre négatif } -\frac{2\lambda-1}{2} = \frac{1-2\lambda}{2} \quad \text{comme} \quad \lambda = \frac{n-2}{2} \Rightarrow \frac{1-2\lambda}{2} = \frac{3-n}{2}$$

Dimension n entière donc l'ordre est un entier négatif ou un demi-entier négatif

Sans oublier la solution de valeur propre nulle des équations séparées:

$$z = \cos(\vartheta) \quad dz = \sin(\vartheta) d\vartheta$$

$$\frac{1}{\sin^{n-2}(\vartheta)} \frac{\partial}{\partial \vartheta} \left(\sin^{n-2}(\vartheta) \frac{\partial \Theta_0(\vartheta)}{\partial \vartheta} \right) = 0 \Leftrightarrow \frac{d^2 \Theta_0(\vartheta)}{d\vartheta^2} + (n-2) \frac{\cos(\vartheta)}{\sin(\vartheta)} \frac{d\Theta_0(\vartheta)}{d\vartheta} = 0$$

$$\frac{\frac{d^2 \Theta_0(\vartheta)}{d\vartheta^2}}{\frac{d\Theta_0(\vartheta)}{d\vartheta}} = -(n-2) \frac{\cos(\vartheta)}{\sin(\vartheta)} \Leftrightarrow \frac{d}{d\vartheta} \left(\text{Log}\left(\frac{d\Theta_0(\vartheta)}{d\vartheta}\right) \right) = -(n-2) \frac{d}{d\vartheta} (\text{Log}(\sin(\vartheta)))$$

$$\Rightarrow \text{Log}\left(\frac{d\Theta_0(\vartheta)}{d\vartheta}\right) = -(n-2) \text{Log}(\sin(\vartheta)) \Rightarrow \frac{d\Theta_0(\vartheta)}{d\vartheta} = A \sin(\vartheta)^{-(n-2)}$$

$$\Rightarrow \Theta_0(\vartheta) = A + B \int d\vartheta \sin(\vartheta)^{-(n-2)}$$

$$\text{Forme générale } \Theta_0(\vartheta) = \frac{\left(A_g P_{\frac{(n-3)}{2}}^{\frac{(n-3)}{2}}(\cos(\vartheta)) + B_g Q_{\frac{(n-3)}{2}}^{\frac{(n-3)}{2}}(\cos(\vartheta)) \right)}{\sin(\vartheta)^{\frac{(n-3)}{2}}}$$

Problèmes aux limites de Laplace sur une hypersphère- p-

Avec comme cas particulier pour les fonctions de valeur propres nulle suivant les dimensions

$$n = 3 \Rightarrow \Theta_0(\theta) = A + B \operatorname{Log}\left(\frac{1 - \cos(\theta)}{1 + \cos(\theta)}\right) = C + D \operatorname{Log}\left(\operatorname{CoTan}\left(\frac{\theta}{2}\right)\right) = E + F \operatorname{Log}\left(\operatorname{Tan}\left(\frac{\theta}{2}\right)\right)$$

$$n = 4 \Rightarrow \Theta_0(\theta) = A + B \frac{\cos(\theta)}{\sin(\theta)} = A + B \operatorname{CoTan}(\theta)$$

$$n = 5 \Rightarrow \Theta_0(\theta) = A + B \frac{\sin^2(\theta) \operatorname{Log}\left(\frac{1 - \cos(\theta)}{1 + \cos(\theta)}\right) - 2\cos(\theta)}{\sin^2(\theta)}$$

Que l'on retrouve avec l'expression utilisant la forme générale des fonctions de Legendre associées :

$$\Theta_0(\vartheta) = \frac{\left(A_9 P_{\frac{(n-3)}{2}}^{\frac{(n-3)}{2}}(\cos(\vartheta)) + B_9 Q_{\frac{(n-3)}{2}}^{\frac{(n-3)}{2}}(\cos(\vartheta)) \right)}{\sin(\vartheta)^{\frac{(n-3)}{2}}} \rightarrow n = 3 \Rightarrow \Theta_0(\vartheta) = (A_9 + B_9 Q_0^0(\cos(\vartheta)))$$

$$\Rightarrow \Theta_0(\vartheta) = \left(A_9 - \frac{B_9}{2} \operatorname{Log}\left(\frac{1 - \cos(\theta)}{1 + \cos(\theta)}\right) \right) \quad n = 4 \Rightarrow \Theta_0(\vartheta) = \frac{\left(A_9 P_{\frac{1}{2}}^{\frac{1}{2}}(\cos(\vartheta)) + B_9 Q_{\frac{1}{2}}^{\frac{1}{2}}(\cos(\vartheta)) \right)}{\sqrt{\sin(\vartheta)}}$$

$$P_{\nu}^{\frac{1}{2}}(z) = \sqrt{\frac{2}{\pi}} \frac{\cos\left(\left(\nu + \frac{1}{2}\right) \operatorname{Arcos}(z)\right)}{(1 - z^2)^{1/4}} \Rightarrow P_{\frac{1}{2}}^{\frac{1}{2}}(z) = \sqrt{\frac{2}{\pi}} \frac{z}{(1 - z^2)^{1/4}} \Rightarrow P_{\frac{1}{2}}^{\frac{1}{2}}(\cos(\vartheta)) = \sqrt{\frac{2}{\pi}} \frac{\cos(\vartheta)}{\sqrt{\sin(\vartheta)}}$$

$$Q_{\nu}^{\frac{1}{2}}(z) = -\sqrt{\frac{\pi}{2}} \frac{\sin\left(\left(\nu + \frac{1}{2}\right) \operatorname{Arcos}(z)\right)}{(1 - z^2)^{1/4}} \Rightarrow Q_{\frac{1}{2}}^{\frac{1}{2}}(z) = -\sqrt{\frac{\pi}{2}} \frac{\sin(\operatorname{Arcos}(z))}{(1 - z^2)^{1/4}} \Rightarrow Q_{\frac{1}{2}}^{\frac{1}{2}}(\cos(\vartheta)) = -\sqrt{\frac{\pi}{2}} \sqrt{\sin(\vartheta)}$$

$$\Rightarrow \Theta_0(\vartheta) = \frac{A_9 \sqrt{\frac{2}{\pi}} \cos(\vartheta) - B_9 \sqrt{\frac{\pi}{2}} \sin(\vartheta)}{\sin(\vartheta)} = A + B \frac{\cos(\vartheta)}{\sin(\vartheta)}$$

$$n = 5 \Rightarrow \Theta_0(\vartheta) = \frac{(A_9 P_1^1(\cos(\vartheta)) + B_9 Q_1^1(\cos(\vartheta)))}{\sin(\vartheta)} \quad P_1^1(z) = -\sqrt{1 - z^2} \Rightarrow P_1^1(\cos(\vartheta)) = -\sin(\vartheta)$$

$$Q_1^1(z) = \frac{(1 - z^2) \operatorname{Log}\left(\frac{1 - z}{1 + z}\right) - 2z}{2\sqrt{1 - z^2}} \Rightarrow Q_1^1(\cos(\vartheta)) = \frac{\sin^2(\vartheta) \operatorname{Log}\left(\frac{1 - \cos(\vartheta)}{1 + \cos(\vartheta)}\right) - 2\cos(\vartheta)}{2\sin(\vartheta)}$$

$$\Rightarrow \Theta_0(\vartheta) = \frac{\left(-A_9 \sin(\vartheta) + B_9 \frac{\sin^2(\vartheta) \operatorname{Log}\left(\frac{1 - \cos(\vartheta)}{1 + \cos(\vartheta)}\right) - 2\cos(\vartheta)}{2\sin(\vartheta)} \right)}{\sin(\vartheta)}$$

$$\Rightarrow \Theta_0(\vartheta) = -A_9 + B_9 \frac{\sin^2(\vartheta) \operatorname{Log}\left(\frac{1 - \cos(\vartheta)}{1 + \cos(\vartheta)}\right) - 2\cos(\vartheta)}{2\sin^2(\vartheta)}$$

Hypothèse sur les formes des fonctions angulaires de valeurs propres nulle suivant les valeurs du paramètre dimensionnel λ

En examinant la forme des solutions on peut émettre une hypothèse sur la forme des fonctions angulaires de valeur propre nulle :

$$\Theta_0(\vartheta) = \frac{\left(A_9 P_{\frac{(2\lambda-1)}{2}}^{\frac{(2\lambda-1)}{2}}(\cos(\vartheta)) + B_9 Q_{\frac{(2\lambda-1)}{2}}^{\frac{(2\lambda-1)}{2}}(\cos(\vartheta)) \right)}{\sin(\vartheta)^{\frac{(2\lambda-1)}{2}}} = \frac{\left(A_9 P_{\frac{(n-3)}{2}}^{\frac{(n-3)}{2}}(\cos(\vartheta)) + B_9 Q_{\frac{(n-3)}{2}}^{\frac{(n-3)}{2}}(\cos(\vartheta)) \right)}{\sin(\vartheta)^{\frac{(n-3)}{2}}}$$

$$\text{Si } \lambda = m+1 \Rightarrow \frac{Q_{\frac{(2m+1)}{2}}^{\frac{(2m+1)}{2}}(\cos(\vartheta))}{\sin(\vartheta)^{\frac{(2m+1)}{2}}} \propto \text{Cste} \quad \text{Si } \lambda = \frac{(2m+1)}{2} \Rightarrow \frac{P_m^m(\cos(\vartheta))}{\sin(\vartheta)^m} \propto \text{Cste}$$

Pour le montrer, reprenons la construction des polynômes associés de Legendre :

$$P_m^m(z) = (-1)^m (1-z^2)^{\frac{m}{2}} \frac{\partial^m P_m(z)}{\partial z^m} \quad \text{or} \quad \frac{\partial^m P_m(z)}{\partial z^m} = \text{Cste}$$

$$\text{Plus précisément } \frac{\partial^m P_m(z)}{\partial z^m} = 2^m \left(\frac{1}{2} \right)_m C_0^{\frac{(2m+1)}{2}}(z)$$

$$(\alpha)_m = \frac{\Gamma(\alpha+m)}{\Gamma(\alpha)} C_0^{\frac{(2m+1)}{2}}(z) = 1 \text{ polynôme de Gegenbauer de degré zéro}$$

$$\Rightarrow P_m^m(z) = (-1)^m 2^m \frac{\Gamma\left(\frac{1}{2}+m\right)}{\Gamma\left(\frac{1}{2}\right)} (1-z^2)^{\frac{m}{2}} \Rightarrow P_m^m(\cos(\vartheta)) = (-1)^m 2^m \frac{\Gamma\left(\frac{1}{2}+m\right)}{\Gamma\left(\frac{1}{2}\right)} (\sin^2(\vartheta))^{\frac{m}{2}}$$

$$\Rightarrow \frac{P_m^m(\cos(\vartheta))}{\sin^m(\vartheta)} = (-1)^m 2^m \frac{\Gamma\left(\frac{1}{2}+m\right)}{\sqrt{\pi}}$$

$$\text{De plus } \lim_{z \rightarrow 1} Q_m^m(z) = \infty \Rightarrow \lim_{\theta \rightarrow 0} Q_m^m(\cos(\vartheta)) = \infty \quad \lim_{\theta \rightarrow 0} \frac{Q_m^m(\cos(\vartheta))}{\sin(\vartheta)^m} = \infty$$

Problèmes aux limites de Laplace sur une hypersphère- p-

Pour ce qui est des fonctions associées de Legendre de deuxième espèce et de degré et d'ordre demi-entier, on émet les hypothèses suivantes, vérifiées d'après la formule suivante :

$$\text{Si } \lambda = m + 1 \Rightarrow \frac{Q_{\frac{(2m+1)}{2}}^2(Cos(\vartheta))}{Sin(\vartheta)^{\frac{(2m+1)}{2}}} \propto Cste \quad \lim_{\vartheta \rightarrow 0} \frac{P_{\frac{(2m+1)}{2}}^2(Cos(\vartheta))}{Sin(\vartheta)^{\frac{(2m+1)}{2}}} = \infty$$

$$\text{De plus } Q_{\nu}^{\nu}(z) = \frac{2^{-\nu-1}}{\Gamma(-\nu)} (1-z^2)^{\nu/2} \left(\pi \frac{Cos(\pi\nu)}{Sin(\pi\nu)} B_{\frac{1-z}{2}}(-\nu, -\nu) - \frac{4^{\nu} \sqrt{\pi}}{Sin(\pi\nu)} \Gamma(-\nu) \Gamma\left(\nu + \frac{1}{2}\right) \right)$$

$$\text{et } P_{\nu}^{\nu}(z) = \frac{2^{-\nu}}{\Gamma(-\nu)} (1-z^2)^{\nu/2} B_{\frac{1-z}{2}}(-\nu, -\nu)$$

$$B_z(\alpha, \beta) \text{ fonction Beta incomplète d'Euler} = \int_0^z dt t^{\alpha-1} (1-t)^{\beta-1}$$

$$\Rightarrow Q_{\frac{(2m+1)}{2}}^2(z) = -(-1)^m 2^{m-\frac{1}{2}} (1-z^2)^{\frac{(2m+1)}{4}} \sqrt{\pi} \Gamma\left(\frac{(2m+1)}{2} + \frac{1}{2}\right)$$

$$\Rightarrow Q_{\frac{(2m+1)}{2}}^2(Cos(\vartheta)) = -(-1)^m 2^{m-\frac{1}{2}} (Sin^2(\vartheta))^{\frac{(2m+1)}{4}} \sqrt{\pi} m! = -(-1)^m 2^{m-\frac{1}{2}} (Sin(\vartheta))^{\frac{(2m+1)}{2}} \sqrt{\pi} m!$$

$$\Rightarrow \frac{Q_{\frac{(2m+1)}{2}}^2(Cos(\vartheta))}{Sin(\vartheta)^{\frac{(2m+1)}{2}}} = -(-1)^m 2^{m-\frac{1}{2}} \sqrt{\pi} m!$$

$$P_{\frac{(2m+1)}{2}}^2(Cos(\vartheta)) = \frac{2^{\frac{(2m+1)}{2}}}{\Gamma\left(-\frac{(2m+1)}{2}\right)} (Sin^2(\vartheta))^{\frac{(2m+1)}{4}} B_{\frac{1-Cos(\vartheta)}{2}}\left(-\frac{(2m+1)}{2}, -\frac{(2m+1)}{2}\right)$$

$$\Rightarrow \frac{P_{\frac{(2m+1)}{2}}^2(Cos(\vartheta))}{Sin(\vartheta)^{\frac{(2m+1)}{2}}} = \frac{2^{\frac{(2m+1)}{2}}}{\Gamma\left(-\frac{(2m+1)}{2}\right)} B_{\frac{1-Cos(\vartheta)}{2}}\left(-\frac{(2m+1)}{2}, -\frac{(2m+1)}{2}\right)$$

$$\lim_{\vartheta \rightarrow 0} \frac{P_{\frac{(2m+1)}{2}}^2(Cos(\vartheta))}{Sin(\vartheta)^{\frac{(2m+1)}{2}}} = \frac{2^{\frac{(2m+1)}{2}}}{\Gamma\left(-\frac{(2m+1)}{2}\right)} \lim_{z \rightarrow 1} B_{\frac{1-z}{2}}\left(-\frac{(2m+1)}{2}, -\frac{(2m+1)}{2}\right) = \infty$$

Toutes les hypothèses ont donc été démontrées !

Problèmes aux limites de Laplace sur une hypersphère- p-

Pour ce qui est des valeurs propres non nulles et des fonctions angulaires associées, il est facile de démontrer la valeur réelle de la fonction de première espèce, en utilisant la propriété miroir des fonctions de Legendre :

$$\left. \begin{array}{l} P_{\bar{\tau}}^{\mu}(\bar{z}) = \overline{P_{\tau}^{\mu}(z)} \\ P_{-\tau}^{\mu}(z) = P_{\tau-1}^{\mu}(z) \end{array} \right\} \Rightarrow \tau = -\frac{1}{2} + i\nu \rightarrow \bar{\tau} = -\frac{1}{2} - i\nu = -\left(\frac{1}{2} + i\nu\right) \rightarrow -(\tau + 1)$$

$$\overline{P_{-\frac{1}{2}+i\nu}^{\pm\frac{2\lambda-1}{2}}(x)} = P_{-\frac{1}{2}-i\nu}^{\pm\frac{2\lambda-1}{2}}(x) = P_{-\left(-\frac{1}{2}+i\nu\right)-1}^{\pm\frac{2\lambda-1}{2}}(x) = P_{-\frac{1}{2}+i\nu}^{\pm\frac{2\lambda-1}{2}}(x) \Rightarrow P_{-\frac{1}{2}+i\nu}^{\pm\frac{2\lambda-1}{2}}(x) \text{ réel}$$

Qu'en est-il de la fonction conique de deuxième espèce. Pour cela on rappelle que les fonctions de Legendre de première et deuxième espèce sont reliées par les formules de liaison :

$$P_{\tau}^{\pm\mu}(z) = -\frac{2}{\pi} \frac{\cos((\tau \pm \mu)\pi) Q_{\tau}^{\pm\mu}(z) + Q_{\tau}^{\pm\mu}(-z)}{\sin((\tau \pm \mu)\pi)} \quad Q_{\tau}^{\pm\mu}(z) = \frac{\pi}{2} \frac{\cos((\tau \pm \mu)\pi) P_{\tau}^{\pm\mu}(z) - P_{\tau}^{\pm\mu}(-z)}{\sin((\tau \pm \mu)\pi)}$$

Lorsque $\tau = -1/2 + i\nu$ et $\mu = m$, un entier, il vient un calcul déjà réalisé auparavant dans le texte, qui serait tout aussi valable avec un ordre entier positif :

$$P_{-\frac{1}{2}+i\nu}^{-m}(z) = -\frac{2}{\pi \sin\left(\left(-\frac{1}{2} + i\nu - m\right)\pi\right)} \left(\cos\left(\left(-\frac{1}{2} + i\nu - m\right)\pi\right) Q_{-\frac{1}{2}+i\nu}^{-m}(z) + Q_{-\frac{1}{2}+i\nu}^{-m}(-z) \right)$$

$$= -\frac{2(-1)^m}{\pi \sin\left(\left(-\frac{1}{2} + i\nu\right)\pi\right)} \left((-1)^m \cos\left(\left(-\frac{1}{2} + i\nu\right)\pi\right) Q_{-\frac{1}{2}+i\nu}^{-m}(z) + Q_{-\frac{1}{2}+i\nu}^{-m}(-z) \right)$$

$$Q_{-\frac{1}{2}+i\nu}^{-m}(z) = \frac{\pi(-1)^m}{2 \sin\left(\left(-\frac{1}{2} + i\nu\right)\pi\right)} \left((-1)^m \cos\left(\left(-\frac{1}{2} + i\nu\right)\pi\right) P_{-\frac{1}{2}+i\nu}^{-m}(z) - P_{-\frac{1}{2}+i\nu}^{-m}(-z) \right)$$

$$\cos\left(\left(-\frac{1}{2} + i\nu\right)\pi\right) = i \sinh(\nu\pi) \quad \sin\left(\left(-\frac{1}{2} + i\nu\right)\pi\right) = -\cosh(\nu\pi)$$

$$Q_{-\frac{1}{2}+i\nu}^{-m}(z) = -\frac{\pi(-1)^m}{-2 \cosh(\nu\pi)} \left(i \sinh(\nu\pi) (-1)^m P_{-\frac{1}{2}+i\nu}^{-m}(z) - P_{-\frac{1}{2}+i\nu}^{-m}(-z) \right)$$

$$\Rightarrow Q_{-\frac{1}{2}+i\nu}^{-m}(z) = \frac{\pi(-1)^m}{2 \cosh(\nu\pi)} \left(P_{-\frac{1}{2}+i\nu}^{-m}(-z) - i (-1)^m \sinh(\nu\pi) P_{-\frac{1}{2}+i\nu}^{-m}(z) \right)$$

$$\Rightarrow Q_{-\frac{1}{2}+i\nu}^{-m}(z) = \frac{\pi}{2 \cosh(\nu\pi)} \left((-1)^m P_{-\frac{1}{2}+i\nu}^{-m}(-z) - i \sinh(\nu\pi) P_{-\frac{1}{2}+i\nu}^{-m}(z) \right)$$

D'après la formule obtenue, on a clairement isolé la partie réelle de la partie imaginaire de la fonction conique de deuxième espèce.

Il reste maintenant à envisager le cas des ordres négatifs demi-entiers :

$$\begin{aligned}
 P_{-\frac{1}{2}+iv}^{\frac{2m+1}{2}}(z) &= -\frac{2}{\pi \operatorname{Sin}\left(\left(-\frac{1}{2}+iv-\frac{2m+1}{2}\right)\pi\right)} \left(\operatorname{Cos}\left(\left(-\frac{1}{2}+iv-\frac{2m+1}{2}\right)\pi\right) Q_{-\frac{1}{2}+iv}^{\frac{2m+1}{2}}(z) + Q_{-\frac{1}{2}+iv}^{\frac{2m+1}{2}}(-z) \right) \\
 &= -\frac{2}{\pi (-1)^{m+1} \operatorname{Cos}\left(\left(-\frac{1}{2}+iv\right)\pi\right)} \left((-1)^m \operatorname{Sin}\left(\left(-\frac{1}{2}+iv\right)\pi\right) Q_{-\frac{1}{2}+iv}^{\frac{2m+1}{2}}(z) + Q_{-\frac{1}{2}+iv}^{\frac{2m+1}{2}}(-z) \right) \\
 Q_{-\frac{1}{2}+iv}^{\frac{2m+1}{2}}(z) &= \frac{\pi}{2(-1)^{m+1} \operatorname{Cos}\left(\left(-\frac{1}{2}+iv\right)\pi\right)} \left((-1)^m \operatorname{Sin}\left(\left(-\frac{1}{2}+iv\right)\pi\right) P_{-\frac{1}{2}+iv}^{\frac{2m+1}{2}}(z) - P_{-\frac{1}{2}+iv}^{\frac{2m+1}{2}}(-z) \right) \\
 \operatorname{Cos}\left(\left(-\frac{1}{2}+iv\right)\pi\right) &= i \operatorname{Sinh}(v\pi) \quad \operatorname{Sin}\left(\left(-\frac{1}{2}+iv\right)\pi\right) = -\operatorname{Cosh}(v\pi) \\
 \Rightarrow P_{-\frac{1}{2}+iv}^{\frac{2m+1}{2}}(z) &= \frac{2i}{\pi \operatorname{Sinh}(v\pi)} \left(\operatorname{Cosh}(v\pi) Q_{-\frac{1}{2}+iv}^{\frac{2m+1}{2}}(z) + (-1)^{m+1} Q_{-\frac{1}{2}+iv}^{\frac{2m+1}{2}}(-z) \right) \\
 \Rightarrow Q_{-\frac{1}{2}+iv}^{\frac{2m+1}{2}}(z) &= -\frac{i\pi}{2\operatorname{Sinh}(v\pi)} \left(\operatorname{Cosh}(v\pi) P_{-\frac{1}{2}+iv}^{\frac{2m+1}{2}}(z) + (-1)^m P_{-\frac{1}{2}+iv}^{\frac{2m+1}{2}}(-z) \right)
 \end{aligned}$$

D'après les formules obtenues, la fonction conique de deuxième espèce est donc clairement purement imaginaire. Il en serait de même pour des ordres demi-entiers positifs.

Dans le cas encore plus général d'ordre quelconque réel, on aurait :

$$\begin{aligned}
 P_{-\frac{1}{2}+iv}^{-\mu}(z) &= -\frac{2}{\pi \sin\left(\left(-\frac{1}{2}+iv-\mu\right)\pi\right)} \left(\cos\left(\left(-\frac{1}{2}+iv-\mu\right)\pi\right) Q_{-\frac{1}{2}+iv}^{-\mu}(z) + Q_{-\frac{1}{2}+iv}^{-\mu}(-z) \right) \\
 Q_{-\frac{1}{2}+iv}^{-\mu}(z) &= \frac{\pi}{2 \sin\left(\left(-\frac{1}{2}+iv-\mu\right)\pi\right)} \left(\cos\left(\left(-\frac{1}{2}+iv-\mu\right)\pi\right) P_{-\frac{1}{2}+iv}^{-\mu}(z) - P_{-\frac{1}{2}+iv}^{-\mu}(-z) \right) \\
 \Rightarrow Q_{-\frac{1}{2}+iv}^{-\mu}(z) &= \frac{\pi \left[\cos\left(\left(-\frac{1}{2}+iv\right)\pi\right) \cos(\mu\pi) + \sin\left(\left(-\frac{1}{2}+iv\right)\pi\right) \sin(\mu\pi) \right] P_{-\frac{1}{2}+iv}^{-\mu}(z) - P_{-\frac{1}{2}+iv}^{-\mu}(-z)}{2 \left[\sin\left(\left(-\frac{1}{2}+iv\right)\pi\right) \cos(\mu\pi) - \cos\left(\left(-\frac{1}{2}+iv\right)\pi\right) \sin(\mu\pi) \right]} \\
 \cos\left(\left(-\frac{1}{2}+iv\right)\pi\right) &= i \sinh(v\pi) \quad \sin\left(\left(-\frac{1}{2}+iv\right)\pi\right) = -\cosh(v\pi) \\
 \Rightarrow Q_{-\frac{1}{2}+iv}^{-\mu}(z) &= -\frac{\pi}{2} \frac{\left[i \sinh(v\pi) \cos(\mu\pi) - \cosh(v\pi) \sin(\mu\pi) \right] P_{-\frac{1}{2}+iv}^{-\mu}(z) - P_{-\frac{1}{2}+iv}^{-\mu}(-z)}{\left[\cosh(v\pi) \cos(\mu\pi) + i \sinh(v\pi) \sin(\mu\pi) \right]} \\
 \Rightarrow Q_{-\frac{1}{2}+iv}^{-\mu}(z) &= \frac{\pi}{2} \frac{\left\{ \left[\cosh(v\pi) \cos(\mu\pi) - i \sinh(v\pi) \sin(\mu\pi) \right] \times \right.}{\left[\cosh^2(v\pi) \cos^2(\mu\pi) + \sinh^2(v\pi) \sin^2(\mu\pi) \right]} \\
 &\quad \left. \left[\cosh(v\pi) \sin(\mu\pi) - i \sinh(v\pi) \cos(\mu\pi) \right] P_{-\frac{1}{2}+iv}^{-\mu}(z) + P_{-\frac{1}{2}+iv}^{-\mu}(-z) \right\}}{\left[\cosh^2(v\pi) \cos^2(\mu\pi) + \sinh^2(v\pi) \sin^2(\mu\pi) \right]} \\
 \left[\cosh^2(v\pi) \cos^2(\mu\pi) + \sinh^2(v\pi) \sin^2(\mu\pi) \right] &= \cosh^2(v\pi) - \sin^2(\mu\pi) \\
 \left[\cosh(v\pi) \cos(\mu\pi) - i \sinh(v\pi) \sin(\mu\pi) \right] \times &\left[\cosh(v\pi) \sin(\mu\pi) - i \sinh(v\pi) \cos(\mu\pi) \right] = \\
 = \cos(\mu\pi) \sin(\mu\pi) - i \cosh(v\pi) \sinh(v\pi) & \\
 \Rightarrow Q_{-\frac{1}{2}+iv}^{-\mu}(z) &= \frac{\pi}{2} \frac{\left(\left[\cos(\mu\pi) \sin(\mu\pi) - i \cosh(v\pi) \sinh(v\pi) \right] P_{-\frac{1}{2}+iv}^{-\mu}(z) + \right.}{\cosh^2(v\pi) - \sin^2(\mu\pi)} \\
 &\quad \left. + \left[\cosh(v\pi) \cos(\mu\pi) - i \sinh(v\pi) \sin(\mu\pi) \right] P_{-\frac{1}{2}+iv}^{-\mu}(-z) \right) \\
 \operatorname{Re}\left(Q_{-\frac{1}{2}+iv}^{-\mu}(z)\right) &= \frac{\pi}{2} \frac{\cos(\mu\pi) \left(\sin(\mu\pi) P_{-\frac{1}{2}+iv}^{-\mu}(z) + \cosh(v\pi) P_{-\frac{1}{2}+iv}^{-\mu}(-z) \right)}{\cosh^2(v\pi) - \sin^2(\mu\pi)} \\
 \operatorname{Im}\left(Q_{-\frac{1}{2}+iv}^{-\mu}(z)\right) &= -\frac{\pi}{2} \frac{\sinh(v\pi) \left(\cosh(v\pi) P_{-\frac{1}{2}+iv}^{-\mu}(z) + \sin(\mu\pi) P_{-\frac{1}{2}+iv}^{-\mu}(-z) \right)}{\cosh^2(v\pi) - \sin^2(\mu\pi)}
 \end{aligned}$$

Problèmes aux limites de Laplace sur une hypersphère- p-

La fonction associée de Legendre de première espèce, à valeur réelle et on l'appelle communément également la fonction conique associée de première espèce ou fonction associée de Mehler. On voit que le calcul de la fonction associée de Legendre de deuxième espèce donne un résultat imaginaire pour les ordres entiers et purement imaginaire pour les ordres demi-entiers. Il faut alors choisir une valeur réelle pour une fonction de deuxième espèce. Le choix souvent proposé comme fonction conique de deuxième espèce est le suivant :

$$\hat{Q}_{-\frac{1}{2}+iv}^{-\frac{2\lambda-1}{2}}(z) = \hat{Q}_{-\frac{1}{2}+iv}^{-m}(z) \quad \text{si} \quad \lambda = \frac{2m+1}{2} \quad \hat{Q}_{-\frac{1}{2}+iv}^{-\frac{2\lambda-1}{2}}(z) = \hat{Q}_{-\frac{1}{2}+iv}^{-\frac{2m+1}{2}}(z) \quad \text{si} \quad \lambda = m$$

$$\hat{Q}_{-\frac{1}{2}+iv}^{-m}(z) = \operatorname{Re} \left((-1)^m Q_{-\frac{1}{2}+iv}^{-m}(z) \right) = \frac{\pi}{2 \operatorname{Cosh}(v\pi)} P_{-\frac{1}{2}+iv}^{-m}(-z) \quad m \in \mathbf{N}$$

$$\hat{Q}_{-\frac{1}{2}+iv}^{-\frac{2m+1}{2}}(z) = \operatorname{Im} \left((-1)^m Q_{-\frac{1}{2}+iv}^{-\frac{2m+1}{2}}(z) \right) = -\frac{\pi}{2 \operatorname{Sinh}(v\pi)} \left(\operatorname{Cosh}(v\pi) P_{-\frac{1}{2}+iv}^{-\frac{2m+1}{2}}(z) + (-1)^m P_{-\frac{1}{2}+iv}^{-\frac{2m+1}{2}}(-z) \right) \quad m \in \mathbf{N}$$

Ce choix est également guidé par l'indépendance des deux fonctions solutions pour construire la solution générale du problème aux limites. Dans le cas d'un ordre entier, on ne peut prendre la partie imaginaire :

$$\operatorname{Im} \left(Q_{-\frac{1}{2}+iv}^{-m}(z) \right) = -\frac{\pi \operatorname{Sinh}(v\pi)}{2 \operatorname{Cosh}(v\pi)} P_{-\frac{1}{2}+iv}^{-m}(z)$$

car cette dernière n'est pas linéairement indépendante de la fonction conique de première espèce. Dans le cas d'un ordre demi-entier. La valeur de la fonction conique de deuxième espèce étant purement imaginaire, la question du choix devient évidente, d'autant que l'expression résultante est bien indépendante de la fonction de première espèce.

Au passage il est tout aussi évident que la partie réelle d'une fonction à valeur imaginaire, tout comme sa partie imaginaire, ou la partie imaginaire d'une fonction à valeur purement imaginaire, respecte également l'équation différentielle à partir du moment où tous les autres éléments de l'équation différentielle sont à valeur purement réelle, ce qui est le cas pour notre problème aux limites de départ.

Remarque sur d'autre choix de seconde solution

D'autres auteurs (voir NIST Handbook of Mathematical functions – section Conical function), propose le choix :

$$\begin{aligned}\hat{Q}_{-\frac{1}{2}+iv}^{-\mu}(z) &= Re\left(e^{i\mu\pi} Q_{-\frac{1}{2}+iv}^{-\mu}(z)\right) - \frac{\pi}{2} Sin(\mu\pi) P_{-\frac{1}{2}+iv}^{-\mu}(z) \\ Re\left(e^{i\mu\pi} Q_{-\frac{1}{2}+iv}^{-\mu}(z)\right) &= \frac{\pi}{2} \frac{\left([Cos(\mu\pi) + iSin(\mu\pi)][Cos(\mu\pi)Sin(\mu\pi) - iCosh(v\pi)Sinh(v\pi)]P_{-\frac{1}{2}+iv}^{-\mu}(z) + \right. \\ &\quad \left.+ [Cos(\mu\pi) + iSin(\mu\pi)][Cosh(v\pi)Cos(\mu\pi) - iSinh(v\pi)Sin(\mu\pi)]P_{-\frac{1}{2}+iv}^{-\mu}(-z)\right)}{Cosh^2(v\pi) - Sin^2(\mu\pi)} \\ Re\left(e^{i\mu\pi} Q_{-\frac{1}{2}+iv}^{-\mu}(z)\right) &= \frac{\pi}{2} \frac{\left(Sin(\mu\pi)[Cos^2(\mu\pi) + Cosh(v\pi)Sinh(v\pi)]P_{-\frac{1}{2}+iv}^{-\mu}(z) + [Cos^2(\mu\pi)e^{-v\pi} + Sinh(v\pi)]P_{-\frac{1}{2}+iv}^{-\mu}(-z)\right)}{Cosh^2(v\pi) - Sin^2(\mu\pi)} \\ \hat{Q}_{-\frac{1}{2}+iv}^{-\mu}(z) &= \frac{\pi}{2} \frac{\left(Sin(\mu\pi)Sinh(v\pi)[Cosh(v\pi) - Sinh(v\pi)]P_{-\frac{1}{2}+iv}^{-\mu}(z) + [Cos^2(\mu\pi)e^{-v\pi} + Sinh(v\pi)]P_{-\frac{1}{2}+iv}^{-\mu}(-z)\right)}{Cosh^2(v\pi) - Sin^2(\mu\pi)} \\ \hat{Q}_{-\frac{1}{2}+iv}^{-\mu}(z) &= \frac{\pi}{2} \frac{\left(e^{-v\pi}Sin(\mu\pi)Sinh(v\pi)P_{-\frac{1}{2}+iv}^{-\mu}(z) + [Cos^2(\mu\pi)e^{-v\pi} + Sinh(v\pi)]P_{-\frac{1}{2}+iv}^{-\mu}(-z)\right)}{Cosh^2(v\pi) - Sin^2(\mu\pi)}\end{aligned}$$

Appliquons ce choix aux fonctions coniques de Mehler du cône ultra-sphérique, il vient :

$$\mu = \frac{2\lambda - 1}{2} \Rightarrow \hat{Q}_{-\frac{1}{2}+iv}^{\frac{1-2\lambda}{2}}(z) = \frac{\pi}{2} \frac{\left(e^{-v\pi}Sin\left(\left(\frac{2\lambda-1}{2}\right)\pi\right)Sinh(v\pi)P_{-\frac{1}{2}+iv}^{\frac{1-2\lambda}{2}}(z) + \right. \\ \left.+ \left[Cos^2\left(\left(\frac{2\lambda-1}{2}\right)\pi\right)e^{-v\pi} + Sinh(v\pi)\right]P_{-\frac{1}{2}+iv}^{\frac{1-2\lambda}{2}}(-z)\right)}{Cosh^2(v\pi) - Sin^2\left(\left(\frac{2\lambda-1}{2}\right)\pi\right)}$$

$$Pour \lambda = m \Rightarrow \hat{Q}_{-\frac{1}{2}+iv}^{\frac{1}{2}-m}(z) = \frac{\pi}{2} \frac{\left(P_{-\frac{1}{2}+iv}^{\frac{1}{2}-m}(-z) - e^{-v\pi}(-1)^m P_{-\frac{1}{2}+iv}^{\frac{1}{2}-m}(z)\right)}{Sinh(v\pi)}$$

$$Pour \lambda = \frac{2m+1}{2} \Rightarrow \hat{Q}_{-\frac{1}{2}+iv}^{-m}(z) = \frac{\pi}{2} \frac{P_{-\frac{1}{2}+iv}^{-m}(-z)}{Cosh(v\pi)}$$

Ce choix conduit bien

dans tous les cas de valeur du paramètre dimensionnel λ , à des fonctions de première et deuxième espèce indépendantes.

Problèmes aux limites de Laplace sur une hypersphère- p-

Revenons à la forme du développement en série. L'association entre fonctions radiales et angulaires est donc la suivante :

v_l valeurs définies par les conditions aux limites homogènes radiales

$$\Phi_l^{r,\lambda}(r) = \frac{1}{r^\lambda} \left(A_l^r \cos \left(v_l \log \left(\frac{r}{l_{r1}} \right) \right) + B_l^r \sin \left(v_l \log \left(\frac{r}{l_{r1}} \right) \right) \right)$$

$$\Phi_l^{\theta,\lambda}(\theta) = (\sin(\theta))^{\frac{1-2\lambda}{2}} \left(A_n^\theta P_{\frac{1}{2}+iv_l}^{\frac{1-2\lambda}{2}}(\cos(\theta)) + B_n^\theta \hat{Q}_{\frac{1}{2}+iv_l}^{\frac{1-2\lambda}{2}}(\cos(\theta)) \right)$$

On rappelle également que les fonctions associées de Legendre de première espèce et d'ordre entier sont reliées par les formules de liaisons :

$$P_\tau^{-m}(z) = (-1)^m \frac{\Gamma(\tau-m+1)}{\Gamma(\tau+m+1)} P_\tau^m(z) \Rightarrow \tau = -\frac{1}{2} + iv \Rightarrow P_{-\frac{1}{2}+iv}^{-m}(z) = (-1)^m \frac{\Gamma\left(\frac{1}{2}+iv-m\right)}{\Gamma\left(\frac{1}{2}+iv+m\right)} P_\tau^m(z)$$

$$\Rightarrow \text{Si } \lambda = \frac{2m+1}{2} \quad (\text{dimension } n \text{ impaire}) \quad P_{-\frac{1}{2}+iv}^{-m}(z) = (-1)^m \frac{\Gamma\left(\frac{1}{2}+iv-m\right)}{\Gamma\left(\frac{1}{2}+iv+m\right)} P_{-\frac{1}{2}+iv}^m(z)$$

Toute solution du problème aux limites présente donc le développement en série suivant (inclusion de la solution de valeur propre uniquement dans le cas de conditions de Neumann homogène de part et d'autre) :

$$T(r, \theta) = \left(A_0^r + \frac{B_0^r}{r^{2\lambda}} \right) \frac{\left(A_9 P_{\frac{2\lambda-1}{2}}^{\frac{2\lambda-1}{2}}(\cos(\vartheta)) + B_9 \hat{Q}_{\frac{2\lambda-1}{2}}^{\frac{2\lambda-1}{2}}(\cos(\vartheta)) \right)}{\sin(\vartheta)^{\frac{2\lambda-1}{2}}} +$$

$$+ \sum_{l=1}^{+\infty} \frac{1}{r^\lambda} \left(A_n^r \cos \left(v_n \log \left(\frac{r}{l_{r1}} \right) \right) + B_n^r \sin \left(v_n \log \left(\frac{r}{l_{r1}} \right) \right) \right) \left(A_n^\theta P_{\frac{1}{2}+iv_l}^{\frac{1-2\lambda}{2}}(\cos(\theta)) + B_n^\theta \hat{Q}_{\frac{1}{2}+iv_l}^{\frac{1-2\lambda}{2}}(\cos(\theta)) \right)$$

Problèmes aux limites de Laplace sur une hypersphère- p-

Exemple : soit le problème aux limites :

$$\Delta T(r, \theta) = 0 \quad T(r, \theta) \text{ fini} \quad z = \cos(\theta) \text{ et } \mu_0 = \cos(\theta_0) \quad T(r, \theta)|_{r=l_{r1}} = 0 \quad T(r, \theta)|_{r=l_{r2}} = 0 \quad T(r, z)|_{z=\mu_0} = f_r(r)$$

On écarte rapidement la partie de valeur propre 0 identiquement nulle, et d'après l'étude des fonctions propres la solution se développe en série ainsi :

$$T(r, \theta) = \frac{1}{r^\lambda} \sum_{l=1}^{+\infty} A_l \sin\left(v_l \log\left(\frac{r}{l_{r1}}\right)\right) P_{\frac{1-2\lambda}{2} + i v_l}^{1-2\lambda}(\cos(\theta)) \quad v_l = \frac{l\pi}{\log\left(\frac{l_{r2}}{l_{r1}}\right)} \quad R_l(r) = \frac{1}{r^\lambda} \sin\left(v_l \log\left(\frac{r}{l_{r1}}\right)\right)$$

$$\Psi_l(r) = \sin\left(v_l \log\left(\frac{r}{l_{r1}}\right)\right) \quad \Psi_l(\tau) = \sin(v_l \alpha \tau) \quad A_l = \frac{\int_{l_{r1}}^{l_{r2}} dr r^{2\lambda-1} f_r(r) R_l(r)}{\|R_l(r)\|^2 P_{\frac{1-2\lambda}{2} + i v_l}^{1-2\lambda}(\cos(\theta_0))} = \frac{2 \int_{l_{r1}}^{l_{r2}} dr r^{2\lambda-1} f_r(r) R_l(r)}{\log\left(\frac{l_{r2}}{l_{r1}}\right) P_{\frac{1-2\lambda}{2} + i v_l}^{1-2\lambda}(\cos(\theta_0))}$$

$$\|R_l(r)\|^2 = \frac{\log\left(\frac{l_{r2}}{l_{r1}}\right)}{2} \quad \text{Normalisation de l'intégrale} \quad r \rightarrow e^t = \frac{r}{l_{r1}} \rightarrow \tau = \frac{t}{\log\left(\frac{l_{r2}}{l_{r1}}\right)} \Leftrightarrow r = l_{r1} e^{\alpha \tau} \quad t = \alpha \tau$$

$$I_l = \int_{l_{r1}}^{l_{r2}} dr r^{2\lambda-1} f_r(r) R_l(r) = \int_{l_{r1}}^{l_{r2}} dr r^{\lambda-1} f_r(r) \Psi_l(r) = \alpha l_{r1}^\lambda \int_0^1 d\tau e^{\alpha \lambda \tau} f_r(\tau) \Psi_l(\tau) \quad \alpha = \log\left(\frac{l_{r2}}{l_{r1}}\right)$$

$$I_l = \alpha l_{r1}^\lambda S_l \Rightarrow S_l = \int_0^1 d\tau e^{\alpha \lambda \tau} f_r(\tau) \sin(v_l \alpha \tau) \Rightarrow T(r, \theta) = 2 \left(\frac{l_{r1}}{r}\right)^\lambda \sum_{l=1}^{+\infty} S_l \sin\left(v_l \log\left(\frac{r}{l_{r1}}\right)\right) \frac{P_{\frac{1-2\lambda}{2} + i v_l}^{1-2\lambda}(\cos(\theta))}{P_{\frac{1-2\lambda}{2} + i v_l}^{1-2\lambda}(\cos(\theta_0))}$$

Supposons que la fonction limite est constante $f_r(r) = T_s$, il vient :

$$f_r(\tau) = T_s \Rightarrow S_l = T_s \int_0^1 d\tau e^{\alpha \lambda \tau} \sin(v_l \alpha \tau) \quad \alpha = \log\left(\frac{l_{r2}}{l_{r1}}\right) \quad \cos(v_l \alpha) = (-1)^l \quad e^{-\alpha \lambda} = \left(\frac{l_{r1}}{l_{r2}}\right)^\lambda \quad e^{\alpha \lambda} = \left(\frac{l_{r2}}{l_{r1}}\right)^\lambda$$

$$v_l = \frac{l\pi}{\alpha} \quad S_l = T_s \frac{v_l}{\alpha} \frac{1 - e^{\alpha \lambda} \cos(v_l \alpha)}{\lambda^2 + v_l^2} = T_s l\pi \frac{1 - (-1)^l \left(\frac{l_{r2}}{l_{r1}}\right)^\lambda}{\alpha^2 \lambda^2 + l^2 \pi^2} = \frac{T_s}{l_{r1}^\lambda} \frac{l\pi (l_{r1}^\lambda - (-1)^l l_{r2}^\lambda)}{\alpha^2 \lambda^2 + l^2 \pi^2}$$

$$T(r, \theta) = 2 T_s \frac{\pi}{r^\lambda} \sum_{l=1}^{+\infty} \frac{(l_{r1}^\lambda - (-1)^l l_{r2}^\lambda)}{\alpha^2 \lambda^2 + l^2 \pi^2} \sin\left(v_l \log\left(\frac{r}{l_{r1}}\right)\right) \frac{P_{\frac{1-2\lambda}{2} + i v_l}^{1-2\lambda}(\cos(\theta))}{P_{\frac{1-2\lambda}{2} + i v_l}^{1-2\lambda}(\cos(\theta_0))}$$

Supposons que la fonction limite soit de la forme : $f_r(r) = T_s / r^\lambda$, il vient :

$$f_r(r) = T_s \left(\frac{l_{r1}}{r}\right)^\lambda \Rightarrow f_r(\tau) = T_s e^{-\lambda \alpha \tau} \quad \alpha = \log\left(\frac{l_{r2}}{l_{r1}}\right) \quad v_l = \frac{l\pi}{\alpha} \Rightarrow \cos(\alpha v_l) = (-1)^l \quad \text{et} \quad \sin(\alpha v_l) = 0$$

$$S_l = T_s \int_0^1 d\tau \sin(v_l \alpha \tau) = T_s \frac{1 - (-1)^l}{l\pi} \Rightarrow T(r, \theta) = \frac{4 T_s}{\pi} \left(\frac{l_{r1}}{r}\right)^\lambda \sum_{l=0}^{+\infty} \frac{\sin\left(v_{2l+1} \log\left(\frac{r}{l_{r1}}\right)\right) P_{\frac{1-2\lambda}{2} + i v_{2l+1}}^{1-2\lambda}(\cos(\theta))}{(2l+1) P_{\frac{1-2\lambda}{2} + i v_{2l+1}}^{1-2\lambda}(\cos(\theta_0))}$$

Problèmes aux limites de Laplace sur une hypersphère- p-

Exemple : soit le problème aux limites :

$$\Delta T(r, \theta) = 0 \quad T(r, \theta) \text{ fini} \quad z = \cos(\theta) \text{ et } \mu_0 = \cos(\theta_0) \quad T'_r(r, \theta)|_{r=l_{r1}} = 0 \quad T'_r(r, \theta)|_{r=l_{r2}} = 0 \quad T(r, z)|_{z=\mu_0} = f_r(r)$$

La partie radiale de la solution de valeur propre nulle $A_0 + B_0/r$ donne une constante dans ce cas. Et la partie angulaire donne également une constante, du fait du respect de la condition de finitude de la solution à angle $\vartheta=0$. D'après l'étude des fonctions propres la solution se développe donc en série ainsi :

Conditions de finitude en $r = 0$ et $\vartheta = 0$

$$R_0(r) = A_0^r + \frac{B_0^r}{r^{2\lambda}} \Rightarrow B_0^r = 0 \quad \text{et} \quad R_0(r) \propto 1 \quad \alpha = \text{Log}\left(\frac{l_{r2}}{l_{r1}}\right) \quad \nu_l = \frac{l\pi}{\alpha}$$

$$\Theta_0(\theta) = \frac{\left(A_{0,g} P_{\frac{2\lambda-1}{2}}^{\frac{2\lambda-1}{2}}(\cos(\vartheta)) + B_{0,g} Q_{\frac{2\lambda-1}{2}}^{\frac{2\lambda-1}{2}}(\cos(\vartheta)) \right)}{\sin(\vartheta)^{\frac{2\lambda-1}{2}}} \Rightarrow \begin{cases} \text{si } \lambda = m \Rightarrow A_{0,g} = 0 & \text{et } \Theta_0(\theta) = B_{0,g} \\ \text{si } \lambda = \frac{2m+1}{2} \Rightarrow B_{0,g} = 0 & \text{et } \Theta_0(\theta) = A_{0,g} \end{cases}$$

$$T(r, \theta) = A_{0,g} + \frac{1}{r^\lambda} \sum_{l=1}^{+\infty} A_l \left(\nu_l \cos\left(\nu_l \text{Log}\left(\frac{r}{l_{r1}}\right)\right) + \lambda \sin\left(\nu_l \text{Log}\left(\frac{r}{l_{r1}}\right)\right) \right) P_{\frac{1-2\lambda}{2} + i\nu_l}^{\frac{1-2\lambda}{2}}(\cos(\theta))$$

$$R_l(r) = \frac{1}{r^\lambda} \left(\frac{\nu_l}{\lambda} \cos\left(\nu_l \text{Log}\left(\frac{r}{l_{r1}}\right)\right) + \sin\left(\nu_l \text{Log}\left(\frac{r}{l_{r1}}\right)\right) \right) \quad \Psi_l(\tau) = \frac{\nu_l}{\lambda} \cos(\nu_l \alpha \tau) + \sin(\nu_l \alpha \tau)$$

$$A_{0,g} = \frac{\int_{l_{r1}}^{l_{r2}} dr \, r^{2\lambda-1} f_r(r)}{\|R_0(r)\|^2} = \frac{2\lambda \int_{l_{r1}}^{l_{r2}} dr \, r^{2\lambda-1} f_r(r)}{l_{r2}^{2\lambda} - l_{r1}^{2\lambda}} \quad \|R_0(r)\|^2 = \int_{l_{r1}}^{l_{r2}} dr \, r^{2\lambda-1} = \frac{l_{r2}^{2\lambda} - l_{r1}^{2\lambda}}{2\lambda}$$

$$A_l = \frac{\int_{l_{r1}}^{l_{r2}} dr \, f_r(r) R_l(r)}{\|R_l(r)\|^2} = \frac{2 \int_{l_{r1}}^{l_{r2}} dr \, f_r(r) R_l(r)}{\alpha \left(1 + \frac{\nu^2}{\lambda^2}\right)} \Leftarrow \|R_l(r)\|^2 = \frac{\alpha}{2} \left(1 + \frac{\nu^2}{\lambda^2}\right)$$

$$\text{Normalisation de l'intégrale} \quad r \rightarrow e^t = \frac{r}{l_{r1}} \rightarrow \tau = \frac{t}{\alpha} \Leftrightarrow r = l_{r1} e^{\alpha \tau} \quad t = \alpha \tau$$

$$I_l = \int_{l_{r1}}^{l_{r2}} dr \, f_r(r) r^{2\lambda-1} R_l(r) = \alpha l_{r1}^\lambda \int_0^1 d\tau \, e^{\alpha \lambda \tau} f_r(\tau) \left(\frac{\nu_l}{\lambda} \cos(\nu_l \alpha \tau) + \sin(\nu_l \alpha \tau) \right)$$

$$\Rightarrow S_l = \int_0^1 d\tau \, e^{\alpha \lambda \tau} f_r(\tau) \left(\frac{\nu_l}{\lambda} \cos(\nu_l \alpha \tau) + \sin(\nu_l \alpha \tau) \right) \quad S_0 = \int_{l_{r1}}^{l_{r2}} dr \, r^{2\lambda-1} f_r(r)$$

$$T(r, \theta) = \frac{2\lambda S_0}{l_{r2}^{2\lambda} - l_{r1}^{2\lambda}} + 2 \left(\frac{l_{r1}}{r} \right)^\lambda \sum_{l=1}^{+\infty} \frac{S_l}{\left(1 + \frac{\nu^2}{\lambda^2}\right)} \left(\frac{\nu_l}{\lambda} \cos\left(\nu_l \text{Log}\left(\frac{r}{l_{r1}}\right)\right) + \sin\left(\nu_l \text{Log}\left(\frac{r}{l_{r1}}\right)\right) \right) \frac{P_{\frac{1-2\lambda}{2} + i\nu_l}^{\frac{1-2\lambda}{2}}(\cos(\theta))}{P_{\frac{1-2\lambda}{2} + i\nu_l}^{\frac{1-2\lambda}{2}}(\cos(\theta_0))}$$

Problèmes aux limites de Laplace sur une hypersphère- p-

Supposons que la fonction limite est constante = T_s , il vient immédiatement $S_l = 0$:

$$S_l = T_s \int_0^1 d\tau e^{\alpha \lambda \tau} \left(\frac{v_l}{\lambda} \cos(v_l \alpha \tau) + \sin(v_l \alpha \tau) \right) = 0 \quad S_0 = T_s \int_{l_{r1}}^{l_{r2}} r^{2\lambda-1} dr = T_s \frac{l_{r2}^{2\lambda} - l_{r1}^{2\lambda}}{2\lambda}$$

$$\alpha = \text{Log} \left(\frac{l_{r2}}{l_{r1}} \right) \quad v_l = \frac{l\pi}{\alpha} \quad \text{puisque} \quad \sin(v_l \alpha) = 0$$

et la solution se réduit bien à la valeur triviale $T(r, \vartheta) = T_s$. Avec une fonction limite de la forme :

$$f_r(r) = \frac{T_s}{r^\lambda}, \text{ il vient :}$$

$$f_r(r) = T_s \left(\frac{l_{r1}}{r} \right)^\lambda \Rightarrow f_r(\tau) = T_s e^{-\lambda \alpha \tau} \quad v_l = \frac{l\pi}{\text{Log} \left(\frac{l_{r2}}{l_{r1}} \right)} \Rightarrow \cos(\alpha v_l) = (-1)^l \quad \text{et} \quad \sin(\alpha v_l) = 0$$

$$S_l = T_s \int_0^1 d\tau \left(\frac{v_l}{\lambda} \cos(v_l \alpha \tau) + \sin(v_l \alpha \tau) \right) = T_s \frac{1 - \cos(\alpha v_l)}{\alpha v_l} \Rightarrow S_{2l} = 0 \quad S_{2l+1} = T_s \frac{2}{(2l+1)\pi}$$

$$S_0 = T_s \int_{l_{r1}}^{l_{r2}} \left(\frac{l_{r1}}{r} \right)^\lambda r^{2\lambda-1} dr = T_s l_{r1}^\lambda \int_{l_{r1}}^{l_{r2}} r^{\lambda-1} dr = \frac{T_s l_{r1}^\lambda}{\lambda} (l_{r2}^\lambda - l_{r1}^\lambda)$$

$$T(r, \theta) = \frac{2T_s l_{r1}^\lambda}{l_{r2}^\lambda + l_{r1}^\lambda} + 4T_s \left(\frac{l_{r1}}{r} \right)^\lambda \sum_{l=0}^{+\infty} \frac{\left(\frac{v_{2l+1}}{\lambda} \cos \left(v_{2l+1} \text{Log} \left(\frac{r}{l_{r1}} \right) \right) + \sin \left(v_{2l+1} \text{Log} \left(\frac{r}{l_{r1}} \right) \right) \right) P_{-\frac{1}{2} + i v_{2l+1}}^{\frac{1-2\lambda}{2}}(\cos(\theta))}{\left(1 + \frac{v_{2l+1}^2}{\lambda^2} \right) (2l+1)\pi \frac{P_{-\frac{1}{2} + i v_{2l+1}}^{\frac{1-2\lambda}{2}}(\cos(\theta_0))}{P_{-\frac{1}{2} + i v_{2l+1}}^{\frac{1-2\lambda}{2}}(\cos(\theta_0))}}$$

Exemple : soit le problème aux limites :

$$\Delta T(r, \theta) = 0 \quad T(r, \theta) \text{ fini} \quad z = \cos(\theta) \text{ et } \mu_0 = \cos(\theta_0)$$

$$T(r, \theta)|_{r=l_{r1}} = 0 \quad T'(r, \theta)|_{r=l_{r2}} = 0 \quad T(r, z)|_{z=\mu_0} = f_r(r)$$

On écarte rapidement la partie de valeur propre 0 identiquement nulle, et d'après l'étude des fonctions propres la solution se développe en série ainsi :

$$T(r, \theta) = \frac{1}{r^\lambda} \sum_{l=1}^{+\infty} A_l \sin \left(v_l \text{Log} \left(\frac{r}{l_{r1}} \right) \right) P_{-\frac{1}{2} + i v_l}^{\frac{1-2\lambda}{2}}(\cos(\theta)) \quad v_l \text{ tq } \lambda \sin(v_l \alpha) = v_l \cos(v_l \alpha) \quad \alpha = \text{Log} \left(\frac{l_{r2}}{l_{r1}} \right)$$

$$R_l(r) = \frac{1}{r^\lambda} \sin \left(v_l \text{Log} \left(\frac{r}{l_{r1}} \right) \right) \quad A_l = \frac{\int_{l_{r1}}^{l_{r2}} dr f_r(r) r^{2\lambda-1} R_l(r)}{\|R_l(r)\|^2 P_{-\frac{1}{2} + i v_l}^{\frac{1-2\lambda}{2}}(\cos(\theta_0))} = \frac{2 \int_{l_{r1}}^{l_{r2}} dr f_r(r) r^{2\lambda-1} R_l(r)}{\alpha \left(1 - \frac{\sin(v_l \alpha) \cos(v_l \alpha)}{v_l \alpha} \right) P_{-\frac{1}{2} + i v_l}^{\frac{1-2\lambda}{2}}(\cos(\theta_0))}$$

$$\|R_l(r)\|^2 = \frac{\alpha}{2} \left(1 - \frac{\sin(v_l \alpha) \cos(v_l \alpha)}{v_l \alpha} \right) \quad \text{Normalisation de l'intégrale}$$

$$I_l = \int_{l_{r1}}^{l_{r2}} dr f_r(r) r^{2\lambda-1} R_l(r) = \alpha l_{r1}^\lambda \int_0^1 d\tau e^{\lambda \alpha \tau} f_r(\tau) \Psi_l(\tau) = \alpha l_{r1}^\lambda S_l \Rightarrow S_l = \int_0^1 d\tau e^{\lambda \alpha \tau} f_r(\tau) \sin(v_l \alpha \tau)$$

$$\Rightarrow T(r, \theta) = 2 \left(\frac{l_{r1}}{r} \right)^\lambda \sum_{l=1}^{+\infty} S_l \frac{\sin \left(v_l \text{Log} \left(\frac{r}{l_{r1}} \right) \right) P_{-\frac{1}{2} + i v_l}^{\frac{1-2\lambda}{2}}(\cos(\theta))}{\left(1 - \frac{\sin(v_l \alpha) \cos(v_l \alpha)}{v_l \alpha} \right) P_{-\frac{1}{2} + i v_l}^{\frac{1-2\lambda}{2}}(\cos(\theta_0))}$$

Problèmes aux limites de Laplace sur une hypersphère- p-

Supposons que la fonction limite est constante $f_r(r) = T_s$, il vient :

$$\alpha = \text{Log}\left(\frac{l_{r2}}{l_{r1}}\right) \quad f_r(\tau) = T_s \Rightarrow S_l = T_s \int_0^1 d\tau e^{\lambda\alpha\tau} \text{Sin}(v_l\alpha\tau) \Rightarrow S_l = T_s \frac{v_l}{\alpha(\lambda^2 + v_l^2)}$$

$$\Rightarrow T(r, \theta) = \frac{2T_s}{\alpha} \left(\frac{l_{r1}}{r}\right)^\lambda \sum_{l=1}^{+\infty} \frac{v_l}{(\lambda^2 + v_l^2)} \left(\frac{\text{Sin}\left(v_l \text{Log}\left(\frac{r}{l_{r1}}\right)\right)}{1 - \frac{\text{Sin}(v_l\alpha)\text{Cos}(v_l\alpha)}{v_l\alpha}} \right) \frac{P_{\frac{1-2\lambda}{2} - \frac{1}{2} + iv_l}(\text{Cos}(\theta))}{P_{\frac{1-2\lambda}{2} - \frac{1}{2} + iv_l}(\text{Cos}(\theta_0))} \quad v_l \text{ tq } \lambda \text{ Sin}(v_l\alpha) = v_l \text{ Cos}(v_l\alpha)$$

Supposons que la fonction limite soit de la forme : $f_r(r) = \frac{T_s}{r^\lambda}$, il vient

$$f_r(r) = T_s \left(\frac{l_{r1}}{r}\right)^\lambda \Rightarrow f_r(\tau) = T_s e^{-\lambda\alpha\tau} \quad S_l = T_s \int_0^1 d\tau \text{Sin}(v_l\alpha\tau) = T_s \frac{1 - \text{Cos}(v_l\alpha)}{\alpha v_l}$$

$$T(r, \theta) = 2T_s \left(\frac{l_{r1}}{r}\right)^\lambda \sum_{l=1}^{+\infty} \frac{(1 - \text{Cos}(v_l\alpha)) \text{Sin}\left(v_l \text{Log}\left(\frac{r}{l_{r1}}\right)\right)}{(\alpha v_l - \text{Sin}(v_l\alpha)\text{Cos}(v_l\alpha))} \frac{P_{\frac{1-2\lambda}{2} - \frac{1}{2} + iv_l}(\text{Cos}(\theta))}{P_{\frac{1-2\lambda}{2} - \frac{1}{2} + iv_l}(\text{Cos}(\theta_0))} \quad v_l \text{ tq } \lambda \text{ Sin}(v_l\alpha) = v_l \text{ Cos}(v_l\alpha)$$

Exemple : soit le problème aux limites sur une section conique-sphérique à n-dimensions :

$$\Delta T(r, \theta) = 0 \quad T(r, \theta) \text{ fini} \quad z = \text{Cos}(\theta) \text{ et } \mu_1 = \text{Cos}(\theta_2) \text{ et } \mu_2 = \text{Cos}(\theta_1)$$

$$T'(r, \theta)|_{r=l_{r1}} = 0 \quad T'(r, \theta)|_{r=l_{r2}} = 0 \quad T(r, z)|_{z=\mu_1} = f_1(r) \quad T(r, z)|_{z=\mu_2} = f_2(r)$$

Qui se décompose en deux sous-problèmes :

$$\Delta T(r, \theta) = 0 \quad T(r, \theta) \text{ fini} \quad z = \text{Cos}(\theta) \text{ et } \mu_1 = \text{Cos}(\theta_2) \text{ et } \mu_2 = \text{Cos}(\theta_1)$$

$$T'(r, \theta)|_{r=l_{r1}} = 0 \quad T'(r, \theta)|_{r=l_{r2}} = 0 \quad T(r, z)|_{z=\mu_1} = 0 \quad T(r, z)|_{z=\mu_2} = f_2(r)$$

ainsi que :

$$\Delta T(r, \theta) = 0 \quad T(r, \theta) \text{ fini} \quad z = \text{Cos}(\theta) \text{ et } \mu_1 = \text{Cos}(\theta_2) \text{ et } \mu_2 = \text{Cos}(\theta_1)$$

$$T'(r, \theta)|_{r=l_{r1}} = 0 \quad T'(r, \theta)|_{r=l_{r2}} = 0 \quad T(r, z)|_{z=\mu_1} = f_1(r) \quad T(r, z)|_{z=\mu_2} = 0$$

Le premier problème se résout par les calculs suivants sur la partie angulaire :

$$\text{Valeur propre radiale nulle} \Rightarrow \Theta_0(\theta) = \frac{1}{\text{Sin}(\vartheta)^{\frac{2\lambda-1}{2}}} \left(\frac{P_{\frac{2\lambda-1}{2}}^{\frac{2\lambda-1}{2}}(\text{Cos}(\vartheta))}{P_{\frac{2\lambda-1}{2}}^{\frac{2\lambda-1}{2}}(\mu_1)} + \frac{Q_{\frac{2\lambda-1}{2}}^{\frac{2\lambda-1}{2}}(\text{Cos}(\vartheta))}{Q_{\frac{2\lambda-1}{2}}^{\frac{2\lambda-1}{2}}(\mu_1)} \right)$$

$$\text{Valeur propre radiale non nulle} \Rightarrow \Phi_n^\theta(z) = A_n^\theta P_{\frac{1-2\lambda}{2} - \frac{1}{2} + iv_l}^{\frac{1-2\lambda}{2}}(z) + B_n^\theta \hat{Q}_{\frac{1-2\lambda}{2} - \frac{1}{2} + iv_l}^{\frac{1-2\lambda}{2}}(z)$$

$$T(r, z)|_{z=\mu_1} = 0 \Rightarrow \Phi_l^\theta(z) \propto \frac{P_{\frac{1-2\lambda}{2} - \frac{1}{2} + iv_l}^{\frac{1-2\lambda}{2}}(z)}{P_{\frac{1-2\lambda}{2} - \frac{1}{2} + iv_l}^{\frac{1-2\lambda}{2}}(\mu_1)} - \frac{\hat{Q}_{\frac{1-2\lambda}{2} - \frac{1}{2} + iv_l}^{\frac{1-2\lambda}{2}}(z)}{\hat{Q}_{\frac{1-2\lambda}{2} - \frac{1}{2} + iv_l}^{\frac{1-2\lambda}{2}}(\mu_1)} \quad \Theta_0(\theta) = \begin{cases} 1 - \frac{Q_m^m(\text{Cos}(\vartheta)) \text{Sin}(\mu_1)^m}{Q_m^m(\mu_1) \text{Sin}(\vartheta)^m} & \text{si } \lambda = m + \frac{1}{2} \\ 1 - \frac{P_{\frac{2m+1}{2}}^{\frac{2m+1}{2}}(\text{Cos}(\vartheta)) \text{Sin}(\mu_1)^{\frac{2m+1}{2}}}{P_{\frac{2m+1}{2}}^{\frac{2m+1}{2}}(\mu_1) \text{Sin}(\vartheta)^{\frac{2m+1}{2}}} & \text{si } \lambda = m + 1 \end{cases}$$

Ainsi que sur la partie radiale permettant de donner l'expression du premier problème :

$$R_0(r) = A_0 + \frac{B_0}{r^{2\lambda}} \Rightarrow C.L.Neumann \rightarrow B_0 = 0 \quad \text{et} \quad R_0(r) \propto 1 \quad \alpha = \text{Log}\left(\frac{l_{r2}}{l_{r1}}\right) \quad \|R_0(r)\|^2 = \frac{l_{r2}^{2\lambda} - l_{r1}^{2\lambda}}{2\lambda}$$

$$\Theta_{0,2}(\theta) = \begin{cases} 1 - \frac{Q_m^m(\text{Cos}(\vartheta)) \text{Sin}(\mu_1)^m}{Q_m^m(\mu_1) \text{Sin}(\vartheta)^m} & \text{si } \lambda = m + \frac{1}{2} \\ 1 - \frac{P_{\frac{2m+1}{2}}^{\frac{2m+1}{2}}(\text{Cos}(\vartheta)) \text{Sin}(\mu_1)^{\frac{2m+1}{2}}}{P_{\frac{2m+1}{2}}^{\frac{2m+1}{2}}(\mu_1) \text{Sin}(\vartheta)^{\frac{2m+1}{2}}} & \text{si } \lambda = m + 1 \end{cases} \quad \begin{cases} R_l(r) = \frac{1}{r^\lambda} \left(\frac{v_l}{\lambda} \text{Cos}\left(v_l \text{Log}\left(\frac{r}{l_{r1}}\right)\right) + \text{Sin}\left(v_l \text{Log}\left(\frac{r}{l_{r1}}\right)\right) \right) \\ \Psi_l(\tau) = \frac{v_l}{\lambda} \text{Cos}(v_l \alpha \tau) + \text{Sin}(v_l \alpha \tau) \end{cases}$$

$$\|R_l(r)\|^2 = \frac{\alpha}{2} \left(1 + \frac{v^2}{\lambda^2} \right) \quad \Phi_l^{\mu_1}(z) = \frac{P_{-\frac{1}{2}+iv_l}^{\frac{1-2\lambda}{2}}(z)}{P_{-\frac{1}{2}+iv_l}^{\frac{1-2\lambda}{2}}(\mu_1)} - \frac{\hat{Q}_{-\frac{1}{2}+iv_l}^{\frac{1-2\lambda}{2}}(z)}{\hat{Q}_{-\frac{1}{2}+iv_l}^{\frac{1-2\lambda}{2}}(\mu_1)} \quad A_{0,9} = \frac{2\lambda \int_{l_{r1}}^{l_{r2}} dr r^{2\lambda-1} f_2(r)}{(l_{r2}^{2\lambda} - l_{r1}^{2\lambda}) \Theta_0(\mu_2)}$$

$$S_{0,2} = \int_{l_{r1}}^{l_{r2}} dr r^{2\lambda-1} f_2(r) \Rightarrow A_{0,9} = \frac{2\lambda S_{0,2}}{(l_{r2}^{2\lambda} - l_{r1}^{2\lambda}) \Theta_0(\mu_2)}$$

$$T(r, \theta) = \frac{2\lambda S_{0,2} \Theta_{0,2}(\theta)}{(l_{r2}^{2\lambda} - l_{r1}^{2\lambda}) \Theta_{0,2}(\mu_2)} + \frac{1}{r^\lambda} \sum_{l=1}^{+\infty} A_l \left(\frac{v_l}{\lambda} \text{Cos}\left(v_l \text{Log}\left(\frac{r}{l_{r1}}\right)\right) + \text{Sin}\left(v_l \text{Log}\left(\frac{r}{l_{r1}}\right)\right) \right) \Phi_l^{\mu_1}(\text{Cos}(\theta)) \quad v_l = \frac{l\pi}{\alpha}$$

$$A_l = \frac{\int_{l_{r1}}^{l_{r2}} dr f_r(r) r^{2\lambda-1} R_l(r)}{\|R_l(r)\|^2 \Phi_l^{\mu_1}(\mu_2)} = \frac{2 \int_{l_{r1}}^{l_{r2}} dr f_r(r) r^{2\lambda-1} R_l(r)}{\alpha \left(1 + \frac{v^2}{\lambda^2} \right) \Phi_l^{\mu_1}(\mu_2)}$$

$$\text{Normalisation de l'intégrale} \quad r \rightarrow e^t = \frac{r}{l_{r1}} \rightarrow \tau = \frac{t}{\alpha} \Leftrightarrow r = l_{r1} e^{\alpha \tau}$$

$$t = \alpha \tau \Rightarrow I_l = \int_{l_{r1}}^{l_{r2}} dr f_r(r) r^{2\lambda-1} R_l(r) = \alpha l_{r1}^\lambda \int_0^1 d\tau e^{\alpha \lambda \tau} f_r(\tau) \left(\frac{v_l}{\lambda} \text{Cos}(v_l \alpha \tau) + \text{Sin}(v_l \alpha \tau) \right) = \alpha l_{r1}^\lambda S_{l,2}$$

$$\Rightarrow S_{l,2} = \int_0^1 d\tau e^{\alpha \lambda \tau} f_r(\tau) \left(\frac{v_l}{\lambda} \text{Cos}(v_l \alpha \tau) + \text{Sin}(v_l \alpha \tau) \right)$$

$$T(r, \theta) = \frac{2\lambda S_{0,2}}{(l_{r2}^{2\lambda} - l_{r1}^{2\lambda})} \frac{\Theta_{0,2}(\theta)}{\Theta_{0,2}(\mu_2)} +$$

$$+ 2 \left(\frac{l_{r1}}{r} \right)^\lambda \sum_{l=1}^{+\infty} \frac{S_{l,2}}{\left(1 + \frac{v^2}{\lambda^2} \right)} \left(\frac{v_l}{\lambda} \text{Cos}\left(v_l \text{Log}\left(\frac{r}{l_{r1}}\right)\right) + \text{Sin}\left(v_l \text{Log}\left(\frac{r}{l_{r1}}\right)\right) \right) \frac{\Phi_l^{\mu_1}(\text{Cos}(\theta))}{\Phi_l^{\mu_1}(\mu_2)} \quad \text{avec} \quad v_l = \frac{l\pi}{\alpha}$$

L'expression du deuxième problème donne :

$$\begin{cases} R_l(r) = \frac{1}{r^\lambda} \left(\frac{v_l}{\lambda} \cos \left(v_l \log \left(\frac{r}{l_{r1}} \right) \right) + \sin \left(v_l \log \left(\frac{r}{l_{r1}} \right) \right) \right) \\ \Psi_l(\tau) = \frac{v_l}{\lambda} \cos(v_l \alpha \tau) + \sin(v_l \alpha \tau) \end{cases} \quad \Phi_l^{\mu_2}(z) = \frac{P_{\frac{1-2\lambda}{2} + i v_l}^{\frac{1-2\lambda}{2}}(z)}{P_{\frac{1-2\lambda}{2} + i v_l}^{\frac{1-2\lambda}{2}}(\mu_2)} - \frac{\hat{Q}_{\frac{1-2\lambda}{2} + i v_l}^{\frac{1-2\lambda}{2}}(z)}{\hat{Q}_{\frac{1-2\lambda}{2} + i v_l}^{\frac{1-2\lambda}{2}}(\mu_2)}$$

$$\Theta_{0,1}(\theta) = \begin{cases} 1 - \frac{Q_m^m(\cos(\vartheta))}{Q_m^m(\mu_2)} \frac{\sin(\mu_2)^m}{\sin(\vartheta)^m} & \text{si } \lambda = m + \frac{1}{2} \\ 1 - \frac{P_{\frac{2m+1}{2}}^{\frac{2m+1}{2}}(\cos(\vartheta))}{P_{\frac{2m+1}{2}}^{\frac{2m+1}{2}}(\mu_2)} \frac{\sin(\mu_2)^m}{\sin(\vartheta)^m} & \text{si } \lambda = m + 1 \end{cases}$$

$$\Rightarrow S_{l,1} = \int_0^1 d\tau e^{\alpha\lambda\tau} f_1(\tau) \left(\frac{v_l}{\lambda} \cos(v_l \alpha \tau) + \sin(v_l \alpha \tau) \right) \quad S_{0,1} = \int_{l_{r1}}^{l_{r2}} dr r^{2\lambda-1} f_1(r)$$

$$T(r, \theta) = \frac{2\lambda S_{0,1}}{(l_{r2}^{2\lambda} - l_{r1}^{2\lambda})} \frac{\Theta_{0,1}(\theta)}{\Theta_{0,1}(\mu_1)} + 2 \left(\frac{l_{r1}}{r} \right)^\lambda \sum_{l=1}^{+\infty} \frac{S_{l,2}}{\left(1 + \frac{v^2}{\lambda^2} \right)} \left(\frac{v_l}{\lambda} \cos \left(v_l \log \left(\frac{r}{l_{r1}} \right) \right) + \sin \left(v_l \log \left(\frac{r}{l_{r1}} \right) \right) \right) \frac{\Phi_l^{\mu_2}(\cos(\theta))}{\Phi_l^{\mu_2}(\mu_1)} \quad \text{avec } v_l = \frac{l\pi}{\alpha}$$

Lorsque les deux fonctions limites sur les tranches de la section conique-sphérique creuse sont constantes, alors on a la nullité de tous les termes de valeur propres non nulle puisque :

$$f_1(\tau) = T_1 \quad f_2(\tau) = T_2$$

$$S_{l,1} = T_1 \int_0^1 d\tau e^{\alpha\lambda\tau} \left(\frac{v_l}{\lambda} \cos(v_l \alpha \tau) + \sin(v_l \alpha \tau) \right) \quad S_{l,2} = T_2 \int_0^1 d\tau e^{\alpha\lambda\tau} \left(\frac{v_l}{\lambda} \cos(v_l \alpha \tau) + \sin(v_l \alpha \tau) \right)$$

$$\text{Or } \int_0^1 d\tau e^{\alpha\lambda\tau} \left(\frac{v_l}{\lambda} \cos(v_l \alpha \tau) + \sin(v_l \alpha \tau) \right) = \frac{e^{\alpha\lambda}}{\alpha\lambda} \sin(v_l \alpha) = 0$$

Dans ce cas la solution devient triviale est s'écrit :

$$\Theta_{0,1}(\theta) = \begin{cases} 1 - \frac{Q_m^m(\cos(\vartheta))}{Q_m^m(\mu_2)} \frac{\sin(\mu_2)^m}{\sin(\vartheta)^m} & \text{si } \lambda = m + \frac{1}{2} \\ 1 - \frac{P_{\frac{2m+1}{2}}^{\frac{2m+1}{2}}(\cos(\vartheta))}{P_{\frac{2m+1}{2}}^{\frac{2m+1}{2}}(\mu_2)} \frac{\sin(\mu_2)^{\frac{2m+1}{2}}}{\sin(\vartheta)^{\frac{2m+1}{2}}} & \text{si } \lambda = m + 1 \end{cases} \quad \Theta_{0,2}(\theta) = \begin{cases} 1 - \frac{Q_m^m(\cos(\vartheta))}{Q_m^m(\mu_1)} \frac{\sin(\mu_1)^m}{\sin(\vartheta)^m} & \text{si } \lambda = m + \frac{1}{2} \\ 1 - \frac{P_{\frac{2m+1}{2}}^{\frac{2m+1}{2}}(\cos(\vartheta))}{P_{\frac{2m+1}{2}}^{\frac{2m+1}{2}}(\mu_1)} \frac{\sin(\mu_1)^{\frac{2m+1}{2}}}{\sin(\vartheta)^{\frac{2m+1}{2}}} & \text{si } \lambda = m + 1 \end{cases}$$

$$T(r, \theta) = T_1 \frac{\Theta_{0,1}(\theta)}{\Theta_{0,1}(\mu_1)} + T_2 \frac{\Theta_{0,2}(\theta)}{\Theta_{0,2}(\mu_2)}$$

L'obtention de cette solution triviale qui ne dépend plus de r n'est pas un hasard, puisque les conditions aux limites inhomogènes choisies sont constantes et les conditions homogènes de Neumann implique aucun gradient dans la direction radiale. Tout cela ne peut que conduire à une solution ne dépendant plus de r . Une telle configuration est totalement équivalente à la formulation d'une équation de Laplace dans l'unique coordonnées angulaire ϑ sur un système ultra-sphérique à n -dimensions.

Illustrons cette solution dîtes triviale selon quelques valeurs du paramètre dimensionnel λ .

$$\Theta_{0,1}(\theta) = \begin{cases} 1 - \frac{Q_m^m(Cos(\vartheta))}{Q_m^m(\mu_2)} \frac{Sin(\mu_2)^m}{Sin(\vartheta)^m} & si \quad \lambda = m + \frac{1}{2} \\ 1 - \frac{P_{\frac{2m+1}{2}}^{\frac{2m+1}{2}}(Cos(\vartheta))}{P_{\frac{2m+1}{2}}^{\frac{2m+1}{2}}(\mu_2)} \frac{Sin(\mu_2)^{\frac{2m+1}{2}}}{Sin(\vartheta)^{\frac{2m+1}{2}}} & si \quad \lambda = m + 1 \end{cases}$$

$$\Theta_{0,2}(\theta) = \begin{cases} 1 - \frac{Q_m^m(Cos(\vartheta))}{Q_m^m(\mu_1)} \frac{Sin(\mu_1)^m}{Sin(\vartheta)^m} & si \quad \lambda = m + \frac{1}{2} \\ 1 - \frac{P_{\frac{2m+1}{2}}^{\frac{2m+1}{2}}(Cos(\vartheta))}{P_{\frac{2m+1}{2}}^{\frac{2m+1}{2}}(\mu_1)} \frac{Sin(\mu_1)^{\frac{2m+1}{2}}}{Sin(\vartheta)^{\frac{2m+1}{2}}} & si \quad \lambda = m + 1 \end{cases}$$

$$\lambda = \frac{1}{2} \rightarrow Q_0^0(Cos(\vartheta)) = \frac{1}{2} Log\left(\frac{1+Cos(\theta)}{1-Cos(\theta)}\right) \Rightarrow \Theta_{0,1}(\theta) = 1 - \frac{Q_0^0(Cos(\vartheta))}{Q_0^0(\mu_2)} = \frac{Log\left(\frac{1+\mu_2}{1-\mu_2} \frac{1-Cos(\theta)}{1+Cos(\theta)}\right)}{Log\left(\frac{1+\mu_2}{1-\mu_2}\right)}$$

$$\frac{\Theta_{0,1}(\theta)}{\Theta_{0,1}(\mu_1)} = \frac{Log\left(\frac{1+\mu_2}{1-\mu_2} \frac{1-Cos(\theta)}{1+Cos(\theta)}\right)}{Log\left(\frac{1+\mu_2}{1-\mu_2} \frac{1-Cos(\mu_1)}{1+Cos(\mu_1)}\right)} \quad \Theta_{0,2}(\theta) = 1 - \frac{Q_0^0(Cos(\vartheta))}{Q_0^0(\mu_1)} = \frac{Log\left(\frac{1+\mu_1}{1-\mu_1} \frac{1-Cos(\theta)}{1+Cos(\theta)}\right)}{Log\left(\frac{1+\mu_1}{1-\mu_1}\right)}$$

$$\frac{\Theta_{0,2}(\theta)}{\Theta_{0,2}(\mu_2)} = \frac{Log\left(\frac{1+\mu_1}{1-\mu_1} \frac{1-Cos(\theta)}{1+Cos(\theta)}\right)}{Log\left(\frac{1+\mu_1}{1-\mu_1} \frac{1-Cos(\mu_2)}{1+Cos(\mu_2)}\right)}$$

$$\lambda = 1 \rightarrow \frac{P_{\frac{1}{2}}^{\frac{1}{2}}(Cos(\vartheta))}{\sqrt{\frac{1}{2} Sin(\theta)}} = \sqrt{\frac{2}{\pi}} \frac{Cos(\theta)}{Sin(\theta)} = \sqrt{\frac{2}{\pi}} CoTan(\theta) \Rightarrow 1 - \frac{P_{\frac{1}{2}}^{\frac{1}{2}}(Cos(\vartheta))}{P_{\frac{1}{2}}^{\frac{1}{2}}(\mu_2)} \frac{Sin(\mu_2)^{\frac{1}{2}}}{Sin(\vartheta)^{\frac{1}{2}}} = 1 - \frac{CoTan(\theta)}{CoTan(\mu_2)}$$

$$\lambda = \frac{1}{2} \Rightarrow T(r, \theta) = T_1 \frac{\Theta_{0,1}(\theta)}{\Theta_{0,1}(\mu_1)} + T_2 \frac{\Theta_{0,2}(\theta)}{\Theta_{0,2}(\mu_2)} = T_1 \frac{Log\left(\frac{1+\mu_2}{1-\mu_2} \frac{1-Cos(\theta)}{1+Cos(\theta)}\right)}{Log\left(\frac{1+\mu_2}{1-\mu_2} \frac{1-Cos(\mu_1)}{1+Cos(\mu_1)}\right)} + T_2 \frac{Log\left(\frac{1+\mu_1}{1-\mu_1} \frac{1-Cos(\theta)}{1+Cos(\theta)}\right)}{Log\left(\frac{1+\mu_1}{1-\mu_1} \frac{1-Cos(\mu_2)}{1+Cos(\mu_2)}\right)}$$

$$\lambda = 1 \Rightarrow T(r, \theta) = T_1 \frac{\left(1 - \frac{CoTan(\theta)}{CoTan(\mu_2)}\right)}{\left(1 - \frac{CoTan(\mu_1)}{CoTan(\mu_2)}\right)} + T_2 \frac{\left(1 - \frac{CoTan(\theta)}{CoTan(\mu_1)}\right)}{\left(1 - \frac{CoTan(\mu_2)}{CoTan(\mu_1)}\right)} =$$

$$= T_1 \frac{(CoTan(\mu_2) - CoTan(\theta))}{(CoTan(\mu_2) - CoTan(\mu_1))} + T_2 \frac{(CoTan(\mu_1) - CoTan(\theta))}{(CoTan(\mu_1) - CoTan(\mu_2))}$$

Représentation intégrale de la solution du problème de Dirichlet inhomogène sur la surface d'un cône-ultrasphérique.

Bien que les fonctions radiales d'une section conique-sphérique ne soient pas apte à représenter une solution sous la forme de série sur un cône plein, du fait de sa rapide oscillation autour de l'origine. N Lebedev dans son ouvrage « SPECIAL FUNCTIONS AND THEIR APPLICATIONS, Prentice Hall 1965 » les utilisent pour exprimer sous forme intégrale la solution du problème de Dirichlet suivant :

$$\Delta T(r, \theta) = 0 \quad z = \cos(\theta) \text{ et } \mu_0 = \cos(\theta_0)$$

$$\Omega = \{(r, \theta) \in [0, +\infty] \times [0, \theta_0]\}$$

$$T(r, \theta)|_{\theta=\theta_0} = f_r(r)$$

Condition

$$\lim_{r \rightarrow +\infty} T(r, \theta) = 0$$

$$\lim_{r \rightarrow +\infty} f_r(r) = 0$$

Cette approche peut tout à fait se généraliser pour un cône dans un espace ultra-sphérique à n dimensions. Comme nous l'avons vu les fonctions suivantes sont solutions de l'équation de Laplace (attention on utilise les ordres négatifs des fonctions coniques de Mehler):

$$\Phi_\tau^r(r) = \frac{1}{r^\lambda} (A_\tau^r \cos(\tau \log(r)) + B_\tau^r \sin(\tau \log(r)))$$

$$\Phi_\tau^\theta(\theta) = (\sin(\theta))^{\frac{1-2\lambda}{2}} \left(A_\tau^\theta P_{-\frac{1}{2}+i\tau}^{\frac{1-2\lambda}{2}}(\cos(\theta)) + B_\tau^\theta \hat{Q}_{-\frac{1}{2}+i\tau}^{\frac{1-2\lambda}{2}}(\cos(\theta)) \right)$$

La condition de finitude en $\vartheta=0$, implique d'écarter la fonction de deuxième espèce qui diverge pour $\vartheta=0$ (voir plus loin le comportement des solutions à la singularité $\vartheta=0$). La solution se présente donc sous la forme :

$$T(r, \theta) = \frac{1}{r^\lambda} (A_\tau^r \cos(\tau \log(r)) + B_\tau^r \sin(\tau \log(r))) P_{-\frac{1}{2}+i\tau}^{\frac{1-2\lambda}{2}}(\cos(\theta)) (\sin(\theta))^{\frac{1-2\lambda}{2}}$$

Supposons maintenant, comme le fait N. Lebedev, que la fonction limite sur la surface du cône admette un développement en intégrale de Fourier généralisée, soit :

$$\text{Posons } \xi = \log(r) \Rightarrow d\xi = \frac{dr}{r} \quad r^\lambda f_r(r) = \int_0^{+\infty} d\tau (F_c(\tau) \cos(\tau \xi) + F_s(\tau) \sin(\tau \xi)) \Leftrightarrow$$

$$\begin{cases} F_c(\tau) = \frac{1}{\pi} \int_{-\infty}^{+\infty} d\xi r^\lambda f_r(r) \cos(\tau \xi) = \frac{1}{\pi} \int_0^{+\infty} dr (f_r(r) r^{\lambda-1} \cos(\tau \log(r))) \\ F_s(\tau) = \frac{1}{\pi} \int_{-\infty}^{+\infty} d\xi r^\lambda f_r(r) \sin(\tau \xi) = \frac{1}{\pi} \int_0^{+\infty} dr (f_r(r) r^{\lambda-1} \sin(\tau \log(r))) \end{cases}$$

Problèmes aux limites de Laplace sur une hypersphère- p-

Le respect de la condition aux limites de Dirichlet conduit à la solution suivante :

$$T(r, \theta) = \frac{1}{r^\lambda} (A_\tau^r \cos(\tau \log(r)) + B_\tau^r \sin(\tau \log(r))) P_{\frac{1}{2} + i\tau}^{\frac{1-2\lambda}{2}} (\cos(\theta)) (\sin(\theta))^{\frac{1-2\lambda}{2}}$$

Développement intégrale sur le paramètre τ

$$\Rightarrow T(r, \theta) = \frac{1}{r^\lambda} \int_0^{+\infty} d\tau (A_\tau^r \cos(\tau \log(r)) + B_\tau^r \sin(\tau \log(r))) P_{\frac{1}{2} + i\tau}^{\frac{1-2\lambda}{2}} (\cos(\theta)) (\sin(\theta))^{\frac{1-2\lambda}{2}}$$

Comme $T(r, \theta)|_{\theta=\theta_0} = f_r(r)$

$$\frac{1}{r^\lambda} \int_0^{+\infty} d\tau (A_\tau^r \cos(\tau \log(r)) + B_\tau^r \sin(\tau \log(r))) P_{\frac{1}{2} + i\tau}^{\frac{1-2\lambda}{2}} (\cos(\theta_0)) = \frac{1}{r^\lambda} \int_0^{+\infty} d\tau (F_c(\tau) \cos(\tau \xi) + F_s(\tau) \sin(\tau \xi))$$

$$A_\tau^r = \frac{F_c(\tau)}{P_{\frac{1}{2} + i\tau}^{\frac{1-2\lambda}{2}} (\cos(\theta_0)) (\sin(\theta_0))^{\frac{1-2\lambda}{2}}} \quad B_\tau^r = \frac{F_s(\tau)}{P_{\frac{1}{2} + i\tau}^{\frac{1-2\lambda}{2}} (\cos(\theta_0)) (\sin(\theta_0))^{\frac{1-2\lambda}{2}}}$$

$$T(r, \theta) = \frac{1}{r^\lambda} \int_0^{+\infty} d\tau (F_c(\tau) \cos(\tau \log(r)) + F_s(\tau) \sin(\tau \log(r))) \frac{P_{\frac{1}{2} + i\tau}^{\frac{1-2\lambda}{2}} (\cos(\theta)) (\sin(\theta))^{\frac{1-2\lambda}{2}}}{P_{\frac{1}{2} + i\tau}^{\frac{1-2\lambda}{2}} (\cos(\theta_0)) (\sin(\theta_0))^{\frac{1-2\lambda}{2}}}$$

avec

$$F_c(\tau) = \frac{1}{\pi} \int_0^{+\infty} dr (f_r(r) r^{\lambda-1} \cos(\tau \log(r))) \quad \text{et} \quad F_s(\tau) = \frac{1}{\pi} \int_0^{+\infty} dr (f_r(r) r^{\lambda-1} \sin(\tau \log(r)))$$

Dans la littérature, il y a une condition pour que le développement de Fourier existe sur la fonction limite $f(r)$ (voir E. C. Titchmarsh, Introduction to the Theory of Fourier Integrals, second edition, Oxford University Press, London (1950), Théoreme 3, p. 13):

$$f_r(r) \text{ continue} \quad \text{et} \quad f_r(r) \text{ bornée sur tout interval } [r_1, r_2] \quad \text{et} \quad \int_0^{+\infty} dr |f_r(r)| r^{\lambda-1} \text{ est finie}$$

Comportement des solutions à la singularité $\vartheta=0$

Les solutions angulaires comporte une forme indéterminée sur l'axe x_1 .

$$\Phi_{1\tau}^\theta(\theta) = (\sin(\theta))^{\frac{1-2\lambda}{2}} P_{\frac{1}{2}+i\tau}^{\frac{1-2\lambda}{2}}(\cos(\theta)) \quad \Phi_{2\tau}^\theta(\theta) = (\sin(\theta))^{\frac{1-2\lambda}{2}} B_\tau^\theta \hat{Q}_{\frac{1}{2}+i\tau}^{\frac{1-2\lambda}{2}}(\cos(\theta))$$

Examinons la solution de première espèce pour une valeur de ϑ proche de zéro, en utilisant une formule de développement autour de la singularité $z \rightarrow 1^-$:

$$P_\nu^\mu(x) \approx \begin{cases} \frac{1}{\Gamma(1-\mu)} \left(\frac{2}{1-x}\right)^{\frac{\mu}{2}} & \mu \neq 1, 2, 3, \dots \\ \frac{(-1)^\mu (\nu - \mu + 1)_{2\mu}}{\mu!} \left(\frac{1-x}{2}\right)^{\frac{\mu}{2}} = \frac{(-1)^\mu \Gamma(\nu + \mu + 1)}{\Gamma(1+\mu) \Gamma(\nu - \mu + 1)} \left(\frac{1-x}{2}\right)^{\frac{\mu}{2}} & \mu = 1, 2, 3, \dots, \nu \neq \mu - 1, \mu - 2, \dots, -\mu \end{cases}$$

$$P_\nu^{-m}(x) = (-1)^m \frac{\Gamma(\nu - m + 1)}{\Gamma(\nu + m + 1)} P_\nu^m(x) \Rightarrow P_\nu^{-m}(x) \approx \frac{1}{\Gamma(1+m)} \left(\frac{1-x}{2}\right)^{\frac{m}{2}}$$

$$\Rightarrow P_{\frac{1}{2}+i\tau}^{\frac{1-2\lambda}{2}}(x) \approx \begin{cases} \frac{1}{\Gamma\left(\frac{2m+3}{2}\right)} \left(\frac{1-x}{2}\right)^{\frac{2m+1}{4}} & \lambda = m + 1 \\ \frac{1}{\Gamma(1+m)} \left(\frac{1-x}{2}\right)^{\frac{m}{2}} & \lambda = m + \frac{1}{2} \end{cases}$$

Calculons la valeur limite du produit lorsque l'angle tend vers 0 :

$$P_{\frac{1}{2}+i\tau}^{\frac{1-2\lambda}{2}}(\cos(\theta)) (\sin(\theta))^{\frac{1-2\lambda}{2}} = P_{\frac{1}{2}+i\tau}^{\frac{1-2\lambda}{2}}(x) (1-x^2)^{\frac{1-2\lambda}{4}}$$

$$\Rightarrow P_{\frac{1}{2}+i\tau}^{\frac{1-2\lambda}{2}}(x) (1-x^2)^{\frac{1-2\lambda}{4}} \approx \begin{cases} \frac{1}{\Gamma\left(\frac{2m+3}{2}\right) 2^{\frac{2m+1}{4}}} \frac{(1-x^2)^{\frac{2m+1}{4}} (1-x^2)^{\frac{2m+1}{4}}}{(1+x)^{\frac{2m+1}{4}}} & \lambda = m + 1 \\ \frac{1}{\Gamma(1+m) 2^{\frac{m}{2}}} \frac{(1-x^2)^{\frac{m}{2}} (1-x^2)^{\frac{m}{2}}}{(1+x)^{\frac{m}{2}}} & \lambda = m + \frac{1}{2} \end{cases}$$

$$\Rightarrow P_{\frac{1}{2}+i\tau}^{\frac{1-2\lambda}{2}}(x) (1-x^2)^{\frac{1-2\lambda}{4}} \approx \begin{cases} \frac{1}{\Gamma\left(\frac{2m+3}{2}\right) 2^{\frac{2m+1}{4}}} (1+x)^{\frac{2m+1}{4}} & \lambda = m + 1 \\ \frac{1}{\Gamma(1+m) 2^{\frac{m}{2}}} (1+x)^{\frac{m}{2}} & \lambda = m + \frac{1}{2} \end{cases}$$

$$\Rightarrow \lim_{x \rightarrow 1^-} P_{\frac{1}{2}+i\tau}^{\frac{1-2\lambda}{2}}(x) (1-x^2)^{\frac{1-2\lambda}{4}} = \lim_{\theta \rightarrow 0^+} P_{\frac{1}{2}+i\tau}^{\frac{1-2\lambda}{2}}(\cos(\theta)) (\sin(\theta))^{\frac{1-2\lambda}{2}} = \begin{cases} \frac{1}{\Gamma\left(\frac{2m+3}{2}\right) 2^{\frac{2m+1}{2}}} & \lambda = m + 1 \\ \frac{1}{\Gamma(1+m) 2^m} = \frac{1}{2^m m!} & \lambda = m + \frac{1}{2} \end{cases}$$

Problèmes aux limites de Laplace sur une hypersphère- p-

Le comportement de la seconde solution lorsque l'angle s'annule dépend de celui de la fonction associée de Legendre de deuxième espèce dont elle est issue :

$$Q_{\nu}^{-\mu}(x) \approx \frac{\Gamma(\mu)\Gamma(\nu-\mu+1)}{\Gamma(\nu+\mu+1)} \left(\frac{2}{1-x}\right)^{\frac{\mu}{2}} \quad \nu \pm \mu \neq -1, -2, -3 \Rightarrow Q_{-\frac{1}{2}+i\tau}^{\frac{1-2\lambda}{2}}(x) \approx \frac{\Gamma\left(\frac{2\lambda-1}{4}\right)\Gamma(1-\lambda+i\tau)}{\Gamma(\lambda+i\tau)} \left(\frac{2}{1-x}\right)^{\frac{2\lambda-1}{4}}$$

$$\Rightarrow Q_{-\frac{1}{2}+i\tau}^{\frac{1-2\lambda}{2}}(x) \approx \frac{\pi \Gamma\left(\frac{2\lambda-1}{4}\right)}{\Gamma(\lambda+i\tau)\Gamma(\lambda-i\tau)\sin(\pi(\lambda-i\tau))} \left(\frac{2}{1-x}\right)^{\frac{2\lambda-1}{4}} \quad x = \cos(\theta) \quad 1-x^2 = \sin^2(\theta)$$

$$(\sin(\theta))^{\frac{1-2\lambda}{2}} Q_{-\frac{1}{2}+i\tau}^{\frac{1-2\lambda}{2}}(\cos(\theta)) \approx \frac{\pi \Gamma\left(\frac{2\lambda-1}{4}\right) 2^{\frac{2\lambda-1}{4}}}{\Gamma(\lambda+i\tau)\Gamma(\lambda-i\tau)\sin(\pi(\lambda-i\tau))} (1-x)^{\frac{1-2\lambda}{4}} (1-x^2)^{\frac{1-2\lambda}{4}}$$

$$\Rightarrow (\sin(\theta))^{\frac{1-2\lambda}{2}} Q_{-\frac{1}{2}+i\tau}^{\frac{1-2\lambda}{2}}(\cos(\theta)) \approx \frac{\pi \Gamma\left(\frac{2\lambda-1}{4}\right) 2^{\frac{2\lambda-1}{4}}}{\Gamma(\lambda+i\tau)\Gamma(\lambda-i\tau)\sin(\pi(\lambda-i\tau))} (1-x)^{\frac{1-2\lambda}{2}} (1+x)^{\frac{1-2\lambda}{4}}$$

$$\Rightarrow \lim_{\theta \rightarrow 0^+} (\sin(\theta))^{\frac{1-2\lambda}{2}} Q_{-\frac{1}{2}+i\tau}^{\frac{1-2\lambda}{2}}(\cos(\theta)) = \lim_{x \rightarrow 1^-} \frac{\pi \Gamma\left(\frac{2\lambda-1}{4}\right) 2^{\frac{2\lambda-1}{4}}}{\Gamma(\lambda+i\tau)\Gamma(\lambda-i\tau)\sin(\pi(\lambda-i\tau))} (1-x)^{\frac{1-2\lambda}{2}} (1+x)^{\frac{1-2\lambda}{4}} = \infty$$

comme $\lambda \geq \frac{1}{2}$

ce qui confirme la non finitude de la seconde solution à angle nul.

Problèmes aux limites de Laplace sur une hypersphère- p-

Revenons à l'exemple inspirée de Lebedev qui est un problème d'électrostatique à n-dimensions : on doit trouver le potentiel électrostatique à l'intérieur d'un cône conducteur gardé au potentiel 0, si l'on place à une distance a de son sommet une charge q. La solution se développe comme suit par décomposition du potentiel en deux fonctions. Nous verrons par la suite que le problème à résoudre est en fait une équation de Poisson (celle dont le terme source représente la charge placée dans l'axe du cône), dont on connaît une solution particulière (le potentiel d'une charge libre dans tout l'espace) qui certes ne répond pas aux conditions aux limites imposées, mais qui ajoutée à la solution de l'équation de Laplace aux conditions aux limites de valeurs opposées sur la surface conique donne bien la solution du problème aux limites de Poisson. Pour cela il vient donc le problème aux limites de Laplace suivant :

$$T(r, \theta) = \frac{q}{(r^2 + a^2 - 2ar \cos(\theta))^\lambda} + U(r, \theta) \quad T(r, \theta)|_{\theta=\theta_0} = 0 \Rightarrow U(r, \theta)|_{\theta=\theta_0} = -\frac{q}{(r^2 + a^2 - 2ar \cos(\theta_0))^\lambda}$$

$$U(r, \theta) = \frac{1}{r^\lambda} \int_0^{+\infty} d\tau (F_c(\tau) \cos(\tau \log(r)) + F_s(\tau) \sin(\tau \log(r))) \frac{P_{\frac{1-2\lambda}{2}}^{\frac{1}{2}+i\tau}(\cos(\theta))}{P_{\frac{1-2\lambda}{2}}^{\frac{1}{2}+i\tau}(\cos(\theta_0))} \frac{(\sin(\theta))^{\frac{1-2\lambda}{2}}}{(\sin(\theta_0))^{\frac{1-2\lambda}{2}}}$$

$$\text{avec } F_c(\tau) = -\frac{q}{\pi} \int_0^{+\infty} dr \left(\frac{r^{\lambda-1} \cos(\tau \log(r))}{(r^2 + a^2 - 2ar \cos(\theta_0))^\lambda} \right) = -\frac{q}{\pi a^\lambda} \int_0^{+\infty} \frac{dr}{r} \left(\frac{r^\lambda \cos(\tau \log(r))}{r^\lambda \left(\frac{r}{a} + \frac{a}{r} - 2\cos(\theta_0) \right)^\lambda} \right)$$

$$\xi = \log(r) \Rightarrow \xi - \log(a) = \log\left(\frac{r}{a}\right) \Rightarrow \frac{r}{a} = e^{\xi - \log(a)} \quad \text{et} \quad \frac{a}{r} = e^{-\xi + \log(a)}$$

$$\frac{r}{a} + \frac{a}{r} = e^{\xi - \log(a)} + e^{-\xi + \log(a)} = 2 \cosh(\xi - \log(a)) \Rightarrow F_c(\tau) = -\frac{q}{\pi a^\lambda} \int_{-\infty}^{+\infty} d\xi \frac{\cos(\tau \xi)}{(2 \cosh(\xi - \log(a)) - 2\cos(\theta_0))^\lambda}$$

$$s = \xi - \log(a) \Rightarrow F_c(\tau) = -\frac{q}{\pi a^\lambda} \int_{-\infty}^{+\infty} ds \frac{\cos(\tau(s + \log(a)))}{(2 \cosh(s) - 2\cos(\theta_0))^\lambda}$$

$$F_c(\tau) = -\frac{q}{\pi a^\lambda} \int_{-\infty}^{+\infty} ds \frac{\cos(\tau s) \cos(\tau \log(a)) - \sin(\tau s) \sin(\tau \log(a))}{(2 \cosh(s) - 2\cos(\theta_0))^\lambda}$$

$$\text{Or } \int_{-\infty}^{+\infty} ds \frac{\sin(\tau s)}{(2 \cosh(s) - 2\cos(\theta_0))^\lambda} = 0 \Leftarrow \sin(\tau s) \text{ impair} \quad \text{et} \quad \int_{-\infty}^{+\infty} ds \frac{\cos(\tau s)}{(2 \cosh(s) - 2\cos(\theta_0))^\lambda} = 2 \int_0^{+\infty} ds \frac{\cos(\tau s)}{(2 \cosh(s) - 2\cos(\theta_0))^\lambda}$$

$$\Rightarrow F_c(\tau) = -\frac{2q \cos(\tau \log(a))}{\pi 2^\lambda a^\lambda} \int_0^{+\infty} ds \frac{\cos(\tau s)}{(\cosh(s) - \cos(\theta_0))^\lambda} = -\frac{2^{1-\lambda} q \cos(\tau \log(a))}{\pi a^\lambda} \int_0^{+\infty} ds \frac{\cos(\tau s)}{(\cosh(s) - \cos(\theta_0))^\lambda}$$

$$\int_0^{+\infty} ds \frac{\cos(\tau s)}{(\cosh(s) - \cos(\theta_0))^\lambda} = \sqrt{\frac{\pi}{2}} \frac{\Gamma(\lambda + i\tau) \Gamma(\lambda - i\tau)}{\Gamma(\lambda)} P_{\frac{1-2\lambda}{2}}^{\frac{1}{2}+i\tau}(-\cos(\theta_0))$$

$$\Rightarrow F_c(\tau) = -\sqrt{\frac{2}{\pi}} \frac{q \cos(\tau \log(a))}{2^\lambda a^\lambda} \frac{\Gamma(\lambda + i\tau) \Gamma(\lambda - i\tau)}{\Gamma(\lambda)} P_{\frac{1-2\lambda}{2}}^{\frac{1}{2}+i\tau}(-\cos(\theta_0))$$

Problèmes aux limites de Laplace sur une hypersphère- p-

De même :

$$F_s(\tau) = -\frac{q}{\pi} \int_0^{+\infty} dr \left(\frac{r^{\lambda-1} \sin(\tau \log(r))}{(r^2 + a^2 - 2ar \cos(\theta_0))^\lambda} \right) \Rightarrow F_s(\tau) = -\sqrt{\frac{2}{\pi}} \frac{q \sin(\tau \log(a)) \Gamma(\lambda + i\tau) \Gamma(\lambda - i\tau)}{2^\lambda a^\lambda \Gamma(\lambda) (\sin(\theta_0))^{\frac{2\lambda-1}{2}}} P^{\frac{1-2\lambda}{2}}_{-\frac{1}{2}+i\tau}(-\cos(\theta_0))$$

La solution du problème est alors donnée par l'intégrale :

$$U(r, \theta) = -\frac{1}{r^\lambda} \sqrt{\frac{2}{\pi}} \frac{q (\sin(\theta))^{\frac{1-2\lambda}{2}}}{2^\lambda a^\lambda \Gamma(\lambda) (\sin(\theta_0))^{\frac{1-2\lambda}{2}}} \int_0^{+\infty} d\tau \left[\frac{\Gamma(\lambda + i\tau) \Gamma(\lambda - i\tau) P^{\frac{1-2\lambda}{2}}_{-\frac{1}{2}+i\tau}(-\cos(\theta_0)) \times \frac{P^{\frac{1-2\lambda}{2}}_{\frac{1}{2}+i\tau}(\cos(\theta))}{P^{\frac{1-2\lambda}{2}}_{-\frac{1}{2}+i\tau}(\cos(\theta_0))} \right. \\ \left. \times \left(\cos(\tau \log(a)) \cos(\tau \log(r)) + \sin(\tau \log(a)) \sin(\tau \log(r)) \right) \right]$$

$$U(r, \theta) = -\frac{1}{r^\lambda} \sqrt{\frac{2}{\pi}} \frac{q (\sin(\theta))^{\frac{1-2\lambda}{2}}}{2^\lambda a^\lambda \Gamma(\lambda) (\sin(\theta_0))^{\frac{1-2\lambda}{2}}} \int_0^{+\infty} d\tau \left[\frac{\Gamma(\lambda + i\tau) \Gamma(\lambda - i\tau) \cos\left(\tau \log\left(\frac{r}{a}\right)\right) \times \frac{P^{\frac{1-2\lambda}{2}}_{\frac{1}{2}+i\tau}(\cos(\theta)) P^{\frac{1-2\lambda}{2}}_{-\frac{1}{2}+i\tau}(-\cos(\theta_0))}{P^{\frac{1-2\lambda}{2}}_{-\frac{1}{2}+i\tau}(\cos(\theta_0))} \right]$$

$$T(r, \theta) = \frac{q}{a^\lambda r^\lambda} \left(\frac{1}{\left(\frac{r}{a} + \frac{a}{r} - 2\cos(\theta)\right)^\lambda} - \sqrt{\frac{2}{\pi}} \frac{(\sin(\theta))^{\frac{1-2\lambda}{2}}}{2^\lambda \Gamma(\lambda) (\sin(\theta_0))^{\frac{1-2\lambda}{2}}} \int_0^{+\infty} d\tau \left[\frac{\Gamma(\lambda + i\tau) \Gamma(\lambda - i\tau) \cos\left(\tau \log\left(\frac{r}{a}\right)\right) \times \frac{P^{\frac{1-2\lambda}{2}}_{\frac{1}{2}+i\tau}(\cos(\theta)) P^{\frac{1-2\lambda}{2}}_{-\frac{1}{2}+i\tau}(-\cos(\theta_0))}{P^{\frac{1-2\lambda}{2}}_{-\frac{1}{2}+i\tau}(\cos(\theta_0))} \right] \right)$$

Intégrale majorée par $\int_0^{+\infty} d\tau \Gamma(\lambda + i\tau) \Gamma(\lambda - i\tau) P^{\frac{1-2\lambda}{2}}_{-\frac{1}{2}+i\tau}(-\cos(\theta_0)) = \sqrt{\frac{\pi}{2}} \frac{\Gamma(\lambda) (\sin(\theta_0))^{\lambda-\frac{1}{2}}}{\left(2\sin^2\left(\frac{\theta_0}{2}\right)\right)^\lambda}$ voir plus bas

$$1 \leq P^{\frac{1-2\lambda}{2}}_{-\frac{1}{2}+i\tau}(\cos(\theta)) \quad 0 \leq \theta \leq \pi \quad P^{\frac{1-2\lambda}{2}}_{-\frac{1}{2}+i\tau}(\cos(\theta)) \leq P^{\frac{1-2\lambda}{2}}_{-\frac{1}{2}+i\tau}(\cos(\theta_0)) \quad 0 \leq \theta \leq \theta_0$$

$$\frac{1}{(\sin(\theta))^{\frac{1-2\lambda}{2}}} \leq \frac{1}{(\sin(\theta_0))^{\frac{1-2\lambda}{2}}} \leq 1 \quad \text{et} \quad \sin(\theta) \leq \sin(\theta_0) \quad 0 \leq \theta \leq \theta_0 \leq \frac{\pi}{2}$$

$$\text{soit } \sqrt{\frac{2}{\pi}} \frac{(\sin(\theta))^{\frac{1-2\lambda}{2}}}{2^\lambda \Gamma(\lambda) (\sin(\theta_0))^{\frac{1-2\lambda}{2}}} \int_0^{+\infty} d\tau \left[\frac{\Gamma(\lambda + i\tau) \Gamma(\lambda - i\tau) \cos\left(\tau \log\left(\frac{r}{a}\right)\right) \times \frac{P^{\frac{1-2\lambda}{2}}_{\frac{1}{2}+i\tau}(\cos(\theta)) P^{\frac{1-2\lambda}{2}}_{-\frac{1}{2}+i\tau}(-\cos(\theta_0))}{P^{\frac{1-2\lambda}{2}}_{-\frac{1}{2}+i\tau}(\cos(\theta_0))} \right] \leq$$

$$\leq \sqrt{\frac{2}{\pi}} \frac{(\sin(\theta))^{\frac{1-2\lambda}{2}}}{2^\lambda \Gamma(\lambda)} \int_0^{+\infty} d\tau \left[\Gamma(\lambda + i\tau) \Gamma(\lambda - i\tau) P^{\frac{1-2\lambda}{2}}_{-\frac{1}{2}+i\tau}(-\cos(\theta_0)) \right] \leq \frac{\left(\frac{\sin(\theta_0)}{\sin(\theta)}\right)^{\frac{2\lambda-1}{2}}}{\left(4\sin^2\left(\frac{\theta_0}{2}\right)\right)^\lambda}$$

Problèmes aux limites de Laplace sur une hypersphère- p-

Dans le calcul précédent et par la suite on utilise les deux représentations intégrales des fonctions associées de Legendre de première espèce :

$$P_v^{-\mu}(x) = \sqrt{\frac{2}{\pi}} \frac{\Gamma\left(\mu + \frac{1}{2}\right)(x^2 - 1)^{\frac{\mu}{2}}}{\Gamma(\nu + \mu + 1)\Gamma(\mu - \nu)} \int_0^{+\infty} dt \frac{\text{Cosh}\left(\left(\nu + \frac{1}{2}\right)t\right)}{(x + \text{Cosh}(t))^{\mu + \frac{1}{2}}} \quad \mu + \nu \neq -1, -2, \dots \text{Re}(\mu - \nu) > 0 \quad x > 1$$

$$P_v^{-\mu}(x) = \sqrt{\frac{2}{\pi}} \frac{\Gamma\left(\mu + \frac{1}{2}\right)(1 - x^2)^{\frac{\mu}{2}}}{\Gamma(\nu + \mu + 1)\Gamma(\mu - \nu)} \int_0^{+\infty} dt \frac{\text{Cosh}\left(\left(\nu + \frac{1}{2}\right)t\right)}{(x + \text{Cosh}(t))^{\mu + \frac{1}{2}}} \quad \mu + \nu \neq -1, -2, \dots \text{Re}(\mu - \nu) > 0 \quad x \in [-1, 1]$$

Prenons $x > 1$ il vient $\nu = -\frac{1}{2} + i\tau$ $\mu = \frac{2\lambda - 1}{2} \Rightarrow \mu - \nu = \frac{2\lambda - 1}{2} + \frac{1}{2} - i\tau = \lambda - i\tau \Rightarrow \text{Re}(\mu - \nu) > 0$

$$\Rightarrow P_{-\frac{1}{2} + i\tau}^{\frac{1-2\lambda}{2}}(x) = \sqrt{\frac{2}{\pi}} \frac{\Gamma(\lambda)(x^2 - 1)^{\frac{2\lambda-1}{4}}}{\Gamma(\lambda + i\tau)\Gamma(\lambda - i\tau)} \int_0^{+\infty} dt \frac{\text{Cosh}(i\tau t)}{(x + \text{Cosh}(t))^\lambda} = \sqrt{\frac{2}{\pi}} \frac{\Gamma(\lambda)(x^2 - 1)^{\frac{2\lambda-1}{4}}}{\Gamma(\lambda + i\tau)\Gamma(\lambda - i\tau)} \int_0^{+\infty} dt \frac{\text{Cos}(\tau t)}{(x + \text{Cosh}(t))^\lambda}$$

$$\Rightarrow \begin{cases} P_{-\frac{1}{2} + i\tau}^{\frac{1-2\lambda}{2}}(x) = \sqrt{\frac{2}{\pi}} \frac{\Gamma(\lambda)(x^2 - 1)^{\frac{2\lambda-1}{4}}}{\Gamma(\lambda + i\tau)\Gamma(\lambda - i\tau)} \int_0^{+\infty} dt \frac{\text{Cos}(\tau t)}{(x + \text{Cosh}(t))^\lambda} & x > 1 \\ P_{-\frac{1}{2} + i\tau}^{\frac{1-2\lambda}{2}}(x) = \sqrt{\frac{2}{\pi}} \frac{\Gamma(\lambda)(1 - x^2)^{\frac{2\lambda-1}{4}}}{\Gamma(\lambda + i\tau)\Gamma(\lambda - i\tau)} \int_0^{+\infty} dt \frac{\text{Cos}(\tau t)}{(x + \text{Cosh}(t))^\lambda} & x \in [-1, 1] \end{cases}$$

Les formules suivantes sont valables pour tous les ordres entiers et demi-entiers négatifs en appliquant une transformée de Fourier et son inverse, d'abord pour les valeurs dans l'intervalle $]1, +\infty)$.

$$\frac{1}{(\text{Cosh}(\alpha) + \text{Cosh}(x))^\lambda} = \frac{2}{\pi} \int_0^{+\infty} d\tau \text{Cos}(\tau x) \int_0^{+\infty} d\theta \frac{\text{Cos}(\tau \theta)}{(\text{Cosh}(\alpha) + \text{Cosh}(\theta))^\lambda}$$

$$\text{Or } P_{-\frac{1}{2} + i\tau}^{\frac{1-2\lambda}{2}}(\text{Cosh}(\alpha)) = \sqrt{\frac{2}{\pi}} \frac{\Gamma(\lambda)(\text{Sinh}(\alpha))^{\frac{2\lambda-1}{2}}}{\Gamma(\lambda + i\tau)\Gamma(\lambda - i\tau)} \int_0^{+\infty} d\theta \frac{\text{Cos}(\tau \theta)}{(\text{Cosh}(\alpha) + \text{Cosh}(\theta))^\lambda}$$

$$\Rightarrow \frac{1}{(\text{Cosh}(\alpha) + \text{Cosh}(x))^\lambda} = \sqrt{\frac{2}{\pi}} \frac{\int_0^{+\infty} d\tau \Gamma(\lambda + i\tau)\Gamma(\lambda - i\tau)\text{Cos}(\tau x) P_{-\frac{1}{2} + i\tau}^{\frac{1-2\lambda}{2}}(\text{Cosh}(\alpha))}{\Gamma(\lambda)(\text{Sinh}(\alpha))^{\frac{2\lambda-1}{2}}}$$

$$x = i(\pi - \beta) \Rightarrow \frac{1}{(\text{Cosh}(\alpha) - \text{Cos}(\beta))^\lambda} = \sqrt{\frac{2}{\pi}} \frac{\int_0^{+\infty} d\tau \Gamma(\lambda + i\tau)\Gamma(\lambda - i\tau)\text{Cosh}(\tau(\pi - \beta)) P_{-\frac{1}{2} + i\tau}^{\frac{1-2\lambda}{2}}(\text{Cosh}(\alpha))}{\Gamma(\lambda)(\text{Sinh}(\alpha))^{\frac{2\lambda-1}{2}}}$$

$$x = i\beta \Rightarrow \frac{1}{(\text{Cosh}(\alpha) + \text{Cos}(\beta))^\lambda} = \sqrt{\frac{2}{\pi}} \frac{\int_0^{+\infty} d\tau \Gamma(\lambda + i\tau)\Gamma(\lambda - i\tau)\text{Cosh}(\tau\beta) P_{-\frac{1}{2} + i\tau}^{\frac{1-2\lambda}{2}}(\text{Cosh}(\alpha))}{\Gamma(\lambda)(\text{Sinh}(\alpha))^{\frac{2\lambda-1}{2}}}$$

Problèmes aux limites de Laplace sur une hypersphère- p-

Puis pour des valeurs dans l'intervalle $(-1, +1]$:

$$\frac{1}{(\cos(\alpha) + \cosh(x))^\lambda} = \frac{2}{\pi} \int_0^{+\infty} d\tau \cos(\tau x) \int_0^{+\infty} d\theta \frac{\cos(\tau \theta)}{(\cos(\alpha) + \cosh(\theta))^\lambda}$$

$$\text{Or } P_{\frac{1}{2}+i\tau}^{\frac{1-2\lambda}{2}}(\cos(\alpha)) = \sqrt{\frac{2}{\pi}} \frac{\Gamma(\lambda)(\sin(\alpha))^{\frac{2\lambda-1}{2}}}{\Gamma(\lambda+i\tau)\Gamma(\lambda-i\tau)} \int_0^{+\infty} dt \frac{\cos(\tau t)}{(\cos(\alpha) + \cosh(t))^\lambda}$$

$$\Rightarrow \frac{1}{(\cos(\alpha) + \cosh(x))^\lambda} = \sqrt{\frac{2}{\pi}} \frac{\int_0^{+\infty} d\tau \Gamma(\lambda+i\tau)\Gamma(\lambda-i\tau)\cos(\tau x) P_{\frac{1}{2}+i\tau}^{\frac{1-2\lambda}{2}}(\cos(\alpha))}{\Gamma(\lambda)(\sin(\alpha))^{\frac{2\lambda-1}{2}}}$$

$$x = i(\pi - \beta) \Rightarrow \frac{1}{(\cos(\alpha) - \cos(\beta))^\lambda} = \sqrt{\frac{2}{\pi}} \frac{\int_0^{+\infty} d\tau \Gamma(\lambda+i\tau)\Gamma(\lambda-i\tau)\cosh(\tau(\pi - \beta)) P_{\frac{1}{2}+i\tau}^{\frac{1-2\lambda}{2}}(\cos(\alpha))}{\Gamma(\lambda)(\sin(\alpha))^{\frac{2\lambda-1}{2}}}$$

$$x = i\beta \Rightarrow \frac{1}{(\cos(\alpha) + \cos(\beta))^\lambda} = \sqrt{\frac{2}{\pi}} \frac{\int_0^{+\infty} d\tau \Gamma(\lambda+i\tau)\Gamma(\lambda-i\tau)\cosh(\tau\beta) P_{\frac{1}{2}+i\tau}^{\frac{1-2\lambda}{2}}(\cos(\alpha))}{\Gamma(\lambda)(\sin(\alpha))^{\frac{2\lambda-1}{2}}}$$

En posant soit $x=0$, soit $\beta=\pi$, il vient :

$$\frac{1}{(\cos(\alpha) + 1)^\lambda} = \sqrt{\frac{2}{\pi}} \frac{\int_0^{+\infty} d\tau \Gamma(\lambda+i\tau)\Gamma(\lambda-i\tau) P_{\frac{1}{2}+i\tau}^m(\cos(\alpha))}{\Gamma(\lambda)(\sin(\alpha))^{\frac{2\lambda-1}{2}}} \quad \text{Comme } \cos(\alpha) + 1 = 2\cos^2\left(\frac{\alpha}{2}\right)$$

$$\Rightarrow \frac{1}{\left(2\cos^2\left(\frac{\alpha}{2}\right)\right)^\lambda} = \sqrt{\frac{2}{\pi}} \frac{\int_0^{+\infty} d\tau \Gamma(\lambda+i\tau)\Gamma(\lambda-i\tau) P_{\frac{1}{2}+i\tau}^m(\cos(\alpha))}{\Gamma(\lambda)(\sin(\alpha))^{\frac{2\lambda-1}{2}}}$$

$$\Rightarrow \int_0^{+\infty} d\tau \Gamma(\lambda+i\tau)\Gamma(\lambda-i\tau) P_{\frac{1}{2}+i\tau}^m(\cos(\alpha)) = \sqrt{\frac{\pi}{2}} \frac{\Gamma(\lambda)(\sin(\alpha))^{\frac{2\lambda-1}{2}}}{\left(2\cos^2\left(\frac{\alpha}{2}\right)\right)^\lambda}$$

$$\alpha = (\pi - \theta_0) \Rightarrow \int_0^{+\infty} d\tau \Gamma(\lambda+i\tau)\Gamma(\lambda-i\tau) P_{\frac{1}{2}+i\tau}^m(-\cos(\theta_0)) = \sqrt{\frac{\pi}{2}} \frac{\Gamma(\lambda)(\sin(\theta_0))^{\frac{2\lambda-1}{2}}}{\left(2\sin^2\left(\frac{\theta_0}{2}\right)\right)^\lambda}$$

$$\alpha = i\theta_0 \Rightarrow \int_0^{+\infty} d\tau \Gamma(\lambda+i\tau)\Gamma(\lambda-i\tau) P_{\frac{1}{2}+i\tau}^m(\cos(\theta_0)) = \sqrt{\frac{\pi}{2}} \frac{\Gamma(\lambda)(\sin(\theta_0))^{\frac{2\lambda-1}{2}}}{\left(2\cos^2\left(\frac{\theta_0}{2}\right)\right)^\lambda}$$

Remarque : l'intégrale majorante se déduit des formules précédentes

Donnons quelques valeurs du produit des fonctions Gamma d'Euler :

$$\Gamma(\lambda+i\tau)\Gamma(\lambda-i\tau) = \begin{cases} \text{Si } m > 0 & \prod_{l=0}^{m-1} \left(\left(\frac{2l+1}{2} \right)^2 + \tau^2 \right) \frac{\pi}{\cosh(\pi\tau)} & m=0 \rightarrow \frac{\pi}{\cosh(\pi\tau)} \quad \text{pour } \lambda = \frac{2m+1}{2} \\ \text{Si } m > 0 & \prod_{l=0}^{m-1} (l^2 + \tau^2) \frac{\pi}{\tau \sinh(\pi\tau)} & m=0 \rightarrow \frac{\pi}{\tau \sinh(\pi\tau)} \quad \text{pour } \lambda = m \end{cases}$$

Remarque sur le respect de la condition sur les fonctions limites : on a vu qu'il peut exister un développement intégral de la solution du problème aux limites si la condition suivante, est respectée :

$f_r(r)$ continue et $f_r(r)$ bornée sur tout interval $[r_1, r_2]$

$$\text{et } \int_0^{+\infty} dr |f_r(r)| r^{\lambda-1} \text{ est finie } f_r(r) = -\frac{q}{(r^2 + a^2 - 2ar \cos(\theta_0))^\lambda} \Rightarrow f_r(r) = \frac{1}{(r^2 + a^2 - 2ar \cos(\theta_0))^\lambda}$$

Nous aurions pu par exemple vérifier que ces propriétés étaient bien respectées dans le problème électrostatique ou de source de chaleur ponctuelle. La fonction limite de la forme suivante respecte par évidence bien les deux premières conditions, il reste à démontrer la finitude de l'intégrale. Et le problème réside essentiellement sur les limites respectives de l'intégration. Il suffit de prouver la finitude de l'intégration d'un coté sur une borne suffisamment grande et de l'autre une borne suffisamment petite pour trouver des encadrements finis.

$$\int_0^{+\infty} dr \frac{|f_r(r)|}{r^\lambda} \Rightarrow \int_b^{+\infty} dr |f_r(r)| r^{\lambda-1} \text{ et } \int_0^c dr |f_r(r)| r^{\lambda-1} \quad c \text{ suffisamment petit} \rightarrow c < a \text{ et } b \text{ suffisamment grand} \rightarrow b > a$$

Pour l'intégrale sur l'intervalle supérieur, il vient :

$$\int_b^{+\infty} dr |f_r(r)| r^{\lambda-1} = \int_b^{+\infty} dr \frac{r^{\lambda-1}}{(r^2 + a^2 - 2ar \cos(\theta_0))^\lambda} \quad \text{avec } \lambda \geq \frac{1}{2}$$

$$b > a \Rightarrow r - a > 0 \quad \theta_0 \in [0, \pi] \rightarrow (r - a)^{2\lambda} \leq (r^2 + a^2 - 2ar \cos(\theta_0))^\lambda \leq (r + a)^{2\lambda}$$

$$\text{Cas } \lambda = \frac{1}{2} \text{ déjà traité} \quad \text{Cas } \lambda = 1 \Rightarrow \int_b^{+\infty} dr \frac{1}{(r^2 + a^2 - 2ar \cos(\theta_0))} \leq \int_b^{+\infty} \frac{dr}{(r - a)^2} = \int_{b-a}^{+\infty} \frac{dr}{r^2} \quad \text{fini}$$

$$\text{Cas } \lambda > 1 \Rightarrow \int_b^{+\infty} dr \frac{r^{\lambda-1}}{(r^2 + a^2 - 2ar \cos(\theta_0))^\lambda} \leq \int_b^{+\infty} dr \frac{r^{\lambda-1}}{(r - a)^{2\lambda}} = \frac{1}{a^\lambda} \int_{b'}^{+\infty} dr \frac{r^{\lambda-1}}{(r - 1)^{2\lambda}}$$

De plus à partir d'une valeur $r = b > 1$ donnée la fonction $\frac{1}{a^\lambda} \frac{r^{\lambda-1}}{(r - 1)^{2\lambda}}$ est

– décroissante en λ pour $\lambda \geq 1$

– décroissante en r pour $\lambda \geq 1$

– quelque soit la valeur de $a > 0$

$$\int_{b'}^{+\infty} dr \frac{1}{a^\lambda} \frac{r^{\lambda-1}}{(r - 1)^{2\lambda}} \leq \int_{b'}^{+\infty} dr \frac{1}{a^{\lambda'}} \frac{r^{\lambda'-1}}{(r - 1)^{2\lambda'}} \text{ pour } \lambda' \leq \lambda \quad \text{la finitude est démontrée}$$

Problèmes aux limites de Laplace sur une hypersphère- p-

Pour l'intégrale inférieure, il vient :

$$\int_0^c dr |f_r(r)| r^{\lambda-1} = \int_0^c dr \frac{r^{\lambda-1}}{(r^2 + a^2 - 2ar \cos(\theta_0))^\lambda} \quad \text{avec } \lambda \geq \frac{1}{2}$$

$$c < a \Rightarrow r - a < 0 \quad \text{et} \quad \theta_0 \in [0, \pi] \rightarrow (a - r)^{2\lambda} \leq (r^2 + a^2 - 2ar \cos(\theta_0))^\lambda \leq (a + r)^{2\lambda}$$

$$\int_0^c dr \frac{r^{\lambda-1}}{(a + r)^{2\lambda}} \leq \int_0^c dr \frac{r^{\lambda-1}}{(r^2 + a^2 - 2ar \cos(\theta_0))^\lambda} \leq \int_0^c dr \frac{r^{\lambda-1}}{(a - r)^{2\lambda}}$$

Cas $\lambda = \frac{1}{2}$ déjà traité

$$\text{Posons } x = \frac{r}{a} \Rightarrow \int_0^c dr \frac{r^{\lambda-1}}{(a - r)^{2\lambda}} = \frac{1}{a^\lambda} \int_0^{c'} \frac{x^{\lambda-1} dx}{(1 - x)^{2\lambda}} \quad x' = \frac{1}{x} \quad \frac{1}{a^\lambda} \int_0^{c'} \frac{x^{\lambda-1} dx}{(1 - x)^{2\lambda}} = \frac{1}{a^\lambda} \int_\infty^{c''} \frac{x'^{\lambda-1} dx'}{(x' - 1)^{2\lambda}}$$

De plus à partir d'une valeur $x' = c'' > 1$ donnée la fonction $\frac{1}{a^\lambda} \frac{x'^{\lambda-1}}{(x' - 1)^{2\lambda}}$

– décroissante en λ pour $\lambda \geq 1$

– décroissante en x' pour $x' \geq 1$

$$\int_\infty^{c''} \frac{1}{a^\lambda} \frac{x'^{\lambda-1} dx'}{(x' - 1)^{2\lambda}} \leq \int_\infty^{c''} \frac{1}{a^{\lambda'}} \frac{x'^{\lambda'-1} dx'}{(x' - 1)^{2\lambda'}} \quad \text{pour } \lambda' \leq \lambda \quad \text{la finitude est démontrée}$$

$$\Rightarrow \int_0^c dr |f_r(r)| r^{\lambda-1} \quad \text{fini}$$

L'intégrale $\int_0^{+\infty} dr |f_r(r)| r^{\lambda-1}$ a donc une valeur finie.

Remarque sur le cas $\theta_0 = \pi/2$: si l'angle d'ouverture du cône est droit, alors le cône forme un hyper-plan de séparation et le problème d'électrostatique est un problème plus connu de charges induites par une charge ponctuelle placée au dessus d'un hyper-plan, que l'on peut par exemple résoudre par la méthode des images électriques à n-dimensions, et dont la solution est le potentiel d'un dipôle, dont la charge opposée est placée symétriquement à l'hyper-plan. Dans ce cas on sait donc que le potentiel a la valeur suivante :

$$T(r, \theta) = \frac{q}{(r^2 + a^2 - 2ar \cos(\theta))^\lambda} - \frac{q}{(r^2 + a^2 + 2ar \cos(\theta))^\lambda}.$$

Revenons à la solution intégrale et calculons sa valeur lorsque $\vartheta_0=\pi/2$, il vient :

$$\theta_0 = \frac{\pi}{2} \Rightarrow \cos(\theta_0) = 0 \quad \frac{P_{\frac{1-2\lambda}{2} + i\tau}(-\cos(\theta_0))}{P_{\frac{1-2\lambda}{2} + i\tau}(\cos(\theta_0))} = \frac{P_{\frac{1-2\lambda}{2} + i\tau}(0)}{P_{\frac{1-2\lambda}{2} + i\tau}(0)} = 1 \quad \sin(\theta_0) = 1$$

$$T(r, \theta) = \frac{q}{a^\lambda r^\lambda} \left[\frac{1}{\left(\frac{r}{a} + \frac{a}{r} - 2 \cos(\theta) \right)^\lambda} - \sqrt{\frac{2}{\pi}} \frac{(\sin(\theta))^{\frac{1-2\lambda}{2}}}{2^\lambda \Gamma(\lambda)} \int_0^{+\infty} d\tau \left[\Gamma(\lambda + i\tau) \Gamma(\lambda - i\tau) \cos\left(\tau \log\left(\frac{r}{a} \right) \right) \times P_{\frac{1-2\lambda}{2} + i\tau}(\cos(\theta)) \right] \right]$$

$$\lambda = \frac{1}{2} \Rightarrow \Gamma\left(\frac{1}{2} + i\tau\right) \Gamma\left(\frac{1}{2} - i\tau\right) = \frac{\pi}{\cosh(\pi\tau)} \Rightarrow$$

$$T(r, \theta) = \frac{q}{\sqrt{r^2 + a^2 - 2ar \cos(\theta)}} - \frac{q}{\sqrt{a} \sqrt{r}} \int_0^{+\infty} \frac{d\tau}{\cosh(\pi\tau)} \cos\left(\tau \log\left(\frac{r}{a} \right) \right) P_{-\frac{1}{2} + i\tau}(\cos(\theta))$$

Il faut donc prouver que :

$$\frac{1}{a^\lambda r^\lambda} \sqrt{\frac{2}{\pi}} \frac{(\sin(\theta))^{\frac{1-2\lambda}{2}}}{2^\lambda \Gamma(\lambda)} \int_0^{+\infty} d\tau \left[\Gamma(\lambda + i\tau) \Gamma(\lambda - i\tau) \cos\left(\tau \log\left(\frac{r}{a} \right) \right) \times P_{\frac{1-2\lambda}{2} + i\tau}(\cos(\theta)) \right] = \frac{1}{(r^2 + a^2 + 2ar \cos(\theta))^\lambda}$$

D'après la formule intégrale, il vient avec le changement de variable ci-dessous :

$$\frac{1}{(\cos(\vartheta) + \cosh(x))^\lambda} = \sqrt{\frac{2}{\pi}} \frac{\int_0^{+\infty} d\tau \Gamma(\lambda + i\tau) \Gamma(\lambda - i\tau) \cos(\tau x) P_{\frac{1-2\lambda}{2} + i\tau}(\cos(\vartheta))}{\Gamma(\lambda) (\sin(\vartheta))^{\frac{2\lambda-1}{2}}}$$

$$\frac{1}{(r^2 + a^2 + 2ar \cos(\theta))^\lambda} = \frac{1}{a^\lambda r^\lambda} \frac{1}{\left(\frac{r}{a} + \frac{a}{r} + 2 \cos(\theta) \right)^\lambda}$$

$$\text{Posons } x = \log\left(\frac{r}{a}\right) \Rightarrow \frac{r}{a} + \frac{a}{r} = 2 \cosh(x)$$

$$\Rightarrow \frac{1}{\left(\frac{r}{a} + \frac{a}{r} + 2 \cos(\theta) \right)^\lambda} = \frac{1}{2^\lambda} \sqrt{\frac{2}{\pi}} \frac{\int_0^{+\infty} d\tau \Gamma(\lambda + i\tau) \Gamma(\lambda - i\tau) \cos\left(\tau \log\left(\frac{r}{a} \right) \right) P_{\frac{1-2\lambda}{2} + i\tau}(\cos(\vartheta))}{\Gamma(\lambda) (\sin(\vartheta))^{\frac{2\lambda-1}{2}}}$$

$$\begin{aligned} \text{Or l'expression s'écrit } & \frac{1}{a^\lambda r^\lambda} \sqrt{\frac{2}{\pi}} \frac{(\sin(\theta))^{\frac{1-2\lambda}{2}}}{2^\lambda \Gamma(\lambda)} \int_0^{+\infty} d\tau \left[\Gamma(\lambda + i\tau) \Gamma(\lambda - i\tau) \cos\left(\tau \log\left(\frac{r}{a} \right) \right) \times P_{\frac{1-2\lambda}{2} + i\tau}(\cos(\theta)) \right] \\ &= \frac{1}{a^\lambda r^\lambda} \frac{1}{\left(\frac{r}{a} + \frac{a}{r} + 2 \cos(\theta) \right)^\lambda} = \frac{1}{(r^2 + a^2 + 2ar \cos(\theta))^\lambda} \quad \text{c.q.f.d} \end{aligned}$$

On retrouve un résultat identique à celui déduit de la méthode des images, c'est donc un bon indice que la formule de Lebedev est juste.

Problèmes aux limites de Laplace sur une hypersphère- p-

Prenons un autre exemple, où la fonction limite est constante sur un support bornée et nulle ailleurs :

$$f_r(r) = \begin{cases} T_0 & \text{si } r \in [0, a] \\ 0 & \text{si } r \in]a, +\infty) \end{cases} \quad \int_0^\infty dr |f_r(r)| r^{\lambda-1} = T_0 \int_0^a dr r^{\lambda-1} = \frac{T_0 \sqrt{a}}{\lambda} \quad \text{finie}$$

Plus généralement toute fonction limite à support bornée $[0, a]$ et également bornée sur cette intervalle convient pour développer une solution intégrale, puisque.

$$|f_r(r)| \leq C \Rightarrow \int_0^\infty dr |f_r(r)| r^{\lambda-1} \leq C \int_0^a dr r^{\lambda-1} = \frac{C \sqrt{a}}{\lambda} \quad \text{finie}$$

Prenons maintenant des conditions aux limites de la forme :

$$f_r(r) = T_0 \begin{cases} r^\beta & \text{sur } [0, r_0] \\ 0 & \text{sur } [r_0, +\infty) \end{cases} \quad \beta \geq 0$$

La condition s'écrit :

$$T_0 \int_0^{r_0} dr r^{\beta+\lambda-1} = \frac{r_0^{\beta+\lambda}}{\beta+\lambda} \quad \text{finie si } \beta > -1/2$$

On peut donc calculer la représentation intégrale :

$$T(r, \theta) = \frac{1}{r^\lambda} \int_0^{+\infty} d\tau (F_c(\tau) \cos(\tau \log(r)) + F_s(\tau) \sin(\tau \log(r))) \frac{P^{\frac{1-2\lambda}{2}}(\cos(\theta))}{P^{\frac{1-2\lambda}{2}}(\cos(\theta_0))} \frac{(\sin(\theta))^{\frac{1-2\lambda}{2}}}{(\sin(\theta_0))^{\frac{1-2\lambda}{2}}}$$

$$\text{avec } F^c(\tau) = \frac{T_0}{\pi} \int_0^{r_0} dr r^{\beta+\lambda-1} \cos(\tau \log(r)) \quad F^s(\tau) = \frac{T_0}{\pi} \int_0^{r_0} dr r^{\beta+\lambda-1} \sin(\tau \log(r))$$

$$C = \int_0^{r_0} dr r^{\beta+\lambda-1} \cos(\tau \log(r)) = \int_{-\infty}^{\xi_0} d\xi e^{(\beta+\lambda)\xi} \cos(\tau \xi) = \frac{e^{(\beta+\lambda)\xi_0} ((\beta+\lambda) \cos(\tau \xi_0) + \tau \sin(\tau \xi_0))}{(\tau^2 + (\beta+\lambda)^2)}$$

$$S = \int_0^{r_0} dr r^{\beta+\lambda-1} \sin(\tau \log(r)) = \int_{-\infty}^{\xi_0} d\xi e^{(\beta+\lambda)\xi} \sin(\tau \xi) = \frac{e^{(\beta+\lambda)\xi_0} ((\beta+\lambda) \sin(\tau \xi_0) - \tau \cos(\tau \xi_0))}{(\tau^2 + (\beta+\lambda)^2)}$$

$$(F^c(\tau) \cos(\tau \log(r)) + F^s(\tau) \sin(\tau \log(r))) = \frac{T_0 r_0^{(\beta+\lambda)}}{\pi} \frac{\left((\beta+\lambda) \cos\left(\tau \log\left(\frac{r}{r_0}\right)\right) - \tau \sin\left(\tau \log\left(\frac{r}{r_0}\right)\right) \right)}{(\tau^2 + (\beta+\lambda)^2)}$$

Il vient la solution sous forme de la représentation intégrale suivante :

$$T(r, \theta) = \frac{T_0 r_0^\beta}{\pi} \left(\frac{r_0}{r}\right)^{\lambda+\infty} \int_0^{+\infty} d\tau \frac{\left((\beta+\lambda) \cos\left(\tau \log\left(\frac{r}{r_0}\right)\right) - \tau \sin\left(\tau \log\left(\frac{r}{r_0}\right)\right) \right)}{(\tau^2 + (\beta+\lambda)^2)} \frac{P^{\frac{1-2\lambda}{2}}(\cos(\theta))}{P^{\frac{1-2\lambda}{2}}(\cos(\theta_0))} \frac{(\sin(\theta))^{\frac{1-2\lambda}{2}}}{(\sin(\theta_0))^{\frac{1-2\lambda}{2}}}$$

Lorsque $\beta=0$, soit des conditions aux limites constantes et à support borné, il vient :

$$T(r, \theta) = \frac{T_0}{\pi} \left(\frac{r_0}{r}\right)^{\lambda+\infty} \int_0^{+\infty} d\tau \frac{\left(\lambda \cos\left(\tau \log\left(\frac{r}{r_0}\right)\right) - \tau \sin\left(\tau \log\left(\frac{r}{r_0}\right)\right) \right)}{(\tau^2 + \lambda^2)} \frac{P^{\frac{1-2\lambda}{2}}(\cos(\theta))}{P^{\frac{1-2\lambda}{2}}(\cos(\theta_0))} \frac{(\sin(\theta))^{\frac{1-2\lambda}{2}}}{(\sin(\theta_0))^{\frac{1-2\lambda}{2}}}$$

Représentation intégrale pour le cas $\vartheta=0$ et $\vartheta_0=\pi/2$

$$\frac{T(r, \theta)}{T_0} = \frac{r_0^\beta}{\pi} \left(\frac{r_0}{r} \right)^{\lambda+\infty} \int_0^\infty d\tau \frac{\left((\beta + \lambda) \cos\left(\tau \log\left(\frac{r}{r_0} \right) \right) - \tau \sin\left(\tau \log\left(\frac{r}{r_0} \right) \right) \right) P_{-\frac{1}{2}+i\tau}^{\frac{1-2\lambda}{2}}(\cos(\theta))}{(\tau^2 + (\beta + \lambda)^2)} \frac{P_{-\frac{1}{2}+i\tau}^{\frac{1-2\lambda}{2}}(0)}{(\sin(\theta))^{\frac{1-2\lambda}{2}}}$$

$$\beta = 0 \rightarrow \frac{T(r, \theta)}{T_0} = \frac{1}{\pi} \left(\frac{r_0}{r} \right)^{\lambda+\infty} \int_0^\infty d\tau \frac{\left(\lambda \cos\left(\tau \log\left(\frac{r}{r_0} \right) \right) - \tau \sin\left(\tau \log\left(\frac{r}{r_0} \right) \right) \right) P_{-\frac{1}{2}+i\tau}^{\frac{1-2\lambda}{2}}(\cos(\theta))}{(\tau^2 + \lambda^2)} \frac{P_{-\frac{1}{2}+i\tau}^{\frac{1-2\lambda}{2}}(0)}{(\sin(\theta))^{\frac{1-2\lambda}{2}}}$$

Sur l'axe z, soit $\vartheta=0$, en prenant en compte la limite à la singularité $\vartheta = 0$:

$$\lim_{\theta \rightarrow 0^+} P_{-\frac{1}{2}+i\tau}^{\frac{1-2\lambda}{2}}(\cos(\theta)) (\sin(\theta))^{\frac{1-2\lambda}{2}} = \begin{cases} \frac{1}{\Gamma\left(\frac{2m+3}{2}\right) 2^{\frac{2m+1}{2}}} & \lambda = m+1 \\ \frac{1}{\Gamma(1+m) 2^m} = \frac{1}{2^m m!} & \lambda = m + \frac{1}{2} \end{cases} = \frac{1}{\Gamma\left(\frac{2\lambda+1}{2}\right) 2^{\frac{2\lambda-1}{2}}}$$

$$\theta = 0 \quad ; \quad \frac{T(r, 0)}{T_0} = \frac{r_0^\beta}{\pi \Gamma\left(\frac{2\lambda+1}{2}\right) 2^{\frac{2\lambda-1}{2}}} \left(\frac{r_0}{r} \right)^{\lambda+\infty} \int_0^\infty d\tau \frac{\left((\beta + \lambda) \cos\left(\tau \log\left(\frac{r}{r_0} \right) \right) - \tau \sin\left(\tau \log\left(\frac{r}{r_0} \right) \right) \right) P_{-\frac{1}{2}+i\tau}^{\frac{1-2\lambda}{2}}(0)}{(\tau^2 + (\beta + \lambda)^2)}$$

$$\beta = 0 \rightarrow \frac{T(r, \theta)}{T_0} = \frac{1}{\pi \Gamma\left(\frac{2\lambda+1}{2}\right) 2^{\frac{2\lambda-1}{2}}} \left(\frac{r_0}{r} \right)^{\lambda+\infty} \int_0^\infty d\tau \frac{\left(\lambda \cos\left(\tau \log\left(\frac{r}{r_0} \right) \right) - \tau \sin\left(\tau \log\left(\frac{r}{r_0} \right) \right) \right) P_{-\frac{1}{2}+i\tau}^{\frac{1-2\lambda}{2}}(0)}{(\tau^2 + \lambda^2)}$$

La valeur de la fonction de Mehler en 0 est donnée par la formule :

$$P_{-\frac{1}{2}+i\tau}^{\frac{1-2\lambda}{2}}(0) = \frac{{}_2F_1\left(\frac{1}{2}-i\tau, \frac{1}{2}+i\tau; \frac{1+2\lambda}{2}; \frac{1}{2}\right)}{\Gamma\left(\frac{1+2\lambda}{2}\right)} = {}_2\tilde{F}_1\left(\frac{1}{2}-i\tau, \frac{1}{2}+i\tau; \frac{1+2\lambda}{2}; \frac{1}{2}\right)$$

$$\Rightarrow \lambda = \frac{1}{2} \rightarrow P_{-\frac{1}{2}+i\tau}^0(0) = \frac{\sqrt{\pi}}{\Gamma\left(\frac{3}{4}-\frac{i\tau}{2}\right) \Gamma\left(\frac{3}{4}+\frac{i\tau}{2}\right)} \quad \lambda = 1 \rightarrow P_{-\frac{1}{2}+i\tau}^{\frac{1}{2}}(0) = \sqrt{\frac{2}{\pi}} \sinh\left(\frac{\pi\tau}{2}\right)$$

$${}_2F_1\left(\frac{1}{2}-i\tau, \frac{1}{2}+i\tau; \frac{1+2\lambda}{2}; \frac{1}{2}\right) = \Gamma\left(\frac{1+2\lambda}{2}\right) \sum_{l=0}^{\infty} \frac{\Gamma\left(l+\frac{1}{2}-i\tau\right) \Gamma\left(l+\frac{1}{2}+i\tau\right)}{2^l l! \Gamma\left(\frac{1}{2}-i\tau\right) \Gamma\left(\frac{1}{2}+i\tau\right) \Gamma\left(\frac{1+2\lambda}{2}+l\right)} =$$

$$= \Gamma\left(\frac{1+2\lambda}{2}\right) \sum_{l=0}^{\infty} \frac{\Gamma\left(l+\frac{1}{2}-i\tau\right) \Gamma\left(l+\frac{1}{2}+i\tau\right) \cosh(\pi\tau)}{\pi 2^l l! \Gamma\left(\frac{1+2\lambda}{2}+l\right)} \Rightarrow P_{-\frac{1}{2}+i\tau}^{\frac{1-2\lambda}{2}}(0) = \sum_{l=0}^{\infty} \frac{\Gamma\left(l+\frac{1}{2}-i\tau\right) \Gamma\left(l+\frac{1}{2}+i\tau\right) \cosh(\pi\tau)}{\pi 2^l l! \Gamma\left(\frac{1+2\lambda}{2}+l\right)}$$

Injectée dans la formule intégrale, il vient :

$$\theta = 0 \quad ; \quad \frac{T(r,0)}{T_0} = \frac{r_0^\beta}{\pi \Gamma\left(\frac{2\lambda+1}{2}\right) 2^{\frac{2\lambda-1}{2}}} \left(\frac{r_0}{r}\right)^{\lambda+\infty} \int_0^\infty d\tau \frac{\left((\beta+\lambda) \cos\left(\tau \log\left(\frac{r}{r_0}\right)\right) - \tau \sin\left(\tau \log\left(\frac{r}{r_0}\right)\right)\right)}{(\tau^2 + (\beta+\lambda)^2) \times {}_2\tilde{F}_1\left(\frac{1}{2}-i\tau, \frac{1}{2}+i\tau; \frac{1+2\lambda}{2}; \frac{1}{2}\right)}$$

$$\beta = 0 \rightarrow \frac{T(r,\theta)}{T_0} = \frac{1}{\pi \Gamma\left(\frac{2\lambda+1}{2}\right) 2^{\frac{2\lambda-1}{2}}} \left(\frac{r_0}{r}\right)^{\lambda+\infty} \int_0^\infty d\tau \frac{\left(\lambda \cos\left(\tau \log\left(\frac{r}{r_0}\right)\right) - \tau \sin\left(\tau \log\left(\frac{r}{r_0}\right)\right)\right)}{(\tau^2 + \lambda^2) \times {}_2\tilde{F}_1\left(\frac{1}{2}-i\tau, \frac{1}{2}+i\tau; \frac{1+2\lambda}{2}; \frac{1}{2}\right)}$$

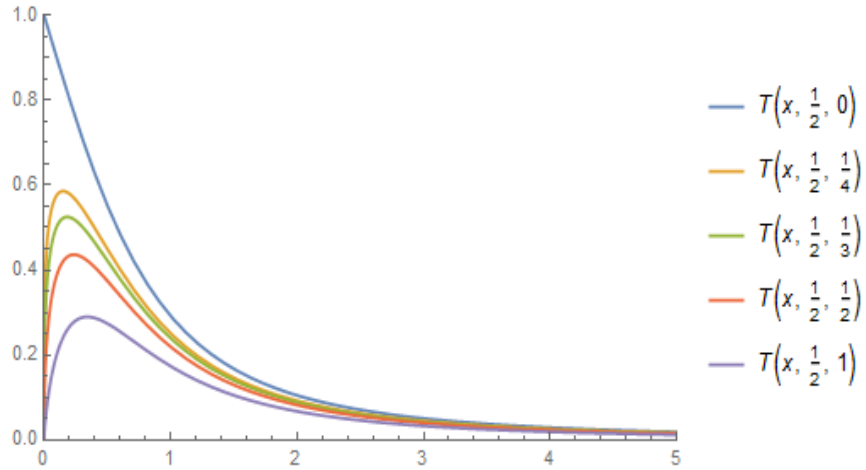
$$\text{Cas particulier } \lambda = \frac{1}{2} \Rightarrow {}_2\tilde{F}_1\left(\frac{1}{2}-i\tau, \frac{1}{2}+i\tau; 1; \frac{1}{2}\right) = \frac{\sqrt{\pi}}{\Gamma\left(\frac{3}{4}-\frac{i\tau}{2}\right)\Gamma\left(\frac{3}{4}+\frac{i\tau}{2}\right)}$$

$$\Rightarrow \frac{T(r,0)}{T_0} = \frac{2}{\pi\sqrt{\pi}} r_0^\beta \sqrt{\frac{r_0}{r}} \int_0^\infty d\tau \frac{\left((2\beta+1) \cos\left(\tau \log\left(\frac{r}{r_0}\right)\right) - 2\tau \sin\left(\tau \log\left(\frac{r}{r_0}\right)\right)\right) \Gamma\left(\frac{3}{4}-\frac{i\tau}{2}\right)\Gamma\left(\frac{3}{4}+\frac{i\tau}{2}\right)}{(4\tau^2 + (2\beta+1)^2)}$$

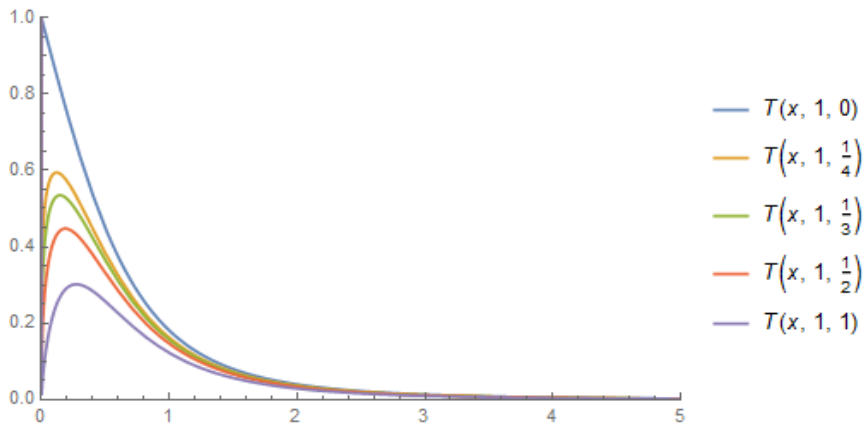
$$\beta = 0 \Rightarrow \frac{T(r,0)}{T_0} = \frac{2}{\pi\sqrt{\pi}} \sqrt{\frac{r_0}{r}} \int_0^\infty d\tau \frac{\left(\cos\left(\tau \log\left(\frac{r}{r_0}\right)\right) - 2\tau \sin\left(\tau \log\left(\frac{r}{r_0}\right)\right)\right) \Gamma\left(\frac{3}{4}-\frac{i\tau}{2}\right)\Gamma\left(\frac{3}{4}+\frac{i\tau}{2}\right)}{(4\tau^2 + 1)}$$

Voici les profils représentés graphiquement, suivant les diverses valeurs du paramètre β et λ :

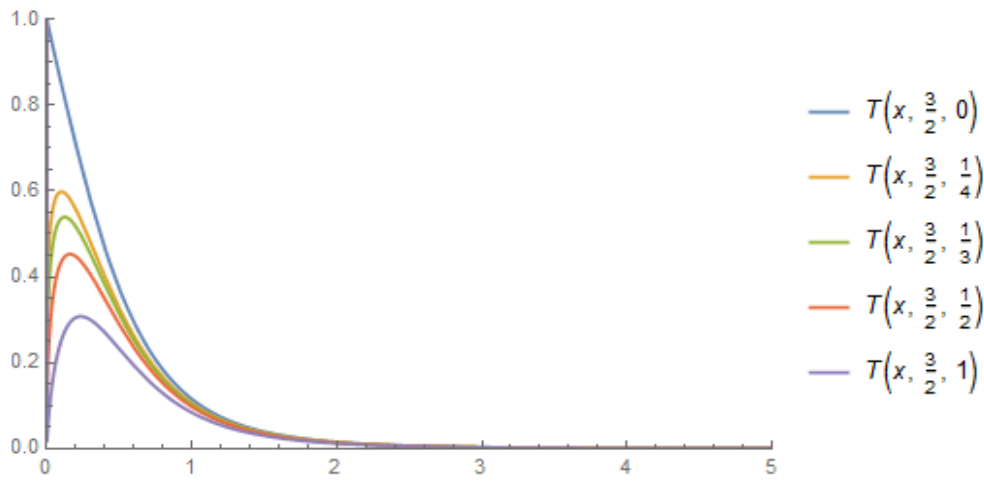
En dimension 3 :



En dimension 4 :



En dimension 5 :



Lien avec d'autres formules, solutions du même problème

Pour un cône ultra-sphérique non borné, dont nous avons également calculé la solution par un développement en série avec ce même type de fonction limite constante, la solution est la suivante :

$$\left\{ \begin{array}{l} \Delta_{r,\theta}^n T(r,\theta) = 0 \quad T(r,\theta) \big|_{\vec{x} \in C_{\Omega_n}} \quad r = \|\vec{x}\| = \sqrt{\sum_{i=1}^n x_i^2} \\ C_{\Omega_n} = \left\{ \vec{x} / x_1 \in [0, \infty[, \sum_{i=2}^n x_i^2 \in \left[0, x_1^2 \left(\frac{\sin(\vartheta_0)}{\cos(\vartheta_0)} \right)^2 \right] \right\} \\ \partial C_{\Omega_n} = \left\{ \vec{x} / x_1 \in [0, \infty[, \sum_{i=2}^n x_i^2 = x_1^2 (\tan(\vartheta_0))^2 \right\} \\ C.L. \quad T(r,\theta) \big|_{r \in [0, r_0]}^{\theta=\theta_0} = T_0 \quad T(r,\theta) \big|_{r \in [r_0, +\infty[}^{\theta=\theta_0} = 0 \\ \lim_{r \rightarrow \infty} T(r,\theta) = 0 \end{array} \right\}$$

$$\Rightarrow T(r,\theta) = \left\{ \begin{array}{l} T_0 \left(1 + \sum_{l \neq 0, +\infty} \frac{1}{v_l \frac{\partial C_{v_l}^\lambda(\mu_0)}{\partial v}} \left(\frac{r}{r_0} \right)^{v_l} C_{v_l}^\lambda(\cos(\theta)) \right) \quad 0 \leq r \leq r_0 \\ -T_0 \sum_{l \neq 0, +\infty} \frac{1}{(v_l + 2\lambda) \frac{\partial C_{v_l}^\lambda(\mu_0)}{\partial v}} \left(\frac{r_0}{r} \right)^{v_l + 2\lambda} C_{v_l}^\lambda(\cos(\theta)) \quad r_0 \leq r < \infty \\ v_l \quad tq \quad C_{v_l}^\lambda(\mu_0) = 0 \quad \mu_0 = \cos(\theta_0) \end{array} \right.$$

Problèmes aux limites de Laplace sur une hypersphère- p-

Dans ce cas les profils de solutions sur l'axe z, avec un angle d'ouverture du cône ultra-sphérique droit (un hyper-plan), suivant le paramètre dimensionnel λ était les suivant :

$$t = \frac{r}{r_0} \quad \frac{T(r, \theta)}{T_0} = F(t, \lambda) \quad \forall \lambda \in \left\{ \frac{1}{2}, 1, \frac{3}{2}, 2, \frac{5}{2}, \dots \right\}, \quad F(t, \lambda) = 1 - \frac{2^{2\lambda-1} (\Gamma(\lambda))^2}{\pi \Gamma(2\lambda)} t \left[\frac{1}{(1+t^2)^\lambda} + (2\lambda-1) {}_2F_1\left(\frac{1}{2}, \lambda; \frac{3}{2}; -t^2\right) \right]$$

$$F\left(t, \lambda = \frac{1}{2}\right) = 1 - \frac{t}{\sqrt{1+t^2}} \quad F(t, \lambda = 1) = 1 - \frac{2}{\pi} \left(\frac{t}{1+t^2} + \text{ArcTan}(t) \right)$$

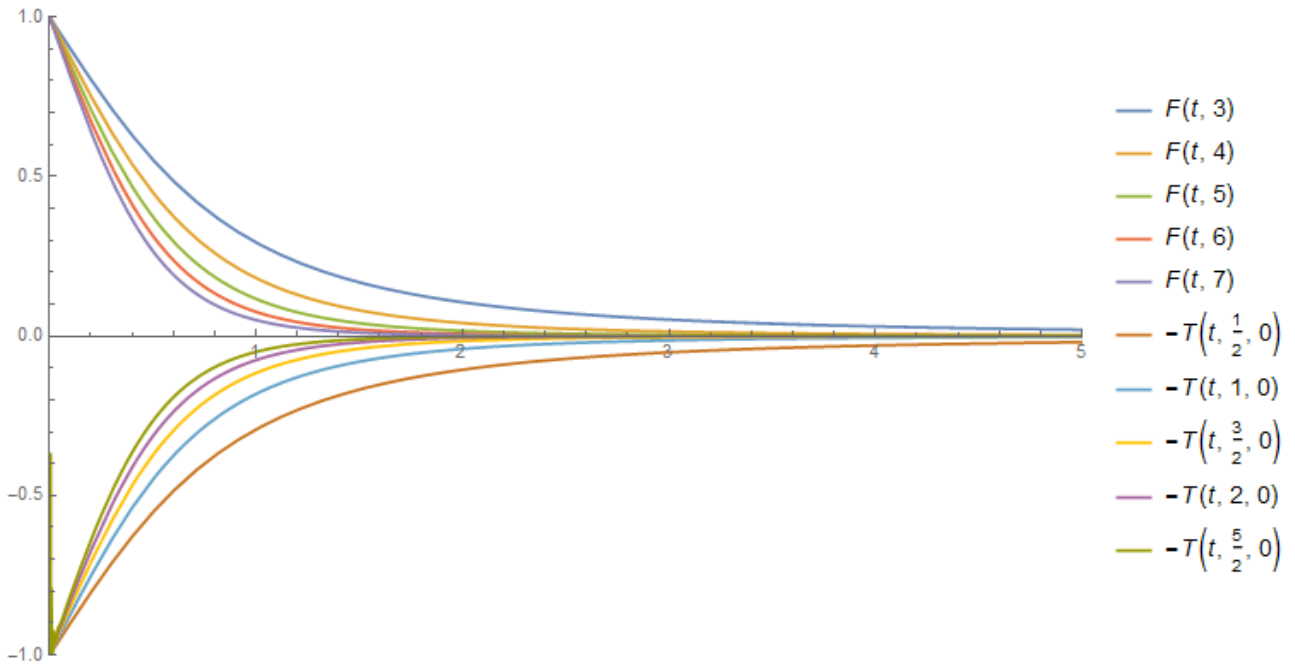
$$F\left(t, \lambda = \frac{3}{2}\right) = 1 - \frac{t(3+2t^2)}{2(1+t^2)^{\frac{3}{2}}} \quad F(t, \lambda = 2) = 1 - \frac{2}{3\pi} \left(\frac{t(5+3t^2)}{(1+t^2)^2} + 3 \text{ArcTan}(t) \right)$$

$$F\left(t, \lambda = \frac{5}{2}\right) = 1 - \frac{t(15+20t^2+8t^4)}{8(1+t^2)^{\frac{5}{2}}}$$

Autant dire qu'il faudrait démontrer que :

$$\frac{1}{\pi \Gamma\left(\frac{2\lambda+1}{2}\right)} 2^{\frac{2\lambda-1}{2}} x^\lambda \int_0^{+\infty} d\tau \frac{(\lambda \cos(\tau \log(x)) - \tau \sin(\tau \log(x)))}{(\tau^2 + \lambda^2)} {}_2\tilde{F}_1\left(\frac{1}{2} - i\tau, \frac{1}{2} + i\tau; \frac{1+2\lambda}{2}; \frac{1}{2}\right) = 1 - \frac{2^{2\lambda-1} (\Gamma(\lambda))^2}{\pi \Gamma(2\lambda)} \left[\frac{x}{(1+x^2)^\lambda} + x(2\lambda-1) {}_2F_1\left(\frac{1}{2}, \lambda; \frac{3}{2}; -x^2\right) \right]$$

Il est clair qu'en calculant numériquement ces intégrales afin d'en représenter le graphe par symétrie, les deux fonctions semblent coïncider numériquement :



Représentation des potentiels sous forme intégrale

Partons de l'expression d'un potentiel classique d'électrostatique, sous forme d'inverse de la distance, ainsi que les puissance d'un tel potentiel :

En coordonnées quelconque par convention $|\mathbf{r}| > |\mathbf{r}'|$

$$|\mathbf{r} - \mathbf{r}'| = \sqrt{\mathbf{r}^2 + \mathbf{r}'^2 - 2|\mathbf{r}||\mathbf{r}'|\cos(\Theta)} = \sqrt{|\mathbf{r}||\mathbf{r}'|} \sqrt{\frac{|\mathbf{r}|}{|\mathbf{r}'|} + \frac{|\mathbf{r}'|}{|\mathbf{r}|} - 2\cos(\Theta)} \quad \Theta \text{ angle entre } \mathbf{r} \text{ et } \mathbf{r}'$$

$$\text{Posons } \frac{|\mathbf{r}|}{|\mathbf{r}'|} = e^\eta > 1 \Rightarrow \frac{|\mathbf{r}|}{|\mathbf{r}'|} + \frac{|\mathbf{r}'|}{|\mathbf{r}|} = 2\cosh(\eta) = 2\beta \quad \eta = \text{Log}\left(\frac{|\mathbf{r}|}{|\mathbf{r}'|}\right)$$

$$\frac{1}{|\mathbf{r} - \mathbf{r}'|} = \frac{1}{\sqrt{2|\mathbf{r}||\mathbf{r}'|}} \frac{1}{\sqrt{\beta - \cos(\Theta - \Theta')}} \quad \frac{1}{|\mathbf{r} - \mathbf{r}'|} = \frac{1}{\sqrt{2|\mathbf{r}||\mathbf{r}'|}} \frac{1}{\sqrt{\cosh(\eta) - \cos(\Theta)}}$$

$$\text{et } \frac{1}{|\mathbf{r} - \mathbf{r}'|^{2\lambda}} = \frac{1}{(2|\mathbf{r}||\mathbf{r}'|)^\lambda} \frac{1}{(\cosh(\eta) - \cos(\Theta))^\lambda}$$

Comme :

$$\frac{1}{(\cosh(\eta) - \cos(\beta))^\lambda} = \sqrt{\frac{2}{\pi}} \frac{\int_0^{+\infty} d\tau \Gamma(\lambda + i\tau) \Gamma(\lambda - i\tau) \cosh(\tau(\pi - \beta)) P_{\frac{1}{2} + i\tau}^{\frac{1-2\lambda}{2}}(\cosh(\eta))}{\Gamma(\lambda) (\sinh(\eta))^{\frac{2\lambda-1}{2}}}$$

Il vient :

$$\frac{1}{|\mathbf{r} - \mathbf{r}'|^{2\lambda}} = \frac{1}{(2|\mathbf{r}||\mathbf{r}'|)^\lambda} \frac{1}{(\cosh(\eta) - \cos(\Theta))^\lambda}$$

$$\frac{1}{(\cosh(\eta) - \cos(\Theta))^\lambda} = \sqrt{\frac{2}{\pi}} \frac{\int_0^{+\infty} d\tau \Gamma(\lambda + i\tau) \Gamma(\lambda - i\tau) \cosh(\tau(\pi - \Theta)) P_{\frac{1}{2} + i\tau}^{\frac{1-2\lambda}{2}}(\cosh(\eta))}{\Gamma(\lambda) (\sinh(\eta))^{\frac{2\lambda-1}{2}}}$$

$$\frac{1}{|\mathbf{r} - \mathbf{r}'|^{2\lambda}} = \frac{1}{(2|\mathbf{r}||\mathbf{r}'|)^\lambda} \sqrt{\frac{2}{\pi}} \frac{\int_0^{+\infty} d\tau \Gamma(\lambda + i\tau) \Gamma(\lambda - i\tau) \cosh(\tau(\pi - \Theta)) P_{\frac{1}{2} + i\tau}^{\frac{1-2\lambda}{2}}(\cosh(\eta))}{\Gamma(\lambda) (\sinh(\eta))^{\frac{2\lambda-1}{2}}}$$

$$\Gamma\left(\frac{1}{2} + i\tau\right) \Gamma\left(\frac{1}{2} - i\tau\right) = \frac{\pi}{\cosh(\tau \pi)}$$

$$\lambda = \frac{1}{2} \Rightarrow \frac{1}{|\mathbf{r} - \mathbf{r}'|} = \frac{1}{\sqrt{|\mathbf{r}||\mathbf{r}'|}} \int_0^{+\infty} d\tau \frac{\cosh(\tau(\pi - \Theta))}{\cosh(\tau \pi)} P_{\frac{1}{2} + i\tau}(\cosh(\eta))$$

$$\text{sachant que } \eta = \text{Log}\left(\frac{|\mathbf{r}|}{|\mathbf{r}'|}\right) \quad \cosh(\eta) = \frac{1}{2} \left(\frac{|\mathbf{r}|}{|\mathbf{r}'|} + \frac{|\mathbf{r}'|}{|\mathbf{r}|} \right)$$

Quelques considérations sur les dérivées des fonctions de Gegenbauer et Legendre de première espèce par rapport à son degré. Valeurs de la dérivée aux degrés entiers pour des ordres entiers et demi-entiers

Dérivées premières par rapport au degré, fonctions de Legendre de degré quelconque

Il existe une formule appelée formule de Bromwich, du nom de son découvreur, portant sur la dérivée première des fonctions de Legendre de première, selon son degré lorsqu'il est entier, soit dériver formellement, selon le degré, les polynômes de Legendre :

$$\left. \frac{\partial P_\lambda(z)}{\partial \lambda} \right|_{\lambda=n} = P_n(z) \operatorname{Log} \left(\frac{z+1}{2} \right) + R_n(z)$$

$R_n(z)$ appelé polynome de Bromwich de degré n

Cette formule est valable uniquement pour les degrés entiers. Mais d'autres formules sont également possibles pour déterminer la dérivée paramétrique à toute valeur degré entier ou réel. Ces dernières sont d'ailleurs plus commode à utiliser pour les degrés non entiers :

$$\text{Formule 1} \Rightarrow \frac{\partial P_\nu(z)}{\partial \nu} = \pi \frac{\cos(\pi \nu)}{\sin(\pi \nu)} P_\nu(z) - \sum_{k=0}^{+\infty} \frac{(-\nu)_k (\nu+1)_k}{(k!)^2} (\psi(k-\nu) - \psi(k+\nu+1)) \left(\frac{1-z}{2} \right)^k$$

$$\forall \nu >_k 0 \in \mathbb{R}, \nu \notin \mathbb{Z} \quad \text{tel que} \quad \left| \frac{1-z}{2} \right| < 1$$

$$\text{Formule 2} \Rightarrow \frac{\partial P_\nu(z)}{\partial \nu} = \sum_{k=0}^{+\infty} \frac{1}{(k!)^2} \left(\frac{1-z}{2} \right)^k \sum_{j=1}^{j=k} S_k^{(j)} \nu^j \sum_{r=1}^{r=k} (-1)^r S_k^{(k)} \left(\frac{j}{\nu} + \frac{r}{\nu+1} \right) (\nu+1)^r$$

$$\forall \nu > 0 \in \mathbb{R} \quad \text{tel que} \quad \left| \frac{1-z}{2} \right| < 1$$

où

$$(\alpha)_k \text{ est le symbole de Pochhammer} \quad (\alpha)_k = \alpha (\alpha+1) \cdots (\alpha+k-1) = \frac{\Gamma(\alpha+k)}{\Gamma(\alpha)}$$

$\Gamma(l)$ fonction Gamma

$$\psi(\alpha) \text{ fonction Digamma dérivée logarithmique de la fonction Gamma ; } \psi(\alpha) = \frac{\Gamma'(\alpha)}{\Gamma(\alpha)}$$

$S_k^{(j)}$ nombre de Stirling de première espèce

D'autres formules sont possibles (voir Radoslaw-Szmytkowski-On the derivative of the Legendre function of the first kind with respect to its degree 2009), notamment celle de forme la plus simple :

Problèmes aux limites de Laplace sur une hypersphère- p-

$$\text{Formule 3} \Rightarrow \frac{\partial P_v(z)}{\partial v} = \sum_{k=0}^{k=\infty} \frac{(-v)_k (v+1)_k}{(k!)^2} (\psi(k+v+1) - \psi(v-k+1)) \left(\frac{1-z}{2}\right)^k$$

la sommation peut partir de $k=1$ également $\forall v >_k 0 \in \mathbb{R}, v \notin \mathbb{Z}$ tel que $\left|\frac{1-z}{2}\right| < 1$

où

$$(\alpha)_k \text{ est le symbole de Pochhammer } (\alpha)_k = \alpha (\alpha+1) \cdots (\alpha+k-1) = \frac{\Gamma(\alpha+k)}{\Gamma(\alpha)}$$

$\Gamma(l)$ fonction Gamma

$$\psi(\alpha) \text{ fonction Digamma dérivée logarithmique de la fonction Gamma ; } \psi(\alpha) = \frac{\Gamma'(\alpha)}{\Gamma(\alpha)}$$

$S_k^{(j)}$ nombre de Stirling de première espèce

Les formules (1) à (3) proviennent de la dérivation terme à terme de la représentation en série hypergéométrique de Gauss de la fonction de Legendre de première espèce :

$$P_v(z) = \sum_{k=0}^{k=\infty} \frac{(-v)_k (v+1)_k}{(k!)^2} \left(\frac{1-z}{2}\right)^k = {}_2F_1\left(-v, v+1; 1; \frac{1-z}{2}\right)$$

$$\forall v >_k 0 \in \mathbb{R}, v \notin \mathbb{Z} \text{ tel que } \left|\frac{1-z}{2}\right| < 1$$

où

$$(\alpha)_k \text{ est le symbole de Pochhammer } (\alpha)_k = \alpha (\alpha+1) \cdots (\alpha+k-1) = \frac{\Gamma(\alpha+k)}{\Gamma(\alpha)}$$

$\Gamma(\alpha)$ fonction Gamma

Sachant que la dérivée du symbole de Pochhammer est la suivante :

$$\begin{aligned} (\alpha)_k &= \frac{\Gamma(\alpha+k)}{\Gamma(\alpha)} \Rightarrow \frac{d(\alpha)_k}{d\alpha} = \frac{\Gamma'(\alpha+k)\Gamma(\alpha) - \Gamma(\alpha+k)\Gamma'(\alpha)}{\Gamma(\alpha)^2} = \frac{\Gamma'(\alpha+k)}{\Gamma(\alpha+k)\Gamma(\alpha)} \frac{\Gamma(\alpha+k)}{\Gamma(\alpha)} - \frac{\Gamma(\alpha+k)}{\Gamma(\alpha)} \frac{\Gamma'(\alpha)}{\Gamma(\alpha)} \\ &\Rightarrow \frac{d(\alpha)_k}{d\alpha} = (\alpha)_k [\psi(\alpha+k) - \psi(\alpha)] \end{aligned}$$

$$(\alpha)_k \text{ est le symbole de Pochhammer } (\alpha)_k = \alpha (\alpha+1) \cdots (\alpha+k-1) = \frac{\Gamma(\alpha+k)}{\Gamma(\alpha)}$$

$\Gamma(\alpha)$ fonction Gamma

$$\psi(\alpha) \text{ fonction Digamma dérivée logarithmique de la fonction Gamma ; } \psi(\alpha) = \frac{\Gamma'(\alpha)}{\Gamma(\alpha)}$$

Démonstration des formules 1 et 3 :

Problèmes aux limites de Laplace sur une hypersphère- p-

Sachant que $P_v(z) = \sum_{k=0}^{k=\infty} \frac{(-v)_k (v+1)_k}{(k!)^2} \left(\frac{1-z}{2}\right)^k$ tel que $\left|\frac{1-z}{2}\right| < 1$

Dérivation terme à terme

$$\begin{aligned}
 \text{Formule 3} \Rightarrow \frac{\partial P_v(z)}{\partial v} &= \sum_{k=1}^{k=\infty} \frac{(-v)_k (v+1)_k}{(k!)^2} (\psi(k+v+1) - \psi(k-v) + \psi(-v) - \psi(v+1)) \left(\frac{1-z}{2}\right)^k \\
 &= \sum_{k=1}^{k=\infty} \frac{(-v)_k (v+1)_k}{(k!)^2} (\psi(k+v+1) - \psi(k-v)) \left(\frac{1-z}{2}\right)^k + (\psi(-v) - \psi(v+1)) \sum_{k=1}^{k=\infty} \frac{(-v)_k (v+1)_k}{(k!)^2} \left(\frac{1-z}{2}\right)^k + \\
 &\quad (\psi(v+1) - \psi(-v)) - (\psi(-v) - \psi(v+1)) \\
 &= \sum_{k=0}^{k=\infty} \frac{(-v)_k (v+1)_k}{(k!)^2} (\psi(k+v+1) - \psi(k-v)) \left(\frac{1-z}{2}\right)^k + (\psi(-v) - \psi(v+1)) \sum_{k=0}^{k=\infty} \frac{(-v)_k (v+1)_k}{(k!)^2} \left(\frac{1-z}{2}\right)^k \\
 &= \sum_{k=1}^{k=\infty} \frac{(-v)_k (v+1)_k}{(k!)^2} (\psi(k+v+1) - \psi(k-v)) \left(\frac{1-z}{2}\right)^k + (\psi(-v) - \psi(v+1)) P_v(z) \\
 &= (\psi(-v) - \psi(v+1)) P_v(z) - \sum_{k=0}^{k=\infty} \frac{(-v)_k (v+1)_k}{(k!)^2} (\psi(k-v) - \psi(k+v+1)) \left(\frac{1-z}{2}\right)^k
 \end{aligned}$$

Comme $\psi(-v) - \psi(v+1) = \pi \frac{\cos(\pi v)}{\sin(\pi v)}$ formule de réflexion de la fonction Psi ou Digamma

$$\text{il vient la formule (1)} \Rightarrow \frac{\partial P_v(z)}{\partial v} = \pi \frac{\cos(\pi v)}{\sin(\pi v)} P_v(z) - \sum_{k=0}^{k=\infty} \frac{(-v)_k (v+1)_k}{(k!)^2} (\psi(k-v) - \psi(k+v+1)) \left(\frac{1-z}{2}\right)^k$$

Problèmes aux limites de Laplace sur une hypersphère- p-

Par une simple manipulation on retrouve la formule (3) dans sa plus simple expression

En retravaillant la formule (3), puisque : $-\psi(v+1) + \psi(-v) - \psi(k-v) = -\psi(v-k+1)$ il vient

$$\text{Formule 3} \Rightarrow \frac{\partial P_v(z)}{\partial v} = \sum_{k=0}^{k=\infty} \frac{(-v)_k (v+1)_k}{(k!)^2} (\psi(k+v+1) - \psi(v-k+1)) \left(\frac{1-z}{2}\right)^k$$

Dérivées premières par rapport au degré, fonctions de Legendre de degré entier

Des formules existent également permettant de calculer plus précisément les dérivées paramétriques des fonctions de Legendre de degré entiers, ainsi que les polynômes de Bromwich (voir Radosław Szmytkowski, On the derivative of the Legendre function of the first kind with respect to its degree, 2005), à savoir :

$$\left. \frac{\partial P_\lambda(z)}{\partial \lambda} \right|_{\lambda=n} = P_n(z) \text{Log} \left(\frac{z+1}{2} \right) + R_n(z)$$

$R_n(z)$ appelé polynome de Bromwich de degré n

Plusieurs formes pour $R_n(z)$

$$(1) R_n(z) = \sum_{k=1}^{k=n} \frac{1}{k} [P_k(z) - P_{k-1}(z)] P_{n-k}(z)$$

$$(2) R_n(z) = 2 \sum_{k=0}^{k=n-1} (-1)^{n+k} \frac{2k+1}{(n-k)(n+k+1)} [P_k(z) - P_n(z)]$$

$$(2') R_n(z) = 2 \sum_{k=1}^{k=n} (-1)^{n+k-1} \frac{2k-1}{(n-k+1)(n+k)} [P_{k-1}(z) - P_n(z)]$$

$$(3) R_n(z) = 2 \sum_{k=1}^{k=n} \frac{(n+k)!}{(k!)^2 (n-k)!} [\psi(n+k+1) - \psi(n+1)] \left(\frac{z-1}{2}\right)^k$$

$$(4) R_n(z) = 2(\psi(2n+1) - \psi(n+1)) P_n(z) + 2 \sum_{k=1}^{k=n} (-1)^{n+k} \frac{2k+1}{(n-k)(n+k+1)} P_k(z)$$

$$(5) R_n(z) = 2 \sum_{k=0}^{k=n} (-1)^{n+k} \frac{(n+k)!}{(k!)^2 (n-k)!} [\psi(n+k+1) - \psi(k+1)] \left(\frac{z+1}{2}\right)^k$$

$\Gamma(l)$ fonction Gamma

$\psi(\alpha)$ fonction Digamma dérivée logarithmique de la fonction Gamma ; $\psi(\alpha) = \frac{\Gamma'(\alpha)}{\Gamma(\alpha)}$

Dérivées paramétriques des polynômes de Gegenbauer d'ordre demi-entier

Expression formelle des dérivées paramétriques selon le degré pour les fonctions/polynômes de Gegenbauer, valeur au degré 0

L'idée est de se placer sur une généralisation des polynômes de Legendre que sont les polynômes ultra-sphériques de Gegenbauer :

$$C_\nu^\lambda(z) = \frac{\Gamma(\nu+2\lambda)}{\Gamma(\nu+1)\Gamma(2\lambda)} {}_2F_1\left(-\nu, \nu+2\lambda; \lambda + \frac{1}{2}; \frac{1-z}{2}\right) = \frac{\Gamma(\nu+2\lambda)}{\Gamma(\nu+1)\Gamma(2\lambda)} \sum_{k=0}^{k=\infty} \frac{(-\nu)_k (\nu+2\lambda)_k}{\left(\lambda + \frac{1}{2}\right)_k (k!)} \left(\frac{1-z}{2}\right)^k$$

Dérivation terme à terme \Rightarrow

$$\begin{aligned} \frac{\partial C_\nu^\lambda(z)}{\partial \nu} &= \frac{\Gamma(\nu+2\lambda)}{\Gamma(\nu+1)\Gamma(2\lambda)} \sum_{k=1}^{k=\infty} \frac{(-\nu)_k (\nu+2\lambda)_k}{\left(\lambda + \frac{1}{2}\right)_k (k!)} (\psi(k+\nu+2\lambda) - \psi(\nu+2\lambda) + \psi(-\nu) - \psi(k-\nu)) \left(\frac{1-z}{2}\right)^k + \\ &+ \frac{\Gamma(\nu+2\lambda)}{\Gamma(2\lambda)\Gamma(\nu+1)} \{\psi(\nu+2\lambda) - \psi(\nu+1)\} \sum_{k=0}^{k=\infty} \frac{(-\nu)_k (\nu+2\lambda)_k}{\left(\lambda + \frac{1}{2}\right)_k (k!)} \left(\frac{1-z}{2}\right)^k \end{aligned}$$

De plus $\psi(-\nu) - \psi(k-\nu) = \psi(\nu+1) - \psi(\nu-k+1) \Rightarrow$

$$\frac{\partial C_\nu^\lambda(z)}{\partial \nu} = \left\{ \begin{aligned} &\{\psi(\nu+2\lambda) - \psi(\nu+1)\} C_\nu^\lambda(z) + \\ &+ \frac{1}{\Gamma(\nu+1)\Gamma(2\lambda)\Gamma(-\nu)} \sum_{k=1}^{k=\infty} \left[\frac{\Gamma(k-\nu)\Gamma(\nu+2\lambda+k)\Gamma\left(\lambda + \frac{1}{2}\right)}{\Gamma\left(\lambda + \frac{1}{2} + k\right)(k!)} \times \right. \\ &\quad \left. \times (\psi(k+\nu+2\lambda) - \psi(\nu+2\lambda) + \psi(\nu+1) - \psi(\nu-k+1)) \left(\frac{1-z}{2}\right)^k \right] \end{aligned} \right\}$$

La formule précédente n'est pas commode à utiliser lorsque les degrés sont des entiers. Elle n'est d'ailleurs pas définie car les fonctions Gamma divergent aux pôles de l'expression.

Problèmes aux limites de Laplace sur une hypersphère- p-

Il se trouve que les termes de la série se présente sous une forme indéterminée lorsque le paramètre est nul, mais qu'un passage à la limite est tout de même possible et la valeur de la dérivée se simplifie comme ceci :

Partant de

$$\frac{\partial C_v^\lambda(z)}{\partial v} = \left\{ \begin{aligned} & \{\psi(v+2\lambda) - \psi(v+1)\} C_v^\lambda(z) + \\ & + \frac{1}{\Gamma(v+1)\Gamma(2\lambda)\Gamma(-v)} \sum_{k=1}^{k=\infty} \left[\frac{\Gamma(k-v)\Gamma(v+2\lambda+k)\Gamma\left(\lambda+\frac{1}{2}\right)}{\Gamma\left(\lambda+\frac{1}{2}+k\right)(k!)} \times \right. \\ & \left. \times (\psi(k+v+2\lambda) - \psi(v+2\lambda) + \psi(v+1) - \psi(v-k+1)) \left(\frac{1-z}{2}\right)^k \right] \end{aligned} \right\}$$

$$\left. \frac{\partial C_v^\lambda(z)}{\partial v} \right|_{v=0} = \{\psi(2\lambda) - \psi(1)\} C_v^\lambda(z) - \frac{\Gamma\left(\lambda+\frac{1}{2}\right)}{\Gamma(2\lambda)} \lim_{v \rightarrow 0} \sum_{k=1}^{k=\infty} \left[\frac{\Gamma(k)\Gamma(2\lambda+k)}{\Gamma\left(\lambda+\frac{1}{2}+k\right)k!} \frac{\psi(v-k+1)}{\Gamma(-v)} \right] \left(\frac{1-z}{2}\right)^k$$

forme indéterminée $\lim_{v \rightarrow 0} \frac{\psi(v-k+1)}{\Gamma(-v)} = \lim_{v \rightarrow 0} \frac{-\frac{1}{v}}{-\frac{1}{v}} = 1$

$$\Rightarrow \left. \frac{\partial C_v^\lambda(z)}{\partial v} \right|_{v=0} = \{\psi(2\lambda) - \psi(1)\} C_0^\lambda(z) - \frac{\Gamma\left(\lambda+\frac{1}{2}\right)}{\Gamma(2\lambda)} \sum_{k=1}^{k=\infty} \frac{\Gamma(2\lambda+k)}{k \Gamma\left(\lambda+\frac{1}{2}+k\right)} \left(\frac{1-z}{2}\right)^k \quad C_0^\lambda(z) = 1$$

$$\Rightarrow \left. \frac{\partial C_v^\lambda(z)}{\partial v} \right|_{v=0} = \{\psi(2\lambda) - \psi(1)\} - \frac{\Gamma\left(\lambda+\frac{1}{2}\right)}{\Gamma(2\lambda)} \sum_{k=1}^{k=\infty} \frac{\Gamma(2\lambda+k)}{k \Gamma\left(\lambda+\frac{1}{2}+k\right)} \left(\frac{1-z}{2}\right)^k$$

.

Ce qui donne pour le cas à trois dimensions la formule pour le polynôme de Legendre :

$$\lambda = \frac{1}{2} \Rightarrow \frac{\partial P_v(z)}{\partial v} \Big|_{v=0} = - \sum_{k=1}^{k=\infty} \frac{1}{k} \left(\frac{1-z}{2} \right)^k \quad \text{or} \quad \sum_{k=1}^{k=\infty} \frac{1}{k} \left(\frac{1-z}{2} \right)^k = -\text{Log} \left(\frac{1+z}{2} \right)$$

$$\frac{\partial P_v(z)}{\partial v} \Big|_{v=0} = \text{Log} \left(\frac{1+z}{2} \right)$$

Voyons maintenant les cas où $\lambda=3/2$ et $\lambda=5/2$:

$$\lambda = \frac{3}{2} \Rightarrow \frac{\partial C_v^{\frac{3}{2}}(z)}{\partial v} \Big|_{v=0} = \{\psi(2\lambda) - \psi(1)\} + -\frac{1}{2} \sum_{k=1}^{k=\infty} \frac{(2+k)}{k} \left(\frac{1-z}{2} \right)^k \quad \psi(z+n) - \psi(z) = \sum_{l=0}^{l=n-1} \frac{1}{z+l}$$

$$= \{\psi(3) - \psi(1)\} + -\frac{1}{2} \left(2 \sum_{k=1}^{k=\infty} \frac{1}{k} \left(\frac{1-z}{2} \right)^k + \sum_{k=1}^{k=\infty} \left(\frac{1-z}{2} \right)^k \right) \quad \psi(3) - \psi(1) = \psi(1+2) - \psi(1) = 1 + \frac{1}{2} = \frac{3}{2}$$

$$\sum_{k=1}^{k=\infty} \frac{1}{k} \left(\frac{1-z}{2} \right)^k = -\text{Log} \left(\frac{1+z}{2} \right) \quad \sum_{k=1}^{k=\infty} \left(\frac{1-z}{2} \right)^k = \frac{1 - \left(1 - \frac{1-z}{2} \right)}{1 - \frac{1-z}{2}} = \frac{1-z}{1+z}$$

$$\sum_{k=1}^{k=\infty} \frac{k}{2} \left(\frac{1-z}{2} \right)^{k-1} = -\frac{d}{dz} \left(\sum_{k=1}^{k=\infty} \left(\frac{1-z}{2} \right)^k \right) = -\frac{d}{dz} \left(\frac{1-z}{1+z} \right) = \frac{2}{(1+z)^2}$$

$$\lambda = \frac{3}{2} \Rightarrow \frac{\partial C_v^{\frac{3}{2}}(z)}{\partial v} \Big|_{v=0} = \text{Log} \left(\frac{1+z}{2} \right) - \frac{1}{2} \left(\frac{1-z}{1+z} \right) + \frac{3}{2} = \text{Log} \left(\frac{1+z}{2} \right) + \frac{(1+2z)}{(1+z)}$$

$$\lambda = \frac{5}{2} \Rightarrow \frac{\partial C_v^{\frac{5}{2}}(z)}{\partial v} \Big|_{v=0} = \psi(5) - \psi(1) - \frac{\Gamma(3)}{\Gamma(5)} \sum_{k=1}^{k=\infty} \frac{\Gamma(5+k)}{k \Gamma(3+k)} \left(\frac{1-z}{2} \right)^k = \psi(5) - \psi(1) - \frac{1}{12} \sum_{k=1}^{k=\infty} \frac{(4+k)(3+k)}{k} \left(\frac{1-z}{2} \right)^k$$

$$\psi(5) - \psi(1) = 1 + \frac{1}{2} + \frac{1}{3} + \frac{1}{4} = \frac{12+6+4+3}{12} = \frac{25}{12}$$

$$\frac{\partial C_v^{\frac{5}{2}}(z)}{\partial v} \Big|_{v=0} = \frac{25}{12} - \frac{1}{12} \left[\sum_{k=1}^{k=\infty} \frac{12}{k} \left(\frac{1-z}{2} \right)^k + 7 \sum_{k=1}^{k=\infty} \left(\frac{1-z}{2} \right)^k + (1-z) \sum_{k=1}^{k=\infty} \frac{k}{2} \left(\frac{1-z}{2} \right)^{k-1} \right]$$

$$\Rightarrow \frac{\partial C_v^{\frac{5}{2}}(z)}{\partial v} \Big|_{v=0} = \text{Log} \left(\frac{1+z}{2} \right) + \frac{25}{12} - \frac{7}{12} \left(\frac{1-z}{1+z} \right) - \frac{2(1-z)}{12(1+z)^2} = \text{Log} \left(\frac{1+z}{2} \right) + \frac{25}{12} - \frac{(1-z)(9+7z)}{12(1+z)^2}$$

$$\Rightarrow \frac{\partial C_v^{\frac{5}{2}}(z)}{\partial v} \Big|_{v=0} = \text{Log} \left(\frac{1+z}{2} \right) + \frac{\{4+13z+8z^2\}}{3(1+z)^2}$$

.

Problèmes aux limites de Laplace sur une hypersphère- p-

Le cas où $\lambda=(2p+1)/2$:

$$\lambda = \frac{2p+1}{2} \Rightarrow \left. \frac{\partial C_{\nu}^{\frac{2p+1}{2}}(z)}{\partial \nu} \right|_{\nu=0} = \{\psi(2p+1) - \psi(1)\} - \frac{p!}{(2p)!} \sum_{k=1}^{\infty} \frac{(2p+k)!}{k(p+k)!} \left(\frac{1-z}{2}\right)^k$$

$$\psi(1+2p) - \psi(1) = \sum_{l=0}^{l=2p-1} \frac{1}{l+1} = \sum_{l'=1}^{l'=2p} \frac{1}{l'} = H_{2p} \quad H_{2p} \text{ nombre harmonique}$$

$$\text{Nombres harmoniques} \quad H_1 = 1 \quad H_2 = \frac{3}{2} \quad H_4 = \frac{25}{12} \quad H_6 = \frac{49}{20} \quad H_8 = \frac{761}{280}$$

$$\frac{(2p+k)!}{(p+k)!} = \underbrace{(2p-0+k)(2p-1+k)\cdots(2p-(p-1)+k)}_{p \text{ fois}}$$

$$\frac{d^p}{dz^p} \left(\sum_{k=1}^{\infty} \frac{1}{k} \left(\frac{1-z}{2}\right)^{2p+k} \right) = \sum_{k=1}^{\infty} \frac{(-1)^p}{2^p k} (2p+k)(2p-1+k)\cdots(p+1+k) \left(\frac{1-z}{2}\right)^{p+k} =$$

$$= \frac{(-1)^p}{2^p} \left(\frac{1-z}{2}\right)^p \sum_{k=1}^{\infty} \frac{(2p+k)!}{k(p+k)!} \left(\frac{1-z}{2}\right)^k$$

$$\Rightarrow \sum_{k=1}^{\infty} \frac{(2p+k)!}{k(p+k)!} \left(\frac{1-z}{2}\right)^k = (-1)^p 2^p \left(\frac{2}{1-z}\right)^p \frac{d^p}{dz^p} \left(\sum_{k=1}^{\infty} \frac{1}{k} \left(\frac{1-z}{2}\right)^{2p+k} \right)$$

$$\text{De plus} \quad \sum_{k=1}^{\infty} \frac{1}{k} \left(\frac{1-z}{2}\right)^{2p+k} = -\left(\frac{1-z}{2}\right)^{2p} \text{Log} \left[\frac{1+z}{2} \right]$$

$$\Rightarrow \left. \frac{\partial C_{\nu}^{\frac{2p+1}{2}}(z)}{\partial \nu} \right|_{\nu=0} = H_{2p} + \frac{(-1)^p 2^p p!}{(2p)!} \left(\frac{2}{1-z}\right)^p \frac{d^p}{dz^p} \left[\left(\frac{1-z}{2}\right)^{2p} \text{Log} \left[\frac{1+z}{2} \right] \right]$$

$$\text{Le terme en Log} \left[\frac{1+z}{2} \right] \text{ égal à 1 car } \frac{(-1)^p 2^p p!}{(2p)!} \left(\frac{2}{1-z}\right)^p \frac{d^p}{dz^p} \left[\left(\frac{1-z}{2}\right)^{2p} \right] \equiv 1$$

$$\text{Hypothèse} \quad \left. \frac{\partial C_{\nu}^{\frac{2p+1}{2}}(z)}{\partial \nu} \right|_{\nu=0} = \text{Log} \left[\frac{1+z}{2} \right] + H_{2p} - \frac{(1-z)}{(1+z)^p} D_0^{\frac{2p+1}{2}}(z) \quad D_0^{\frac{2p+1}{2}}(z) \text{ polynôme de degré } p-1$$

Problèmes aux limites de Laplace sur une hypersphère- p -

Où le polynôme du deuxième terme est à coefficients positifs avec les diverses valeurs suivantes :

$$\left. \frac{\partial C_v^{\frac{2p+1}{2}}(z)}{\partial v} \right|_{v=0} = \text{Log} \left[\frac{1+z}{2} \right] - \frac{(1-z)}{(1+z)^p} D_0^{\frac{2p+1}{2}}(z)$$

$$p=0 \Rightarrow D_0^{\frac{1}{2}}(z)=0$$

$$p=1 \Rightarrow D_0^{\frac{3}{2}}(z)=\frac{1}{2} \rightarrow \left. \frac{\partial C_v^{\frac{3}{2}}(z)}{\partial v} \right|_{v=0} = \text{Log} \left[\frac{1+z}{2} \right] + H_2 - \frac{1}{2} \frac{(1-z)}{(1+z)} = \text{Log} \left[\frac{1+z}{2} \right] + \frac{1+2z}{(1+z)}$$

$$p=2 \Rightarrow D_0^{\frac{5}{2}}(z)=\frac{9+7z}{12} \rightarrow \left. \frac{\partial C_v^{\frac{5}{2}}(z)}{\partial v} \right|_{v=0} = \text{Log} \left[\frac{1+z}{2} \right] + H_4 - \frac{(9+7z)}{12} \frac{(1-z)}{(1+z)^2} = \text{Log} \left[\frac{1+z}{2} \right] + \frac{4+13z+8z^2}{3(1+z)^2}$$

$$p=3 \Rightarrow D_0^{\frac{7}{2}}(z)=\frac{55+88z+37z^2}{60} \rightarrow \left. \frac{\partial C_v^{\frac{7}{2}}(z)}{\partial v} \right|_{v=0} = \text{Log} \left[\frac{1+z}{2} \right] + H_6 - \frac{(55+88z+37z^2)}{60} \frac{(1-z)}{(1+z)^3}$$

$$\Rightarrow \left. \frac{\partial C_v^{\frac{7}{2}}(z)}{\partial v} \right|_{v=0} = \text{Log} \left[\frac{1+z}{2} \right] + \frac{23+102z+123z^2+46z^3}{15(1+z)^3}$$

Problèmes aux limites de Laplace sur une hypersphère- p -

Pour toute les valeurs de z et d'un degré demi-entier quelconque, l'expression s'écrit :

Calcul de $D_0^{\frac{2p+1}{2}}(z)$

$$\left. \frac{\partial C_v^{\frac{2p+1}{2}}(z)}{\partial v} \right|_{v=0} = H_{2p} + \frac{(-1)^p 2^p p!}{(2p)!} \left(\frac{2}{1-z} \right)^p \frac{d^p}{dz^p} \left[\left(\frac{1-z}{2} \right)^{2p} \text{Log} \left[\frac{1+z}{2} \right] \right]$$

$$D_0^{\frac{2p+1}{2}}(z) = \frac{(1+z)^p}{(1-z)} \left[\left. \frac{\partial C_v^{\frac{2p+1}{2}}(z)}{\partial v} \right|_{v=0} - H_{2p} - C_0^{\frac{2p+1}{2}}(z) \text{Log} \left[\frac{1+z}{2} \right] \right] = (1+z)^p \left[\left. \frac{\partial C_v^{\frac{2p+1}{2}}(z)}{\partial v} \right|_{v=0} - H_{2p} - \text{Log} \left[\frac{1+z}{2} \right] \right]$$

$$\Rightarrow D_0^{\frac{2p+1}{2}}(z) = \frac{(1+z)^p}{(1-z)} \left[\frac{(-1)^p 2^p p!}{(2p)!} \left(\frac{2}{1-z} \right)^p \frac{d^p}{dz^p} \left[\left(\frac{1-z}{2} \right)^{2p} \text{Log} \left[\frac{1+z}{2} \right] \right] - \text{Log} \left[\frac{1+z}{2} \right] \right]$$

$$\text{Comme } \frac{d^p}{dz^p} \left[\left(\frac{1-z}{2} \right)^{2p} \text{Log} \left[\frac{1+z}{2} \right] \right] =$$

$$= \frac{(-1)^{p-1} p! (2p)!}{2^{2p}} \sum_{k=0}^{k=p-1} \frac{(p-k-1)!}{k! (p-k)! (2p-k)!} \frac{(1-z)^{2p-k}}{(1+z)^{p-k}} + \frac{(-1)^p (2p)!}{2^{2p}} \frac{1}{p!} (1-z)^p \text{Log} \left[\frac{1+z}{2} \right]$$

$$\text{et si } k = p \rightarrow \frac{(-1)^p 2^{2p} p!}{(2p)!} \frac{d^p}{dz^p} \left[\left(\frac{1-z}{2} \right)^{2p} \right] = (1-z)^p$$

$$\Rightarrow D_0^{\frac{2p+1}{2}}(z) = - \frac{(p!)^2}{(1-z)} \sum_{k=0}^{k=p-1} \frac{(p-k-1)!}{k! (p-k)! (2p-k)!} (1+z)^k (1-z)^{p-k} = -(p!)^2 \sum_{k=0}^{k=p-1} \frac{(1+z)^k (1-z)^{p-1-k}}{(p-k)k! (2p-k)!}$$

$$\Rightarrow D_0^{\frac{2p+1}{2}}(z) = -(p!)^2 \sum_{k=0}^{k=p-1} \frac{(1+z)^k (1-z)^{p-1-k}}{(p-k)k! (2p-k)!} \Rightarrow D_0^{\frac{2p+1}{2}}(0) = -(p!)^2 \sum_{k=0}^{k=p-1} \frac{1}{(p-k)k! (2p-k)!}$$

.

Expression formelle des dérivées paramétriques selon le degré pour les fonctions/polynômes de Gegenbauer, valeur au degré 1

Regardons maintenant la valeur de la dérivée paramétrique pour $v=1$:

$$\frac{\partial C_v^\lambda(z)}{\partial v} = \left\{ \begin{aligned} & \{\psi(v+2\lambda) - \psi(v+1)\} C_v^\lambda(z) + \\ & \frac{1}{\Gamma(v+1)\Gamma(2\lambda)} \sum_{k=1}^{k=\infty} \left[\frac{\Gamma(k-v)\Gamma(v+2\lambda+k)\Gamma\left(\lambda+\frac{1}{2}\right)}{\Gamma(-v)\Gamma\left(\lambda+\frac{1}{2}+k\right)k!} \times \right. \\ & \left. \times (\psi(k+v+2\lambda) - \psi(v+2\lambda) + \psi(v+1) - \psi(v-k+1)) \left(\frac{1-z}{2}\right)^k \right] \end{aligned} \right\}$$

or $\lim_{\substack{v \rightarrow 1 \\ k \geq 2}} \psi(v-k+1) = \infty$ et $\lim_{v \rightarrow 1} \Gamma(-v) = \infty$ et $\lim_{\substack{v \rightarrow 1 \\ k=1}} \Gamma(k-v) = \infty$

$$\left. \frac{\partial C_v^\lambda(z)}{\partial v} \right|_{v=1} = \left[\begin{aligned} & \{\psi(1+2\lambda) - \psi(2)\} C_1^\lambda(z) + \\ & \frac{\Gamma\left(\lambda+\frac{1}{2}\right)}{\Gamma(2\lambda)} \left\{ \frac{\Gamma(1-v)\Gamma(2+2\lambda)}{\Gamma(-v)\Gamma\left(\lambda+\frac{3}{2}\right)} \times \right. \\ & \left. \times (\psi(2+2\lambda) - \psi(1+2\lambda) + \psi(2) - \psi(1)) \left(\frac{1-z}{2}\right) - \right. \\ & \left. - \sum_{k=2}^{k=\infty} \left[\frac{\Gamma(k-1)\Gamma(1+2\lambda+k)}{\Gamma\left(\lambda+\frac{1}{2}+k\right)k!} \frac{\psi(v-k+1)}{\Gamma(-v)} \left(\frac{1-z}{2}\right)^k \right] \right\} \end{aligned} \right]$$

deux formes indéterminées $\lim_{v \rightarrow 1} \frac{\Gamma(1-v)}{\Gamma(-v)}$ et $\lim_{v \rightarrow 1} \frac{\psi(v-k+1)}{\Gamma(-v)}$

$$\Gamma(z) \approx \frac{(-1)^n}{n!(n+z)} \Rightarrow \Gamma(-v) \approx -\frac{1}{1-v} \quad \Gamma(z) \approx \frac{1}{z} \Rightarrow \Gamma(1-v) \approx \frac{1}{1-v} \Rightarrow \lim_{v \rightarrow 1} \frac{\Gamma(1-v)}{\Gamma(-v)} = -1$$

$$\psi(z) \approx -\frac{1}{n+z} \Rightarrow \psi(v-k+1) = \psi(z) \approx -\frac{1}{k-2+z} \approx -\frac{1}{v-1} \Rightarrow \lim_{v \rightarrow 1} \frac{\psi(v-k+1)}{\Gamma(-v)} = -1$$

$$\Rightarrow \left. \frac{\partial C_v^\lambda(z)}{\partial v} \right|_{v=1} = \left[\begin{aligned} & \{\psi(1+2\lambda) - \psi(2)\} C_1^\lambda(z) + \\ & \frac{\Gamma\left(\lambda+\frac{1}{2}\right)}{\Gamma(2\lambda)} \left\{ -\frac{\Gamma(2+2\lambda)}{\Gamma\left(\lambda+\frac{3}{2}\right)} (\psi(2+2\lambda) - \psi(1+2\lambda) + \psi(2) - \psi(1)) \left(\frac{1-z}{2}\right) + \right. \\ & \left. + \sum_{k=2}^{k=\infty} \left[\frac{\Gamma(1+2\lambda+k)}{\Gamma\left(\lambda+\frac{1}{2}+k\right)k(k-1)} \left(\frac{1-z}{2}\right)^k \right] \right\} \end{aligned} \right] .$$

Développons un peu plus le calcul :

$$\psi(2+2\lambda) - \psi(1+2\lambda) = \frac{1}{1+2\lambda} \quad \psi(2) - \psi(1) = 1$$

$$\Rightarrow \psi(2+2\lambda) - \psi(1+2\lambda) + \psi(2) - \psi(1) = \frac{1}{1+2\lambda} + 1 = \frac{2+2\lambda}{1+2\lambda}$$

$$\Rightarrow \frac{\partial C_v^\lambda(z)}{\partial v} \Big|_{v=1} = \left[\begin{aligned} & \{\psi(1+2\lambda) - \psi(2)\} C_1^\lambda(z) + \\ & + \frac{\Gamma\left(\lambda + \frac{1}{2}\right)}{\Gamma(2\lambda)} \left\{ - \frac{\Gamma(2+2\lambda)}{\Gamma\left(\lambda + \frac{3}{2}\right)} \left(\frac{2+2\lambda}{1+2\lambda}\right) \left(\frac{1-z}{2}\right) + \sum_{k=2}^{\infty} \left[\frac{\Gamma(1+2\lambda+k)}{\Gamma\left(\lambda + \frac{1}{2} + k\right) k(k-1)} \left(\frac{1-z}{2}\right)^k \right] \right\} \end{aligned} \right]$$

$$\frac{\partial C_v^\lambda(z)}{\partial v} \Big|_{v=1} = \left\{ \begin{aligned} & \{\psi(1+2\lambda) - \psi(2)\} C_1^\lambda(z) - \\ & - \frac{\Gamma(3+2\lambda)}{\Gamma(2\lambda)(1+2\lambda)^2} (1-z) + \frac{\Gamma\left(\lambda + \frac{1}{2}\right)}{\Gamma(2\lambda)} \sum_{k=2}^{\infty} \left[\frac{\Gamma(1+2\lambda+k)}{\Gamma\left(\lambda + \frac{1}{2} + k\right) k(k-1)} \left(\frac{1-z}{2}\right)^k \right] \end{aligned} \right\}$$

$$\Rightarrow \frac{\partial C_v^\lambda(z)}{\partial v} \Big|_{v=1} = \left\{ \begin{aligned} & \{\psi(1+2\lambda) - \psi(2)\} C_1^\lambda(z) - \\ & - \frac{\Gamma(3+2\lambda)}{\Gamma(2\lambda)(1+2\lambda)^2} (1-z) + \frac{\Gamma\left(\lambda + \frac{1}{2}\right)}{\Gamma(2\lambda)} \left(\frac{1-z}{2}\right)^2 \sum_{l=0}^{\infty} \left[\frac{\Gamma(3+2\lambda+l)}{(l+1)(l+2)\Gamma\left(\lambda + \frac{5}{2} + l\right)} \left(\frac{1-z}{2}\right)^l \right] \end{aligned} \right\}$$

$$\text{Si } \lambda = \frac{1}{2} \Rightarrow \frac{\partial C_v^{\frac{1}{2}}(z)}{\partial v} \Big|_{v=1} = \left\{ -\frac{3}{2}(1-z) + \left(\frac{1-z}{2}\right)^2 \sum_{l=0}^{\infty} \left[\frac{\Gamma(4+l)}{(l+1)(l+2)\Gamma(3+l)} \left(\frac{1-z}{2}\right)^l \right] \right\}$$

$$= \left\{ -\frac{3}{2}(1-z) + \left(\frac{1-z}{2}\right)^2 \sum_{l=0}^{\infty} \left[\frac{(3+l)}{(l+1)(l+2)} \left(\frac{1-z}{2}\right)^l \right] \right\} = \left\{ -\frac{3}{2}(1-z) + \left(\frac{1-z}{2}\right)^2 \sum_{l=0}^{\infty} \left[\left(\frac{2}{(l+1)} - \frac{1}{(l+2)}\right) \left(\frac{1-z}{2}\right)^l \right] \right\}$$

$$= \left\{ -\frac{3}{2}(1-z) + \sum_{k=2}^{\infty} \left[\left(\frac{2}{k-1} - \frac{1}{k}\right) \left(\frac{1-z}{2}\right)^k \right] \right\} = \left\{ -\frac{3}{2}(1-z) - \sum_{k=2}^{\infty} \frac{1}{k} \left(\frac{1-z}{2}\right)^k + \sum_{k=2}^{\infty} \left(\frac{2}{k-1}\right) \left(\frac{1-z}{2}\right)^k \right\}$$

$$= \left\{ -2\left(\frac{1-z}{2}\right) + \text{Log}\left(\frac{1+z}{2}\right) + \left(\frac{1-z}{2}\right) \sum_{l=1}^{\infty} \left(\frac{2}{l}\right) \left(\frac{1-z}{2}\right)^l \right\} \Leftarrow \sum_{k=2}^{\infty} \frac{1}{k} \left(\frac{1-z}{2}\right)^k = -\left[\text{Log}\left(\frac{1+z}{2}\right) + \left(\frac{1-z}{2}\right) \right]$$

$$= \left\{ -(1-z) + \text{Log}\left(\frac{1+z}{2}\right) - (1-z) \text{Log}\left(\frac{1+z}{2}\right) \right\} = \left\{ -(1-z) + z \text{Log}\left(\frac{1+z}{2}\right) \right\}$$

$$\Rightarrow \frac{\partial C_v^{\frac{1}{2}}(z)}{\partial v} \Big|_{v=1} = \left\{ z - 1 + z \text{Log}\left(\frac{1+z}{2}\right) \right\} \Rightarrow \frac{\partial C_v^{\frac{1}{2}}(0)}{\partial v} \Big|_{v=1} = -1$$

Ce dernier terme tend bien vers -1, pour le cas à 3 dimensions. Pour les autres dimensions, en $z=0$, il vient :

$$\begin{aligned} \frac{\partial C_v^\lambda(z)}{\partial v} \Big|_{v=1} &= \left\{ \{\psi(1+2\lambda) - \psi(2)\} 2\lambda z - \frac{\Gamma(3+2\lambda)}{\Gamma(2\lambda)(1+2\lambda)^2} (1-z) + \frac{\Gamma\left(\lambda + \frac{1}{2}\right)}{\Gamma(2\lambda)} \left(\frac{1-z}{2}\right)^2 \sum_{l=0}^{\infty} \frac{\Gamma(3+2\lambda+l)}{(l+1)(l+2)\Gamma\left(\lambda + \frac{5}{2}+l\right)} \left(\frac{1-z}{2}\right)^l \right\} \\ \Rightarrow \frac{\partial C_v^\lambda(0)}{\partial v} \Big|_{v=1} &= \left\{ \{\psi(1+2\lambda) - \psi(2)\} 2\lambda z - \frac{\Gamma(3+2\lambda)}{\Gamma(2\lambda)(1+2\lambda)^2} + \frac{\Gamma\left(\lambda + \frac{1}{2}\right)}{4\Gamma(2\lambda)} \sum_{l=0}^{\infty} \frac{\Gamma(3+2\lambda+l)}{2^l(l+1)(l+2)\Gamma\left(\lambda + \frac{5}{2}+l\right)} \right\} \\ \lambda = \frac{2p+1}{2} \Rightarrow \frac{\partial C_v^{\frac{2p+1}{2}}(z)}{\partial v} \Big|_{v=1} &= \left\{ (2p+1)z\{\psi(2p+2) - \psi(2)\} - \frac{(2p+1)(2p+3)}{(2p+2)} (1-z) + \frac{p!}{(2p)!} \left(\frac{1-z}{2}\right)^2 \sum_{l=0}^{\infty} \frac{(2p+3+l)!}{(l+1)(l+2)(p+2+l)!} \left(\frac{1-z}{2}\right)^l \right\} \\ \psi(2p+2) - \psi(2) &= \sum_{l=0}^{2p-1} \frac{1}{l+2} = \sum_{l=2}^{2p+1} \frac{1}{l} = \sum_{l=1}^{2p+1} \frac{1}{l} - 1 = H_{2p+1} - 1 \quad H_{2p+1} \text{ nombre harmonique} \\ H_3 - 1 &= \frac{5}{6} \quad H_5 - 1 = \frac{77}{60} \quad H_7 - 1 = \frac{223}{140} \quad H_9 - 1 = \frac{4609}{2520} \quad H_{11} - 1 = \frac{55991}{27720} \\ p=1 \Rightarrow \frac{\partial C_v^{\frac{3}{2}}(z)}{\partial v} \Big|_{v=1} &= 3z(H_3 - 1) + \left\{ -\frac{15}{4}(1-z) + \frac{1}{2} \left(\frac{1-z}{2}\right)^2 \sum_{l=0}^{\infty} \frac{(l+4)(l+5)}{(l+1)(l+2)} \left(\frac{1-z}{2}\right)^l \right\} \\ &= \frac{5z}{2} + \left\{ -\frac{15}{4}(1-z) + \frac{1}{2} \left(\frac{1-z}{2}\right)^2 \sum_{l=0}^{\infty} \left(1 + \frac{12}{l+1} - \frac{6}{l+2}\right) \left(\frac{1-z}{2}\right)^l \right\} \\ &= \frac{5z}{2} + \left\{ -\frac{15}{4}(1-z) + \frac{1}{2} \left(\frac{1-z}{2}\right)^2 \left[\sum_{l=0}^{\infty} \left(\frac{1-z}{2}\right)^l + 12 \sum_{l=0}^{\infty} \frac{1}{l+1} \left(\frac{1-z}{2}\right)^l - 6 \sum_{l=0}^{\infty} \frac{1}{l+2} \left(\frac{1-z}{2}\right)^l \right] \right\} \\ &= \frac{5z}{2} + \left\{ -\frac{15}{4}(1-z) + \frac{1}{2} \left(\frac{1-z}{2}\right)^2 \left[\frac{2}{1+z} + 12 \left(\frac{2}{1-z}\right) \sum_{l=1}^{\infty} \frac{1}{l} \left(\frac{1-z}{2}\right)^l - 6 \left(\frac{2}{1-z}\right)^2 \sum_{l=2}^{\infty} \frac{1}{l} \left(\frac{1-z}{2}\right)^l \right] \right\} \\ &= \frac{5z}{2} + \left\{ 3z \text{Log} \left(\frac{1+z}{2}\right) - \frac{9}{2} \left(\frac{1-z}{2}\right) + \frac{1}{1+z} \left(\frac{1-z}{2}\right)^2 \right\} \\ \frac{\partial C_v^{\frac{3}{2}}(z)}{\partial v} \Big|_{v=1} &= \left\{ 3z \text{Log} \left(\frac{1+z}{2}\right) + \frac{5z^2 + 2z - 2}{(1+z)} \right\} \Rightarrow \frac{\partial C_v^{\frac{3}{2}}(0)}{\partial v} \Big|_{v=1} = -2 \end{aligned}$$

Expression que l'on compare à celle proposée auparavant dans le texte pour les deux cas $p=0$ et $p=1$:

$$\frac{\partial C_v^\lambda(0)}{\partial v} \Big|_{v=1} = -\sqrt{\pi} \frac{\Gamma\left(\frac{2\lambda+1}{2}\right)}{\Gamma(\lambda)}$$

Numériquement elle semble coïncider également pour toutes les autres valeurs des ordres demi-entiers !

Problèmes aux limites de Laplace sur une hypersphère- p -

Faisons de même avec les polynômes de Gegenbauer de degré 1 et d'un ordre demi-entier quelconque pour déterminer l'expression formelle des dérivées paramétriques :

$$\lambda = \frac{2p+1}{2} \Rightarrow \frac{\partial C_v^{\frac{2p+1}{2}}(z)}{\partial v} \Big|_{v=1} = \left\{ (2p+1)z\{\psi(2p+2) - \psi(2)\} - \frac{(2p+1)(2p+3)}{(2p+2)}(1-z) + \frac{p!}{(2p)!} \left(\frac{1-z}{2}\right)^2 \sum_{l=0}^{\infty} \frac{(2p+3+l)!}{(l+1)(l+2)(p+2+l)!} \left(\frac{1-z}{2}\right)^l \right\}$$

$$= \left\{ (2p+1)z(H_{2p+1} - 1) - \frac{(2p+1)(2p+3)}{(2p+2)}(1-z) + \frac{p!}{(2p)!} \left(\frac{1-z}{2}\right)^2 \sum_{l=0}^{\infty} \left[\frac{1}{(l+1)} - \frac{1}{(l+2)} \right] (2p+3+l)(2p+2+l) \cdots (p+3+l) \left(\frac{1-z}{2}\right)^l \right\}$$

$$= \left\{ (2p+1)z(H_{2p+1} - 1) - \frac{(2p+1)(2p+3)}{(2p+2)}(1-z) + \frac{p!}{(2p)!} \left(\frac{1-z}{2}\right) \sum_{l=1}^{\infty} \frac{1}{l} (2p+2+l)(2p+1+l) \cdots (p+2+l) \left(\frac{1-z}{2}\right)^l - \left[-\frac{p!}{(2p)!} \sum_{l=2}^{\infty} \frac{1}{l} (2p+1+l)(2p+l) \cdots (p+1+l) \left(\frac{1-z}{2}\right)^l \right] \right\}$$

$$= \left\{ (2p+1)z(H_{2p+1} - 1) - \frac{(2p+1)(2p+3)}{(2p+2)}(1-z) + \frac{p!}{(2p)!} \left(\frac{1-z}{2}\right) \sum_{l=1}^{\infty} \frac{1}{l} (2p+2+l)(2p+1+l) \cdots (p+2+l) \left(\frac{1-z}{2}\right)^l + \left[+ (2p+1)(1-z) - \frac{p!}{(2p)!} \sum_{l=1}^{\infty} \frac{1}{l} (2p+1+l)(2p+l) \cdots (p+1+l) \left(\frac{1-z}{2}\right)^l \right] \right\}$$

Or $\sum_{l=1}^{\infty} \frac{1}{l} (2p+1+l)(2p+l) \cdots (p+1+l) \left(\frac{1-z}{2}\right)^l = (-1)^{p+1} 2^{p+1} \left(\frac{2}{1-z}\right)^p \frac{d^{p+1}}{dz^{p+1}} \left(\sum_{l=1}^{\infty} \frac{1}{l} \left(\frac{1-z}{2}\right)^{2p+1+l} \right)$

et $\sum_{l=1}^{\infty} \frac{1}{l} (2p+2+l)(2p+1+l) \cdots (p+2+l) \left(\frac{1-z}{2}\right)^l = (-1)^{p+1} 2^{p+1} \left(\frac{2}{1-z}\right)^{p+1} \frac{d^{p+1}}{dz^{p+1}} \left(\sum_{l=1}^{\infty} \frac{1}{l} \left(\frac{1-z}{2}\right)^{2p+2+l} \right)$

$$= \left\{ (2p+1)z(H_{2p+1} - 1) - (1-z) \frac{(2p+1)}{(2p+2)} + \frac{p!}{(2p)!} \left(\frac{1-z}{2}\right) (-1)^{p+1} 2^{p+1} \left(\frac{2}{1-z}\right)^{p+1} \frac{d^{p+1}}{dz^{p+1}} \left(\sum_{l=1}^{\infty} \frac{1}{l} \left(\frac{1-z}{2}\right)^{2p+2+l} \right) - \left[-\frac{p!}{(2p)!} (-1)^{p+1} 2^{p+1} \left(\frac{2}{1-z}\right)^p \frac{d^{p+1}}{dz^{p+1}} \left(\sum_{l=1}^{\infty} \frac{1}{l} \left(\frac{1-z}{2}\right)^{2p+1+l} \right) \right] \right\}$$

De plus $\sum_{l=1}^{\infty} \frac{1}{l} \left(\frac{1-z}{2}\right)^{2p+2+l} = -\left(\frac{1-z}{2}\right)^{2p+2} \text{Log}\left[\frac{1+z}{2}\right]$ et $\sum_{l=1}^{\infty} \frac{1}{l} \left(\frac{1-z}{2}\right)^{2p+1+l} = -\left(\frac{1-z}{2}\right)^{2p+1} \text{Log}\left[\frac{1+z}{2}\right]$

$$\Rightarrow \frac{\partial C_v^{\frac{2p+1}{2}}(z)}{\partial v} \Big|_{v=1} = \left\{ (2p+1)z(H_{2p+1} - 1) - (1-z) \frac{(2p+1)}{(2p+2)} + \frac{p!}{(2p)!} (-1)^{p+1} 2^{p+1} \left(\frac{2}{1-z}\right)^p \left[\frac{d^{p+1}}{dz^{p+1}} \left(\left(\frac{1-z}{2}\right)^{2p+1} \text{Log}\left[\frac{1+z}{2}\right] \right) - \frac{d^{p+1}}{dz^{p+1}} \left(\left(\frac{1-z}{2}\right)^{2p+2} \text{Log}\left[\frac{1+z}{2}\right] \right) \right] \right\}$$

$$\Rightarrow \frac{\partial C_v^{\frac{2p+1}{2}}(z)}{\partial v} \Big|_{v=1} = \left\{ (2p+1)z(H_{2p+1} - 1) - (1-z) \frac{(2p+1)}{(2p+2)} + \frac{p!}{(2p)!} (-1)^{p+1} 2^{p+1} \left(\frac{2}{1-z}\right)^p \left[\frac{d^{p+1}}{dz^{p+1}} \left(\left(\frac{1-z}{2}\right)^{2p+1} \left(\frac{1+z}{2}\right) \text{Log}\left[\frac{1+z}{2}\right] \right) \right] \right\}$$

.

Calculons rapidement le terme en logarithme :

$$\begin{aligned}
 & \text{Log} \left[\frac{1+z}{2} \right] \frac{p!}{(2p)!} (-1)^{p+1} 2^{p+1} \left(\frac{2}{1-z} \right)^p \left\{ \frac{d^{p+1}}{dz^{p+1}} \left(\left(\frac{1-z}{2} \right)^{2p+1} \right) - \frac{d^{p+1}}{dz^{p+1}} \left(\left(\frac{1-z}{2} \right)^{2p+2} \right) \right\} \\
 &= \text{Log} \left[\frac{1+z}{2} \right] \frac{p!}{(2p)!} (-1)^{p+1} \frac{1}{2^p} \left(\frac{2}{1-z} \right)^p \left\{ \frac{d^{p+1}}{dz^{p+1}} \left((1-z)^{2p+1} \right) - \frac{1}{2} \frac{d^{p+1}}{dz^{p+1}} \left((1-z)^{2p+2} \right) \right\} \\
 &= \text{Log} \left[\frac{1+z}{2} \right] \frac{p!}{(2p)!} (-1)^{p+1} \frac{1}{2^p} \left(\frac{2}{1-z} \right)^p \left\{ (-1)^{p+1} (2p+1) \cdots (p+1) (1-z)^p - (-1)^{p+1} \frac{1}{2} (2p+2) \cdots (p+2) (1-z)^{p+1} \right\} \\
 &= \text{Log} \left[\frac{1+z}{2} \right] \frac{p!}{(2p)!} (2p+1) \cdots (p+2) (p+1) z = z \text{Log} \left[\frac{1+z}{2} \right] \frac{(2p+1)!}{(2p)!} = (2p+1) z \text{Log} \left[\frac{1+z}{2} \right]
 \end{aligned}$$

Le terme en logarithme reproduit exactement celui attendu, soit le polynôme de Gegenbauer de degré 1 que multiplie le logarithme :

$$\text{Terme logarithme} \Rightarrow (2p+1) z \text{Log} \left[\frac{1+z}{2} \right] = C_1^{\frac{2p+1}{2}}(z) \text{Log} \left[\frac{1+z}{2} \right].$$

Les autres termes font intervenir la formule de Leibniz pour les dérivées :

$$\left. \frac{\partial C_v^{\frac{2p+1}{2}}(z)}{\partial v} \right|_{v=1} = \left\{ (2p+1)z(H_{2p+1}-1) - (1-z) \frac{(2p+1)}{(2p+2)} + \frac{(-1)^{p+1} 2^{p+1} p!}{(2p)!} \left(\frac{2}{1-z} \right)^p \left[\frac{d^{p+1}}{dz^{p+1}} \left(\left(\frac{1-z}{2} \right)^{2p+1} \text{Log} \left[\frac{1+z}{2} \right] \right) - \frac{d^{p+1}}{dz^{p+1}} \left(\left(\frac{1-z}{2} \right)^{2p+2} \text{Log} \left[\frac{1+z}{2} \right] \right) \right] \right\}$$

$$\text{Formule de Leibniz} \quad \frac{d^{p+1}}{dz^{p+1}} [f(z)g(z)] = \sum_{k=0}^{p+1} \frac{(p+1)!}{k!(p+1-k)!} f^{(k)}(z) g^{(p+1-k)}(z)$$

$$\left[\left(\frac{1-z}{2} \right)^{2p+1} \right]^{(k)} = \frac{(-1)^k}{2^{2p+1}} \frac{(2p+1)!}{(2p+1-k)!} (1-z)^{2p+1-k} \quad \text{et} \quad \left[\left(\frac{1-z}{2} \right)^{2p+2} \right]^{(k)} = \frac{(-1)^k}{2^{2p+2}} \frac{(2p+2)!}{(2p+2-k)!} (1-z)^{2p+2-k}$$

$$\Rightarrow \text{si } k = p+1 \rightarrow \frac{(-1)^{p+1} 2^{p+1} p!}{(2p)!} \left(\frac{2}{1-z} \right)^p \frac{d^{p+1}}{dz^{p+1}} \left[\left(\frac{1-z}{2} \right)^{2p+1} \right] = \frac{(2p+1)!}{(2p)!} = 2p+1$$

$$\Rightarrow \text{si } k = p+1 \rightarrow \frac{(-1)^{p+1} 2^{p+1} p!}{(2p)!} \left(\frac{2}{1-z} \right)^p \frac{d^{p+1}}{dz^{p+1}} \left[\left(\frac{1-z}{2} \right)^{2p+2} \right] = (2p+1)(1-z)$$

$$\left[\text{Log} \left[\frac{1+z}{2} \right] \right]^{(p+1-k)} = \left[(1+z)^{-1} \right]^{(p-k)} = (-1)^{p-k} \frac{(p-k)!}{(1+z)^{p+1-k}}$$

$$\Rightarrow \frac{d^{p+1}}{dz^{p+1}} \left[\left(\frac{1-z}{2} \right)^{2p+1} \text{Log} \left[\frac{1+z}{2} \right] \right] - \frac{d^{p+1}}{dz^{p+1}} \left[\left(\frac{1-z}{2} \right)^{2p+2} \text{Log} \left[\frac{1+z}{2} \right] \right] =$$

$$= \left\{ (1-z)^p \frac{(-1)^p}{2^{2p+1}} \sum_{k=0}^{p+1} \frac{(p+1)!}{k!(p+1-k)!} \frac{(2p+1)!}{(2p+1-k)!} \frac{(1-z)^{p+1-k}}{(1+z)^{p+1-k}} - (1-z)^p \frac{(-1)^p}{2^{2p+1}} \sum_{k=0}^{p+1} \frac{(p+1)!}{k!(p+1-k)!} \frac{1}{2} \frac{(2p+2)!}{(2p+2-k)!} \frac{(1-z)^{p+2-k}}{(1+z)^{p+1-k}} + \left[\frac{(-1)^{p+1} 2^{p+1} p!}{(2p)!} \left(\frac{2}{1-z} \right)^p \right]^{-1} (2p+1) z \text{Log} \left[\frac{1+z}{2} \right] \right\}$$

En continuant le calcul, il vient :

$$\begin{aligned}
 &= (1-z)^p \frac{(-1)^p}{2^{2p+1}} \left[\sum_{k=0}^{k=p} \frac{(p+1)!}{k!(p+1-k)} \frac{(2p+1)!}{(2p+1-k)!} \frac{(1-z)^{p+1-k}}{(1+z)^{p+1-k}} - \left(\frac{1-z}{2} \right) \sum_{k=0}^{k=p} \frac{(p+1)!}{k!(p+1-k)} \frac{(2p+2)!}{(2p+2-k)!} \frac{(1-z)^{p+1-k}}{(1+z)^{p+1-k}} \right] + \\
 &+ \left[\frac{(-1)^{p+1} 2^{p+1} p!}{(2p)!} \left(\frac{2}{1-z} \right)^p \right]^{-1} (2p+1) z \operatorname{Log} \left[\frac{1+z}{2} \right] \\
 &= (1-z)^p \frac{(-1)^p}{2^{2p+1}} \sum_{k=0}^{k=p} \frac{(p+1)!}{(p+1-k)k!} \frac{(2p+1)!}{(2p+1-k)!} \frac{(1-z)^{p+1-k}}{(1+z)^{p+1-k}} \left[1 - (1-z) \frac{(p+1)}{(2p+2-k)} \right] + \\
 &+ \left[\frac{(-1)^{p+1} 2^{p+1} p!}{(2p)!} \left(\frac{2}{1-z} \right)^p \right]^{-1} (2p+1) z \operatorname{Log} \left[\frac{1+z}{2} \right] \\
 &\Rightarrow \frac{d^{p+1}}{dz^{p+1}} \left(\left(\frac{1-z}{2} \right)^{2p+1} \operatorname{Log} \left[\frac{1+z}{2} \right] \right) - \frac{d^{p+1}}{dz^{p+1}} \left(\left(\frac{1-z}{2} \right)^{2p+2} \operatorname{Log} \left[\frac{1+z}{2} \right] \right) = \\
 &= (1-z)^p \frac{(-1)^p (p+1)!(2p+1)!}{2^{2p+1}} \sum_{k=0}^{k=p} \frac{(p+1-k+z(p+1))}{(p+1-k)k!(2p+2-k)!} \frac{(1-z)^{p+1-k}}{(1+z)^{p+1-k}} + \\
 &+ \left[\frac{(-1)^{p+1} 2^{p+1} p!}{(2p)!} \left(\frac{2}{1-z} \right)^p \right]^{-1} (2p+1) z \operatorname{Log} \left[\frac{1+z}{2} \right] \\
 \text{Comme } \frac{\partial C_{\frac{2p+1}{2}}(z)}{\partial v} \Big|_{v=1} &= \left\{ \begin{aligned} &(2p+1)z(H_{2p+1}-1) - (1-z) \frac{(2p+1)}{(2p+2)} + \\ &+ \frac{(-1)^{p+1} 2^{p+1} p!}{(2p)!} \left(\frac{2}{1-z} \right)^p \left[\frac{d^{p+1}}{dz^{p+1}} \left(\left(\frac{1-z}{2} \right)^{2p+1} \operatorname{Log} \left[\frac{1+z}{2} \right] \right) - \right. \\ &\quad \left. - \frac{d^{p+1}}{dz^{p+1}} \left(\left(\frac{1-z}{2} \right)^{2p+2} \operatorname{Log} \left[\frac{1+z}{2} \right] \right) \right] \end{aligned} \right\} \\
 \frac{\partial C_{\frac{2p+1}{2}}(z)}{\partial v} \Big|_{v=1} &= \left\{ \begin{aligned} &(2p+1)z \operatorname{Log} \left[\frac{1+z}{2} \right] + (2p+1)z(H_{2p+1}-1) - (1-z) \frac{(2p+1)}{(2p+2)} - \\ &- (2p+1)p!(p+1)! \sum_{k=0}^{k=p} \frac{(p+1-k+z(p+1))}{(p+1-k)k!(2p+2-k)!} \frac{(1-z)^{p+1-k}}{(1+z)^{p+1-k}} \end{aligned} \right\}
 \end{aligned}$$

Problèmes aux limites de Laplace sur une hypersphère- p-

On remarque que le terme $k=0$ de la série permet de factoriser $(1+z)$ au numérateur, en l'isolant, il vient :

$$\begin{aligned}
 \left. \frac{\partial C_v^{\frac{2p+1}{2}}(z)}{\partial v} \right|_{v=1} &= \left\{ (2p+1)z \operatorname{Log} \left[\frac{1+z}{2} \right] + (2p+1)z(H_{2p+1} - 1) - (1-z) \frac{(2p+1)}{(2p+2)} - \right. \\
 &\quad \left. - (2p+1)p!(p+1)! \sum_{k=0}^{k=p} \frac{(p+1-k+z(p+1))}{k!(p+1-k)(2p+2-k)!} \frac{(1-z)^{p+1-k}}{(1+z)^{p+1-k}} \right\} \\
 &= \left\{ (2p+1)z \operatorname{Log} \left[\frac{1+z}{2} \right] + (2p+1)z(H_{2p+1} - 1) - \right. \\
 &\quad \left. - (1-z) \frac{(2p+1)}{(2p+2)} - \frac{(p!)^2}{2(2p)!} \frac{(1-z)^{p+1}}{(1+z)^p} - \right. \\
 &\quad \left. - (2p+1)p!(p+1)! \sum_{k=1}^{k=p} \frac{(p+1-k+z(p+1))}{k!(p+1-k)(2p+2-k)!} \frac{(1-z)^{p+1-k}}{(1+z)^{p+1-k}} \right\} \Leftarrow l = k-1 \Leftrightarrow k = l+1 \\
 &= \left\{ (2p+1)z \operatorname{Log} \left[\frac{1+z}{2} \right] + (2p+1)z(H_{2p+1} - 1) - \frac{(1-z)}{(1+z)^p} \frac{(2p+1)(1+z)^p}{(2p+2)} - \right. \\
 &\quad \left. - \frac{(1-z)}{(1+z)^p} \frac{(p!)^2}{2(2p)!} (1-z)^p - \right. \\
 &\quad \left. - (2p+1)p!(p+1)! \sum_{l=0}^{l=p-1} \frac{(p-l+z(p+1))}{(l+1)!(p-l)(2p+1-l)!} (1-z)^{p-1-l} (1+z)^l \right\} \Leftarrow \text{Factorisation de } \frac{(1-z)}{(1+z)^p} \\
 \left. \frac{\partial C_v^{\frac{2p+1}{2}}(z)}{\partial v} \right|_{v=1} &= \left\{ (2p+1)z \operatorname{Log} \left[\frac{1+z}{2} \right] + (2p+1)z(H_{2p+1} - 1) - \right. \\
 &\quad \left. - \frac{(1-z)}{(1+z)^p} \left[\frac{(2p+1)(1+z)^p}{(2p+2)} + \frac{(p!)^2}{2(2p)!} (1-z)^p + \right. \right. \\
 &\quad \left. \left. + (2p+1)p!(p+1)! \sum_{l=0}^{l=p-1} \frac{(p-l+z(p+1))}{(l+1)!(p-l)(2p+1-l)!} (1-z)^{p-1-l} (1+z)^l \right] \right\}
 \end{aligned}$$

Avec les notations précédentes on écrirait :

$$\left. \frac{\partial C_v^{\frac{2p+1}{2}}(z)}{\partial v} \right|_{v=1} = (2p+1)z \operatorname{Log} \left[\frac{1+z}{2} \right] + \frac{(2p+1)z(1+z)^p(H_{2p+1} - 1)}{(1+z)^p} - \frac{(1-z)}{(1+z)^p} D_1^{\frac{2p+1}{2}}(z) \quad H_{2p+1} \text{ nombre harmonique}$$

$$\text{Avec } D_1^{\frac{2p+1}{2}}(z) = \left[\frac{(2p+1)(1+z)^p}{(2p+2)} + \frac{(p!)^2}{2(2p)!} (1-z)^p + \right. \\
 \left. + (2p+1)p!(p+1)! \sum_{l=0}^{l=p-1} \frac{(p-l+z(p+1))}{(p-l)(l+1)!(2p+1-l)!} (1-z)^{p-1-l} (1+z)^l \right]$$

La valeur en $z=0$ est alors :

$$\left. \frac{\partial C_v^{\frac{2p+1}{2}}(0)}{\partial v} \right|_{v=1} = - \left[\frac{(2p+1)}{(2p+2)} + \frac{(p!)^2}{2(2p)!} + (2p+1)p!(p+1)! \sum_{l=0}^{l=p-1} \frac{1}{(l+1)!(2p+1-l)!} \right]$$

Cette valeur est censée redonner celle plus connue :

$$\left. \frac{\partial C_v^{2p+1}}{\partial v} (0) \right|_{v=1} = -2^{2p} \frac{(p!)^2}{(2p)!}$$

A partir des deux expressions de séries finies :

$$(1) \sum_{l=0}^{l=p-1} \frac{1}{l!(2p-l)!} = \frac{1}{2} \left(\frac{2^{2p}}{(2p)!} - \frac{1}{(p!)^2} \right) \quad (2) \sum_{l=0}^{l=p-1} \frac{1}{(l+1)!(2p-l)!} = \frac{2^{2p} - 1}{(2p+1)(2p)!}$$

en changeant les variables de l'expression (1), il vient :

$$\begin{aligned} \sum_{l=0}^{l=p-1} \frac{1}{l!(2p-l)!} &= \frac{1}{(2p)!} + \sum_{l=1}^{l=p-1} \frac{1}{l!(2p-l)!} \leftarrow l'=l-1 \quad l=l'+1 \\ \sum_{l=1}^{l=p-1} \frac{1}{l!(2p-l)!} &= \sum_{l'=0}^{l'=p-2} \frac{1}{(l'+1)!(2p-1-l')!} = \sum_{l'=0}^{l'=p'-1} \frac{1}{(l'+1)!(2p'+1-l')!} \leftarrow \begin{cases} l'=l-1 & l=l'+1 \\ p'=p-1 & p=p'+1 \end{cases} \\ \Rightarrow \sum_{l'=0}^{l'=p'-1} \frac{1}{(l'+1)!(2p'+1-l')!} &= \frac{1}{2} \left(\frac{2^{2p}}{(2p)!} - \frac{1}{(p!)^2} \right) - \frac{1}{(2p)!} = \frac{1}{2} \left(\frac{2^{2p'+2}}{(2p'+2)!} - \frac{1}{((p'+1)!)^2} \right) - \frac{1}{((2p'+2))!} \\ \Rightarrow \sum_{l'=0}^{l'=p-1} \frac{1}{(l+1)!(2p+1-l)!} &= \frac{2^{2p+1} - 1}{(2p+2)!} - \frac{1}{2} \frac{1}{((p+1)!)^2} \end{aligned}$$

Une fois cette expression calculée, il vient dans l'expression de départ :

$$\begin{aligned} &\frac{(2p+1)}{(2p+2)} + \frac{(p!)^2}{2(2p)!} + (2p+1)p!(p+1)! \sum_{l=0}^{l=p-1} \frac{1}{(l+1)!(2p+1-l)!} = \\ &= \frac{(2p+1)}{(2p+2)} + \frac{(p!)^2}{2(2p)!} + (2p+1)p!(p+1)! \left[\frac{2^{2p+1} - 1}{(2p+2)!} - \frac{1}{2} \frac{1}{((p+1)!)^2} \right] \\ &= \frac{(2p+1)}{(2p+2)} - \frac{(2p+1)}{2(p+1)} + \frac{(p!)^2}{2(2p)!} + (2p+1)p!(p+1)! \frac{2^{2p+1} - 1}{(2p+2)!} \\ &= \frac{(p!)^2}{2(2p)!} + (p!)^2 \frac{2^{2p+1} - 1}{2(2p)!} = \frac{2^{2p} (p!)^2}{(2p)!} \end{aligned}$$

C'est le résultat qu'il fallait démontrer.

Formule de récurrence sur les dérivées paramétriques des polynômes de Legendre, démonstration par récurrence de la formule de Bromwich pour les polynômes de Legendre

Revenons maintenant aux fonctions de Gegenbauer, pour déterminer une formule de récurrence sur les dérivées paramétriques ne partant de celle liant les fonctions de Gegenbauer :

$$(\nu + 1)C_{\nu+1}^\lambda(z) - 2(\lambda + \nu)zC_\nu^\lambda(z) + (2\lambda + \nu - 1)C_{\nu-1}^\lambda(z) = 0$$

Dérivation terme à terme \Rightarrow

$$(\nu + 1)\frac{\partial C_{\nu+1}^\lambda(z)}{\partial \nu} - 2(\lambda + \nu)z\frac{\partial C_\nu^\lambda(z)}{\partial \nu} + (2\lambda + \nu - 1)\frac{\partial C_{\nu-1}^\lambda(z)}{\partial \nu} = -C_{\nu+1}^\lambda(z) + 2zC_\nu^\lambda(z) - C_{\nu-1}^\lambda(z)$$

Cette formule appliquée aux polynômes de Legendre, il vient :

$$(\nu + 1)\frac{\partial P_{\nu+1}(z)}{\partial \nu} - (1 + 2\nu)z\frac{\partial P_\nu(z)}{\partial \nu} + \nu\frac{\partial P_{\nu-1}(z)}{\partial \nu} = -P_{\nu+1}(z) + 2zP_\nu(z) - P_{\nu-1}(z)$$

Avec les termes de départ de la récurrence sur ces polynômes, on peut imaginer la forme générale des dérivées paramétriques :

$$P_{-1}(z) = 0 \quad P_0(z) = 1$$

$$(\nu + 1)P_{\nu+1}(z) - (2\nu + 1)zP_\nu(z) + \nu P_{\nu-1}(z) = 0 \Rightarrow P_1(z) = z$$

$$\frac{\partial P_{-1}(z)}{\partial \nu} = 0 \quad \frac{\partial P_0(z)}{\partial \nu} = \text{Log}\left(\frac{1+z}{2}\right)$$

$$\text{Comme } (\nu + 1)\frac{\partial P_{\nu+1}(z)}{\partial \nu} - (1 + 2\nu)z\frac{\partial P_\nu(z)}{\partial \nu} + \nu\frac{\partial P_{\nu-1}(z)}{\partial \nu} = -P_{\nu+1}(z) + 2zP_\nu(z) - P_{\nu-1}(z)$$

$$\Rightarrow \left. \frac{\partial P_1(z)}{\partial \nu} \right|_{\nu=1} = z \text{Log}\left(\frac{1+z}{2}\right) + z$$

$$\text{Hypothèse } \left. \frac{\partial P_n(z)}{\partial \nu} \right|_{\nu=n} = P_n(z) \text{Log}\left(\frac{1+z}{2}\right) + R_n(z)$$

$$\text{avec } (n+1)P_{n+1}(z) - (2n+1)zP_n(z) + \nu P_{n-1}(z) = 0 \quad \text{valable pour } n \geq 1$$

$$\text{et } P_{-1}(z) = 0 \quad P_0(z) = 1$$

$$\text{et } (n+1)R_{n+1}(z) - (1+2n)zR_n(z) + nR_{n-1}(z) = -P_{n+1}(z) + 2zP_n(z) - P_{n-1}(z) \quad \text{valable pour } n \geq 1$$

$$\text{et } R_{-1}(z) = 0 \quad R_0(z) = 0$$

Problèmes aux limites de Laplace sur une hypersphère- p-

La proposition est vraie pour les termes de départ, supposons-la vraie pour le terme n , il vient pour le terme $n+1$:

$$\begin{aligned} \left. \frac{\partial P_v(z)}{\partial v} \right|_{v=n} &= P_n(z) \operatorname{Log} \left(\frac{1+z}{2} \right) + R_n(z) \\ (n+1) \frac{\partial P_{n+1}(z)}{\partial v} &= (1+2n)z \frac{\partial P_n(z)}{\partial v} - n \frac{\partial P_{n-1}(z)}{\partial v} - P_{n+1}(z) + 2zP_n(z) - P_{n-1}(z) \\ \Rightarrow (n+1) \frac{\partial P_{n+1}(z)}{\partial v} &= (1+2n)z \left[P_n(z) \operatorname{Log} \left(\frac{1+z}{2} \right) + R_n(z) \right] - n \left[P_{n-1}(z) \operatorname{Log} \left(\frac{1+z}{2} \right) + R_{n-1}(z) \right] - \\ &\quad - P_{n+1}(z) + 2zP_n(z) - P_{n-1}(z) \\ \Rightarrow (n+1) \frac{\partial P_{n+1}(z)}{\partial v} &= \operatorname{Log} \left(\frac{1+z}{2} \right) \left[(1+2n)zP_n(z) - nP_{n-1}(z) \right] + (1+2n)zR_n(z) - nR_{n-1}(z) - \\ &\quad - P_{n+1}(z) + 2zP_n(z) - P_{n-1}(z) \\ \text{Or } (1+2n)zR_n(z) - nR_{n-1}(z) - P_{n+1}(z) + 2zP_n(z) - P_{n-1}(z) &= (n+1)R_{n+1}(z) \\ \text{et } (1+2n)zP_n(z) - nP_{n-1}(z) &= (n+1)P_{n+1}(z) \\ \text{Donc } (n+1) \frac{\partial P_{n+1}(z)}{\partial v} &= (n+1)P_{n+1}(z) \operatorname{Log} \left(\frac{1+z}{2} \right) + (n+1)R_{n+1}(z) \\ \Rightarrow \frac{\partial P_{n+1}(z)}{\partial v} &= P_{n+1}(z) \operatorname{Log} \left(\frac{1+z}{2} \right) + R_{n+1}(z) \quad \text{Ce qui démontre la récurrence.} \end{aligned}$$

Problèmes aux limites de Laplace sur une hypersphère- p-

Formule de récurrence sur les dérivées paramétriques des polynômes de Gegenbauer de degré demi-entier, nouvelle formule de Bromwich pour les polynômes de Gegenbauer de degré demi-entier

L'hypothèse de récurrence est la suivante :

$$\left. \frac{\partial C_n^{\frac{2p+1}{2}}(z)}{\partial v} \right|_{v=n} = C_n^{\frac{2p+1}{2}}(z) \operatorname{Log} \left[\frac{1+z}{2} \right] + \frac{R_n^{\frac{2p+1}{2}}(z)}{(1+z)^p}$$

$$(n+1)C_{n+1}^{\frac{2p+1}{2}}(z) - (2p+1+2n)zC_n^{\frac{2p+1}{2}}(z) + (2p+n)C_{n-1}^{\frac{2p+1}{2}}(z) = 0 \quad \text{pour } n \geq 1$$

Départ de la récurrence $C_{-1}^{\frac{2p+1}{2}}(z) = 0 \quad C_0^{\frac{2p+1}{2}}(z) = 1$

$$(n+1)R_{n+1}^{\frac{2p+1}{2}}(z) - (2p+1+2n)zR_n^{\frac{2p+1}{2}}(z) + (2p+n)R_{n-1}^{\frac{2p+1}{2}}(z) = (1+z)^p \left[-C_{n+1}^{\frac{2p+1}{2}}(z) + 2zC_n^{\frac{2p+1}{2}}(z) - C_{n-1}^{\frac{2p+1}{2}}(z) \right]$$

à partir de $n \geq 1$

Départ de la récurrence $R_0^{\frac{2p+1}{2}}(z) = H_{2p}(1+z)^p - (p!)^2(1-z) \sum_{k=0}^{p-1} \frac{(1+z)^k(1-z)^{p-1-k}}{(p-k)k!(2p-k)!} \quad p > 0 \quad R_0^{\frac{1}{2}}(z) = 0$

$$R_1^{\frac{2p+1}{2}}(z) = \left\{ \begin{aligned} & (2p+1)z(1+z)^p \{H_{2p+1} - 1\} - \\ & - (1-z) \left[\frac{(2p+1)(1+z)^p}{(2p+2)} + \frac{(p!)^2}{2(2p)!} (1-z)^p + \right. \\ & \left. + (2p+1)p!(p+1)! \sum_{l=0}^{p-1} \frac{(p-l+z(p+1))}{(l+1)!(p-l)(2p+1-l)!} (1-z)^{p-1-l} (1+z)^l \right] \end{aligned} \right\} \quad p > 0$$

$$R_1^{\frac{1}{2}}(z) = z - 1 \quad H_{2p} \text{ et } H_{2p+1} \text{ nombres harmoniques} \quad H_n = \sum_{l'=1}^{l'=n} \frac{1}{l'}$$

Problèmes aux limites de Laplace sur une hypersphère- p-

Déterminons la loi de récurrence sur les polynômes de « Bromwich ultra-sphériques », et démontrons qu'ils sont des polynômes !

$$\begin{aligned}
 \left. \frac{\partial C_v^{\frac{2p+1}{2}}(z)}{\partial v} \right|_{v=n} &= C_n^{\frac{2p+1}{2}}(z) \operatorname{Log} \left[\frac{1+z}{2} \right] + \frac{R_n^{\frac{2p+1}{2}}(z)}{(1+z)^p} \quad \text{avec } R_n^{\frac{2p+1}{2}}(z) \text{ polynôme de degré } p+n \\
 (v+1)C_{v+1}^{\frac{2p+1}{2}}(z) - (2p+1+2v)zC_v^{\frac{2p+1}{2}}(z) + (2p+v)C_{v-1}^{\frac{2p+1}{2}}(z) &= 0 \\
 \Rightarrow C_{v+1}^{\frac{2p+1}{2}}(z) &= \frac{(2p+1+2v)zC_v^{\frac{2p+1}{2}}(z) - (2p+v)C_{v-1}^{\frac{2p+1}{2}}(z)}{(v+1)} \\
 (v+1)\frac{\partial C_{v+1}^{\frac{2p+1}{2}}(z)}{\partial v} - (2p+1+2v)z\frac{\partial C_v^{\frac{2p+1}{2}}(z)}{\partial v} + (2p+v)\frac{\partial C_{v-1}^{\frac{2p+1}{2}}(z)}{\partial v} &= -C_{v+1}^{\frac{2p+1}{2}}(z) + 2zC_v^{\frac{2p+1}{2}}(z) - C_{v-1}^{\frac{2p+1}{2}}(z) \\
 \Rightarrow (n+1)\left[C_{n+1}^{\frac{2p+1}{2}}(z) \operatorname{Log} \left[\frac{1+z}{2} \right] + \frac{R_{n+1}^{\frac{2p+1}{2}}(z)}{(1+z)^p} \right] - (2p+1+2n)z\left[C_n^{\frac{2p+1}{2}}(z) \operatorname{Log} \left[\frac{1+z}{2} \right] + \frac{R_n^{\frac{2p+1}{2}}(z)}{(1+z)^p} \right] + \\
 (2p+n)\left[C_{n-1}^{\frac{2p+1}{2}}(z) \operatorname{Log} \left[\frac{1+z}{2} \right] + \frac{R_{n-1}^{\frac{2p+1}{2}}(z)}{(1+z)^p} \right] &= -C_{n+1}^{\frac{2p+1}{2}}(z) + 2zC_n^{\frac{2p+1}{2}}(z) - C_{n-1}^{\frac{2p+1}{2}}(z) \\
 \Rightarrow \operatorname{Log} \left[\frac{1+z}{2} \right] \left[(n+1)C_{n+1}^{\frac{2p+1}{2}}(z) - (2p+1+2n)zC_n^{\frac{2p+1}{2}}(z) + (2p+n)C_{n-1}^{\frac{2p+1}{2}}(z) \right] + \\
 &= 0 \\
 + \frac{1}{(1+z)^p} \left[(n+1)R_{n+1}^{\frac{2p+1}{2}}(z) - (2p+1+2n)zR_n^{\frac{2p+1}{2}}(z) + (2p+n)R_{n-1}^{\frac{2p+1}{2}}(z) \right] &= -C_{n+1}^{\frac{2p+1}{2}}(z) + 2zC_n^{\frac{2p+1}{2}}(z) - C_{n-1}^{\frac{2p+1}{2}}(z) \\
 \Rightarrow (n+1)R_{n+1}^{\frac{2p+1}{2}}(z) - (2p+1+2n)zR_n^{\frac{2p+1}{2}}(z) + (2p+n)R_{n-1}^{\frac{2p+1}{2}}(z) &= \\
 = (1+z)^p \left[-C_{n+1}^{\frac{2p+1}{2}}(z) + 2zC_n^{\frac{2p+1}{2}}(z) - C_{n-1}^{\frac{2p+1}{2}}(z) \right] \quad \text{pour } n \geq 1 \\
 \Rightarrow (n+1)R_{n+1}^{\frac{2p+1}{2}}(z) - (2p+1+2n)zR_n^{\frac{2p+1}{2}}(z) + (2p+n)R_{n-1}^{\frac{2p+1}{2}}(z) &= -\frac{(1+z)^p(2p-1)}{(n+1)} \left[zC_n^{\frac{2p+1}{2}}(z) - C_{n-1}^{\frac{2p+1}{2}}(z) \right]
 \end{aligned}$$

plus commode pour démontrer le degré $n+p$ du polynôme

La relation de récurrence sur le polynômes R prouvent qu'ils sont bien de degré $n+p$.

Problèmes aux limites de Laplace sur une hypersphère- p-

Et d'autre part, on retrouve bien pour le cas $p=0$, la relation de récurrence des polynômes de Bromwich, à savoir :

$$(n+1)R_{n+1}^{\frac{2p+1}{2}}(z) - (2p+1+2n)zR_n^{\frac{2p+1}{2}}(z) + (2p+n)R_{n-1}^{\frac{2p+1}{2}}(z) = (1+z)^p \left[-C_{n+1}^{\frac{2p+1}{2}}(z) + 2zC_n^{\frac{2p+1}{2}}(z) - C_{n-1}^{\frac{2p+1}{2}}(z) \right]$$

$$p=0 \Rightarrow (n+1)R_{n+1}^{\frac{1}{2}}(z) - (1+2n)zR_n^{\frac{1}{2}}(z) + nR_{n-1}^{\frac{1}{2}}(z) = -C_{n+1}^{\frac{1}{2}}(z) + 2zC_n^{\frac{1}{2}}(z) - C_{n-1}^{\frac{1}{2}}(z)$$

On vient donc de trouver au moins pour les fonctions/polynômes Gegenbauer d'ordre demi-entier et de degré entiers, une formule équivalente à la formule de Bromwich pour les polynômes de Legendre.

Application de la formule de Bromwich au calcul des fonctions de Gegenbauer de deuxième espèce de degré entier et d'ordre demi-entier

Les formules de liaisons pour les fonctions Gegenbauer de première et deuxième espèce sont les suivante. :

$$\Rightarrow C_{(\varrho),v}^{\lambda}(z) = \frac{\pi}{2} \frac{\cos(v\pi)C_v^{\lambda}(z) - C_v^{\lambda}(-z)}{\sin(v\pi)} \quad v \notin N \rightarrow \text{Forme indéterminée} \quad \frac{0}{0} \quad \text{Lorsque } v = n$$

$$\frac{\cos(n\pi)C_v^{\lambda}(z) - C_v^{\lambda}(-z)}{\sin(v\pi)} \Rightarrow C_{(\varrho),n}^{\lambda}(z) = \lim_{v \rightarrow n \in N} \frac{\pi}{2} \frac{\cos(v\pi)C_v^{\lambda}(z) - C_v^{\lambda}(-z)}{\sin(v\pi)}$$

Calcul de la limite par la règle de l'Hôpital

$$C_{(\varrho),n}^{\lambda}(z) = \lim_{v \rightarrow n \in N} \frac{\pi}{2} \frac{\frac{\partial [\cos(v\pi)C_v^{\lambda}(z) - C_v^{\lambda}(-z)]}{\partial v}}{\frac{\partial \sin(v\pi)}{\partial v}} = \lim_{v \rightarrow n \in N} \frac{\pi}{2} \frac{\cos(v\pi) \frac{\partial C_v^{\lambda}(z)}{\partial v} - \pi \sin(v\pi) C_v^{\lambda}(z) - \frac{\partial C_v^{\lambda}(-z)}{\partial v}}{\pi \cos(v\pi)}$$

$$\Rightarrow C_{(\varrho),n}^{\lambda}(z) = \frac{1}{2} \frac{(-1)^n \frac{\partial C_n^{\lambda}(z)}{\partial v} - \frac{\partial C_n^{\lambda}(-z)}{\partial v}}{(-1)^n} = \frac{1}{2} \left(\frac{\partial C_n^{\lambda}(z)}{\partial v} - (-1)^n \frac{\partial C_n^{\lambda}(-z)}{\partial v} \right)$$

$$\Rightarrow \begin{cases} C_{(\varrho),0}^{\lambda}(z) = \frac{1}{2} \left(\frac{\partial C_0^{\lambda}(z)}{\partial v} - \frac{\partial C_0^{\lambda}(-z)}{\partial v} \right) \\ C_{(\varrho),1}^{\lambda}(z) = \frac{1}{2} \left(\frac{\partial C_1^{\lambda}(z)}{\partial v} + \frac{\partial C_1^{\lambda}(-z)}{\partial v} \right) \end{cases}$$

Problèmes aux limites de Laplace sur une hypersphère- p-

Pour les ordres demi-entiers :

$$\frac{\partial C_n^{\frac{2p+1}{2}}(z)}{\partial v} = C_n^{\frac{2p+1}{2}}(z) \text{Log} \left[\frac{1+z}{2} \right] + \frac{R_n^{\frac{2p+1}{2}}(z)}{(1+z)^p} \Rightarrow \frac{\partial C_n^{\frac{2p+1}{2}}(-z)}{\partial v} = (-1)^n C_n^{\frac{2p+1}{2}}(z) \text{Log} \left[\frac{1-z}{2} \right] + \frac{R_n^{\frac{2p+1}{2}}(-z)}{(1-z)^p}$$

$$\Rightarrow C_{(\varrho),n}^{\frac{2p+1}{2}}(z) = \frac{1}{2} \left(C_n^{\frac{2p+1}{2}}(z) \text{Log} \left[\frac{1+z}{1-z} \right] + \frac{R_n^{\frac{2p+1}{2}}(z)}{(1+z)^p} - (-1)^n \frac{R_n^{\frac{2p+1}{2}}(-z)}{(1-z)^p} \right)$$

Exemple pour p=0 :

$$C_{(\varrho),n}^{\frac{1}{2}}(z) = \frac{1}{2} \left(C_n^{\frac{1}{2}}(z) \text{Log} \left[\frac{1+z}{1-z} \right] + R_n^{\frac{1}{2}}(z) - (-1)^n R_n^{\frac{1}{2}}(-z) \right)$$

$$R_0^{\frac{1}{2}}(z) = 0 \Rightarrow C_{(\varrho),0}^{\frac{1}{2}}(z) = \frac{1}{2} \text{Log} \left[\frac{1+z}{1-z} \right] \quad R_1^{\frac{1}{2}}(z) = z - 1 \Rightarrow C_{(\varrho),1}^{\frac{1}{2}}(z) = \frac{z}{2} \text{Log} \left[\frac{1+z}{1-z} \right] + \frac{1}{2}((z-1) + (-z-1))$$

$$\Rightarrow C_{(\varrho),1}^{\frac{1}{2}}(z) = \frac{z}{2} \text{Log} \left[\frac{1+z}{1-z} \right] - 1$$

$$\left. \begin{aligned} R_2^{\frac{1}{2}}(z) &= \frac{7z^2}{4} - \frac{3z}{2} - \frac{1}{4} \\ R_2^{\frac{1}{2}}(-z) &= \frac{7z^2}{4} + \frac{3z}{2} - \frac{1}{4} \end{aligned} \right\} C_{(\varrho),2}^{\frac{1}{2}}(z) = \frac{(3z^2-1)}{4} \text{Log} \left[\frac{1+z}{1-z} \right] - \frac{3z}{2}$$

Exemple pour p=1 :

$$C_{(\varrho),n}^{\frac{3}{2}}(z) = \frac{1}{2} \left(C_n^{\frac{3}{2}}(z) \text{Log} \left[\frac{1+z}{1-z} \right] + \frac{R_n^{\frac{3}{2}}(z)}{1+z} - (-1)^n \frac{R_n^{\frac{3}{2}}(-z)}{1-z} \right)$$

$$C_0^{\frac{3}{2}}(z) = 1 \quad R_0^{\frac{3}{2}}(z) = 1 + 2z \Rightarrow C_{(\varrho),0}^{\frac{3}{2}}(z) = \frac{1}{2} \text{Log} \left[\frac{1+z}{1-z} \right] + \frac{((1+2z)(1-z) - (1-2z)(1+z))}{2(1-z^2)} = \frac{1}{2} \text{Log} \left[\frac{1+z}{1-z} \right] + \frac{z}{1-z^2}$$

$$C_1^{\frac{3}{2}}(z) = 3z \quad R_1^{\frac{3}{2}}(z) = 5z^2 + 2z - 2 \Rightarrow C_{(\varrho),1}^{\frac{3}{2}}(z) = \frac{3z}{2} \text{Log} \left[\frac{1+z}{1-z} \right] - \frac{2-3z^2}{1-z^2}$$

$$C_2^{\frac{3}{2}}(z) = 3 \frac{5z^2-1}{2} \quad R_2^{\frac{3}{2}}(z) = \frac{1}{4}(-5-31z+17z^2+47z^3) \Rightarrow C_{(\varrho),2}^{\frac{3}{2}}(z) = 3 \frac{5z^2-1}{4} \text{Log} \left[\frac{1+z}{1-z} \right] - \frac{z}{2} \left(\frac{13-15z^2}{1-z^2} \right)$$

Exemple pour p=2 :

$$C_{(\varrho),n}^{\frac{5}{2}}(z) = \frac{1}{2} \left(C_n^{\frac{5}{2}}(z) \text{Log} \left[\frac{1+z}{1-z} \right] + \frac{R_n^{\frac{5}{2}}(z)}{(1+z)^2} - (-1)^n \frac{R_n^{\frac{5}{2}}(-z)}{(1-z)^2} \right)$$

$$C_0^{\frac{5}{2}}(z) = 1 \quad R_0^{\frac{5}{2}}(z) = \frac{4+13z+8z^2}{3} \Rightarrow C_{(\varrho),0}^{\frac{5}{2}}(z) = \frac{1}{2} \text{Log} \left[\frac{1+z}{1-z} \right] + \frac{z(5-3z^2)}{3(1-z^2)^2}$$

$$C_1^{\frac{5}{2}}(z) = 5z \quad R_1^{\frac{5}{2}}(z) = \frac{-8+7z+47z^2+31z^3}{3} \Rightarrow C_{(\varrho),1}^{\frac{5}{2}}(z) = \frac{5z}{2} \text{Log} \left[\frac{1+z}{1-z} \right] + \frac{-8+25z^2-15z^4}{3(1-z^2)^2}$$

$$C_2^{\frac{5}{2}}(z) = \frac{5(-1+7z^2)}{2} \quad R_2^{\frac{5}{2}}(z) = \frac{-31-224z-18z^2+568z^3+389z^4}{12}$$

$$\Rightarrow C_{(\varrho),2}^{\frac{5}{2}}(z) = -\frac{5(1-7z^2)}{4} \text{Log} \left[\frac{1+z}{1-z} \right] + z \frac{81-190z^2+105z^4}{6(1-z^2)^2}$$

Table des nouveaux polynômes ultra-sphériques de Bromwich pour des ordres demi-entiers

A partir de la récurrence :

$$(n+1)R_{n+1}^{\frac{2p+1}{2}}(z) - (2p+1+2n)zR_n^{\frac{2p+1}{2}}(z) + (2p+n)R_{n-1}^{\frac{2p+1}{2}}(z) = (1+z)^p \left[-C_{n+1}^{\frac{2p+1}{2}}(z) + 2zC_n^{\frac{2p+1}{2}}(z) - C_{n-1}^{\frac{2p+1}{2}}(z) \right]$$

$$(n+1)C_{n+1}^{\frac{2p+1}{2}}(z) - (2p+1+2n)zC_n^{\frac{2p+1}{2}}(z) + (2p+n)C_{n-1}^{\frac{2p+1}{2}}(z) = 0$$

$$C_{-1}^{\frac{2p+1}{2}}(z) = 0 \quad C_0^{\frac{2p+1}{2}}(z) = 1$$

$$R_0^{\frac{2p+1}{2}}(z) = H_{2p}(1+z)^p - (p!)^2(1-z) \sum_{l=0}^{l=p-1} \frac{(1+z)^l(1-z)^{p-1-l}}{(p-l)!l!(2p-l)!} \quad p > 0 \quad R_0^{\frac{1}{2}}(z) = 0$$

$$R_1^{\frac{2p+1}{2}}(z) = \left\{ \begin{aligned} & (2p+1)z(1+z)^p \{H_{2p+1} - 1\} - \\ & - (1-z) \left[\frac{(2p+1)(1+z)^p}{(2p+2)} + \frac{(p!)^2}{2(2p)!} (1-z)^p + \right. \\ & \left. + (2p+1)p!(p+1)! \sum_{l=0}^{l=p-1} \frac{(p-l+z(p+1))}{(l+1)!(p-l)!(2p+1-l)!} (1-z)^{p-1-l} (1+z)^l \right] \end{aligned} \right\} \quad p > 0 \quad R_1^{\frac{1}{2}}(z) = z - 1$$

$$H_{2p} \text{ et } H_{2p+1} \text{ nombres harmoniques} \quad H_n = \sum_{l'=1}^{l'=n} \frac{1}{l'}$$

Les formules suivantes sont équivalentes :

$$C_{-1}^{\frac{2p+1}{2}}(z) = 0 \quad C_0^{\frac{2p+1}{2}}(z) = 1$$

$$C_n^{\frac{2p+1}{2}}(z) = \frac{(2p-1+2n)zC_{n-1}^{\frac{2p+1}{2}}(z) - (2p+n-1)C_{n-2}^{\frac{2p+1}{2}}(z)}{n}$$

$$R_0^{\frac{2p+1}{2}}(z) = H_{2p}(1+z)^p - (p!)^2(1-z) \sum_{l=0}^{l=p-1} \frac{(1+z)^l(1-z)^{p-1-l}}{(p-l)!l!(2p-l)!} \quad p > 0 \quad R_0^{\frac{1}{2}}(z) = 0$$

$$R_1^{\frac{2p+1}{2}}(z) = \left\{ \begin{aligned} & (2p+1)z(1+z)^p \{H_{2p+1} - 1\} - \\ & - (1-z) \left[\frac{(2p+1)(1+z)^p}{(2p+2)} + \frac{(p!)^2}{2(2p)!} (1-z)^p + \right. \\ & \left. + (2p+1)p!(p+1)! \sum_{l=0}^{l=p-1} \frac{(p-l+z(p+1))}{(l+1)!(p-l)!(2p+1-l)!} (1-z)^{p-1-l} (1+z)^l \right] \end{aligned} \right\} \quad p > 0 \quad R_1^{\frac{1}{2}}(z) = z - 1$$

$$R_n^{\frac{2p+1}{2}}(z) = \frac{(2p-1+2n)zR_{n-1}^{\frac{2p+1}{2}}(z) - (2p+n-1)R_{n-2}^{\frac{2p+1}{2}}(z) + (1+z)^p \left[-C_n^{\frac{2p+1}{2}}(z) + 2zC_{n-1}^{\frac{2p+1}{2}}(z) - C_{n-2}^{\frac{2p+1}{2}}(z) \right]}{n}$$

Problèmes aux limites de Laplace sur une hypersphère- p-

Ordre : $\lambda=1/2$, Degré	Polynôme ultra-sphérique de Bromwich
$n=0$	$R_0^{\frac{1}{2}}(z) = 0$
$n=1$	$R_1^{\frac{1}{2}}(z) = z - 1$
$n=2$	$R_2^{\frac{1}{2}}(z) = \frac{1}{4}(z - 1)(1 + 7z)$
$n=3$	$R_3^{\frac{1}{2}}(z) = \frac{1}{12}(z - 1)(-8 + 7z + 37z^2)$
$n=4$	$R_4^{\frac{1}{2}}(z) = \frac{1}{96}(z - 1)(-21 - 241z + 113z^2 + 533z^3)$
$n=5$	$R_5^{\frac{1}{2}}(z) = \frac{1}{480}(z - 1)(256 - 449z - 3389z^2 + 1101z^3 + 4881z^4)$

Ordre : $\lambda=3/2$, Degré	Polynôme ultra-sphérique de Bromwich
$n=0$	$R_0^{\frac{3}{2}}(z) = 1 + 2z$
$n=1$	$R_1^{\frac{3}{2}}(z) = -2 + 2z + 5z^2$
$n=2$	$R_2^{\frac{3}{2}}(z) = \frac{1}{4}(-5 - 31z + 17z^2 + 47z^3)$
$n=3$	$R_3^{\frac{3}{2}}(z) = \frac{1}{12}(32 - 61z - 291z^2 + 109z^3 + 319z^4)$
$n=4$	$R_4^{\frac{3}{2}}(z) = \frac{1}{32}(47 + 499z - 506z^2 - 2186z^3 + 619z^4 + 1879z^5)$
$n=5$	$R_5^{\frac{3}{2}}(z) = \frac{1}{160}(-512 + 1433z + 10085z^2 - 7030z^3 - 28870z^4 + 6557z^5 + 20417z^6)$

Problèmes aux limites de Laplace sur une hypersphère- p-

Ordre : $\lambda=5/2$, Degré	Polynôme ultra-sphérique de Bromwich
$n=0$	$R_0^{\frac{5}{2}}(z) = \frac{1}{3} (4 + 13z + 8z^2)$
$n=1$	$R_1^{\frac{5}{2}}(z) = \frac{1}{3} (-8 + 7z + 47z^2 + 31z^3)$
$n=2$	$R_2^{\frac{5}{2}}(z) = \frac{1}{12} (-31 - 224z - 18z^2 + 568z^3 + 389z^4)$
$n=3$	$R_3^{\frac{5}{2}}(z) = \frac{1}{12} (64 - 119z - 988z^2 - 342z^3 + 1564z^4 + 1097z^5)$
$n=4$	$R_4^{\frac{5}{2}}(z) = \frac{1}{96} (389 + 4454z - 1781z^2 - 28428z^3 - 13285z^4 + 32518z^5 + 23189z^6)$
$n=5$	$R_4^{\frac{5}{2}}(z) = \frac{1}{480} (-4096 + 11413z + 118614z^2 + 5035z^3 - 454540z^4 - 243669z^5 + 406102z^6 + 293141z^7)$

Ordre : $\lambda=7/2$, Degré	Polynôme ultra-sphérique de Bromwich
$n=0$	$R_0^{\frac{7}{2}}(z) = \frac{1}{15} (23 + 102z + 123z^2 + 46z^3)$
$n=1$	$R_1^{\frac{7}{2}}(z) = \frac{1}{15} (-48 + 32z + 471z^2 + 636z^3 + 247z^4)$
$n=2$	$R_2^{\frac{7}{2}}(z) = \frac{1}{60} (-247 - 2067z - 1446z^2 + 6334z^3 + 9873z^4 + 3921z^5)$
$n=3$	$R_3^{\frac{7}{2}}(z) = \frac{1}{60} (512 - 897z - 11553z^2 - 12086z^3 + 17790z^4 + 33051z^5 + 13327z^6)$
$n=4$	$R_4^{\frac{7}{2}}(z) = \frac{1}{480} (3921 + 48943z + 10581z^2 - 386565z^3 - 480925z^4 + 349437z^5 + 807351z^6 + 329177z^7)$
$n=5$	$R_4^{\frac{7}{2}}(z) = \frac{1}{480} (-8192 + 22335z + 320337z^2 + 241499z^3 - 1364955z^4 - 1924467z^5 + 754691z^6 + 2313945z^7 + 951495z^8)$

Applications aux normes de fonctions propres de problèmes aux limites en physique mathématique

Pour des problèmes aux limites sur des hémisphères à N-dimensions, soit un cône ultra-sphérique d'angle d'ouverture droit ($\vartheta_0=\pi/2$), ce sont les polynômes de Gegenbauer de degré impair qui forme une base de fonctions propres. Par un calcul des normes des fonctions on a établi le résultat suivant sur la dérivée paramétrique comme départ de récurrence pour le calcul de toutes les autres dérivées paramétriques :

$$\left. \frac{\partial C_v^{\lambda}(z)}{\partial v} \right|_{v=1} = -\sqrt{\pi} \frac{\Gamma\left(\frac{2\lambda+1}{2}\right)}{\Gamma(\lambda)} \quad \forall \lambda \text{ entier ou demi-entier}$$

Les normes de telles fonctions propres peuvent justement être calculées à l'aide de la dérivée paramétrique à la valeur $z=0$. Au vu du résultat obtenu, que peut-on dire de ces dérivées paramétriques.

D'après la formule généralisée de Bromwich, nous avons :

$$\left. \frac{\partial C_v^{\frac{2p+1}{2}}(z)}{\partial v} \right|_{v=n} = C_n^{\frac{2p+1}{2}}(z) \text{Log} \left[\frac{1+z}{2} \right] + \frac{R_n^{\frac{2p+1}{2}}(z)}{(1+z)^p} \quad \text{avec } R_n^{\frac{2p+1}{2}}(z) \text{ polynôme de degré } p+n$$

$$\Rightarrow \left. \frac{\partial C_v^{\frac{2p+1}{2}}(z)}{\partial v} \right|_{\substack{v=2n+1 \\ z=0}} = C_{2n+1}^{\frac{2p+1}{2}}(0) \text{Log} \left[\frac{1}{2} \right] + R_{2n+1}^{\frac{2p+1}{2}}(0) = R_{2n+1}^{\frac{2p+1}{2}}(0)$$

Il suffit donc de calculer le terme constant du polynôme généralisée de Bromwich. Pour cela utilisons la formule de récurrence de ces polynômes à la valeur $z=0$. Il vient :

$$(n+1)R_{n+1}^{\frac{2p+1}{2}}(z) - (2p+1+2n)zR_n^{\frac{2p+1}{2}}(z) + (2p+n)R_{n-1}^{\frac{2p+1}{2}}(z) = (1+z)^p \left[-C_{n+1}^{\frac{2p+1}{2}}(z) + 2zC_n^{\frac{2p+1}{2}}(z) - C_{n-1}^{\frac{2p+1}{2}}(z) \right]$$

$$\Leftrightarrow z=0 \Rightarrow (n+1)R_{n+1}^{\frac{2p+1}{2}}(0) + (2p+n)R_{n-1}^{\frac{2p+1}{2}}(0) = - \left[C_{n+1}^{\frac{2p+1}{2}}(0) + C_{n-1}^{\frac{2p+1}{2}}(0) \right]$$

$$n \rightarrow 2n \Rightarrow R_{2n+1}^{\frac{2p+1}{2}}(0) = - \frac{2(p+n)}{(2n+1)} R_{2n-1}^{\frac{2p+1}{2}}(0)$$

$$n \rightarrow 2n+1 \Rightarrow (2n+2)R_{2n+2}^{\frac{2p+1}{2}}(0) + (2p+2n+1)R_{2n}^{\frac{2p+1}{2}}(0) = - \left[C_{2n+2}^{\frac{2p+1}{2}}(0) + C_{2n}^{\frac{2p+1}{2}}(0) \right]$$

Pour la valeur en $z=0$, la dérivée paramétrique est donc constituée de deux jeux de valeurs, en relation exclusive soit entre les degrés impairs et les degrés pairs.

La relation de récurrence du calcul est donc assez simple, et il suffit de déterminer le premier terme de degré pair pour connaître les autres degrés pairs, comme suit (voir calcul précédent pour les polynômes R):

Calcul de $R_0^{\frac{2p+1}{2}}(0)$ constitue un départ de la récurrence

$$R_0^{\frac{2p+1}{2}}(0) = D_0^{\frac{2p+1}{2}}(0) = -(p!)^2 \sum_{k=0}^{p-1} \frac{1}{(p-k)k!(2p-k)!}$$

Problèmes aux limites de Laplace sur une hypersphère- p -

Pour les degrés impaires partons du premier terme de récurrence :

$$R_1^\lambda(0) = -\sqrt{\pi} \frac{\Gamma\left(\frac{2\lambda+1}{2}\right)}{\Gamma(\lambda)} \quad \text{constitue également un départ de récurrence}$$

Soit pour les ordres demi-entier :

$$\Gamma(2p+1) = \frac{2^{2p}}{\sqrt{\pi}} \Gamma\left(\frac{2p+1}{2}\right) \Gamma(p+1) \Rightarrow \Gamma\left(\frac{2p+1}{2}\right) = \frac{\sqrt{\pi}}{2^{2p}} \frac{\Gamma(2p+1)}{\Gamma(p+1)}$$

$$\left. \frac{\partial C_v^\lambda(0)}{\partial v} \right|_{v=1} = -\sqrt{\pi} \frac{\Gamma\left(\frac{2\lambda+1}{2}\right)}{\Gamma(\lambda)} \rightarrow \lambda = \frac{2p+1}{2} \Rightarrow \left. \frac{\partial C_v^{\frac{2p+1}{2}}(0)}{\partial v} \right|_{v=1} = -\sqrt{\pi} \frac{\Gamma(p+1)}{\Gamma\left(\frac{2p+1}{2}\right)}$$

$$\Rightarrow \left. \frac{\partial C_v^{\frac{2p+1}{2}}(0)}{\partial v} \right|_{v=1} = -2^{2p} \frac{(p!)^2}{(2p)!}$$

et pour les ordres entiers (voir plus loin), il vient :

$$\Gamma\left(\frac{2p+1}{2}\right) = \frac{2^{-2p} \sqrt{\pi} (2p)!}{p!} \Rightarrow \left. \frac{\partial C_v^p(0)}{\partial v} \right|_{v=1} = -\sqrt{\pi} \frac{\Gamma\left(\frac{2p+1}{2}\right)}{\Gamma(p)} = -\pi \frac{p(2p)!}{2^{2p}(p!)^2}$$

$$\text{Soit } \left. \frac{\partial C_v^p(0)}{\partial v} \right|_{v=1} = -\pi \frac{p(2p)!}{2^{2p}(p!)^2} \Rightarrow \begin{cases} p=1 \Rightarrow \left. \frac{\partial C_v^1(0)}{\partial v} \right|_{v=1} = -\pi \frac{p(2p)!}{2^{2p}(p!)^2} = -\frac{\pi}{2} \\ p=2 \Rightarrow \left. \frac{\partial C_v^2(0)}{\partial v} \right|_{v=1} = -\pi \frac{3!}{2^3} = -\frac{3\pi}{4} \\ p=3 \Rightarrow \left. \frac{\partial C_v^3(0)}{\partial v} \right|_{v=1} = -\pi \frac{3(6)!}{2^6(3!)^2} = -\frac{15\pi}{16} \end{cases}$$

Dérivées paramétriques des polynômes de Gegenbauer d'ordre entier

Passons maintenant à l'étude de la dérivée paramétrique pour les polynômes de Gegenbauer d'ordre entier. En commençant d'abord par le cas où $\lambda=1$ et $\nu=0$:

$$\begin{aligned} \lambda = 1 &\Rightarrow \left. \frac{\partial C_\nu^1(z)}{\partial \nu} \right|_{\nu=0} = \{\psi(2\lambda) - \psi(1)\} - \frac{\sqrt{\pi}}{2} \sum_{k=1}^{k=\infty} \frac{\Gamma(k+2)}{k \Gamma\left(\frac{3}{2} + k\right)} \left(\frac{1-z}{2}\right)^k \\ \Gamma\left(\frac{3}{2} + k\right) &= \left(\frac{1}{2} + k\right) \Gamma\left(\frac{2k+1}{2}\right) \quad \Gamma(2k+1) = \frac{2^{2k}}{\sqrt{\pi}} \Gamma\left(\frac{2k+1}{2}\right) \Gamma(k+1) \Leftrightarrow \Gamma\left(k + \frac{1}{2}\right) = \frac{\sqrt{\pi} \Gamma(2k+1)}{2^{2k} \Gamma(k+1)} \\ \Rightarrow \Gamma\left(\frac{3}{2} + k\right) &= \left(\frac{1}{2} + k\right) \frac{\Gamma(2k+1) \sqrt{\pi}}{2^{2k} \Gamma(k+1)} \Rightarrow \left. \frac{\partial C_\nu^1(z)}{\partial \nu} \right|_{\nu=0} = - \sum_{k=1}^{k=\infty} \frac{\Gamma(k+1) \Gamma(k+2)}{k \Gamma(2k+2)} 2^{2k} \left(\frac{1-z}{2}\right)^k \\ \Rightarrow \left. \frac{\partial C_\nu^1(z)}{\partial \nu} \right|_{\nu=0} &= 1 - \sum_{k=1}^{k=\infty} \frac{2^k k! (k+1)!}{k (2k+1)!} (1-z)^k = 1 - \sum_{k=1}^{k=\infty} \frac{2^k (k-1)! (k+1)!}{(2k+1)!} (1-z)^k = 1 - 2 \sum_{k=1}^{k=\infty} 2^k \frac{((k+1)!)^2}{k (2k+2)!} (1-z)^k \\ &= 1 - \frac{1}{(1-z)} \sum_{l=2}^{k=\infty} 2^l \frac{(l!)^2}{(l-1)(2l)!} (1-z)^l \end{aligned}$$

Pour simplifier ce développement en série on va commencer par utiliser l'expression des polynômes de Gegenbauer d'ordre 1 à l'aide des fonctions associés de Legendre à savoir :

Problèmes aux limites de Laplace sur une hypersphère- p-

$$C_v^\lambda(z) = \frac{2^{\frac{1-2\lambda}{2}} \sqrt{\pi} \Gamma(v+2\lambda) (1-z^2)^{\frac{1-2\lambda}{4}} P_{v+\lambda-\frac{1}{2}}^{\frac{1-2\lambda}{2}}(z)}{\Gamma(v+1)\Gamma(\lambda)} \quad \lambda = 1 \Rightarrow \left\{ C_v^1(z) = \sqrt{\frac{\pi}{2}} \frac{\Gamma(v+2)}{\Gamma(v+1)(1-z^2)^{\frac{1}{4}}} P_{v+\frac{1}{2}}^{-\frac{1}{2}}(z) \right.$$

$$\text{De plus } \begin{cases} P_v^{-\mu}(z) = -\frac{\Gamma(-v-\mu)\Gamma(v-\mu+1)}{\pi} (\sin(v\pi)P_v^\mu(z) + \sin(\mu\pi)P_v^\mu(-z)) \\ P_v^{-\mu}(z) = \frac{\Gamma(v-\mu+1)}{\sin((v+\mu)\pi)\Gamma(v+\mu+1)} (\sin(v\pi)P_v^\mu(z) + \sin(\mu\pi)P_v^\mu(-z)) \end{cases}$$

$$\text{Et } \Gamma(z)\Gamma(1-z) = \frac{\pi}{\sin(\pi z)} \Rightarrow \Gamma(z)\Gamma(-z) = -\frac{\pi}{z\sin(\pi z)} \Rightarrow \Gamma(-v-1)\Gamma(v+1) = \frac{\pi}{(v+1)\sin(\pi v)}$$

$$P_{v+\frac{1}{2}}^{-\frac{1}{2}}(z) = \frac{\left(\cos(v\pi)P_{v+\frac{1}{2}}^{\frac{1}{2}}(z) + P_{v+\frac{1}{2}}^{\frac{1}{2}}(-z) \right)}{(v+1)\sin((v+1)\pi)} = -\frac{\left(\cos(v\pi)P_{v+\frac{1}{2}}^{\frac{1}{2}}(z) + P_{v+\frac{1}{2}}^{\frac{1}{2}}(-z) \right)}{(v+1)\sin(\pi v)} \Rightarrow P_1^{-\frac{1}{2}}(z) = -\frac{2P_{\frac{1}{2}}^{\frac{1}{2}}(-z)}{3}$$

$$\text{De plus } P_v^{\frac{1}{2}}(z) = \sqrt{\frac{2}{\pi}} \frac{\cos\left(\left(v+\frac{1}{2}\right)\text{ArcCos}(z)\right)}{(1-z^2)^{\frac{1}{4}}} \Rightarrow P_{v+\frac{1}{2}}^{\frac{1}{2}}(z) = \sqrt{\frac{2}{\pi}} \frac{\cos((v+1)\text{ArcCos}(z))}{(1-z^2)^{\frac{1}{4}}}$$

$$P_{v+\frac{1}{2}}^{-\frac{1}{2}}(z) = -\sqrt{\frac{2}{\pi}} \frac{1}{(1-z^2)^{\frac{1}{4}}} \frac{(\cos(v\pi)\cos((v+1)\text{ArcCos}(z)) + \cos((v+1)\text{ArcCos}(-z)))}{(v+1)\sin(\pi v)} \quad \text{ArcCos}(-z) = \pi - \text{ArcCos}(z)$$

$$\Rightarrow C_v^1(z) = -\frac{1}{\sqrt{1-z^2}} \frac{\Gamma(v+2)}{\Gamma(v+1)} \frac{(\cos(v\pi)\cos((v+1)\text{ArcCos}(z)) + \cos((v+1)\text{ArcCos}(-z)))}{(v+1)\sin(\pi v)}$$

$$\Rightarrow C_v^1(z) = -\frac{1}{\sqrt{1-z^2}} \frac{\Gamma(v+2)}{\Gamma(v+1)} \frac{(\cos(v\pi)\cos((v+1)\text{ArcCos}(z)) + \cos((v+1)[\pi - \text{ArcCos}(z)]))}{(v+1)\sin(\pi v)}$$

$$\Rightarrow C_v^1(z) = \frac{1}{\sqrt{1-z^2}} \frac{\Gamma(v+2)}{\Gamma(v+1)} \frac{\sin((v+1)\text{ArcCos}(z))}{(v+1)} = \frac{\sin((v+1)\text{ArcCos}(z))}{\sqrt{1-z^2}}$$

$$\Rightarrow C_v^1(z) = U_v(z) \quad \text{avec } U_v(z) \text{ polynômes / fonctions de Tchebycheff de deuxième espèce}$$

L'expression est valable pour toute valeur de v réelle, on peut donc calculer directement la dérivée paramétrique de la fonction de Gegenbauer, comme suit :

$$C_v^1(z) = \frac{\sin((v+1)\text{ArcCos}(z))}{\sqrt{1-z^2}} \Rightarrow \frac{\partial C_v^1(z)}{\partial v} = \frac{\text{ArcCos}(z)\cos((v+1)\text{ArcCos}(z))}{\sqrt{1-z^2}}$$

$$\Rightarrow \frac{\partial C_v^1(z)}{\partial v} = \frac{\text{ArcCos}(z)T_{v+1}(z)}{\sqrt{1-z^2}} \quad \text{avec } T_v(z) \text{ polynômes / fonctions de Tchebycheff de première espèce}$$

Au passage cette expression respecte la relation de récurrence sur les degrés :

$$C_n^1(z) = 2zC_{n-1}^1(z) - C_{n-2}^1(z) \quad C_n^1(z) = U_n(z)$$

$$\frac{\partial C_n^1(z)}{\partial v} = \frac{2nz \frac{\partial C_{n-1}^1(z)}{\partial v} - n \frac{\partial C_{n-2}^1(z)}{\partial v} - C_n^1(z) + 2zC_{n-1}^1(z) - C_{n-2}^1(z)}{n}$$

$$\Rightarrow \frac{\partial C_n^1(z)}{\partial v} = 2z \frac{\partial C_{n-1}^1(z)}{\partial v} - \frac{\partial C_{n-2}^1(z)}{\partial v}$$

$$\frac{\partial C_n^1(z)}{\partial v} = T_{n+1}(z) \frac{\text{ArcCos}(z)}{\sqrt{1-z^2}} \quad \text{Or } T_{n+1}(z) = 2zT_n(z) - T_{n-1}(z) \quad \text{c.q.f.d}$$

Problèmes aux limites de Laplace sur une hypersphère- p-

L'expression obtenue donne pour $v=0$ et $v=1$:

$$\frac{\partial C_v^1(z)}{\partial v} = \frac{\text{ArcCos}(z) \cos((v+1)\text{ArcCos}(z))}{\sqrt{1-z^2}}$$

$$\left. \frac{\partial C_v^1(z)}{\partial v} \right|_{v=0} = \frac{z \text{ArcCos}(z)}{\sqrt{1-z^2}} \quad \left. \frac{\partial C_v^1(z)}{\partial v} \right|_{v=1} = \frac{\text{ArcCos}(z)(2z^2-1)}{\sqrt{1-z^2}} .$$

Lorsque $z=0$, il vient :

$$\left. \frac{\partial C_v^1(0)}{\partial v} \right|_{v=0} = 0 \quad \left. \frac{\partial C_v^1(0)}{\partial v} \right|_{v=1} = -\text{ArcCos}(0) = -\frac{\pi}{2}$$

Comparons avec la valeur de la dérivée paramétrique établie par le calcul des normes de fonctions propres :

$$\left. \frac{\partial C_v^p(0)}{\partial v} \right|_{v=1} = -\pi \frac{p(2p)!}{2^{2p}(p!)^2} \rightarrow p=1 \Rightarrow \left. \frac{\partial C_v^1(0)}{\partial v} \right|_{v=1} = -\pi \frac{p(2p)!}{2^{2p}(p!)^2} = -\frac{\pi}{2} .$$

Cette expression permet de rechercher le développement en série autour de $z=1$ de la fonction test, et l'on trouve une correspondance avec le développement en série obtenu :

Développement en série $f(z) = \frac{z \text{Arcos}(z)}{\sqrt{1-z^2}} = 1 - \left(\frac{2}{3}(1-z) + \frac{1}{5}(1-z)^2 + \frac{8}{105}(1-z)^3 + \frac{2}{63}(1-z)^4 \right)$

$$f(x) = 1 - \sum_{k=1}^{k=\infty} \frac{2^k (k-1)!(k+1)!}{(2k+1)!} (1-z)^k \Rightarrow 1 - \sum_{k=1}^{k=\infty} \frac{2^k (k-1)!(k+1)!}{(2k+1)!} (1-z)^k = \frac{z \text{Arcos}(z)}{\sqrt{1-z^2}}$$

$$\Rightarrow \left. \frac{\partial C_v^1(z)}{\partial v} \right|_{v=0} = \frac{z \text{Arcos}(z)}{\sqrt{1-z^2}} \Rightarrow \left. \frac{\partial C_v^1(1)}{\partial v} \right|_{v=0} = 0 \quad \left. \frac{\partial C_v^1(0)}{\partial v} \right|_{v=0} = 0$$

Là encore il y a une relative simplification de la formule de la dérivée paramétrique.

Problèmes aux limites de Laplace sur une hypersphère- p

Que se passe-t-il maintenant pour la valeur du paramètre $\lambda=2$ et $\nu=0$:

$$\begin{aligned} & \left\{ \lambda = 2 \Rightarrow \frac{\partial C_v^\lambda(z)}{\partial v} \right\}_{v=0} = \{\psi(2\lambda) - \psi(1)\} - \frac{\Gamma\left(\lambda + \frac{1}{2}\right)}{\Gamma(2\lambda)} \sum_{k=1}^{k=\infty} \frac{\Gamma(2\lambda + k)}{k \Gamma\left(\lambda + \frac{1}{2} + k\right)} \left(\frac{1-z}{2}\right)^k \\ & \Rightarrow \frac{\partial C_v^2(z)}{\partial v} \Big|_{v=0} = \{\psi(4) - \psi(1)\} - \frac{\Gamma\left(\frac{5}{2}\right)}{\Gamma(4)} \sum_{k=1}^{k=\infty} \frac{\Gamma(4+k)}{k \Gamma\left(\frac{5}{2} + k\right)} \left(\frac{1-z}{2}\right)^k \quad \{\psi(4) - \psi(1)\} = H_3 = \frac{11}{6} \\ & \Rightarrow \frac{\partial C_v^2(z)}{\partial v} \Big|_{v=0} = \frac{11}{6} - \frac{\sqrt{\pi}}{8} \sum_{k=1}^{k=\infty} \frac{\Gamma(k+4)}{k \Gamma\left(\frac{5}{2} + k\right)} \left(\frac{1-z}{2}\right)^k = \frac{11}{6} - \frac{1}{2} \sum_{k=1}^{k=\infty} \frac{\Gamma(k+1)\Gamma(k+2)(k+3)(k+2)}{k \Gamma(2k+2)\Gamma(2k+3)} 2^{2k} \left(\frac{1-z}{2}\right)^k \\ & \Rightarrow \frac{\partial C_v^2(z)}{\partial v} \Big|_{v=0} = \frac{11}{6} - \sum_{l=1}^{l=\infty} \frac{2^l (k+1)!(k+3)!}{4 \cdot 4 \cdot 2 \cdot 4 \cdot 4 \cdot 4 \cdot 3} (1-z)^k = \frac{11}{6} - \frac{1}{2} \sum_{l=2}^{l=\infty} \frac{2^l l!(l+2)!}{(l-1)(2l+1)!} (1-z)^{l-1} \\ & = \frac{11}{6} - \frac{1}{2} \left(\frac{1}{1-z}\right) \sum_{l=2}^{l=\infty} \frac{2^l l(l-2)!(l+2)!}{(2l+1)!} (1-z)^l = \frac{11}{6} - \frac{1}{2} \left(\frac{1}{1-z}\right) \sum_{l=2}^{l=\infty} \frac{2^l l(l+2)(l-1)!(l+1)!}{(l-1)(2l+1)!} (1-z)^l \\ & = \frac{11}{6} - \frac{1}{2} \left(\frac{1}{1-z}\right) \sum_{l=2}^{l=\infty} \frac{l(l+2)}{(l-1)} 2^l \frac{(l-1)!(l+1)!}{(2l+1)!} (1-z)^l \\ & = \frac{11}{6} - \frac{1}{2} \left(\frac{1}{1-z}\right) \sum_{l=2}^{l=\infty} \left(l+3 + \frac{3}{l-1}\right) 2^l \frac{(l-1)!(l+1)!}{(2l+1)!} (1-z)^l \\ & \text{Or } \sum_{l=1}^{l=\infty} 2^l l \frac{(l-1)!(l+1)!}{(2l+1)!} (1-z)^l = (1-z) \frac{d}{dz} \left[\frac{z \text{Arcos}(z)}{\sqrt{1-z^2}} \right] = -\frac{z}{1+z} + \frac{\text{Arcos}(z)}{(1+z)\sqrt{1-z^2}} \\ & \Rightarrow \sum_{l=2}^{l=\infty} 2^l l \frac{(l-1)!(l+1)!}{(2l+1)!} (1-z)^l = -\frac{z}{1+z} + \frac{\text{Arcos}(z)}{(1+z)\sqrt{1-z^2}} - \frac{2}{3}(1-z) \\ & \text{et } \sum_{l=1}^{k=\infty} \frac{2^l (l-1)!(l+1)!}{(2l+1)!} (1-z)^l = 1 - \frac{z \text{Arcos}(z)}{\sqrt{1-z^2}} \Rightarrow \sum_{l=2}^{l=\infty} 2^l \frac{(l-1)!(l+1)!}{(2l+1)!} (1-z)^l = 1 - \frac{z \text{Arcos}(z)}{\sqrt{1-z^2}} - \frac{2}{3}(1-z) \\ & l \geq 2 \quad \int_z^1 dz (1-z)^{l-2} = \left[-\frac{(1-z)^{l-1}}{l-1} \right]_z^1 = \frac{(1-z)^{l-1}}{l-1} \\ & \sum_{l=2}^{l=\infty} 2^l \frac{1}{l-1} \frac{(l-1)!(l+1)!}{(2l+1)!} (1-z)^l = (1-z) \sum_{l=2}^{l=\infty} 2^l \frac{(l-1)!(l+1)!}{(2l+1)!} \frac{(1-z)^{l-1}}{l-1} = (1-z) \sum_{l=2}^{l=\infty} 2^l \frac{(l-1)!(l+1)!}{(2l+1)!} \int_z^1 dz (1-z)^{l-2} \\ & = (1-z) \int_z^1 dz \left[\sum_{l=2}^{l=\infty} 2^l \frac{(l-1)!(l+1)!}{(2l+1)!} (1-z)^{l-2} \right] = (1-z) \int_z^1 dz \frac{1}{(1-z)^2} \left[\sum_{l=2}^{l=\infty} 2^l \frac{(l-1)!(l+1)!}{(2l+1)!} (1-z)^l \right] \\ & = (1-z) \int_z^1 dz \left[-\frac{2}{3(1-z)} + \frac{1}{(1-z)^2} \sum_{l=1}^{l=\infty} 2^l \frac{(l-1)!(l+1)!}{(2l+1)!} (1-z)^l \right] \quad \int dz \frac{1}{(1-z)^2} = \frac{1}{(1-z)} \quad \int dz \frac{1}{(1-z)} = -\text{Log}(1-z) \\ & \int dz \frac{z \text{Arcos}(z)}{(1-z)^2 \sqrt{1-z^2}} = \frac{2}{3} \text{Log}(1-z) + \frac{1}{3(1-z)} + \frac{\text{Arcos}(z)(2z-1)\sqrt{1-z^2}}{3(1-z)^2} \\ & \Rightarrow \int dz \left[\frac{1}{(1-z)^2} - \frac{2}{3(1-z)} - \frac{z \text{Arcos}(z)}{(1-z)^2 \sqrt{1-z^2}} \right] = \frac{2}{3(1-z)} - \frac{\text{Arcos}(z)(2z-1)\sqrt{1-z^2}}{3(1-z)^2} \end{aligned}$$

Continuons, ce calcul fastidieux :

$$\Rightarrow \sum_{l=2}^{l=\infty} 2^l \frac{1}{l-1} \frac{(l-1)!(l+1)!}{(2l+1)!} (1-z)^l = (1-z) \left[\frac{2}{3(1-z)} - \frac{\text{Arcos}(z)(2z-1)\sqrt{1-z^2}}{3(1-z)^2} \right]_z$$

$$\text{Or } f(z) = \frac{2}{3(1-z)} - \frac{\text{Arcos}(z)(2z-1)\sqrt{1-z^2}}{3(1-z)^2} \quad f(1) = \frac{13}{9}$$

$$\Rightarrow \sum_{l=2}^{l=\infty} 2^l \frac{1}{l-1} \frac{(l-1)!(l+1)!}{(2l+1)!} (1-z)^l = \left[\frac{13}{9}(1-z) - \frac{2}{3} + \frac{\text{Arcos}(z)(2z-1)\sqrt{1-z^2}}{3(1-z)} \right]$$

$$\Rightarrow \sum_{l=2}^{l=\infty} 2^l l \frac{(l-1)!(l+1)!}{(2l+1)!} (1-z)^l = -\frac{z}{1+z} + \frac{\text{Arcos}(z)}{(1+z)\sqrt{1-z^2}} - \frac{2}{3}(1-z)$$

$$\Rightarrow \sum_{l=2}^{l=\infty} 2^l \frac{(l-1)!(l+1)!}{(2l+1)!} (1-z)^l = 1 - \frac{z \text{Arcos}(z)}{\sqrt{1-z^2}} - \frac{2}{3}(1-z)$$

$$\Rightarrow \sum_{l=2}^{l=\infty} \left(l+3 + \frac{3}{l-1} \right) 2^l \frac{(l-1)!(l+1)!}{(2l+1)!} (1-z)^l = -\frac{z}{1+z} + \frac{\text{Arcos}(z)}{(1+z)\sqrt{1-z^2}} - \frac{2}{3}(1-z) +$$

$$+ 3 \left[1 - \frac{z \text{Arcos}(z)}{\sqrt{1-z^2}} - \frac{2}{3}(1-z) \right] + 3 \left[\frac{13}{9}(1-z) - \frac{2}{3} + \frac{\text{Arcos}(z)(2z-1)\sqrt{1-z^2}}{3(1-z)} \right]$$

$$= \frac{1}{1+z} + \frac{5}{3}(1-z) + \frac{\text{Arcos}(z)(2z-1)\sqrt{1-z^2}}{(1-z)} + \frac{\text{Arcos}(z)}{(1+z)\sqrt{1-z^2}} - 3 \frac{z \text{Arcos}(z)}{\sqrt{1-z^2}}$$

$$= \frac{1}{1+z} + \frac{5}{3}(1-z) + \frac{\text{Arcos}(z)}{(1+z)\sqrt{1-z^2}} \left[(2z-1)(1+z)^2 + 1 - 3z(1+z) \right]$$

$$\Rightarrow \sum_{l=2}^{l=\infty} \left(l+3 + \frac{3}{l-1} \right) 2^l \frac{(l-1)!(l+1)!}{(2l+1)!} (1-z)^l = \frac{1}{1+z} + \frac{5}{3}(1-z) + \frac{z \text{Arcos}(z)}{(1+z)\sqrt{1-z^2}} [2z^2 - 3]$$

Le résultat est donc :

$$\text{Comme } \frac{\partial C_v^2(z)}{\partial v} \Big|_{v=0} = \frac{11}{6} - \frac{1}{2} \left(\frac{1}{1-z} \right) \sum_{l=2}^{l=\infty} \left(l+3 + \frac{3}{l-1} \right) 2^l \frac{(l-1)!(l+1)!}{(2l+1)!} (1-z)^l$$

$$\Rightarrow \frac{\partial C_v^2(z)}{\partial v} \Big|_{v=0} = \frac{11}{6} - \frac{1}{2} \left(\frac{1}{1-z^2} + \frac{5}{3} + \frac{z \text{Arcos}(z)(2z^2-3)}{(1-z^2)\sqrt{1-z^2}} \right)$$

$$\Rightarrow \frac{\partial C_v^2(z)}{\partial v} \Big|_{v=0} = 1 - \frac{1}{2} \left(\frac{1}{1-z^2} + \frac{z \text{Arcos}(z)(2z^2-3)}{(1-z^2)\sqrt{1-z^2}} \right) = \frac{1-2z^2}{2(1-z^2)} + \frac{3-2z^2}{2(1-z^2)^{\frac{3}{2}}} z \text{Arcos}(z)$$

$$\text{De plus } \frac{\partial C_v^2(1)}{\partial v} \Big|_{v=0} = \frac{11}{6} \quad \frac{\partial C_v^2(0)}{\partial v} \Big|_{v=0} = \frac{1}{2}$$

Problèmes aux limites de Laplace sur une hypersphère- p-

Voyons si l'on peut exprimer également sous forme de fonctions connues la dérivée paramétrique de la fonction de Gegenbauer pour la valeur du paramètre $\lambda=3$ et $n=0$:

$$\left\{ \begin{array}{l} \lambda = 3 \\ \frac{\partial C_v^\lambda(z)}{\partial v} \Big|_{v=0} = \{\psi(2\lambda) - \psi(1)\} - \frac{\Gamma\left(\lambda + \frac{1}{2}\right)}{\Gamma(2\lambda)} \sum_{k=1}^{k=\infty} \frac{\Gamma(2\lambda + k)}{k \Gamma\left(\lambda + \frac{1}{2} + k\right)} \left(\frac{1-z}{2}\right)^k \end{array} \right. \quad H_5 = \frac{137}{60}$$

$$\Rightarrow \frac{\partial C_v^3(z)}{\partial v} \Big|_{v=0} = H_5 - \frac{\Gamma\left(\frac{7}{2}\right)}{\Gamma(6)} \sum_{k=1}^{k=\infty} \frac{\Gamma(6+k)}{k \Gamma\left(\frac{7}{2} + k\right)} \left(\frac{1-z}{2}\right)^k = \frac{137}{60} - \frac{\Gamma\left(\frac{7}{2}\right)}{\Gamma(6)} \sum_{k=1}^{k=\infty} \frac{\Gamma(6+k)}{k \Gamma\left(\frac{7}{2} + k\right)} \left(\frac{1-z}{2}\right)^k$$

$$\Gamma\left(\frac{7}{2}\right) = \frac{5}{2} \frac{3}{2} \frac{1}{2} \sqrt{\pi} \quad \Gamma(6) = 5! \quad \Gamma\left(\frac{7}{2} + k\right) = \frac{1}{8} (2k+5)(2k+3)(2k+1) \Gamma\left(\frac{1}{2} + k\right) \quad \Gamma\left(\frac{1}{2} + k\right) = \frac{\sqrt{\pi} \Gamma(2k+1)}{2^{2k} \Gamma(k+1)}$$

$$\Rightarrow \frac{\partial C_v^3(z)}{\partial v} \Big|_{v=0} = \frac{137}{60} - \frac{1}{8} \sum_{k=1}^{k=\infty} 2^k \frac{\Gamma(6+k) \Gamma(k+1)}{k (2k+5)(2k+3)(2k+1) \Gamma(2k+1)} (1-z)^k$$

Continuons le calcul du développement en série :

$$\begin{aligned} \Rightarrow \frac{\partial C_v^3(z)}{\partial v} \Big|_{v=0} &= \frac{137}{60} - \frac{1}{8} \sum_{k=1}^{k=\infty} 2^k \frac{\Gamma(6+k)\Gamma(k+1)}{k(2k+5)(2k+3)(2k+1)\Gamma(2k+1)} (1-z)^k \\ &= \frac{137}{60} - \frac{1}{2} \sum_{\substack{l=1 \\ l=k+2 \Leftrightarrow k=l-2}}^{l=\infty} 2^l \frac{(k+2)!(k+5)!}{4 \cdot 4 \cdot 4 \cdot 4} (1-z)^k = \frac{137}{60} - \frac{1}{2} \sum_{l=3}^{l=\infty} 2^{l-2} \frac{l!(l+3)!}{(l-2)!(2l+1)!} (1-z)^{l-2} \end{aligned}$$

$$\Rightarrow \frac{\partial C_v^3(z)}{\partial v} \Big|_{v=0} = \frac{137}{60} - \frac{1}{8} \sum_{l=3}^{l=\infty} \frac{l(l+2)(l+3)}{(l-2)} 2^l \frac{(l-1)!(l+1)!}{(2l+1)!} (1-z)^{l-2}$$

$$\frac{l(l+2)(l+3)}{(l-2)} = Al^2 + Bl + C + \frac{D}{(l-2)} \Leftrightarrow \begin{cases} D = 2C = 40 \\ C = 6 + 2B = 20 \\ B = 5 + 2A = 7 \\ A = 1 \end{cases}$$

$$\Leftrightarrow \frac{l(l+2)(l+3)}{(l-2)} = l^2 + 7l + 20 + \frac{40}{(l-2)} = l(l-1) + 8l + 20 + \frac{40}{(l-2)}$$

$$\Rightarrow \frac{\partial C_v^3(z)}{\partial v} \Big|_{v=0} = \frac{137}{60} - \frac{1}{8} \sum_{l=3}^{l=\infty} \left[l(l-1) + 8l + 20 + \frac{40}{(l-2)} \right] 2^l \frac{(l-1)!(l+1)!}{(2l+1)!} (1-z)^{l-2}$$

$$\Rightarrow \frac{\partial C_v^3(z)}{\partial v} \Big|_{v=0} = \frac{137}{60} - \frac{1}{8} [(1) + 8 \times (2) + 20 \times (3) + 40 \times (4)]$$

$$\text{Avec } \left\{ \begin{array}{l} (1) \sum_{l=3}^{l=\infty} l(l-1) 2^l \frac{(l-1)!(l+1)!}{(2l+1)!} (1-z)^{l-2} \\ (2) \sum_{l=3}^{l=\infty} l 2^l \frac{(l-1)!(l+1)!}{(2l+1)!} (1-z)^{l-2} \\ (3) \sum_{l=3}^{l=\infty} 2^l \frac{(l-1)!(l+1)!}{(2l+1)!} (1-z)^{l-2} \\ (4) \sum_{l=3}^{l=\infty} \frac{1}{(l-2)} 2^l \frac{(l-1)!(l+1)!}{(2l+1)!} (1-z)^{l-2} \end{array} \right.$$

Calculons les nouvelles séries (1), (2), (3) et (4):

$$\sum_{l=3}^{l=\infty} 2^l \frac{(l-1)!(l+1)!}{(2l+1)!} (1-z)^l = 1 - \frac{2}{3}(1-z) - \frac{1}{5}(1-z)^2 - \frac{z \operatorname{Arcos}(z)}{\sqrt{1-z^2}}$$

$$(1) \quad \sum_{l=3}^{l=\infty} l(l-1)2^l \frac{(l-1)!(l+1)!}{(2l+1)!} (1-z)^{l-2} = \frac{d^2}{dz^2} \left[\sum_{l=3}^{l=\infty} 2^l \frac{(l-1)!(l+1)!}{(2l+1)!} (1-z)^l \right]$$

$$= \frac{d^2}{dz^2} \left[1 - \frac{2}{3}(1-z) - \frac{1}{5}(1-z)^2 - \frac{z \operatorname{Arcos}(z)}{\sqrt{1-z^2}} \right] = \frac{8+9z^2-2z^4-15 \frac{z \operatorname{Arcos}(z)}{\sqrt{1-z^2}}}{5(1-z^2)^2}$$

$$(2) \quad \sum_{l=3}^{l=\infty} l2^l \frac{(l-1)!(l+1)!}{(2l+1)!} (1-z)^{l-2} = -\frac{1}{(1-z)} \frac{d}{dz} \left[\sum_{l=3}^{l=\infty} 2^l \frac{(l-1)!(l+1)!}{(2l+1)!} (1-z)^l \right]$$

$$= -\frac{1}{(1-z)} \frac{d}{dz} \left[1 - \frac{2}{3}(1-z) - \frac{1}{5}(1-z)^2 - \frac{z \operatorname{Arcos}(z)}{\sqrt{1-z^2}} \right] = -\frac{16(1-z^2)+9z+6z^3-15 \frac{\operatorname{Arcos}(z)}{\sqrt{1-z^2}}}{15(1+z)(1-z)^2}$$

$$(3) \quad \sum_{l=3}^{l=\infty} 2^l \frac{(l-1)!(l+1)!}{(2l+1)!} (1-z)^{l-2} = \frac{1}{(1-z)^2} \left[1 - \frac{2}{3}(1-z) - \frac{1}{5}(1-z)^2 - \frac{z \operatorname{Arcos}(z)}{\sqrt{1-z^2}} \right]$$

$$(4) \quad \sum_{l=3}^{l=\infty} \frac{1}{(l-2)} 2^l \frac{(l-1)!(l+1)!}{(2l+1)!} (1-z)^{l-2} = \sum_{l=3}^{l=\infty} 2^l \frac{(l-1)!(l+1)!}{(2l+1)!} \int_z^1 dz (1-z)^{l-3} = \int_z^1 dz \frac{1}{(1-z)^3} \left[\sum_{l=3}^{l=\infty} 2^l \frac{(l-1)!(l+1)!}{(2l+1)!} (1-z)^l \right]$$

$$= \int_z^1 dz \left[\frac{1}{(1-z)^3} - \frac{2}{3(1-z)^2} - \frac{1}{5(1-z)} - \frac{z \operatorname{Arcos}(z)}{(1-z)^3 \sqrt{1-z^2}} \right] = \int_z^1 dz \left[\frac{2+16z-3z^2}{15(1-z)^3} - \frac{z \operatorname{Arcos}(z)}{(1-z)^3 \sqrt{1-z^2}} \right]$$

$$\text{Or } \int dz \left[\frac{2+16z-3z^2}{15(1-z)^3} - \frac{z \operatorname{Arcos}(z)}{(1-z)^3 \sqrt{1-z^2}} \right] = \frac{-1+8z-7z^2+3(1-3z+z^2)\sqrt{1-z^2} \operatorname{Arcos}(z)}{15(1-z)^3} = f(z)$$

$$\text{De plus } \lim_{z \rightarrow 1} f(z) = \frac{26}{75}$$

$$\Rightarrow \int_z^1 dz \left[\frac{2+16z-3z^2}{15(1-z)^3} - \frac{z \operatorname{Arcos}(z)}{(1-z)^3 \sqrt{1-z^2}} \right] = \frac{26}{75} - \frac{-1+8z-7z^2+3(1-3z+z^2)\sqrt{1-z^2} \operatorname{Arcos}(z)}{15(1-z)^3}$$

$$\Rightarrow \sum_{l=3}^{l=\infty} \frac{1}{(l-2)} 2^l \frac{(l-1)!(l+1)!}{(2l+1)!} (1-z)^{l-2} = \frac{26}{75} - \frac{-1+8z-7z^2+3(1-3z+z^2)\sqrt{1-z^2} \operatorname{Arcos}(z)}{15(1-z)^3}$$

$$\Rightarrow \sum_{l=3}^{l=\infty} \frac{1}{(l-2)} 2^l \frac{(l-1)!(l+1)!}{(2l+1)!} (1-z)^l = \frac{26}{75}(1-z)^2 - \frac{-1+8z-7z^2+3(1-3z+z^2)\sqrt{1-z^2} \operatorname{Arcos}(z)}{15(1-z)}$$

Combinons les 4 expressions nous obtenons :

$$\Rightarrow \frac{\partial C_v^3(z)}{\partial v} \Big|_{v=0} = \frac{137}{60} - \frac{1}{8}[(1)+8 \times (2)+20 \times (3)+40 \times (4)]$$

$$\Rightarrow \frac{\partial C_v^3(z)}{\partial v} \Big|_{v=0} = \frac{137}{60} + \frac{(-184+233z^2-94z^4)\sqrt{1-z^2}+15z(15-20z^2+8z^4)\operatorname{Arcos}(z)}{120(1-z^2)^{\frac{5}{2}}}$$

$$\Rightarrow \frac{\partial C_v^3(z)}{\partial v} \Big|_{v=0} = \frac{3(2-7z^2+4z^4)}{8(1-z^2)^2} + \frac{z(15-20z^2+8z^4)\operatorname{Arcos}(z)}{8(1-z^2)^{\frac{5}{2}}} \Rightarrow \frac{\partial C_v^3(1)}{\partial v} \Big|_{v=0} = \frac{137}{60} \quad \frac{\partial C_v^3(0)}{\partial v} \Big|_{v=0} = \frac{3}{4}$$

Problèmes aux limites de Laplace sur une hypersphère- p-

Résumons la situation sur les trois premières dérivées paramétriques des polynômes de Gegenbauer d'ordre 1,2 et 3 et de degré zéro :

$$\lambda = 1 \Rightarrow \frac{\partial C_v^1(z)}{\partial v} \Big|_{v=0} = \frac{z \operatorname{Arcos}(z)}{(1-z^2)^{\frac{1}{2}}} \quad \lambda = 2 \Rightarrow \frac{\partial C_v^2(z)}{\partial v} \Big|_{v=0} = \frac{1-2z^2}{2(1-z^2)} + \frac{3-2z^2}{2(1-z^2)^{\frac{3}{2}}} z \operatorname{Arcos}(z)$$

$$\lambda = 3 \Rightarrow \frac{\partial C_v^3(z)}{\partial v} \Big|_{v=0} = \frac{3(2-7z^2+4z^4)}{8(1-z^2)^2} + \frac{z(15-20z^2+8z^4)\operatorname{Arcos}(z)}{8(1-z^2)^{\frac{5}{2}}}$$

Passons maintenant à l'étude de la dérivée paramétrique pour les polynômes de Gegenbauer d'ordre entier et de degré 1. Nous avons :

$$\frac{\partial C_v^\lambda(z)}{\partial v} \Big|_{v=1} = \left\{ 2\lambda z \{ \psi(1+2\lambda) - \psi(2) \} - \frac{\Gamma(3+2\lambda)}{\Gamma(2\lambda)(1+2\lambda)^2} (1-z) + \frac{\Gamma\left(\lambda + \frac{1}{2}\right)}{\Gamma(2\lambda)} \left(\frac{1-z}{2}\right)^2 \sum_{l=0}^{2\lambda-1} \left[\frac{\Gamma(3+2\lambda+l)}{(l+1)(l+2)\Gamma\left(\lambda + \frac{5}{2}+l\right)} \left(\frac{1-z}{2}\right)' \right] \right\}$$

$$\psi(2+2\lambda-1) - \psi(2) = \sum_{l=0}^{2\lambda-2} \frac{1}{l+2} = \sum_{l=2}^{2\lambda} \frac{1}{l} = H_{2\lambda} - 1$$

$$\frac{\partial C_v^\lambda(z)}{\partial v} \Big|_{v=1} = \left\{ 2\lambda z (H_{2\lambda} - 1) - \frac{\Gamma(3+2\lambda)}{\Gamma(2\lambda)(1+2\lambda)^2} (1-z) + \frac{\Gamma\left(\lambda + \frac{1}{2}\right)}{\Gamma(2\lambda)} \left(\frac{1-z}{2}\right)^2 \sum_{l=0}^{2\lambda-1} \left[\frac{\Gamma(3+2\lambda+l)}{(l+1)(l+2)\Gamma\left(\lambda + \frac{5}{2}+l\right)} \left(\frac{1-z}{2}\right)' \right] \right\}.$$

Commençons par $\lambda=1$ et $\nu=1$, il vient :

$$\begin{aligned} \left. \frac{\partial C_v^\lambda(z)}{\partial \nu} \right|_{\nu=1} &= \left\{ 2\lambda z(H_2 - 1) - \frac{\Gamma(5)}{\Gamma(2)^3} (1-z) + \frac{\Gamma\left(\frac{3}{2}\right)}{\Gamma(2)} \left(\frac{1-z}{2}\right)^2 \sum_{l=0}^{\infty} \left[\frac{\Gamma(5+l)}{(l+1)(l+2)\Gamma\left(\frac{7}{2}+l\right)} \left(\frac{1-z}{2}\right)^l \right] \right\} \\ \Gamma\left(\frac{7}{2}+l\right) &= \left(\frac{5}{2}+l\right)\left(\frac{3}{2}+l\right)\left(\frac{1}{2}+l\right)\Gamma\left(\frac{1}{2}+l\right) = \frac{1}{8}(2l+5)(2l+3)(2l+1)\Gamma\left(\frac{1}{2}+l\right) \quad \Gamma\left(l+\frac{1}{2}\right) = \frac{\sqrt{\pi}\Gamma(2l+1)}{2^{2l}\Gamma(l+1)} \\ \left. \frac{\partial C_v^1(z)}{\partial \nu} \right|_{\nu=1} &= \left\{ z - \frac{8}{3}(1-z) + \sqrt{\pi}(1-z)^2 \sum_{l=0}^{\infty} \left[\frac{\Gamma(5+l)}{(l+1)(l+2)(2l+5)(2l+3)(2l+1)\Gamma\left(\frac{1}{2}+l\right)} \left(\frac{1-z}{2}\right)^l \right] \right\} \\ \left. \frac{\partial C_v^1(z)}{\partial \nu} \right|_{\nu=1} &= \left\{ z - \frac{8}{3}(1-z) + (1-z)^2 \sum_{l=0}^{\infty} \left[\frac{2^l \Gamma(l+1)\Gamma(l+5)(2l+2)(2l+4)}{(l+1)(l+2)(2l+5)(2l+4)(2l+3)(2l+2)\Gamma(2l+2)} (1-z)^l \right] \right\} \\ \left. \frac{\partial C_v^1(z)}{\partial \nu} \right|_{\nu=1} &= \left\{ z - \frac{8}{3}(1-z) + 4(1-z)^2 \sum_{l=0}^{\infty} \frac{2^l \Gamma(l+1)\Gamma(l+5)}{\Gamma(2l+6)} (1-z)^l \right\} = \left\{ z - \frac{8}{3}(1-z) + 4(1-z)^2 \sum_{l=0}^{\infty} \frac{2^l l!(l+4)!}{(2l+5)!} (1-z)^l \right\} \\ \left. \frac{\partial C_v^1(z)}{\partial \nu} \right|_{\nu=1} &= \left\{ z - \frac{8}{3}(1-z) + \sum_{l=2}^{\infty} \frac{2^l (l-2)!(l+2)!}{(2l+1)!} (1-z)^l \right\} = \left\{ z - \frac{8}{3}(1-z) + \sum_{l=2}^{\infty} \frac{(l+2)}{(l-1)} \frac{2^l (l-1)!(l+1)!}{(2l+1)!} (1-z)^l \right\} \\ \left. \frac{\partial C_v^1(z)}{\partial \nu} \right|_{\nu=1} &= \left\{ z - \frac{8}{3}(1-z) + \sum_{l=2}^{\infty} \left(1 + \frac{3}{l-1}\right) \frac{2^l (l-1)!(l+1)!}{(2l+1)!} (1-z)^l \right\} \end{aligned}$$

Les séries ont déjà été calculées :

$$\begin{aligned} \sum_{l=2}^{\infty} 2^l \frac{(l-1)!(l+1)!}{(2l+1)!} (1-z)^l &= 1 - \frac{2}{3}(1-z) - \frac{z \operatorname{Arcos}(z)}{\sqrt{1-z^2}} \\ \sum_{l=2}^{\infty} 2^l \frac{1}{l-1} \frac{(l-1)!(l+1)!}{(2l+1)!} (1-z)^l &= \left[\frac{13}{9}(1-z) - \frac{2}{3} + \frac{\operatorname{Arcos}(z)(2z-1)\sqrt{1-z^2}}{3(1-z)} \right] \\ \left. \frac{\partial C_v^1(z)}{\partial \nu} \right|_{\nu=1} &= \left\{ z - \frac{8}{3}(1-z) + \sum_{l=2}^{\infty} \frac{2^l (l-1)!(l+1)!}{(2l+1)!} (1-z)^l + 3 \sum_{l=2}^{\infty} \frac{1}{l-1} \frac{2^l (l-1)!(l+1)!}{(2l+1)!} (1-z)^l \right\} \\ \Rightarrow \left. \frac{\partial C_v^1(z)}{\partial \nu} \right|_{\nu=1} &= \left\{ z - \frac{8}{3}(1-z) + 1 - \frac{z \operatorname{Arcos}(z)}{\sqrt{1-z^2}} - \frac{2}{3}(1-z) + 3 \left[\frac{13}{9}(1-z) - \frac{2}{3} + \frac{\operatorname{Arcos}(z)(2z-1)\sqrt{1-z^2}}{3(1-z)} \right] \right\} \\ \Rightarrow \left. \frac{\partial C_v^1(z)}{\partial \nu} \right|_{\nu=1} &= -\frac{\operatorname{Arcos}(z)}{\sqrt{1-z^2}} (1-2z^2) \Rightarrow \left. \frac{\partial C_v^1(z)}{\partial \nu} \right|_{\nu=1} = 1 \quad \left. \frac{\partial C_v^1(0)}{\partial \nu} \right|_{\nu=1} = -\frac{\pi}{2} \end{aligned}$$

Voyons ce que cela donne pour $\lambda=2$ et $\nu=1$:

$$\left. \frac{\partial C_\nu^2(z)}{\partial \nu} \right|_{\nu=1} = \left\{ 4z(H_4 - 1) - \frac{\Gamma(7)}{25\Gamma(4)}(1-z) + \frac{\Gamma\left(\frac{5}{2}\right)}{\Gamma(4)} \left(\frac{1-z}{2}\right)^2 \sum_{l=0}^{\infty} \left[\frac{\Gamma(l+7)}{(l+1)(l+2)\Gamma\left(l+\frac{9}{2}\right)} \left(\frac{1-z}{2}\right)^l \right] \right\}$$

$$\left. \frac{\partial C_\nu^2(z)}{\partial \nu} \right|_{\nu=1} = \left\{ \frac{13z}{3} - \frac{24}{5}(1-z) + \frac{\sqrt{\pi}}{2^5}(1-z)^2 \sum_{l=0}^{\infty} \left[\frac{\Gamma(l+7)}{(l+1)(l+2)\left(l+\frac{7}{2}\right)\left(l+\frac{5}{2}\right)\left(l+\frac{3}{2}\right)\left(l+\frac{1}{2}\right)\Gamma\left(l+\frac{1}{2}\right)} \left(\frac{1-z}{2}\right)^l \right] \right\}$$

$$\left. \frac{\partial C_\nu^2(z)}{\partial \nu} \right|_{\nu=1} = \left\{ \frac{13z}{3} - \frac{24}{5}(1-z) + \frac{2^4}{2^5}(1-z)^2 \sum_{l=0}^{\infty} \left[\frac{2^l \Gamma(l+1)\Gamma(l+7)(2l+2)(2l+4)(2l+6)}{(l+1)(l+2)\Gamma(2l+8)} (1-z)^l \right] \right\}$$

$$\left. \frac{\partial C_\nu^2(z)}{\partial \nu} \right|_{\nu=1} = \left\{ \frac{13z}{3} - \frac{24}{5}(1-z) + \frac{2^7}{2^5}(1-z)^2 \sum_{l=0}^{\infty} \left[\frac{2^l (l+1)(l+2)(l+3)\Gamma(l+1)\Gamma(l+7)}{(l+1)(l+2)\Gamma(2l+8)} (1-z)^l \right] \right\}$$

$$\left. \frac{\partial C_\nu^2(z)}{\partial \nu} \right|_{\nu=1} = \left\{ \frac{13z}{3} - \frac{24}{5}(1-z) + \frac{1}{2(1-z)} \sum_{l=0}^{\infty} \left[\frac{2^{l+3}(l+3)!(l+6)!}{(l+1)(l+2)(2l+7)!} (1-z)^{l+3} \right] \right\}$$

$$\left. \frac{\partial C_\nu^2(z)}{\partial \nu} \right|_{\nu=1} = \left\{ \frac{13z}{3} - \frac{24}{5}(1-z) + \frac{1}{2(1-z)} \sum_{l=3}^{\infty} \left[\frac{2^l (l)!(l+3)!}{(l-2)(l-1)(2l+1)!} (1-z)^l \right] \right\}$$

$$\left. \frac{\partial C_\nu^2(z)}{\partial \nu} \right|_{\nu=1} = \left\{ \frac{13z}{3} - \frac{24}{5}(1-z) + \frac{1}{2(1-z)} \sum_{l=3}^{\infty} \left[\frac{l(l+2)(l+3)}{(l-2)(l-1)} \frac{2^l (l-1)!(l+1)!}{(2l+1)!} (1-z)^l \right] \right\}$$

$$\left. \frac{\partial C_\nu^2(z)}{\partial \nu} \right|_{\nu=1} = \left\{ \frac{13z}{3} - \frac{24}{5}(1-z) + \frac{1}{2(1-z)} \sum_{l=3}^{\infty} \left[\left(l+8 + \frac{40}{l-2} - \frac{12}{l-1} \right) \frac{2^l (l-1)!(l+1)!}{(2l+1)!} (1-z)^l \right] \right\}$$

Les séries ont déjà été calculées auparavant, il vient le résultat suivant :

$$\begin{aligned}
 (1) \quad \sum_{l=3}^{l=\infty} \left[l \frac{2^l (l-1)! (l+1)!}{(2l+1)!} (1-z)^l \right] &= - \frac{16(1-z^2) + 9z + 6z^3 - 15 \frac{\text{Arcos}(z)}{\sqrt{1-z^2}}}{15(1+z)} \\
 (2) \quad \sum_{l=3}^{l=\infty} \left[\frac{2^l (l-1)! (l+1)!}{(2l+1)!} (1-z)^l \right] &= 1 - \frac{2}{3}(1-z) - \frac{1}{5}(1-z)^2 - \frac{z \text{Arcos}(z)}{\sqrt{1-z^2}} \\
 (3) \quad \sum_{l=3}^{l=\infty} \left[\frac{1}{l-2} \frac{2^l (l-1)! (l+1)!}{(2l+1)!} (1-z)^l \right] &= \frac{26}{75}(1-z)^2 - \frac{-1+8z-7z^2+3(1-3z+z^2)\sqrt{1-z^2} \text{Arcos}(z)}{15(1-z)} \\
 (4) \quad \sum_{l=3}^{l=\infty} \left[\frac{1}{l-1} \frac{2^l (l-1)! (l+1)!}{(2l+1)!} (1-z)^l \right] &= \frac{13}{9}(1-z) - \frac{2}{3} + \frac{\text{Arcos}(z)(2z-1)\sqrt{1-z^2}}{3(1-z)} - \frac{1}{5}(1-z)^2 \\
 \frac{\partial C_v^2(z)}{\partial v} \Big|_{v=1} &= \left\{ \frac{13z}{3} - \frac{24}{5}(1-z) + \frac{1}{2(1-z)} [(1) + 8 \times (2) + 40 \times (3) - 12 \times (4)] \right\} \\
 \Rightarrow \frac{\partial C_v^2(z)}{\partial v} \Big|_{v=1} &= \frac{13z}{3} - \frac{z(17-14z^2)}{6(1-z^2)} - \frac{(3-12z^2+8z^4)}{2(1-z^2)^{\frac{3}{2}}} \text{Arcos}(z) \\
 \Rightarrow \frac{\partial C_v^2(z)}{\partial v} \Big|_{v=1} &= \frac{z(3-4z^2)}{2(1-z^2)} - \frac{(3-12z^2+8z^4)}{2(1-z^2)^{\frac{3}{2}}} \text{Arcos}(z) \Rightarrow \frac{\partial C_v^2(1)}{\partial v} \Big|_{v=1} = \frac{13}{3} \quad \frac{\partial C_v^2(0)}{\partial v} \Big|_{v=1} = -\frac{3\pi}{4}
 \end{aligned}$$

Voyons ce que cela donne pour $\lambda=3$ et $v=1$:

$$\left. \frac{\partial C_v^\lambda(z)}{\partial v} \right|_{v=1} = \left\{ 2\lambda z(H_{2\lambda} - 1) - \frac{\Gamma(3+2\lambda)}{\Gamma(2\lambda)\Gamma(1+2\lambda)}(1-z) + \frac{\Gamma\left(\lambda + \frac{1}{2}\right)}{\Gamma(2\lambda)} \left(\frac{1-z}{2}\right)^2 \sum_{l=0}^{l=\infty} \left[\frac{\Gamma(3+2\lambda+l)}{(l+1)(l+2)\Gamma\left(\lambda + \frac{5}{2}+l\right)} \left(\frac{1-z}{2}\right)^l \right] \right\}$$

$$\lambda = 3 \Rightarrow \left. \frac{\partial C_v^3(z)}{\partial v} \right|_{v=1} = \left\{ 3z \frac{29}{10} - \frac{48}{7}(1-z) + \frac{\sqrt{\pi}}{2^6} \left(\frac{1-z}{2}\right)^2 \sum_{l=0}^{l=\infty} \left[\frac{\Gamma(l+9)}{(l+1)(l+2)\Gamma\left(l + \frac{11}{2}\right)} \left(\frac{1-z}{2}\right)^l \right] \right\}$$

$$\left. \frac{\partial C_v^3(z)}{\partial v} \right|_{v=1} = \left\{ \frac{87z}{10} - \frac{48}{7}(1-z) + \frac{1}{2} \left(\frac{1-z}{2}\right)^2 \sum_{l=0}^{l=\infty} \left[\frac{2^l \Gamma(l+1)\Gamma(l+9)}{(l+1)(l+2)(2l+9)(2l+7)(2l+5)(2l+3)(2l+1)\Gamma(2l+1)} (1-z)^l \right] \right\}$$

$$\left. \frac{\partial C_v^3(z)}{\partial v} \right|_{v=1} = \left\{ \frac{87z}{10} - \frac{48}{7}(1-z) + \frac{2^4}{2} \left(\frac{1-z}{2}\right)^2 \sum_{l=0}^{l=\infty} \left[\frac{2^l \Gamma(l+5)\Gamma(l+9)}{(l+1)(l+2)\Gamma(2l+10)} (1-z)^l \right] \right\}$$

$$\left. \frac{\partial C_v^3(z)}{\partial v} \right|_{v=1} = \left\{ \frac{87z}{10} - \frac{48}{7}(1-z) + \frac{1}{2^3(1-z)^2} \sum_{l=0}^{l=\infty} \left[\frac{2^{l+4}(l+4)!(l+8)!}{(l+1)(l+2)(2l+9)!} (1-z)^{l+4} \right] \right\}$$

$$\left. \frac{\partial C_v^3(z)}{\partial v} \right|_{v=1} = \left\{ \frac{87z}{10} - \frac{48}{7}(1-z) + \frac{1}{2^3(1-z)^2} \sum_{l=4}^{l=\infty} \left[\frac{l(l+4)(l+3)(l+2)}{(l-3)(l-2)} \frac{2^l(l-1)!(l+1)!}{(2l+1)!} (1-z)^l \right] \right\}$$

Or $\frac{l(l+4)(l+3)(l+2)}{(l-3)(l-2)} = Al(l-1) + Bl + C + \frac{D}{l-3} + \frac{E}{l-2}$

$\Leftrightarrow A=1 \quad B=15 \quad C=90 \quad D=630 \quad E=-240$

$$\Rightarrow \left. \frac{\partial C_v^3(z)}{\partial v} \right|_{v=1} = \left\{ \frac{87z}{10} - \frac{48}{7}(1-z) + \frac{1}{2^3(1-z)^2} \sum_{l=4}^{l=\infty} \left[\left[l(l-1) + 15l + 90 + \frac{630}{l-3} - \frac{240}{l-2} \right] \frac{2^l(l-1)!(l+1)!}{(2l+1)!} (1-z)^l \right] \right\}$$

Il y a donc 5 séries à calculer :

$$\left. \frac{\partial C_v^3(z)}{\partial v} \right|_{v=1} = \left\{ \frac{87z}{10} - \frac{48}{7}(1-z) + (1) + 15 \times (2) + 90 \times (3) + 630 \times (4) - 240 \times (5) \right\}$$

$$\text{On a } \sum_{l=4}^{l=\infty} \left[\frac{2^l (l-1)! (l+1)!}{(2l+1)!} (1-z)^l \right] = \left\{ 1 - \frac{2}{3}(1-z) - \frac{1}{5}(1-z)^2 - \frac{8}{105}(1-z)^3 - \frac{z \operatorname{Arcos}(z)}{\sqrt{1-z^2}} \right\}$$

$$(1) = \frac{1}{2^3} \sum_{l=4}^{l=\infty} \left[l(l-1) \frac{2^l (l-1)! (l+1)!}{(2l+1)!} (1-z)^{l-2} \right] = \frac{1}{2^3} \frac{d^2}{dz^2} \left\{ 1 - \frac{2}{3}(1-z) - \frac{1}{5}(1-z)^2 - \frac{8}{105}(1-z)^3 - \frac{z \operatorname{Arcos}(z)}{\sqrt{1-z^2}} \right\}$$

$$(2) = \frac{1}{2^3(1-z)} \sum_{l=4}^{l=\infty} \left[l \frac{2^l (l-1)! (l+1)!}{(2l+1)!} (1-z)^{l-1} \right] = -\frac{1}{2^3} \frac{d}{dz} \left\{ 1 - \frac{2}{3}(1-z) - \frac{1}{5}(1-z)^2 - \frac{8}{105}(1-z)^3 - \frac{z \operatorname{Arcos}(z)}{\sqrt{1-z^2}} \right\}$$

$$(3) = \frac{1}{2^3(1-z)^2} \sum_{l=4}^{l=\infty} \left[\frac{2^l (l-1)! (l+1)!}{(2l+1)!} (1-z)^l \right] = \frac{1}{2^3(1-z)^2} \left\{ 1 - \frac{2}{3}(1-z) - \frac{1}{5}(1-z)^2 - \frac{8}{105}(1-z)^3 - \frac{z \operatorname{Arcos}(z)}{\sqrt{1-z^2}} \right\}$$

$$(4) = \frac{1}{2^3(1-z)^2} \sum_{l=4}^{l=\infty} \left[\frac{1}{l-3} \frac{2^l (l-1)! (l+1)!}{(2l+1)!} (1-z)^l \right] = \frac{(1-z)}{2^3} \sum_{l=4}^{l=\infty} \left[\frac{1}{l-3} \frac{2^l (l-1)! (l+1)!}{(2l+1)!} (1-z)^{l-3} \right]$$

$$\Rightarrow (4) = \frac{(1-z)}{2^3} \sum_{l=4}^{l=\infty} \left[\frac{1}{l-3} \frac{2^l (l-1)! (l+1)!}{(2l+1)!} (1-z)^{l-3} \right] = \frac{(1-z)}{2^3} \sum_{l=4}^{l=\infty} 2^l \frac{(l-1)! (l+1)!}{(2l+1)!} \int_z^1 dz (1-z)^{l-4}$$

$$= \frac{(1-z)}{2^3} \int_z^1 dz \frac{1}{(1-z)^4} \left[\sum_{l=4}^{l=\infty} 2^l \frac{(l-1)! (l+1)!}{(2l+1)!} (1-z)^l \right] =$$

$$= \frac{(1-z)}{2^3} \int_z^1 dz \frac{1}{(1-z)^4} \left[1 - \frac{2}{3}(1-z) - \frac{1}{5}(1-z)^2 - \frac{8}{105}(1-z)^3 - \frac{z \operatorname{Arcos}(z)}{\sqrt{1-z^2}} \right]$$

$$(5) = \frac{1}{2^3(1-z)^2} \sum_{l=4}^{l=\infty} \left[\frac{1}{l-2} \frac{2^l (l-1)! (l+1)!}{(2l+1)!} (1-z)^l \right] = \frac{1}{2^3(1-z)^2} \left\{ -\frac{8}{105}(1-z)^3 + \sum_{l=3}^{l=\infty} \left[\frac{1}{l-2} \frac{2^l (l-1)! (l+1)!}{(2l+1)!} (1-z)^l \right] \right\}$$

$$\Rightarrow (5) = \frac{1}{2^3(1-z)^2} \left\{ -\frac{8}{105}(1-z)^3 + \frac{26}{75}(1-z)^2 - \frac{-1+8z-7z^2+3(1-3z+z^2)\sqrt{1-z^2} \operatorname{Arcos}(z)}{15(1-z)} \right\}$$

Problèmes aux limites de Laplace sur une hypersphère- p-

A l'aide de Mathematica et d'un peu de calculs en plus, il vient l'expression :

$$(1) = \frac{(40 + 16z + 95z^2 - 32z^3 - 30z^4 + 16z^5)\sqrt{1-z^2} - 105z \operatorname{Arcos}(z)}{280(1-z^2)^{5/2}}$$

$$(2) = \frac{-136 - 15z + 112z^2 - 90z^3 + 24z^4 + \frac{105z \operatorname{Arcos}(z)}{\sqrt{1-z^2}}}{840(1-z^2)(1-z)}$$

$$(3) = \frac{6 + 136z - 45z^2 + 8z^3 - \frac{105z \operatorname{Arcos}(z)}{\sqrt{1-z^2}}}{840(1-z)^2}$$

$$(4) = \frac{(1-z)}{8} \left\{ \frac{1346}{11025} + \frac{12-67z+68z^2-13z^3 + (-13+52z-32z^2+8z^3)\sqrt{1-z^2} \operatorname{Arcos}(z)}{105(1-z)^4} \right\}$$

$$(5) = -\frac{-177 + 666z - 551z^2 + 22z^3 + 40z^4 + 105\sqrt{1-z^2}(1-3z+z^2)\operatorname{Arcos}(z)}{4200(1-z)^3}$$

$$\left. \frac{\partial C_v^3(z)}{\partial v} \right|_{v=1} = \frac{87z}{10} + \frac{(-203 + 336z^2 - 148z^4)z\sqrt{1-z^2} + 15(-5 + 30z^2 - 40z^4 + 16z^6)\operatorname{Arcos}(z)}{40(1-z^2)^{\frac{5}{2}}}$$

$$\Rightarrow \left. \frac{\partial C_v^3(z)}{\partial v} \right|_{v=1} = \frac{(29 - 72z^2 + 40z^4)z\sqrt{1-z^2} + 3(-5 + 30z^2 - 40z^4 + 16z^6)\operatorname{Arcos}(z)}{8(1-z^2)^{\frac{5}{2}}}$$

$$\Rightarrow \left. \frac{\partial C_v^3(1)}{\partial v} \right|_{v=1} = \frac{87}{10} \quad \left. \frac{\partial C_v^3(0)}{\partial v} \right|_{v=1} = -\frac{15\pi}{16}$$

Récapitulons pour les trois valeurs d'ordre λ et de degré 0 et 1 :

$$\left. \frac{\partial C_v^1(z)}{\partial v} \right|_{v=0} = \frac{z \operatorname{Arcos}(z)}{(1-z^2)^{\frac{1}{2}}} \quad \left. \frac{\partial C_v^2(z)}{\partial v} \right|_{v=0} = \frac{1-2z^2}{2(1-z^2)} + \frac{3-2z^2}{2(1-z^2)^{\frac{3}{2}}} z \operatorname{Arcos}(z)$$

$$\left. \frac{\partial C_v^3(z)}{\partial v} \right|_{v=0} = \frac{3(2-7z^2+4z^4)}{8(1-z^2)^2} + \frac{z(15-20z^2+8z^4)\operatorname{Arcos}(z)}{8(1-z^2)^{\frac{5}{2}}}$$

$$\left. \frac{\partial C_v^1(z)}{\partial v} \right|_{v=1} = \frac{(2z^2-1)}{\sqrt{1-z^2}} \operatorname{Arcos}(z) \quad \left. \frac{\partial C_v^2(z)}{\partial v} \right|_{v=1} = \frac{z(3-4z^2)}{2(1-z^2)} - \frac{(3-12z^2+8z^4)}{2(1-z^2)^{\frac{3}{2}}} \operatorname{Arcos}(z)$$

$$\left. \frac{\partial C_v^3(z)}{\partial v} \right|_{v=1} = \frac{(29 - 72z^2 + 40z^4)z\sqrt{1-z^2} + 3(-5 + 30z^2 - 40z^4 + 16z^6)\operatorname{Arcos}(z)}{8(1-z^2)^{\frac{5}{2}}}$$

Pour les valeurs des dérivées paramétriques de degré en $z=0$, il vient :

$$\left. \frac{\partial C_v^1(0)}{\partial v} \right|_{v=1} = -\frac{\pi}{2} \quad \left. \frac{\partial C_v^2(0)}{\partial v} \right|_{v=1} = -\frac{3\pi}{4} \quad \left. \frac{\partial C_v^3(0)}{\partial v} \right|_{v=1} = -\frac{15\pi}{16}$$

$$\text{valeurs coïncidant avec } \left. \frac{\partial C_v^p(0)}{\partial v} \right|_{v=1} = -\pi \frac{p(2p)!}{2^{2p}(p!)^2} \quad \text{pour } p = 1, 2, 3$$

Application au calcul des fonctions de Gegenbauer de deuxième espèce de degré entier et d'ordre entier

A partir des formules établies précédemment pour le calcul des fonctions de Gegenbauer de deuxième espèce de degré entier

$$C_{(Q),n}^{\lambda}(z) = \frac{1}{2} \left(\frac{\partial C_n^{\lambda}(z)}{\partial v} - (-1)^n \frac{\partial C_n^{\lambda}(-z)}{\partial v} \right) \Rightarrow \begin{cases} C_{(Q),0}^{\lambda}(z) = \frac{1}{2} \left(\frac{\partial C_0^{\lambda}(z)}{\partial v} - \frac{\partial C_0^{\lambda}(-z)}{\partial v} \right) \\ C_{(Q),1}^{\lambda}(z) = \frac{1}{2} \left(\frac{\partial C_1^{\lambda}(z)}{\partial v} + \frac{\partial C_1^{\lambda}(-z)}{\partial v} \right) \end{cases}$$

Tout d'abord rappelons une des expressions de la dérivée paramétrique pour l'ordre 1 et tous les degré entiers :

$$\left. \frac{\partial C_v^1(z)}{\partial v} \right|_{v=n} = \frac{\text{ArcCos}(z) \cos((n+1)\text{ArcCos}(z))}{\sqrt{1-z^2}}$$

On en déduit la valeur de la fonction de Gegenbauer de deuxième espèce d'ordre 1 et de degré n :

$$C_{(Q),n}^1(z) = \frac{1}{2} \left(\frac{\partial C_n^1(z)}{\partial v} - (-1)^n \frac{\partial C_n^1(-z)}{\partial v} \right)$$

$$\Rightarrow C_{(Q),n}^1(z) = \frac{1}{2\sqrt{1-z^2}} \left(\text{ArcCos}(z) \cos((n+1)\text{ArcCos}(z)) - (-1)^n \text{ArcCos}(-z) \cos((n+1)\text{ArcCos}(-z)) \right)$$

$$\text{ArcCos}(-z) = \pi - \text{ArcCos}(z)$$

$$C_{(Q),n}^1(z) = \frac{1}{2\sqrt{1-z^2}} \left(\text{ArcCos}(z) \cos((n+1)\text{ArcCos}(z)) - (-1)^n (\pi - \text{ArcCos}(z)) \cos((n+1)(\pi - \text{ArcCos}(z))) \right)$$

$$\text{Or } \cos((n+1)(\pi - \text{ArcCos}(z))) = \cos((n+1)\pi) \cos((n+1)\text{ArcCos}(z)) + \sin((n+1)\pi) \sin((n+1)\text{ArcCos}(z))$$

$$\Rightarrow \cos((n+1)(\pi - \text{ArcCos}(z))) = (-1)^{n+1} \cos((n+1)\text{ArcCos}(z))$$

$$C_{(Q),n}^1(z) = \frac{1}{2\sqrt{1-z^2}} \left(\text{ArcCos}(z) \cos((n+1)\text{ArcCos}(z)) - (-1)^n (\pi - \text{ArcCos}(z)) (-1)^{n+1} \cos((n+1)\text{ArcCos}(z)) \right)$$

$$C_{(Q),n}^1(z) = \frac{1}{2\sqrt{1-z^2}} \left(\text{ArcCos}(z) \cos((n+1)\text{ArcCos}(z)) + (\pi - \text{ArcCos}(z)) \cos((n+1)\text{ArcCos}(z)) \right)$$

$$\Rightarrow C_{(Q),n}^1(z) = \frac{\pi \cos((n+1)\text{ArcCos}(z))}{2\sqrt{1-z^2}}$$

$$\Rightarrow C_{(Q),n}^1(z) = \frac{\pi T_{n+1}(z)}{2\sqrt{1-z^2}} \quad \text{avec } T_n(z) \text{ polynômes / fonctions de Tchebycheff de première espèce}$$

Il vient par exemple pour n=0 et λ=1 :

$$\begin{aligned}
 \left. \frac{\partial C_v^1(z)}{\partial v} \right|_{v=0} &= \frac{z \operatorname{Arcos}(z)}{(1-z^2)^{\frac{1}{2}}} \Rightarrow C_{(Q),0}^1(z) = \frac{1}{2} \left(\frac{\partial C_0^1(z)}{\partial v} - \frac{\partial C_0^1(-z)}{\partial v} \right) = \frac{\pi}{2} \frac{z}{(1-z^2)^{\frac{1}{2}}} \\
 \left. \frac{\partial C_v^2(z)}{\partial v} \right|_{v=0} &= \frac{1-2z^2}{2(1-z^2)} + \frac{3-2z^2}{2(1-z^2)^{\frac{3}{2}}} z \operatorname{Arcos}(z) \Rightarrow C_{(Q),0}^2(z) = \frac{\pi}{4} \frac{z(3-2z^2)}{(1-z^2)^{\frac{3}{2}}} \\
 \left. \frac{\partial C_v^3(z)}{\partial v} \right|_{v=0} &= \frac{3(2-7z^2+4z^4)}{8(1-z^2)^2} + \frac{z(15-20z^2+8z^4) \operatorname{Arcos}(z)}{8(1-z^2)^{\frac{5}{2}}} \Rightarrow C_{(Q),0}^3(z) = \frac{\pi}{16} \frac{z(15-20z^2+8z^4)}{(1-z^2)^{\frac{5}{2}}} \\
 \left. \frac{\partial C_v^1(z)}{\partial v} \right|_{v=1} &= \frac{(2z^2-1)}{\sqrt{1-z^2}} \operatorname{Arcos}(z) \Rightarrow C_{(Q),1}^1(z) = \frac{1}{2} \left(\frac{\partial C_1^1(z)}{\partial v} + \frac{\partial C_1^1(-z)}{\partial v} \right) = \frac{\pi}{2} \frac{(2z^2-1)}{\sqrt{1-z^2}} \\
 \left. \frac{\partial C_v^2(z)}{\partial v} \right|_{v=1} &= \frac{z(3-4z^2)}{2(1-z^2)} - \frac{(3-12z^2+8z^4)}{2(1-z^2)^{\frac{3}{2}}} \operatorname{Arcos}(z) \Rightarrow C_{(Q),1}^2(z) = -\frac{\pi}{4} \frac{(3-12z^2+8z^4)}{(1-z^2)^{\frac{3}{2}}} \\
 \left. \frac{\partial C_v^3(z)}{\partial v} \right|_{v=1} &= \frac{(29-72z^2+40z^4)z\sqrt{1-z^2} + 3(-5+30z^2-40z^4+16z^6) \operatorname{Arcos}(z)}{8(1-z^2)^{\frac{5}{2}}} \\
 \Rightarrow C_{(Q),2}^2(z) &= \frac{3\pi}{16} \frac{(-5+30z^2-40z^4+16z^6)}{(1-z^2)^{\frac{5}{2}}}
 \end{aligned}$$

Récurrance des dérivées paramétriques des polynômes de Gegenbauer sur les ordres entiers ou demi-entiers

Les polynômes de Gegenbauer présentent la récurrance en ordre entier ou demi-entier suivante :

$$\begin{aligned}
 C_v^\lambda(z) &= \frac{[2\lambda(2\lambda+1-2(z^2-1)(\lambda+v+1))C_v^{\lambda+1}(z) + 4\lambda(\lambda+1)(z^2-1)C_v^{\lambda+2}(z)]}{(2\lambda+v)(2\lambda+v+1)} \\
 \Rightarrow C_v^{\lambda+2}(z) &= \frac{-2\lambda(2\lambda+1-2(z^2-1)(\lambda+v+1))C_v^{\lambda+1}(z) + (2\lambda+v)(2\lambda+v+1)C_v^\lambda(z)}{4\lambda(\lambda+1)(z^2-1)} \Rightarrow \lambda \rightarrow \lambda-2 \\
 \Rightarrow C_v^\lambda(z) &= \frac{-2(\lambda-2)(2\lambda-3-2(z^2-1)(\lambda-1+v))C_v^{\lambda-1}(z) + (2\lambda-4+v)(2\lambda-3+v)C_v^{\lambda-2}(z)}{4(\lambda-2)(\lambda-1)(z^2-1)} \\
 \Rightarrow C_v^\lambda(z) &= \frac{-(2\lambda-3-2(z^2-1)(\lambda-1+v))}{2(\lambda-1)(z^2-1)} C_v^{\lambda-1}(z) + \frac{(2\lambda-4+v)(2\lambda-3+v)}{4(\lambda-2)(\lambda-1)(z^2-1)} C_v^{\lambda-2}(z) \\
 \Rightarrow C_v^\lambda(z) &= \frac{1}{2(\lambda-1)} \left\{ \frac{2(\lambda-1)z^2 + 2v(z^2-1) - 4\lambda + 5}{(z^2-1)} C_v^{\lambda-1}(z) + \frac{(v+2\lambda-4)(v+2\lambda-3)}{2(z^2-1)(\lambda-2)} C_v^{\lambda-2}(z) \right\}
 \end{aligned}$$

Récurrance sur les polynômes de Gegenbauer vrai pour v = 0

$$\begin{aligned}
 \Rightarrow C_0^\lambda(z) &= \frac{1}{2(z^2-1)(\lambda-1)} ((2(\lambda-1)z^2 - 4\lambda + 5)C_0^{\lambda-1}(z) + (2\lambda-3)C_0^{\lambda-2}(z)) \\
 \Rightarrow C_0^{\lambda-1}(z) = 1 \quad C_0^{\lambda-2}(z) = 1 &\Rightarrow C_0^\lambda(z) = \frac{2(\lambda-1)(z^2-1)}{2(z^2-1)(\lambda-1)} = 1
 \end{aligned}$$

Problèmes aux limites de Laplace sur une hypersphère- p-

Ceci permet de générer une récurrence sur les dérivées premières paramétriques :

Récurrence sur les dérivées premières paramétriques de Gegenbauer d'ordre entier $\lambda \in \mathbb{N}$

$$\Rightarrow \frac{\partial C_v^\lambda(z)}{\partial v} = \frac{1}{2(\lambda-1)} \left\{ \frac{2(\lambda-1)z^2 + 2v(z^2-1) - 4\lambda + 5}{(z^2-1)} \frac{\partial C_v^{\lambda-1}(z)}{\partial v} + \frac{(v+2\lambda-4)(v+2\lambda-3)}{2(z^2-1)(\lambda-2)} \frac{\partial C_v^{\lambda-2}(z)}{\partial v} + \right. \\ \left. + 2C_v^{\lambda-1}(z) + \frac{(2v+4\lambda-7)}{2(z^2-1)(\lambda-2)} C_v^{\lambda-2}(z) \right\}$$

Récurrence sur les dérivées premières paramétriques de Gegenbauer d'ordre demi-entier $\lambda = \frac{2p+1}{2}$

$$\Rightarrow \left\{ \begin{array}{l} C_v^{\frac{2p+1}{2}}(z) = \frac{1}{(2p-1)} \left\{ \frac{(2p-1)z^2 + 2v(z^2-1) - 4p + 3}{(z^2-1)} C_v^{\frac{2p-1}{2}}(z) + \frac{(v+2p-3)(v+2p-2)}{(z^2-1)(2p-3)} C_v^{\frac{2p-3}{2}}(z) \right\} \\ \frac{\partial C_v^{\frac{2p+1}{2}}(z)}{\partial v} = \frac{1}{(2p-1)} \left\{ \frac{(2p-1)z^2 + 2v(z^2-1) - 4p + 3}{(z^2-1)} \frac{\partial C_v^{\frac{2p-1}{2}}(z)}{\partial v} + \frac{(v+2p-3)(v+2p-2)}{(z^2-1)(2p-3)} \frac{\partial C_v^{\frac{2p-3}{2}}(z)}{\partial v} + \right. \\ \left. + 2C_v^{\frac{2p-1}{2}}(z) + \frac{(2v+4p-5)}{(z^2-1)(2p-3)} C_v^{\frac{2p-3}{2}}(z) \right\} \end{array} \right.$$

Partons de $p=0$ et $p=1$, il vient pour un degré 0 :

$$\left. \begin{array}{l} p=2 \\ v=0 \end{array} \right\} \Rightarrow \frac{\partial C_0^{\frac{5}{2}}(z)}{\partial v} = \frac{3z^2-5}{3(z^2-1)} \frac{\partial C_0^{\frac{3}{2}}(z)}{\partial v} + \frac{2}{3(z^2-1)} \frac{\partial C_0^{\frac{1}{2}}(z)}{\partial v} + \frac{2}{3} + \frac{1}{(z^2-1)} \quad C_0^{\frac{1}{2}}(z) = C_0^{\frac{3}{2}}(z) = 1$$

$$\text{Comme } \frac{\partial C_0^{\frac{1}{2}}(z)}{\partial v} = \text{Log} \left[\frac{1+z}{2} \right] \quad \frac{\partial C_0^{\frac{3}{2}}(z)}{\partial v} = \text{Log} \left[\frac{1+z}{2} \right] + \frac{(1+2z)}{(1+z)}$$

$$\frac{\partial C_0^{\frac{5}{2}}(z)}{\partial v} = \frac{3z^2-5}{3(z^2-1)} \left[\text{Log} \left[\frac{1+z}{2} \right] + \frac{(1+2z)}{(1+z)} \right] + \frac{2}{3(z^2-1)} \text{Log} \left[\frac{1+z}{2} \right] + \frac{2}{3} + \frac{1}{(z^2-1)}$$

$$\frac{\partial C_0^{\frac{5}{2}}(z)}{\partial v} = \text{Log} \left[\frac{1+z}{2} \right] + \frac{2}{3} + \frac{1}{3(z^2-1)} \left\{ 3 + \frac{(1+2z)}{(1+z)} (3z^2-5) \right\}$$

$$\frac{\partial C_0^{\frac{5}{2}}(z)}{\partial v} = \text{Log} \left[\frac{1+z}{2} \right] + \frac{2}{3} + \frac{\{2+9z+6z^2\}}{3(1+z)^2} \Rightarrow \frac{\partial C_0^{\frac{5}{2}}(z)}{\partial v} = \text{Log} \left[\frac{1+z}{2} \right] + \frac{\{4+13z+8z^2\}}{3(1+z)^2}$$

C'est bien l'expression de la dérivée de degré 0 à l'ordre 5/2.

Partons également de $p=0$ et $p=1$, il vient pour un degré 1 :

$$p=2 \left\{ \begin{array}{l} \Rightarrow \frac{\partial C_1^{\frac{5}{2}}(z)}{\partial v} = \frac{3z^2 + 2(z^2 - 1) - 5}{3(z^2 - 1)} \frac{\partial C_1^{\frac{3}{2}}(z)}{\partial v} + \frac{6}{3(z^2 - 1)} \frac{\partial C_1^{\frac{1}{2}}(z)}{\partial v} + \frac{2}{3} C_1^{\frac{3}{2}}(z) + \frac{5}{3(z^2 - 1)} C_1^{\frac{1}{2}}(z) \end{array} \right.$$

$$\text{Comme } C_1^{\frac{1}{2}}(z) = z \quad C_1^{\frac{3}{2}}(z) = 3z \quad \frac{\partial C_1^{\frac{1}{2}}(z)}{\partial v} = z \text{Log}\left(\frac{1+z}{2}\right) + z - 1 \quad \frac{\partial C_1^{\frac{3}{2}}(z)}{\partial v} = 3z \text{Log}\left(\frac{1+z}{2}\right) + \frac{5z^2 + 2z - 2}{(1+z)}$$

$$\frac{\partial C_1^{\frac{5}{2}}(z)}{\partial v} = \frac{3z^2 + 2(z^2 - 1) - 5}{3(z^2 - 1)} \left[3z \text{Log}\left(\frac{1+z}{2}\right) + \frac{5z^2 + 2z - 2}{(1+z)} \right] +$$

$$+ \frac{6}{3(z^2 - 1)} \left[z \text{Log}\left(\frac{1+z}{2}\right) + z - 1 \right] + 2z + \frac{5z}{3(z^2 - 1)}$$

$$\frac{\partial C_1^{\frac{5}{2}}(z)}{\partial v} = \left\{ z \frac{15z^2 - 21}{3(z^2 - 1)} + \frac{6z}{3(z^2 - 1)} \right\} \text{Log}\left[\frac{1+z}{2}\right] + \left\{ \frac{5z^2 - 7}{3(z^2 - 1)} \times \frac{5z^2 + 2z - 2}{(1+z)} + \right. \\ \left. + \frac{2}{(1+z)} + 2z + \frac{5z}{3(z^2 - 1)} \right\}$$

$$\frac{\partial C_1^{\frac{5}{2}}(z)}{\partial v} = 5z \text{Log}\left[\frac{1+z}{2}\right] + \frac{1}{3(1+z)^2} (-8 + 7z + 47z^2 + 31z^3)$$

Ce qui est bien l'expression de la dérivée paramétrique pour le degré 1 et l'ordre 5/2.

La relation de récurrence pour les ordres entiers est la suivante :

$$C_v^\lambda(z) = \frac{1}{2(\lambda - 1)} \left\{ \frac{2(\lambda - 1)z^2 + 2v(z^2 - 1) - 4\lambda + 5}{(z^2 - 1)} C_v^{\lambda-1}(z) + \frac{(v + 2\lambda - 4)(v + 2\lambda - 3)}{2(z^2 - 1)(\lambda - 2)} C_v^{\lambda-2}(z) \right\} \\ \Rightarrow \frac{\partial C_v^\lambda(z)}{\partial v} = \frac{1}{2(\lambda - 1)} \left\{ \frac{2(\lambda - 1)z^2 + 2v(z^2 - 1) - 4\lambda + 5}{(z^2 - 1)} \frac{\partial C_v^{\lambda-1}(z)}{\partial v} + \frac{(v + 2\lambda - 4)(v + 2\lambda - 3)}{2(z^2 - 1)(\lambda - 2)} \frac{\partial C_v^{\lambda-2}(z)}{\partial v} + \right. \\ \left. + 2C_v^{\lambda-1}(z) + \frac{(2v + 4\lambda - 7)}{2(z^2 - 1)(\lambda - 2)} C_v^{\lambda-2}(z) \right\}$$

On remarque que la formule de récurrence n'est pas définie aux valeurs $\lambda=1$ et $\lambda=2$. Dans ces conditions par prudence, la récurrence ne peut débuter qu'avec les termes $\lambda=1$ et $\lambda=2$ pour déterminer l'expression $\lambda=3$. Appliquons donc cette récurrence sur les dérivées paramétriques déjà calculées. Commençons par la récurrence sur le degré 0 et la récurrence entre les ordres 1,2 donnant 3 ; il vient :

$$\frac{\partial C_0^1(z)}{\partial v} = z \frac{\text{Arcos}(z)}{(1 - z^2)^{\frac{1}{2}}} \quad \frac{\partial C_0^2(z)}{\partial v} = \frac{1 - 2z^2}{2(1 - z^2)} + \frac{3 - 2z^2}{2(1 - z^2)^{\frac{3}{2}}} z \text{Arcos}(z) \quad C_0^1(z) = C_0^2(z) = 1$$

$$\lambda = 3 \Rightarrow \frac{\partial C_0^3(z)}{\partial v} = \frac{1}{4} \left\{ \frac{4z^2 - 7}{(z^2 - 1)} \left[\frac{1 - 2z^2}{2(1 - z^2)} + \frac{3 - 2z^2}{2(1 - z^2)^{\frac{3}{2}}} z \text{Arcos}(z) \right] + \right. \\ \left. - \frac{3}{(1 - z^2)^{\frac{3}{2}}} z \text{Arcos}(z) + 2 + \frac{5}{2(z^2 - 1)} \right\}$$

$$\text{Le résultat attendu est retrouvé} \Rightarrow \frac{\partial C_0^3(z)}{\partial v} = \frac{3(2 - 7z^2 + 4z^4)}{8(1 - z^2)^2} + \frac{z(15 - 20z^2 + 8z^4) \text{Arcos}(z)}{8(1 - z^2)^{\frac{5}{2}}}$$

Problèmes aux limites de Laplace sur une hypersphère- p-

Continuons par le degré 1 et la récurrence entre les ordres 1,2 donnant 3 :

$$C_1^1(z) = 2z \quad C_1^2(z) = 4z \quad \frac{\partial C_1^1(z)}{\partial v} = \frac{(2z^2 - 1)}{\sqrt{1 - z^2}} \operatorname{Arcos}(z) \quad \frac{\partial C_1^2(z)}{\partial v} = \frac{z(3 - 4z^2)}{2(1 - z^2)} - \frac{(3 - 12z^2 + 8z^4)}{2(1 - z^2)^{\frac{3}{2}}} \operatorname{Arcos}(z)$$

$$\lambda = 3 \Rightarrow \frac{\partial C_1^3(z)}{\partial v} = \frac{1}{4} \left\{ \frac{6z^2 - 9}{(z^2 - 1)} \left[\frac{z(3 - 4z^2)}{2(1 - z^2)} - \frac{(3 - 12z^2 + 8z^4)}{2(1 - z^2)^{\frac{3}{2}}} \operatorname{Arcos}(z) \right] - \frac{6(2z^2 - 1)}{(1 - z^2)^{\frac{3}{2}}} \operatorname{Arcos}(z) + \right. \\ \left. + 8z + \frac{7z}{(z^2 - 1)} \right\}$$

$$\text{Le résultat attendu est retrouvé} \Rightarrow \frac{\partial C_v^3(z)}{\partial v} \Big|_{v=1} = \frac{(29 - 72z^2 + 40z^4)z}{8(1 - z^2)^2} + \frac{3(-5 + 30z^2 - 40z^4 + 16z^6) \operatorname{Arcos}(z)}{8(1 - z^2)^{\frac{5}{2}}}$$

Hypothèse de récurrence des dérivées paramétriques des polynômes de Gegenbauer pour les ordres entiers

Pour trouver une relation de récurrence sur les dérivées paramétriques des polynômes ultrasphériques d'ordre entier, on tire profit d'une double récurrence sur les degrés et les ordres, à partir des relations suivantes déjà exposées auparavant :

Récurrence sur les ordres

$$(1) \quad \left| \begin{array}{l} C_n^\lambda(z) = \frac{1}{2(\lambda - 1)} \left\{ \frac{2(\lambda - 1)z^2 + 2n(z^2 - 1) - 4\lambda + 5}{(z^2 - 1)} C_n^{\lambda-1}(z) + \frac{(n + 2\lambda - 4)(n + 2\lambda - 3)}{2(z^2 - 1)(\lambda - 2)} C_n^{\lambda-2}(z) \right\} \\ \lambda > 2 \end{array} \right.$$

$$(2) \quad \left| \begin{array}{l} (z^2 - 1) \frac{\partial C_n^\lambda(z)}{\partial v} = \frac{1}{2(\lambda - 1)} \left\{ (2(\lambda - 1)z^2 + 2n(z^2 - 1) - 4\lambda + 5) \frac{\partial C_n^{\lambda-1}(z)}{\partial v} + \frac{(n + 2\lambda - 4)(n + 2\lambda - 3)}{2(\lambda - 2)} \frac{\partial C_n^{\lambda-2}(z)}{\partial v} + \right. \\ \left. + 2(z^2 - 1) C_n^{\lambda-1}(z) + \frac{(2n + 4\lambda - 7)}{2(\lambda - 2)} C_n^{\lambda-2}(z) \right\} \\ \lambda > 2 \end{array} \right.$$

Récurrence sur les degrés

$$(3) \quad C_n^\lambda(z) = \frac{2(\lambda + n - 1)z C_{n-1}^\lambda(z) - (2\lambda + n - 2) C_{n-2}^\lambda(z)}{n}$$

$$(4) \quad \frac{\partial C_n^\lambda(z)}{\partial v} = \frac{2(\lambda + n - 1)z \frac{\partial C_{n-1}^\lambda(z)}{\partial v} - (2\lambda + n - 2) \frac{\partial C_{n-2}^\lambda(z)}{\partial v} - C_n^\lambda(z) + 2z C_{n-1}^\lambda(z) - C_{n-2}^\lambda(z)}{n}$$

Problèmes aux limites de Laplace sur une hypersphère- p-

On détermine d'abord les départs de récurrence sur les ordres pour les degrés 0 et 1 :

$$C_0^1(z) = C_0^2(z) = C_0^3(z) = 1 \quad \frac{\partial C_0^1(z)}{\partial v} = z \frac{\text{Arcos}(z)}{(1-z^2)^{\frac{1}{2}}} \quad \frac{\partial C_0^2(z)}{\partial v} = \frac{1-2z^2}{2(1-z^2)} + z \frac{3-2z^2}{2(1-z^2)^{\frac{3}{2}}} \text{Arcos}(z)$$

$$\frac{\partial C_0^3(z)}{\partial v} = \frac{3(2-7z^2+4z^4)}{8(1-z^2)^2} + z \frac{(15-20z^2+8z^4)}{8(1-z^2)^{\frac{5}{2}}} \text{Arcos}(z)$$

$$C_1^1(z) = 2z \quad C_1^2(z) = 4z \quad C_1^3(z) = 6z \quad \frac{\partial C_1^1(z)}{\partial v} = \frac{(2z^2-1)}{(1-z^2)^{\frac{1}{2}}} \text{Arcos}(z)$$

$$\frac{\partial C_1^2(z)}{\partial v} = z \frac{(3-4z^2)}{2(1-z^2)} - \frac{(3-12z^2+8z^4)}{2(1-z^2)^{\frac{3}{2}}} \text{Arcos}(z)$$

$$\frac{\partial C_1^3(z)}{\partial v} = z \frac{(29-72z^2+40z^4)}{8(1-z^2)^2} + \frac{3(-5+30z^2-40z^4+16z^6)}{8(1-z^2)^{\frac{5}{2}}} \text{Arcos}(z)$$

Si l'on émet l'hypothèse d'expressions pour les dérivées premières paramétriques au degré 0 :

$$\frac{\partial C_0^\lambda(z)}{\partial v} = \frac{D_0^\lambda(z^2)}{(1-z^2)^{\lambda-1}} + z \frac{E_0^\lambda(z^2)}{(1-z^2)^{\lambda-\frac{1}{2}}} \text{Arcos}(z) \quad \text{Avec} \quad \begin{cases} D_0^\lambda(z^2) \text{ polynômes en } z^2 \text{ de degré } 2(\lambda-1) \\ E_0^\lambda(z^2) \text{ polynômes en } z^2 \text{ de degré } 2(\lambda-1) \end{cases}$$

$$\frac{\partial C_1^\lambda(z)}{\partial v} = z \frac{D_1^\lambda(z^2)}{(1-z^2)^{\lambda-1}} + \frac{E_1^\lambda(z^2)}{(1-z^2)^{\lambda-\frac{1}{2}}} \text{Arcos}(z) \quad \text{Avec} \quad \begin{cases} D_1^\lambda(z^2) \text{ polynômes en } z^2 \text{ de degré } 2(\lambda-1) \\ E_1^\lambda(z^2) \text{ polynômes en } z^2 \text{ de degré } 2\lambda \end{cases}$$

Les deux premières dérivées paramétriques sur les ordres 1 et 2, respectent ces deux expressions:

$$D_0^1(z^2) = 0 \quad E_0^1(z^2) = 1 \quad D_0^2(z^2) = \frac{1-2z^2}{2} \quad E_0^2(z^2) = \frac{3-2z^2}{2}$$

$$D_1^1(z^2) = 0 \quad E_1^1(z^2) = 2z^2 - 1 \quad D_1^2(z^2) = \frac{3-4z^2}{2} \quad E_1^2(z^2) = -\frac{3-12z^2+8z^4}{2}$$

Le report de cette forme dans l'expression de récurrence donne les récurrences suivantes :

$$\left(z^2 - 1 \right) \left[\frac{D_0^\lambda(z^2)}{(1-z^2)^{\lambda-1}} + z \frac{E_0^\lambda(z^2)}{(1-z^2)^{\lambda-\frac{1}{2}}} \text{Arcos}(z) \right] = \frac{1}{2(\lambda-1)} \left\{ \begin{aligned} & \left(2(\lambda-1)z^2 - 4\lambda + 5 \right) \left[\frac{D_0^{\lambda-1}(z^2)}{(1-z^2)^{\lambda-2}} + z \frac{E_0^{\lambda-1}(z^2)}{(1-z^2)^{\lambda-\frac{3}{2}}} \text{Arcos}(z) \right] + \\ & (2\lambda-3) \left[\frac{D_0^{\lambda-2}(z^2)}{(1-z^2)^{\lambda-1}} + z \frac{E_0^{\lambda-2}(z^2)}{(1-z^2)^{\lambda-\frac{5}{2}}} \text{Arcos}(z) \right] + \\ & + 2(z^2-1) + \frac{(4\lambda-7)}{2(\lambda-2)} \end{aligned} \right\}$$

$$\Leftrightarrow \begin{cases} E_0^\lambda(z^2) = -\frac{1}{2(\lambda-1)} \left\{ (2(\lambda-1)z^2 - 4\lambda + 5)E_0^{\lambda-1}(z^2) + (1-z^2)(2\lambda-3)E_0^{\lambda-2}(z^2) \right\} \\ D_0^\lambda(z^2) = -\frac{1}{2(\lambda-1)} \left\{ (2(\lambda-1)z^2 - 4\lambda + 5)D_0^{\lambda-1}(z^2) + (1-z^2)(2\lambda-3)D_0^{\lambda-2}(z^2) - \right. \\ \left. - 2(1-z^2)^{\lambda-1} + \frac{(4\lambda-7)}{2(\lambda-2)}(1-z^2)^{\lambda-2} \right\} \end{cases} \quad \lambda > 2$$

Ces récurrences prouvent par évidence que les polynômes $D_0^\lambda(z^2)$, $E_0^\lambda(z^2)$ restent dépendant en z^2 et de degré respectif comme indiqué ci dessus.

Pour la récurrence sur le degré 1 :

$$(z^2 - 1) \left[z \frac{D_1^\lambda(z^2)}{(1-z^2)^{\lambda-1}} + \frac{E_1^\lambda(z^2)}{(1-z^2)^{\lambda-\frac{1}{2}}} \text{Arcos}(z) \right] = \frac{1}{2(\lambda-1)} \left\{ \begin{aligned} & (2\lambda z^2 + 3 - 4\lambda) \left[z \frac{D_1^{\lambda-1}(z^2)}{(1-z^2)^{\lambda-2}} + \frac{E_1^{\lambda-1}(z^2)}{(1-z^2)^{\lambda-\frac{3}{2}}} \text{Arcos}(z) \right] + \\ & \frac{(2\lambda-3)(2\lambda-2)}{2(\lambda-2)} \left[z \frac{D_1^{\lambda-2}(z^2)}{(1-z^2)^{\lambda-1}} + \frac{E_1^{\lambda-2}(z^2)}{(1-z^2)^{\lambda-\frac{5}{2}}} \text{Arcos}(z) \right] + \\ & -4z(\lambda-1)(1-z^2) + z(4\lambda-5) \end{aligned} \right\}$$

$$\Leftrightarrow \begin{cases} E_1^\lambda(z^2) = -\frac{1}{2(\lambda-1)} \left\{ (2\lambda z^2 + 3 - 4\lambda) E_0^{\lambda-1}(z^2) + (1-z^2) \frac{(2\lambda-3)(\lambda-1)}{(\lambda-2)} E_0^{\lambda-2}(z^2) \right\} \\ D_1^\lambda(z^2) = -\frac{1}{2(\lambda-1)} \left\{ (2\lambda z^2 + 3 - 4\lambda) D_0^{\lambda-1}(z^2) + (1-z^2) \frac{(2\lambda-3)(2\lambda-2)}{2(\lambda-2)} D_0^{\lambda-2}(z^2) + \right. \\ \left. -4(\lambda-1)(1-z^2)^{\lambda-1} + (4\lambda-5)(1-z^2)^{\lambda-2} \right\} \end{cases} \quad \lambda \geq 2$$

La encore ces expressions prouvent par évidence que les polynômes $D_1^\lambda(z^2)$, $E_1^\lambda(z^2)$ restent dépendant en z^2 et de degré respectif comme indiqué.

Appliquons la référence pour le degré 2 :

$$2 \frac{\partial C_2^\lambda(z)}{\partial v} = 2(\lambda+1)z \frac{\partial C_1^\lambda(z)}{\partial v} - 2\lambda \frac{\partial C_0^\lambda(z)}{\partial v} - C_2^\lambda(z) + 2zC_1^\lambda(z) - C_0^\lambda(z)$$

$$2 \frac{\partial C_2^\lambda(z)}{\partial v} = \left\{ \begin{aligned} & 2(\lambda+1)z \left[z \frac{D_1^\lambda(z^2)}{(1-z^2)^{\lambda-1}} + \frac{E_1^\lambda(z^2)}{(1-z^2)^{\lambda-\frac{1}{2}}} \text{Arcos}(z) \right] - 2\lambda \left[\frac{D_0^\lambda(z^2)}{(1-z^2)^{\lambda-1}} + z \frac{E_0^\lambda(z^2)}{(1-z^2)^{\lambda-\frac{1}{2}}} \text{Arcos}(z) \right] - \\ & -C_2^\lambda(z) + 2zC_1^\lambda(z) - C_0^\lambda(z) \end{aligned} \right\}$$

$$\frac{\partial C_2^\lambda(z)}{\partial v} = \left\{ \begin{aligned} & \frac{1}{(1-z^2)^{\lambda-1}} \frac{2(\lambda+1)z^2 D_1^\lambda(z^2) - 2\lambda D_0^\lambda(z^2)}{2} + z \frac{\text{Arcos}(z)}{(1-z^2)^{\lambda-\frac{1}{2}}} \frac{2(\lambda+1)E_1^\lambda(z^2) - 2\lambda E_0^\lambda(z^2)}{2} - \\ & -C_2^\lambda(z) + 2zC_1^\lambda(z) - C_0^\lambda(z) \end{aligned} \right\}$$

$$\Rightarrow \frac{\partial C_2^\lambda(z)}{\partial v} = \frac{D_2^\lambda(z^2)}{(1-z^2)^{\lambda-1}} + z \frac{E_2^\lambda(z^2)}{(1-z^2)^{\lambda-\frac{1}{2}}} \text{Arcos}(z)$$

$$\Rightarrow \begin{cases} D_2^\lambda(z^2) = \frac{2(\lambda+1)z^2 D_1^\lambda(z^2) - 2\lambda D_0^\lambda(z^2)}{2} + (1-z^2)^{\lambda-1} (-C_2^\lambda(z) + 2zC_1^\lambda(z) - C_0^\lambda(z)) \\ E_2^\lambda(z^2) = \frac{2(\lambda+1)E_1^\lambda(z^2) - 2\lambda E_0^\lambda(z^2)}{2} \end{cases}$$

$$C_2^\lambda(z) = C_2^\lambda(-z) \Rightarrow C_2^\lambda(z) \text{ polynôme en } z^2 \quad C_1^\lambda(z) = 2\lambda z \quad C_0^\lambda(z) = 1$$

On peut alors émettre l'hypothèse de récurrence générale suivante :

$$\left. \begin{aligned} \frac{\partial C_v^\lambda(z)}{\partial v} \Big|_{v=2n} &= \frac{D_{2n}^\lambda(z^2)}{(1-z^2)^{\lambda-1}} + z \frac{E_{2n}^\lambda(z^2)}{(1-z^2)^{\lambda-\frac{1}{2}}} \text{Arcos}(z) \\ \frac{\partial C_v^\lambda(z)}{\partial v} \Big|_{v=2n+1} &= z \frac{D_{2n+1}^\lambda(z^2)}{(1-z^2)^{\lambda-1}} + \frac{E_{2n+1}^\lambda(z^2)}{(1-z^2)^{\lambda-\frac{1}{2}}} \text{Arcos}(z) \end{aligned} \right\} \text{ Avec } \begin{cases} D_{2n}^\lambda(z^2) \text{ polynômes en } z^2 \text{ de degré } 2(\lambda-1)+2n \\ E_{2n}^\lambda(z^2) \text{ polynômes en } z^2 \text{ de degré } 2(\lambda-1)+2n \\ D_{2n+1}^\lambda(z^2) \text{ polynômes en } z^2 \text{ de degré } 2(\lambda-1)+2n \\ E_{2n+1}^\lambda(z^2) \text{ polynômes en } z^2 \text{ de degré } 2\lambda+2n \end{cases}$$

Ce qui les relations de récurrence sur les polynômes D et E :

$$\begin{aligned} 2n \frac{\partial C_{2n}^\lambda(z)}{\partial v} &= 2(\lambda+2n-1)z \frac{\partial C_{2n-1}^\lambda(z)}{\partial v} - (2\lambda+2n-2) \frac{\partial C_{2n-2}^\lambda(z)}{\partial v} - C_{2n}^\lambda(z) + 2zC_{2n-1}^\lambda(z) - C_{2n-2}^\lambda(z) \\ \Rightarrow 2n \left\{ \frac{D_{2n}^\lambda(z^2)}{(1-z^2)^{\lambda-1}} + z \frac{E_{2n}^\lambda(z^2)}{(1-z^2)^{\lambda-\frac{1}{2}}} \text{Arcos}(z) \right\} &= \left\{ 2(\lambda+2n-1)z \left[z \frac{D_{2n-1}^\lambda(z^2)}{(1-z^2)^{\lambda-1}} + \frac{E_{2n-1}^\lambda(z^2)}{(1-z^2)^{\lambda-\frac{1}{2}}} \text{Arcos}(z) \right] - \right. \\ &\quad \left. - (2\lambda+2n-2) \left[\frac{D_{2n-2}^\lambda(z^2)}{(1-z^2)^{\lambda-1}} + z \frac{E_{2n-2}^\lambda(z^2)}{(1-z^2)^{\lambda-\frac{1}{2}}} \text{Arcos}(z) \right] - \right. \\ &\quad \left. - C_{2n}^\lambda(z) + 2zC_{2n-1}^\lambda(z) - C_{2n-2}^\lambda(z) \right\} \\ \Rightarrow \begin{cases} D_{2n}^\lambda(z^2) = \frac{2(\lambda+2n-1)z^2 D_{2n-1}^\lambda(z^2) - (2\lambda+2n-2)D_{2n-2}^\lambda(z^2) + (1-z^2)^{\lambda-1} \{-C_{2n}^\lambda(z) + 2zC_{2n-1}^\lambda(z) - C_{2n-2}^\lambda(z)\}}{2n} \\ E_{2n}^\lambda(z^2) = \frac{2(\lambda+2n-1)E_{2n-1}^\lambda(z^2) - (2\lambda+2n-2)E_{2n-2}^\lambda(z^2)}{2n} \end{cases} \\ (2n+1) \frac{\partial C_{2n+1}^\lambda(z)}{\partial v} &= 2(\lambda+2n)z \frac{\partial C_{2n}^\lambda(z)}{\partial v} - (2\lambda+2n-1) \frac{\partial C_{2n-1}^\lambda(z)}{\partial v} - C_{2n+1}^\lambda(z) + 2zC_{2n}^\lambda(z) - C_{2n-1}^\lambda(z) \\ \Rightarrow (2n+1) \left\{ z \frac{D_{2n+1}^\lambda(z^2)}{(1-z^2)^{\lambda-1}} + \frac{E_{2n+1}^\lambda(z^2)}{(1-z^2)^{\lambda-\frac{1}{2}}} \text{Arcos}(z) \right\} &= \left\{ 2(\lambda+2n)z \left[\frac{D_{2n}^\lambda(z^2)}{(1-z^2)^{\lambda-1}} + z \frac{E_{2n}^\lambda(z^2)}{(1-z^2)^{\lambda-\frac{1}{2}}} \text{Arcos}(z) \right] - \right. \\ &\quad \left. - (2\lambda+2n-1) \left[z \frac{D_{2n-1}^\lambda(z^2)}{(1-z^2)^{\lambda-1}} + \frac{E_{2n-1}^\lambda(z^2)}{(1-z^2)^{\lambda-\frac{1}{2}}} \text{Arcos}(z) \right] - \right. \\ &\quad \left. - C_{2n+1}^\lambda(z) + 2zC_{2n}^\lambda(z) - C_{2n-1}^\lambda(z) \right\} \\ \Rightarrow \begin{cases} D_{2n+1}^\lambda(z^2) = \frac{2(\lambda+2n)D_{2n}^\lambda(z^2) - (2\lambda+2n-1)D_{2n-1}^\lambda(z^2) + (1-z^2)^{\lambda-1} \{-C_{2n+1}^\lambda(z) + 2zC_{2n}^\lambda(z) - C_{2n-1}^\lambda(z)\}}{2n+1} \\ E_{2n+1}^\lambda(z^2) = \frac{2(\lambda+2n)z^2 E_{2n}^\lambda(z^2) - (2\lambda+2n-1)E_{2n-1}^\lambda(z^2)}{2n+1} \end{cases} \end{aligned}$$

Comme $C_{2n+1}^\lambda(z), C_{2n-1}^\lambda(z)$ polynômes impairs $\Rightarrow \frac{\{-C_{2n+1}^\lambda(z) + 2zC_{2n}^\lambda(z) - C_{2n-1}^\lambda(z)\}}{z}$ polynôme pair fonction de z^2

Les degrés des polynômes suivent des expressions de récurrence ci-dessus .

Application au calcul des fonctions de Gegenbauer de deuxième espèce degrés quelconque et d'ordre entier

A partir des formules établies précédemment pour le calcul des fonctions de Gegenbauer de deuxième espèce de degré entier, on en déduit leur expression générale à partir des polynômes E .

$$\left\{ \begin{array}{l} \frac{\partial C_{2n}^\lambda(z)}{\partial v} = \frac{D_{2n}^\lambda(z^2)}{(1-z^2)^{\lambda-1}} + z \frac{E_{2n}^\lambda(z^2)}{(1-z^2)^{\lambda-\frac{1}{2}}} \text{Arcos}(z) \\ \frac{\partial C_{2n+1}^\lambda(z)}{\partial v} = z \frac{D_{2n+1}^\lambda(z^2)}{(1-z^2)^{\lambda-1}} + \frac{E_{2n+1}^\lambda(z^2)}{(1-z^2)^{\lambda-\frac{1}{2}}} \text{Arcos}(z) \end{array} \right. \text{ comme } \left\{ \begin{array}{l} C_{(Q),2n}^\lambda(z) = \frac{1}{2} \left(\frac{\partial C_{2n}^\lambda(z)}{\partial v} - \frac{\partial C_{2n}^\lambda(-z)}{\partial v} \right) \\ C_{(Q),2n+1}^\lambda(z) = \frac{1}{2} \left(\frac{\partial C_{2n+1}^\lambda(z)}{\partial v} + \frac{\partial C_{2n+1}^\lambda(-z)}{\partial v} \right) \end{array} \right.$$

$$\Rightarrow \left\{ \begin{array}{l} C_{(Q),2n}^\lambda(z) = \frac{1}{2} \left(z \frac{E_{2n}^\lambda(z^2)}{(1-z^2)^{\lambda-\frac{1}{2}}} [\text{Arcos}(z) + \text{Arcos}(-z)] \right) = \frac{\pi}{2} z \frac{E_{2n}^\lambda(z^2)}{(1-z^2)^{\lambda-\frac{1}{2}}} \\ C_{(Q),2n+1}^\lambda(z) = \frac{1}{2} \left(\frac{E_{2n+1}^\lambda(z^2)}{(1-z^2)^{\lambda-\frac{1}{2}}} [\text{Arcos}(z) + \text{Arcos}(-z)] \right) = \frac{\pi}{2} \frac{E_{2n+1}^\lambda(z^2)}{(1-z^2)^{\lambda-\frac{1}{2}}} \end{array} \right.$$

Table des polynômes $D_{2n}^\lambda(z), D_{2n+1}^\lambda(z), E_{2n}^\lambda(z), E_{2n+1}^\lambda(z)$ ultra-sphériques pour des ordres entiers

Ordre : $\lambda=1$, Degré	Polynômes ultra-sphériques $D_{2n}^\lambda(z), D_{2n+1}^\lambda(z)$	Polynômes ultra-sphériques $E_{2n}^\lambda(z), E_{2n+1}^\lambda(z)$
$n=0$	$D_0^1(z) = 0$	$E_0^1(z) = 1$
$n=1$	$D_1^1(z) = 0$	$E_1^1(z) = -1 + 2z^2$
$n=2$	$D_2^1(z) = 0$	$E_2^1(z) = -3 + 4z^2$
$n=3$	$D_3^1(z) = 0$	$E_3^1(z) = 1 - 8z^2 + 8z^4$
$n=4$	$D_4^1(z) = 0$	$E_4^1(z) = 5 - 20z^2 + 16z^4$
$n=5$	$D_5^1(z) = 0$	$E_5^1(z) = -1 + 18z^2 - 48z^4 + 32z^6$

Problèmes aux limites de Laplace sur une hypersphère- p-

Ordre : $\lambda=2$, Degré	Polynômes ultra-sphériques $D_{2n}^\lambda(z), D_{2n+1}^\lambda(z)$	Polynômes ultra-sphériques $E_{2n}^\lambda(z), E_{2n+1}^\lambda(z)$
$n=0$	$D_0^2(z) = \frac{1}{2} - z^2$	$E_0^2(z) = \frac{1}{2}(3 - 2z^2)$
$n=1$	$D_1^2(z) = \frac{3}{2} - 2z^2$	$E_1^2(z) = \frac{1}{2}(-3 + 12z^2 - 8z^4)$
$n=2$	$D_2^2(z) = -\frac{1}{2} + 4z^2 - 4z^4$	$E_2^2(z) = \frac{1}{2}(-15 + 40z^2 - 24z^4)$
$n=3$	$D_3^2(z) = -\frac{5}{2} + 10z^2 - 8z^4$	$E_3^2(z) = \frac{1}{2}(5 - 60z^2 + 120z^4 - 64z^6)$
$n=4$	$D_4^2(z) = \frac{1}{2} - 9z^2 + 24z^4 - 16z^6$	$E_4^2(z) = \frac{1}{2}(35 - 210z^2 + 336z^4 - 160z^6)$
$n=5$	$D_5^2(z) = \frac{7}{2} - 28z^2 + 56z^4 - 32z^6$	$E_5^2(z) = \frac{1}{2}(-7 + 168z^2 - 672z^4 + 896z^6 - 384z^8)$

Ordre : $\lambda=3$, Degré	Polynômes ultra-sphériques $D_{2n}^\lambda(z), D_{2n+1}^\lambda(z)$	Polynômes ultra-sphériques $E_{2n}^\lambda(z), E_{2n+1}^\lambda(z)$
$n=0$	$D_0^3(z) = \frac{3}{8}(2 - 7z^2 + 4z^4)$	$E_0^3(z) = \frac{1}{8}(15 - 20z^2 + 8z^4)$
$n=1$	$D_1^3(z) = \frac{1}{8}(29 - 72z^2 + 40z^4)$	$E_1^3(z) = \frac{3}{8}(-5 + 30z^2 - 40z^4 + 16z^6)$
$n=2$	$D_2^3(z) = \frac{1}{8}(-10 + 115z^2 - 220z^4 + 112z^6)$	$E_2^3(z) = \frac{3}{8}(-35 + 140z^2 - 168z^4 + 64z^6)$
$n=3$	$D_3^3(z) = \frac{3}{8}(-23 + 134z^2 - 208z^4 + 96z^6)$	$E_3^3(z) = \frac{1}{8}(35 - 560z^2 + 1680z^4 - 1792z^6 + 640z^8)$
$n=4$	$D_4^3(z) = \frac{1}{8}(14 - 329z^2 + 1288z^4 - 1680z^6 + 704z^8)$	$E_4^3(z) = \frac{3}{8}(105 - 840z^2 + 2016z^4 - 1920z^6 + 640z^8)$
$n=5$	$D_5^3(z) = \frac{1}{8}(125 - 1312z^2 + 3872z^4 - 4352z^6 + 1664z^8)$	$E_5^3(z) = \frac{3}{8}(-21 + 630z^2 - 3360z^4 + 6720z^6 - 5760z^8 + 1792z^{10})$

Problèmes aux limites de Laplace sur une hypersphère- p-

Ordre : $\lambda=4$, Degré	Polynômes ultra-sphériques $D_{2n}^\lambda(z), D_{2n+1}^\lambda(z)$	Polynômes ultra-sphériques $E_{2n}^\lambda(z), E_{2n+1}^\lambda(z)$
$n=0$	$D_0^4(z) = \frac{1}{48}(44 - 219z^2 + 248z^4 - 88z^6)$	$E_0^4(z) = \frac{1}{16}(35 - 70z^2 + 56z^4 - 16z^6)$
$n=1$	$D_1^4(z) = \frac{1}{48}(295 - 1070z^2 + 1176z^4 - 416z^6)$	$E_1^4(z) = \frac{1}{16}(-35 + 280z^2 - 560z^4 + 448z^6 - 128z^8)$
$n=2$	$D_2^4(z) = \frac{1}{48}(-104 + 1559z^2 - 4398z^4 + 4432z^6 - 1504z^8)$	$E_2^4(z) = \frac{1}{16}(-315 + 1680z^2 - 3024z^4 + 2304z^6 - 640z^8)$
$n=3$	$D_3^4(z) = \frac{1}{48}(-917 + 7014z^2 - 16128z^4 + 14752z^6 - 4736z^8)$	$E_3^4(z) = -\frac{5}{16}(-21 + 420z^2 - 1680z^4 + 2688z^6 - 1920z^8 + 512z^{10})$
$n=4$	$D_4^4(z) = \frac{1}{48}(188 - 5451z^2 + 28128z^4 - 54496z^6 + 45312z^8 - 13696z^{10})$	$E_4^4(z) = -\frac{5}{16}(-231 + 2310z^2 - 7392z^4 + 10560z^6 - 7040z^8 + 1792z^{10})$
$n=5$	$D_5^4(z) = \frac{1}{48}(2043 - 26538z^2 + 103488z^4 - 173088z^6 + 131456z^8 - 37376z^{10})$	$E_5^4(z) = \frac{1}{16}(-231 + 8316z^2 - 55440z^4 + 147840z^6 - 190080z^8 + 118272z^{10} - 28672z^{12})$

Application aux calculs des normes des fonctions propres de problème aux limites ultra-sphériques

On rappelle que pour des problèmes aux limites sur des hémisphères à N-dimensions, sur un cône ultra-sphérique d'angle d'ouverture droit ($\vartheta_0=\pi/2$), ce sont les polynômes de Gegenbauer de degré impair qui forme une base de fonctions propres. Le résultat suivant sur la dérivée paramétrique constitue le départ de récurrence pour le calcul de toutes les autres dérivées paramétriques, à la valeur $z=0$ et servant au calcul de la norme des fonctions propres :

$$\left. \frac{\partial C_v^\lambda(z)}{\partial v} \right|_{\substack{v=1 \\ z=0}} = -\sqrt{\pi} \frac{\Gamma\left(\frac{2\lambda+1}{2}\right)}{\Gamma(\lambda)} \quad \forall \lambda \text{ entier ou demi-entier}$$

La démonstration a été réalisée pour les ordres demi-entiers, qu'en est-il des ordres entiers. La formule est la suivante :

$$\left. \frac{\partial C_v^p(0)}{\partial v} \right|_{v=1} = -\pi \frac{p(2p)!}{2^{2p}(p!)^2}$$

La récurrence sur les ordres entiers en $z=0$ donne :

Récurrence sur les dérivées premières paramétriques de Gegenbauer d'ordre entier $\lambda \in \mathbf{N} \quad v=1, z=0$

$$\forall \lambda \quad C_1^\lambda(0) = 0 \Rightarrow \frac{\partial C_1^\lambda(0)}{\partial v} = -\frac{1}{2(\lambda-1)} \left\{ (3-4\lambda) \frac{\partial C_1^{\lambda-1}(0)}{\partial v} + \frac{(2\lambda-3)(\lambda-1)}{(\lambda-2)} \frac{\partial C_1^{\lambda-2}(0)}{\partial v} \right\}$$

$$\forall p \in \mathbf{N} \quad \frac{\partial C_1^p(0)}{\partial v} = \frac{(4p-3)}{2(p-1)} \frac{\partial C_1^{p-1}(0)}{\partial v} - \frac{(2p-3)}{2(p-2)} \frac{\partial C_1^{p-2}(0)}{\partial v}$$

Problèmes aux limites de Laplace sur une hypersphère- p -

La formule est respectée pour $p=1$ et $p=2$, supposons l'expression vraie pour $p-1$ et $p-2$, utilisons la récurrence :

$$\frac{\partial C_1^{p-1}(0)}{\partial v} = -\pi \frac{(p-1)(2p-2)!}{2^{2p-2}((p-1)!)^2} = -\pi \frac{(2p-2)!}{2^{2p-2}(p-2)!(p-1)!}$$

$$\frac{\partial C_1^{p-2}(0)}{\partial v} = -\pi \frac{(p-2)(2p-4)!}{2^{2p-4}((p-2)!)^2} = -\pi \frac{(2p-4)!}{2^{2p-4}(p-3)!(p-2)!}$$

$$\frac{\partial C_1^p(0)}{\partial v} = -\pi \left(\frac{(4p-3)}{2(p-1)} \frac{(2p-2)!}{2^{2p-2}(p-2)!(p-1)!} - \frac{(2p-3)}{2(p-2)} \frac{(2p-4)!}{2^{2p-4}(p-3)!(p-2)!} \right)$$

$$\frac{\partial C_1^p(0)}{\partial v} = -\pi \left(\frac{(4p-3)}{2(p-1)^2} \frac{(2p-2)!}{2^{2p-2}(p-2)!(p-2)!} - \frac{1}{(p-1)} \frac{(2p-2)!}{2^{2p-2}(p-2)!(p-2)!} \right)$$

$$\frac{\partial C_1^p(0)}{\partial v} = -\pi \frac{(2p)(2p-1)(2p-2)!}{2^{2p-2}(p-2)!(p-2)!(p-1)2(p-1)2p} = -\pi \frac{p(2p!)}{2^{2p}(p!)^2} \quad c.q.f.d$$

La récurrence donne donc la bonne expression pour p . L'expression :

$$\left. \frac{\partial C_v^p(0)}{\partial v} \right|_{v=1} = -\pi \frac{p(2p)!}{2^{2p}(p!)^2}$$

est donc vérifiée !